



Vlaanderen
is wetenschap



Trends op basis van de Algemene Broedvogelmonitoring Vlaanderen

Technisch achtergrondrapport voor de periode 2007-2023

Thierry Onkelinx, Olivier Dochy, Glenn Vermeersch, Koen Devos

INSTITUUT
NATUUR- EN BOSONDERZOEK

Auteurs:

Thierry Onkelinx , Olivier Dochy , Glenn Vermeersch , Koen Devos 

Reviewers:

Hans Van Calster 

Het INBO is het onafhankelijk onderzoeksinstituut van de Vlaamse overheid dat via toegepast wetenschappelijk onderzoek, data- en kennisontsluiting het biodiversiteitsbeleid en -beheer onderbouwt en evalueert.

Vestiging:

INBO Brussel

Herman Teirlinckgebouw, Havenlaan 88, 1000 Brussel

vlaanderen.be/inbo

e-mail:

thierry.onkelinx@inbo.be

Wijze van citeren:

Onkelinx, T., et. al. (2024). Trends op basis van de Algemene Broedvogelmonitoring Vlaanderen (ABV). Technisch achtergrondrapport voor de periode 2007-2023. Rapporten van het Instituut voor Natuur- en Bosonderzoek 2024 (15). Instituut voor Natuur- en Bosonderzoek, Brussel. DOI: 10.21436/inbor.102669823

D/2024/3241/046

Rapporten van het Instituut voor Natuur- en Bosonderzoek 2024 (15)

ISSN: 1782-9054

Verantwoordelijke uitgever:

Hilde Eggermont

Foto cover:

Putter (*Carduelis carduelis*) eet zaden uit een kaardebol. (© Lars Soerink, Vildaphoto)

Dit onderzoek werd uitgevoerd in samenwerking met:

Natuurpunt Studie vzw

Coxiestraat 11, 2800 Mechelen

<https://www.natuurpunt.be>



TRENDS OP BASIS VAN DE ALGEMENE
BROEDVOGELMONITORING VLAANDEREN (ABV)

**Technisch achtergrondrapport voor de periode
2007-2023**

Thierry Onkelinx, Olivier Dochy, Glenn Vermeersch, Koen Devos

Samenvatting

Dit rapport publiceert de meest recente analyses op basis van het telwerk voor het project “Algemene Broedvogelmonitoring Vlaanderen” of kortweg ABV. Dit project is een gezamenlijk initiatief van het Instituut voor Natuur- en Bosonderzoek (INBO) en Natuurpunt Studie in samenwerking met de lokale vogelwerkgroepen. De samenwerking tussen deze organisaties staat garant voor een goede ondersteuning van en communicatie naar het vrijwilligersnetwerk door Natuurpunt Studie, en een degelijke professionele wetenschappelijke ondersteuning en dataverwerking door het INBO. Sinds 2016 maakt het integraal deel uit van het project Soortenmeetnetten, dat door INBO en Agentschap Natuur en Bos (ANB) wordt gefinancierd.

Het project werd opgestart in 2007 en heeft als doelstelling het beschrijven van aantalsontwikkelingen van een set van ca. 80 algemene broedvogelsoorten in Vlaanderen. Zowel jaarlijkse schommelingen als meerjarige trends zijn daarbij interessante resultaten in functie van lokaal, regionaal en internationaal beleid.

Dit rapport is bedoeld als een technisch achtergrondrapport. Het bestaat uit drie delen: het eerste deel beschrijft de methodiek van de verwerking en de weergave van de resultaten; het tweede deel geeft een aantal indicatoren gebaseerd op trends van meerdere soorten; het derde deel beschrijft de tijdreeks van individuele soorten. We beperken ons in delen twee en drie tot een gestandaardiseerde weergave van de meest relevante cijfers zonder ecologische interpretatie. Voor een ecologische interpretatie van de resultaten verwijzen we naar andere publicaties zoals [INBO Vogelnieuws](#).

English abstract

This report publishes the most recent analyses based on the census work carried out for the project “Common Breeding Bird Survey Flanders”. This project is a joint initiative of the Research Institute for Nature and Forest (INBO) and Natuurpunt Studie in cooperation with the local bird working groups. The cooperation between these organisations guarantees a good support of and communication to the volunteer network by Natuurpunt Studie, and solid professional scientific support and data processing by INBO. Since 2016, this monitoring scheme makes an integral part of the larger Soortenmeetnetten program that is financially supported by INBO and Agency Nature and Forest (ANB).

The project was started in 2007 and aims at describing the trend in numbers of a set of ca. 80 general breeding bird species in Flanders. Both annual fluctuations and multi-annual trends are interesting results in function of local, regional and international policy.

This report serves as a technical background report. It consists of three parts: the first part describes the methodology of processing and presenting the results; the second part presents a number of indicators based on trends of several types; the third part describes the time series of individual species. In parts two and three, we limit ourselves to a standardised representation of the most relevant analysis results without an ecological interpretation. For an ecological interpretation of the results we refer to other publications such as [INBO Vogelnieuws](#).

Inhoudsopgave

Samenvatting	1
English abstract	2
Inhoudsopgave	3
I Methodologie	13
1 Inzameling van de tellingen in het veld	14
1.1 Steekproef	14
1.2 Steekproefeenheid	16
1.3 Tellingen	16
2 Verwerking van de gegevens	17
2.1 Selectie van relevante gegevens per soort	17
2.2 Trendberekening	18
2.3 Gemiddeld aantal dieren per meetpunt	21
2.4 Vergelijken van jaren	21
2.5 Gewicht van de strata	22
2.6 Samengestelde indices	22
3 Voorstelling van de gegevens	24
3.1 Onzekerheid	24
3.2 Opdeling van de effecten in een aantal klassen	24
3.3 Overzicht van de lineaire trends	26
3.4 Evolutie van gemiddelde aantallen per soort	26
3.5 Paarsgewijze vergelijking van jaren	26
4 Reproduceerbaarheid en traceerbaarheid van de gegevensverwerking	28
4.1 Versiebeheer	28
4.2 Reproduceerbaarheid	28
4.3 Traceerbaarheid	28
4.4 Downloadbaar cijfermateriaal	29
II Indicatoren	30
5 Bos	31
6 Generalist	33
7 Landbouw	35
8 NARA2020	37
9 Standvogel	40
10 SubSaharaMigrant	42
11 Watervogel	44
III Resultaten per soort	46
12 Overzicht van de trends	47



13	Aalscholver	54
13.1	Analyse per jaar	54
13.2	Analyse per driejaarlijkse cyclus	55
13.3	Kenmerken van de gegevens	57
14	Bergeend	58
14.1	Analyse per jaar	58
14.2	Analyse per driejaarlijkse cyclus	59
14.3	Kenmerken van de gegevens	61
15	Blauwborst	62
15.1	Analyse per jaar	62
15.2	Analyse per driejaarlijkse cyclus	63
15.3	Kenmerken van de gegevens	65
16	Blauwe reiger	66
16.1	Analyse per jaar	66
16.2	Analyse per driejaarlijkse cyclus	67
16.3	Kenmerken van de gegevens	69
17	Boerenzwaluw	70
17.1	Analyse per jaar	70
17.2	Analyse per driejaarlijkse cyclus	71
17.3	Kenmerken van de gegevens	73
18	Bonte vliegenvanger	74
18.1	Analyse per jaar	74
18.2	Analyse per driejaarlijkse cyclus	75
18.3	Kenmerken van de gegevens	77
19	Boomklever	78
19.1	Analyse per jaar	78
19.2	Analyse per driejaarlijkse cyclus	79
19.3	Kenmerken van de gegevens	81
20	Boomkruiper	82
20.1	Analyse per jaar	82
20.2	Analyse per driejaarlijkse cyclus	83
20.3	Kenmerken van de gegevens	85
21	Boomleeuwerik	86
21.1	Analyse per jaar	86
21.2	Analyse per driejaarlijkse cyclus	87
21.3	Kenmerken van de gegevens	89
22	Boompieper	90
22.1	Analyse per jaar	90
22.2	Analyse per driejaarlijkse cyclus	91
22.3	Kenmerken van de gegevens	93
23	Bosrietzanger	94
23.1	Analyse per jaar	94
23.2	Analyse per driejaarlijkse cyclus	95
23.3	Kenmerken van de gegevens	97
24	Bruine kiekendief	98
24.1	Analyse per jaar	98
24.2	Analyse per driejaarlijkse cyclus	99



24.3	Kenmerken van de gegevens	101
25	Buizerd	102
25.1	Analyse per jaar	102
25.2	Analyse per driejaarlijkse cyclus	103
25.3	Kenmerken van de gegevens	105
26	Canadese gans	106
26.1	Analyse per jaar	106
26.2	Analyse per driejaarlijkse cyclus	107
26.3	Kenmerken van de gegevens	109
27	Cetti's zanger	110
27.1	Analyse per jaar	110
27.2	Analyse per driejaarlijkse cyclus	111
27.3	Kenmerken van de gegevens	113
28	Dodaars	114
28.1	Analyse per jaar	114
28.2	Analyse per driejaarlijkse cyclus	115
28.3	Kenmerken van de gegevens	117
29	Ekster	118
29.1	Analyse per jaar	118
29.2	Analyse per driejaarlijkse cyclus	119
29.3	Kenmerken van de gegevens	121
30	Fazant	122
30.1	Analyse per jaar	122
30.2	Analyse per driejaarlijkse cyclus	123
30.3	Kenmerken van de gegevens	125
31	Fitis	126
31.1	Analyse per jaar	126
31.2	Analyse per driejaarlijkse cyclus	127
31.3	Kenmerken van de gegevens	128
32	Fuut	131
32.1	Analyse per jaar	131
32.2	Analyse per driejaarlijkse cyclus	132
32.3	Kenmerken van de gegevens	133
33	Gaai	136
33.1	Analyse per jaar	136
33.2	Analyse per driejaarlijkse cyclus	137
33.3	Kenmerken van de gegevens	138
34	Geelgors	141
34.1	Analyse per jaar	141
34.2	Analyse per driejaarlijkse cyclus	142
34.3	Kenmerken van de gegevens	144
35	Gekraagde roodstaart	145
35.1	Analyse per jaar	145
35.2	Analyse per driejaarlijkse cyclus	146
35.3	Kenmerken van de gegevens	148
36	Gele kwikstaart	149
36.1	Analyse per jaar	149



36.2	Analyse per driejaarlijkse cyclus	150
36.3	Kenmerken van de gegevens	152
37	Gierzwaluw	153
37.1	Analyse per jaar	153
37.2	Analyse per driejaarlijkse cyclus	154
37.3	Kenmerken van de gegevens	156
38	Glanskop	157
38.1	Analyse per jaar	157
38.2	Analyse per driejaarlijkse cyclus	158
38.3	Kenmerken van de gegevens	160
39	Goudhaan	161
39.1	Analyse per jaar	161
39.2	Analyse per driejaarlijkse cyclus	162
39.3	Kenmerken van de gegevens	164
40	Grasmus	165
40.1	Analyse per jaar	165
40.2	Analyse per driejaarlijkse cyclus	166
40.3	Kenmerken van de gegevens	168
41	Graspieper	169
41.1	Analyse per jaar	169
41.2	Analyse per driejaarlijkse cyclus	170
41.3	Kenmerken van de gegevens	172
42	Grauwe gans	173
42.1	Analyse per jaar	173
42.2	Analyse per driejaarlijkse cyclus	174
42.3	Kenmerken van de gegevens	176
43	Groene specht	177
43.1	Analyse per jaar	177
43.2	Analyse per driejaarlijkse cyclus	178
43.3	Kenmerken van de gegevens	180
44	Groenling	181
44.1	Analyse per jaar	181
44.2	Analyse per driejaarlijkse cyclus	182
44.3	Kenmerken van de gegevens	184
45	Grote bonte specht	185
45.1	Analyse per jaar	185
45.2	Analyse per driejaarlijkse cyclus	186
45.3	Kenmerken van de gegevens	188
46	Grote lijster	189
46.1	Analyse per jaar	189
46.2	Analyse per driejaarlijkse cyclus	190
46.3	Kenmerken van de gegevens	192
47	Grutto	193
47.1	Analyse per jaar	193
47.2	Analyse per driejaarlijkse cyclus	194
47.3	Kenmerken van de gegevens	196
48	Halsbandparkiet	197

48.1	Analyse per jaar	197
48.2	Analyse per driejaarlijkse cyclus	198
48.3	Kenmerken van de gegevens	200
49	Havik	201
49.1	Analyse per jaar	201
49.2	Analyse per driejaarlijkse cyclus	202
49.3	Kenmerken van de gegevens	204
50	Heggenmus	205
50.1	Analyse per jaar	205
50.2	Analyse per driejaarlijkse cyclus	206
50.3	Kenmerken van de gegevens	208
51	Holenduif	209
51.1	Analyse per jaar	209
51.2	Analyse per driejaarlijkse cyclus	210
51.3	Kenmerken van de gegevens	212
52	Houtduif	213
52.1	Analyse per jaar	213
52.2	Analyse per driejaarlijkse cyclus	214
52.3	Kenmerken van de gegevens	216
53	Huismus	217
53.1	Analyse per jaar	217
53.2	Analyse per driejaarlijkse cyclus	218
53.3	Kenmerken van de gegevens	220
54	Huiszwaluw	221
54.1	Analyse per jaar	221
54.2	Analyse per driejaarlijkse cyclus	222
54.3	Kenmerken van de gegevens	224
55	Kauw	225
55.1	Analyse per jaar	225
55.2	Analyse per driejaarlijkse cyclus	226
55.3	Kenmerken van de gegevens	228
56	Kievit	229
56.1	Analyse per jaar	229
56.2	Analyse per driejaarlijkse cyclus	230
56.3	Kenmerken van de gegevens	232
57	Kleine karekiet	233
57.1	Analyse per jaar	233
57.2	Analyse per driejaarlijkse cyclus	234
57.3	Kenmerken van de gegevens	236
58	Kleine mantelmeeuw	237
58.1	Analyse per jaar	237
58.2	Analyse per driejaarlijkse cyclus	238
58.3	Kenmerken van de gegevens	240
59	Kneu	241
59.1	Analyse per jaar	241
59.2	Analyse per driejaarlijkse cyclus	242
59.3	Kenmerken van de gegevens	243



60	Knobbelzwaan	246
60.1	Analyse per jaar	246
60.2	Analyse per driejaarlijkse cyclus	247
60.3	Kenmerken van de gegevens	249
61	Koekoek	250
61.1	Analyse per jaar	250
61.2	Analyse per driejaarlijkse cyclus	251
61.3	Kenmerken van de gegevens	253
62	Kokmeeuw	254
62.1	Analyse per jaar	254
62.2	Analyse per driejaarlijkse cyclus	255
62.3	Kenmerken van de gegevens	257
63	Koolmees	258
63.1	Analyse per jaar	258
63.2	Analyse per driejaarlijkse cyclus	259
63.3	Kenmerken van de gegevens	261
64	Krakeend	262
64.1	Analyse per jaar	262
64.2	Analyse per driejaarlijkse cyclus	263
64.3	Kenmerken van de gegevens	265
65	Kuifeend	266
65.1	Analyse per jaar	266
65.2	Analyse per driejaarlijkse cyclus	267
65.3	Kenmerken van de gegevens	269
66	Kuifmees	270
66.1	Analyse per jaar	270
66.2	Analyse per driejaarlijkse cyclus	271
66.3	Kenmerken van de gegevens	273
67	Matkop	274
67.1	Analyse per jaar	274
67.2	Analyse per driejaarlijkse cyclus	275
67.3	Kenmerken van de gegevens	277
68	Meerkoet	278
68.1	Analyse per jaar	278
68.2	Analyse per driejaarlijkse cyclus	279
68.3	Kenmerken van de gegevens	281
69	Merel	282
69.1	Analyse per jaar	282
69.2	Analyse per driejaarlijkse cyclus	283
69.3	Kenmerken van de gegevens	285
70	Middelste Bonte Specht	286
70.1	Analyse per jaar	286
70.2	Analyse per driejaarlijkse cyclus	287
70.3	Kenmerken van de gegevens	289
71	Nachtegaal	290
71.1	Analyse per jaar	290
71.2	Analyse per driejaarlijkse cyclus	291



71.3	Kenmerken van de gegevens	293
72	Nijlgans	294
72.1	Analyse per jaar	294
72.2	Analyse per driejaarlijkse cyclus	295
72.3	Kenmerken van de gegevens	297
73	Patrijs	298
73.1	Analyse per jaar	298
73.2	Analyse per driejaarlijkse cyclus	299
73.3	Kenmerken van de gegevens	301
74	Pimpelmees	302
74.1	Analyse per jaar	302
74.2	Analyse per driejaarlijkse cyclus	303
74.3	Kenmerken van de gegevens	305
75	Putter	306
75.1	Analyse per jaar	306
75.2	Analyse per driejaarlijkse cyclus	307
75.3	Kenmerken van de gegevens	309
76	Rietgors	310
76.1	Analyse per jaar	310
76.2	Analyse per driejaarlijkse cyclus	311
76.3	Kenmerken van de gegevens	313
77	Rietzanger	314
77.1	Analyse per jaar	314
77.2	Analyse per driejaarlijkse cyclus	315
77.3	Kenmerken van de gegevens	317
78	Ringmus	318
78.1	Analyse per jaar	318
78.2	Analyse per driejaarlijkse cyclus	319
78.3	Kenmerken van de gegevens	321
79	Roek	322
79.1	Analyse per jaar	322
79.2	Analyse per driejaarlijkse cyclus	323
79.3	Kenmerken van de gegevens	324
80	Roodborst	326
80.1	Analyse per jaar	326
80.2	Analyse per driejaarlijkse cyclus	327
80.3	Kenmerken van de gegevens	329
81	Roodborsttapuit	330
81.1	Analyse per jaar	330
81.2	Analyse per driejaarlijkse cyclus	331
81.3	Kenmerken van de gegevens	333
82	Scholekster	334
82.1	Analyse per jaar	334
82.2	Analyse per driejaarlijkse cyclus	335
82.3	Kenmerken van de gegevens	337
83	Sperwer	338
83.1	Analyse per jaar	338



83.2	Analyse per driejaarlijkse cyclus	339
83.3	Kenmerken van de gegevens	341
84	Spotvogel	342
84.1	Analyse per jaar	342
84.2	Analyse per driejaarlijkse cyclus	343
84.3	Kenmerken van de gegevens	345
85	Spreeuw	346
85.1	Analyse per jaar	346
85.2	Analyse per driejaarlijkse cyclus	347
85.3	Kenmerken van de gegevens	349
86	Sprinkhaanzanger	350
86.1	Analyse per jaar	350
86.2	Analyse per driejaarlijkse cyclus	351
86.3	Kenmerken van de gegevens	353
87	Staatmees	354
87.1	Analyse per jaar	354
87.2	Analyse per driejaarlijkse cyclus	355
87.3	Kenmerken van de gegevens	357
88	Stadsduif	358
88.1	Analyse per jaar	358
88.2	Analyse per driejaarlijkse cyclus	359
88.3	Kenmerken van de gegevens	361
89	Tafeleend	362
89.1	Analyse per jaar	362
89.2	Analyse per driejaarlijkse cyclus	363
89.3	Kenmerken van de gegevens	365
90	Tjiftjaf	366
90.1	Analyse per jaar	366
90.2	Analyse per driejaarlijkse cyclus	367
90.3	Kenmerken van de gegevens	369
91	Torenavalk	370
91.1	Analyse per jaar	370
91.2	Analyse per driejaarlijkse cyclus	371
91.3	Kenmerken van de gegevens	373
92	Tuinfluiters	374
92.1	Analyse per jaar	374
92.2	Analyse per driejaarlijkse cyclus	375
92.3	Kenmerken van de gegevens	377
93	Turkse tortel	378
93.1	Analyse per jaar	378
93.2	Analyse per driejaarlijkse cyclus	379
93.3	Kenmerken van de gegevens	381
94	Veldleeuwerik	382
94.1	Analyse per jaar	382
94.2	Analyse per driejaarlijkse cyclus	383
94.3	Kenmerken van de gegevens	385
95	Vink	386



95.1	Analyse per jaar	386
95.2	Analyse per driejaarlijkse cyclus	387
95.3	Kenmerken van de gegevens	388
96	Waterhoen	391
96.1	Analyse per jaar	391
96.2	Analyse per driejaarlijkse cyclus	392
96.3	Kenmerken van de gegevens	394
97	Wielewaal	395
97.1	Analyse per jaar	395
97.2	Analyse per driejaarlijkse cyclus	396
97.3	Kenmerken van de gegevens	398
98	Wilde eend	399
98.1	Analyse per jaar	399
98.2	Analyse per driejaarlijkse cyclus	400
98.3	Kenmerken van de gegevens	402
99	Winterkoning	403
99.1	Analyse per jaar	403
99.2	Analyse per driejaarlijkse cyclus	404
99.3	Kenmerken van de gegevens	406
100	Witte kwikstaart	407
100.1	Analyse per jaar	407
100.2	Analyse per driejaarlijkse cyclus	408
100.3	Kenmerken van de gegevens	410
101	Wulp	411
101.1	Analyse per jaar	411
101.2	Analyse per driejaarlijkse cyclus	412
101.3	Kenmerken van de gegevens	414
102	Zanglijster	415
102.1	Analyse per jaar	415
102.2	Analyse per driejaarlijkse cyclus	416
102.3	Kenmerken van de gegevens	418
103	Zilvermeeuw	419
103.1	Analyse per jaar	419
103.2	Analyse per driejaarlijkse cyclus	420
103.3	Kenmerken van de gegevens	422
104	Zwarte kraai	423
104.1	Analyse per jaar	423
104.2	Analyse per driejaarlijkse cyclus	424
104.3	Kenmerken van de gegevens	426
105	Zwarte mees	427
105.1	Analyse per jaar	427
105.2	Analyse per driejaarlijkse cyclus	428
105.3	Kenmerken van de gegevens	430
106	Zwarte roodstaart	431
106.1	Analyse per jaar	431
106.2	Analyse per driejaarlijkse cyclus	432
106.3	Kenmerken van de gegevens	434



107	Zwarte specht	435
107.1	Analyse per jaar	435
107.2	Analyse per driejaarlijkse cyclus	436
107.3	Kenmerken van de gegevens	438
108	Zwartkop	439
108.1	Analyse per jaar	439
108.2	Analyse per driejaarlijkse cyclus	440
108.3	Kenmerken van de gegevens	442
	Referenties	443

Deel I

METHODOLOGIE



1 INZAMELING VAN DE TELLINGEN IN HET VELD

Hier beschrijven we beknopt het veldwerk, voor de details verwijzen we naar Vermeersch *et al.* (2018b).

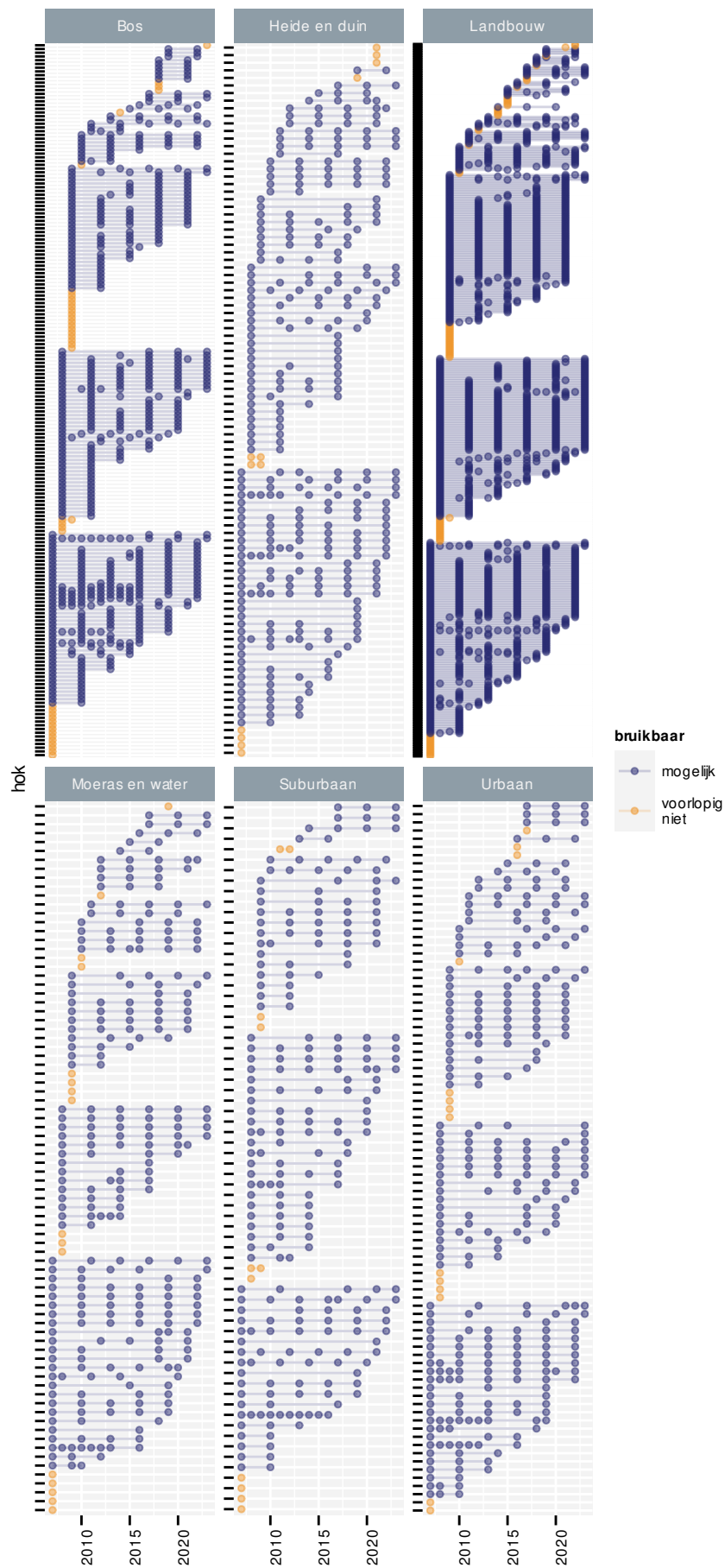
1.1 STEEKPROEF

De UTM 1 x 1 km hokken vormen de basis waaruit de steekproef getrokken is. Bij de start van het meetnet hebben we de hokken opgedeeld in een aantal strata. De regels zijn gebaseerd op het oppervlaktaandeel van een bepaald landgebruik op basis van de Biologische Waarderingkaart (Vriens *et al.*, 2011).

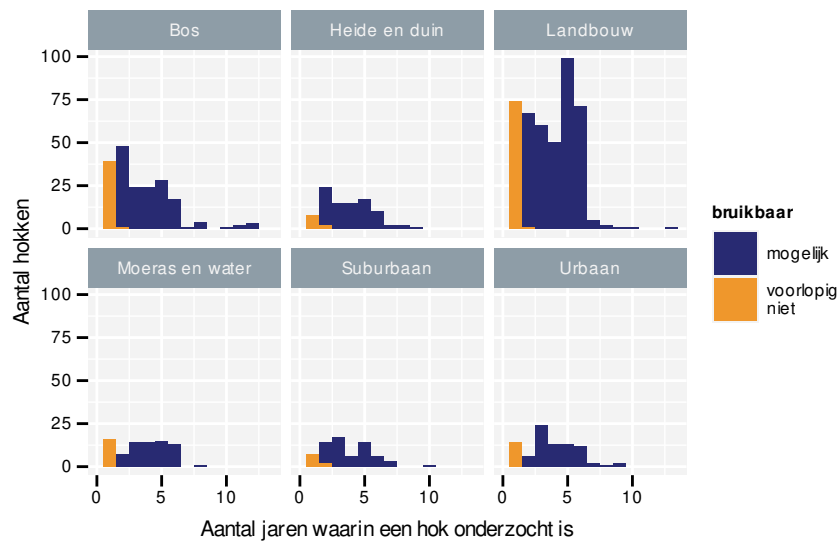
1. Landbouw: minstens 80% landbouw. 6311 hokken.
2. Urbaan: minstens 80% urbaan. 416 hokken.
3. Bos: minstens 80% bos. 319 hokken.
4. Suburbaan: minstens 80% suburbaan. 201 hokken.
5. Heide en duin: minstens 20% heide of duin. 199 hokken.
6. Moeras en water: minstens 20% moeras en water. 137 hokken.

Uit deze set trekken we een aselechte, gestratificeerde steekproef van 1200 hokken waarbij zeldzamere habitats overbemonsterd worden. We streven er naar om jaarlijks 300 hokken te bemonsteren in een driejarige rotatie. De waarnemers mochten in het eerste jaar 300 hokken kiezen uit de set van 1200. Deze set van hokken komen in principe opnieuw aan bod in jaren 4, 7, 10, ... In jaar 2 kiezen ze 300 hokken uit de overgebleven 900 hokken. Deze set komt opnieuw aan bod in jaren 5, 8, 11, ... Tenslotte kiezen de waarnemers in het derde jaar een laatste set van 300 hokken uit de laatste 900 hokken. Deze set hokken bemonsteren we in de jaren 3, 6, 9, 12, ...

Figuur 1.1 geeft de effectieve monitoringsinspanning weer. In deze figuur hebben we de hokken gesorteerd volgens 1) het eerste jaar met gegevens, 2) het laatste jaar met gegevens, 3) het tweede jaar met gegevens, 4) het derde jaar met gegevens, ... Hierdoor staan hokken met een meer gelijkende onderzoeksgeschiedenis dicht bij elkaar. Merk op dat de driejarige cyclus voor de meest hokken wordt gerespecteerd. Voor sommige hokken is de inspanning variabel, soms frequenter dan om de drie jaar, soms zit er meer tijd tussen. Sommige hokken werden slechts in een of twee jaar onderzocht (fig. 1.2). Voor het onderscheid tussen mogelijk bruikbaar en voorlopig niet bruikbaar verwijzen we naar §2.1.



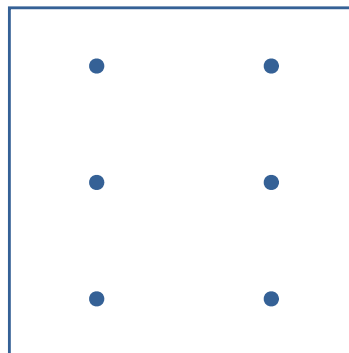
Figuur 1.1: Overzicht van de effectieve monitoringsinspanning. Elk punt is een hok dat onderzocht is in een bepaald jaar. De horizontale lijnen verbinden het eerste en meest recente bezoek aan eenzelfde hok.



Figuur 1.2: Histogram van het aantal jaren waarin een hok onderzocht is opgesplitst per stratum.

1.2 STEEKPROEFEENHEID

De steekproefeenheid bestaat uit een hok van 1 x 1 km. Binnen dit hok worden zes punten vastgelegd in een vaste patroon (fig. 1.3). Indien de punten in de praktijk niet bereikbaar zijn, mag de waarnemer ze verplaatsen naar het dichtstbijzijnde bereikbare punt. De waarnemer documenteert deze wijziging zodat we in de toekomst steeds op dezelfde punten blijven waarnemen.



Figuur 1.3: Standaardlocatie van meetpunten binnen een km hok.

1.3 TELLINGEN

In het jaar dat we een hok bemonsteren zal de waarnemer het hok in drie periodes bezoeken: 1 maart - 15 april, 16 april - 31 mei, 1 juni - 15 juli. Tussen twee opeenvolgende bezoeken moet er minstens twee weken liggen. Alle meetpunten van een hok worden op dezelfde dag onderzocht tussen zonsopgang en 4 uur na zonsopgang. Op elk meetpunt telt de waarnemer gedurende 5 minuten het aantal volwassen vogels per soort. Overvliegende groepen vogels worden hierbij niet meegeteld.

2 VERWERKING VAN DE GEGEVENS

2.1 SELECTIE VAN RELEVANTE GEGEVENS PER SOORT

Hoewel we alle waargenomen vogelsoorten op een meetpunt noteren, toch zijn niet alle hokken even relevant voor een bepaalde soort. Om de redenering op te bouwen, beschouwen we een fictieve soort die enkel op een afgelegen eiland voorkomt. Alle vogeltellingen buiten dit eiland zijn uiteraard niet informatief voor wijzigingen in de aantallen van deze fictieve soort. Buiten het eiland zullen de getelde aantallen immers per definitie nul zijn. Wanneer we deze tellingen toch zouden in rekening brengen, dan zullen ze de globale trend afvlakken. De globale trend is min of meer equivalent met een “gemiddelde” trend over de verschillende locaties. Als een locatie steeds nul geeft, dan zijn lokaal de aantallen wiskundig “stabiel” (geen lokale trend). Daarom is het noodzakelijk om de locaties die niet relevant zijn voor een soort buiten beschouwing te houden.

In Vlaanderen is de situatie niet zo zwart-wit als bij het voorbeeld met het afgelegen eiland. Daarom hebben we nood aan een set regels die we toepassen op de beschikbare gegevens.

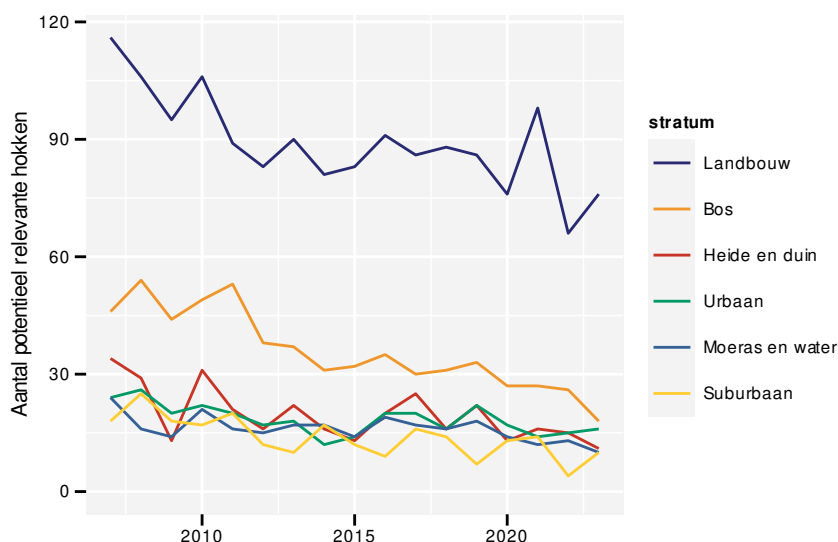
1. We beschouwen een hok als relevant voor een soort wanneer we deze soort tijdens minstens twee verschillende driejarige cycli waarnemen. Op deze manier sluiten we hokken uit waar de soort nooit of slechts toevallig waargenomen is. Hokken die slechts binnen één driejarige cyclus onderzocht zijn, kunnen we hierdoor voorlopig niet gebruiken. Figuur 2.1 geeft een overzicht van het aantal hokken die gedurende minstens twee cycli onderzocht zijn.
2. Binnen een hok is een meetpunt pas relevant wanneer we de soort er minstens eenmaal waarnemen.
3. Een stratum is relevant voor een soort wanneer het minstens drie relevante hokken bevat.
4. Op basis van de overblijvende gegevens berekenen we het (meetkundig¹) gemiddelde van de aantallen in elk van de drie perioden. De periode met het hoogste gemiddelde gebruiken we als referentieperiode. We houden enkel de periodes waarbij het gemiddelde minstens 15% van de referentieperiode bedraagt. Op deze manier sluiten we periodes uit waarbij de soort zelden gezien wordt. Bijvoorbeeld een trekvogel die pas in de loop van de tweede periode toekomt en waarvoor de eerste periode bijgevolg niet relevant is.
5. We passen de regels voor relevante hokken en strata opnieuw toe. Het negeren van een of twee irrelevante periodes kan er voor zorgen dat een hok niet langer relevant is.

using more than 4 colours might make the plot hard to read

Na het toepassen van deze regels gaan we na of we minstens 100 waarnemingen van de soort hebben. Hierbij is een waarneming de telling van minstens één dier in een combinatie van jaar, periode, hok en meetpunt. Stel dat we een soort hebben waarbij we de drie periodes weerhouden en de waarnemer ziet de soort op elk van de zes meetpunten tijdens alle periodes van een bepaald jaar, dan hebben we $3 \times 6 = 18$ waarnemingen voor dat hok in dat jaar.

¹Het meetkundig gemiddelde of geometrisch gemiddelde van n getallen wordt verkregen door de getallen met elkaar te vermenigvuldigen en vervolgens van het product de n^{de} machtswortel te nemen.

$$m = \left(\prod_{i=1}^n a_i \right)^{1/n}$$



Figuur 2.1: Aantal onderzochte hokken per stratum en per jaar waarbij we enkel rekening houden met hokken die in minstens twee verschillende driejarige cycli onderzocht zijn.

Als we minder dan 100 waarnemingen voorhouden voor een soort, dan stopt voorlopig het verhaal voor deze soort. We hebben dan te weinig waarnemingen voor een betrouwbare trendberekening. Dit wil niet zeggen dat we deze soort permanent afschrijven! Wanneer we deze regels in de toekomst opnieuw toepassen hebben we mogelijk wel voldoende waarnemingen. Ook hokken of strata in de toekomst gekoloniseerd worden, worden dan opgepikt.

2.2 TRENDBEREKENING

2.2.1 Niet-lineaire trends

Om de trends te berekenen, voorspellen we de waargenomen aantallen aan de hand van een statistisch model. $Y_{jpsh m}$ is de voorspelling voor jaar j , periode p , stratum s , hok h en meetpunt m . Veronderstellen dat deze aantallen uit een zero-inflated negative binomial² verdeling komen met parameters $\mu_{jpsh m}$, ν en π .

$$Y_{jpsh m} \sim ZINB(\mu_{jpsh m}, \nu, \pi)$$

Laat ons eerst focussen op $\mu_{jpsh m}$. Deze parameter is via een log link gerelateerd aan de lineaire predictor $\eta_{jpsh m}$. Door deze log link kunnen we de individuele termen van de lineaire predictor interpreteren als relatieve effecten.

$$\log \mu_{jpsh m} = \eta_{jpsh m}$$

En nu wordt het interessant want deze lineaire predictor hangt af van vijf termen:

- β_s : het effect van stratum s .
- β_p : het verschil tussen periode p en de referentieperiode.
- b_h : het effect van hok h . Deze effecten komen uit een Gaussiaanse verdeling met gemiddelde 0 en variantie σ_h^2 .

²Een negatief binomiale verdeling met een overmaat aan nullen.

- b_m : het effect van meetpunt m . Deze effecten komen uit een Gaussiaanse verdeling met gemiddelde 0 en variantie σ_m^2 .
- $b_{j,s}$: het effect van jaar j in stratum s . Dit effect modelleert een eerste orde random walk per stratum. Het verschil tussen twee opeenvolgende jaren komt uit een Gaussiaanse verdeling met gemiddelde 0 en variantie σ_j^2 .

$$\eta_{jps hm} = \beta_s + \beta_p + b_h + b_m + b_{j,s}$$

$$b_h \sim \mathcal{N}(0, \sigma_h^2)$$

$$b_m \sim \mathcal{N}(0, \sigma_m^2)$$

$$b_{j,s} - b_{j-1,s} = \Delta b_{j,s} \sim \mathcal{N}(0, \sigma_j^2)$$

De random walk $b_{j,s}$ is de term die ons het meest interesseert aangezien deze modelleert hoe de aantallen in de tijd wijzigen. Het komt er op neer dat de aantallen in jaar j en stratum s een factor $e^{\Delta b_{j,s}}$ verschillen van het voorgaande jaar in datzelfde stratum. De variantie σ_j^2 bepaalt hoe groot de sterkste schommelingen tussen de opeenvolgende jaren kunnen zijn. Het model laat toe dat elk stratum zijn eigen trend heeft.

2.2.2 Statistische verdelingen

Een standaard distributie voor aantallen is de Poisson verdeling. Deze heeft als kenmerk dat de variantie gelijk is aan het gemiddelde ($\sigma^2 = \mu$). Bij veel ecologisch gegevens zien we dat de variantie in de praktijk groter is dan het gemiddelde, een fenomeen dat we overdispersie noemen. In dat geval kunnen we een negatief binomiale verdeling gebruiken. Deze heeft als variantie $\sigma^2 = \mu + \mu^2/\nu$, waarbij de parameter ν is een maat voor overdispersie. Merk op dat als de overdispersieparameter zeer groot wordt ($\nu = \infty$), dan wordt de term $\mu/\nu = 0$ en bijgevolg reduceert de negatief binomiale verdeling dan tot een Poisson verdeling.

Sommige ecologische gegevens vertonen een ‘‘overmaat’’ aan nullen, dat zijn meer nulwaarnemingen dan de Poisson of negatief binomiale verdeling kan modelleren. In dergelijke gevallen kunnen we overschakelen naar de zero-inflated versie van deze verdelingen. Deze hebben een parameter π die een maat is voor de kans op een overmatige nul.

Bij het modelleren zullen we in eerste instantie deze twee parameters instellen op $\nu = \infty$ en $\pi = 0$, m.a.w. geen overdispersie en geen overmaat aan nullen zodat we een Poisson verdeling krijgen. Vervolgens gaan we na of er voldoende aanwijzingen zijn voor overdispersie of een overmaat aan nullen. In het geval van overdispersie laten we ν door het model schatten waardoor we overgaan van een Poisson naar een negatief binomiaal. In het geval van een overmaat aan nullen laten we π door het model schatten waardoor we overgaan van een Poisson naar een zero-inflated Poisson. Soms hebben we zowel aanwijzingen voor overdispersie als een overmaat aan nullen. In die gevallen kiezen we de negatief binomiaal of zero-inflated Poisson naargelang welke de sterkste aanwijzingen heeft. Vervolgens gaan we na of we de andere parameter ook nog een probleem vormt. Zo ja, gaan we over naar een zero-inflated negatief binomiaal waarbij het model zowel ν als π zal schatten.

2.2.3 Lineaire trends

Lineaire trends veronderstellen dat er een constante wijziging is over de volledige looptijd. Het model dat we hiervoor gebruiken is nagenoeg identiek aan het niet-lineaire model. Het enige verschil zit in de lineaire predictor waar we de first order random walk ($b_{j,s}$) vervangen door een lineaire trend per stratum (β_{s1j}).

$$\eta_{jps hm} = \beta_s + \beta_p + b_h + b_m + \beta_{s1j}$$

Het lineaire model is een vereenvoudiging van het niet-lineaire model. We kunnen deze modellen met elkaar vergelijken op basis van het Wantanabe-Akaike Information Criterion (WAIC) (Gelman *et al.*, 2014). De WAIC waarde daalt naarmate het model de gegevens beter kan beschrijven en stijgt wanneer het model complexer wordt. Als we modellen met elkaar vergelijken op basis van WAIC, zal het model met de laagste WAIC de beste mix zijn tussen een goede beschrijving van de gegevens en een zo eenvoudig mogelijk model. We beschouwen de trend als **lineair** wanneer het lineaire model de laagste WAIC heeft. Wanneer de WAIC van het niet-lineaire model minder dan 2 eenheden lager is dan deze van het lineaire model, beschouwen de trend als **mogelijk niet-lineair**. Pas wanneer de WAIC van het niet-lineaire model duidelijk lager is dan het lineaire model, stellen we dat de trend **niet-lineair** is. In dat geval de gebruiker moet de gerapporteerde lineaire trend met de nodige voorzichtigheid interpreteren. Kijk zeker naar de bijhorende niet-lineaire trend vooraleer de cijfers te interpreteren.

2.2.4 Resultaten per driejarige cyclus

Zoals aangegeven in §1.1 zullen we een bepaald hok in principe om de drie jaar herbezoeken. Hierdoor krijgen we drie sets van hokken. Er bestaat een kans dat de schatting voor een bepaald jaar beïnvloed is door de set van hokken die in dat jaar onderzocht worden. Om dit effect uit te schakelen, analyseren we de gegevens tevens op basis van de driejarige cyclus c i.p.v. jaar j .

De eerste cyclus omvat de eerste drie jaar sinds de start van het meetnet (2007-2009). De volgende cyclus omvat telkens de volgende drie jaar aansluitend op de vorige cyclus. Aangezien we alle beschikbare gegevens gebruiken bij de analyse bevat de laatste cyclus mogelijk minder dan drie jaar. Dit is duidelijk zichtbaar doordat het laatste jaar van de cyclus op dat ogenblik in de toekomst ligt. Als bijvoorbeeld 2019 het meest recente jaar met gegevens is, dan is de laatste cyclus 2019-2021.

Hieronder geven we aan op welke manier we de eerste beschreven modellen aanpassen.

$$Y_{cpshm} \sim ZINB(\mu_{cpshm}, \nu, \pi)$$

$$\log \mu_{cpshm} = \eta_{cpshm}$$

Niet-lineaire trend

$$\eta_{cpshm} = \beta_s + \beta_p + b_h + b_m + b_{c,s}$$

$$b_{c,s} - b_{c-1,s} = \Delta b_{c,s} \sim \mathcal{N}(0, \sigma_c^2)$$

$b_{c,s}$: het effect van driejarige cyclus c in stratum s . Dit effect modelleert een eerste orde random walk per stratum. Het verschil tussen twee opeenvolgende driejarige cycli komt uit een Gaussiaanse verdeling met gemiddelde 0 en variantie σ_c^2 .

Lineaire trend

$$\eta_{cpshm} = \beta_s + \beta_p + b_h + b_m + \beta_{s1}c$$

2.2.5 Modellen fitten

We fitten de statische modellen in R (R Core Team, 2024) met het INLA package (Rue *et al.*, 2009). INLA gebruikt een Bayesiaanse benadering om de modellen te fitten. Daarom moeten we priors specificeren voor de parameters en hyperparameters.

- β_s, β_p en β_{s1} krijgen een Gaussiaanse prior $\mathcal{N}(0, 5)$.
- σ_h^2 krijgt een penalised complexity prior (Simpson *et al.*, 2017) zodat $Prob(\sigma_h > 1) = 0.01$.

- σ_m^2 krijgt een penalised complexity prior zodat $Prob(\sigma_m > 1) = 0.01$.
- σ_j^2 krijgt een penalised complexity prior zodat $Prob(\sigma_j > 0.5) = 0.01$.
- σ_c^2 krijgt een penalised complexity prior zodat $Prob(\sigma_c > 0.5) = 0.01$.
- ν krijgt een Gamma prior zodat $\nu \sim \Gamma(1/7, 1/7)$.
- π wordt intern geparametriseerd als $\theta = \log \frac{\pi}{1-\pi}$ met Gaussiaanse prior $\theta \sim \mathcal{N}(-1, 5)$.

2.3 GEMIDDELD AANTAL DIEREN PER MEETPUNT

Een gemiddeld hok heeft als effect $b_h = 0$ en een gemiddeld meetpunt $b_m = 0$. In de referentieperiode is $\beta_p = 0$. In deze gevallen vereenvoudigt de lineaire predictor tot het effect van stratum s en de trend in dat stratum:

$$\eta_{js} = \beta_s + b_{j,s}$$

Door de effecten van de strata te vermenigvuldigen met hun stratumgewicht (γ_s) krijgen we een schatting voor Vlaanderen.

$$\eta_j = \sum_s (\gamma_s \beta_s + \gamma_s b_{j,s})$$

Om de schatting van het gemiddelde aantal in Vlaanderen te krijgen, moeten we de lineaire predictor terug omzetten van de log schaal naar de natuurlijke schaal en corrigeren voor de eventuele overmaat aan nullen. We krijgen dan:

$$E[Y_j] = (1 - \pi) e^{\eta_j} \prod_s (e^{\gamma_s \beta_s} e^{\gamma_s b_{j,s}})$$

2.4 VERGELIJKEN VAN JAREN

We kunnen twee jaren a en b met elkaar vergelijken door hun lineaire predictoren voor het gemiddeld aantal dieren van elkaar af te trekken.

$$\eta_a - \eta_b = \sum_s (\gamma_s \beta_s + \gamma_s b_{a,s}) - \sum_s (\gamma_s \beta_s + \gamma_s b_{b,s})$$

Aangezien het globale stratumeffecten en de stratumgewichten niet wijzigen in de tijd, kunnen we dit vereenvoudigen tot

$$\eta_a - \eta_b = \sum_s \gamma_s (b_{a,s} - b_{b,s})$$

De wijziging in Vlaanderen is het gewogen gemiddelde van de wijzigingen in de strata. Na omzetting van de log schaal naar de natuurlijke schaal krijgen we het relatieve aantal $I_{a|b}$ van jaar a t.o.v. jaar b

$$I_{a|b} = \frac{e^{\nu_a}}{e^{\nu_b}} = \prod_s \left(\frac{e^{\gamma_s b_{a,s}}}{e^{\gamma_s b_{b,s}}} \right)$$

Wanneer we een jaar met zichzelf vergelijken krijgen we per definitie $I_{a|a} = 1 = 100\%$. Wanneer we meerdere jaren met eenzelfde referentiejaar vergelijken krijgen we een indexwaarde: het relatieve verschil van elk jaar t.o.v. van een bepaald referentiejaar.



2.5 GEWICHT VAN DE STRATA

In het vorige onderdeel hebben gebruikt gemaakt van stratumgewichten γ_s zonder deze te definiëren. We bepalen het gewicht van een stratum op basis van drie kenmerken: het totaal aantal hokken van het stratum in Vlaanderen (N_s), het aantal onderzochte hokken in het stratum (T_s) ongeacht of ze al dan niet relevant zijn voor de soort en het aantal relevante hokken voor de soort in het stratum (R_s).

Het aandeel relevante hokken per stratum (R_s/T_s) is een goede maat van de frequentie waarmee een soort aanwezig is binnen een stratum. Wanneer een soort in nagenoeg alle onderzochte hokken van het stratum waargenomen wordt is $R_s/T_s \simeq 1$. Is de soort zeer zeldzaam (komt slechts in een paar van de onderzochte hokken voor) dan is $R_s/T_s \simeq 0$.

Het basisgewicht γ_{sb} voor stratum s is het aandeel relevante hokken vermenigvuldigd met het totaal aantal hokken in het stratum. Dit is een schatting van het totaal aantal hokken in het stratum waar de soort voldoende frequent voorkomt.

$$\gamma_{sb} = \frac{R_s}{T_s} N_s$$

Om makkelijker te kunnen rekenen delen we de basisgewichten door hun som zodat de stratumgewichten sommeren tot 1.

$$\gamma_s = \frac{\gamma_{sb}}{\sum_s \gamma_{sb}}$$

Merk op dat het aantal relevante hokken per stratum (R_s) soortafhankelijk is. Bijgevolg zijn de stratumgewichten eveneens soortafhankelijk.

2.6 SAMENGESTELDE INDICES

We berekenen een aantal samengestelde indices die de trends voor een groep van soorten aggregeren. Deze indices zijn het meetkundig gemiddelde van de verschillen tussen jaren voor alle soorten van de groep. Bij de berekening maken we gebruik van het trucje dat we een product kunnen schrijven als een som van logaritmes die we nadien terug exponentiëren. Een meetkundig gemiddelde in de natuurlijke schaal kunnen we dat schrijven als een rekenkundig gemiddelde in de log-schaal.

$$\sqrt[n]{\prod_{i=1}^n a_i} = \exp\left(\frac{\sum_{i=1}^n \log a_i}{n}\right)$$

Het voordeel aan deze techniek is dat de schattingen van de paarsgewijze verschillen tussen de jaren reeds beschikbaar zijn in de log-schaal. Bovendien beschikken we tevens over hun variantie in de log-schaal. Dit laat ons toe om makkelijk het betrouwbaarheidsinterval te berekenen aan de hand van een paar vuistregels.

1. Bij onafhankelijke variabelen geldt dat de variantie van hun som gelijk is aan de som van de varianties. $\sigma_{\sum X_i}^2 = \sum \sigma_{X_i}^2$
2. De variantie van het product van een variabele en een constante is gelijk aan de variantie van de variabele vermenigvuldigd met die constante. $\sigma_{aX}^2 = a\sigma_X^2$
3. Het model veronderstelt dat de individuele modelparameters een Gaussiaanse verdeling volgen. Hierdoor volgen de paarsgewijze verschillen tussen de jaren en hun gemiddelde (telkens in de log-schaal) een Gaussiaanse verdeling. Aangezien we zowel het gemiddeld als de variantie van deze verdeling kennen, kunnen we hieruit de gewenste kwantielen voor de betrouwbaarheidsintervallen berekenen (nog steeds in de log-schaal).

4. De log-transformatie is een monotoon stijgende functie aangezien $\log(x)$ steeds groter wordt wanneer x groter wordt. Een kenmerk van een monotoon stijgende transformatie is dat ze de volgorde behouden: het 5% kleinste element zal ook na de transformatie het 5% kleinste element zijn. Waar- door we de kwantielen van de betrouwbaarheidsintervallen zonder probleem kunnen terugrekenen naar de natuurlijke schaal.

3 VOORSTELLING VAN DE GEGEVENS

3.1 ONZEKERHEID

Alle resultaten zijn gebaseerd op een steekproef en op de waarnemingen zit onvermijdelijk een zekere meetfout. Vandaar dat we bij de puntschattingen tevens een betrouwbaarheidsinterval weergeven. In de tekst gebruiken we het 90% (5%; 95%) interval waarbij er 5% kans is dat de werkelijke waarde kleiner is dan de ondergrens en 5% dat ze groter is dan de bovengrens. Het 90% interval is iets smaller dan het traditionele 95% (2.5%; 97.5%) interval. Door een smaller interval te kiezen zullen we sneller uitspraken kunnen doen, waardoor de kans kleiner wordt dat we ten onrechte stellen dat er geen effect is. De prijs die we hiervoor betalen is dat de kans dat we ten onrechte stellen dat er een significant effect is, stijgt van 5% naar 10%. De doelstelling van de algemene broedvogelmonitoring is zo spoedig mogelijk detecteren wanneer er iets aan de hand is de broedvogels. Vanuit dat oogpunt is het vermijden van vals negatieve signalen (ten onrechte stellen dat er niets aan de hand is) belangrijker dan het vermijden van vals positieve signalen (ten onrechte stellen dat er iets aan de hand is).

Wanneer we het interval op een figuur (bijvoorbeeld fig. 3.1) weergeven, vullen we het 90% interval aan met de smallere intervallen in stappen van 5%. Britton *et al.* (1998) waren de inspiratie voor deze manier van weergeven. Het donkerste deel van het interval komt overeen met het 5% interval en geeft de meeste waarschijnlijke locatie van de werkelijke waarde weer. Naarmate het interval lichter wordt, neemt de onzekerheid toe.

3.2 OPDELING VAN DE EFFECTEN IN EEN AANTAL KLASSEN

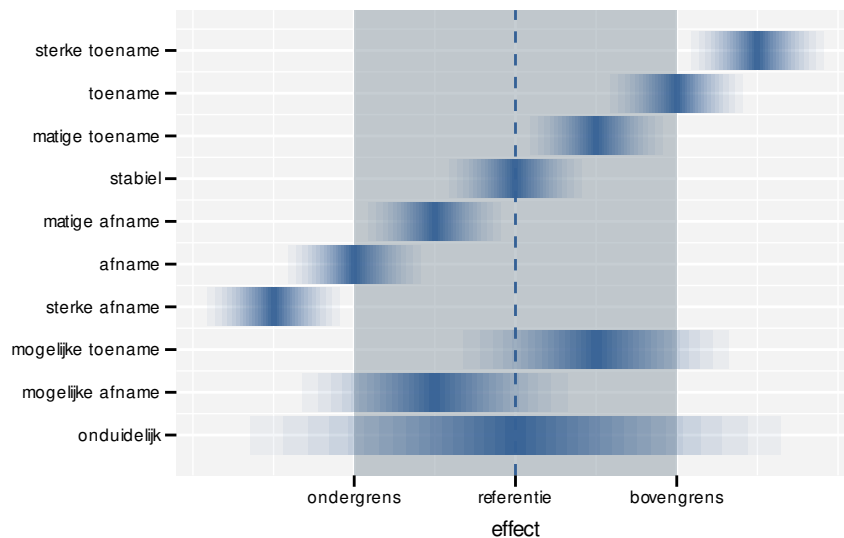
Bij het niet-lineaire model berekenen we alle paarsgewijze relatieve verschillen tussen de verschillende jaren. Bij het lineaire model hebben we de gemiddelde jaarlijkse relatieve verandering. Deze laatste rekenen we tevens om naar de totale wijziging over de looptijd van het meetnet omdat dit eenvoudiger te interpreteren is. Vergelijk een daling met -5% per jaar of een daling met -50% over 15 jaar. Deze laatste klinkt dramatischer door het grotere cijfer, terwijl -5% per jaar overeenkomt met -54% over 15 jaar. De totale wijziging over de looptijd van het lineaire model is tevens vergelijkbaar met de wijziging tussen het eerste en laatste jaar van het niet-lineaire model.

Om de interpretatie makkelijker te maken, delen we de wijzigingen op in tien klassen door hun 90% interval te vergelijken met een referentie, ondergrens en bovengrens. Een effect is significant wanneer de referentie buiten het 90% interval ligt. We spreken over een **toename (afname)** als het interval volledig boven (onder) de referentie ligt. Niet significante effect is ook informatief wanneer het bijhorende interval voldoende smal is. Bijvoorbeeld als het interval volledig tussen de ondergrens en bovengrens ligt. In dat geval kunnen we stellen dat het effect niet significant en klein is, het immers zeker minder sterk dan de ondergrens en minder sterk dan de bovengrens. Dergelijk effect krijgt de naam **stabiel**. Heeft het effect een breed interval dat zowel de boven- als ondergrens bevat, spreken we over een **onduidelijk** effect. Daarnaast is er nog de mogelijkheid dat het interval zowel de bovengrens (ondergrens) als de referentie bevat maar niet de ondergrens (bovengrens). Dan spreken we over een **mogelijke toename (mogelijke afname)**. We kunnen de boven- en ondergrens eveneens gebruiken om een verder onderscheid te maken binnen de significante effecten. Een interval volledig boven (onder) de bovengrens (ondergrens) wordt dan een **sterke toename (sterke afname)**. Een interval volledig tussen de referentie en de de bovengrens (ondergrens) wordt dan een **matige toename (matige afname)**. Een interval dat de referentie niet bevat maar wel de

bovengrens (ondergrens) blijft een **toename** (**afname**). Merk op dat de indeling volledig gebaseerd is op de onzekerheid rond het effect en niet op de puntschatting van het effect zelf. We vatten de opdeling met bijhorende afkortingen en regels samen in tabel 3.1. Figuur 3.1 geeft een grafische voorstelling waarbij we de afkortingen in combinatie met aangepaste symbolen gebruiken. De afkortingen zelf zijn te fijn om als symbool te gebruiken.

Tabel 3.1: Overzicht van de benamingen van de tien effectklassen met hun afkorting en de regels. *R*: referentie, *L*: ondergrens, *B*: bovengrens, *l*: ondergrens van het 90% interval, *b*: bovengrens van het 90% interval. $L < R < B$ en $l < b$.

benaming	afkorting	regels
sterke toename	++	$B < l$
toename	+	$R < l < B$ en $B < b$
matige toename	+~	$R < l < B$ en $b < B$
stabiel	~	$L < l < R$ en $R < b < B$
matige afname	--	$L < l < R$ en $b < R$
afname	-	$l < L$ en $L < b < R$
sterke afname	--	$l < L$
mogelijke toename	?+	$L < l < R$ en $B < b$
mogelijke afname	?-	$l < L$ en $R < b < B$
onduidelijk	?	$l < L$ en $B < b$



Figuur 3.1: Voorbeeld van de tien mogelijke interpretaties van een effect door het 90% interval te vergelijken met een referentie, ondergrens en bovengrens.

Uiteraard hangt de opdeling sterk af van de keuze van de boven- en ondergrens. De soortenmeetnetten voor de Natura 2000 monitoring streven er naar om een daling in populatiegrootte met -25% over 25 jaar tijd vast te kunnen stellen. Hierbij wordt een wijziging in de populatiegrootte van -25% als belangrijk aanzien. Daarom hanteren we voor de algemene broedvogelmonitoring ook -25% als ondergrens, zowel bij de paarsgewijze verschillen tussen de jaren als de lineaire wijziging over de looptijd van het meetnet. Een van daling van -25% komt overeen met aantallen die nog drie kwart van de Ausgangssituatie bedragen. Een even sterke wijziging in de omgekeerde richting zorgt er voor dat de aantallen toenemen tot vier derde van de Ausgangssituatie, of een toename met +33% wat we als bovengrens gebruiken.

Bij de samengestelde indices hebben we aangepaste grenswaarden nodig. Veronderstel een samengestelde index op basis van n soorten. We berekenen het rekenkundig gemiddelde in de log-schaal, dan is de variantie van dit gemiddelde een factor n kleiner dan de som van de varianties. De breedte van een betrouwbaarheidsinterval hangt samen met de standaard afwijking, wat de vierkantswortel van de variantie is. Hierdoor zullen de breedtes van de betrouwbaarheidsintervallen van de samengestelde index een factor \sqrt{n} kleiner zijn. Vandaar dat we de grenswaarden van de indices tevens aanpassen door ze met een factor \sqrt{n} te verkleinen. Elke samengestelde index heeft zijn eigen soortenlijst met een variabele aantal soorten. Daarom zullen we bij elke samengestelde index zijn aangepaste grenswaarden vermelden.

3.3 OVERZICHT VAN DE LINEAIRE TRENDS

Tabellen 12.1 en 12.2 geven een overzicht van de lineaire trends voor elke soort. We hebben de trends gesorteerd volgens opdeling van de klassen en binnen de klasse volgens puntschatting van de trend. Hierdoor start de tabel met de soorten met de sterkste positieve trends. Bij de volgende soorten zal de trend minder sterk worden tot we aan de soorten met een stabiele trend komen. Daarna volgen de soorten met een negatieve trend waarbij de trend steeds sterker negatief wordt. We sluiten de tabel af met de soorten met een mogelijke of onduidelijke trend. De tabel bevat de trend uitgedrukt als een jaarlijkse wijziging en als een wijziging over de volledige looptijd van het meetnet. Verder bevat de tabel de opdeling van de trend in klassen en een indicatie of de trend al dan niet lineair is (zie §2.2.3). De naam van de soort is een snelkoppeling naar de detail van de soort zelf. We raden aan om hiervan gebruikt te maken bij de interpretatie van niet-lineaire trends.

3.4 EVOLUTIE VAN GEMIDDELDE AANTALLEN PER SOORT

Deze figuur geeft de evolutie van de gemiddelde aantallen per meetpunt weer volgens het niet-lineair model. Indien het model lineair is, zal het patroon van de niet-lineaire trend dicht bij een lineaire trend liggen. De lijn bevat de puntschatting van het gemiddelde aantal in elk jaar. Rond de lijn tonen we het 30%, 60% en 90% interval (zie §3.1). In de online versie van het rapport is de figuur interactief. Wanneer de gebruiker met de muis over de figuur gaat verschijnt er in de buurt van de lijn een pop-up met de exacte schatting van dat jaar inclusief het 90% betrouwbaarheidsinterval en het jaartal.

3.5 PAARSGEWIJZE VERGELIJKING VAN JAREN

Deze informatie hebben we telkens in twee figuren samengevat. De eerste figuur geeft het verschil van elk jaar t.o.v. 2007, het jaar waarin de metingen gestart zijn. Voor 2007 geven we geen cijfer omdat het per definitie 1 is en geen informatie bevat. Het symbool geeft de puntschatting van het relatieve verschil t.o.v. 2007 weer. De vorm van het symbool geeft de opdeling van de sterkte van het effect weer (zie fig. 3.1). Rond elke puntschatting tonen we het 30%, 60% en 90% interval (zie §3.1). De horizontale streepjeslijn geeft de referentie van 0% verschil weer. De horizontale puntlijnen geven de bovengrens (+33%) en ondergrens (-25%) weer. Deze laten toe om de vlot zelf de betrouwbaarheidsintervallen te vergelijken met de referentie, boven- en ondergrens. De figuur heeft twee y-assen. Beide assen geven dezelfde informatie weer, enkel de formattering van de labels is anders. De linkeras toont procentuele verschillen terwijl de rechteras de relatieve verschillen toont. Een procentueel verschil van +50% is equivalent met een relatieve verschil (verhouding) met een factor 1,5.

We stellen vast dat veel gebruikers ook andere jaren met elkaar willen vergelijken. Een correcte vergelijking is enkel mogelijk indien we een van deze jaren als referentie gebruiken. Voor elk jaar een afzonderlijke figuur maken, zou het rapport onoverzichtelijk groot maken. Om de vergelijkingen toch mogelijk te maken hebben we alle paarsgewijze verschillen tussen de jaren in een raster weergegeven. Elke rij in het raster staat voor een ander referentiejaar. De kolommen geven de verschillen van een bepaald jaar weer t.o.v. de verschillende referentie jaren. Op de diagonaal staan geen waarden omdat we daar een jaar met zichzelf vergelijken. De kleur van de symbolen geeft de sterkte van het verschil (gebaseerd op de puntschatting). Zwakke verschillen



zijn grijs, sterke positieve verschillen rood, sterke negatieve verschillen blauw. De vorm van de symbolen geeft zicht op de sterkte en onzekerheid van het effect (zie tab. 3.1). Wanneer een rij volledig rood (blauw) is, zijn alle verschillen met dit referentiejaar positief (negatief) m.a.w. dit is het referentiejaar met de laagste (hoogste) aantallen. Wanneer een kolom volledig rood (blauw) is, zijn alle verschillen van dit jaar t.o.v. alle referentiejaren negatief (positief) m.a.w. dit is het jaar met de hoogste (laagste) aantallen. Clusters van punten met een gelijkaardige kleur geven periodes aan waarin de aantallen geleidelijk wijzigen. In de online versie van dit rapport is deze figuur interactief. Wanneer de gebruiker met de muis over de figuur gaat verschijnt er in de buurt van de lijn een pop-up met de exacte schatting van dat punt inclusief het 90% betrouwbaarheidsinterval en het jaartal en referentiejaar.

4 REPRODUCEERBAARHEID EN TRACEERBAARHEID VAN DE GEGEVENSVERWERKING

4.1 VERSIEBEHEER

De waarnemers voeren hun waarnemingen via een webapplicatie toe aan de databank. De analyse start met het importeren van de relevante gegevens uit de databank aan de hand van een R-script. De bekomen dataset bewaren we als een collectie van tekstbestanden met behulp van het `git2rdata` package (Onkelinx, 2022). Zowel deze code als de tekstbestanden bewaren we onze versiebeheer met `git`. Git is een gratis en open source gedistribueerd versiebeheersysteem dat is ontworpen om alles van kleine tot zeer grote projecten snel en efficiëntie te beheren. De code zit vervat in het `abvanalysis` package (Onkelinx, 2024a), dat vrij online beschikbaar is. De tekstbestanden met de gegevens zijn momenteel niet publiek toegankelijk. De ruwe gegevens worden geaggregeerd per hok en met drie jaar vertraging publiek ontsloten via GBIF (Vermeersch *et al.*, 2018a).

4.2 REPRODUCEERBAARHEID

Om de reproduceerbaarheid te garanderen starten we de analyses steeds vanaf de tekstbestanden. Aan de hand van code in het `abvanalysis` package definiëren we hoe we de tekstbestanden omzetten naar de verschillende analyses (§2.2). Dit resulteert in een resem op zichzelf staande analyseobjecten van het `n2kanalysis` package (Onkelinx, 2024b). Dergelijk analyseobject bevat naast de nodige gegevens en de modeldefinitie tevens de nodige metadata zoals alle gebruikte R packages, inclusief hun versie, en een verwijzing naar de voorafgaande analyses waarvan deze analyse afhangt. Zo verwijst de analyse van een samengestelde index (§2.6) naar de trendberekening van de bijhorende soorten (§2.2). De individuele trendberekeningen verwijzen naar de “analyse” die de gegevens importeerde uit de databank. Deze laatste bevat de nodige links naar de tekstbestanden en hun versie.

4.3 TRACEERBAARHEID

De `n2kanalysis` objecten hebben elk twee data hashes. Elk data hash is een reeks van 40 hexadecimale¹ cijfers die het resultaat zijn van de cryptografische `hashfunctie` `SHA-1`. Deze hashfunctie heeft een aantal belangrijke eigenschappen:

1. Ze zetten elke invoer om naar een uitvoer met vaste lengte (40 hexadecimale cijfers).
2. De uitvoer is stabiel: als je de hash van een bepaalde invoer opnieuw berekent krijg je steeds dezelfde uitvoer.
3. Het is niet mogelijk om de invoer te reconstrueren op basis van de uitvoer.
4. Eender welke kleine wijziging aan de invoer resulteert in een sterke wijziging van de uitvoer.
5. De kans dat twee verschillende invoeren dezelfde uitvoer opleveren is zeer klein.

¹Hexadecimaal betekent letterlijk zestientallig. Het is een talstelsel waarbij niet, zoals gebruikelijk, met tien cijfers wordt gewerkt, maar met zestien cijfers. De cijfers 0 t.e.m. 9 worden daarom uitgebreid met a (=10) t.e.m. f (=15).

De eerste data hash van het analyseobject is gebaseerd op alle informatie die gekend is op het moment dat we het analyseobject definiëren en die nooit zal wijzigen tijdens de analyse. Denk hierbij aan de definitie van de analyse, de gegevens, de soort, ... Gezien de eigenschappen van de hashfunctie kunnen we deze data hash gebruiken om ondubbelzinnig te verwijzen naar een specifieke analyse (inclusief de gebruikte gegevens.)

De tweede data hash van het analyseobject baseren we enerzijds op de eerste data hash en anderzijds van alle onderdelen van het analyseobject die wijzigen in de loop van de analyse. Dit is o.a. het resultaat van de statistische analyse, de gebruikte software, ... De analyse opnieuw uitrekenen met software van een andere versie zal de tweede data hash aanpassen.

De combinatie van deze twee data hashes laat enerzijds toe om naar een specifieke versie van de analyse te verwijzen. Anderzijds bieden ze een garantie over de inhoud van het analyseobject. In het geval van twijfel over een analyse kunnen we teruggrijpen naar de analyseobject in kwestie. De data hashes bewijzen dan dat we het correcte analyseobject hebben.

4.4 DOWNLOADBAAR CIJFERMATERIAAL

We stellen het cijfermateriaal om de figuren te genereren beschikbaar in de online versie van dit rapport: <https://doi.org/10.21436/inbor.102669823>.

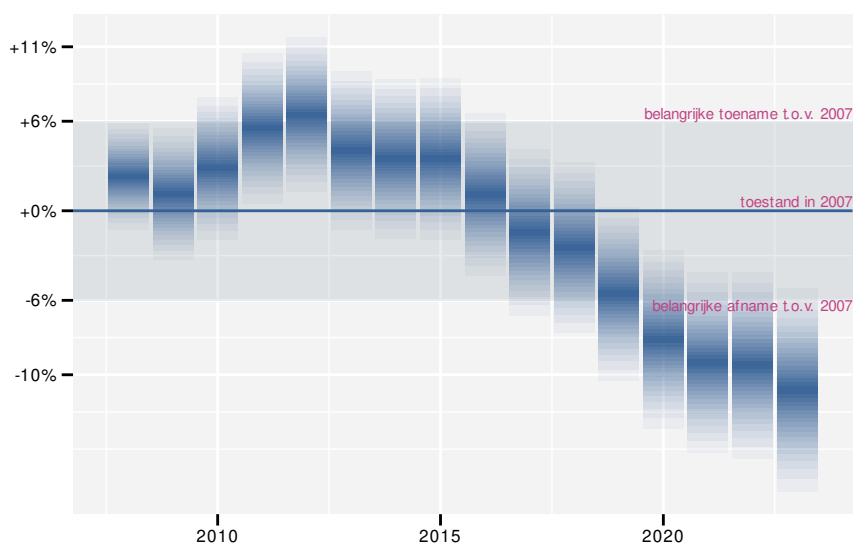


Deel II

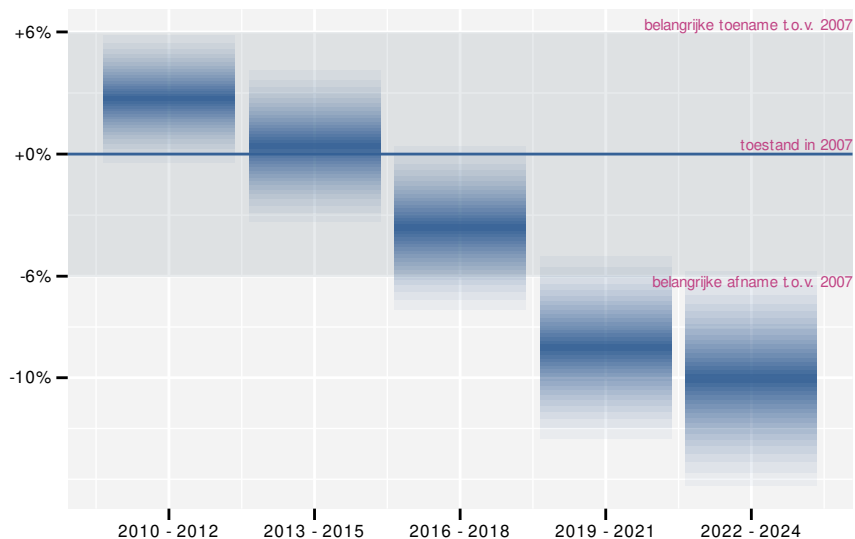
INDICATOREN

5 BOS

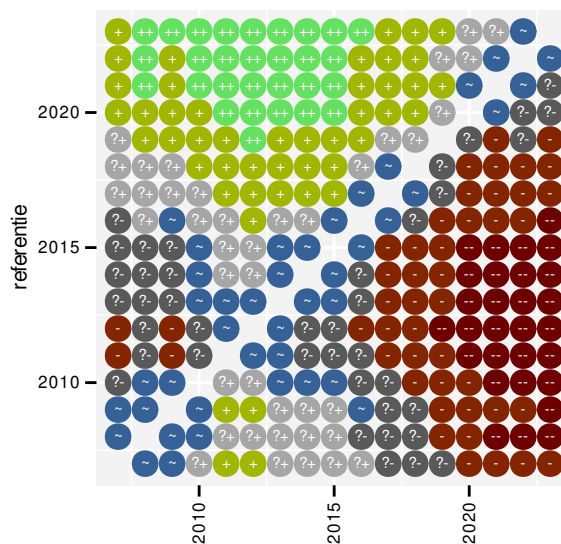
Deze indicator is gebaseerd op volgende 25 soorten: **Bonte vliegenvanger**, **Boomklever**, **Boomkruiper**, **Boompieper**, **Buizerd**, **Fitis**, **Gaai**, **Gekraagde roodstaart**, **Goudhaan**, **Groene specht**, **Groenling**, **Grote bonte specht**, **Grote lijster**, **Holenduif**, **Koekoek**, **Kuifmees**, **Matkop**, **Nachtegaal**, **Sperwer**, **Tjiftjaf**, **Tuinfluit**, **Wielewaal**, **Zwarte mees**, **Zwarte specht**, **Zwartkop**. De indicator bestaat uit 25 soorten. De aangepaste grenswaarden zijn -5.6% en +5.9%.



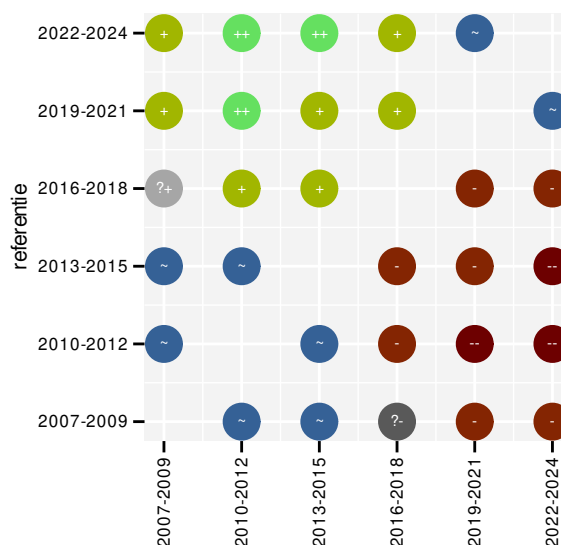
Figuur 5.1: Wijzigingen t.o.v. de start van het meetnet voor Bos. Zie §3.1 voor een verklaring van de intervallen en §3.2 voor uitleg over de symbolen en referentielijnen.



Figuur 5.2: Wijzigingen per driejarige cyclus voor Bos. Zie §3.1 voor een verklaring van de intervallen en §3.2 voor uitleg over de symbolen en referentielijnen.



Figuur 5.3: Paarsgewijze vergelijking tussen jaren voor Bos.



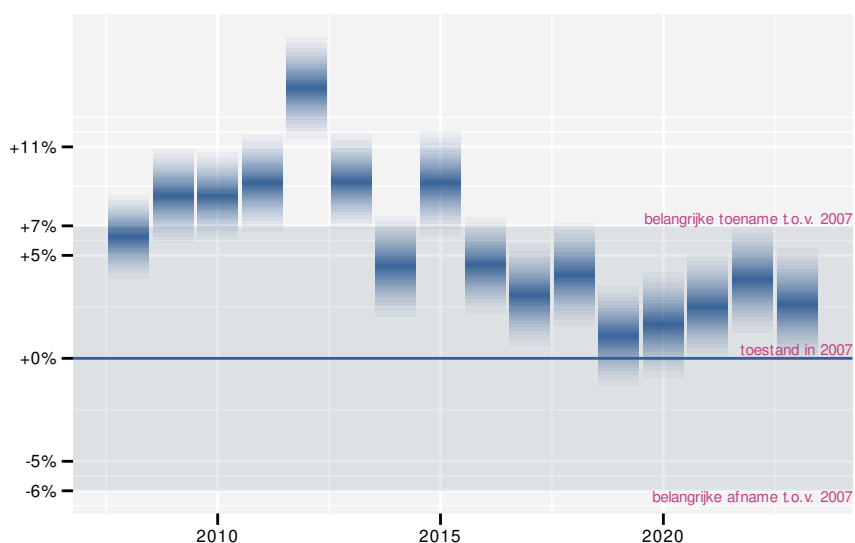
Figuur 5.4: Paarsgewijze vergelijking tussen driejarige cycli voor Bos.

Tabel 5.1: Data-hashes van de analyse in het kader van traceerbaarheid (zie §4.3).

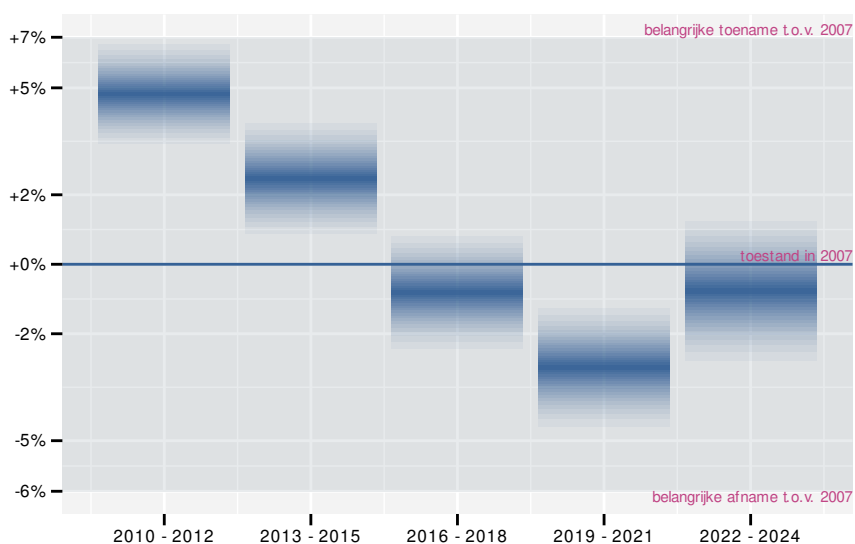
frequentie	model	analyse	status
jaarlijks	niet-lineair	84c6a4d9c834395f4112 0e6e4df67c82eb9e4e20	7f219980c4af29977890 f92d29ea28f1b685d087
jaarlijks	lineair	c7891fd49669dd7b9a9c 883b6bb104839613a9cb	cff134c0303d8c7d349d 1c1837ad5e6d387b6548
driejaarlijks	niet-lineair	a8c35af09973b4fb822f 3bc8d98a9e50e385ccb5	a8b38773eb7820ae284f 0e5b2a993032d668ee3d
driejaarlijks	lineair	f5792dbf6609947eba10 dfb3b4429aa3a47204cc	1048c986c968efcf55b0 ac0d066e6eb21807a9c6

6 GENERALIST

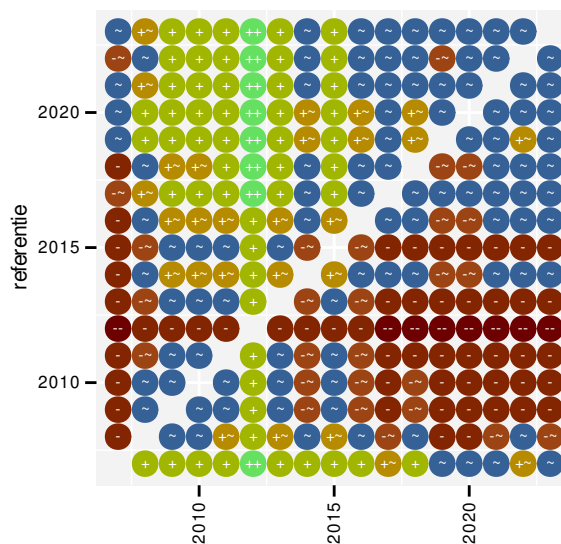
Deze indicator is gebaseerd op volgende 19 soorten: [Ekster](#), [Fazant](#), [Groenling](#), [Grote bonte specht](#), [Heggenmus](#), [Houtduif](#), [Huismus](#), [Kauw](#), [Koolmees](#), [Merel](#), [Pimpelmees](#), [Roodborst](#), [Spreeuw](#), [Staartmees](#), [Turkse tortel](#), [Vink](#), [Winterkoning](#), [Zanglijster](#), [Zwarte kraai](#). De indicator bestaat uit 19 soorten. De aangepaste grenswaarden zijn -6.4% en +6.8%.



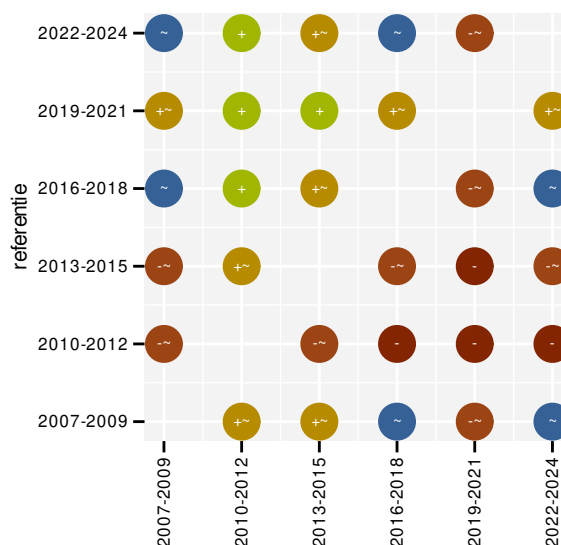
Figuur 6.1: Wijzigingen t.o.v. de start van het meetnet voor Generalist. Zie §3.1 voor een verklaring van de intervallen en §3.2 voor uitleg over de symbolen en referentielijnen.



Figuur 6.2: Wijzigingen per driejarige cyclus voor Generalist. Zie §3.1 voor een verklaring van de intervallen en §3.2 voor uitleg over de symbolen en referentielijnen.



Figuur 6.3: Paarsgewijze vergelijking tussen jaren voor Generalist.



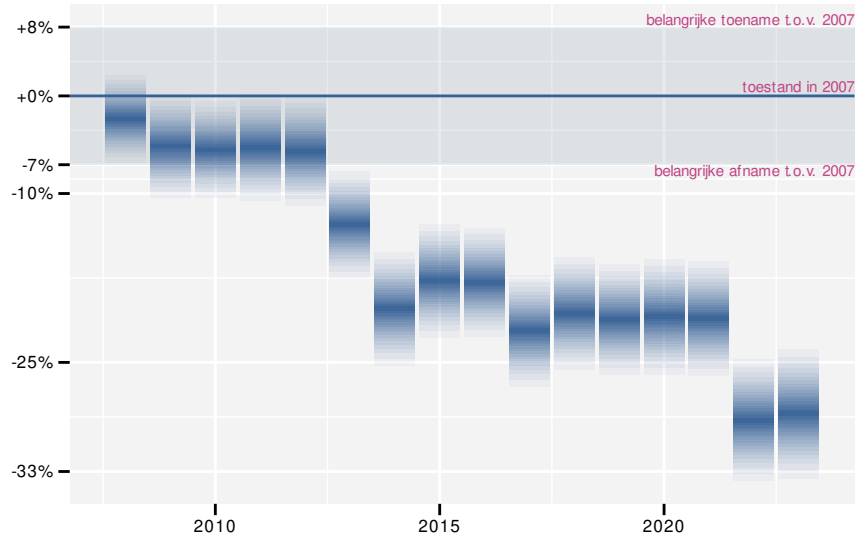
Figuur 6.4: Paarsgewijze vergelijking tussen driejarige cycli voor Generalist.

Tabel 6.1: Data-hashes van de analyse in het kader van traceerbaarheid (zie §4.3).

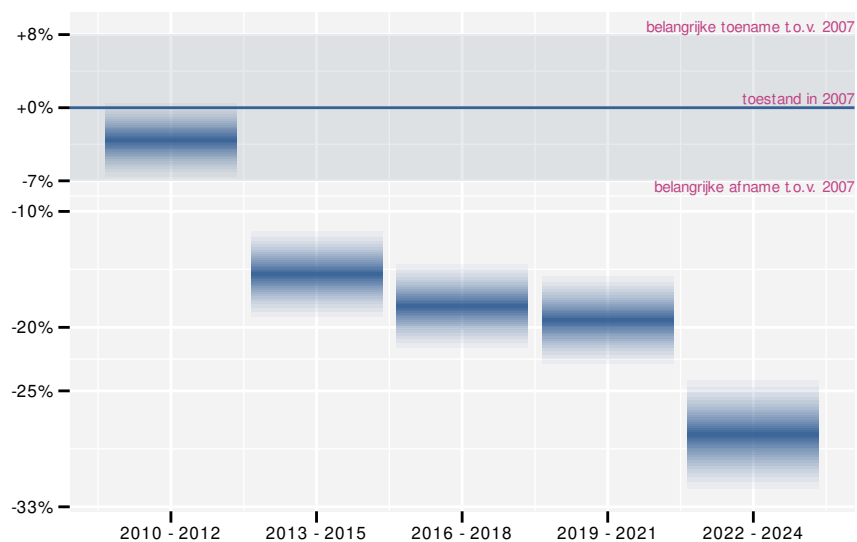
frequentie	model	analyse	status
jaarlijks	niet-lineair	50e7070c7087e7ce993c 59fd71ba17db1963ca57	c4cdf489649ec156432a 499bfa211e1190ec5584
jaarlijks	lineair	66f59f316d9fe047b362 622281d0a5b3b7e4c75c	dfa3047bcc9cdd87c0e3 050476464f045f46feb5
driejaarlijks	niet-lineair	4c7f626c0ac1dc092c72 c1a5b5fb909734fe0c83	d9d351180db109ecd920 48885caac9f769ff338e
driejaarlijks	lineair	2a4b04852b0bb33566ce 6cab3e1a558f7a20b41d	0c12a45ae67175d12ff5 70c7f309ad07dff17ff

7 LANDBOUW

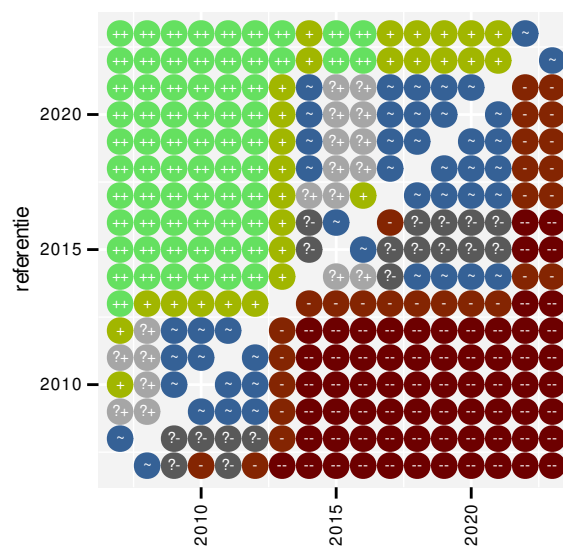
Deze indicator is gebaseerd op volgende 15 soorten: Boerenzwaluw, Geelgors, Gele kwikstaart, Grasmus, Graspieper, Grutto, Kievit, Kneu, Patrijs, Ringmus, Roodborsttapuit, Scholekster, Torenvalk, Veldleeuwerik, Wulp. De indicator bestaat uit 15 soorten. De aangepaste grenswaarden zijn -7.2% en +7.7%.



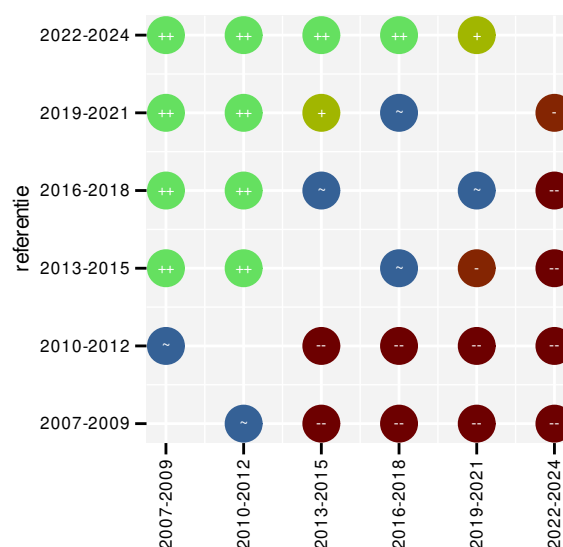
Figuur 7.1: Wijzigingen t.o.v. de start van het meetnet voor Landbouw. Zie §3.1 voor een verklaring van de intervallen en §3.2 voor uitleg over de symbolen en referentielijnen.



Figuur 7.2: Wijzigingen per driejarige cyclus voor Landbouw. Zie §3.1 voor een verklaring van de intervallen en §3.2 voor uitleg over de symbolen en referentielijnen.



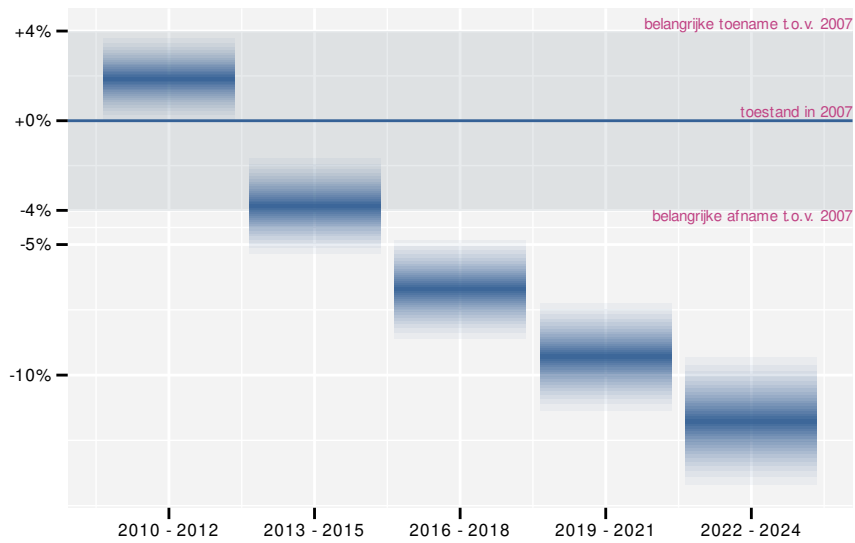
Figuur 7.3: Paarsgewijze vergelijking tussen jaren voor Landbouw.



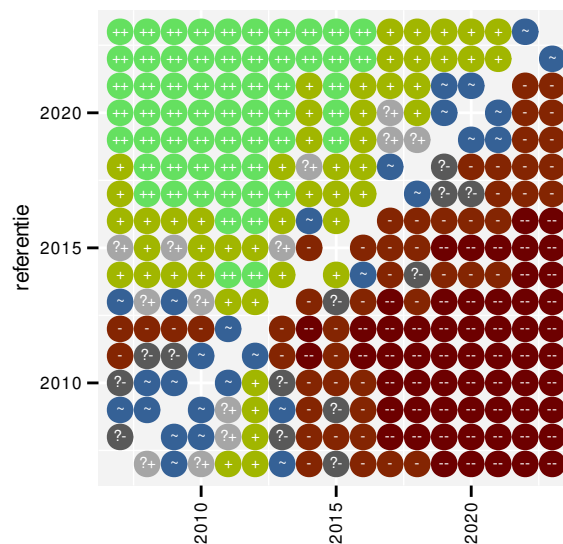
Figuur 7.4: Paarsgewijze vergelijking tussen driejarige cycli voor Landbouw.

Tabel 7.1: Data-hashes van de analyse in het kader van traceerbaarheid (zie §4.3).

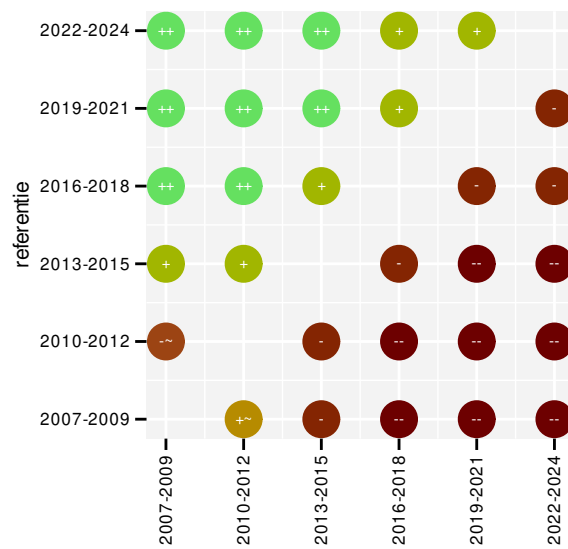
frequentie	model	analyse	status
jaarlijks	niet-lineair	1b1eff01fc9bd8c8faf0 6150d2018cdb467dbc7	3d1a6347bb928d6e8fcf 9136ea74379c266ce60d
jaarlijks	lineair	75e8662a89241418fcfe 7227be8df4c4788e23f8	7b7c5b2cd20ef41275fb d513d406eec5208b3206
driejaarlijks	niet-lineair	ea1d7d9655298ce0c62d ad29b883c1ca478dae67	c4bac531cde5c004e8c6 2d1fd2a10a48f9c7a147
driejaarlijks	lineair	7c82473365c96ad74da4 1c47966670a4d755d1f8	dc7a883b8e89d240f77b 5dcd9d11609f6dcf1ab1



Figuur 8.2: Wijzigingen per driejarige cyclus voor NARA2020. Zie §3.1 voor een verklaring van de intervallen en §3.2 voor uitleg over de symbolen en referentielijnen.



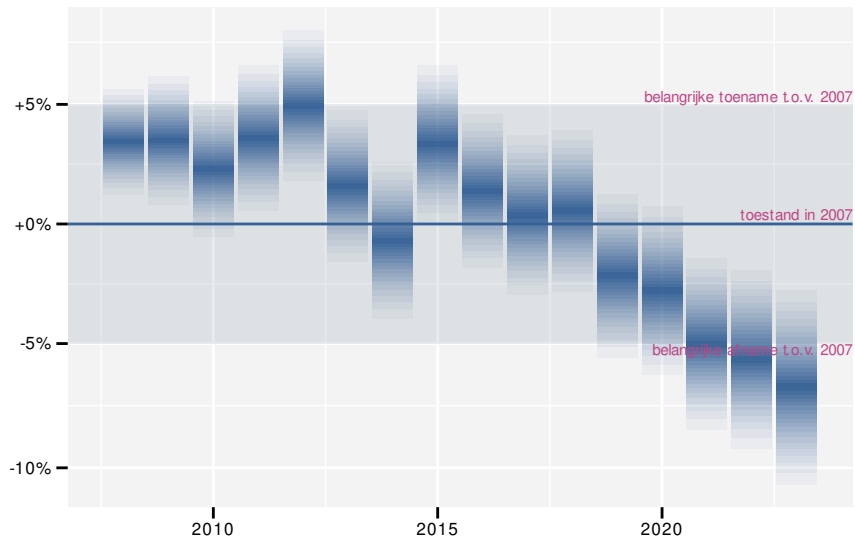
Figuur 8.3: Paarsgewijze vergelijking tussen jaren voor NARA2020.



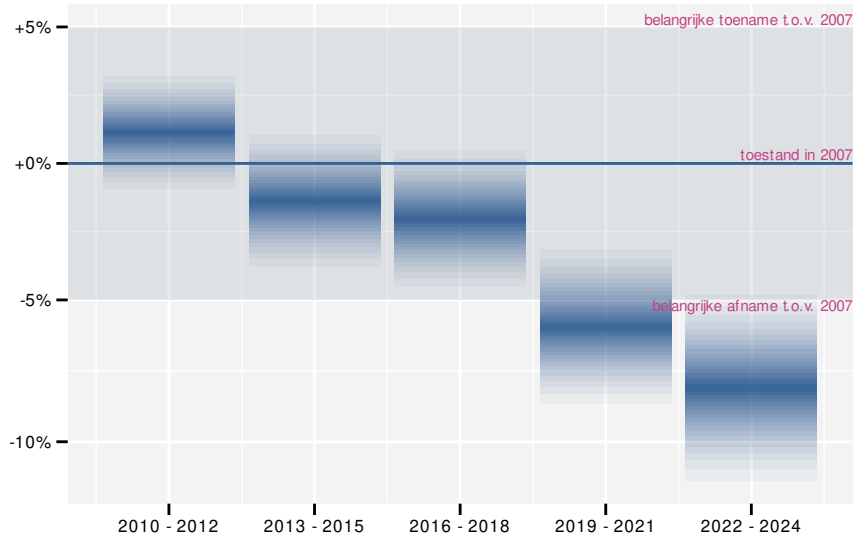
Figuur 8.4: Paarsgewijze vergelijking tussen driejarige cycli voor NARA2020.

9 STANDVOGEL

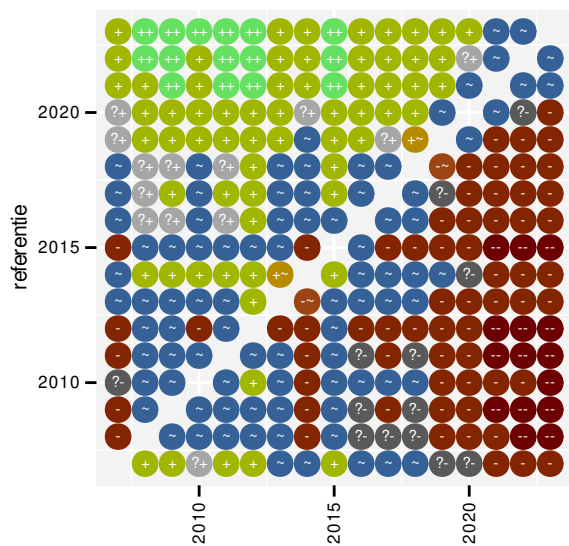
Deze indicator is gebaseerd op volgende 31 soorten: Boomklever, Boomkruiper, Buizerd, Ekster, Fazant, Gaai, Goudhaan, Groene specht, Grote bonte specht, Heggenmus, Holenduif, Houtduif, Huismus, Kauw, Koolmees, Kuifmees, Matkop, Merel, Patrijs, Pimpelmees, Ringmus, Roodborst, Sperwer, Staartmees, Torrenvalk, Turkse tortel, Vink, Winterkoning, Zwarte kraai, Zwarte mees, Zwarte specht. De indicator bestaat uit 31 soorten. De aangepaste grenswaarden zijn -5.0% en +5.3%.



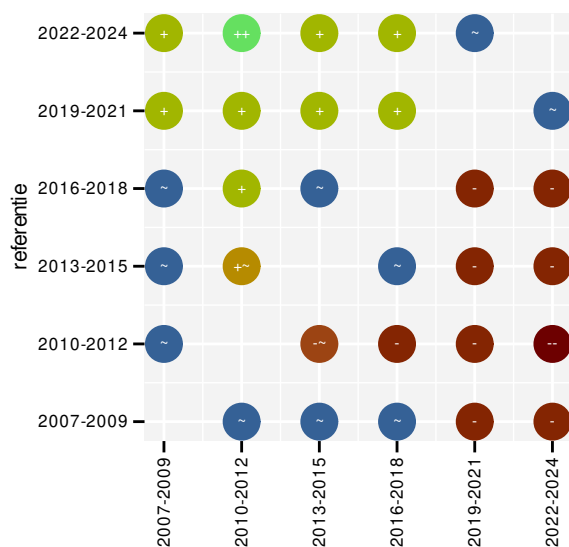
Figuur 9.1: Wijzigingen t.o.v. de start van het meetnet voor Standvogel. Zie §3.1 voor een verklaring van de intervallen en §3.2 voor uitleg over de symbolen en referentielijnen.



Figuur 9.2: Wijzigingen per driejarige cyclus voor Standvogel. Zie §3.1 voor een verklaring van de intervallen en §3.2 voor uitleg over de symbolen en referentielijnen.



Figuur 9.3: Paarsgewijze vergelijking tussen jaren voor Standvogel.



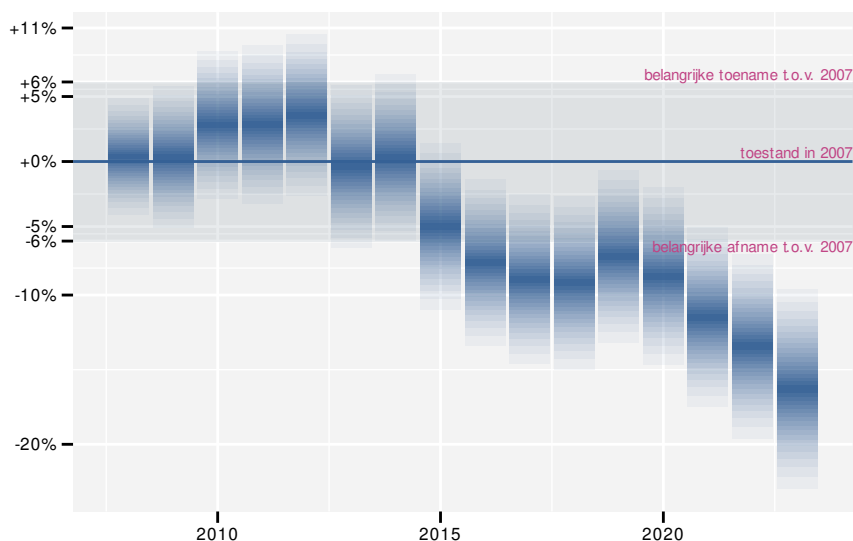
Figuur 9.4: Paarsgewijze vergelijking tussen driejarige cycli voor Standvogel.

Tabel 9.1: Data-hashes van de analyse in het kader van traceerbaarheid (zie §4.3).

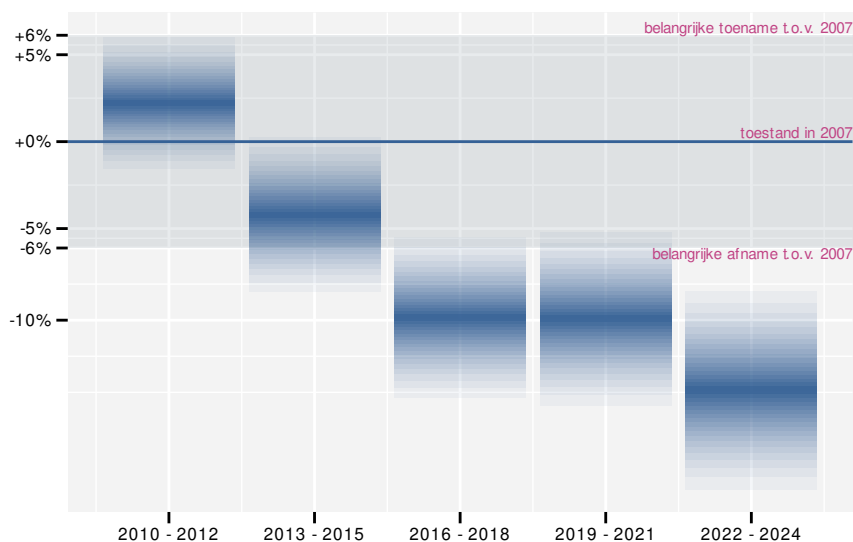
frequentie	model	analyse	status
jaarlijks	niet-lineair	584e7adc66eed7cfe782 2a865eda2c4279265b03	2129b580c54bd16d8ee8 1a75f4d53b6544f65c19
jaarlijks	lineair	81745bf278a86ea831ee 6061f8c63ec20a829e96	7caedc7fdc2fa481f05c 57f45c053b647c45ef6d
driejaarlijks	niet-lineair	106c5f05239fe003eb70 9cc174f2f390906703a4	77d0a87a3531fa26340f 0e42be9de69e5d725a2e
driejaarlijks	lineair	686ff42cc29eeded20b9 9e75dcb873bcaeda3322	c289021b254eed0fdf9b 65eed1136467508a9c70

10 SUBSAHARAMIGRANT

Deze indicator is gebaseerd op volgende 21 soorten: Blauwborst, Boerenzwaluw, Bonte vliegenvanger, Boompieper, Bosrietzanger, Fitis, Gekraagde roodstaart, Gele kwikstaart, Gierzwaluw, Grasmus, Grutto, Huiszwaluw, Kleine karekiet, Koekoek, Nachtegaal, Rietzanger, Spotvogel, Sprinkhaanzanger, Tjiftjaf, Tuinfluiter, Wielewaal. De indicator bestaat uit 21 soorten. De aangepaste grenswaarden zijn -6.1% en +6.5%.



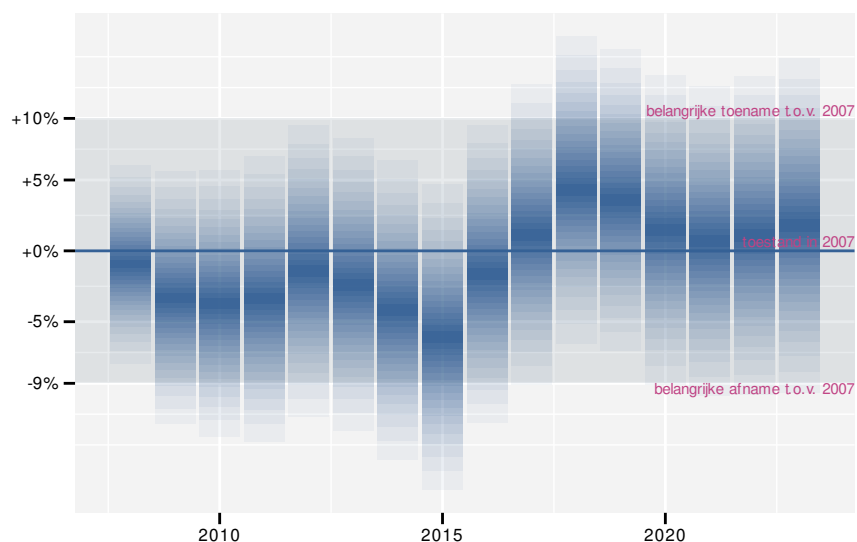
Figuur 10.1: Wijzigingen t.o.v. de start van het meetnet voor SubSaharaMigrant. Zie §3.1 voor een verklaring van de intervallen en §3.2 voor uitleg over de symbolen en referentielijnen.



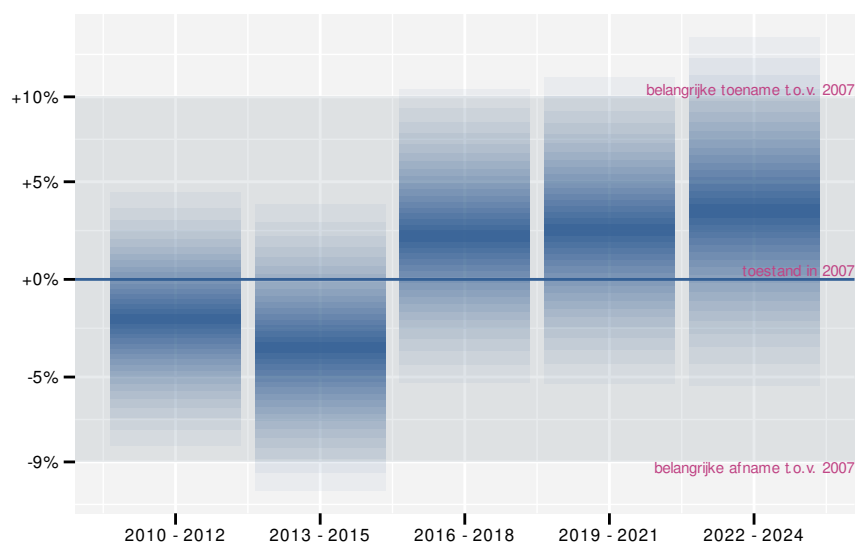
Figuur 10.2: Wijzigingen per driejarige cyclus voor SubSaharaMigrant. Zie §3.1 voor een verklaring van de intervallen en §3.2 voor uitleg over de symbolen en referentielijnen.

11 WATERVOGEL

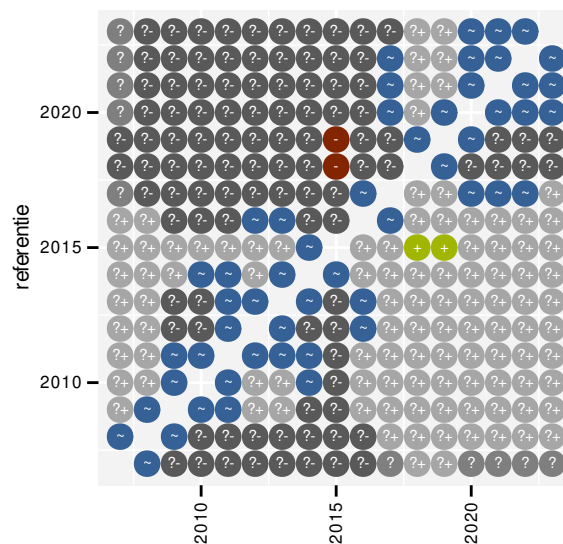
Deze indicator is gebaseerd op volgende 9 soorten: [Bergeend](#), [Canadese gans](#), [Dodaars](#), [Fuut](#), [Grauwe gans](#), [Meerkoet](#), [Nijlgans](#), [Waterhoen](#), [Wilde eend](#). De indicator bestaat uit 9 soorten. De aangepaste grenswaarden zijn -9.1% en +10.1%.



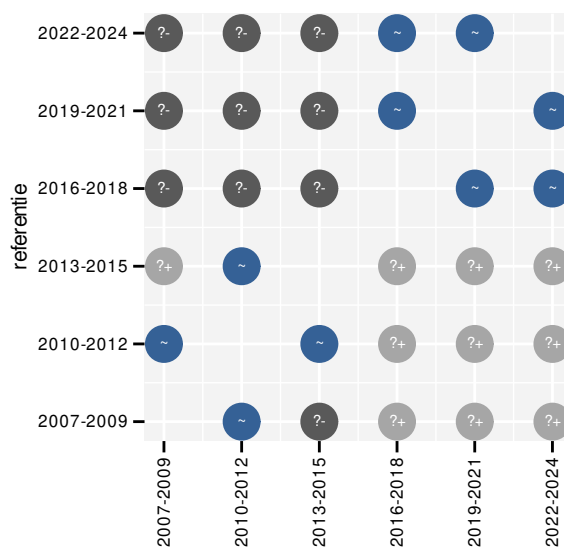
Figuur 11.1: Wijzigingen t.o.v. de start van het meetnet voor Watervogel. Zie §3.1 voor een verklaring van de intervallen en §3.2 voor uitleg over de symbolen en referentielijnen.



Figuur 11.2: Wijzigingen per driejarige cyclus voor Watervogel. Zie §3.1 voor een verklaring van de intervallen en §3.2 voor uitleg over de symbolen en referentielijnen.



Figuur 11.3: Paarsgewijze vergelijking tussen jaren voor Waterfengel.



Figuur 11.4: Paarsgewijze vergelijking tussen driejarige cycli voor Waterfengel.

Tabel 11.1: Data-hashes van de analyse in het kader van traceerbaarheid (zie §4.3).

frequentie	model	analyse	status
jaarlijks	niet-lineair	5d6bee1ad54c4e87ed3e b362bc8ad8c3dc2725a7	13a6e559b06aad0e52fd 998071484e6aeac732e3
jaarlijks	lineair	3ff7f259f620f8e309c2 3d71dc12c9b89b003ae2	cf4e2b6f83a314045347 e3936f48b4e4209023da
driejaarlijks	niet-lineair	f5aebd43ff9b6e06d1e1 e7ba7ebb028c1ddd091d	917394c008929e261531 8b4187305c2aed360039
driejaarlijks	lineair	b80d8774e02d2baa10a0 7fa67ca4b5a4ef4de8c3	183ffa71229d642b6345 9e7dbf9c46430fc42947

Deel III

RESULTATEN PER SOORT

12 OVERZICHT VAN DE TRENDS

Tabel 12.2 geeft een overzicht van de lineaire trends voor elke soort. We hebben de trends gesorteerd volgens opdeling van de klassen (zie 3.2 voor de verklaring) en binnen de klasse volgens puntschatting van de trend. Hierdoor start de tabel met de soorten met de sterkste positieve trends. Bij de volgende soorten zal de trend minder sterk worden tot we aan de soorten met een stabiele trend komen. Daarna volgen de soorten met een negatieve trend waarbij de trend steeds sterker negatief wordt. We sluiten de tabel af met de soorten met een mogelijke of onduidelijke trend. De tabel bevat de trend uitgedrukt als een jaarlijkse wijziging en als een wijziging over de volledige looptijd van het meetnet. Verder bevat de tabel de opdeling van de trend in klassen en een indicatie of de trend al dan niet lineair is (zie §2.2.3). De naam van de soort is een snelkoppeling naar de detail van de soort zelf. We raden aan om hiervan gebruikt te maken bij de interpretatie van niet-lineaire trends.

Tabel 12.1: Gemiddelde wijziging in veronderstelling van een lineaire trend gebaseerd op driejaarlijkse gegevens. ++: sterke toename, +: toename, +~: matige toename, ~: stabiel, ~-: matige afname, -: afname, --: sterke afname, ?+: mogelijke toename, ?-: mogelijke afname, ?: onduidelijke trend. Referentie: 0%, ondergrens: -25% over de looptijd, bovengrens: +33% over de looptijd.

soort	klasse	interpretatie	jaarlijkse wijziging	wijziging over de looptijd
Cetti's zanger	++	niet-lineair	+17.1% (+13.0%; +21.4%)	+1200% (+600%; +2100%)
Putter	++	lineair	+12.52% (+9.70%; +15.42%)	+560% (+340%; +890%)
Kleine mantelmeeuw	++	niet-lineair	+11.6% (+6.4%; +17.1%)	+480% (+169%; +1151%)
Roek	++	lineair	+9.56% (+6.49%; +12.72%)	+330% (+170%; +580%)
Kuifeend	++	lineair	+8.19% (+4.60%; +11.90%)	+250% (+110%; +500%)
Halsbandparkiet	++	niet-lineair	+7.17% (+3.22%; +11.26%)	+200% (+70%; +450%)
Aalscholver	++	niet-lineair	+6.39% (+2.08%; +10.89%)	+170% (+40%; +420%)
Kauw	++	niet-lineair	+4.60% (+4.19%; +5.02%)	+105.3% (+92.7%; +118.9%)
Buizerd	++	lineair	+4.3% (+3.4%; +5.1%)	+95.4% (+71.7%; +122.2%)
Nijlgans	++	lineair	+4.1% (+2.6%; +5.6%)	+89.9% (+51.5%; +138.0%)
Roodborsttapuit	++	niet-lineair	+3.8% (+2.3%; +5.3%)	+81.7% (+44.8%; +128.0%)
Boomklever	++	niet-lineair	+3.5% (+2.4%; +4.6%)	+73.5% (+47.1%; +104.6%)



soort	klasse	interpretatie	jaarlijkse wijziging	wijziging over de looptijd
Meerkoet	++	lineair	+3.2% (+2.0%; +4.5%)	+66.6% (+36.5%; +103.3%)
Zwarte roodstaart	++	niet-lineair	+2.9% (+2.0%; +3.7%)	+57% (+38%; +79%)
Grote bonte specht	++	niet-lineair	+2.7% (+2.0%; +3.4%)	+53% (+38%; +70%)
Roodborst	++	niet-lineair	+2.62% (+2.14%; +3.10%)	+51% (+40%; +63%)
Krakeend	+	lineair	+6.30% (+1.44%; +11.39%)	+170% (+30%; +460%)
Boomleeuwerik	+	niet-lineair	+4.6% (+1.5%; +7.8%)	+110% (+30%; +230%)
Bonte vliegenvanger	+	lineair	+3.7% (+1.1%; +6.3%)	+78% (+19%; +168%)
Grauwe gans	+	niet-lineair	+2.7% (+0.3%; +5.1%)	+52% (+5%; +122%)
Torenvalk	+	niet-lineair	+2.4% (+1.2%; +3.6%)	+46% (+21%; +76%)
Zwartkop	+	niet-lineair	+1.89% (+1.53%; +2.25%)	+35% (+27%; +43%)
Witte kwikstaart	+	niet-lineair	+1.7% (+1.1%; +2.4%)	+31% (+19%; +45%)
Boomkruiper	+	lineair	+1.4% (+0.5%; +2.3%)	+25% (+9%; +43%)
Grasmus	+	niet-lineair	+1.19% (+0.55%; +1.82%)	+21% (+9%; +34%)
Pimpelmees	+~	niet-lineair	+1.089% (+0.619%; +1.562%)	+19% (+10%; +28%)
Vink	+~	niet-lineair	+0.961% (+0.709%; +1.217%)	+16.5% (+12.0%; +21.4%)
Boerenzwaluw	+~	niet-lineair	+0.95% (+0.28%; +1.63%)	+16% (+5%; +29%)
Tjiftjaf	+~	niet-lineair	+0.911% (+0.609%; +1.217%)	+16% (+10%; +21%)
Zwarte kraai	+~	niet-lineair	+0.874% (+0.585%; +1.163%)	+15% (+10%; +20%)
Houtduif	+~	niet-lineair	+0.33% (+0.12%; +0.55%)	+5.5% (+1.9%; +9.2%)
Kleine karekiet	~	niet-lineair	+0.74% (-0.31%; +1.81%)	+13% (-5%; +33%)
Fazant	~	niet-lineair	-0.36% (-0.75%; +0.03%)	-5.6% (-11.4%; +0.5%)
Gaai	~	lineair	-0.67% (-1.44%; +0.09%)	-10% (-21%; +2%)
Groene specht	--	niet-lineair	-0.62% (-1.15%; -0.10%)	-9.5% (-16.9%; -1.5%)
Ekster	--	niet-lineair	-0.70% (-1.26%; -0.14%)	-10.6% (-18.3%; -2.2%)
Koolmees	--	niet-lineair	-0.833% (-1.130%; -0.535%)	-12.53% (-16.63%; -8.23%)
Gele kwikstaart	--	niet-lineair	-0.85% (-1.54%; -0.16%)	-13% (-22%; -3%)
Groenling	--	niet-lineair	-0.99% (-1.68%; -0.28%)	-15% (-24%; -4%)
Holenduif	--	niet-lineair	-1.02% (-1.61%; -0.42%)	-15% (-23%; -6%)

////////////////////////////////////

soort	klasse	interpretatie	jaarlijkse wijziging	wijziging over de looptijd
Kneu	?+	lineair	+1.2% (-0.1%; +2.4%)	+20% (-1%; +46%)
Rietzanger	?+	lineair	+1.0% (-0.2%; +2.3%)	+18% (-3%; +44%)
Blauwe reiger	?+	niet-lineair	+0.9% (-0.8%; +2.7%)	+16% (-12%; +53%)
Wulp	?+	niet-lineair	+0.7% (-1.4%; +2.8%)	+11% (-21%; +55%)
Blauwborst	?+	niet-lineair	+0.6% (-0.8%; +2.0%)	+10% (-12%; +38%)
Zwarte specht	?+	niet-lineair	+0.5% (-1.6%; +2.7%)	+9% (-22%; +53%)
Boompieper	?+	mogelijk niet-lineair	+0.45% (-0.98%; +1.90%)	+7% (-15%; +35%)
Rietgors	?-	niet-lineair	-0.18% (-1.81%; +1.47%)	-3% (-25%; +26%)
Canadese gans	?-	niet-lineair	-0.7% (-2.2%; +0.7%)	-11% (-30%; +12%)
Spotvogel	?-	niet-lineair	-1.0% (-3.7%; +1.7%)	-16% (-46%; +31%)
Bosrietzanger	?-	niet-lineair	-1.4% (-3.6%; +0.9%)	-20% (-45%; +15%)
Knobbelzwaan	?	mogelijk niet-lineair	+4.0% (-2.3%; +10.6%)	+90% (-30%; +400%)
Havik	?	niet-lineair	+1.4% (-2.5%; +5.4%)	+24% (-33%; +131%)
Glanskop	?	mogelijk niet-lineair	+1.0% (-2.1%; +4.3%)	+20% (-30%; +100%)
Middelste Bonte Specht	?	mogelijk niet-lineair	+0.9% (-1.9%; +3.9%)	+20% (-30%; +80%)
Tafeleend	?	mogelijk niet-lineair	+0% (-5%; +6%)	+8% (-54%; +153%)
Gierzwaluw	?	niet-lineair	-0.1% (-2.1%; +1.9%)	-2% (-29%; +35%)
Nachtegaal	?	niet-lineair	-0.2% (-2.3%; +2.1%)	-2% (-31%; +38%)
Huiszwaluw	?	lineair	-0.2% (-2.4%; +2.1%)	-3% (-32%; +40%)
Staartmees	?	niet-lineair	-0.6% (-3.0%; +1.9%)	-9% (-38%; +35%)
Dodaars	?	niet-lineair	-2.8% (-7.5%; +2.3%)	-40% (-70%; +40%)

Tabel 12.2: Gemiddelde wijziging in veronderstelling van een lineaire trend gebaseerd op jaarlijkse gegevens. ++: sterke toename, +: toename, +~: matige toename, ~: stabiel, ~-: matige afname, -: afname, --: sterke afname, ?+: mogelijke toename, ?-: mogelijke afname, ?: onduidelijke trend. Referentie: 0%, ondergrens: -25% over de looptijd, bovengrens: +33% over de looptijd.

soort	klasse	interpretatie	jaarlijkse wijziging	wijziging over de looptijd
Cetti's zanger	++	niet-lineair	+17.8% (+13.5%; +22.2%)	+1300% (+700%; +2400%)
Putter	++	mogelijk niet-lineair	+12.79% (+9.94%; +15.72%)	+590% (+360%; +930%)
Kleine mantelmeeuw	++	niet-lineair	+12.2% (+7.0%; +17.7%)	+530% (+200%; +1260%)
Roek	++	lineair	+10.00% (+6.91%; +13.19%)	+360% (+190%; +630%)
Kuifeend	++	niet-lineair	+8.32% (+4.76%; +12.01%)	+260% (+110%; +510%)

soort	klasse	interpretatie	jaarlijkse wijziging	wijziging over de looptijd
Halsbandparkiet	++	niet-lineair	+6.91% (+3.10%; +10.86%)	+190% (+60%; +420%)
Aalscholver	++	niet-lineair	+6.51% (+2.27%; +10.94%)	+170% (+40%; +430%)
Kauw	++	niet-lineair	+4.60% (+4.19%; +5.01%)	+105.4% (+92.7%; +118.7%)
Buizerd	++	lineair	+4.4% (+3.5%; +5.2%)	+98.7% (+74.5%; +126.1%)
Nijlgans	++	lineair	+4.0% (+2.5%; +5.4%)	+86.0% (+48.2%; +133.1%)
Roodborsttapuit	++	niet-lineair	+3.8% (+2.4%; +5.3%)	+82.5% (+45.4%; +129.1%)
Boomklever	++	niet-lineair	+3.6% (+2.6%; +4.7%)	+76.5% (+49.7%; +108.1%)
Meerkoet	++	lineair	+3.2% (+1.9%; +4.5%)	+65.0% (+35.3%; +101.2%)
Zwarte roodstaart	++	niet-lineair	+2.8% (+2.0%; +3.7%)	+57% (+37%; +78%)
Grote bonte specht	++	niet-lineair	+2.8% (+2.1%; +3.4%)	+55% (+39%; +71%)
Roodborst	++	niet-lineair	+2.66% (+2.19%; +3.15%)	+52% (+42%; +64%)
Krakeend	+	lineair	+6.60% (+1.79%; +11.64%)	+180% (+30%; +480%)
Boomleeuwerik	+	niet-lineair	+4.8% (+1.7%; +8.1%)	+110% (+30%; +250%)
Bonte vliegenvanger	+	lineair	+4.1% (+1.6%; +6.7%)	+91% (+29%; +182%)
Grauwe gans	+	mogelijk niet-lineair	+2.8% (+0.4%; +5.3%)	+56% (+7%; +127%)
Torenavalk	+	niet-lineair	+2.5% (+1.3%; +3.7%)	+49% (+23%; +80%)
Zwartkop	+	niet-lineair	+1.95% (+1.58%; +2.31%)	+36% (+29%; +44%)
Witte kwikstaart	+	niet-lineair	+1.7% (+1.1%; +2.3%)	+31% (+19%; +45%)
Boomkruiper	+	niet-lineair	+1.4% (+0.5%; +2.3%)	+25% (+9%; +43%)
Grasmus	+	niet-lineair	+1.22% (+0.58%; +1.86%)	+21% (+10%; +34%)
Pimpelmees	+~	niet-lineair	+1.157% (+0.682%; +1.623%)	+20% (+11%; +29%)
Vink	+~	niet-lineair	+0.975% (+0.723%; +1.238%)	+16.8% (+12.2%; +21.8%)
Tjiftjaf	+~	niet-lineair	+0.955% (+0.652%; +1.258%)	+16% (+11%; +22%)
Zwarte kraai	+~	niet-lineair	+0.864% (+0.582%; +1.157%)	+15% (+10%; +20%)
Boerenzwaluw	+~	niet-lineair	+0.86% (+0.20%; +1.53%)	+15% (+3%; +28%)
Houtduif	+~	niet-lineair	+0.33% (+0.12%; +0.54%)	+5.4% (+1.9%; +9.0%)
Kleine karekiet	~	niet-lineair	+0.68% (-0.36%; +1.75%)	+11% (-6%; +32%)



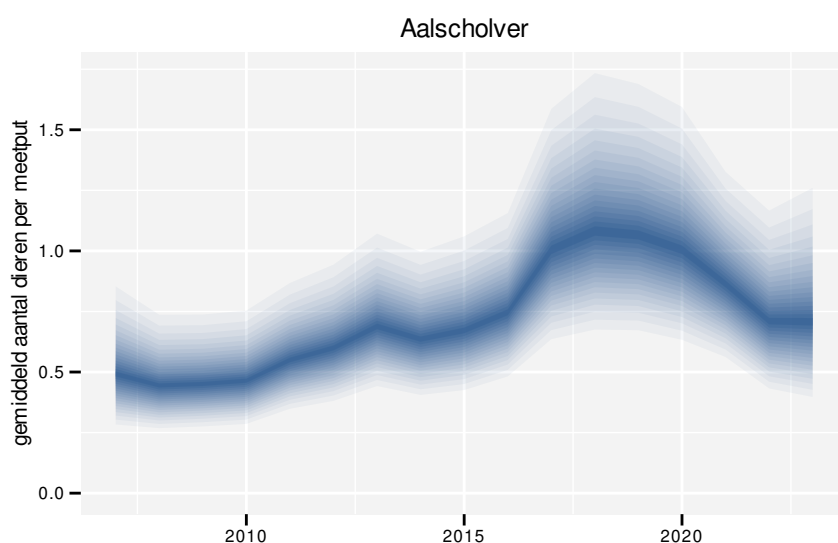
soort	klasse	interpretatie	jaarlijkse wijziging	wijziging over de looptijd
Fazant	~	niet-lineair	-0.34% (-0.74%; +0.05%)	-5.3% (-11.2%; +0.8%)
Gaai	~	lineair	-0.51% (-1.26%; +0.25%)	-7.8% (-18.4%; +4.1%)
Groene specht	--	niet-lineair	-0.58% (-1.10%; -0.05%)	-8.9% (-16.3%; -0.8%)
Ekster	--	niet-lineair	-0.69% (-1.24%; -0.13%)	-10.5% (-18.1%; -2.1%)
Koolmees	--	niet-lineair	-0.797% (-1.094%; -0.509%)	-12.01% (-16.14%; -7.84%)
Gele kwikstaart	--	niet-lineair	-0.85% (-1.53%; -0.16%)	-13% (-22%; -3%)
Groenling	--	niet-lineair	-0.91% (-1.61%; -0.21%)	-14% (-23%; -3%)
Holenduif	--	niet-lineair	-1.07% (-1.67%; -0.47%)	-16% (-24%; -7%)
Winterkoning	--	niet-lineair	-1.094% (-1.321%; -0.856%)	-16.14% (-19.17%; -12.86%)
Scholekster	-	mogelijk niet-lineair	-1.13% (-1.95%; -0.31%)	-17% (-27%; -5%)
Koekoek	-	niet-lineair	-1.4% (-2.5%; -0.2%)	-20% (-34%; -3%)
Heggenmus	-	niet-lineair	-1.67% (-2.06%; -1.28%)	-23.6% (-28.3%; -18.6%)
Spreeuw	-	niet-lineair	-1.8% (-2.3%; -1.2%)	-25% (-31%; -18%)
Turkse tortel	-	niet-lineair	-1.98% (-2.29%; -1.67%)	-27.4% (-31.0%; -23.6%)
Veldleeuwerik	-	niet-lineair	-2.1% (-2.7%; -1.6%)	-29% (-35%; -23%)
Geelgors	-	niet-lineair	-2.5% (-3.6%; -1.5%)	-34% (-44%; -21%)
Kuifmees	-	niet-lineair	-2.6% (-4.0%; -1.2%)	-35% (-48%; -18%)
Goudhaan	-	niet-lineair	-2.8% (-4.3%; -1.2%)	-36% (-51%; -18%)
Zilvermeeuw	-	niet-lineair	-3.5% (-6.6%; -0.3%)	-44% (-67%; -5%)
Matkop	-	niet-lineair	-6.30% (-10.87%; -1.51%)	-65% (-84%; -22%)
Huismus	--	niet-lineair	-2.30% (-2.64%; -1.96%)	-31.1% (-34.9%; -27.2%)
Wilde eend	--	lineair	-2.5% (-3.0%; -1.9%)	-33% (-39%; -26%)
Waterhoen	--	niet-lineair	-2.8% (-3.6%; -2.0%)	-37% (-44%; -28%)
Zanglijster	--	niet-lineair	-2.92% (-3.35%; -2.47%)	-37.7% (-42.1%; -33.0%)
Merel	--	niet-lineair	-3.64% (-3.84%; -3.44%)	-44.8% (-46.6%; -42.9%)
Zwarte mees	--	mogelijk niet-lineair	-4.7% (-7.0%; -2.4%)	-54% (-69%; -33%)
Patrijs	--	niet-lineair	-4.8% (-6.0%; -3.7%)	-55% (-63%; -45%)
Tuinfluit	--	niet-lineair	-4.9% (-6.2%; -3.5%)	-55% (-64%; -43%)
Graspieper	--	niet-lineair	-4.9% (-6.0%; -3.8%)	-55% (-63%; -46%)
Stadsduif	--	niet-lineair	-5.9% (-8.1%; -3.5%)	-62% (-74%; -43%)
Fitis	--	niet-lineair	-5.9% (-7.3%; -4.5%)	-62% (-70%; -52%)
Wielewaal	--	niet-lineair	-6.6% (-9.5%; -3.6%)	-66% (-80%; -44%)

////////////////////////////////////

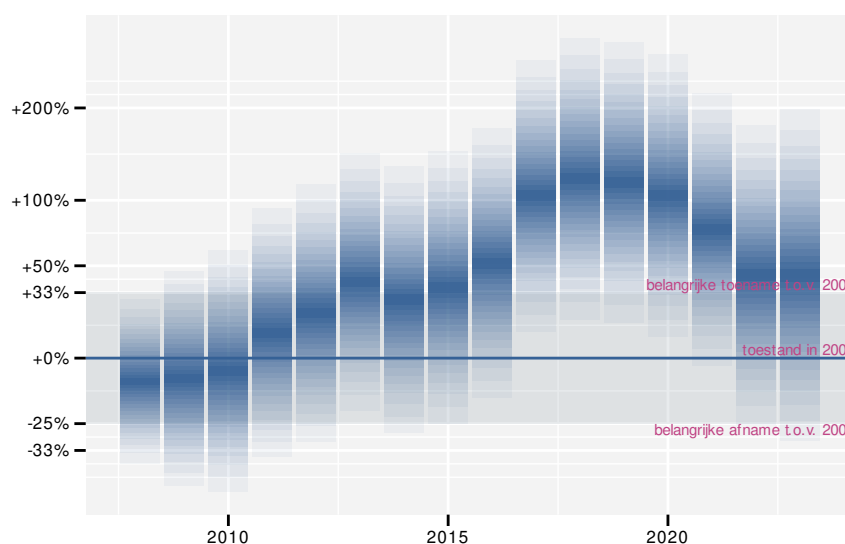
13 AALSCHOLVER

13.1 ANALYSE PER JAAR

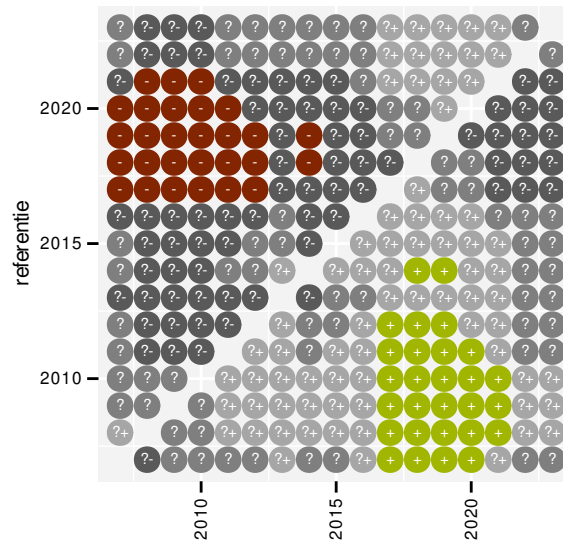
Op basis van jaarlijkse gegevens zien we gemiddeld een sterke toename met +6.51% (+2.27%; +10.94%) per jaar of +170% (+40%; +430%) over de volledige looptijd van het meetnet. Deze trend is niet-lineair.



Figuur 13.1: Evolutie van het gemodelleerde gemiddeld aantal waargenomen dieren op een meetpunt voor Aalscholver tijdens de referentieperiode. Zie §3.1 voor een verklaring van de intervallen.



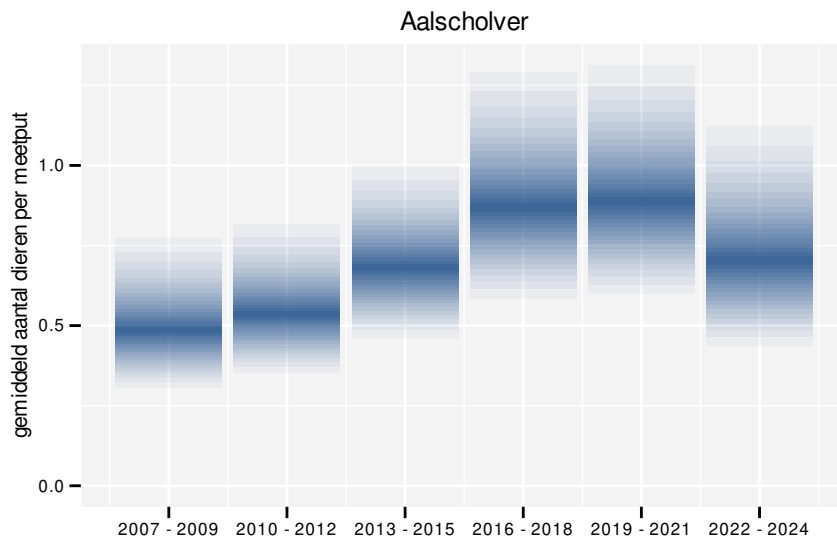
Figuur 13.2: Wijzigingen tussen jaren voor Aalscholver. Zie §3.1 voor een verklaring van de intervallen en §3.2 voor uitleg over de symbolen en referentielijnen.



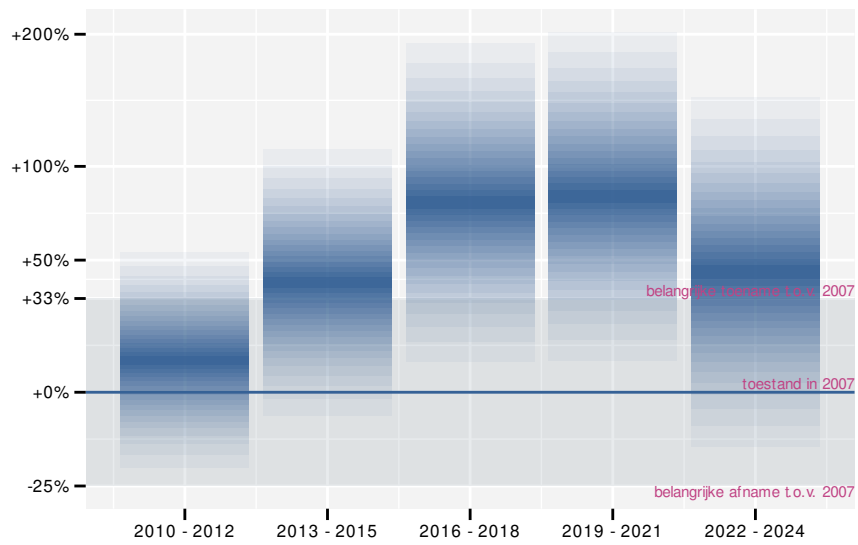
Figuur 13.3: Paarsgewijze vergelijking tussen jaren voor Aalscholver. Uitleg van de symbolen in tabel 3.1.

13.2 ANALYSE PER DRIEJAARLIJKSE CYCLUS

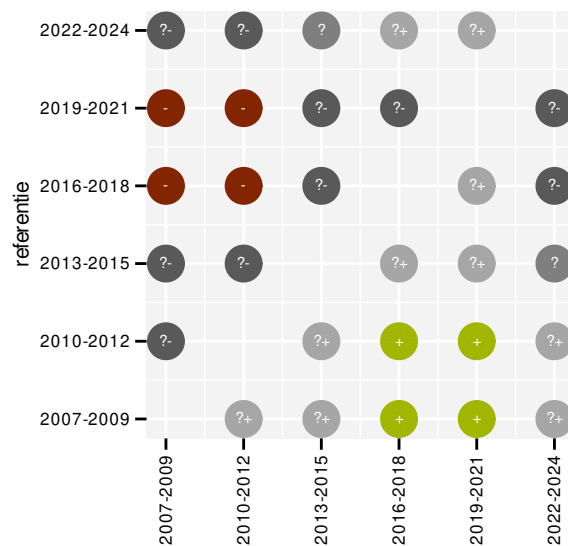
Op basis van driejaarlijkse gegevens zien we gemiddeld een sterke toename met +6.39% (+2.08%; +10.89%) per jaar of +170% (+40%; +420%) over de volledige looptijd van het meetnet. Deze trend is niet-lineair.



Figuur 13.4: Evolutie van het gemodelleerde gemiddeld aantal waargenomen dieren op een meetpunt voor Aalscholver tijdens de referentieperiode. Zie §3.1 voor een verklaring van de intervallen.



Figuur 13.5: Wijzigingen per driejarige cyclus voor Aalscholver. Zie §3.1 voor een verklaring van de intervallen en §3.2 voor uitleg over de symbolen en referentielijnen.

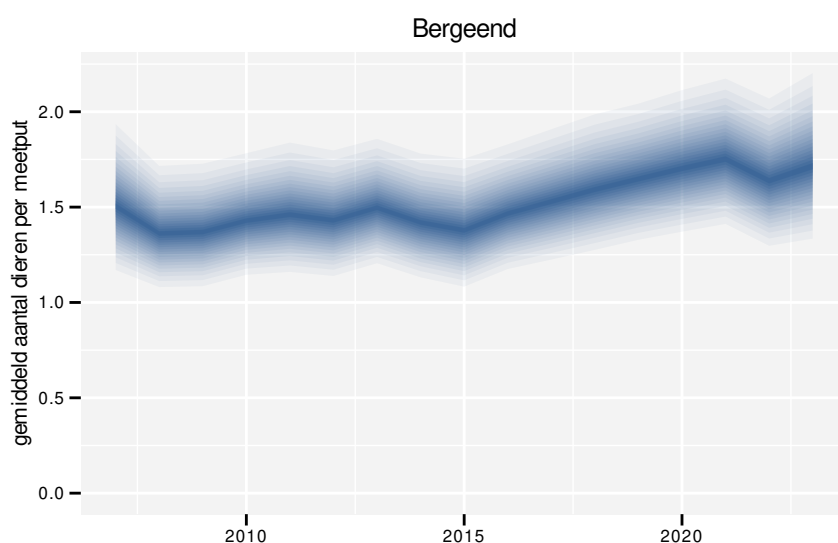


Figuur 13.6: Paarsgewijze vergelijking tussen driejarige cycli voor Aalscholver. Uitleg van de symbolen in tabel 3.1.

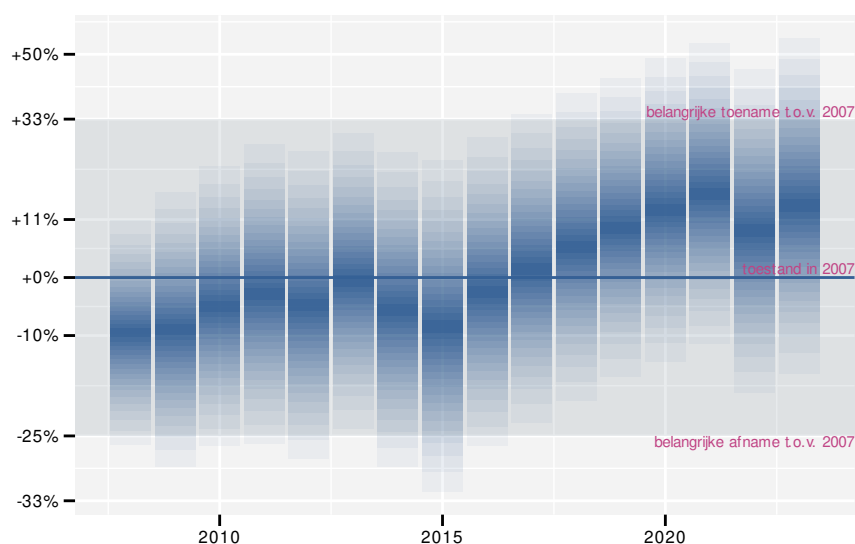
14 BERGEEND

14.1 ANALYSE PER JAAR

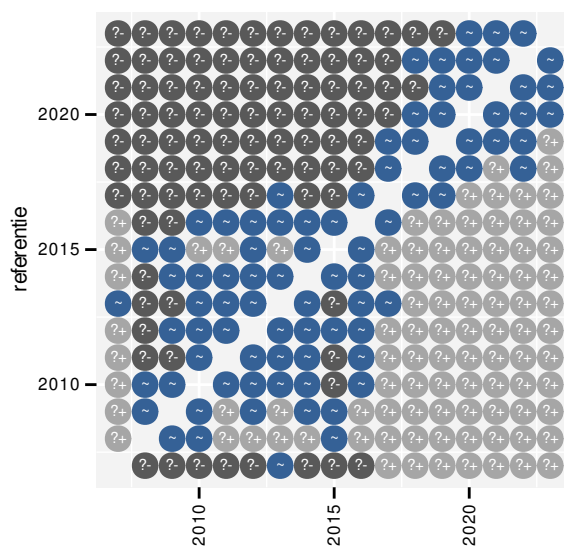
Op basis van jaarlijkse gegevens zien we gemiddeld een mogelijke toename met +1.4% (-0.2%; +2.9%) per jaar of +24% (-3%; +59%) over de volledige looptijd van het meetnet. Deze trend is lineair.



Figuur 14.1: Evolutie van het gemodelleerde gemiddeld aantal waargenomen dieren op een meetpunt voor Bergeend tijdens de referentieperiode. Zie §3.1 voor een verklaring van de intervallen.



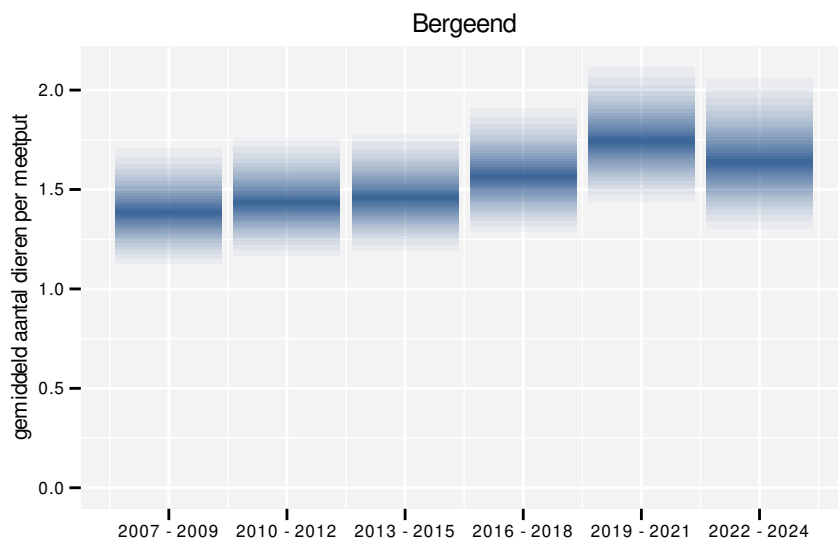
Figuur 14.2: Wijzigingen tussen jaren voor Bergeend. Zie §3.1 voor een verklaring van de intervallen en §3.2 voor uitleg over de symbolen en referentielijnen.



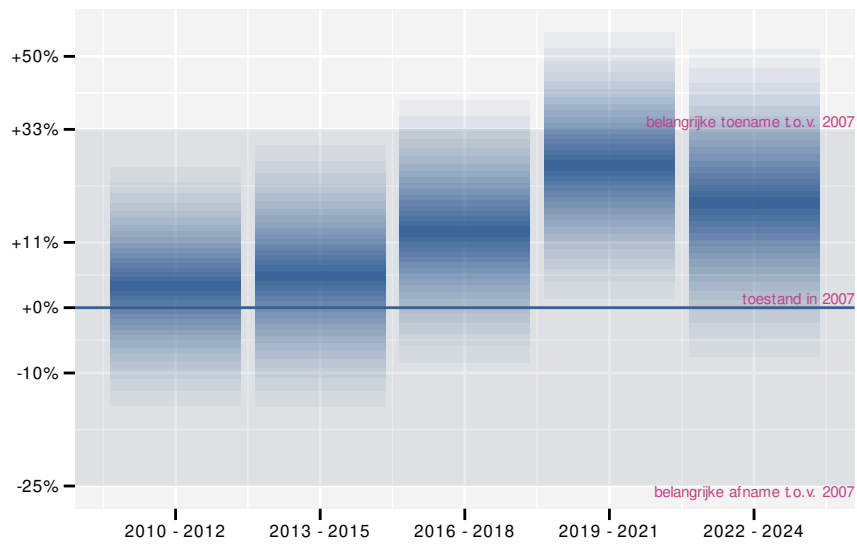
Figuur 14.3: Paarsgewijze vergelijking tussen jaren voor Bergeend. Uitleg van de symbolen in tabel 3.1.

14.2 ANALYSE PER DRIEJAARLIJKSE CYCLUS

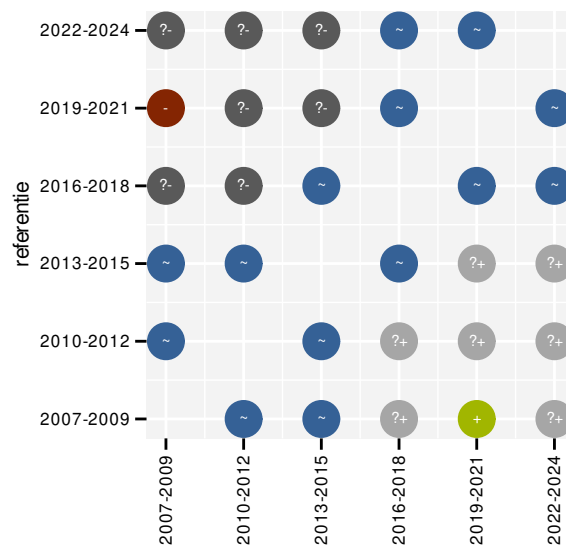
Op basis van driejaarlijkse gegevens zien we gemiddeld een mogelijke toename met +1.5% (-0.0%; +3.1%) per jaar of +27% (-1%; +63%) over de volledige looptijd van het meetnet. Deze trend is lineair.



Figuur 14.4: Evolutie van het gemodelleerde gemiddeld aantal waargenomen dieren op een meetpunt voor Bergeend tijdens de referentieperiode. Zie §3.1 voor een verklaring van de intervallen.



Figuur 14.5: Wijzigingen per driejarige cyclus voor Bergeend. Zie §3.1 voor een verklaring van de intervallen en §3.2 voor uitleg over de symbolen en referentielijnen.



Figuur 14.6: Paarsgewijze vergelijking tussen driejarige cycli voor Bergeend. Uitleg van de symbolen in tabel 3.1.

14.3 KENMERKEN VAN DE GEGEVENS

Tabel 14.1: Stratumgewicht, raming van het aantal hokken waarin de soort aanwezig is, aantal relevante hokken voor de analyse, aantal onderzochte hokken in het stratum, totaal aantal hokken van het stratum in Vlaanderen, aantal bezoeken aan een meetpunt en het gemiddeld aandeel relevante punten per hok voor Bergeend (zie §2.5).

stratum	gewicht	aanwezig	relevant	onderzocht	totaal	bezoeken	punten
Landbouw	90.6%	907.8	62	431	6311	2998	58.9%
Moeras en water	4.6%	46.2	27	80	137	1018	52.5%
Suburbaan	2.4%	26.6	9	68	201	306	51.9%
Heide en duin	1.9%	21.2	10	94	199	513	56.7%
Bos	0.5%	6.7	4	191	319	149	41.7%

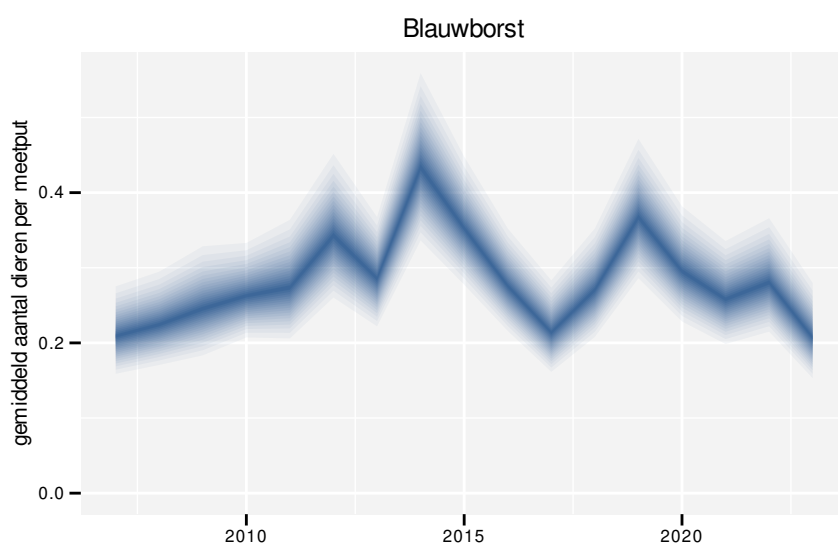
Tabel 14.2: Data-hashes van de analyses in het kader van traceerbaarheid (zie §4.3).

frequentie	model	analyse	status
jaarlijks	niet-lineair	7df296267f7fe00bd6fa 890413cfd766f3c564a4	bc3dcbb08ecc6e65ef0b f2791ab10ed5c2c670bc
jaarlijks	lineair	0bf2c8c4276ad1bdac01 13aa57d0db48210c2ddf	e0fab18f63cb3a3efb7 21e6b39da895384bdf06
driejaarlijks	niet-lineair	cfb28c686040b3dcc22a 94554c8161b1974d23a8	afe25b551072b5e0dcfa d710899d1b8430474e9a
driejaarlijks	lineair	860f565f39c4491817ca 18b59a2a542828b35ab8	df76b02b6b6e27779c5b a87e36769d08eefc0493

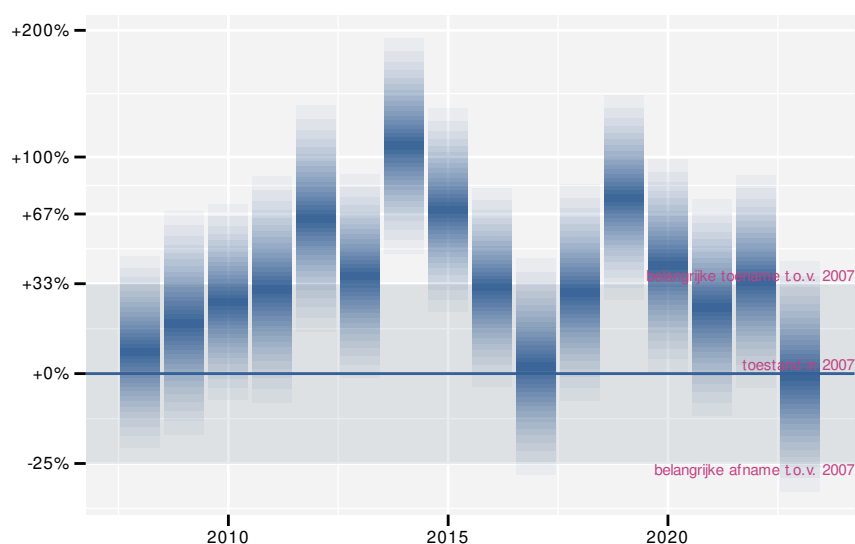
15 BLAUWBORST

15.1 ANALYSE PER JAAR

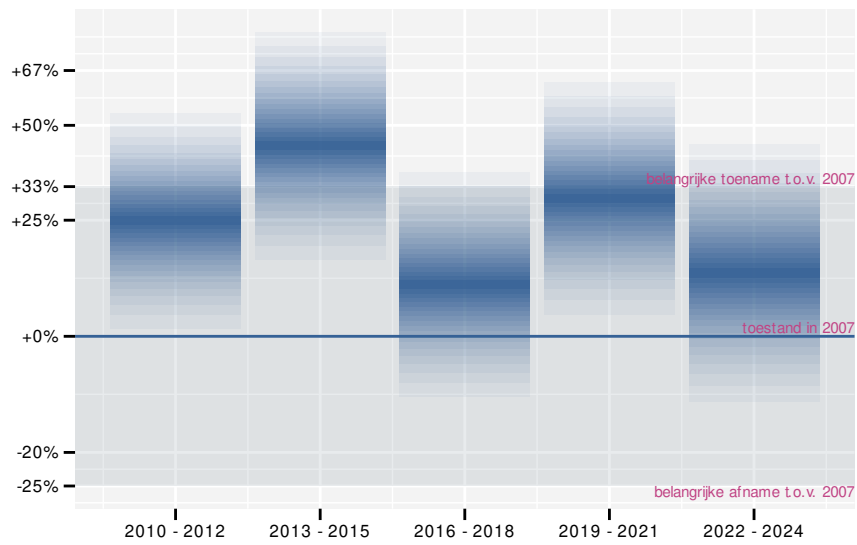
Op basis van jaarlijkse gegevens zien we gemiddeld een mogelijke toename met +0.6% (-0.8%; +2.1%) per jaar of +10% (-12%; +38%) over de volledige looptijd van het meetnet. Deze trend is niet-lineair.



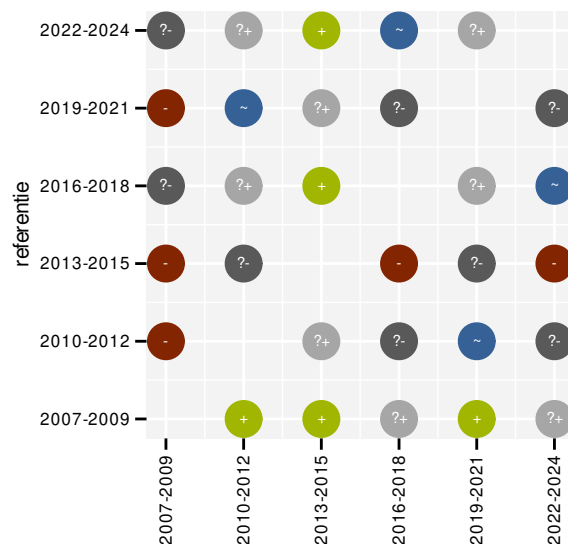
Figuur 15.1: Evolutie van het gemodelleerde gemiddeld aantal waargenomen dieren op een meetpunt voor Blauwborst tijdens de referentieperiode. Zie §3.1 voor een verklaring van de intervallen.



Figuur 15.2: Wijzigingen tussen jaren voor Blauwborst. Zie §3.1 voor een verklaring van de intervallen en §3.2 voor uitleg over de symbolen en referentielijnen.



Figuur 15.5: Wijzigingen per driejarige cyclus voor Blauwborst. Zie §3.1 voor een verklaring van de intervallen en §3.2 voor uitleg over de symbolen en referentielijnen.



Figuur 15.6: Paarsgewijze vergelijking tussen driejarige cycli voor Blauwborst. Uitleg van de symbolen in tabel 3.1.

15.3 KENMERKEN VAN DE GEGEVENS

Tabel 15.1: Stratumgewicht, raming van het aantal hokken waarin de soort aanwezig is, aantal relevante hokken voor de analyse, aantal onderzochte hokken in het stratum, totaal aantal hokken van het stratum in Vlaanderen, aantal bezoeken aan een meetpunt en het gemiddeld aandeel relevante punten per hok voor Blauwborst (zie §2.5).

stratum	gewicht	aanwezig	relevant	onderzocht	totaal	bezoeken	punten
Landbouw	93.4%	790.7	54	431	6311	2318	50.6%
Moeras en water	3.2%	27.4	16	80	137	757	57.3%
Heide en duin	2.0%	19.1	9	94	199	279	37.0%
Suburbaan	1.4%	14.8	5	68	201	135	53.3%

Tabel 15.2: Data-hashes van de analyses in het kader van traceerbaarheid (zie §4.3).

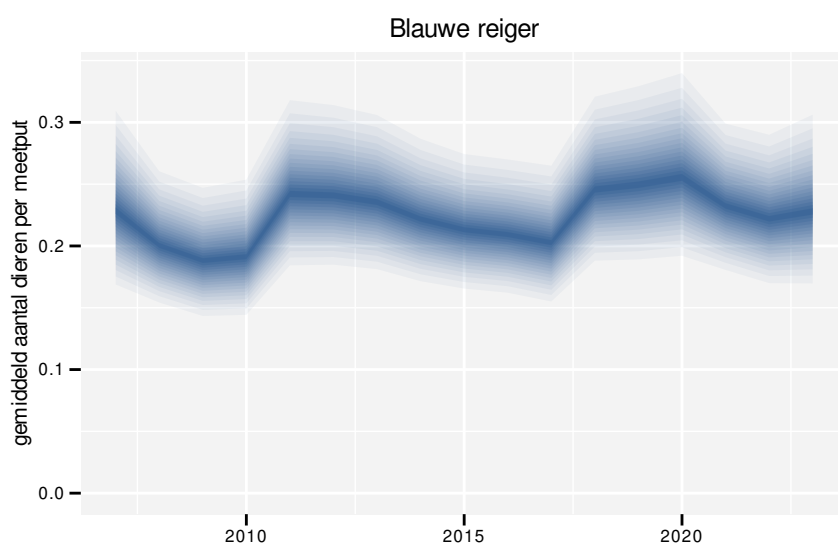
frequentie	model	analyse	status
jaarlijks	niet-lineair	639921afb00a469b1f92 c73a06a48454bf180b42	4cda8331fb46203e39f2 2d86a1150c07e3de0a7f
jaarlijks	lineair	b88b20623c5793f9f1d0 e8860ab65f4701f9a245	62a2fd85075057930c0e 2f2578fc2056146308c7
driejaarlijks	niet-lineair	b55a6f5e2ba73fb406da 11ae3390a3a3fcaeb13e	6938c53ab0a345024c78 8ea20ac03c2ddde83f49
driejaarlijks	lineair	b15d26612f7a81a01158 67e264977b4310422ba1	4e1ed0b237ebadd7530a b974b4f6d063950baffc



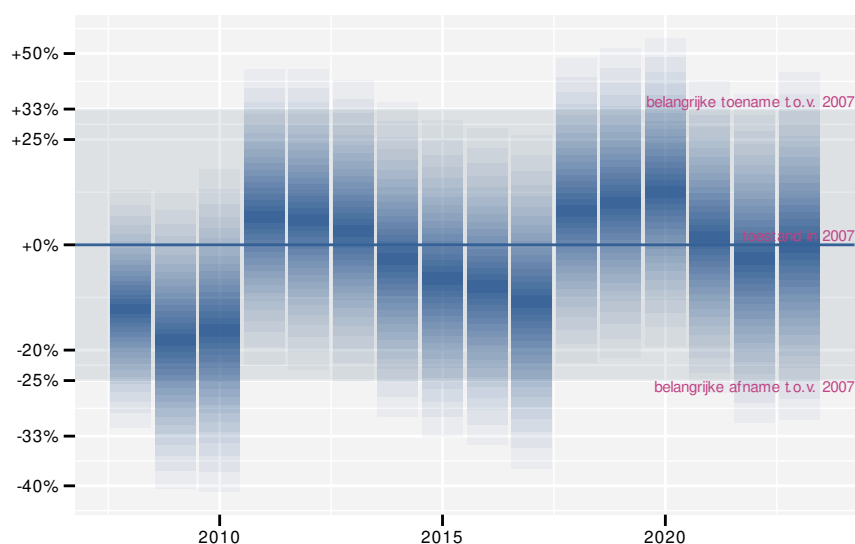
16 BLAUWE REIGER

16.1 ANALYSE PER JAAR

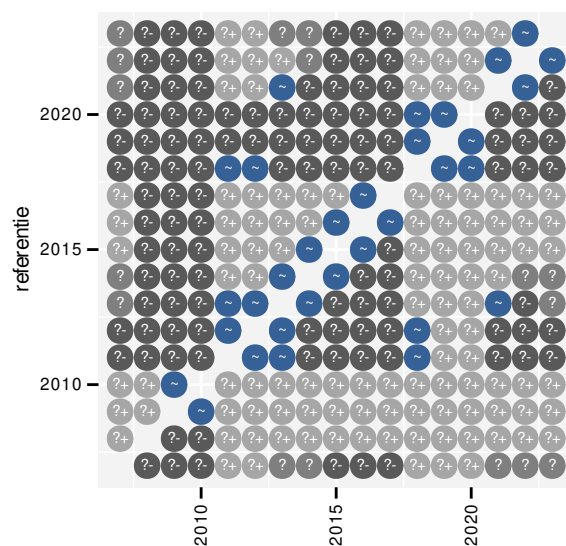
Op basis van jaarlijkse gegevens zien we gemiddeld een mogelijke toename met +1.1% (-0.7%; +2.8%) per jaar of +18% (-11%; +57%) over de volledige looptijd van het meetnet. Deze trend is niet-lineair.



Figuur 16.1: Evolutie van het gemodelleerde gemiddeld aantal waargenomen dieren op een meetpunt voor Blauwe reiger tijdens de referentieperiode. Zie §3.1 voor een verklaring van de intervallen.



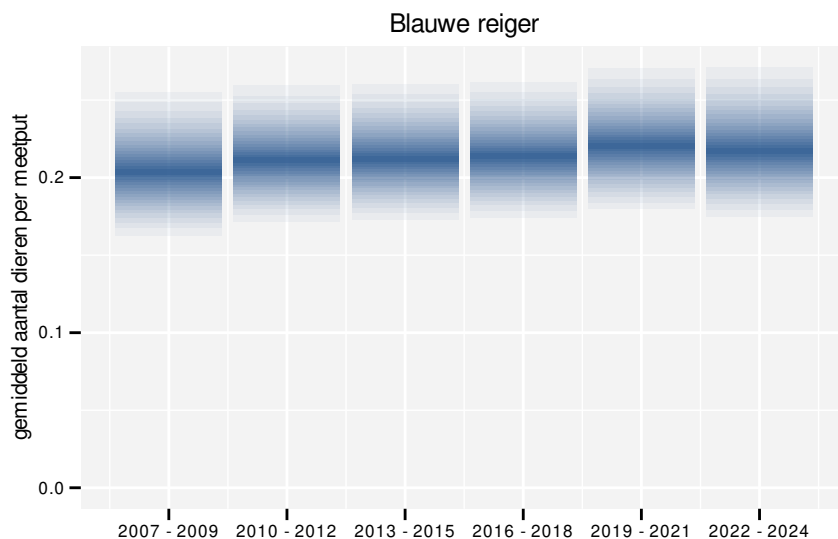
Figuur 16.2: Wijzigingen tussen jaren voor Blauwe reiger. Zie §3.1 voor een verklaring van de intervallen en §3.2 voor uitleg over de symbolen en referentielijnen.



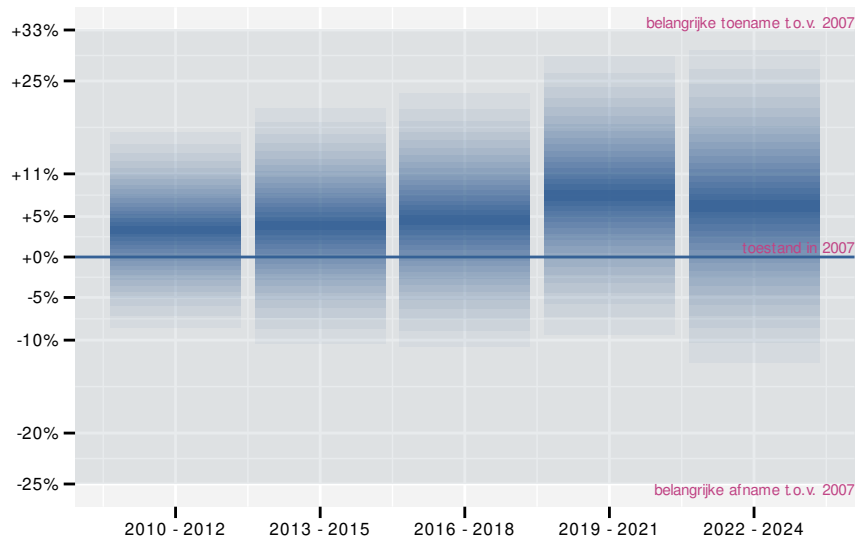
Figuur 16.3: Paarsgewijze vergelijking tussen jaren voor Blauwe reiger. Uitleg van de symbolen in tabel 3.1.

16.2 ANALYSE PER DRIEJAARLIJKSE CYCLUS

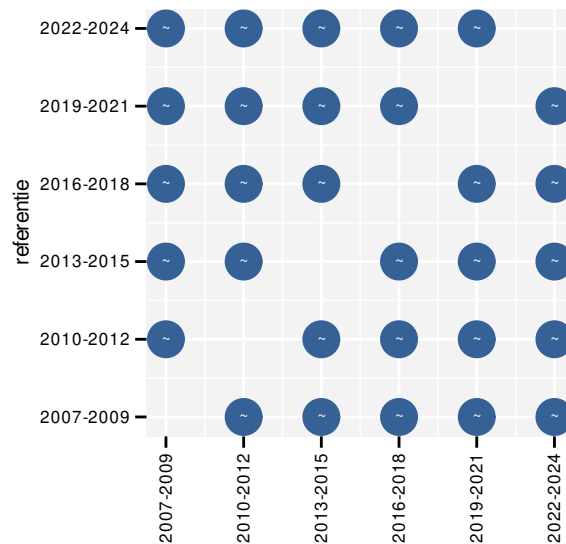
Op basis van driejaarlijkse gegevens zien we gemiddeld een mogelijke toename met +0.9% (-0.8%; +2.7%) per jaar of +16% (-12%; +53%) over de volledige looptijd van het meetnet. Deze trend is niet-lineair.



Figuur 16.4: Evolutie van het gemodelleerde gemiddeld aantal waargenomen dieren op een meetpunt voor Blauwe reiger tijdens de referentieperiode. Zie §3.1 voor een verklaring van de intervallen.



Figuur 16.5: Wijzigingen per driejarige cyclus voor Blauwe reiger. Zie §3.1 voor een verklaring van de intervallen en §3.2 voor uitleg over de symbolen en referentielijnen.

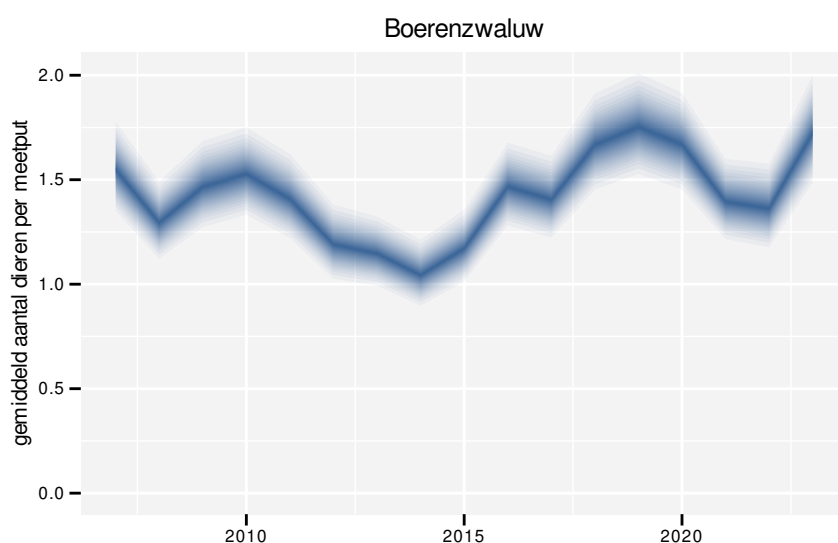


Figuur 16.6: Paarsgewijze vergelijking tussen driejarige cycli voor Blauwe reiger. Uitleg van de symbolen in tabel 3.1.

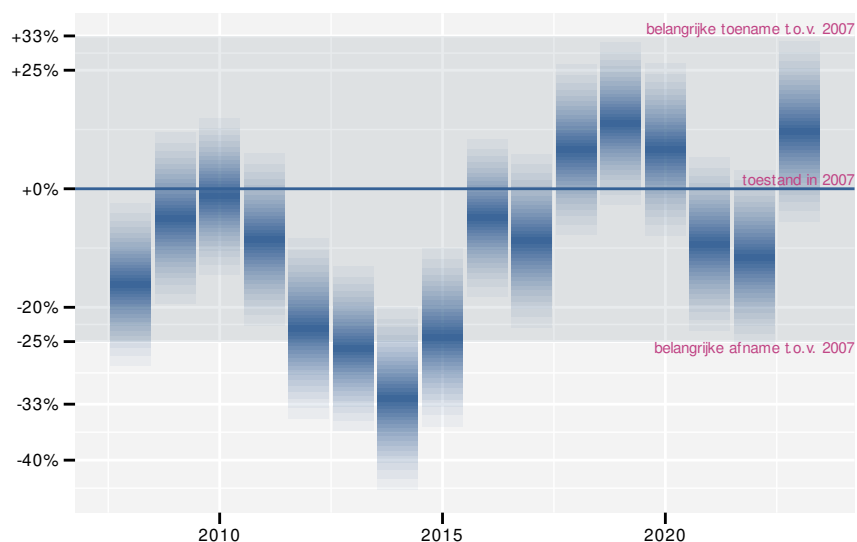
17 BOERENZWALUW

17.1 ANALYSE PER JAAR

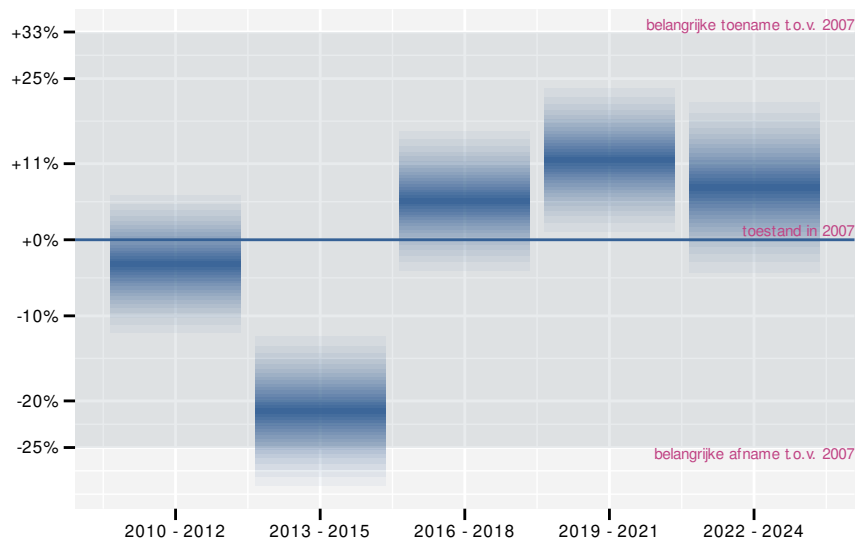
Op basis van jaarlijkse gegevens zien we gemiddeld een matige toename met +0.86% (+0.20%; +1.53%) per jaar of +15% (+3%; +28%) over de volledige looptijd van het meetnet. Deze trend is niet-lineair.



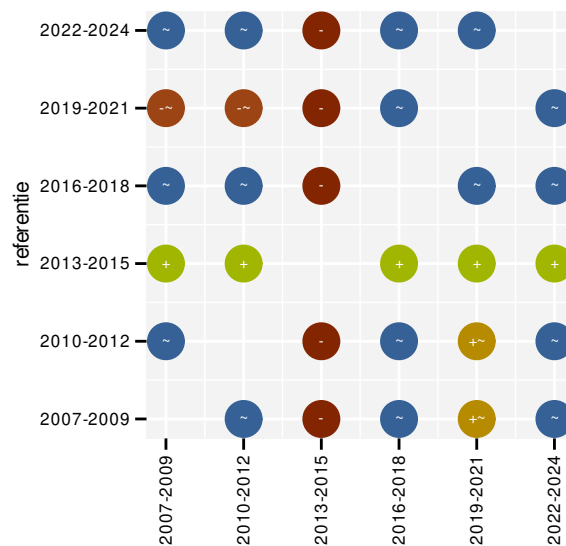
Figuur 17.1: Evolutie van het gemodelleerde gemiddeld aantal waargenomen dieren op een meetpunt voor Boerenzwaluw tijdens de referentieperiode. Zie §3.1 voor een verklaring van de intervallen.



Figuur 17.2: Wijzigingen tussen jaren voor Boerenzwaluw. Zie §3.1 voor een verklaring van de intervallen en §3.2 voor uitleg over de symbolen en referentielijnen.



Figuur 17.5: Wijzigingen per driejarige cyclus voor Boerenzwaluw. Zie §3.1 voor een verklaring van de intervallen en §3.2 voor uitleg over de symbolen en referentielijnen.



Figuur 17.6: Paarsgewijze vergelijking tussen driejarige cycli voor Boerenzwaluw. Uitleg van de symbolen in tabel 3.1.

17.3 KENMERKEN VAN DE GEGEVENS

Tabel 17.1: Stratumgewicht, raming van het aantal hokken waarin de soort aanwezig is, aantal relevante hokken voor de analyse, aantal onderzochte hokken in het stratum, totaal aantal hokken van het stratum in Vlaanderen, aantal bezoeken aan een meetpunt en het gemiddeld aandeel relevante punten per hok voor Boerenwaluw (zie §2.5).

stratum	gewicht	aanwezig	relevant	onderzocht	totaal	bezoeken	punten
Landbouw	95.0%	4290.3	293	431	6311	10909	73.8%
Urbain	1.4%	62.2	13	87	416	372	50.0%
Heide en duin	1.2%	55.0	26	94	199	765	53.2%
Moeras en water	1.0%	46.2	27	80	137	767	58.6%
Suburban	0.9%	41.4	14	68	201	219	40.5%
Bos	0.6%	25.1	15	191	319	347	47.8%

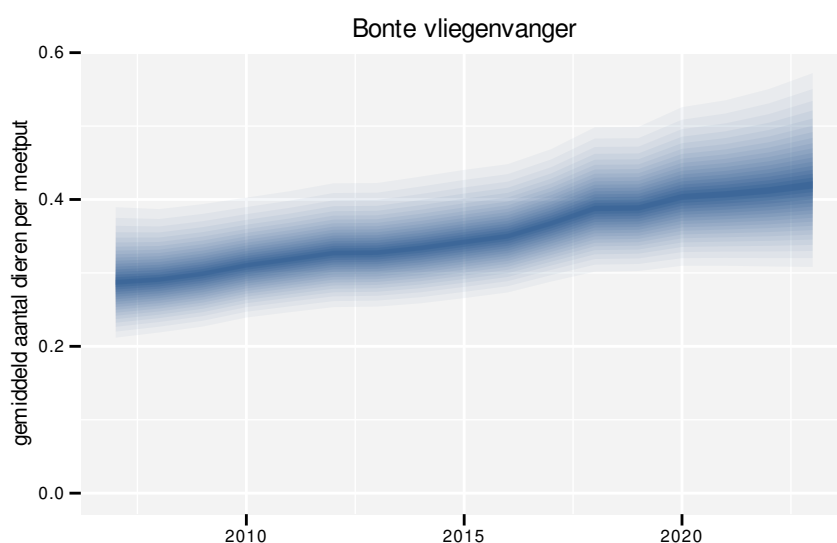
Tabel 17.2: Data-hashes van de analyses in het kader van traceerbaarheid (zie §4.3).

frequentie	model	analyse	status
jaarlijks	niet-lineair	b3e277071737f4fea97b c7a7e2efdf71a313134d	e63287e1d2108533ee25 068b6d00f786c46580b5
jaarlijks	lineair	6aa1ef507f8055df7cb4 ac988f9c99f4aa034242	db41c6ec577af9f874b7 dd628f67cf0800b8f28b
driejaarlijks	niet-lineair	dc504e7e6d04d45ccc6e 6eb088e10e6ae370db7f	877a07d273ffa7a31d08 98c763e6de31a611cf67
driejaarlijks	lineair	ab48257c9f53c661fd4b 069a55d55b89bfc9e721	64cfe85f7bc17550b9c4 507f9fc0bad91cffad8b

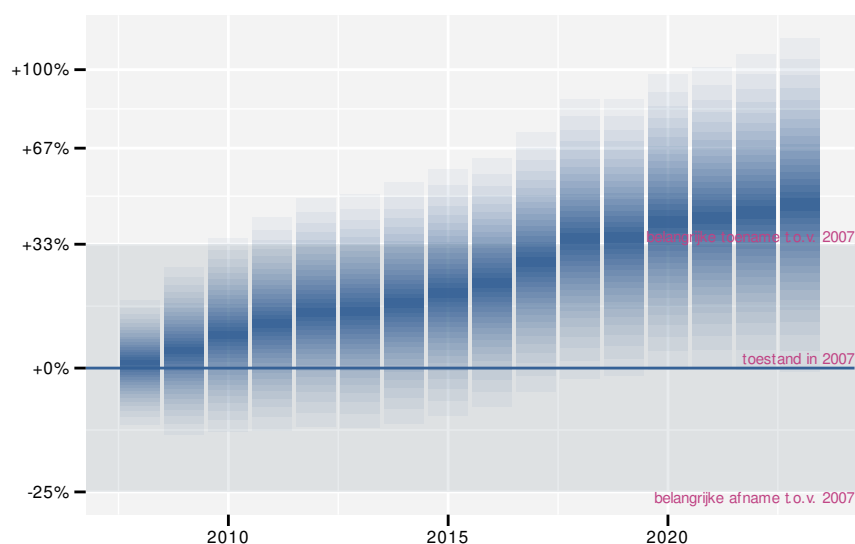
18 BONTE VLEGENVANGER

18.1 ANALYSE PER JAAR

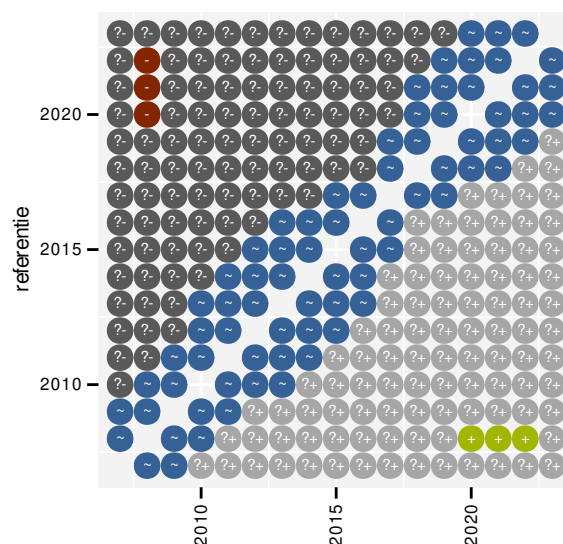
Op basis van jaarlijkse gegevens zien we gemiddeld een toename met +4.1% (+1.6%; +6.7%) per jaar of +91% (+29%; +182%) over de volledige looptijd van het meetnet. Deze trend is lineair.



Figuur 18.1: Evolutie van het gemodelleerde gemiddeld aantal waargenomen dieren op een meetpunt voor Bonte vliegenvanger tijdens de referentieperiode. Zie §3.1 voor een verklaring van de intervallen.



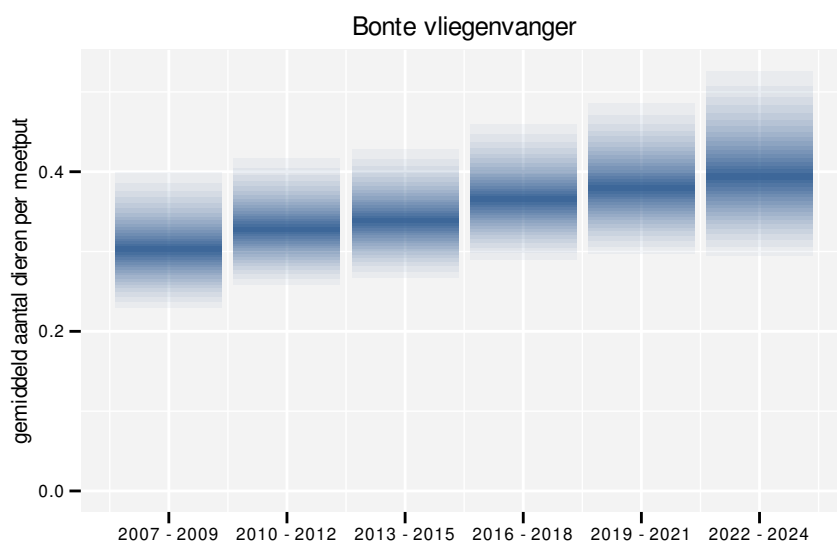
Figuur 18.2: Wijzigingen tussen jaren voor Bonte vliegenvanger. Zie §3.1 voor een verklaring van de intervallen en §3.2 voor uitleg over de symbolen en referentielijnen.



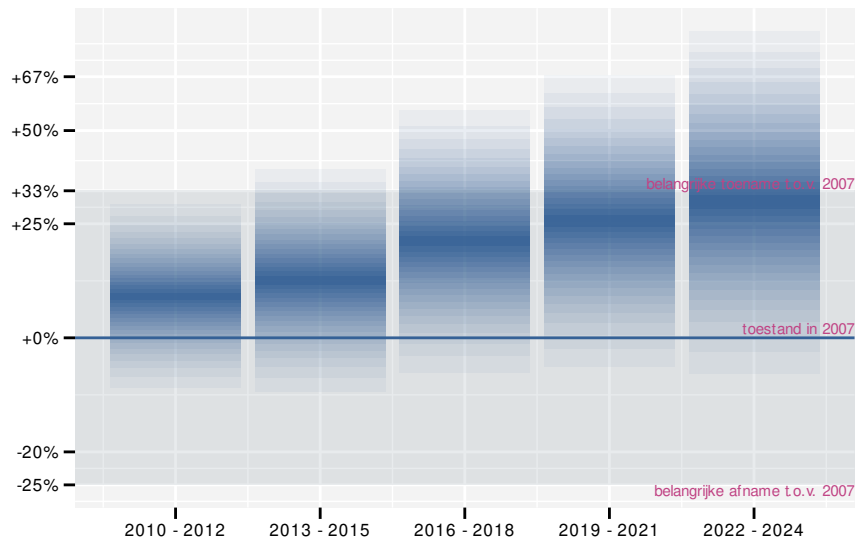
Figuur 18.3: Paarsgewijze vergelijking tussens jaren voor Bonte vliegenvanger. Uitleg van de symbolen in tabel 3.1.

18.2 ANALYSE PER DRIEJAARLIJKSE CYCLUS

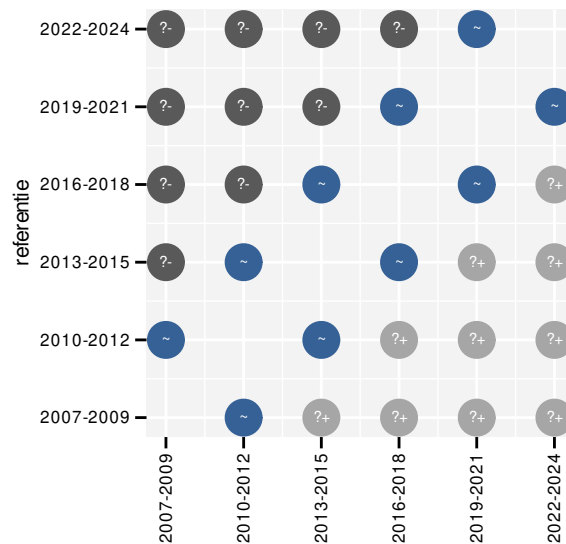
Op basis van driejaarlijkse gegevens zien we gemiddeld een toename met +3.7% (+1.1%; +6.3%) per jaar of +78% (+19%; +168%) over de volledige looptijd van het meetnet. Deze trend is lineair.



Figuur 18.4: Evolutie van het gemodelleerde gemiddeld aantal waargenomen dieren op een meetpunt voor Bonte vliegenvanger tijdens de referentieperiode. Zie §3.1 voor een verklaring van de intervallen.



Figuur 18.5: Wijzigingen per driejarige cyclus voor Bonte vliegenvanger. Zie §3.1 voor een verklaring van de intervallen en §3.2 voor uitleg over de symbolen en referentielijnen.

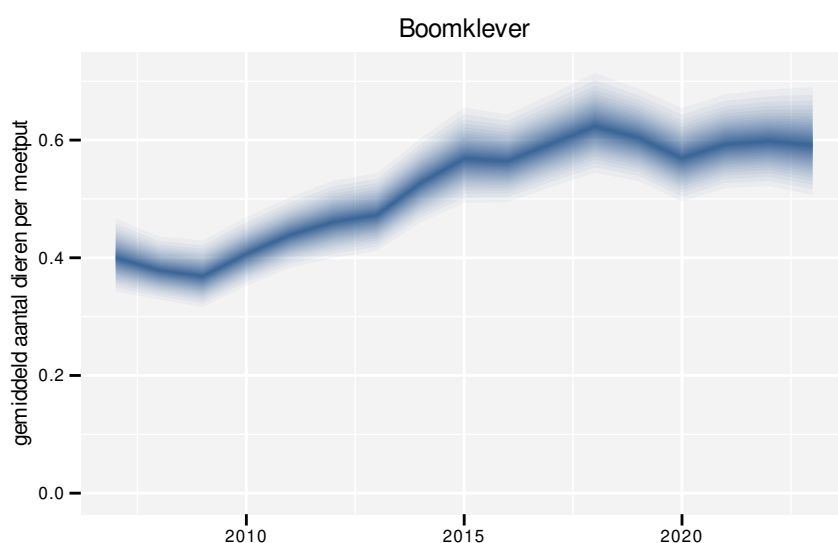


Figuur 18.6: Paarsgewijze vergelijking tussen driejarige cycli voor Bonte vliegenvanger. Uitleg van de symbolen in tabel 3.1.

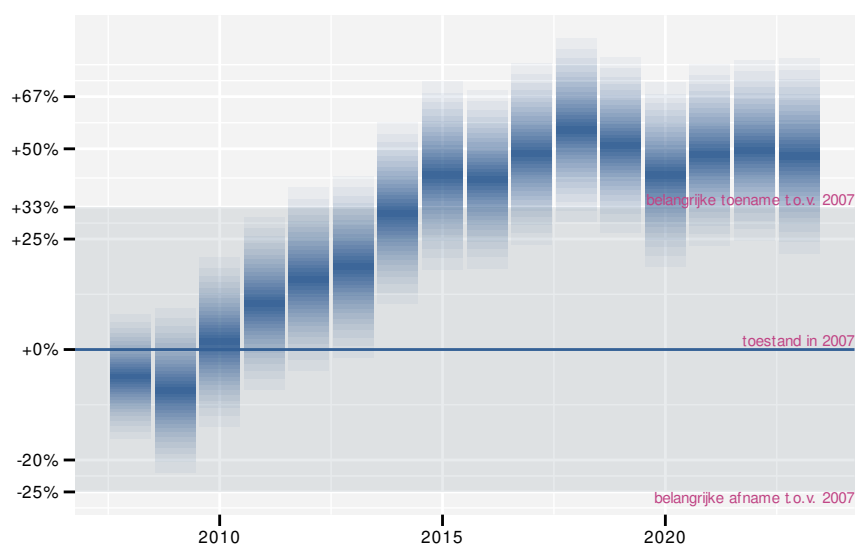
19 BOOMKLEVER

19.1 ANALYSE PER JAAR

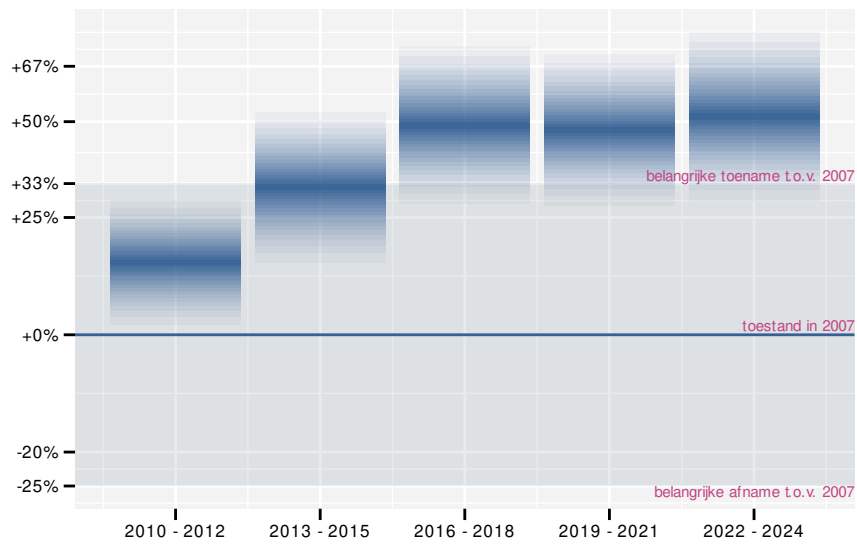
Op basis van jaarlijkse gegevens zien we gemiddeld een sterke toename met +3.6% (+2.6%; +4.7%) per jaar of +76.5% (+49.7%; +108.1%) over de volledige looptijd van het meetnet. Deze trend is niet-lineair.



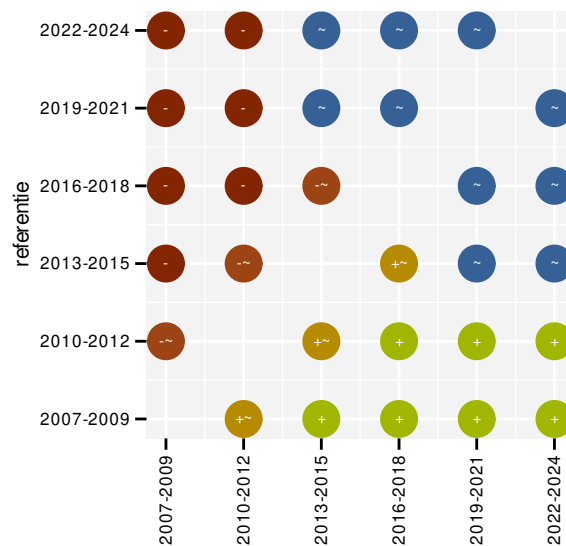
Figuur 19.1: Evolutie van het gemodelleerde gemiddeld aantal waargenomen dieren op een meetpunt voor Boomklever tijdens de referentieperiode. Zie §3.1 voor een verklaring van de intervallen.



Figuur 19.2: Wijzigingen tussen jaren voor Boomklever. Zie §3.1 voor een verklaring van de intervallen en §3.2 voor uitleg over de symbolen en referentielijnen.



Figuur 19.5: Wijzigingen per driejarige cyclus voor Boomklever. Zie §3.1 voor een verklaring van de intervallen en §3.2 voor uitleg over de symbolen en referentielijnen.

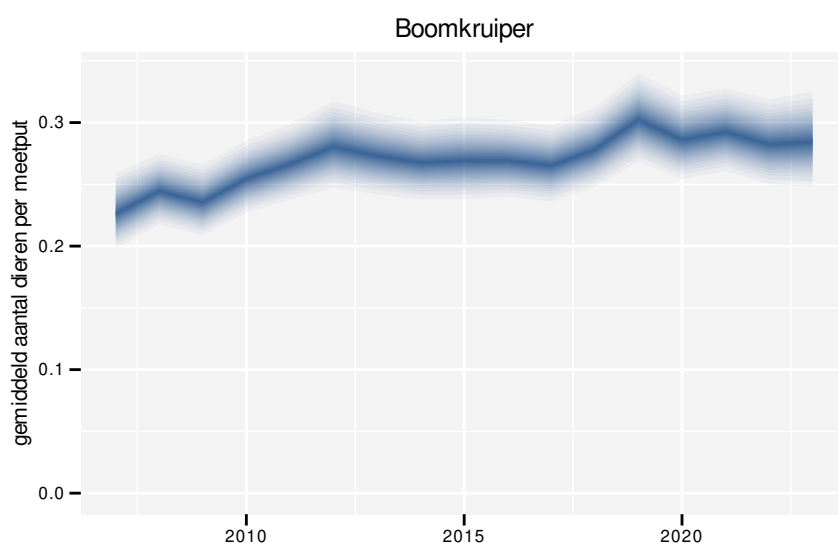


Figuur 19.6: Paarsgewijze vergelijking tussen driejarige cycli voor Boomklever. Uitleg van de symbolen in tabel 3.1.

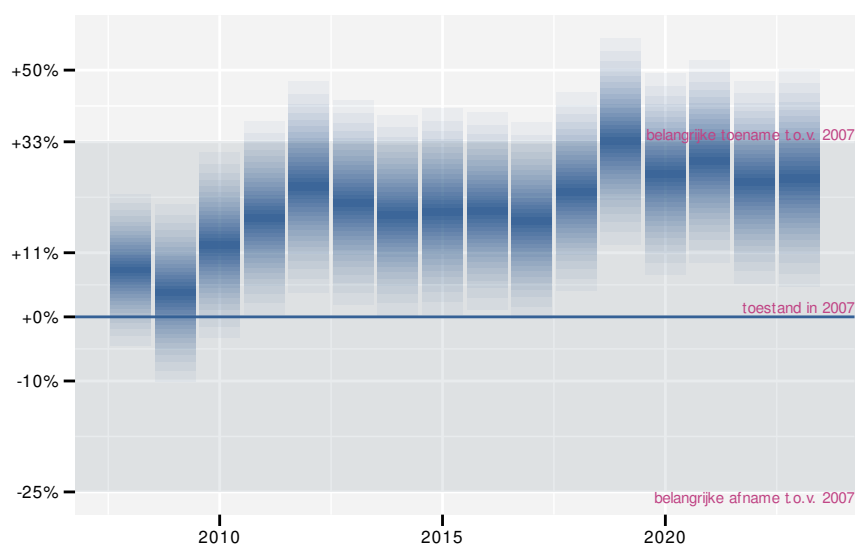
20 BOOMKRUIPER

20.1 ANALYSE PER JAAR

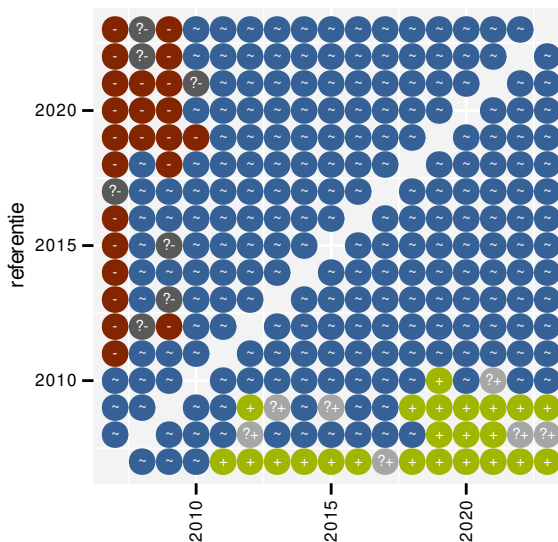
Op basis van jaarlijkse gegevens zien we gemiddeld een toename met +1.4% (+0.5%; +2.3%) per jaar of +25% (+9%; +43%) over de volledige looptijd van het meetnet. Deze trend is niet-lineair.



Figuur 20.1: Evolutie van het gemodelleerde gemiddeld aantal waargenomen dieren op een meetpunt voor Boomkruiper tijdens de referentieperiode. Zie §3.1 voor een verklaring van de intervallen.



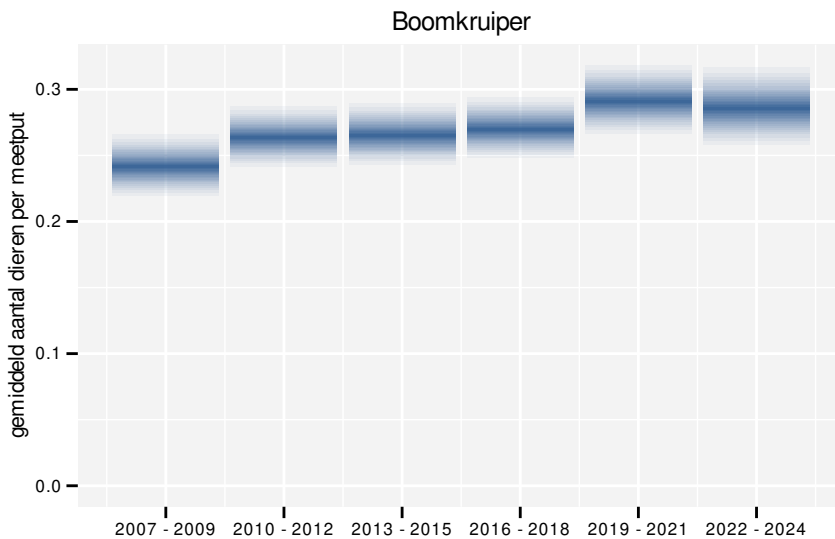
Figuur 20.2: Wijzigingen tussen jaren voor Boomkruiper. Zie §3.1 voor een verklaring van de intervallen en §3.2 voor uitleg over de symbolen en referentielijnen.



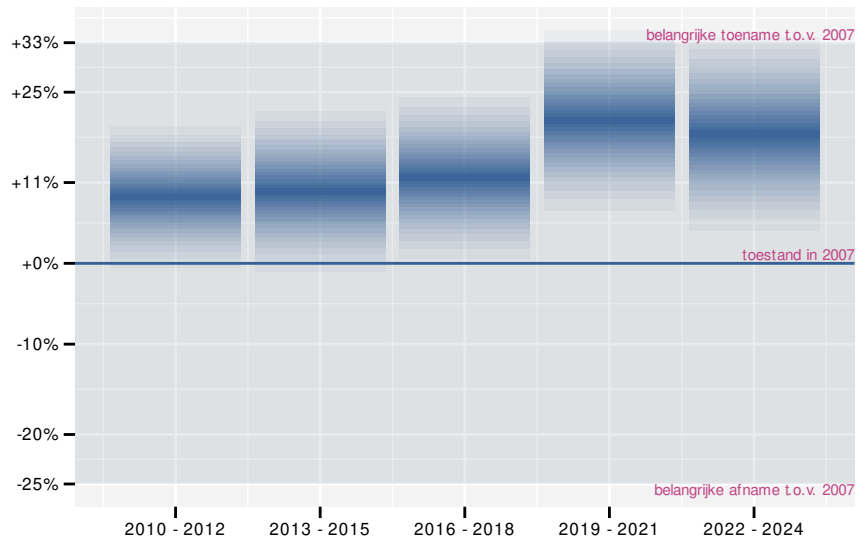
Figuur 20.3: Paarsgewijze vergelijking tussen jaren voor Boomkruiper. Uitleg van de symbolen in tabel 3.1.

20.2 ANALYSE PER DRIEJAARLIJKSE CYCLUS

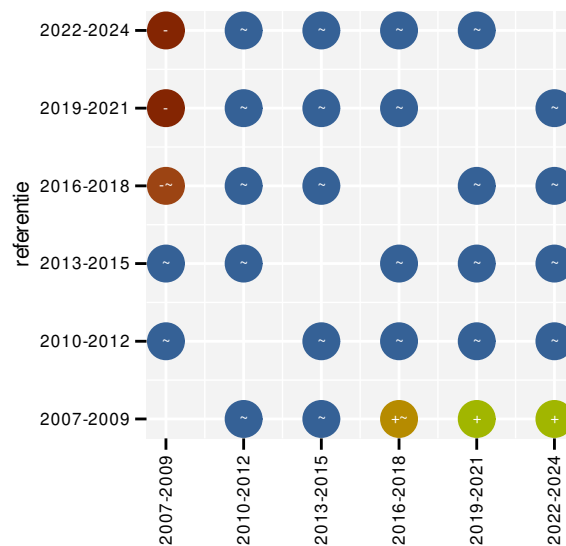
Op basis van driejaarlijkse gegevens zien we gemiddeld een toename met +1.4% (+0.5%; +2.3%) per jaar of +25% (+9%; +43%) over de volledige looptijd van het meetnet. Deze trend is lineair.



Figuur 20.4: Evolutie van het gemodelleerde gemiddeld aantal waargenomen dieren op een meetpunt voor Boomkruiper tijdens de referentieperiode. Zie §3.1 voor een verklaring van de intervallen.



Figuur 20.5: Wijzigingen per driejarige cyclus voor Boomkruiper. Zie §3.1 voor een verklaring van de intervallen en §3.2 voor uitleg over de symbolen en referentielijnen.



Figuur 20.6: Paarsgewijze vergelijking tussen driejarige cycli voor Boomkruiper. Uitleg van de symbolen in tabel 3.1.

20.3 KENMERKEN VAN DE GEGEVENS

Tabel 20.1: Stratumgewicht, raming van het aantal hokken waarin de soort aanwezig is, aantal relevante hokken voor de analyse, aantal onderzochte hokken in het stratum, totaal aantal hokken van het stratum in Vlaanderen, aantal bezoeken aan een meetpunt en het gemiddeld aandeel relevante punten per hok voor Boomkruiper (zie §2.5).

stratum	gewicht	aanwezig	relevant	onderzocht	totaal	bezoeken	punten
Landbouw	71.9%	1420.3	97	431	6311	4181	54.6%
Bos	10.9%	215.5	129	191	319	8138	84.6%
Urbaan	6.3%	124.3	26	87	416	860	42.3%
Heide en duin	5.4%	105.9	50	94	199	2717	67.3%
Suburbaan	3.1%	62.1	21	68	201	909	58.7%
Moeras en water	2.4%	48.0	28	80	137	1660	73.8%

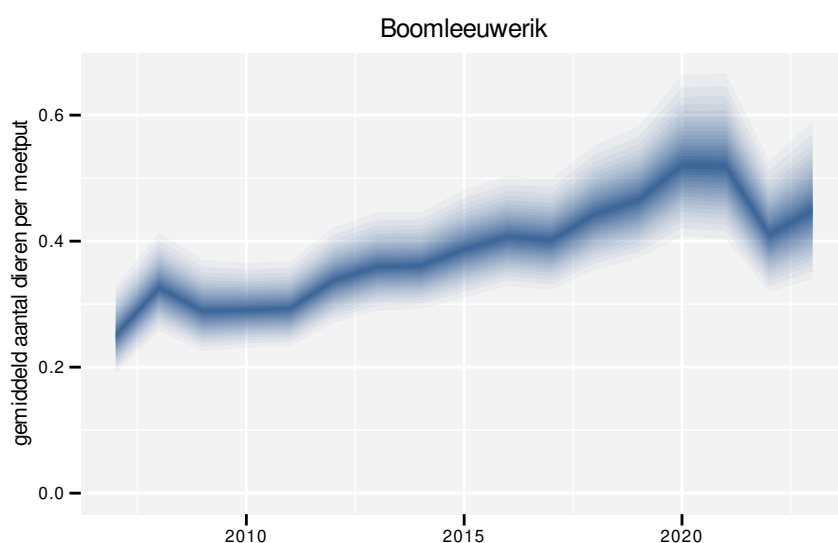
Tabel 20.2: Data-hashes van de analyses in het kader van traceerbaarheid (zie §4.3).

frequentie	model	analyse	status
jaarlijks	niet-lineair	eaac7db71e9c295cf477 0b3bac90f14898d2f3fe	81527b30bcce2963d313 c8731a1862713ecffdc9
jaarlijks	lineair	2b5cf83b16cd86be0ba5 bc30d59546cdc32959da	be71e3aca4425ae23e32 2a6f60eb2012eaf7e060
driejaarlijks	niet-lineair	15f0fb655471f3272e07 fd2e4c078ce671d84ef1	840c7d900bad653ed5ac be4441934a6b8a6ee579
driejaarlijks	lineair	f6627139aaf47a9dff99 ec9ba2dfbbcf5d566c2f	062b04858d37e6fcb37d 4de8ac6b2e9e43b1d6db

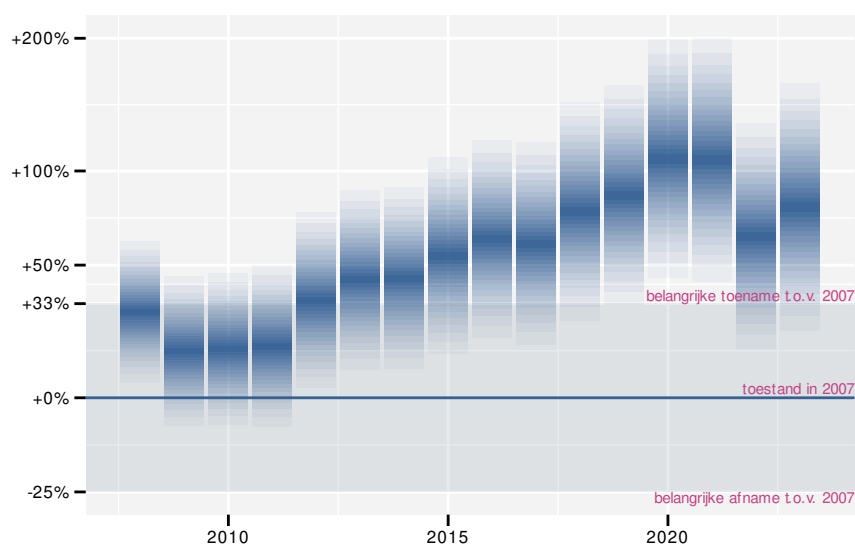
21 BOOMLEEUWERIK

21.1 ANALYSE PER JAAR

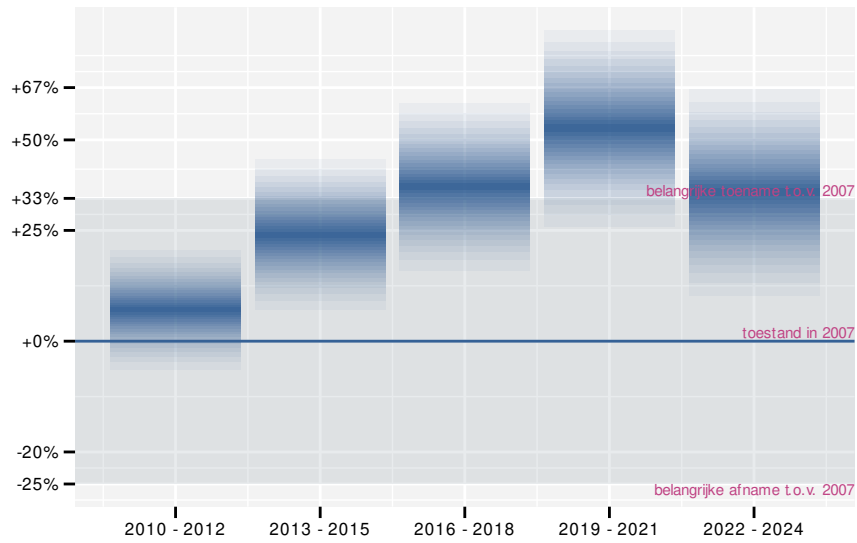
Op basis van jaarlijkse gegevens zien we gemiddeld een toename met +4.8% (+1.7%; +8.1%) per jaar of +110% (+30%; +250%) over de volledige looptijd van het meetnet. Deze trend is niet-lineair.



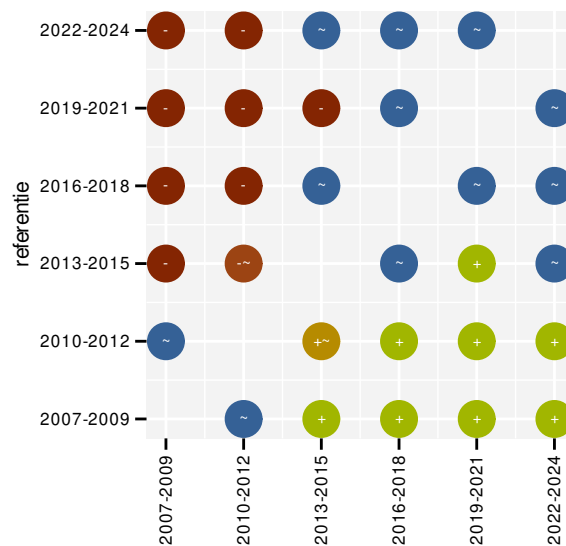
Figuur 21.1: Evolutie van het gemodelleerde gemiddeld aantal waargenomen dieren op een meetpunt voor Boomleeuwerik tijdens de referentieperiode. Zie §3.1 voor een verklaring van de intervallen.



Figuur 21.2: Wijzigingen tussen jaren voor Boomleeuwerik. Zie §3.1 voor een verklaring van de intervallen en §3.2 voor uitleg over de symbolen en referentielijnen.



Figuur 21.5: Wijzigingen per driejarige cyclus voor Boomleuwerik. Zie §3.1 voor een verklaring van de intervallen en §3.2 voor uitleg over de symbolen en referentielijnen.



Figuur 21.6: Paarsgewijze vergelijking tussen driejarige cycli voor Boomleuwerik. Uitleg van de symbolen in tabel 3.1.

21.3 KENMERKEN VAN DE GEGEVENS

Tabel 21.1: Stratumgewicht, raming van het aantal hokken waarin de soort aanwezig is, aantal relevante hokken voor de analyse, aantal onderzochte hokken in het stratum, totaal aantal hokken van het stratum in Vlaanderen, aantal bezoeken aan een meetpunt en het gemiddeld aandeel relevante punten per hok voor Boomleeuwerik (zie §2.5).

stratum	gewicht	aanwezig	relevant	onderzocht	totaal	bezoeken	punten
Heide en duin	49.0%	95.3	45	94	199	2429	67.0%
Bos	24.9%	48.4	29	191	319	1657	62.1%
Landbouw	22.6%	58.6	4	431	6311	63	29.2%
Moeras en water	3.5%	8.6	5	80	137	162	36.7%

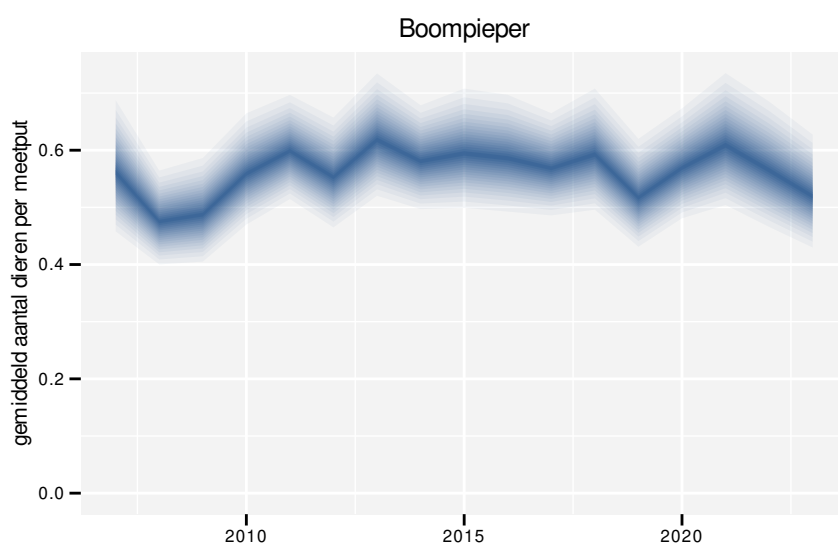
Tabel 21.2: Data-hashes van de analyses in het kader van traceerbaarheid (zie §4.3).

frequentie	model	analyse	status
jaarlijks	niet-lineair	15756e314440390c89b1 72f3177bd7877b6e828d	b3e3848606089fcdd469 e57283cb925f1185e49d
jaarlijks	lineair	136464e83615f911221b e753862ce926f171a224	bb4142c94615e2b2e229 d387494ff1e93be01ac2
driejaarlijks	niet-lineair	207c13940bd9b279c844 6ddfc04dfdc567776002	42112f76b3d78526b3a1 dbb88233d48c73fc12c2
driejaarlijks	lineair	de65b4be001ff696e0cc 9a3e1de6f8bf549503a3	b425d55f604b006eca4f 82e9d91c369936b61b31

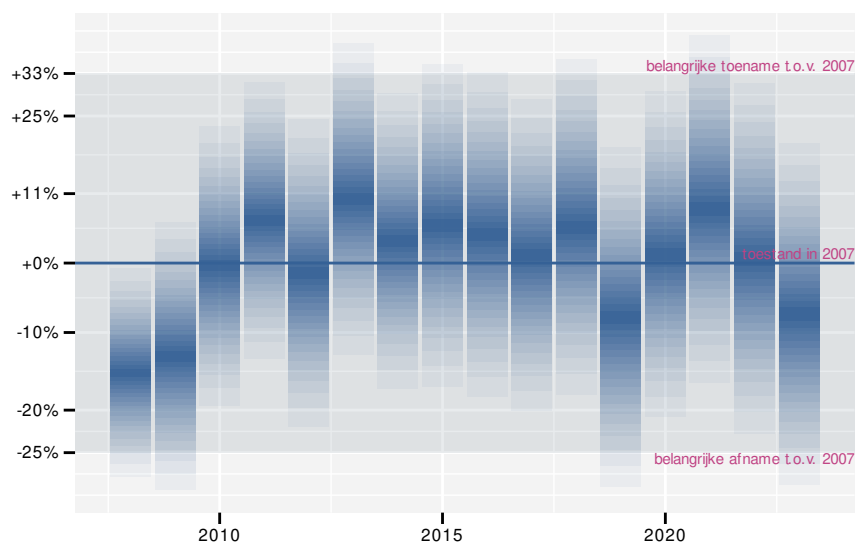
22 BOOMPIEPER

22.1 ANALYSE PER JAAR

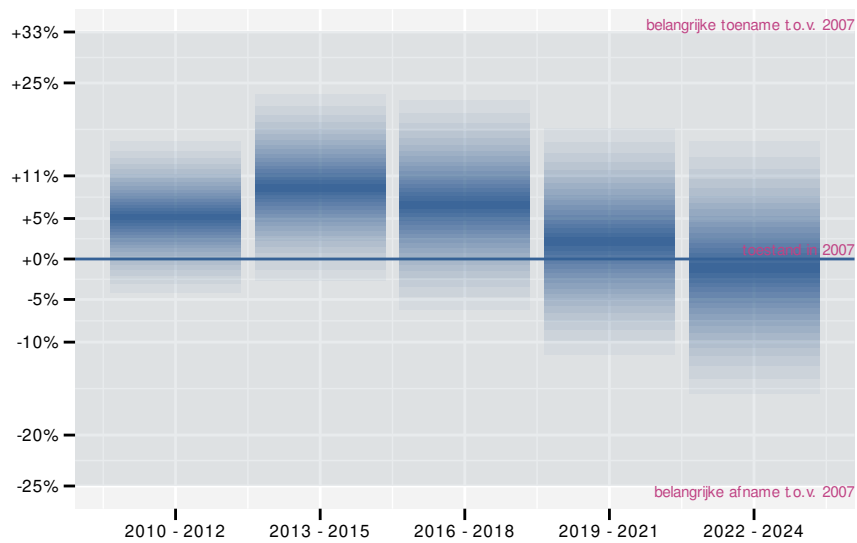
Op basis van jaarlijkse gegevens zien we gemiddeld een mogelijke toename met +0.43% (-1.00%; +1.88%) per jaar of +7% (-15%; +35%) over de volledige looptijd van het meetnet. Deze trend is niet-lineair.



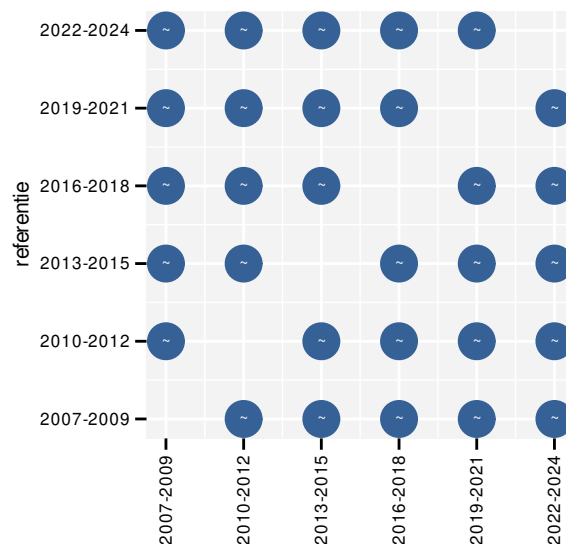
Figuur 22.1: Evolutie van het gemodelleerde gemiddeld aantal waargenomen dieren op een meetpunt voor Boompieper tijdens de referentieperiode. Zie §3.1 voor een verklaring van de intervallen.



Figuur 22.2: Wijzigingen tussen jaren voor Boompieper. Zie §3.1 voor een verklaring van de intervallen en §3.2 voor uitleg over de symbolen en referentielijnen.



Figuur 22.5: Wijzigingen per driejarige cyclus voor Boompieper. Zie §3.1 voor een verklaring van de intervallen en §3.2 voor uitleg over de symbolen en referentielijnen.

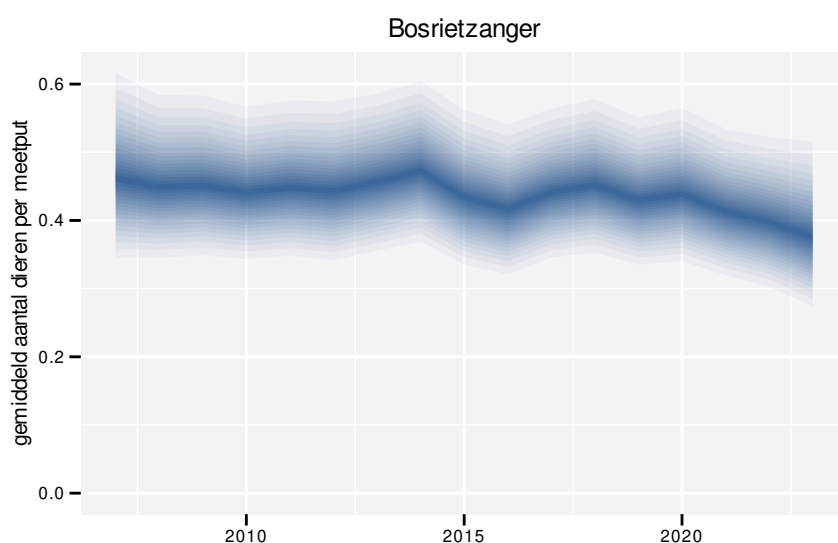


Figuur 22.6: Paarsgewijze vergelijking tussen driejarige cycli voor Boompieper. Uitleg van de symbolen in tabel 3.1.

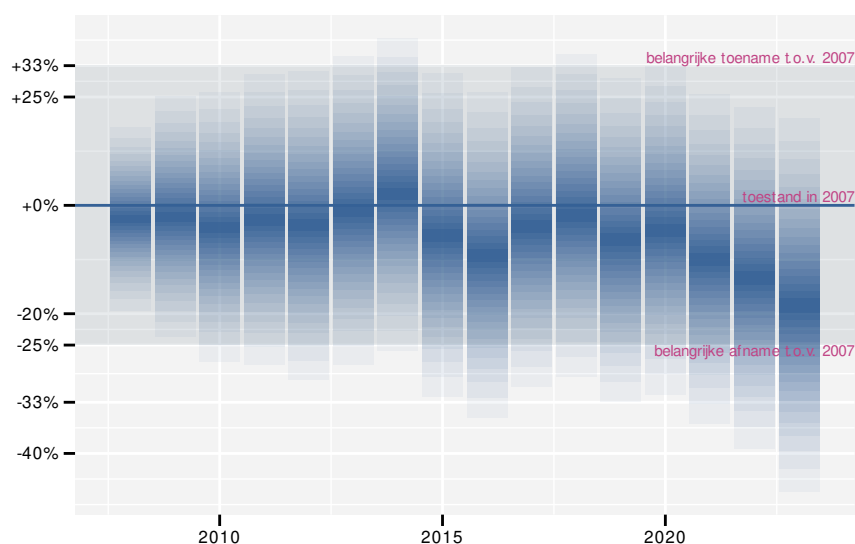
23 BOSRIETZANGER

23.1 ANALYSE PER JAAR

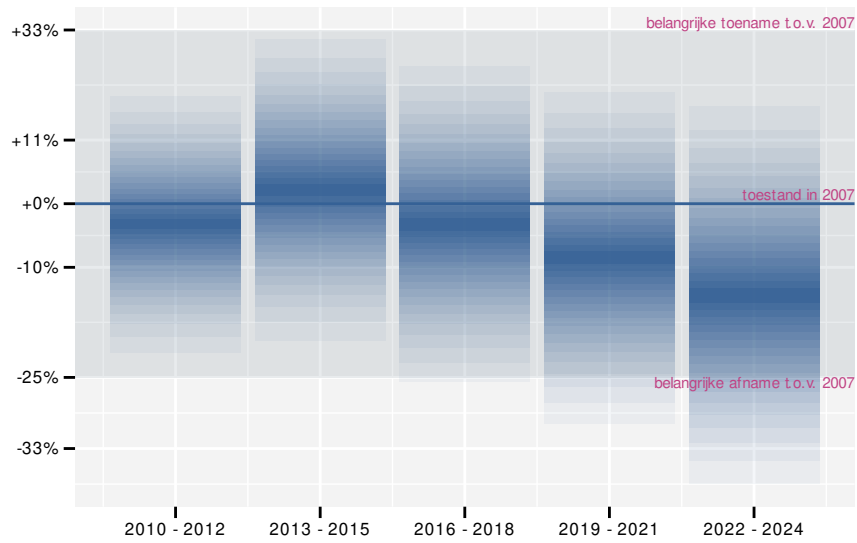
Op basis van jaarlijkse gegevens zien we gemiddeld een mogelijke afname met -1.2% (-3.4%; +1.1%) per jaar of -18% (-43%; +19%) over de volledige looptijd van het meetnet. Deze trend is niet-lineair.



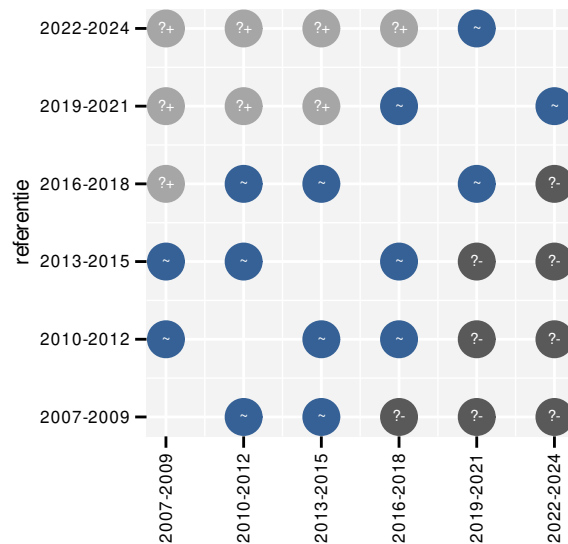
Figuur 23.1: Evolutie van het gemodelleerde gemiddeld aantal waargenomen dieren op een meetpunt voor Bosrietzanger tijdens de referentieperiode. Zie §3.1 voor een verklaring van de intervallen.



Figuur 23.2: Wijzigingen tussen jaren voor Bosrietzanger. Zie §3.1 voor een verklaring van de intervallen en §3.2 voor uitleg over de symbolen en referentielijnen.



Figuur 23.5: Wijzigingen per driejarige cyclus voor Bosrietzanger. Zie §3.1 voor een verklaring van de intervallen en §3.2 voor uitleg over de symbolen en referentielijnen.

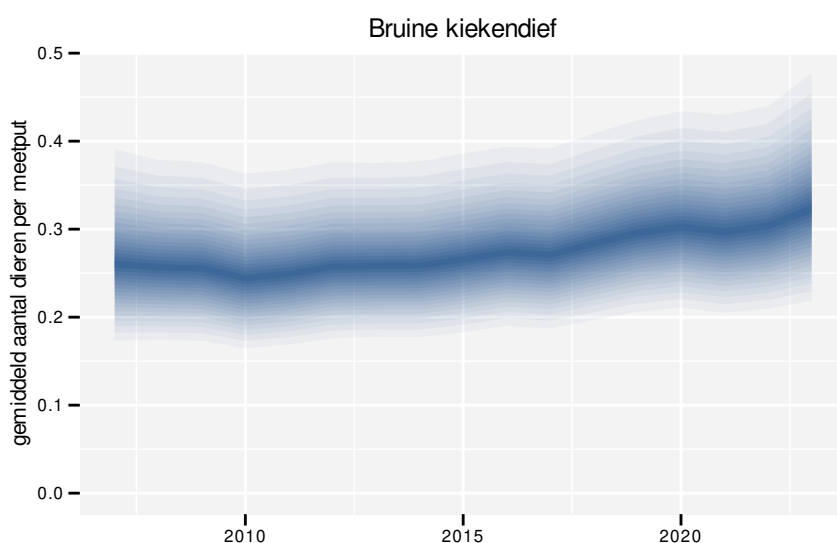


Figuur 23.6: Paarsgewijze vergelijking tussen driejarige cycli voor Bosrietzanger. Uitleg van de symbolen in tabel 3.1.

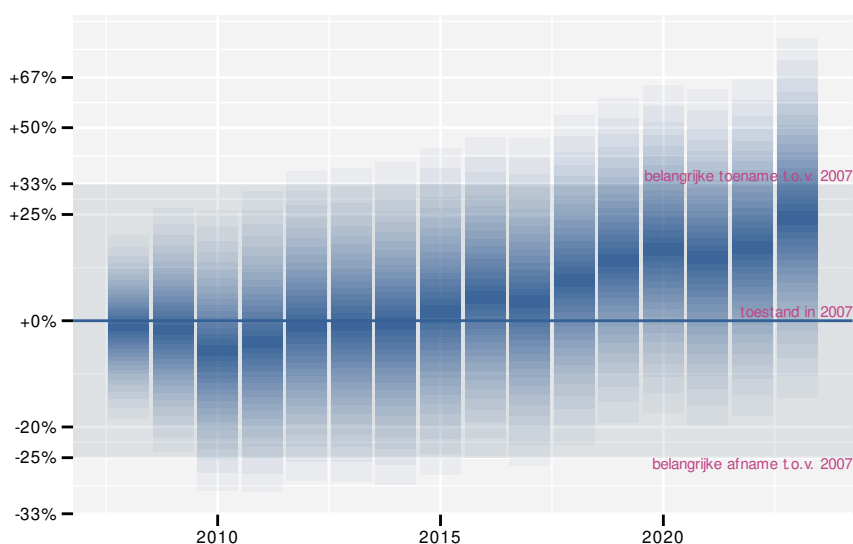
24 BRUINE KIEKENDIEF

24.1 ANALYSE PER JAAR

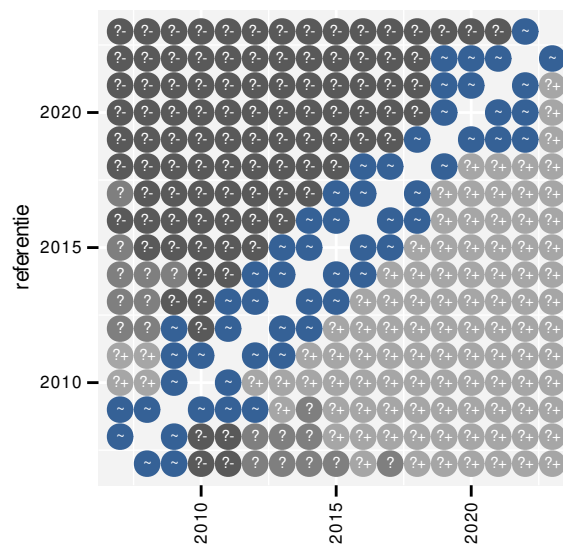
Op basis van jaarlijkse gegevens zien we gemiddeld een mogelijke toename met +2.3% (-0.2%; +5.0%) per jaar of +45% (-3%; +117%) over de volledige looptijd van het meetnet. Deze trend is lineair.



Figuur 24.1: Evolutie van het gemodelleerde gemiddeld aantal waargenomen dieren op een meetpunt voor Bruine kiekendief tijdens de referentieperiode. Zie §3.1 voor een verklaring van de intervallen.



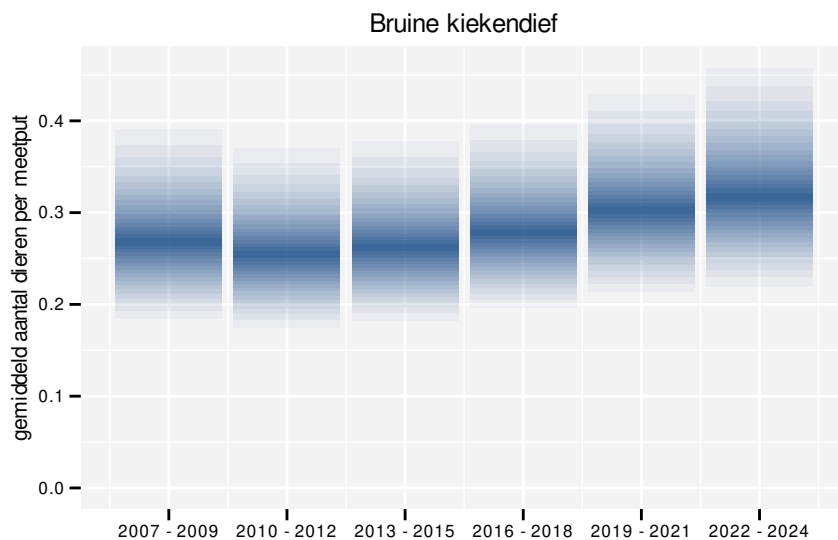
Figuur 24.2: Wijzigingen tussen jaren voor Bruine kiekendief. Zie §3.1 voor een verklaring van de intervallen en §3.2 voor uitleg over de symbolen en referentielijnen.



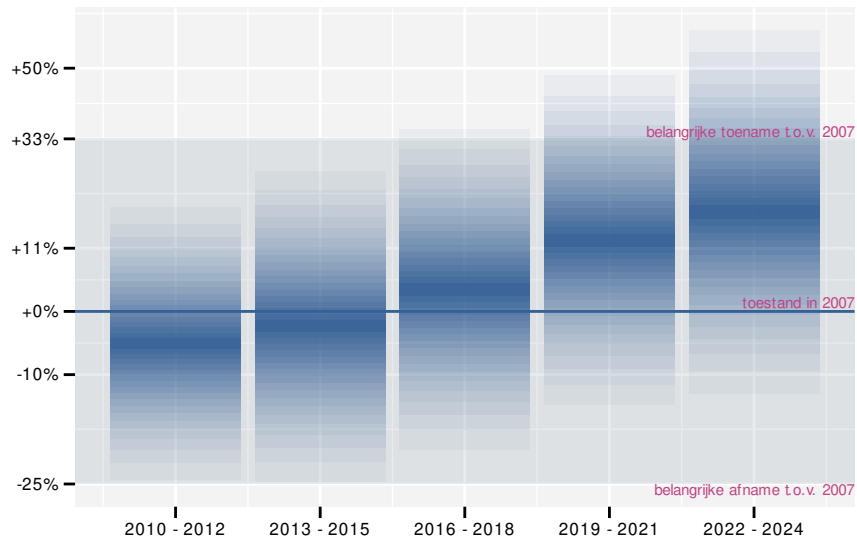
Figuur 24.3: Paarsgewijze vergelijking tussen jaren voor Bruine kiekendief. Uitleg van de symbolen in tabel 3.1.

24.2 ANALYSE PER DRIEJAARLIJKSE CYCLUS

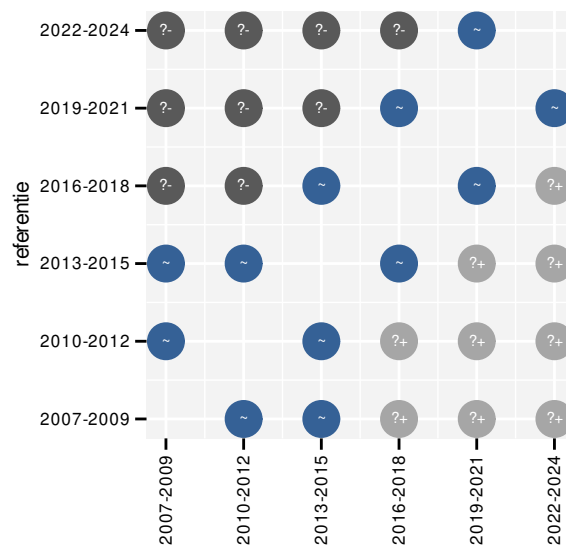
Op basis van driejaarlijkse gegevens zien we gemiddeld een mogelijke toename met +2.2% (-0.3%; +4.8%) per jaar of +43% (-5%; +113%) over de volledige looptijd van het meetnet. Deze trend is lineair.



Figuur 24.4: Evolutie van het gemodelleerde gemiddeld aantal waargenomen dieren op een meetpunt voor Bruine kiekendief tijdens de referentieperiode. Zie §3.1 voor een verklaring van de intervallen.



Figuur 24.5: Wijzigingen per driejarige cyclus voor Bruine kiekendief. Zie §3.1 voor een verklaring van de intervallen en §3.2 voor uitleg over de symbolen en referentielijnen.

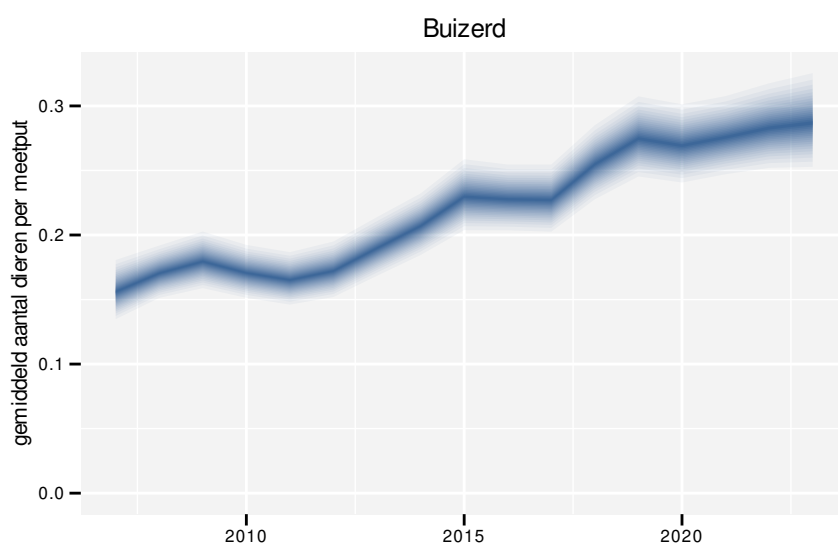


Figuur 24.6: Paarsgewijze vergelijking tussen driejarige cycli voor Bruine kiekendief. Uitleg van de symbolen in tabel 3.1.

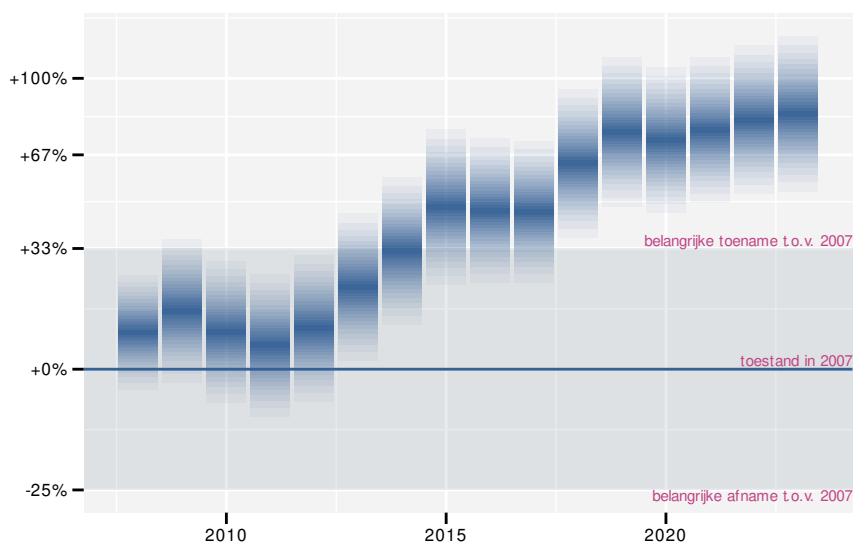
25 BUIZERD

25.1 ANALYSE PER JAAR

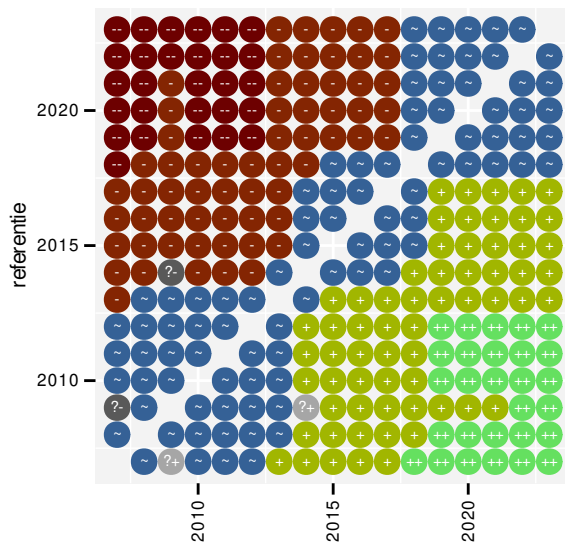
Op basis van jaarlijkse gegevens zien we gemiddeld een sterke toename met +4.4% (+3.5%; +5.2%) per jaar of +98.7% (+74.5%; +126.1%) over de volledige looptijd van het meetnet. Deze trend is lineair.



Figuur 25.1: Evolutie van het gemodelleerde gemiddeld aantal waargenomen dieren op een meetpunt voor Buizerd tijdens de referentieperiode. Zie §3.1 voor een verklaring van de intervallen.



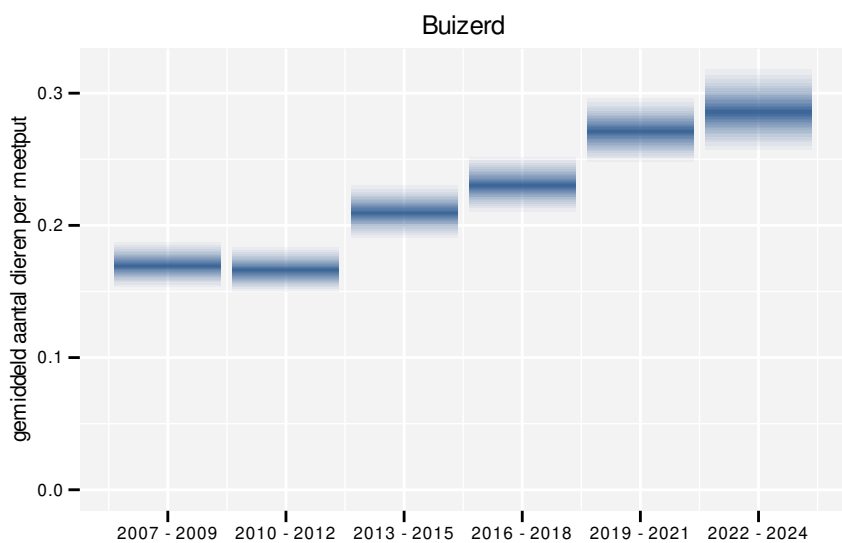
Figuur 25.2: Wijzigingen tussen jaren voor Buizerd. Zie §3.1 voor een verklaring van de intervallen en §3.2 voor uitleg over de symbolen en referentielijnen.



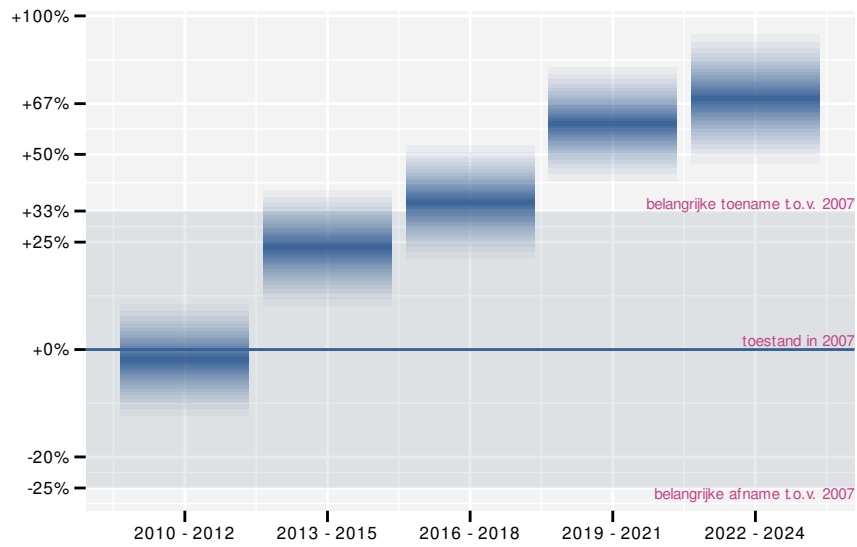
Figuur 25.3: Paarsgewijze vergelijking tussen jaren voor Buizerd. Uitleg van de symbolen in tabel 3.1.

25.2 ANALYSE PER DRIEJAARLIJKSE CYCLUS

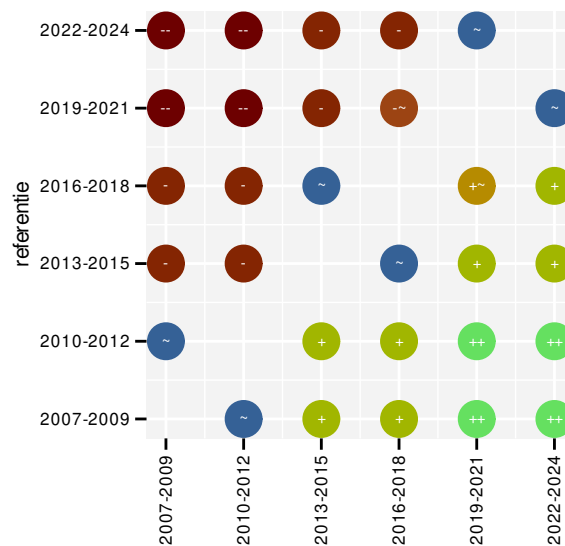
Op basis van driejaarlijkse gegevens zien we gemiddeld een sterke toename met +4.3% (+3.4%; +5.1%) per jaar of +95.4% (+71.7%; +122.2%) over de volledige looptijd van het meetnet. Deze trend is lineair.



Figuur 25.4: Evolutie van het gemodelleerde gemiddeld aantal waargenomen dieren op een meetpunt voor Buizerd tijdens de referentieperiode. Zie §3.1 voor een verklaring van de intervallen.



Figuur 25.5: Wijzigingen per driejarige cyclus voor Buizerd. Zie §3.1 voor een verklaring van de intervallen en §3.2 voor uitleg over de symbolen en referentielijnen.



Figuur 25.6: Paarsgewijze vergelijking tussen driejarige cycli voor Buizerd. Uitleg van de symbolen in tabel 3.1.

25.3 KENMERKEN VAN DE GEGEVENS

Tabel 25.1: Stratumgewicht, raming van het aantal hokken waarin de soort aanwezig is, aantal relevante hokken voor de analyse, aantal onderzochte hokken in het stratum, totaal aantal hokken van het stratum in Vlaanderen, aantal bezoeken aan een meetpunt en het gemiddeld aandeel relevante punten per hok voor Buizerd (zie §2.5).

stratum	gewicht	aanwezig	relevant	onderzocht	totaal	bezoeken	punten
Landbouw	89.0%	3045.7	208	431	6311	10277	60.3%
Bos	5.6%	190.4	114	191	319	5810	65.2%
Heide en duin	2.7%	93.1	44	94	199	2072	56.1%
Moeras en water	1.5%	51.4	30	80	137	1339	58.3%
Suburbaan	0.8%	29.6	10	68	201	241	43.3%
Urbaan	0.4%	19.1	4	87	416	123	41.7%

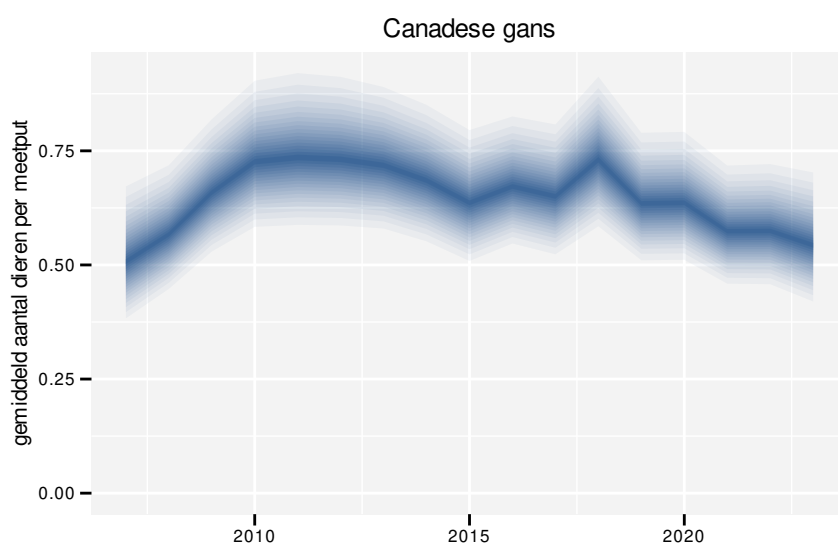
Tabel 25.2: Data-hashes van de analyses in het kader van traceerbaarheid (zie §4.3).

frequentie	model	analyse	status
jaarlijks	niet-lineair	8efc52286d7323942d72 3011bdf922e2312b218c	526e9c5a0ba26f8f0e9a d5ef9e6c0ef0733d4581
jaarlijks	lineair	1edb836840d374c226c4 5cb34972bc0ec9b577a8	c77d4ecd252f0eb48885 17bf9e10d2efe7810bb3
driejaarlijks	niet-lineair	8c5946c97abdaadd4837 11e34b11d509b1265fad	5a4a48cc331e510dd835 6e338539ac5caa974ad4
driejaarlijks	lineair	1eba32b1bf4f9a46630e 975ca3136089e0db1ae0	5f6e491ea488340bc5a1 ae9950192c443235736c

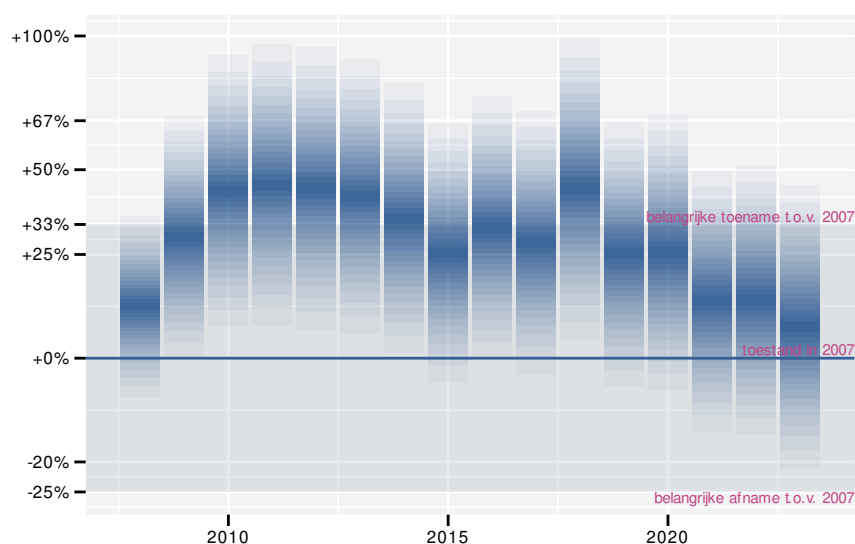
26 CANADESE GANS

26.1 ANALYSE PER JAAR

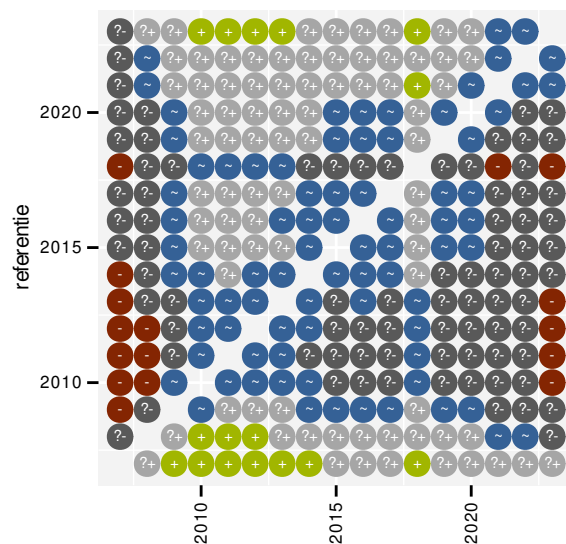
Op basis van jaarlijkse gegevens zien we gemiddeld een mogelijke afname met -0.7% (-2.1%; +0.8%) per jaar of -10% (-29%; +13%) over de volledige looptijd van het meetnet. Deze trend is niet-lineair.



Figuur 26.1: Evolutie van het gemodelleerde gemiddeld aantal waargenomen dieren op een meetpunt voor Canadese gans tijdens de referentieperiode. Zie §3.1 voor een verklaring van de intervallen.



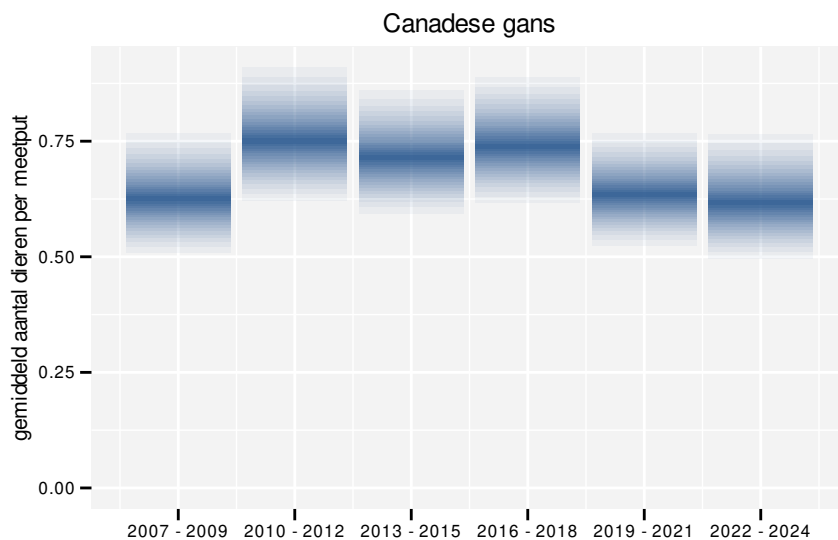
Figuur 26.2: Wijzigingen tussen jaren voor Canadese gans. Zie §3.1 voor een verklaring van de intervallen en §3.2 voor uitleg over de symbolen en referentielijnen.



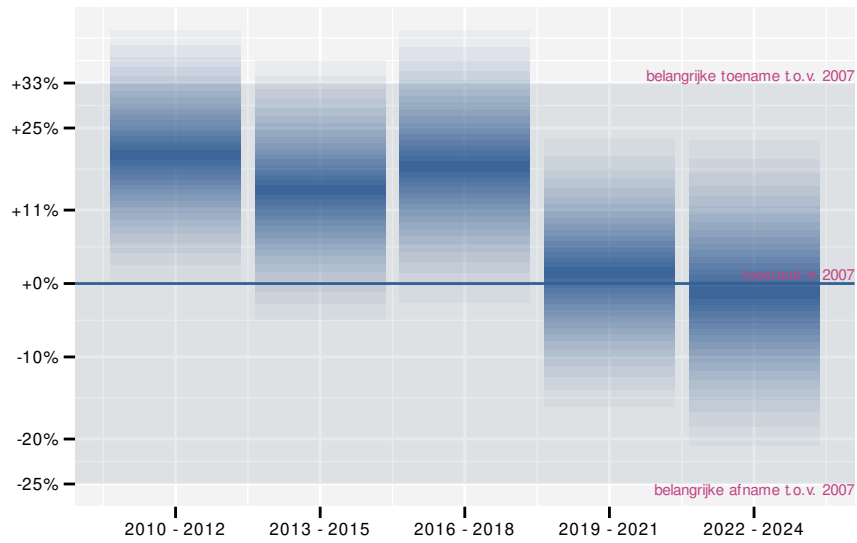
Figuur 26.3: Paarsgewijze vergelijking tussen jaren voor Canadese gans. Uitleg van de symbolen in tabel 3.1.

26.2 ANALYSE PER DRIEJAARLIJKSE CYCLUS

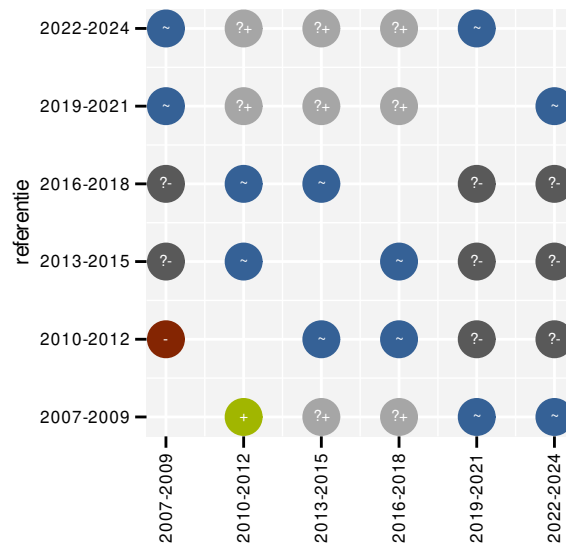
Op basis van driejaarlijkse gegevens zien we gemiddeld een mogelijke afname met -0.7% (-2.2% ; $+0.7\%$) per jaar of -11% (-30% ; $+12\%$) over de volledige looptijd van het meetnet. Deze trend is niet-lineair.



Figuur 26.4: Evolutie van het gemodelleerde gemiddeld aantal waargenomen dieren op een meetpunt voor Canadese gans tijdens de referentieperiode. Zie §3.1 voor een verklaring van de intervallen.



Figuur 26.5: Wijzigingen per driejarige cyclus voor Canadese gans. Zie §3.1 voor een verklaring van de intervallen en §3.2 voor uitleg over de symbolen en referentielijnen.



Figuur 26.6: Paarsgewijze vergelijking tussen driejarige cycli voor Canadese gans. Uitleg van de symbolen in tabel 3.1.

26.3 KENMERKEN VAN DE GEGEVENS

Tabel 26.1: Stratumgewicht, raming van het aantal hokken waarin de soort aanwezig is, aantal relevante hokken voor de analyse, aantal onderzochte hokken in het stratum, totaal aantal hokken van het stratum in Vlaanderen, aantal bezoeken aan een meetpunt en het gemiddeld aandeel relevante punten per hok voor Canadese gans (zie §2.5).

stratum	gewicht	aanwezig	relevant	onderzocht	totaal	bezoeken	punten
Landbouw	87.0%	1552.1	106	431	6311	5273	60.2%
Moeras en water	4.0%	71.9	42	80	137	2164	64.3%
Heide en duin	3.4%	61.4	29	94	199	1363	60.3%
Urbaan	1.9%	38.3	8	87	416	150	29.2%
Suburbaan	1.8%	32.5	11	68	201	509	53.0%
Bos	1.8%	31.7	19	191	319	784	46.5%

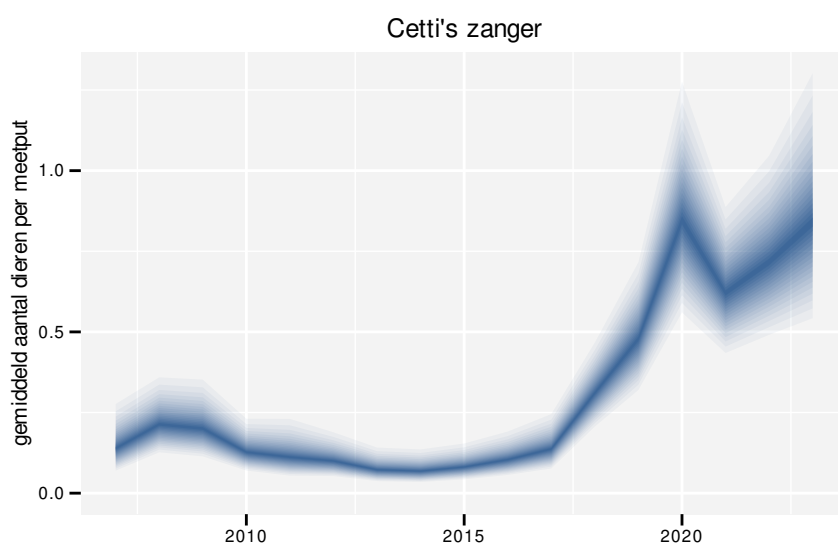
Tabel 26.2: Data-hashes van de analyses in het kader van traceerbaarheid (zie §4.3).

frequentie	model	analyse	status
jaarlijks	niet-lineair	ccb9b60433bdd7ec56b0 d9581e6318a02beac01c	95c8aede64a8207003c2 9128e8602552688fe63e
jaarlijks	lineair	09867787f649174cccd2 4a0d89c0b3ad0ad0df0f	3086c33c78ff09b2580e 8914b6fbb9432f53195e
driejaarlijks	niet-lineair	112bc01f010f8df228a9 524987461f9f34ea0437	3f177c5fc12341b89ef8 bef5d452a6df3b4f761e
driejaarlijks	lineair	4b8edc749fc6ea1831e6 b5ac7f9c5ae8aded5628	9789e717ba33952ef85c 09d4029fd358635d9f5b

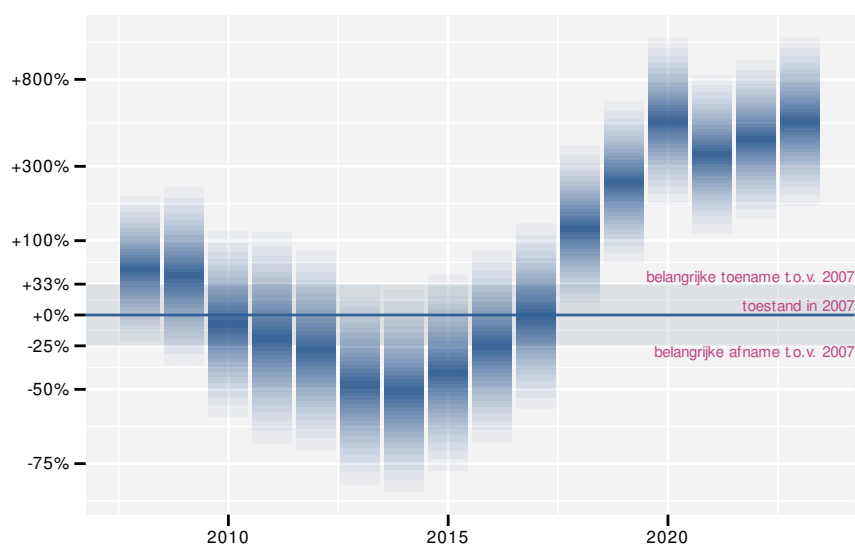
27 CETTI'S ZANGER

27.1 ANALYSE PER JAAR

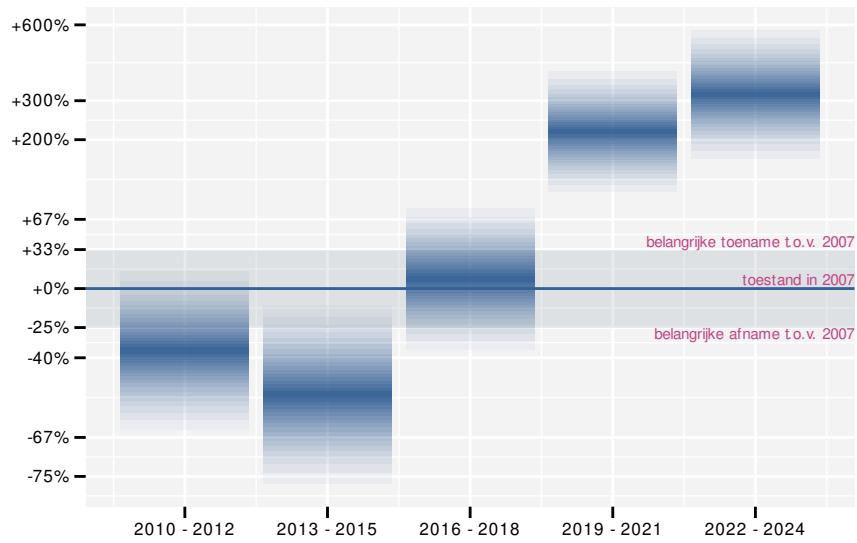
Op basis van jaarlijkse gegevens zien we gemiddeld een sterke toename met +17.8% (+13.5%; +22.2%) per jaar of +1300% (+700%; +2400%) over de volledige looptijd van het meetnet. Deze trend is niet-lineair.



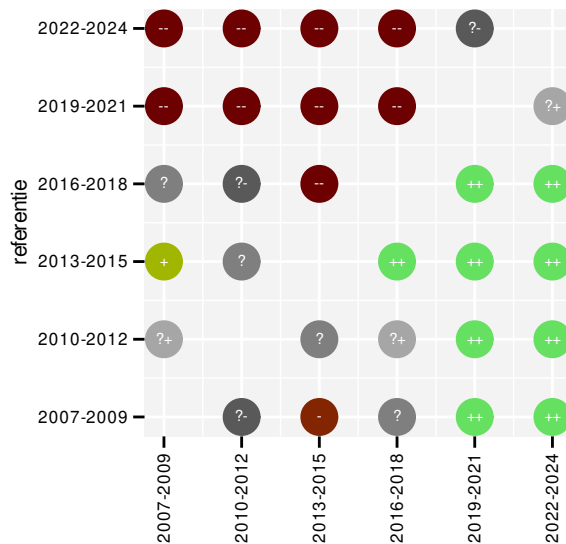
Figuur 27.1: Evolutie van het gemodelleerde gemiddeld aantal waargenomen dieren op een meetpunt voor Cetti's zanger tijdens de referentieperiode. Zie §3.1 voor een verklaring van de intervallen.



Figuur 27.2: Wijzigingen tussen jaren voor Cetti's zanger. Zie §3.1 voor een verklaring van de intervallen en §3.2 voor uitleg over de symbolen en referentielijnen.



Figuur 27.5: Wijzigingen per driejarige cyclus voor Cetti's zanger. Zie §3.1 voor een verklaring van de intervallen en §3.2 voor uitleg over de symbolen en referentielijnen.



Figuur 27.6: Paarsgewijze vergelijking tussen driejarige cycli voor Cetti's zanger. Uitleg van de symbolen in tabel 3.1.

27.3 KENMERKEN VAN DE GEGEVENS

Tabel 27.1: Stratumgewicht, raming van het aantal hokken waarin de soort aanwezig is, aantal relevante hokken voor de analyse, aantal onderzochte hokken in het stratum, totaal aantal hokken van het stratum in Vlaanderen, aantal bezoeken aan een meetpunt en het gemiddeld aandeel relevante punten per hok voor Cetti's zanger (zie §2.5).

stratum	gewicht	aanwezig	relevant	onderzocht	totaal	bezoeken	punten
Landbouw	78.2%	146.4	10	431	6311	420	50.0%
Moeras en water	14.2%	24.0	14	80	137	596	54.8%
Heide en duin	7.5%	14.8	7	94	199	148	50.0%

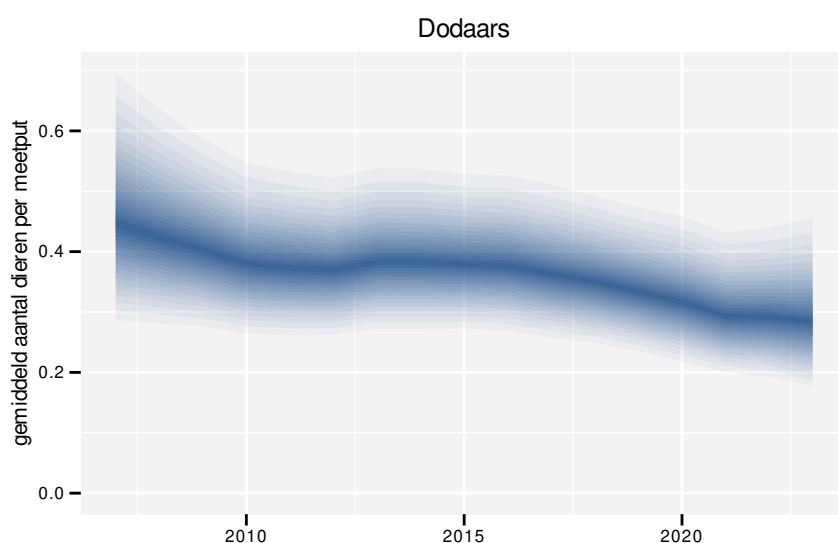
Tabel 27.2: Data-hashes van de analyses in het kader van traceerbaarheid (zie §4.3).

frequentie	model	analyse	status
jaarlijks	niet-lineair	43c0d02b160477ecdf88 5ba821e3193b52e2d4c2	c2695c80578b748df0ac e34f3a0948258a8ec03e
jaarlijks	lineair	bc2e258da22c5990aa08 9740ddd3bd9c28bd643d	531bf57de7071667aa78 40fff57c5c91e3e322bf
driejaarlijks	niet-lineair	016c588395889c0c19be 280852aaba0f7c8bf637	5f31fae2a57077027837 084c5bb8b06a1557b664
driejaarlijks	lineair	0ec48c750ac18c1ed8c4 e77e468bb3badeb6991c	e833a4ce81d0e996371e 33bc8997b550eeb1eacc

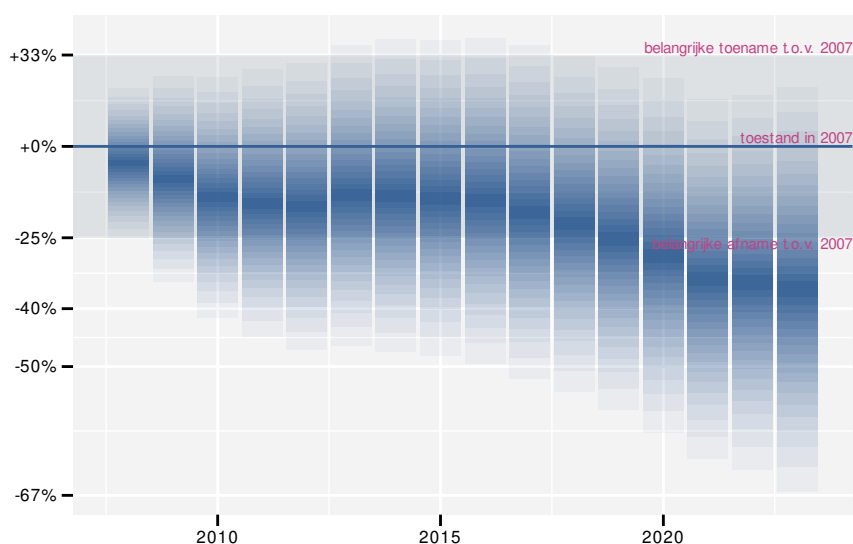
28 DODAARS

28.1 ANALYSE PER JAAR

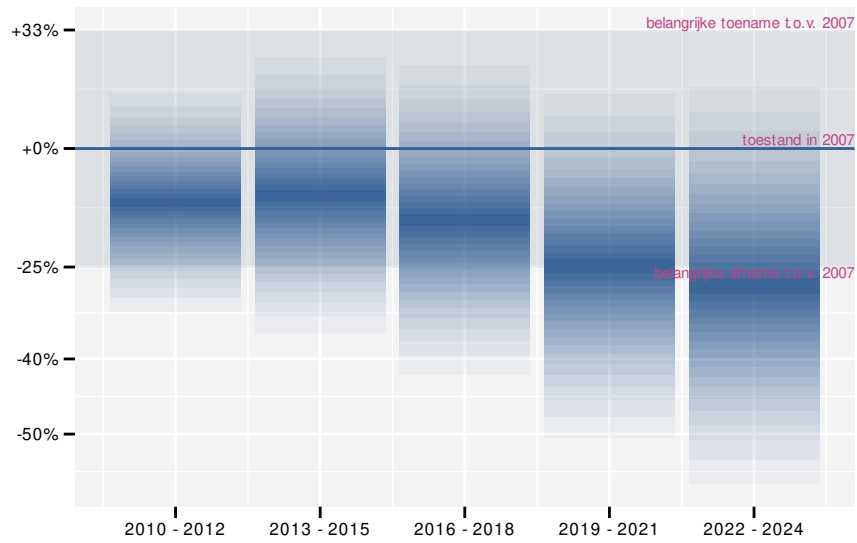
Op basis van jaarlijkse gegevens zien we gemiddeld een onduidelijk met -3% (-8%; +3%) per jaar of -30% (-70%; +50%) over de volledige looptijd van het meetnet. Deze trend is niet-lineair.



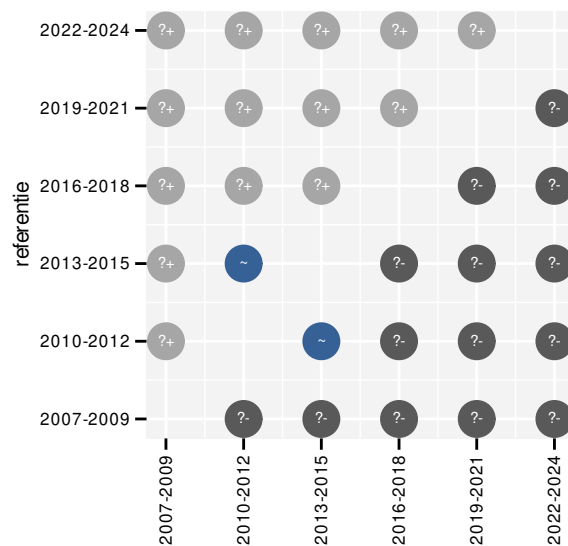
Figuur 28.1: Evolutie van het gemodelleerde gemiddeld aantal waargenomen dieren op een meetpunt voor Dodaars tijdens de referentieperiode. Zie §3.1 voor een verklaring van de intervallen.



Figuur 28.2: Wijzigingen tussen jaren voor Dodaars. Zie §3.1 voor een verklaring van de intervallen en §3.2 voor uitleg over de symbolen en referentielijnen.



Figuur 28.5: Wijzigingen per driejarige cyclus voor Dodaars. Zie §3.1 voor een verklaring van de intervallen en §3.2 voor uitleg over de symbolen en referentielijnen.



Figuur 28.6: Paarsgewijze vergelijking tussen driejarige cycli voor Dodaars. Uitleg van de symbolen in tabel 3.1.

28.3 KENMERKEN VAN DE GEGEVENS

Tabel 28.1: Stratumgewicht, raming van het aantal hokken waarin de soort aanwezig is, aantal relevante hokken voor de analyse, aantal onderzochte hokken in het stratum, totaal aantal hokken van het stratum in Vlaanderen, aantal bezoeken aan een meetpunt en het gemiddeld aandeel relevante punten per hok voor Dodaars (zie §2.5).

stratum	gewicht	aanwezig	relevant	onderzocht	totaal	bezoeken	punten
Landbouw	51.1%	87.9	6	431	6311	110	25.0%
Moeras en water	20.3%	29.1	17	80	137	623	46.1%
Heide en duin	19.2%	27.5	13	94	199	453	47.4%
Bos	9.3%	15.0	9	191	319	273	29.6%

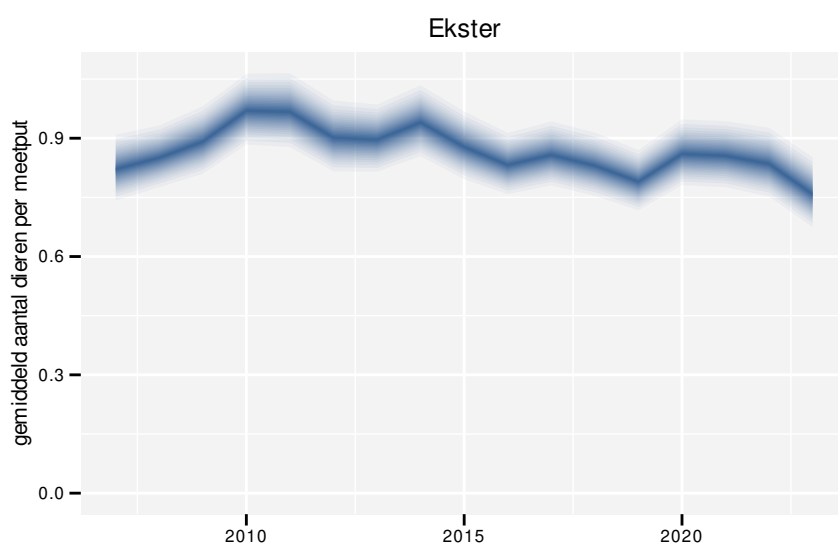
Tabel 28.2: Data-hashes van de analyses in het kader van traceerbaarheid (zie §4.3).

frequentie	model	analyse	status
jaarlijks	niet-lineair	d9324f2995ad0639613d f9f51db6213fee19a45d	f5fc1bffb3223cde54df 839974b04ab6e309fb74
jaarlijks	lineair	f291975c3ee7b0b948d1 1264ce52acec6f8977a1	0e81cee30e0630db49ea 484a19f2edc5864909a9
driejaarlijks	niet-lineair	a13c8811843bc15c45d1 0059ed4fa97a0c97e622	c27f7f9fc5c3502db4b3 8df816ddb304b3b3503e
driejaarlijks	lineair	286e32b908ef23fe49d3 da4bf383190839677948	8d235200eeefc8b41cf2 e2045167247cdf906b6d

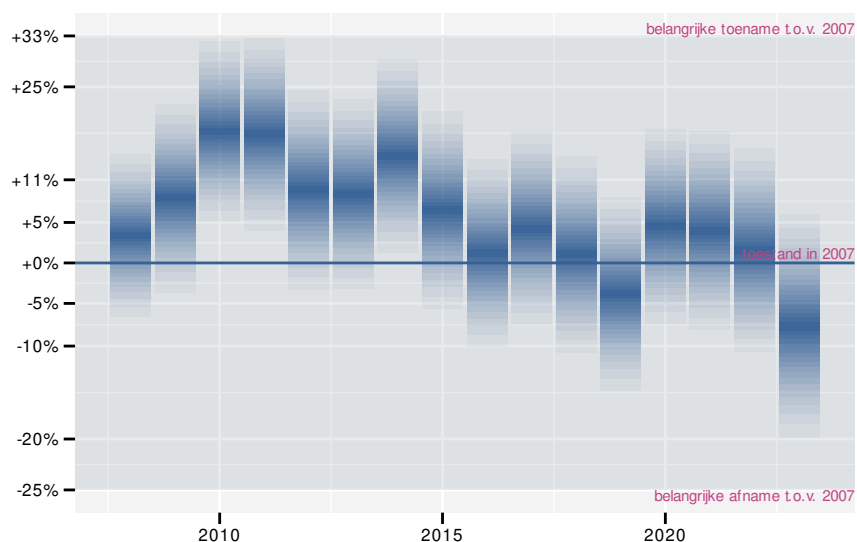
29 EKSTER

29.1 ANALYSE PER JAAR

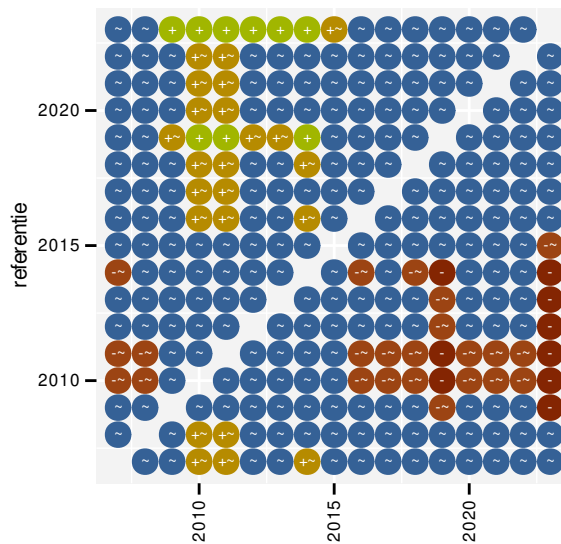
Op basis van jaarlijkse gegevens zien we gemiddeld een matige afname met -0.69% (-1.24%; -0.13%) per jaar of -10.5% (-18.1%; -2.1%) over de volledige looptijd van het meetnet. Deze trend is niet-lineair.



Figuur 29.1: Evolutie van het gemodelleerde gemiddeld aantal waargenomen dieren op een meetpunt voor Ekster tijdens de referentieperiode. Zie §3.1 voor een verklaring van de intervallen.



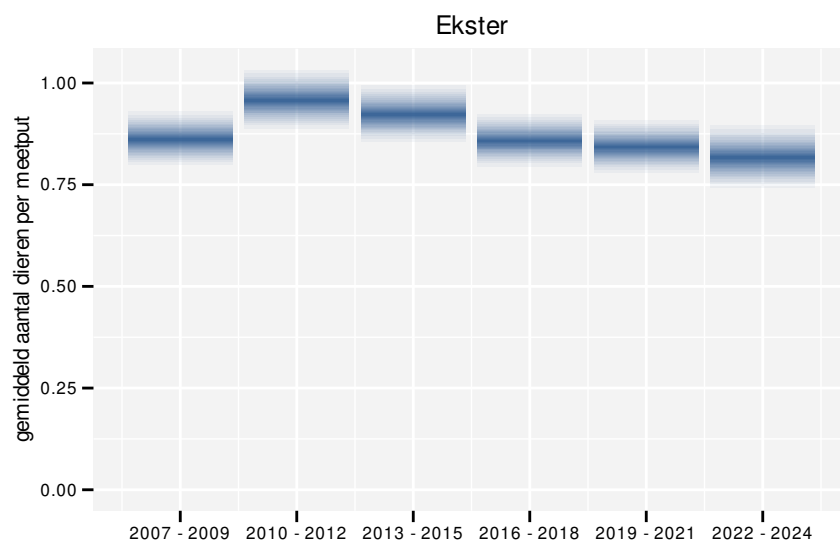
Figuur 29.2: Wijzigingen tussen jaren voor Ekster. Zie §3.1 voor een verklaring van de intervallen en §3.2 voor uitleg over de symbolen en referentielijnen.



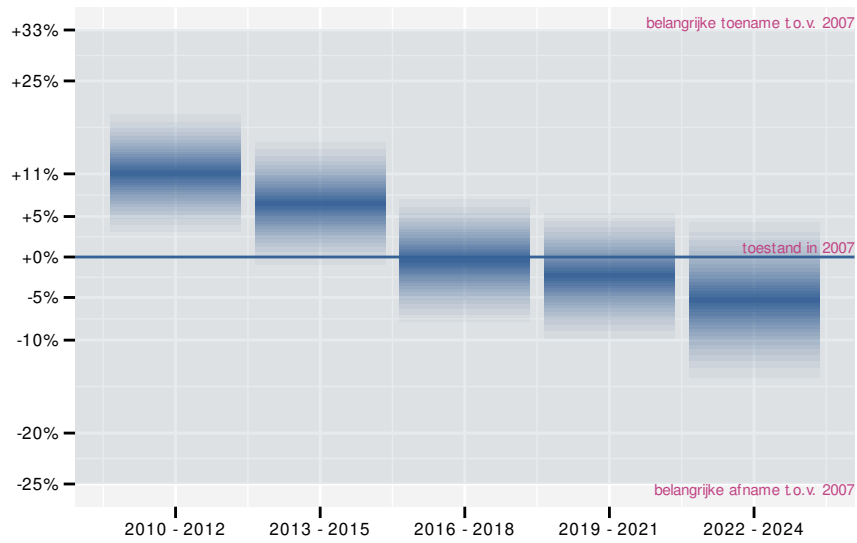
Figuur 29.3: Paarsgewijze vergelijking tussen jaren voor Ekster. Uitleg van de symbolen in tabel 3.1.

29.2 ANALYSE PER DRIEJAARLIJKSE CYCLUS

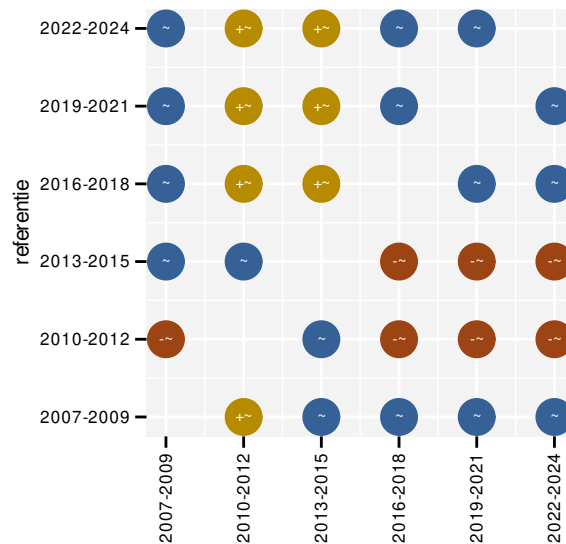
Op basis van driejaarlijkse gegevens zien we gemiddeld een matige afname met -0.70% (-1.26%; -0.14%) per jaar of -10.6% (-18.3%; -2.2%) over de volledige looptijd van het meetnet. Deze trend is niet-lineair.



Figuur 29.4: Evoluitie van het gemodelleerde gemiddeld aantal waargenomen dieren op een meetpunt voor Ekster tijdens de referentieperiode. Zie §3.1 voor een verklaring van de intervallen.



Figuur 29.5: Wijzigingen per driejarige cyclus voor Ekster. Zie §3.1 voor een verklaring van de intervallen en §3.2 voor uitleg over de symbolen en referentielijnen.



Figuur 29.6: Paarsgewijze vergelijking tussen driejarige cycli voor Ekster. Uitleg van de symbolen in tabel 3.1.

29.3 KENMERKEN VAN DE GEGEVENS

Tabel 29.1: Stratumgewicht, raming van het aantal hokken waarin de soort aanwezig is, aantal relevante hokken voor de analyse, aantal onderzochte hokken in het stratum, totaal aantal hokken van het stratum in Vlaanderen, aantal bezoeken aan een meetpunt en het gemiddeld aandeel relevante punten per hok voor Ekster (zie §2.5).

stratum	gewicht	aanwezig	relevant	onderzocht	totaal	bezoeken	punten
Landbouw	85.8%	4568.5	312	431	6311	18998	82.4%
Urbaan	6.5%	344.3	72	87	416	4902	94.9%
Suburbaan	3.2%	168.5	57	68	201	3448	88.0%
Moeras en water	1.8%	94.2	55	80	137	3036	78.8%
Heide en duin	1.5%	78.3	37	94	199	1704	68.0%
Bos	1.3%	68.5	41	191	319	2135	60.2%

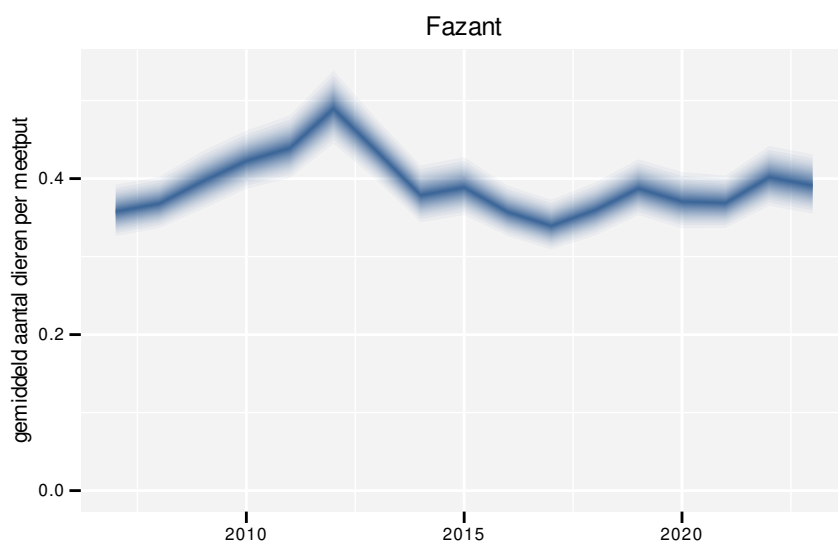
Tabel 29.2: Data-hashes van de analyses in het kader van traceerbaarheid (zie §4.3).

frequentie	model	analyse	status
jaarlijks	niet-lineair	ca5ee2bb458148b17211 5c42c57618e31af78a85	248d0af412ebee863f5d 1e02681d1cacd02ced69
jaarlijks	lineair	ace4d6ad2f4b6cfc7808 85cb498c3af872fab5dc	91ae1376aacf11e1a1ac 205fa633b8c83297c64f
driejaarlijks	niet-lineair	5c8f6d1fb307a42de2f1 f5475ef68aa95c61fd5f	9fe4d7eed066827e7592 6a46531a4dc63ea84201
driejaarlijks	lineair	494f8e62354ed6fcedf 7b4266909da1cb6cfc0f	384f4dcfa8e4c5e0fe8d c520b32592bb1494b46e

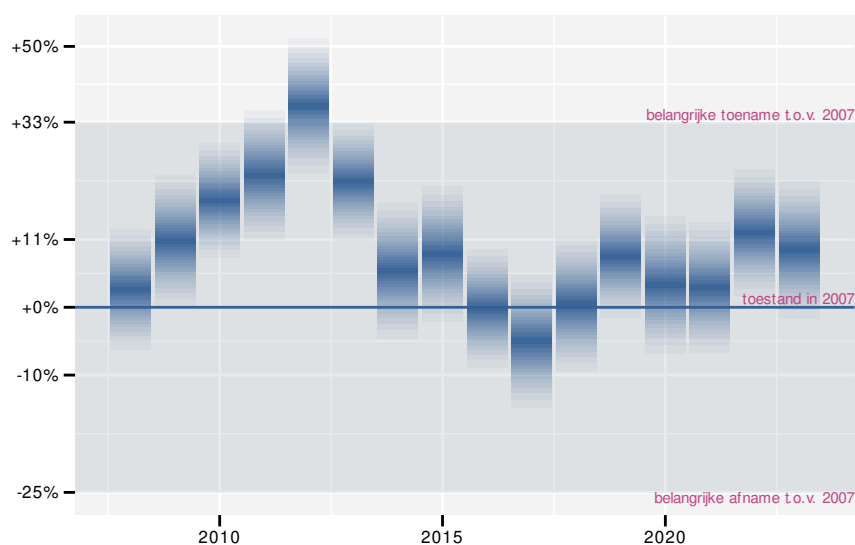
30 FAZANT

30.1 ANALYSE PER JAAR

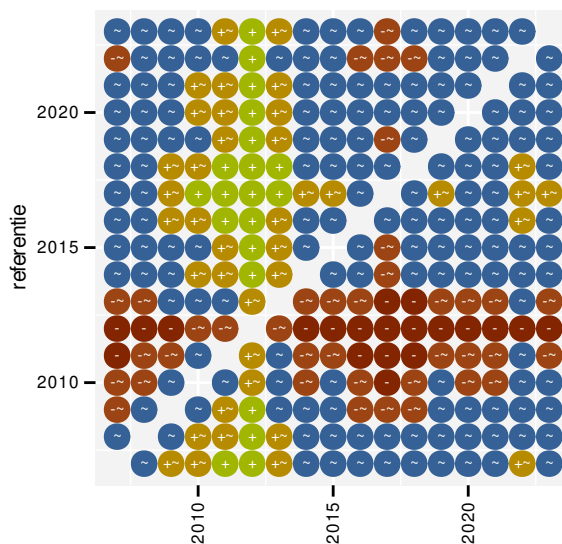
Op basis van jaarlijkse gegevens zien we gemiddeld een stabiele toestand. De trend blijft beperkt tot -0.34% (-0.74%; +0.05%) per jaar of -5.3% (-11.2%; +0.8%) over de volledige looptijd van het meetnet. Deze trend is niet-lineair.



Figuur 30.1: Evolutie van het gemodelleerde gemiddeld aantal waargenomen dieren op een meetpunt voor Fazant tijdens de referentieperiode. Zie §3.1 voor een verklaring van de intervallen.



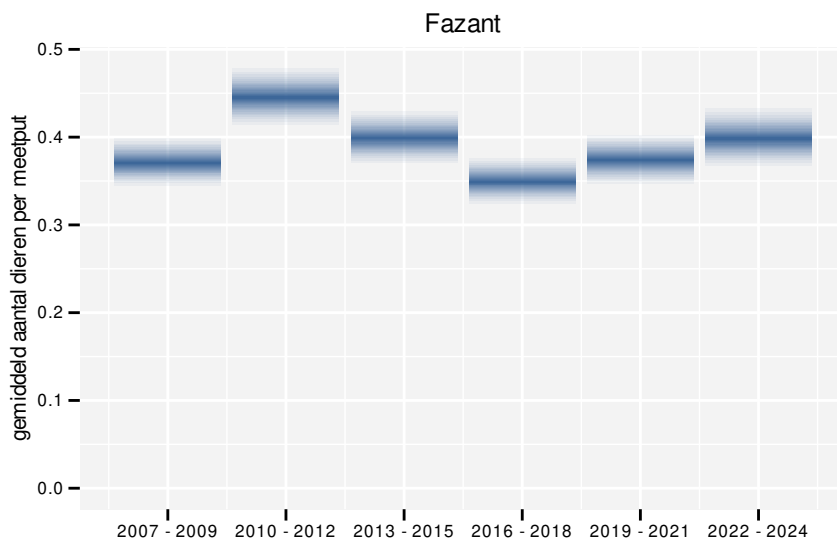
Figuur 30.2: Wijzigingen tussen jaren voor Fazant. Zie §3.1 voor een verklaring van de intervallen en §3.2 voor uitleg over de symbolen en referentielijnen.



Figuur 30.3: Paarsgewijze vergelijking tussen jaren voor Fazant. Uitleg van de symbolen in tabel 3.1.

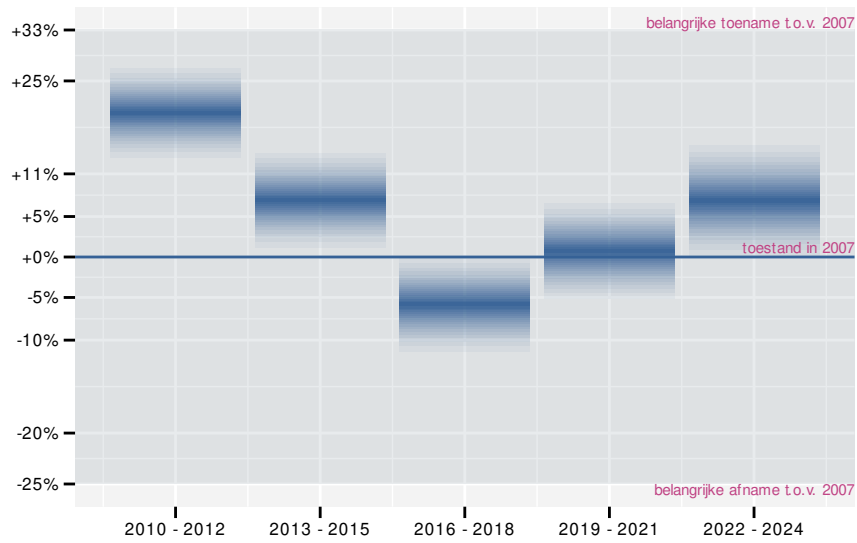
30.2 ANALYSE PER DRIEJAARLIJKSE CYCLUS

Op basis van driejaarlijkse gegevens zien we gemiddeld een stabiele toestand. De trend blijft beperkt tot -0.36% (-0.75%; +0.03%) per jaar of -5.6% (-11.4%; +0.5%) over de volledige looptijd van het meetnet. Deze trend is niet-lineair.

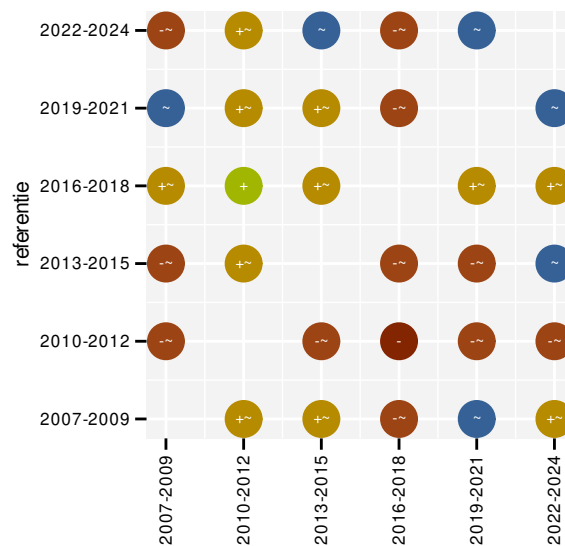


Figuur 30.4: Evolutie van het gemiddelde aantal waargenomen dieren op een meetpunt voor Fazant tijdens de referentieperiode. Zie §3.1 voor een verklaring van de intervallen.





Figuur 30.5: Wijzigingen per driejarige cyclus voor Fazant. Zie §3.1 voor een verklaring van de intervallen en §3.2 voor uitleg over de symbolen en referentielijnen.



Figuur 30.6: Paarsgewijze vergelijking tussen driejarige cycli voor Fazant. Uitleg van de symbolen in tabel 3.1.

30.3 KENMERKEN VAN DE GEGEVENS

Tabel 30.1: Stratumgewicht, raming van het aantal hokken waarin de soort aanwezig is, aantal relevante hokken voor de analyse, aantal onderzochte hokken in het stratum, totaal aantal hokken van het stratum in Vlaanderen, aantal bezoeken aan een meetpunt en het gemiddeld aandeel relevante punten per hok voor Fazant (zie §2.5).

stratum	gewicht	aanwezig	relevant	onderzocht	totaal	bezoeken	punten
Landbouw	93.2%	4319.6	295	431	6311	18275	82.4%
Heide en duin	1.7%	80.4	38	94	199	2060	66.7%
Moeras en water	1.5%	68.5	40	80	137	2368	78.3%
Bos	1.5%	68.5	41	191	319	2440	69.1%
Suburbaan	1.1%	50.2	17	68	201	720	60.8%
Urbaan	1.0%	52.6	11	87	416	336	37.9%

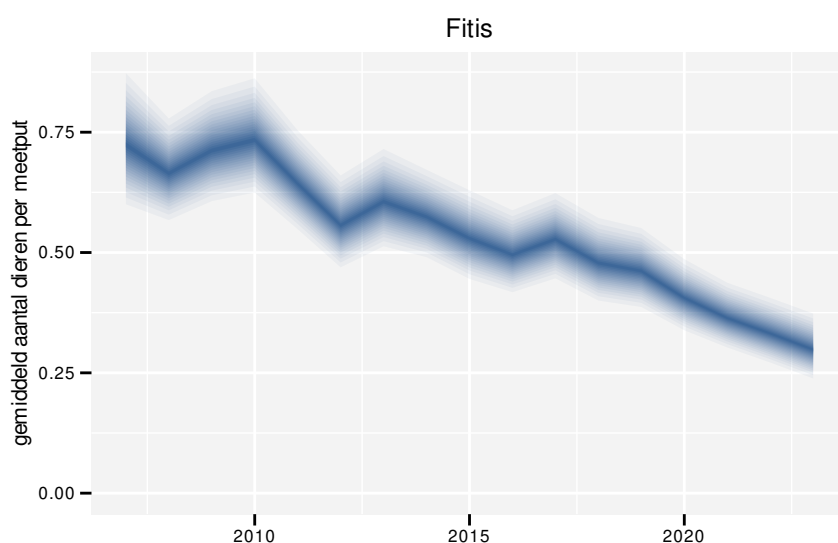
Tabel 30.2: Data-hashes van de analyses in het kader van traceerbaarheid (zie §4.3).

frequentie	model	analyse	status
jaarlijks	niet-lineair	f88e30f21dfcdae543a	3c3d6f49665fddd11df5
		181bf4c039a7598dd249	bc9e1fd0365f069e43df
jaarlijks	lineair	37d61eb6ac28e8143278	95460b25815075a3fbeb
		bcff9ef74777b1324375	3fab2839a257a72e97ed
driejaarlijks	niet-lineair	4ac1db11145bc5622a88	a3d5806aef70cf565b68
		9fd7155a3b3a943ab7ad	04832eecf3f070b2a3cf
driejaarlijks	lineair	d31c0e73a1d5612fc09	b0b83be573afad2be555
		2af2e809da4d3c9885b7	f13a5f6d6fd0230e18d0

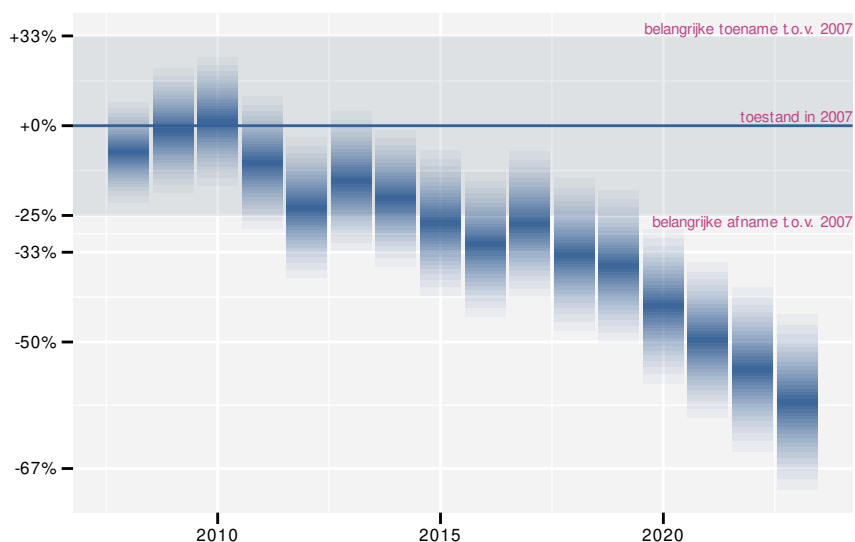
31 FITIS

31.1 ANALYSE PER JAAR

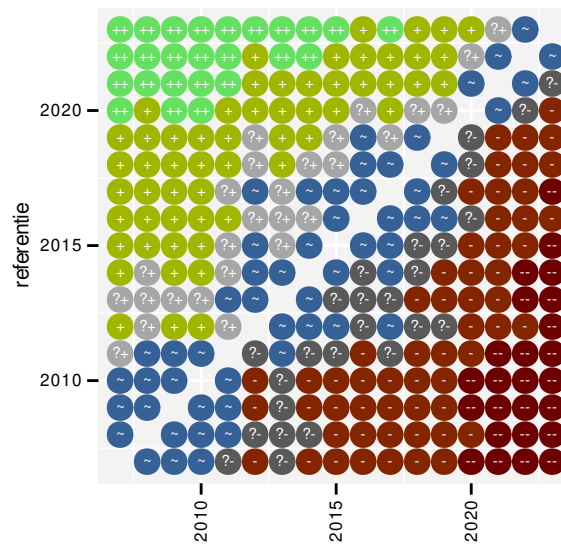
Op basis van jaarlijkse gegevens zien we gemiddeld een sterke afname met -5.9% (-7.3%; -4.5%) per jaar of -62% (-70%; -52%) over de volledige looptijd van het meetnet. Deze trend is niet-lineair.



Figuur 31.1: Evolutie van het gemodelleerde gemiddeld aantal waargenomen dieren op een meetpunt voor Fitis tijdens de referentieperiode. Zie §3.1 voor een verklaring van de intervallen.



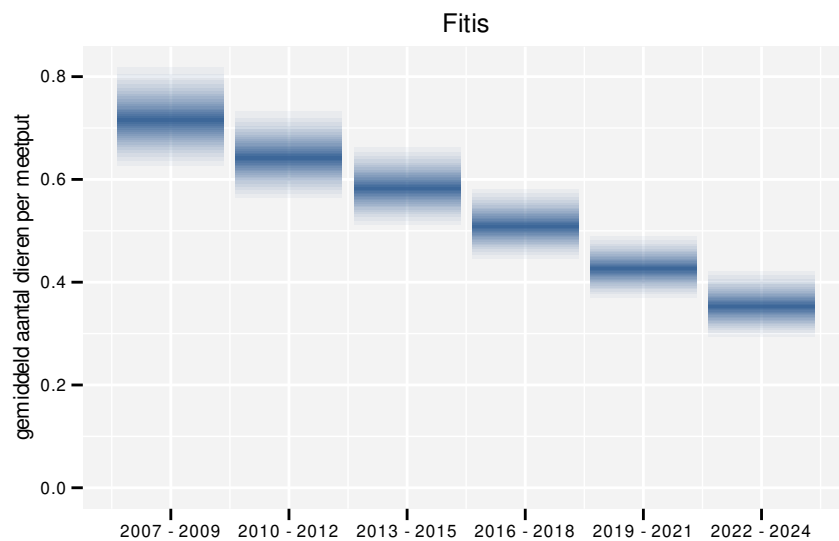
Figuur 31.2: Wijzigingen tussen jaren voor Fitis. Zie §3.1 voor een verklaring van de intervallen en §3.2 voor uitleg over de symbolen en referentielijnen.



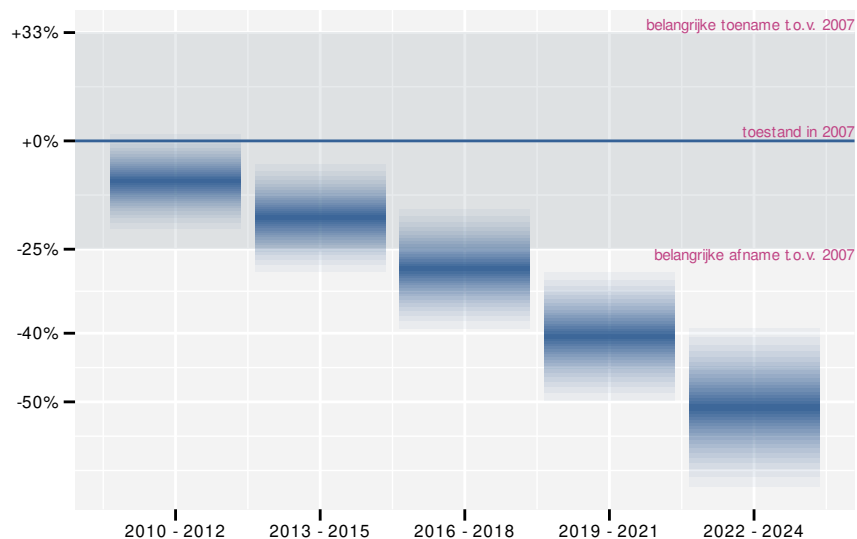
Figuur 31.3: Paarsgewijze vergelijking tussen jaren voor Fitis. Uitleg van de symbolen in tabel 3.1.

31.2 ANALYSE PER DRIEJAARLIJKSE CYCLUS

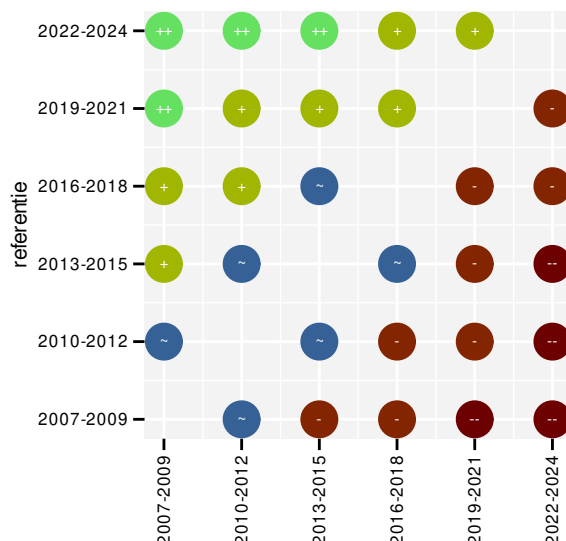
Op basis van driejaarlijkse gegevens zien we gemiddeld een sterke afname met -5.8% (-7.2%; -4.4%) per jaar of -62% (-70%; -52%) over de volledige looptijd van het meetnet. Deze trend is lineair.



Figuur 31.4: Evolutie van het gemodelleerde gemiddeld aantal waargenomen dieren op een meetpunt voor Fitis tijdens de referentieperiode. Zie §3.1 voor een verklaring van de intervallen.



Figuur 31.5: Wijzigingen per driejarige cyclus voor Fitis. Zie §3.1 voor een verklaring van de intervallen en §3.2 voor uitleg over de symbolen en referentielijnen.



Figuur 31.6: Paarsgewijze vergelijking tussen driejarige cycli voor Fitis. Uitleg van de symbolen in tabel 3.1.

31.3 KENMERKEN VAN DE GEGEVENS

Tabel 31.2: Data-hashes van de analyses in het kader van traceerbaarheid (zie §4.3).

frequentie	model	analyse	status
jaarlijks	niet-lineair	748b26c95512fff36ce7	8f591feede4d51f375f8
		849f35aa3ff840de49d9	412e4b665f74d6136fca
jaarlijks	lineair	fa3aa51785950d4dac83	eebc289a60081c199949
driejaarlijks	niet-lineair	bb50473536372af1e01f	feea664faa7dcdadbf04
		70ac24ae994cd77ab713	d1bf6ad7d371aba36faa
		cc81090b02f4ba9cf519	6e642f1a206ff411348c

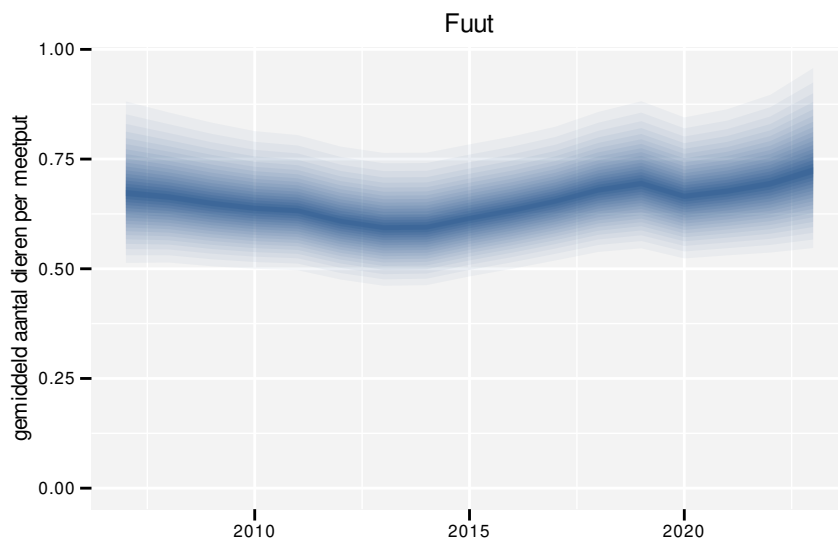
Tabel 31.1: Stratumgewicht, raming van het aantal hokken waarin de soort aanwezig is, aantal relevante hokken voor de analyse, aantal onderzochte hokken in het stratum, totaal aantal hokken van het stratum in Vlaanderen, aantal bezoeken aan een meetpunt en het gemiddeld aandeel relevante punten per hok voor Fitis (zie §2.5).

stratum	gewicht	aanwezig	relevant	onderzocht	totaal	bezoeken	punten
Landbouw	49.2%	351.4	24	431	6311	1054	52.8%
Heide en duin	22.8%	163.0	77	94	199	4431	81.8%
Bos	15.7%	111.9	67	191	319	3670	69.2%
Moeras en water	6.5%	46.2	27	80	137	1737	75.9%
Suburbaan	5.8%	41.4	14	68	201	410	61.9%

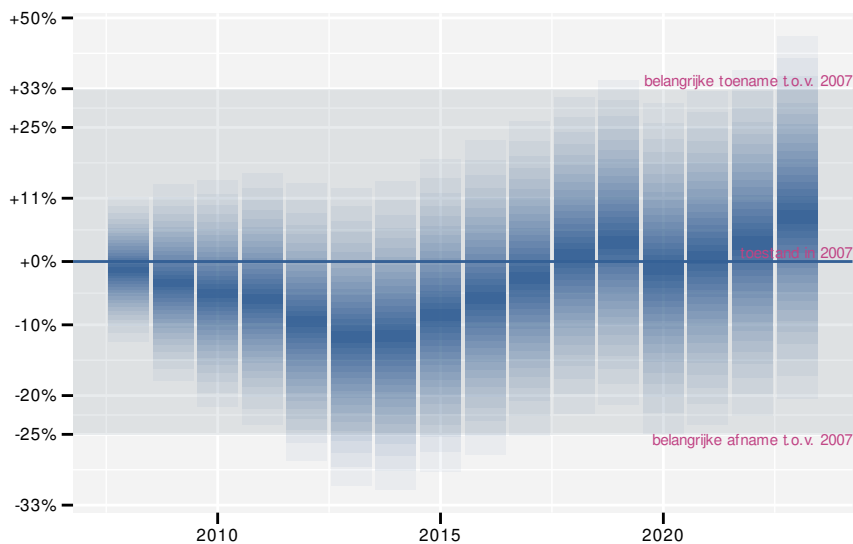
32 FUUT

32.1 ANALYSE PER JAAR

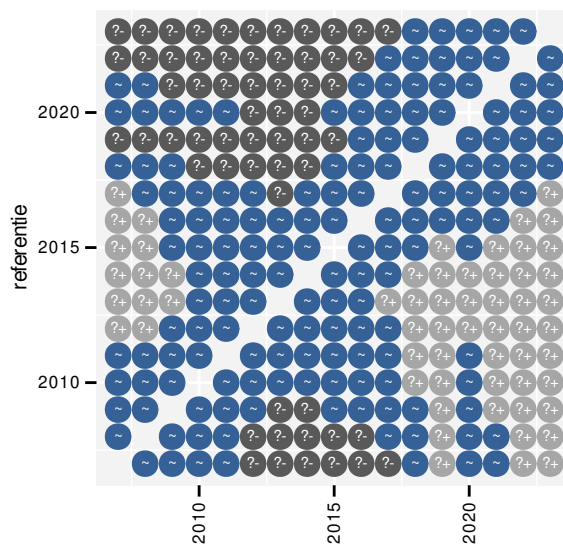
Op basis van jaarlijkse gegevens zien we gemiddeld een mogelijke toename met +1.8% (-0.8%; +4.5%) per jaar of +33% (-12%; +102%) over de volledige looptijd van het meetnet. Deze trend is niet-lineair.



Figuur 32.1: Evolutie van het gemodelleerde gemiddeld aantal waargenomen dieren op een meetpunt voor Fuut tijdens de referentieperiode. Zie §3.1 voor een verklaring van de intervallen.



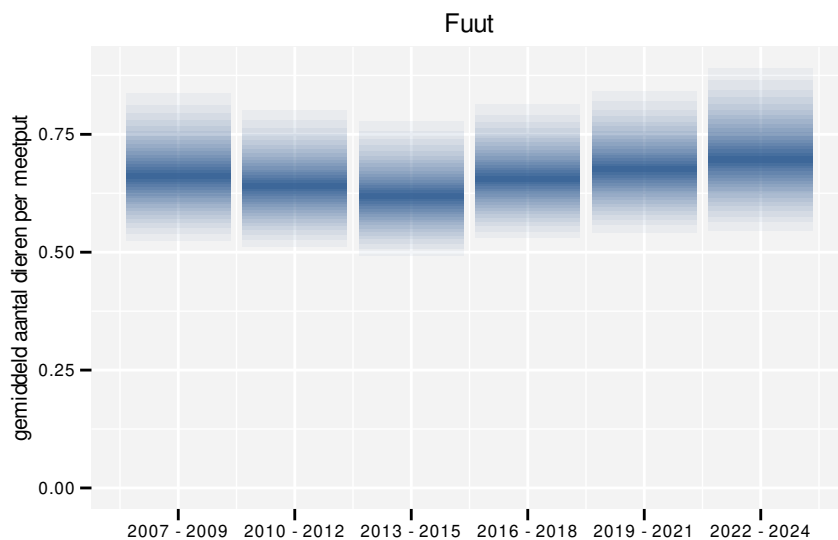
Figuur 32.2: Wijzigingen tussen jaren voor Fuut. Zie §3.1 voor een verklaring van de intervallen en §3.2 voor uitleg over de symbolen en referentielijnen.



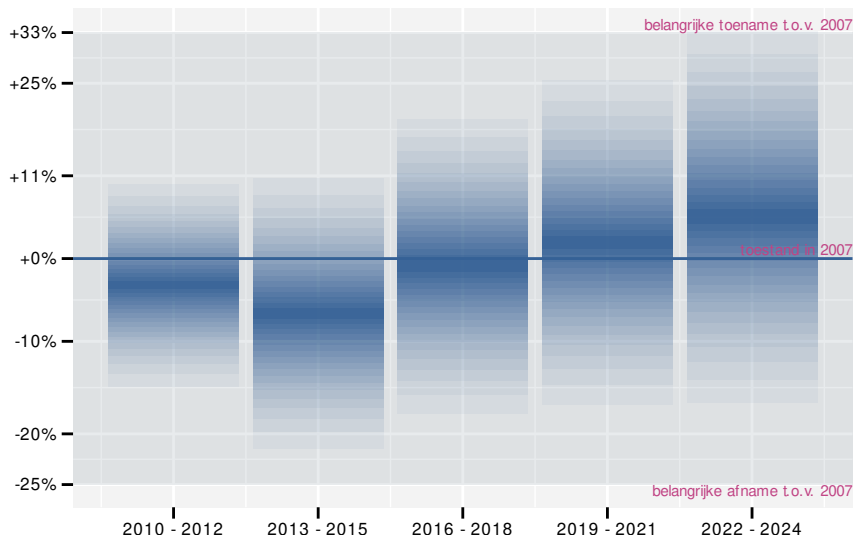
Figuur 32.3: Paarsgewijze vergelijking tussen jaren voor Fuut. Uitleg van de symbolen in tabel 3.1.

32.2 ANALYSE PER DRIEJAARLIJKSE CYCLUS

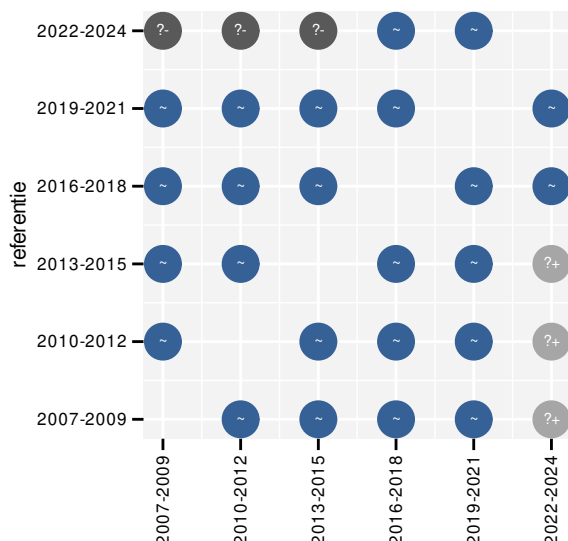
Op basis van driejaarlijkse gegevens zien we gemiddeld een mogelijke toename met +2.0% (-0.7%; +4.7%) per jaar of +37% (-11%; +110%) over de volledige looptijd van het meetnet. Deze trend is mogelijk niet-lineair.



Figuur 32.4: Evolutie van het gemodelleerde gemiddeld aantal waargenomen dieren op een meetpunt voor Fuut tijdens de referentieperiode. Zie §3.1 voor een verklaring van de intervallen.



Figuur 32.5: Wijzigingen per driejarige cyclus voor Fuut. Zie §3.1 voor een verklaring van de intervallen en §3.2 voor uitleg over de symbolen en referentielijnen.



Figuur 32.6: Paarsgewijze vergelijking tussen driejarige cycli voor Fuut. Uitleg van de symbolen in tabel 3.1.

32.3 KENMERKEN VAN DE GEGEVENS

Tabel 32.2: Data-hashes van de analyses in het kader van traceerbaarheid (zie §4.3).

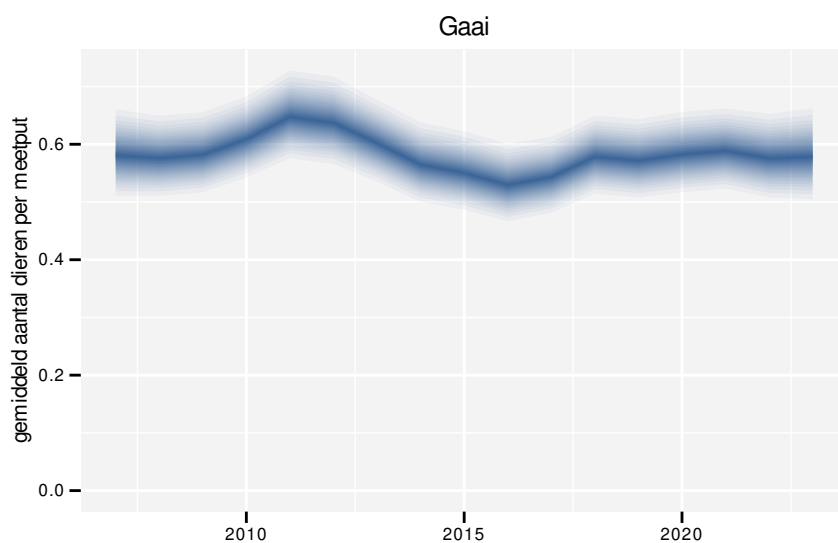
frequentie	model	analyse	status
jaarlijks	niet-lineair	7fe1c3da8dc47035e61e b9ba914d94e7e7ee0dd1	12b1e386935bf8bc6c5b b045011a2d5caba8467f
jaarlijks	lineair	6f9fc830e78681895848 98431fa75f58214bf35d	1ca12d6cf936466ad5ff a235bf57e440c654a692
driejaarlijks	niet-lineair	3cd819d63095c0c33ae7 1323c04e43c015a7fa88	f78d50088bd450c00433 6de2ca048aad8655b5fe

frequentie	model	analyse	status
driejaarlijks	lineair	90246b4f81a9a10e1f2f bd0c89bed45ceed1dd19	f2dbd8cada7b0322cda1 3c02aa0ecaefaf869f60

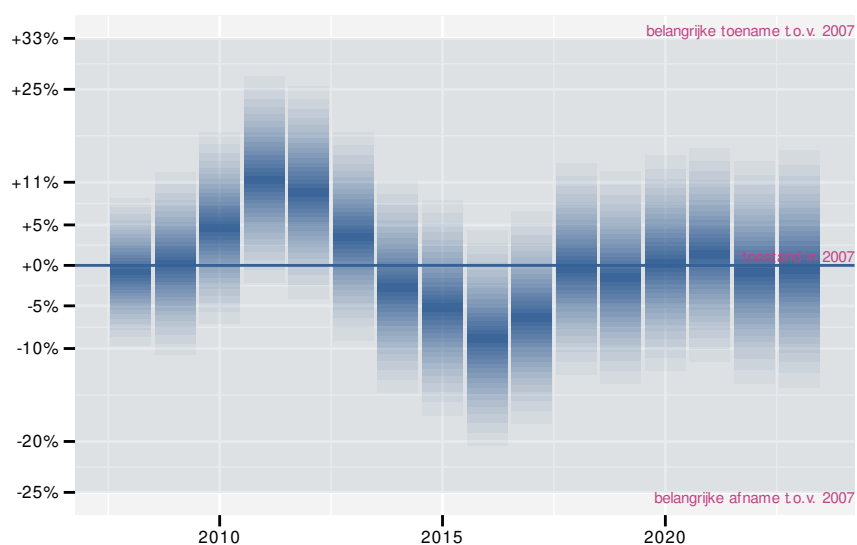
33 GAAI

33.1 ANALYSE PER JAAR

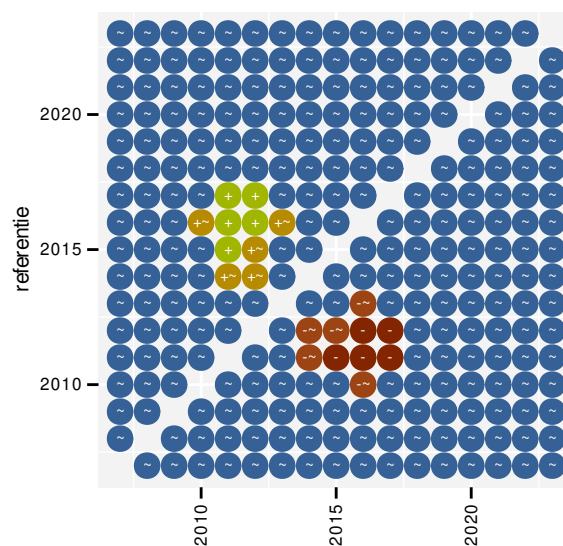
Op basis van jaarlijkse gegevens zien we gemiddeld een stabiele toestand. De trend blijft beperkt tot -0.51% (-1.26%; +0.25%) per jaar of -7.8% (-18.4%; +4.1%) over de volledige looptijd van het meetnet. Deze trend is lineair.



Figuur 33.1: Evolutie van het gemodelleerde gemiddeld aantal waargenomen dieren op een meetpunt voor Gaai tijdens de referentieperiode. Zie §3.1 voor een verklaring van de intervallen.



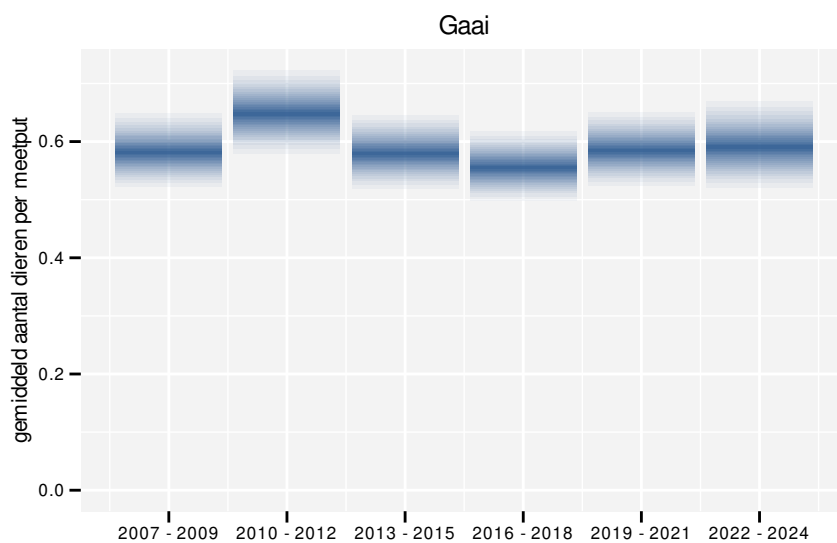
Figuur 33.2: Wijzigingen tussen jaren voor Gaai. Zie §3.1 voor een verklaring van de intervallen en §3.2 voor uitleg over de symbolen en referentielijnen.



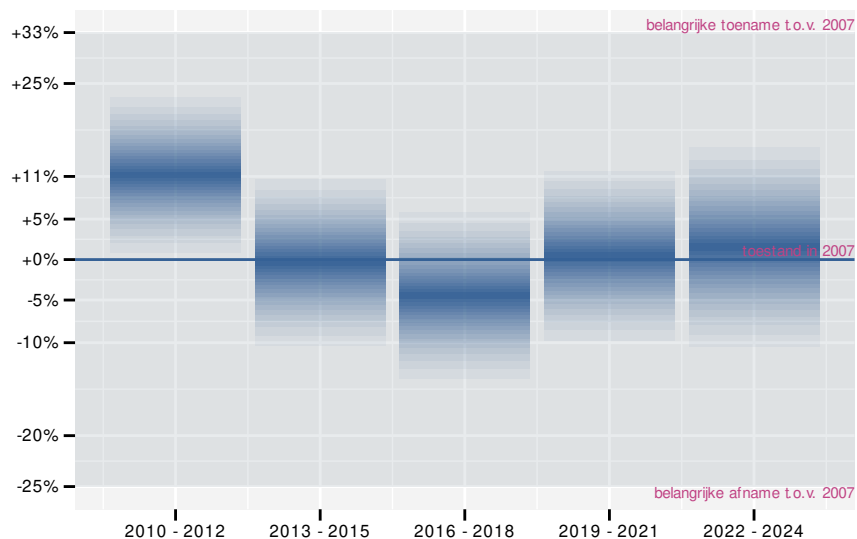
Figuur 33.3: Paarsgewijze vergelijking tussen jaren voor Gaai. Uitleg van de symbolen in tabel 3.1.

33.2 ANALYSE PER DRIEJAARLIJKSE CYCLUS

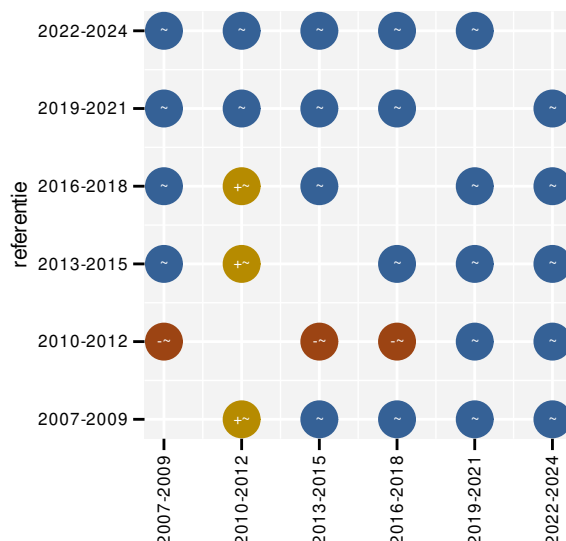
Op basis van driejaarlijkse gegevens zien we gemiddeld een stabiele toestand. De trend blijft beperkt tot -0.67% (-1.44%; +0.09%) per jaar of -10% (-21%; +2%) over de volledige looptijd van het meetnet. Deze trend is lineair.



Figuur 33.4: Evolutie van het gemodelleerde gemiddeld aantal waargenomen dieren op een meetpunt voor Gaai tijdens de referentieperiode. Zie §3.1 voor een verklaring van de intervallen.



Figuur 33.5: Wijzigingen per driejarige cyclus voor Gaai. Zie §3.1 voor een verklaring van de intervallen en §3.2 voor uitleg over de symbolen en referentielijnen.



Figuur 33.6: Paarsgewijze vergelijking tussen driejarige cycli voor Gaai. Uitleg van de symbolen in tabel 3.1.

33.3 KENMERKEN VAN DE GEGEVENS

Tabel 33.2: Data-hashes van de analyses in het kader van traceerbaarheid (zie §4.3).

frequentie	model	analyse	status
jaarlijks	niet-lineair	0b9335c3cf2a43c4482e 33fab75f23a3b0ec60bb	b6a7125d7304e9dcd2d6 dc29a2fc8d486552bb48
jaarlijks	lineair	179bee3114d70926e672 8f3e4970718f60a2db62	c141fa55e49f5c83566d 1a00a8d69d3eb235b7f3
driejaarlijks	niet-lineair	8c299a02d9e8d20d2c28 a5bc1acb67becf678d2c	d5d93404e06a3af99679 610ed172cc961ea775b7

frequentie	model	analyse	status
driejaarlijks	lineair	94052f5b5f78700311bb a2a7edec5694e7570206	7ddd99c903ecc5bce5f4 a1b774835ba1820e5313

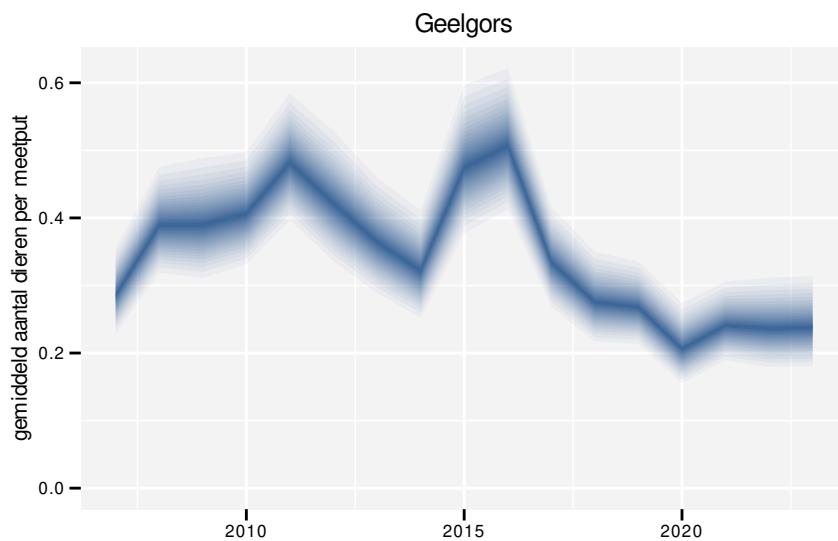
Tabel 33.1: Stratumgewicht, raming van het aantal hokken waarin de soort aanwezig is, aantal relevante hokken voor de analyse, aantal onderzochte hokken in het stratum, totaal aantal hokken van het stratum in Vlaanderen, aantal bezoeken aan een meetpunt en het gemiddeld aandeel relevante punten per hok voor Gaai (zie §2.5).

stratum	gewicht	aanwezig	relevant	onderzocht	totaal	bezoeken	punten
Landbouw	80.1%	2957.8	202	431	6311	9672	60.6%
Bos	6.3%	232.2	139	191	319	8408	80.0%
Urbaan	5.7%	210.4	44	87	416	1947	53.4%
Heide en duin	3.6%	131.3	62	94	199	3347	69.9%
Suburbaan	2.3%	85.7	29	68	201	1333	64.4%
Moeras en water	2.1%	77.1	45	80	137	2475	73.7%

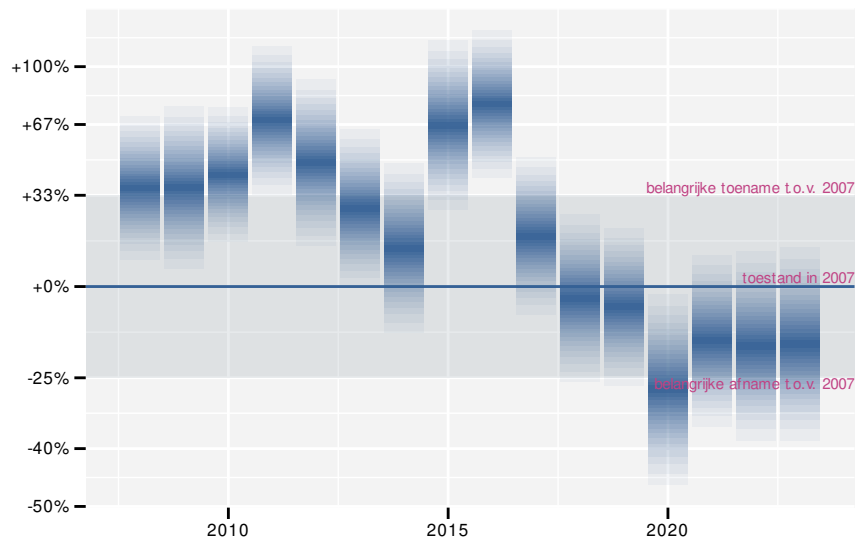
34 GEELGORS

34.1 ANALYSE PER JAAR

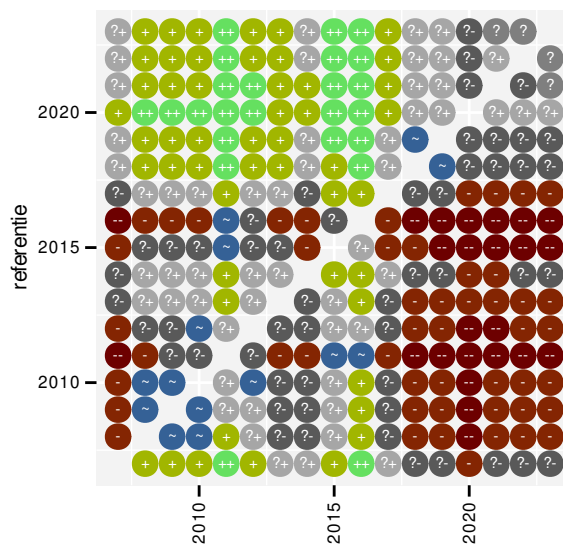
Op basis van jaarlijkse gegevens zien we gemiddeld een afname met -2.5% (-3.6%; -1.5%) per jaar of -34% (-44%; -21%) over de volledige looptijd van het meetnet. Deze trend is niet-lineair.



Figuur 34.1: Evolutie van het gemodelleerde gemiddeld aantal waargenomen dieren op een meetpunt voor Geelgors tijdens de referentieperiode. Zie §3.1 voor een verklaring van de intervallen.



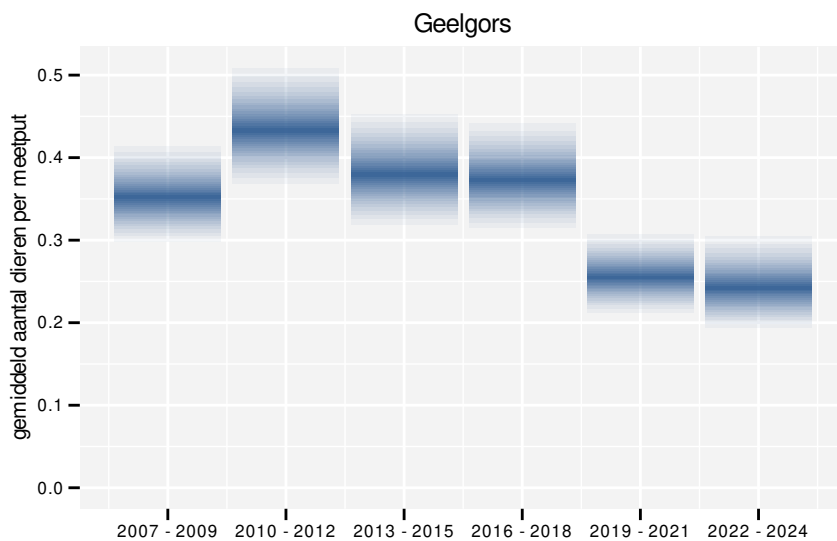
Figuur 34.2: Wijzigingen tussen jaren voor Geelgors. Zie §3.1 voor een verklaring van de intervallen en §3.2 voor uitleg over de symbolen en referentielijnen.



Figuur 34.3: Paarsgewijze vergelijking tussen jaren voor Geelgors. Uitleg van de symbolen in tabel 3.1.

34.2 ANALYSE PER DRIEJAARLIJKSE CYCLUS

Op basis van driejaarlijkse gegevens zien we gemiddeld een afname met -2.6% (-3.6%; -1.5%) per jaar of -34% (-45%; -22%) over de volledige looptijd van het meetnet. Deze trend is niet-lineair.



Figuur 34.4: Evolutie van het gemodelleerde gemiddeld aantal waargenomen dieren op een meetpunt voor Geelgors tijdens de referentieperiode. Zie §3.1 voor een verklaring van de intervallen.

34.3 KENMERKEN VAN DE GEGEVENS

Tabel 34.1: Stratumgewicht, raming van het aantal hokken waarin de soort aanwezig is, aantal relevante hokken voor de analyse, aantal onderzochte hokken in het stratum, totaal aantal hokken van het stratum in Vlaanderen, aantal bezoeken aan een meetpunt en het gemiddeld aandeel relevante punten per hok voor Geelgors (zie §2.5).

stratum	gewicht	aanwezig	relevant	onderzocht	totaal	bezoeken	punten
Landbouw	96.7%	893.2	61	431	6311	2984	66.7%
Heide en duin	1.8%	16.9	8	94	199	410	60.4%
Moeras en water	0.7%	6.8	4	80	137	127	41.7%
Bos	0.7%	8.4	5	191	319	272	50.0%

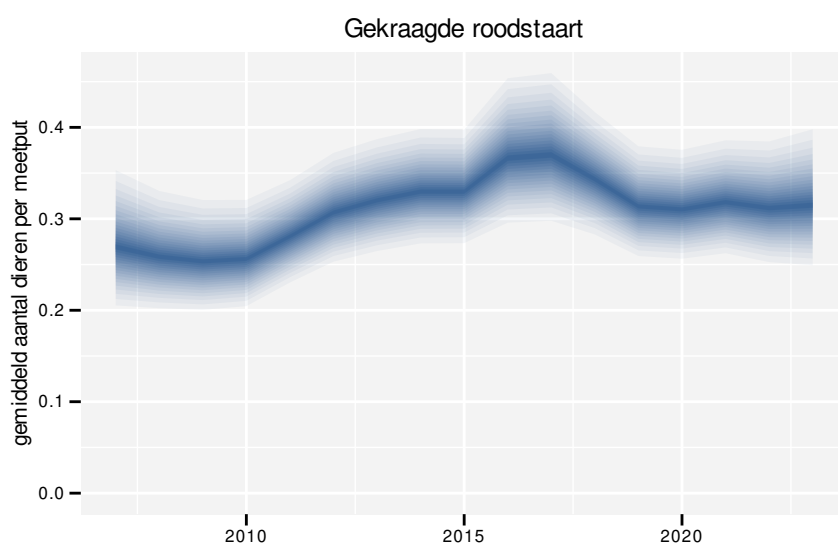
Tabel 34.2: Data-hashes van de analyses in het kader van traceerbaarheid (zie §4.3).

frequentie	model	analyse	status
jaarlijks	niet-lineair	dab16115cee8ffa0bce8 f85a2ccd1b053fad2d50	0eaeb68324c260cbb856 56c9ecae2edf7d30c1dc
jaarlijks	lineair	49a9123859f5e9a39df6 993ca2b826b1c086fb6d	9ae96d718539e58018bc ed9b316831c54df92a87
driejaarlijks	niet-lineair	057c4998ce3043b33c0d c899cf3adcb6f8aadb62	61bb7682cb55431ff3a7 c38c38928bd107a01736
driejaarlijks	lineair	482e66ada430a624fb2e e6f2c743ef0cad295495	7c8bcd173a0a939af49f f473cdbd669f3f861645

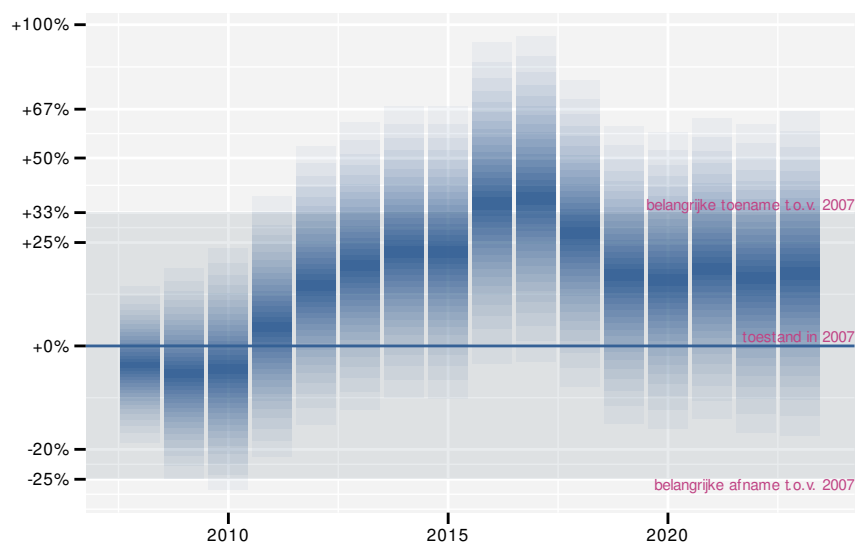
35 GEKRAAGDE ROODSTAART

35.1 ANALYSE PER JAAR

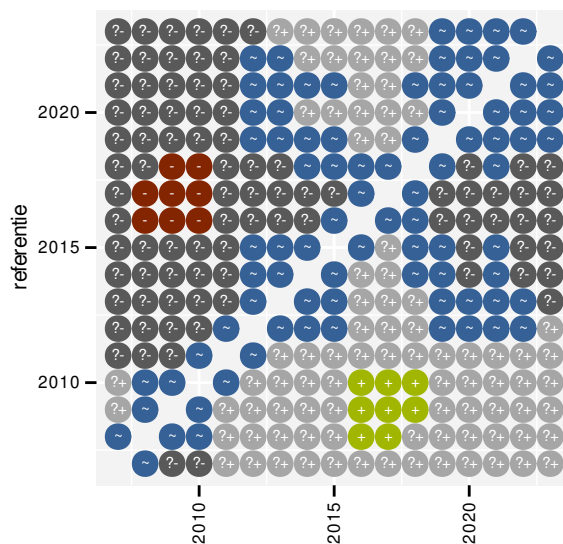
Op basis van jaarlijkse gegevens zien we gemiddeld een mogelijke toename met +1.6% (-0.4%; +3.7%) per jaar of +29% (-7%; +79%) over de volledige looptijd van het meetnet. Deze trend is niet-lineair.



Figuur 35.1: Evolutie van het gemodelleerde gemiddeld aantal waargenomen dieren op een meetpunt voor Gekraagde roodstaart tijdens de referentieperiode. Zie §3.1 voor een verklaring van de intervallen.



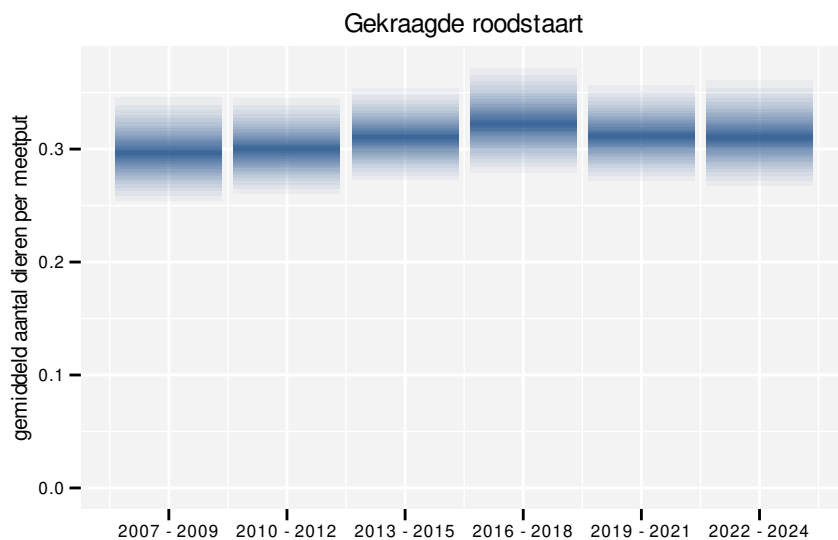
Figuur 35.2: Wijzigingen tussen jaren voor Gekraagde roodstaart. Zie §3.1 voor een verklaring van de intervallen en §3.2 voor uitleg over de symbolen en referentielijnen.



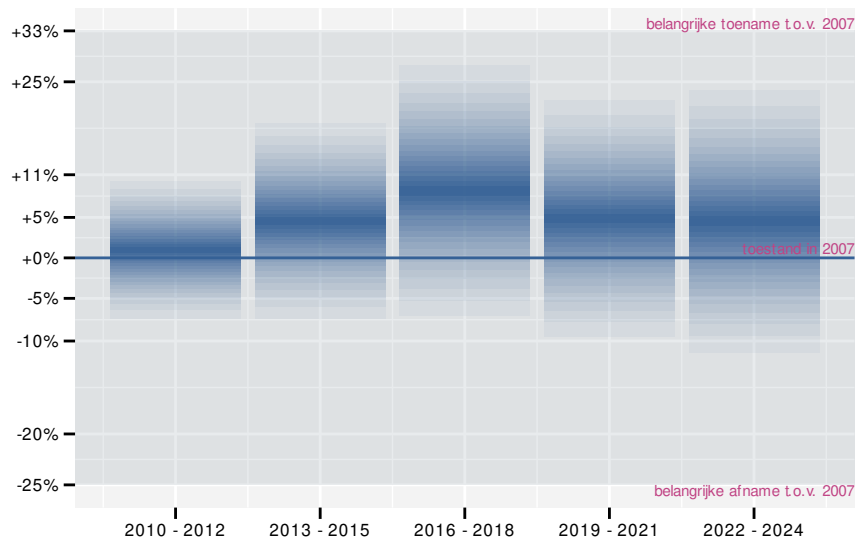
Figuur 35.3: Paarsgewijze vergelijking tussen jaren voor Gekraagde roodstaart. Uitleg van de symbolen in tabel 3.1.

35.2 ANALYSE PER DRIEJAARLIJKSE CYCLUS

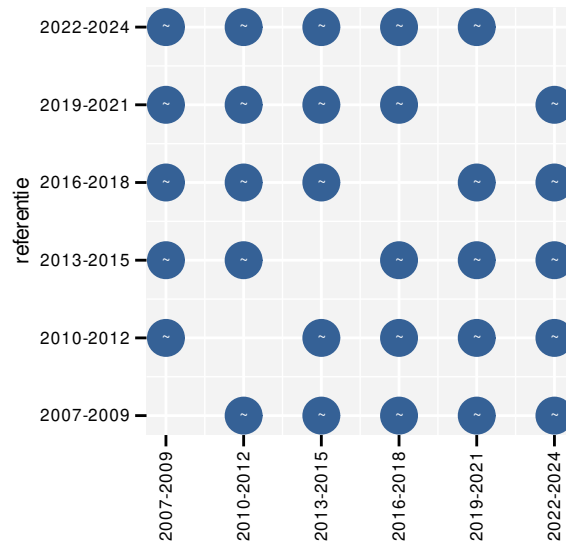
Op basis van driejaarlijkse gegevens zien we gemiddeld een mogelijke toename met +1.6% (-0.4%; +3.7%) per jaar of +30% (-6%; +80%) over de volledige looptijd van het meetnet. Deze trend is niet-lineair.



Figuur 35.4: Evolutie van het gemodelleerde gemiddeld aantal waargenomen dieren op een meetpunt voor Gekraagde roodstaart tijdens de referentieperiode. Zie §3.1 voor een verklaring van de intervallen.



Figuur 35.5: Wijzigingen per driejarige cyclus voor Gekraagde roodstaart. Zie §3.1 voor een verklaring van de intervallen en §3.2 voor uitleg over de symbolen en referentielijnen.



Figuur 35.6: Paarsgewijze vergelijking tussen driejarige cycli voor Gekraagde roodstaart. Uitleg van de symbolen in tabel 3.1.

35.3 KENMERKEN VAN DE GEGEVENS

Tabel 35.1: Stratumgewicht, raming van het aantal hokken waarin de soort aanwezig is, aantal relevante hokken voor de analyse, aantal onderzochte hokken in het stratum, totaal aantal hokken van het stratum in Vlaanderen, aantal bezoeken aan een meetpunt en het gemiddeld aandeel relevante punten per hok voor Gekraagde roodstaart (zie §2.5).

stratum	gewicht	aanwezig	relevant	onderzocht	totaal	bezoeken	punten
Landbouw	50.5%	161.1	11	431	6311	348	53.0%
Heide en duin	29.2%	84.7	40	94	199	1350	59.2%
Bos	17.9%	51.8	31	191	319	1136	60.2%
Moeras en water	2.4%	8.6	5	80	137	151	46.7%

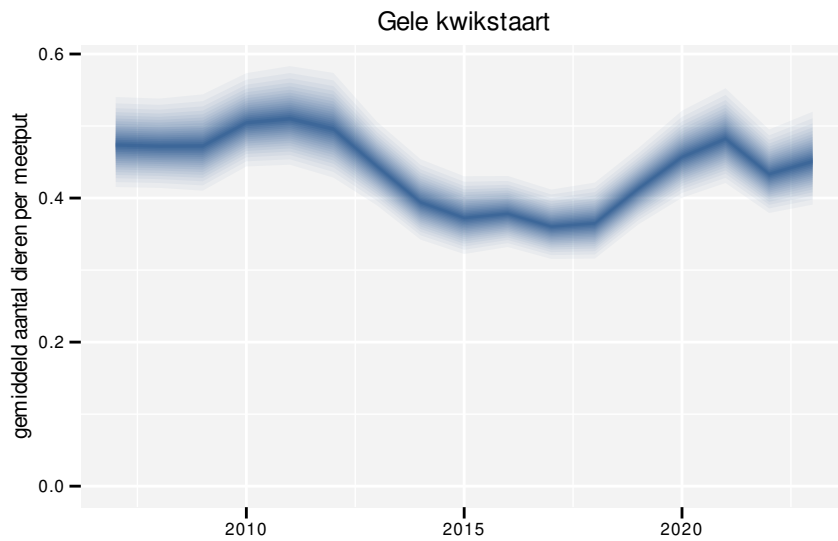
Tabel 35.2: Data-hashes van de analyses in het kader van traceerbaarheid (zie §4.3).

frequentie	model	analyse	status
jaarlijks	niet-lineair	77bc3594f18275b6882c 60a981f6a5c935eee2f5	d13b5414234ec8335d31 c7611bb98f7c8cffc2ff
jaarlijks	lineair	2eb1ed5f4bfb876fdfe5 bd571db34d924c3bb272	1714e98434d839e59320 4a3aa1e437670061eabb
driejaarlijks	niet-lineair	961e4f1df3d5bc215f26 7e2fe62cd0aea7049303	8db0a1fb6e2cde17365b a15935d595fba3531be1
driejaarlijks	lineair	16a422954ecee1958247 a1cbcca2cc072eb48a6	7c4f93cd26c40370592e 81e7a3ca97fc43738303

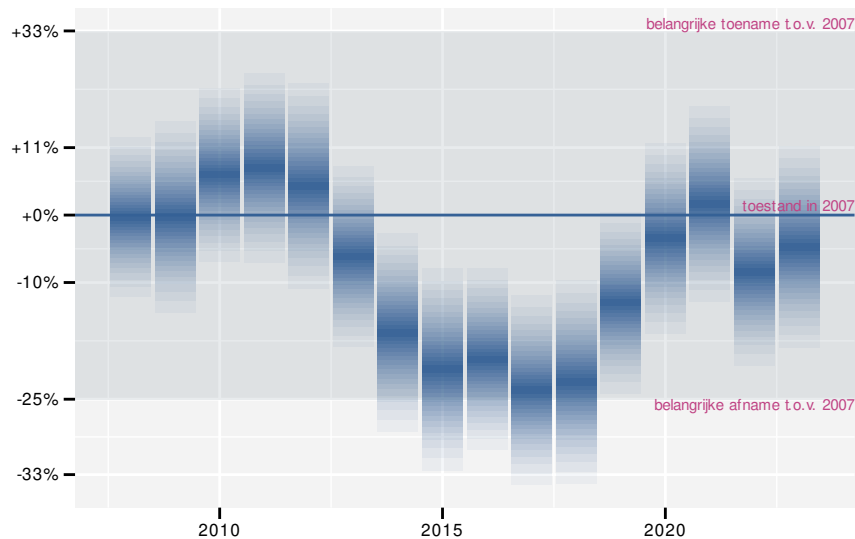
36 GELE KWIKSTAART

36.1 ANALYSE PER JAAR

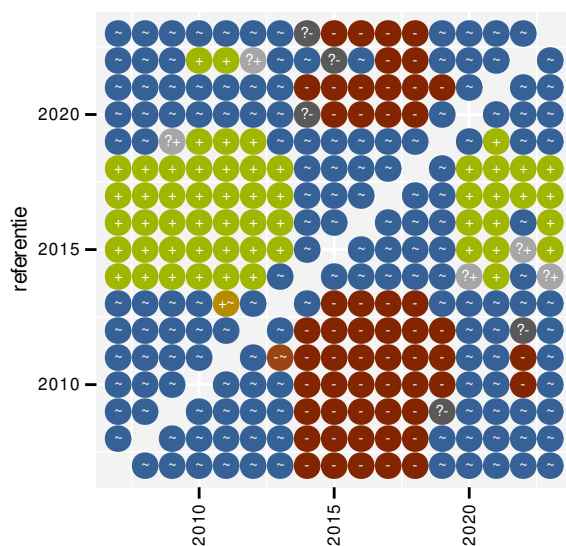
Op basis van jaarlijkse gegevens zien we gemiddeld een matige afname met -0.85% (-1.53%; -0.16%) per jaar of -13% (-22%; -3%) over de volledige looptijd van het meetnet. Deze trend is niet-lineair.



Figuur 36.1: Evolutie van het gemodelleerde gemiddeld aantal waargenomen dieren op een meetpunt voor Gele kwikstaart tijdens de referentieperiode. Zie §3.1 voor een verklaring van de intervallen.



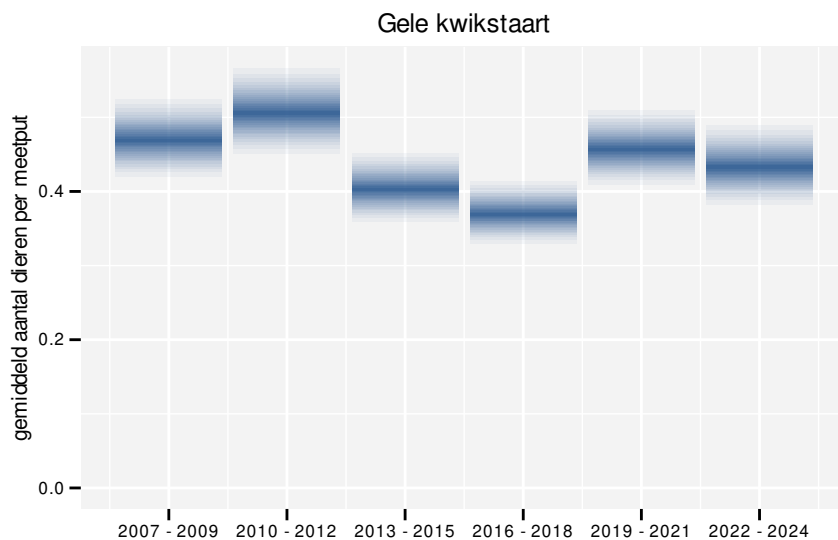
Figuur 36.2: Wijzigingen tussen jaren voor Gele kwikstaart. Zie §3.1 voor een verklaring van de intervallen en §3.2 voor uitleg over de symbolen en referentielijnen.



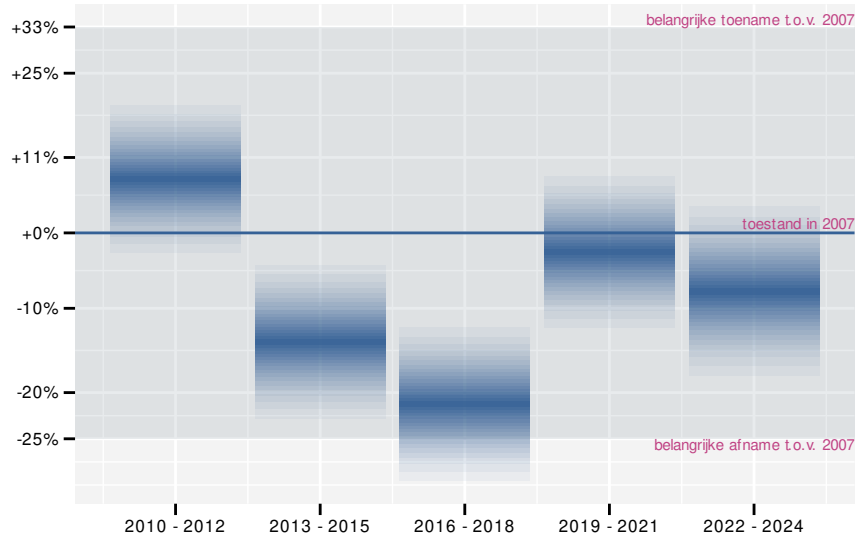
Figuur 36.3: Paarsgewijze vergelijking tussen jaren voor Gele kwikstaart. Uitleg van de symbolen in tabel 3.1.

36.2 ANALYSE PER DRIEJAARLIJKSE CYCLUS

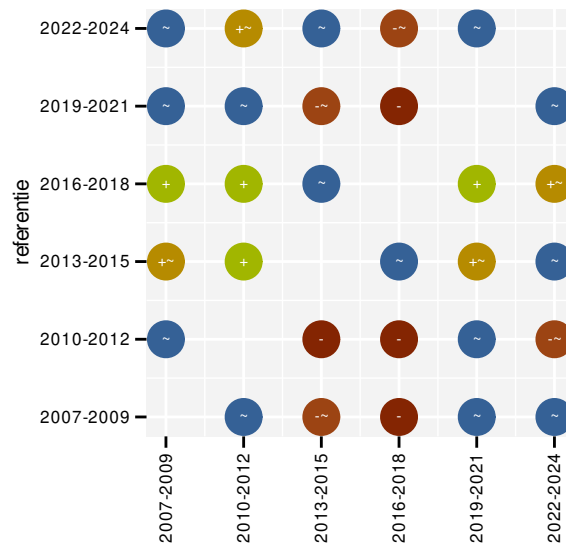
Op basis van driejaarlijkse gegevens zien we gemiddeld een matige afname met -0.85% (-1.54%; -0.16%) per jaar of -13% (-22%; -3%) over de volledige looptijd van het meetnet. Deze trend is niet-lineair.



Figuur 36.4: Evolutie van het gemodelleerde gemiddeld aantal waargenomen dieren op een meetpunt voor Gele kwikstaart tijdens de referentieperiode. Zie §3.1 voor een verklaring van de intervallen.



Figuur 36.5: Wijzigingen per driejarige cyclus voor Gele kwikstaart. Zie §3.1 voor een verklaring van de intervallen en §3.2 voor uitleg over de symbolen en referentielijnen.



Figuur 36.6: Paarsgewijze vergelijking tussen driejarige cycli voor Gele kwikstaart. Uitleg van de symbolen in tabel 3.1.

36.3 KENMERKEN VAN DE GEGEVENS

Tabel 36.1: Stratumgewicht, raming van het aantal hokken waarin de soort aanwezig is, aantal relevante hokken voor de analyse, aantal onderzochte hokken in het stratum, totaal aantal hokken van het stratum in Vlaanderen, aantal bezoeken aan een meetpunt en het gemiddeld aandeel relevante punten per hok voor Gele kwikstaart (zie §2.5).

stratum	gewicht	aanwezig	relevant	onderzocht	totaal	bezoeken	punten
Landbouw	99.5%	2738.2	187	431	6311	9251	63.3%
Moeras en water	0.5%	15.4	9	80	137	350	53.7%

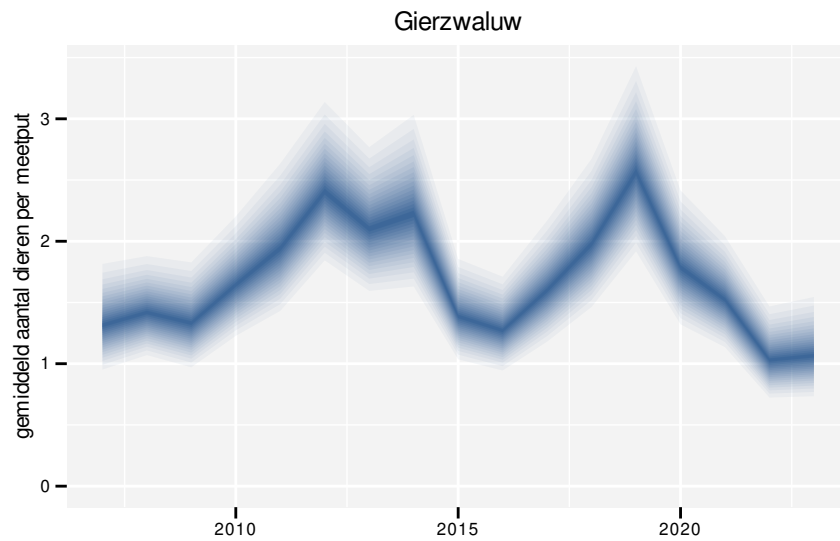
Tabel 36.2: Data-hashes van de analyses in het kader van traceerbaarheid (zie §4.3).

frequentie	model	analyse	status
jaarlijks	niet-lineair	51609d9282f7a9e4195b cb0a3bb575b6daffcb6c	f1211117fc34bd04905e aad2e2aa7b2336f3f2eb
jaarlijks	lineair	92dc32d1aae8dc034964 1b124188432db051ebd2	c4606a03d0f78649d7e6 f03e6f89f054a96ea437
driejaarlijks	niet-lineair	c7759c891a2cf19e3158 32a2275d444ab0471877	3bf0a29570fb31d9d585 8a2cda5331b3f3b09d7b
driejaarlijks	lineair	3aa96165f327f3207112 86ec507f2c658987ad6a	4e43060d63f138c5a317 5161d836531a35e05198

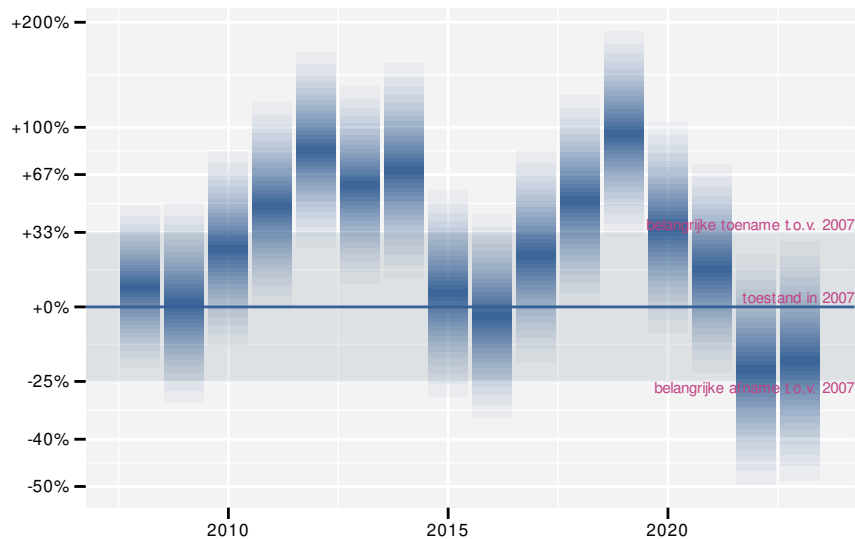
37 GIERZWALUW

37.1 ANALYSE PER JAAR

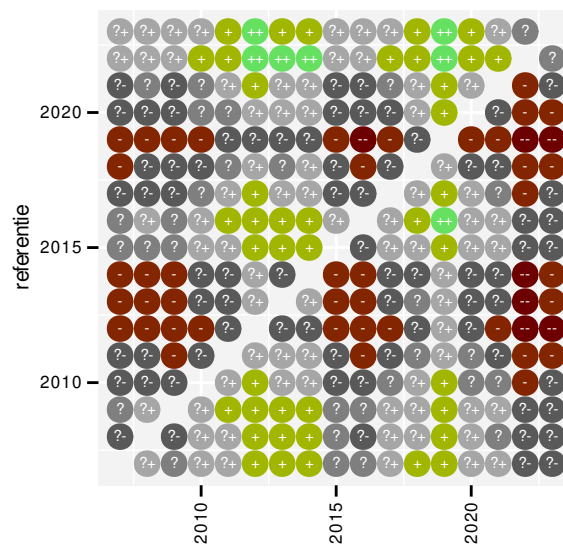
Op basis van jaarlijkse gegevens zien we gemiddeld een mogelijke afname met -0.2% (-2.2% ; $+1.8\%$) per jaar of -4% (-30% ; $+32\%$) over de volledige looptijd van het meetnet. Deze trend is niet-lineair.



Figuur 37.1: Evolutie van het gemodelleerde gemiddeld aantal waargenomen dieren op een meetpunt voor Gierzwaluw tijdens de referentieperiode. Zie §3.1 voor een verklaring van de intervallen.



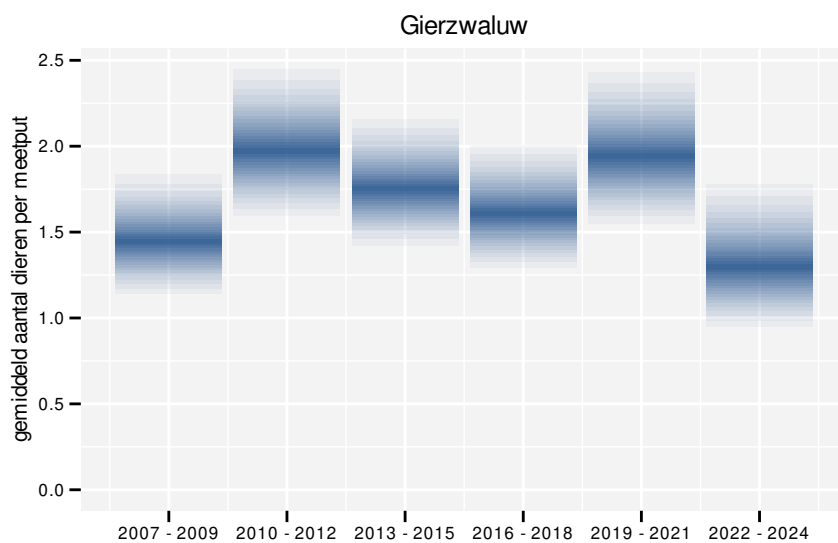
Figuur 37.2: Wijzigingen tussen jaren voor Gierzwaluw. Zie §3.1 voor een verklaring van de intervallen en §3.2 voor uitleg over de symbolen en referentielijnen.



Figuur 37.3: Paarsgewijze vergelijking tussen jaren voor Gierzwaluw. Uitleg van de symbolen in tabel 3.1.

37.2 ANALYSE PER DRIEJAARLIJKSE CYCLUS

Op basis van driejaarlijkse gegevens zien we gemiddeld een onduidelijk met -0.1% (-2.1% ; $+1.9\%$) per jaar of -2% (-29% ; $+35\%$) over de volledige looptijd van het meetnet. Deze trend is niet-lineair.



Figuur 37.4: Evolutie van het gemodelleerde gemiddeld aantal waargenomen dieren op een meetpunt voor Gierzwaluw tijdens de referentieperiode. Zie §3.1 voor een verklaring van de intervallen.

37.3 KENMERKEN VAN DE GEGEVENS

Tabel 37.1: Stratumgewicht, raming van het aantal hokken waarin de soort aanwezig is, aantal relevante hokken voor de analyse, aantal onderzochte hokken in het stratum, totaal aantal hokken van het stratum in Vlaanderen, aantal bezoeken aan een meetpunt en het gemiddeld aandeel relevante punten per hok voor Gierzwaluw (zie §2.5).

stratum	gewicht	aanwezig	relevant	onderzocht	totaal	bezoeken	punten
Landbouw	58.5%	585.7	40	431	6311	920	42.5%
Urbaan	27.7%	277.3	58	87	416	2189	81.3%
Suburbaan	5.9%	62.1	21	68	201	759	67.5%
Moeras en water	3.8%	37.7	22	80	137	644	57.6%
Heide en duin	3.2%	31.8	15	94	199	388	53.3%
Bos	1.0%	11.7	7	191	319	151	40.5%

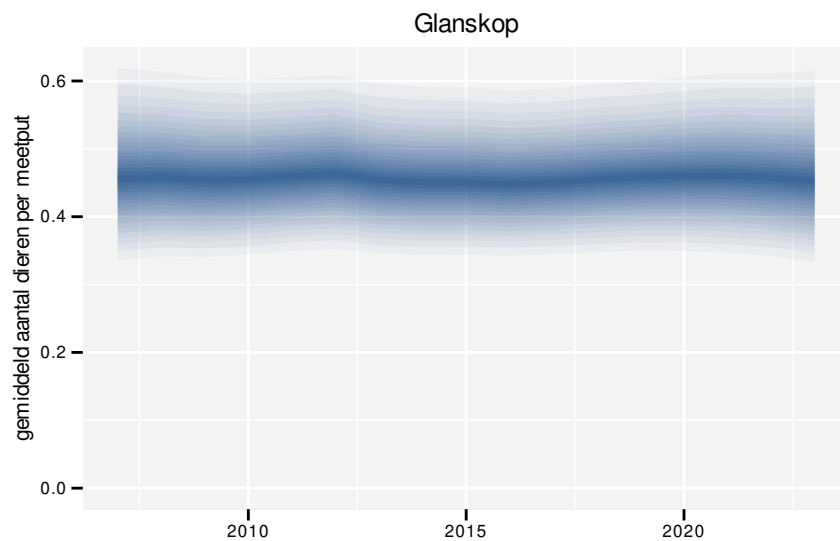
Tabel 37.2: Data-hashes van de analyses in het kader van traceerbaarheid (zie §4.3).

frequentie	model	analyse	status
jaarlijks	niet-lineair	2353e2555f3b2cc6c617c6a5a7f6887fe28414ca	af2e51c4f8fdb8f0fe5d03ca6cf1e913789b491f
jaarlijks	lineair	7e9a4360787c319ef67dfc9f3866fabf1d62bc43	63143236c878c52ca544deec523a561fffd87fe
driejaarlijks	niet-lineair	4fb3e4787803e83a779cbd2543280a71c2b255a6	3f514907570b94af7c0aef6b62492bb2387689c9
driejaarlijks	lineair	4a9a780375969a9f7ecefcd7f94a7084917b02c0	9395b4f7e6095bfadeb88d38d63bfca21bddf1b0

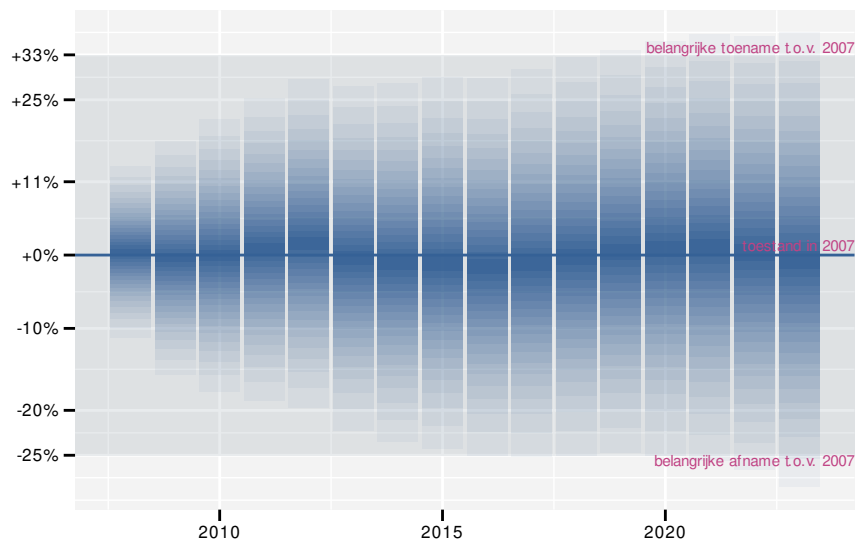
38 GLANSKOP

38.1 ANALYSE PER JAAR

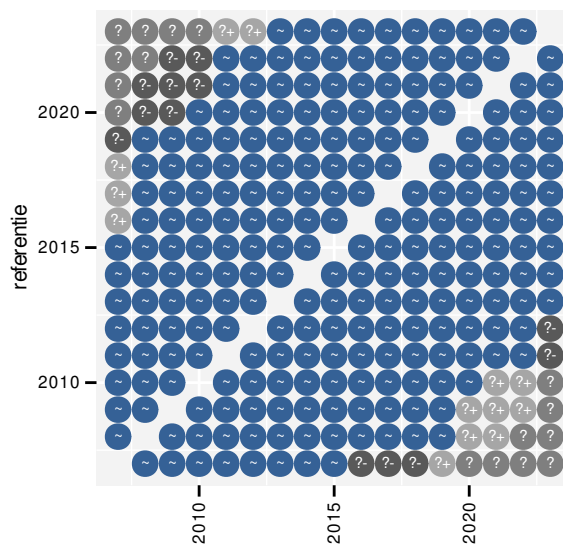
Op basis van jaarlijkse gegevens zien we gemiddeld een onduidelijk met +1.1% (-2.1%; +4.4%) per jaar of +20% (-30%; +100%) over de volledige looptijd van het meetnet. Deze trend is lineair.



Figuur 38.1: Evolutie van het gemodelleerde gemiddeld aantal waargenomen dieren op een meetpunt voor Glanskop tijdens de referentieperiode. Zie §3.1 voor een verklaring van de intervallen.



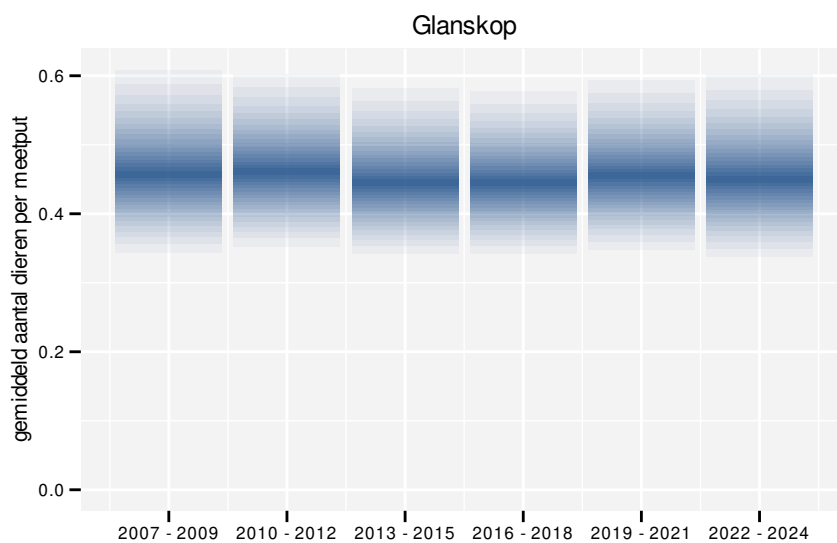
Figuur 38.2: Wijzigingen tussen jaren voor Glanskop. Zie §3.1 voor een verklaring van de intervallen en §3.2 voor uitleg over de symbolen en referentielijnen.



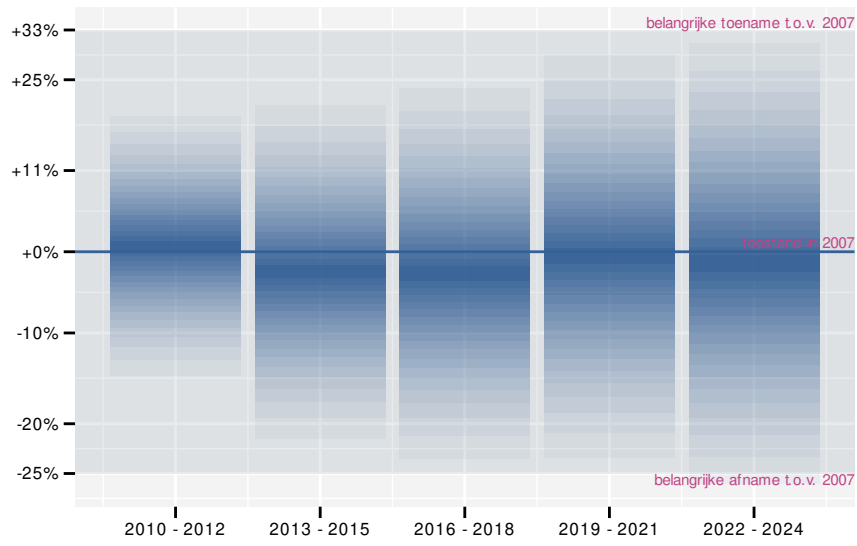
Figuur 38.3: Paarsgewijze vergelijking tussen jaren voor Glanskop. Uitleg van de symbolen in tabel 3.1.

38.2 ANALYSE PER DRIEJAARLIJKSE CYCLUS

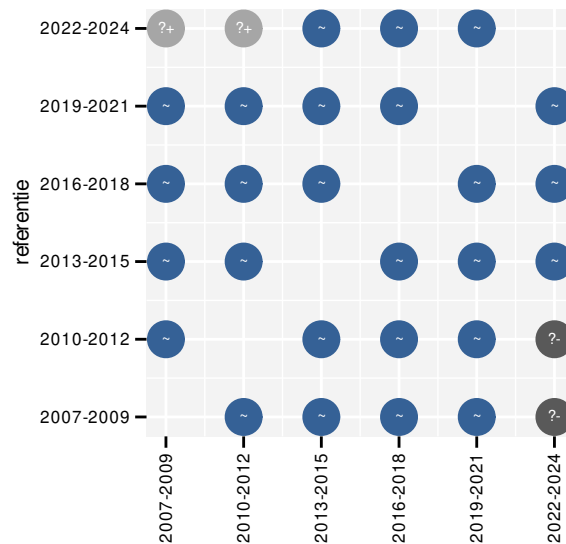
Op basis van driejaarlijkse gegevens zien we gemiddeld een onduidelijk met +1.0% (-2.1%; +4.3%) per jaar of +20% (-30%; +100%) over de volledige looptijd van het meetnet. Deze trend is mogelijk niet-lineair.



Figuur 38.4: Evolutie van het gemodelleerde gemiddeld aantal waargenomen dieren op een meetpunt voor Glanskop tijdens de referentieperiode. Zie §3.1 voor een verklaring van de intervallen.



Figuur 38.5: Wijzigingen per driejarige cyclus voor Glanskop. Zie §3.1 voor een verklaring van de intervallen en §3.2 voor uitleg over de symbolen en referentielijnen.



Figuur 38.6: Paarsgewijze vergelijking tussen driejarige cycli voor Glanskop. Uitleg van de symbolen in tabel 3.1.

38.3 KENMERKEN VAN DE GEGEVENS

Tabel 38.1: Stratumgewicht, raming van het aantal hokken waarin de soort aanwezig is, aantal relevante hokken voor de analyse, aantal onderzochte hokken in het stratum, totaal aantal hokken van het stratum in Vlaanderen, aantal bezoeken aan een meetpunt en het gemiddeld aandeel relevante punten per hok voor Glanskop (zie §2.5).

stratum	gewicht	aanwezig	relevant	onderzocht	totaal	bezoeken	punten
Landbouw	61.9%	87.9	6	431	6311	315	58.3%
Bos	38.1%	45.1	27	191	319	1430	65.4%

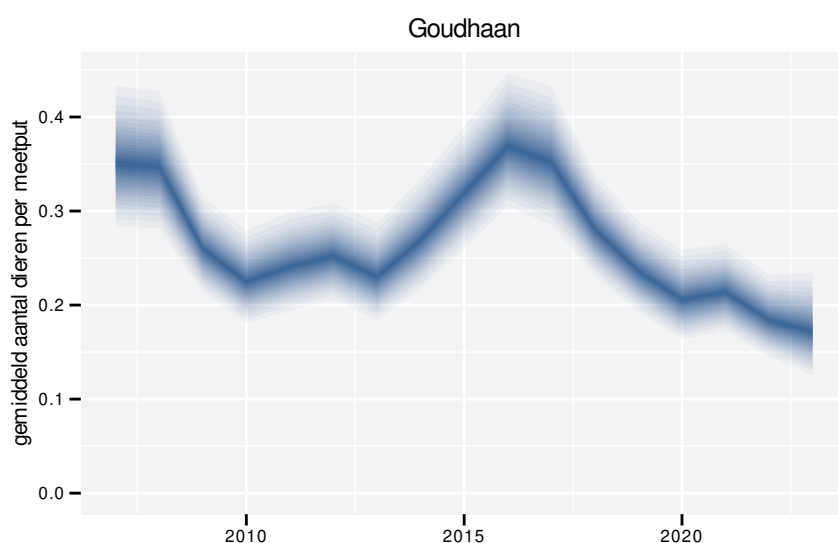
Tabel 38.2: Data-hashes van de analyses in het kader van traceerbaarheid (zie §4.3).

frequentie	model	analyse	status
jaarlijks	niet-lineair	965f88bfd551bec0382 dfbf959a6b45fc0c89cf	4d8491e5fae39ce50c78 401acb906518069b5c3c
jaarlijks	lineair	c11a480bd0cc0fc2c62a 8e12c51405b9fac49a9f	05cdc2e92b1a3d1cd616 e73a3603177917fcc9b2
driejaarlijks	niet-lineair	7ffb9bc7d0132662548 1ea6b90fd383f41c5e5d	0eae56c2104d2851f65f 58cb7dafd0c352c0877f
driejaarlijks	lineair	c5b38c976550b8e929a9 a5fb9067901650051a2c	1caa4eaf0e47b0d78008 4b00de06182fc487e923

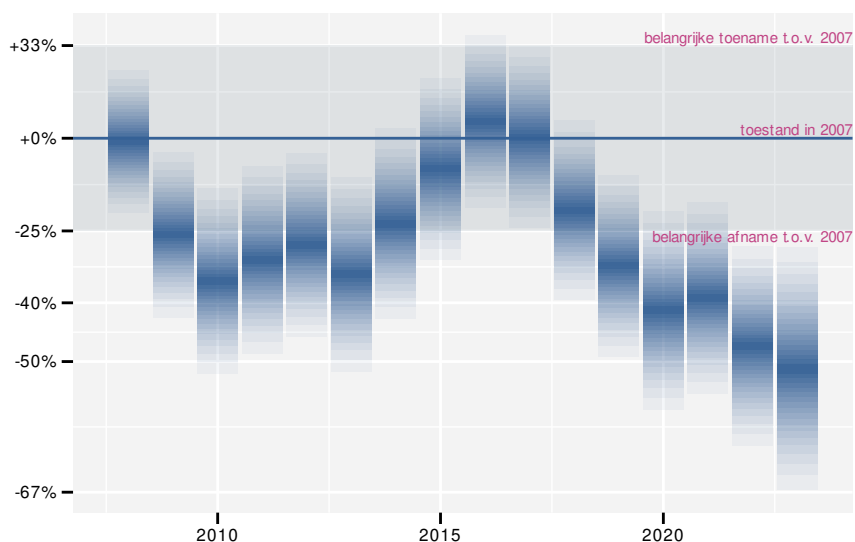
39 GOUDHAAN

39.1 ANALYSE PER JAAR

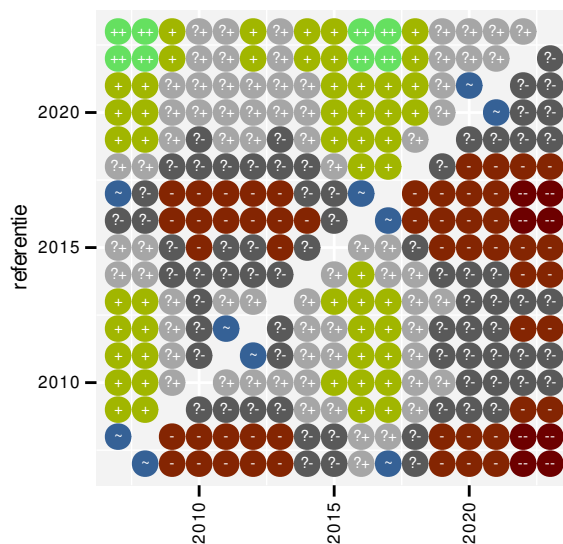
Op basis van jaarlijkse gegevens zien we gemiddeld een afname met -2.8% (-4.3%; -1.2%) per jaar of -36% (-51%; -18%) over de volledige looptijd van het meetnet. Deze trend is niet-lineair.



Figuur 39.1: Evoluitie van het gemodelleerde gemiddeld aantal waargenomen dieren op een meetpunt voor Goudhaan tijdens de referentieperiode. Zie §3.1 voor een verklaring van de intervallen.



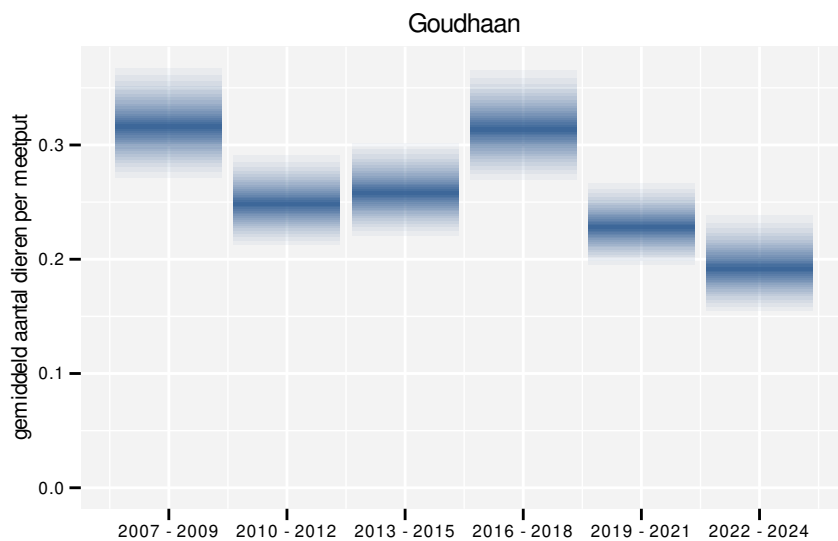
Figuur 39.2: Wijzigingen tussen jaren voor Goudhaan. Zie §3.1 voor een verklaring van de intervallen en §3.2 voor uitleg over de symbolen en referentielijnen.



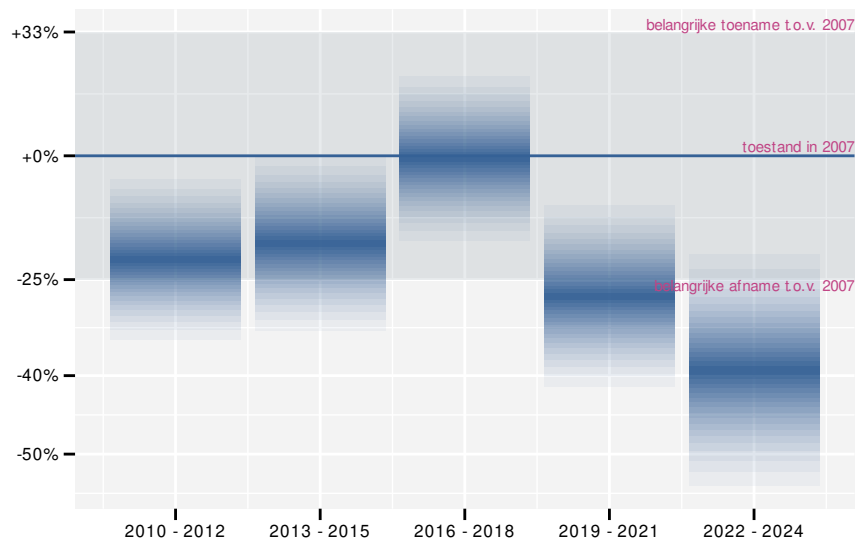
Figuur 39.3: Paarsgewijze vergelijking tussen jaren voor Goudhaan. Uitleg van de symbolen in tabel 3.1.

39.2 ANALYSE PER DRIEJAARLIJKSE CYCLUS

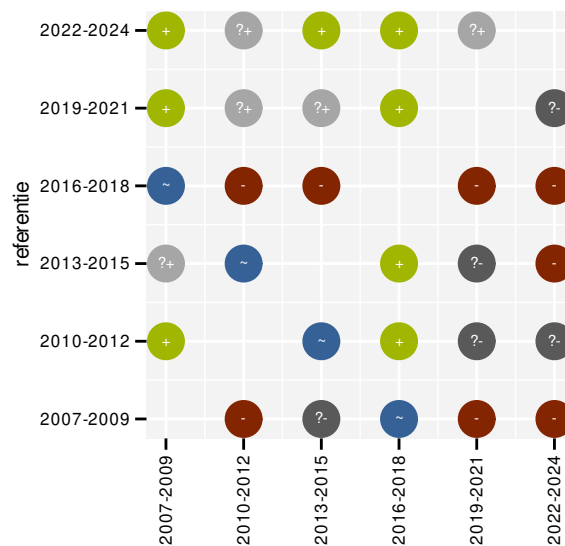
Op basis van driejaarlijkse gegevens zien we gemiddeld een afname met -2.9% (-4.4%; -1.3%) per jaar of -37% (-51%; -19%) over de volledige looptijd van het meetnet. Deze trend is niet-lineair.



Figuur 39.4: Evolutie van het gemodelleerde gemiddeld aantal waargenomen dieren op een meetpunt voor Goudhaan tijdens de referentieperiode. Zie §3.1 voor een verklaring van de intervallen.



Figuur 39.5: Wijzigingen per driejarige cyclus voor Goudhaan. Zie §3.1 voor een verklaring van de intervallen en §3.2 voor uitleg over de symbolen en referentielijnen.



Figuur 39.6: Paarsgewijze vergelijking tussen driejarige cycli voor Goudhaan. Uitleg van de symbolen in tabel 3.1.

39.3 KENMERKEN VAN DE GEGEVENS

Tabel 39.1: Stratumgewicht, raming van het aantal hokken waarin de soort aanwezig is, aantal relevante hokken voor de analyse, aantal onderzochte hokken in het stratum, totaal aantal hokken van het stratum in Vlaanderen, aantal bezoeken aan een meetpunt en het gemiddeld aandeel relevante punten per hok voor Goudhaan (zie §2.5).

stratum	gewicht	aanwezig	relevant	onderzocht	totaal	bezoeken	punten
Landbouw	58.8%	541.8	37	431	6311	1137	34.2%
Bos	17.6%	162.0	97	191	319	5397	71.6%
Urbaan	9.3%	86.1	18	87	416	869	50.0%
Heide en duin	6.9%	63.5	30	94	199	1345	50.0%
Suburbaan	4.8%	44.3	15	68	201	749	65.6%
Moeras en water	2.6%	24.0	14	80	137	469	46.4%

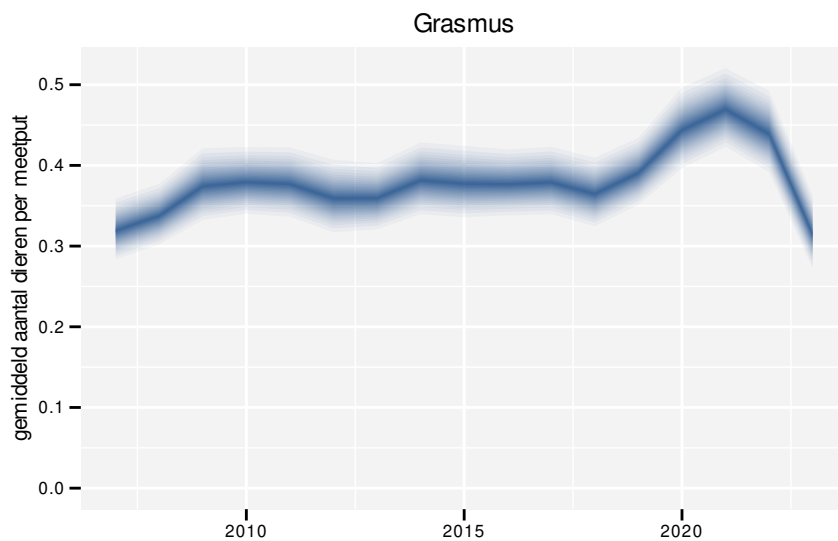
Tabel 39.2: Data-hashes van de analyses in het kader van traceerbaarheid (zie §4.3).

frequentie	model	analyse	status
jaarlijks	niet-lineair	991fdf3e59e81f9c9d63 4e7dabcdabb78a7d7f6d	2a7652b5cb8f1eb29e56 8bf279f21221618695e7
jaarlijks	lineair	ef8f080301d39f60ce5f 3303a6f79fed411423fa	53aaf65012696b0b84ee 2abab0493c004f9a7a21
driejaarlijks	niet-lineair	c95739f0f351d9979093 a0d9686985b4898b4a44	16ac10f09dd230de1b31 fe48e038d4c17be9cd6b
driejaarlijks	lineair	0e21dea54f9050ff6dde c278c6156f6f7fa4620	09a89d9a5187b4349092 cc849cf0659c323d8efe

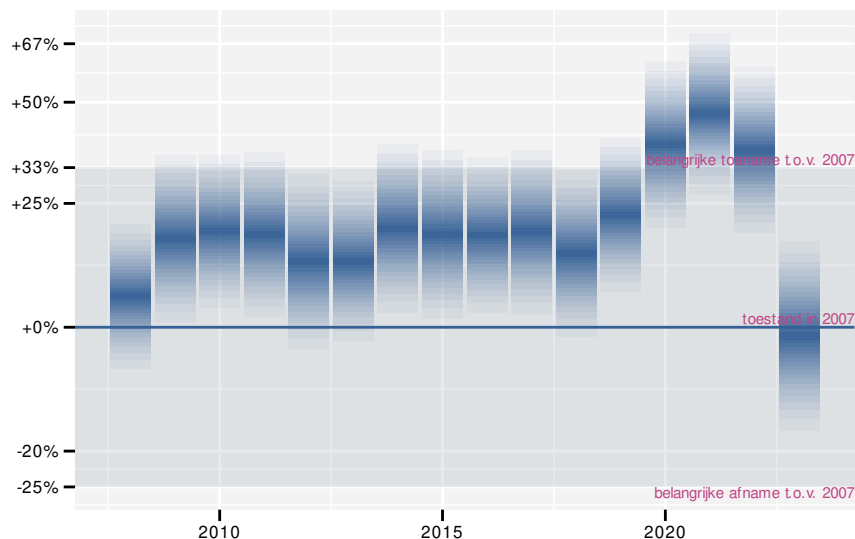
40 GRASMUS

40.1 ANALYSE PER JAAR

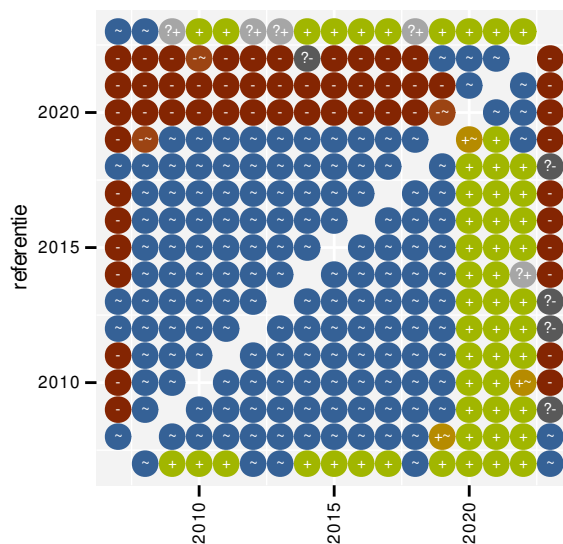
Op basis van jaarlijkse gegevens zien we gemiddeld een toename met +1.22% (+0.58%; +1.86%) per jaar of +21% (+10%; +34%) over de volledige looptijd van het meetnet. Deze trend is niet-lineair.



Figuur 40.1: Evolutie van het gemodelleerde gemiddeld aantal waargenomen dieren op een meetpunt voor Grasmus tijdens de referentieperiode. Zie §3.1 voor een verklaring van de intervallen.



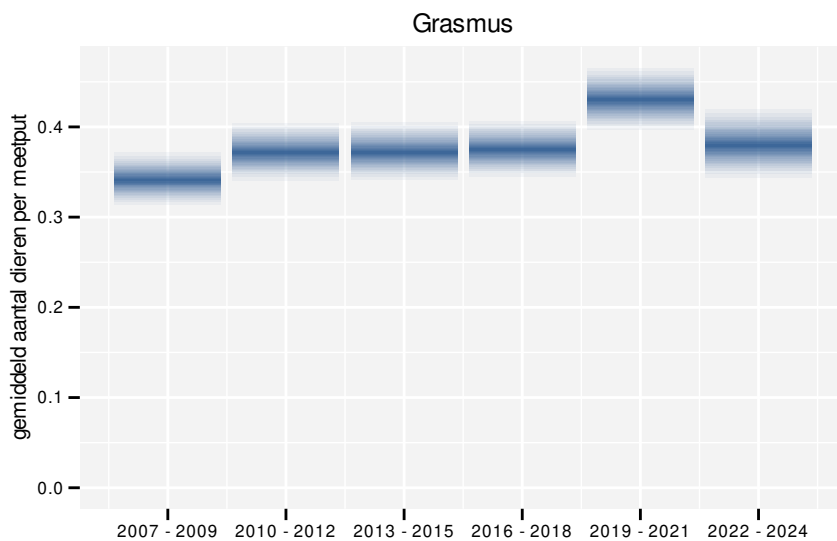
Figuur 40.2: Wijzigingen tussen jaren voor Grasmus. Zie §3.1 voor een verklaring van de intervallen en §3.2 voor uitleg over de symbolen en referentielijnen.



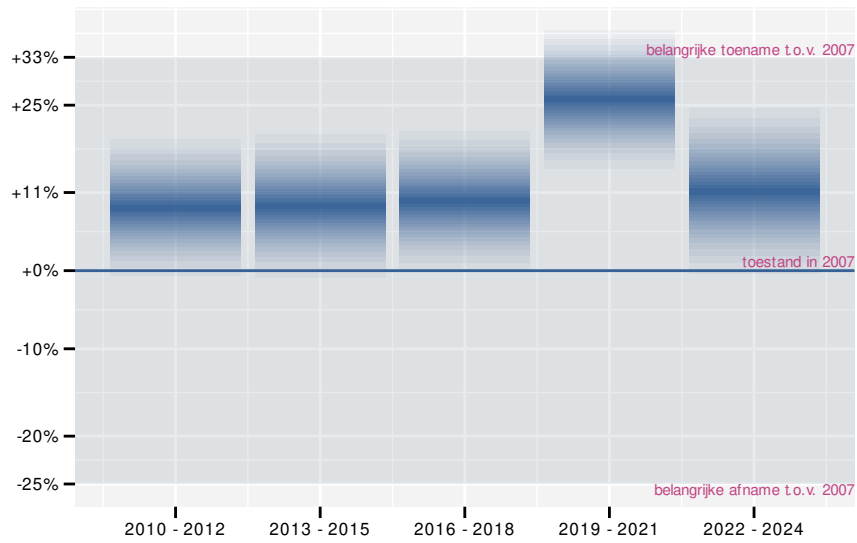
Figuur 40.3: Paarsgewijze vergelijking tussen jaren voor Grasmus. Uitleg van de symbolen in tabel 3.1.

40.2 ANALYSE PER DRIEJAARLIJKSE CYCLUS

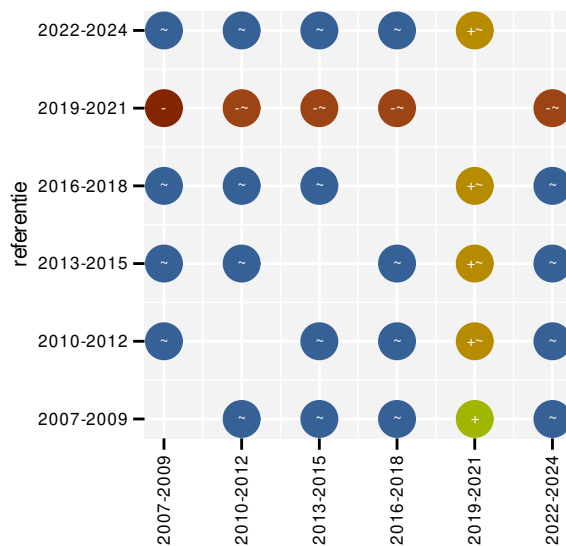
Op basis van driejaarlijkse gegevens zien we gemiddeld een toename met +1.19% (+0.55%; +1.82%) per jaar of +21% (+9%; +34%) over de volledige looptijd van het meetnet. Deze trend is niet-lineair.



Figuur 40.4: Evolutie van het gemodelleerde gemiddeld aantal waargenomen dieren op een meetpunt voor Grasmus tijdens de referentieperiode. Zie §3.1 voor een verklaring van de intervallen.



Figuur 40.5: Wijzigingen per driejarige cyclus voor Grasmus. Zie §3.1 voor een verklaring van de intervallen en §3.2 voor uitleg over de symbolen en referentielijnen.



Figuur 40.6: Paarsgewijze vergelijking tussen driejarige cycli voor Grasmus. Uitleg van de symbolen in tabel 3.1.

40.3 KENMERKEN VAN DE GEGEVENS

Tabel 40.1: Stratumgewicht, raming van het aantal hokken waarin de soort aanwezig is, aantal relevante hokken voor de analyse, aantal onderzochte hokken in het stratum, totaal aantal hokken van het stratum in Vlaanderen, aantal bezoeken aan een meetpunt en het gemiddeld aandeel relevante punten per hok voor Grasmus (zie §2.5).

stratum	gewicht	aanwezig	relevant	onderzocht	totaal	bezoeken	punten
Landbouw	93.0%	3367.8	230	431	6311	7982	67.0%
Heide en duin	2.1%	76.2	36	94	199	1097	69.0%
Moeras en water	1.8%	66.8	39	80	137	1453	73.9%
Suburbaan	1.3%	47.3	16	68	201	453	58.3%
Urbaan	0.9%	38.3	8	87	416	121	31.2%
Bos	0.8%	30.1	18	191	319	518	56.5%

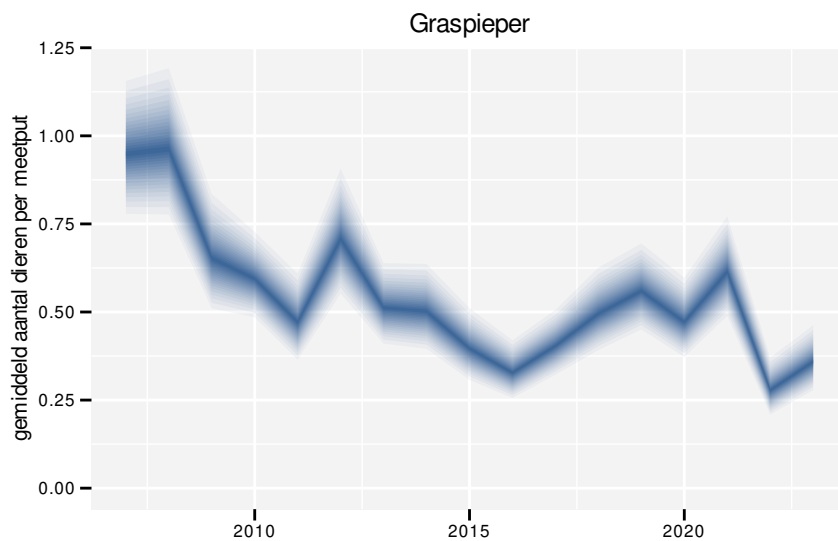
Tabel 40.2: Data-hashes van de analyses in het kader van traceerbaarheid (zie §4.3).

frequentie	model	analyse	status
jaarlijks	niet-lineair	e8da11d87c97fb1d0a2a 13bfd37fe8f032b7b35b	888f9aab98d1fea5f377 98d5e534a43dc3f25dcd
jaarlijks	lineair	76d281f71882b669130a 32fcf9469f555f8a655b	4433d07c8e217166f012 e154d1575e129a99a868
driejaarlijks	niet-lineair	4dd7bf489369c0eb45f8 68fd47674e0adcee6a5e	b1e93504c868d632894e 41b13b3e57efca08ee9b
driejaarlijks	lineair	dde1b03bdb515fa5265f e148b747eea81a61ab79	2aa331b6560869e32269 8a489ad458304938ac72

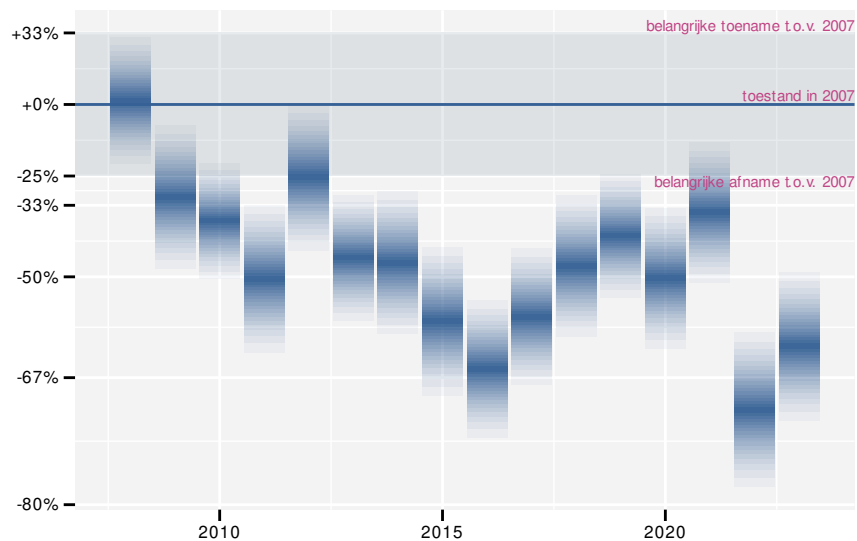
41 GRASPIEPER

41.1 ANALYSE PER JAAR

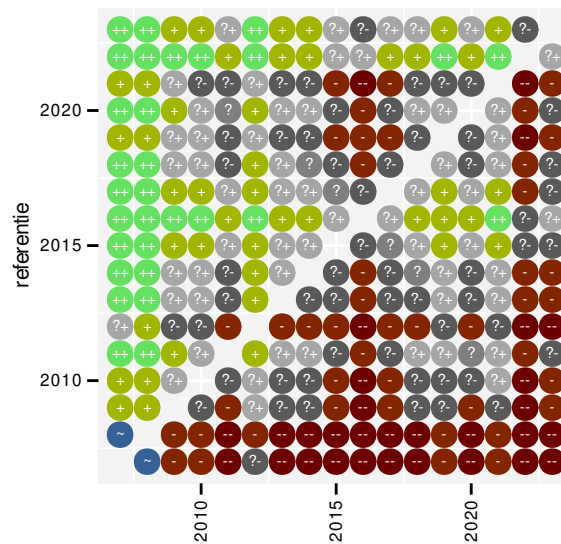
Op basis van jaarlijkse gegevens zien we gemiddeld een sterke afname met -4.9% (-6.0%; -3.8%) per jaar of -55% (-63%; -46%) over de volledige looptijd van het meetnet. Deze trend is niet-lineair.



Figuur 41.1: Evolutie van het gemodelleerde gemiddeld aantal waargenomen dieren op een meetpunt voor Graspieper tijdens de referentieperiode. Zie §3.1 voor een verklaring van de intervallen.



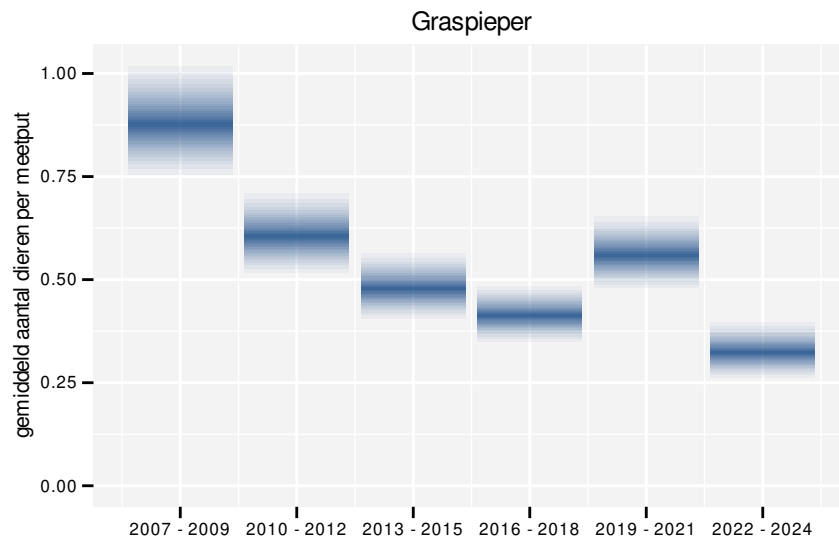
Figuur 41.2: Wijzigingen tussen jaren voor Graspieper. Zie §3.1 voor een verklaring van de intervallen en §3.2 voor uitleg over de symbolen en referentielijnen.



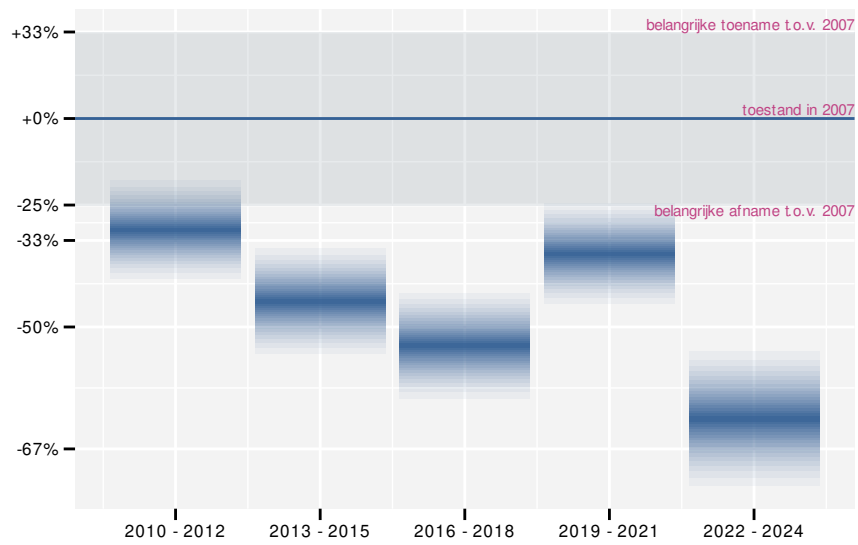
Figuur 41.3: Paarsgewijze vergelijking tussen jaren voor Graspieper. Uitleg van de symbolen in tabel 3.1.

41.2 ANALYSE PER DRIEJAARLIJKSE CYCLUS

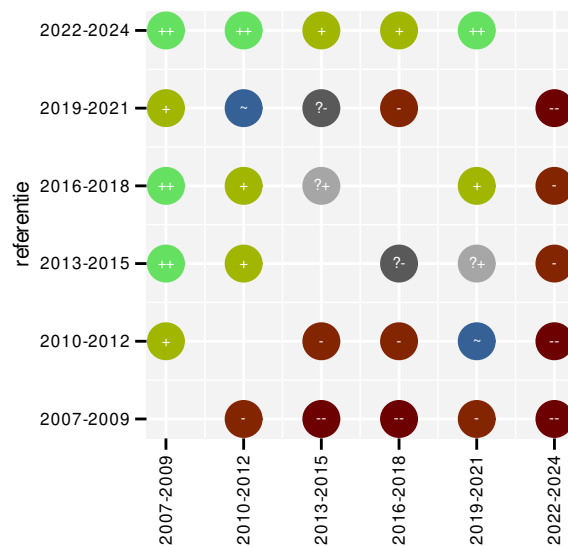
Op basis van driejaarlijkse gegevens zien we gemiddeld een sterke afname met -5.1% (-6.2%; -4.0%) per jaar of -57% (-64%; -48%) over de volledige looptijd van het meetnet. Deze trend is niet-lineair.



Figuur 41.4: Evolutie van het gemodelleerde gemiddeld aantal waargenomen dieren op een meetpunt voor Graspieper tijdens de referentieperiode. Zie §3.1 voor een verklaring van de intervallen.



Figuur 41.5: Wijzigingen per driejarige cyclus voor Graspieper. Zie §3.1 voor een verklaring van de intervallen en §3.2 voor uitleg over de symbolen en referentielijnen.



Figuur 41.6: Paarsgewijze vergelijking tussen driejarige cycli voor Graspieper. Uitleg van de symbolen in tabel 3.1.

41.3 KENMERKEN VAN DE GEGEVENS

Tabel 41.1: Stratumgewicht, raming van het aantal hokken waarin de soort aanwezig is, aantal relevante hokken voor de analyse, aantal onderzochte hokken in het stratum, totaal aantal hokken van het stratum in Vlaanderen, aantal bezoeken aan een meetpunt en het gemiddeld aandeel relevante punten per hok voor Graspieper (zie §2.5).

stratum	gewicht	aanwezig	relevant	onderzocht	totaal	bezoeken	punten
Landbouw	93.8%	1757.1	120	431	6311	5692	58.5%
Heide en duin	4.6%	86.8	41	94	199	1672	58.5%
Suburbaan	0.8%	17.7	6	68	201	108	52.8%
Moeras en water	0.7%	13.7	8	80	137	303	47.9%

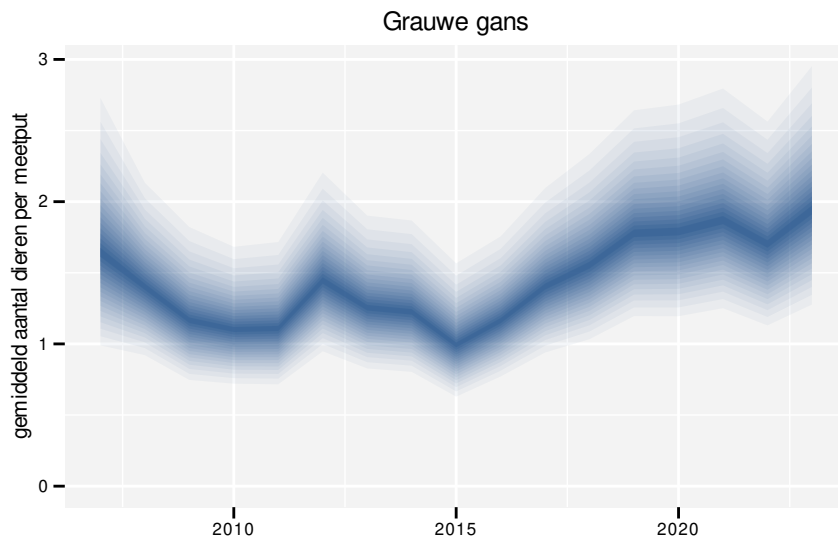
Tabel 41.2: Data-hashes van de analyses in het kader van traceerbaarheid (zie §4.3).

frequentie	model	analyse	status
jaarlijks	niet-lineair	54fc3567dfd4ca40b670	58e0ca10403d3e58bb48
		77dc1ebb539b01265180	4a7b69ff00e9a91a9229
jaarlijks	lineair	bf3192d4367f1043d6a5	60bd0c629b65b6129493
		5cd2b97b2b856b5014b0	d4773a85bde5f2a74c33
driejaarlijks	niet-lineair	8e73e3916cd33249b7cc	e9719cf3bd1cf0043193
		bbdd5de4ef309930d80c	67b93de95779bc28cd45
driejaarlijks	lineair	062854d7ba0b4411e1d4	7581b2b9c2793fc40f86
		72c2fd4d00ea44d9d6cc	bab592e756c143059058

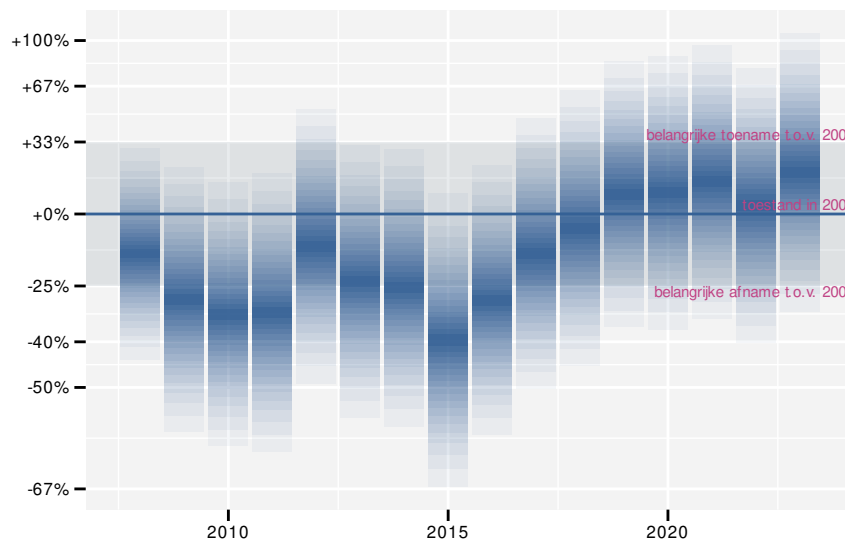
42 GRAUWE GANS

42.1 ANALYSE PER JAAR

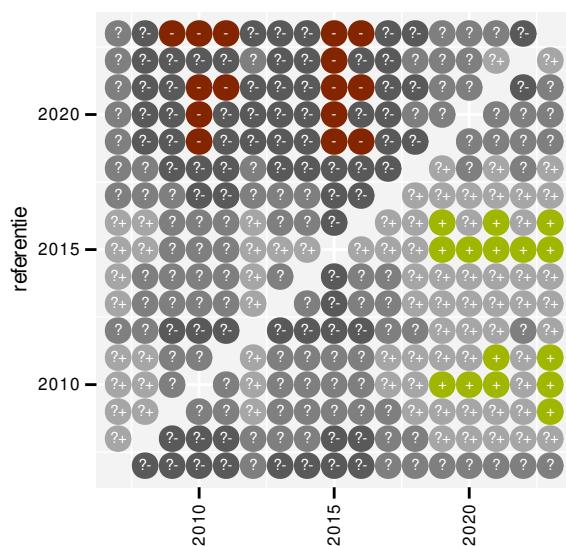
Op basis van jaarlijkse gegevens zien we gemiddeld een toename met +2.8% (+0.4%; +5.3%) per jaar of +56% (+7%; +127%) over de volledige looptijd van het meetnet. Deze trend is mogelijk niet-lineair.



Figuur 42.1: Evolutie van het gemodelleerde gemiddeld aantal waargenomen dieren op een meetpunt voor Grauwe gans tijdens de referentieperiode. Zie §3.1 voor een verklaring van de intervallen.



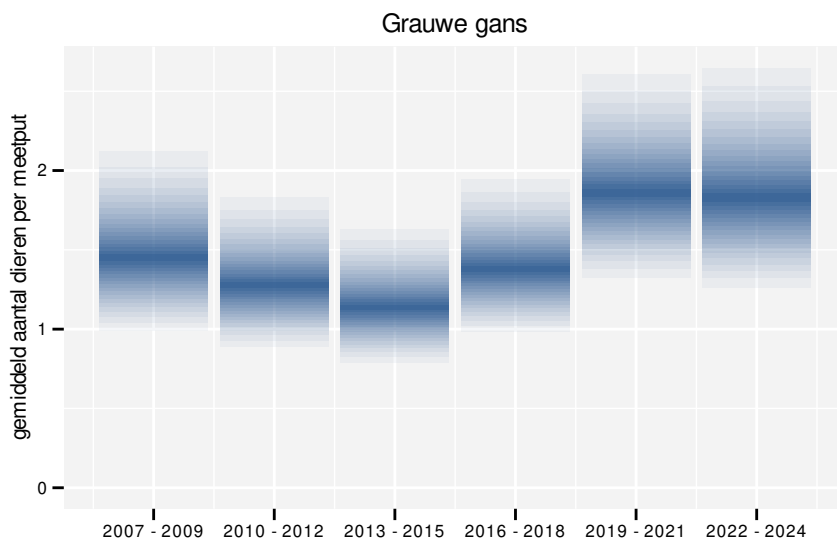
Figuur 42.2: Wijzigingen tussen jaren voor Grauwe gans. Zie §3.1 voor een verklaring van de intervallen en §3.2 voor uitleg over de symbolen en referentielijnen.



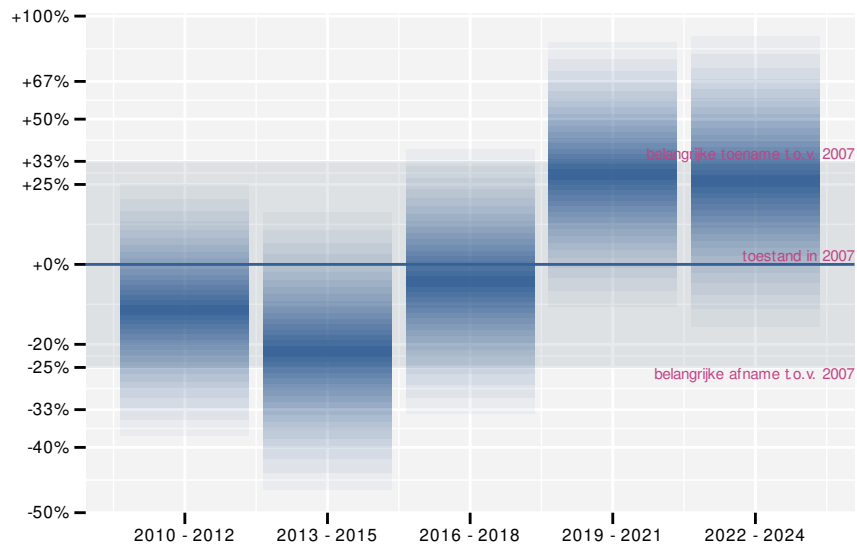
Figuur 42.3: Paarsgewijze vergelijking tussen jaren voor Grauwe gans. Uitleg van de symbolen in tabel 3.1.

42.2 ANALYSE PER DRIEJAARLIJKSE CYCLUS

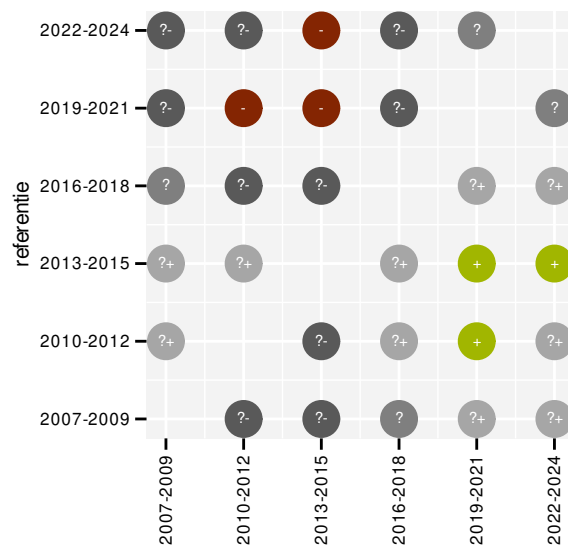
Op basis van driejaarlijkse gegevens zien we gemiddeld een toename met +2.7% (+0.3%; +5.1%) per jaar of +52% (+5%; +122%) over de volledige looptijd van het meetnet. Deze trend is niet-lineair.



Figuur 42.4: Evolutie van het gemodelleerde gemiddeld aantal waargenomen dieren op een meetpunt voor Grauwe gans tijdens de referentieperiode. Zie §3.1 voor een verklaring van de intervallen.



Figuur 42.5: Wijzigingen per driejarige cyclus voor Grauwe gans. Zie §3.1 voor een verklaring van de intervallen en §3.2 voor uitleg over de symbolen en referentielijnen.



Figuur 42.6: Paarsgewijze vergelijking tussen driejarige cycli voor Grauwe gans. Uitleg van de symbolen in tabel 3.1.

42.3 KENMERKEN VAN DE GEGEVENS

Tabel 42.1: Stratumgewicht, raming van het aantal hokken waarin de soort aanwezig is, aantal relevante hokken voor de analyse, aantal onderzochte hokken in het stratum, totaal aantal hokken van het stratum in Vlaanderen, aantal bezoeken aan een meetpunt en het gemiddeld aandeel relevante punten per hok voor Grauwe gans (zie §2.5).

stratum	gewicht	aanwezig	relevant	onderzocht	totaal	bezoeken	punten
Landbouw	85.9%	541.8	37	431	6311	1749	53.2%
Moeras en water	7.1%	44.5	26	80	137	1246	62.2%
Heide en duin	4.4%	27.5	13	94	199	585	53.8%
Bos	2.6%	18.4	11	191	319	407	59.1%

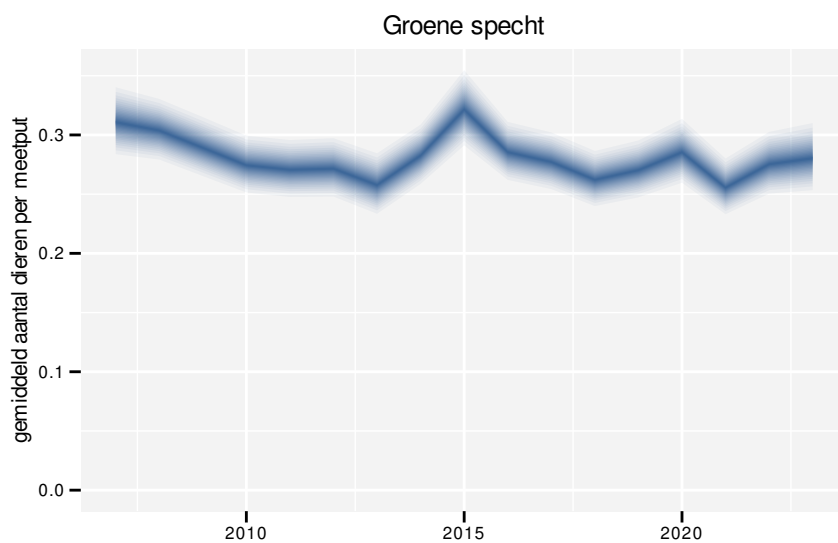
Tabel 42.2: Data-hashes van de analyses in het kader van traceerbaarheid (zie §4.3).

frequentie	model	analyse	status
jaarlijks	niet-lineair	f4937b4cc930a5d07411 1143e6e9ebb6fd3ac4ba	d49266aa75af6e76b2b4 ca4575d49cd1a6fb2913
jaarlijks	lineair	16015aab58128aeb0ef1 7c995f4ca08362e9a25a	7087b596461a5cc548e0 b34c0ecef58d3a8c2bd
driejaarlijks	niet-lineair	21f4f441cdec6810f42e fa617cb6491521b7fa3d	57962b7cef26f050c337 8e186a634395d75a60ed
driejaarlijks	lineair	07abe67565ef00ca6593 9290f57b7f8fed0ef3e9	db909c4d5e17b692dbe1 8375ccba7e4912dc8b30

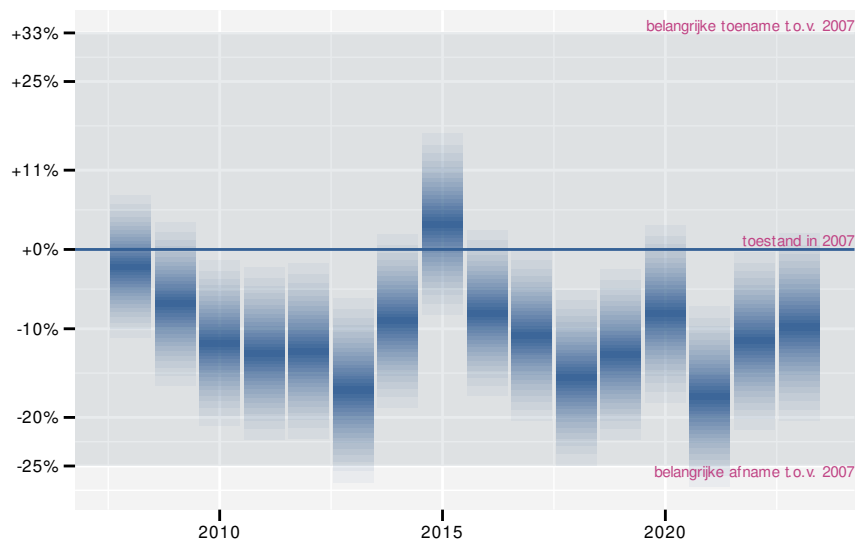
43 GROENE SPECHT

43.1 ANALYSE PER JAAR

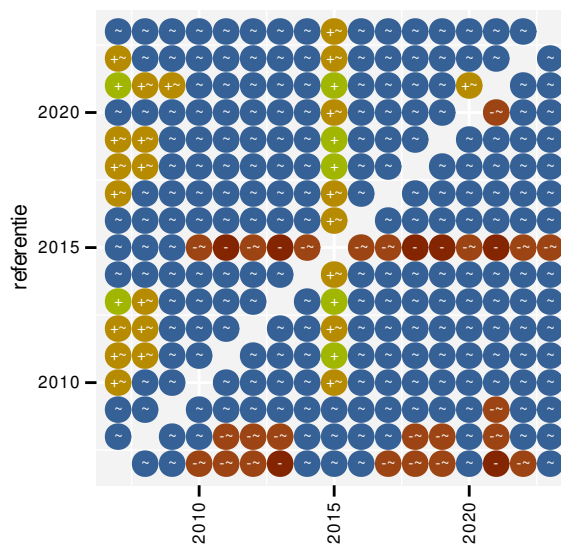
Op basis van jaarlijkse gegevens zien we gemiddeld een matige afname met -0.58% (-1.10% ; -0.05%) per jaar of -8.9% (-16.3% ; -0.8%) over de volledige looptijd van het meetnet. Deze trend is niet-lineair.



Figuur 43.1: Evolutie van het gemodelleerde gemiddeld aantal waargenomen dieren op een meetpunt voor Groene specht tijdens de referentieperiode. Zie §3.1 voor een verklaring van de intervallen.



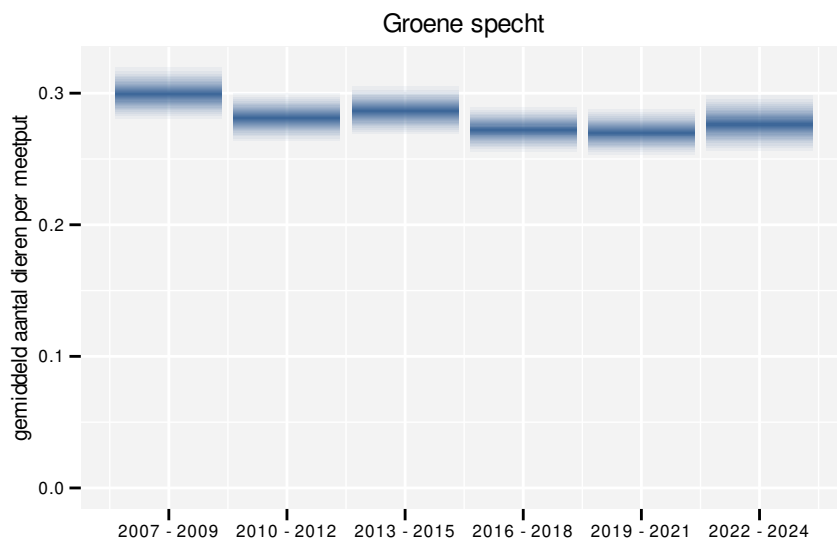
Figuur 43.2: Wijzigingen tussen jaren voor Groene specht. Zie §3.1 voor een verklaring van de intervallen en §3.2 voor uitleg over de symbolen en referentielijnen.



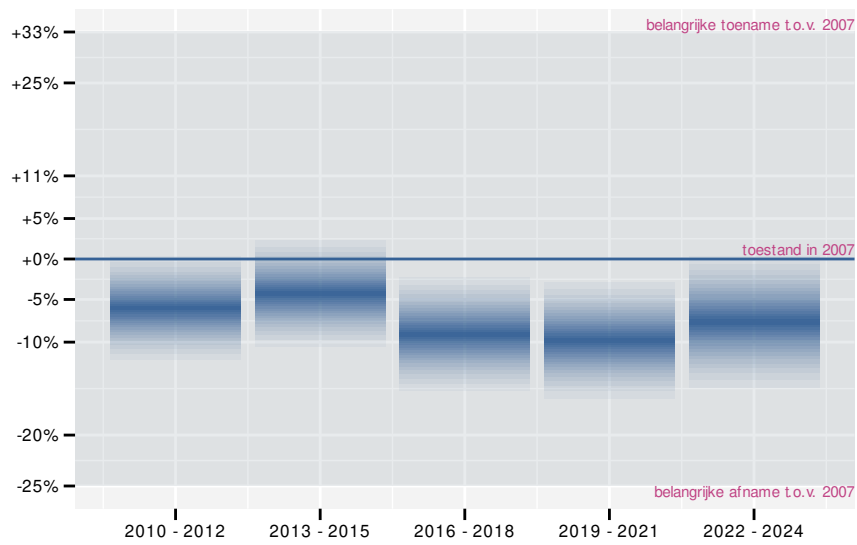
Figuur 43.3: Paarsgewijze vergelijking tussen jaren voor Groene specht. Uitleg van de symbolen in tabel 3.1.

43.2 ANALYSE PER DRIEJAARLIJKSE CYCLUS

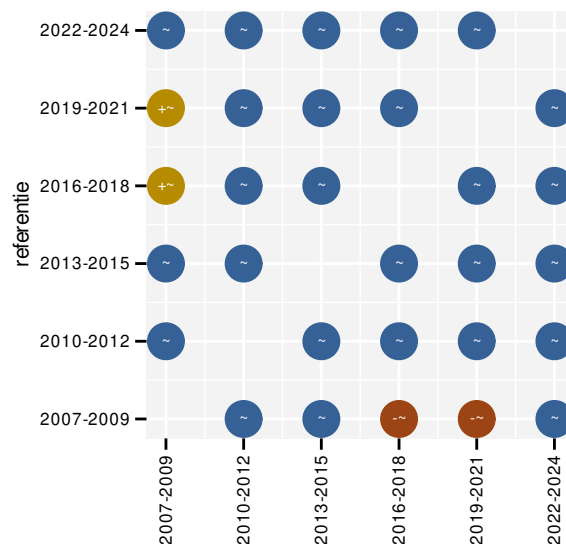
Op basis van driejaarlijkse gegevens zien we gemiddeld een matige afname met -0.62% (-1.15%; -0.10%) per jaar of -9.5% (-16.9%; -1.5%) over de volledige looptijd van het meetnet. Deze trend is niet-lineair.



Figuur 43.4: Evolutie van het gemodelleerde gemiddeld aantal waargenomen dieren op een meetpunt voor Groene specht tijdens de referentieperiode. Zie §3.1 voor een verklaring van de intervallen.



Figuur 43.5: Wijzigingen per driejarige cyclus voor Groene specht. Zie §3.1 voor een verklaring van de intervallen en §3.2 voor uitleg over de symbolen en referentielijnen.



Figuur 43.6: Paarsgewijze vergelijking tussen driejarige cycli voor Groene specht. Uitleg van de symbolen in tabel 3.1.

43.3 KENMERKEN VAN DE GEGEVENS

Tabel 43.1: Stratumgewicht, raming van het aantal hokken waarin de soort aanwezig is, aantal relevante hokken voor de analyse, aantal onderzochte hokken in het stratum, totaal aantal hokken van het stratum in Vlaanderen, aantal bezoeken aan een meetpunt en het gemiddeld aandeel relevante punten per hok voor Groene specht (zie §2.5).

stratum	gewicht	aanwezig	relevant	onderzocht	totaal	bezoeken	punten
Landbouw	86.8%	3748.5	256	431	6311	14988	76.6%
Urbaan	3.7%	157.8	33	87	416	1457	55.6%
Bos	3.3%	143.6	86	191	319	4870	68.4%
Suburbaan	2.3%	100.5	34	68	201	1539	64.2%
Heide en duin	2.2%	95.3	45	94	199	2470	66.7%
Moeras en water	1.7%	71.9	42	80	137	2150	67.5%

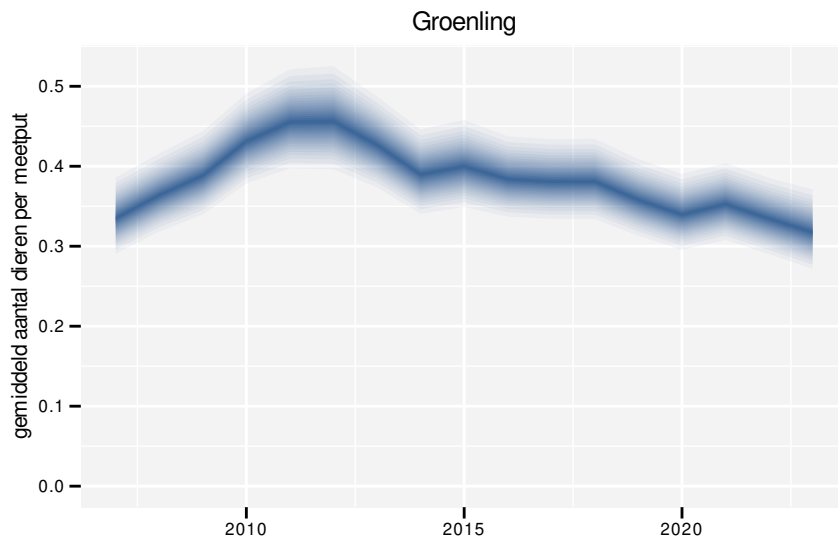
Tabel 43.2: Data-hashes van de analyses in het kader van traceerbaarheid (zie §4.3).

frequentie	model	analyse	status
jaarlijks	niet-lineair	de14295bbf982e71cb01 6c9837ad969232b6addc	b9e9eae9a9b1957dc58 068807ddfb7ac5c08407
jaarlijks	lineair	12332689b0137519d103 2e7b3c1bbdd99a145f05	7361f19a277131a8c4ff 397320705acb004749b9
driejaarlijks	niet-lineair	5851d88b1ec0b1412a28 0c2605e919ab85eae26d	f48260f71b2fc2ebdc86 fc6df67bc5f58583b749
driejaarlijks	lineair	9780e4c83411b9a4d781 de9bdf7a865017012e36	973189cb238ffe3af9ca 882d82eb98de4c729833

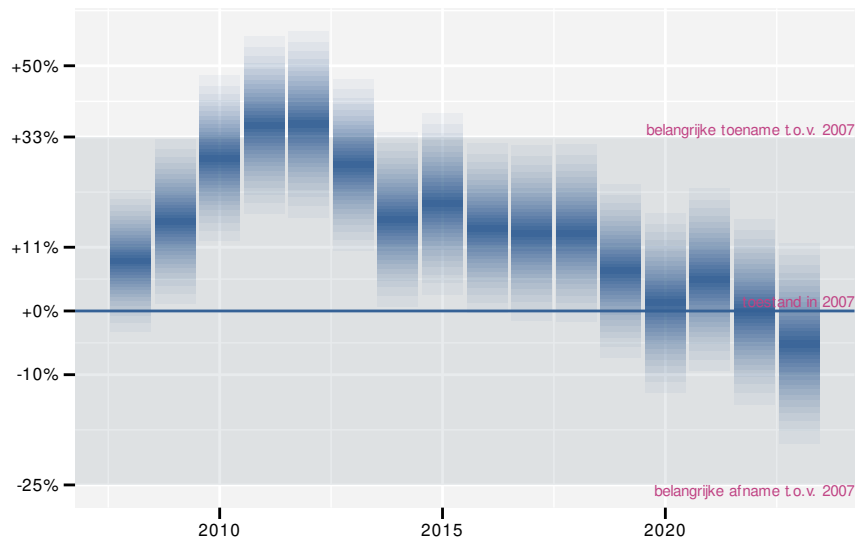
44 GROENLING

44.1 ANALYSE PER JAAR

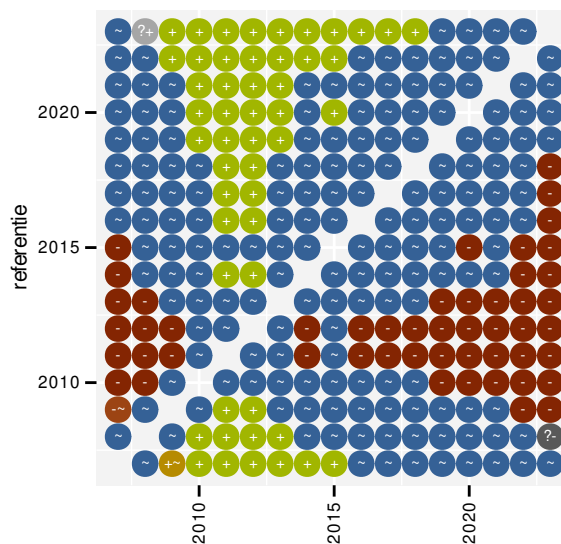
Op basis van jaarlijkse gegevens zien we gemiddeld een matige afname met -0.91% (-1.61%; -0.21%) per jaar of -14% (-23%; -3%) over de volledige looptijd van het meetnet. Deze trend is niet-lineair.



Figuur 44.1: Evolutie van het gemodelleerde gemiddeld aantal waargenomen dieren op een meetpunt voor Groenling tijdens de referentieperiode. Zie §3.1 voor een verklaring van de intervallen.



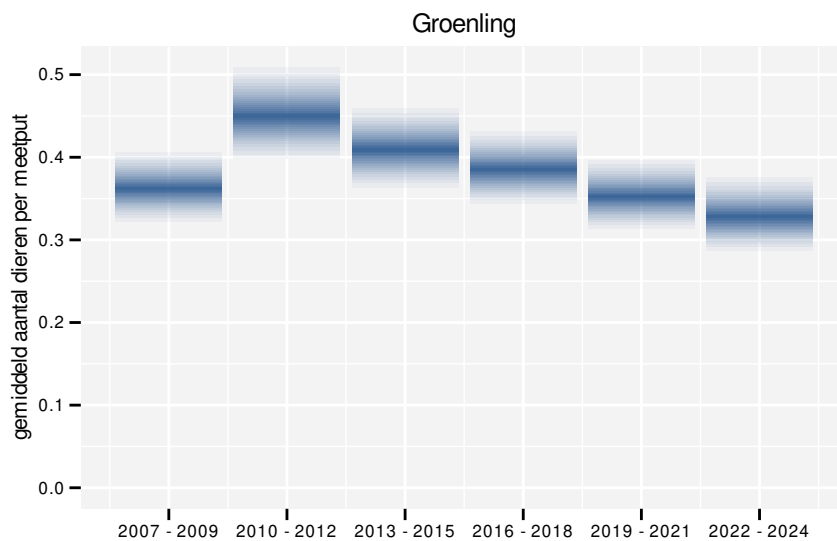
Figuur 44.2: Wijzigingen tussen jaren voor Groenling. Zie §3.1 voor een verklaring van de intervallen en §3.2 voor uitleg over de symbolen en referentielijnen.



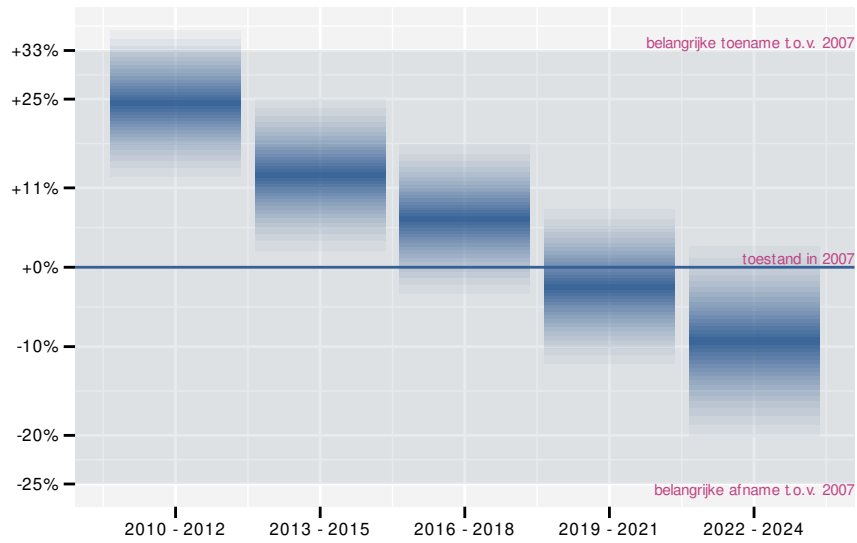
Figuur 44.3: Paarsgewijze vergelijking tussen jaren voor Groenling. Uitleg van de symbolen in tabel 3.1.

44.2 ANALYSE PER DRIEJAARLIJKSE CYCLUS

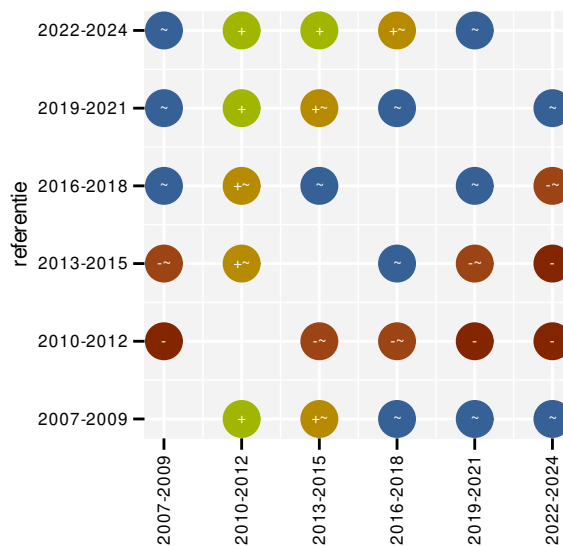
Op basis van driejaarlijkse gegevens zien we gemiddeld een matige afname met -0.99% (-1.68%; -0.28%) per jaar of -15% (-24%; -4%) over de volledige looptijd van het meetnet. Deze trend is niet-lineair.



Figuur 44.4: Evolutie van het gemodelleerde gemiddeld aantal waargenomen dieren op een meetpunt voor Groenling tijdens de referentieperiode. Zie §3.1 voor een verklaring van de intervallen.



Figuur 44.5: Wijzigingen per driejarige cyclus voor Groenling. Zie §3.1 voor een verklaring van de intervallen en §3.2 voor uitleg over de symbolen en referentielijnen.



Figuur 44.6: Paarsgewijze vergelijking tussen driejarige cycli voor Groenling. Uitleg van de symbolen in tabel 3.1.

44.3 KENMERKEN VAN DE GEGEVENS

Tabel 44.1: Stratumgewicht, raming van het aantal hokken waarin de soort aanwezig is, aantal relevante hokken voor de analyse, aantal onderzochte hokken in het stratum, totaal aantal hokken van het stratum in Vlaanderen, aantal bezoeken aan een meetpunt en het gemiddeld aandeel relevante punten per hok voor Groenling (zie §2.5).

stratum	gewicht	aanwezig	relevant	onderzocht	totaal	bezoeken	punten
Landbouw	85.8%	3250.7	222	431	6311	10811	63.7%
Urbaan	7.4%	282.1	59	87	416	3304	76.8%
Suburbaan	2.8%	106.4	36	68	201	2313	81.0%
Bos	1.7%	63.5	38	191	319	1395	44.7%
Moeras en water	1.2%	44.5	26	80	137	1165	57.1%
Heide en duin	1.1%	40.2	19	94	199	747	47.4%

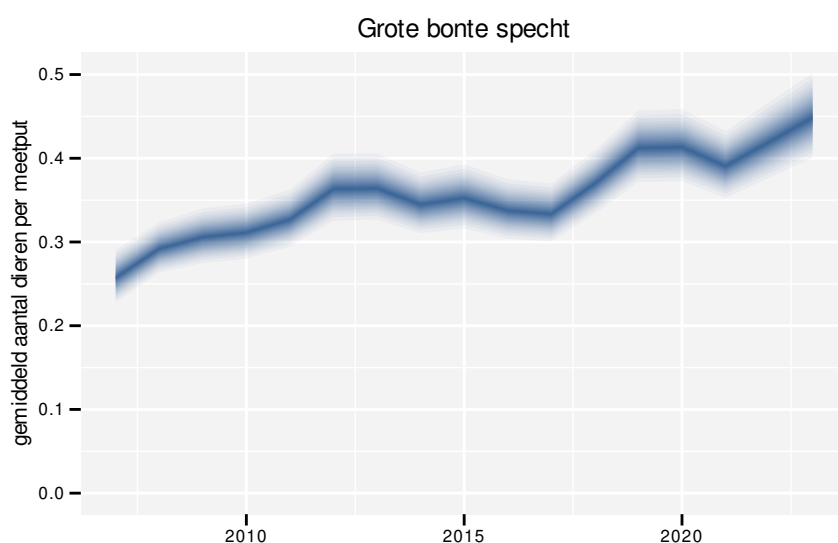
Tabel 44.2: Data-hashes van de analyses in het kader van traceerbaarheid (zie §4.3).

frequentie	model	analyse	status
jaarlijks	niet-lineair	7586012c89aa7aa29e6f719db06b1ed92b748003	3363ca677f9324c712a20f6f7ce2e6f4aad78567
jaarlijks	lineair	e59c51e4820db7be851b57738511abaddad37d7	a0bc132536a6b0e6c878d2a95a1563ce45cf2902
driejaarlijks	niet-lineair	2c765dbb487a0c5f372132fccf5bf477ee6ee8c0	92716c6bd02d34433b6c6f82ed1c80c6eb440434
driejaarlijks	lineair	101ae292210d6919e7202b9789585f3003181bb6	976dfd8fe9c8178462e0556b70e34e6aafa4f4e4

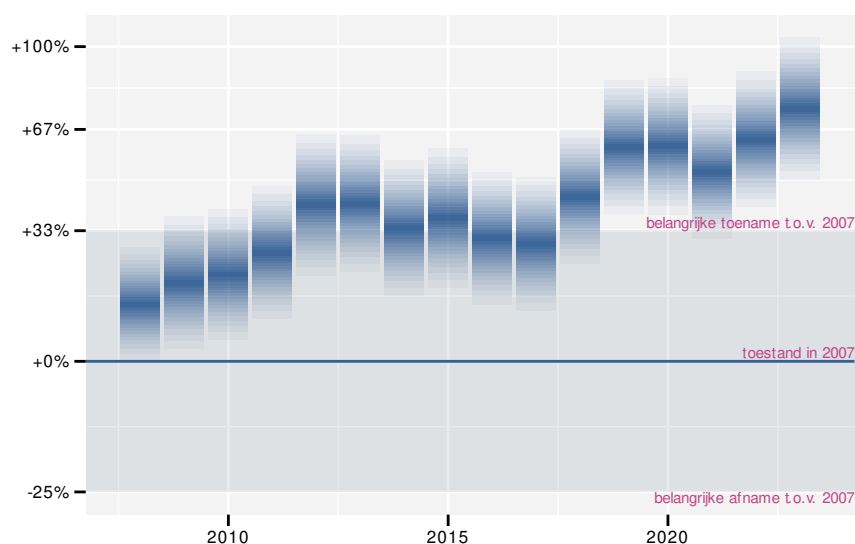
45 GROTE BONTE SPECHT

45.1 ANALYSE PER JAAR

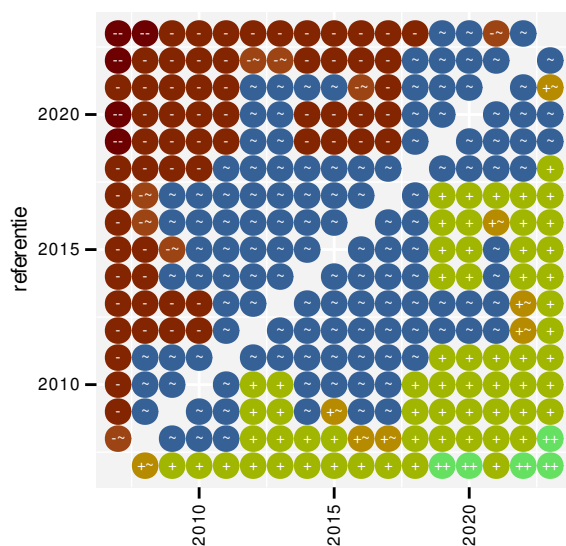
Op basis van jaarlijkse gegevens zien we gemiddeld een sterke toename met +2.8% (+2.1%; +3.4%) per jaar of +55% (+39%; +71%) over de volledige looptijd van het meetnet. Deze trend is niet-lineair.



Figuur 45.1: Evolutie van het gemodelleerde gemiddeld aantal waargenomen dieren op een meetpunt voor Grote bonte specht tijdens de referentieperiode. Zie §3.1 voor een verklaring van de intervallen.



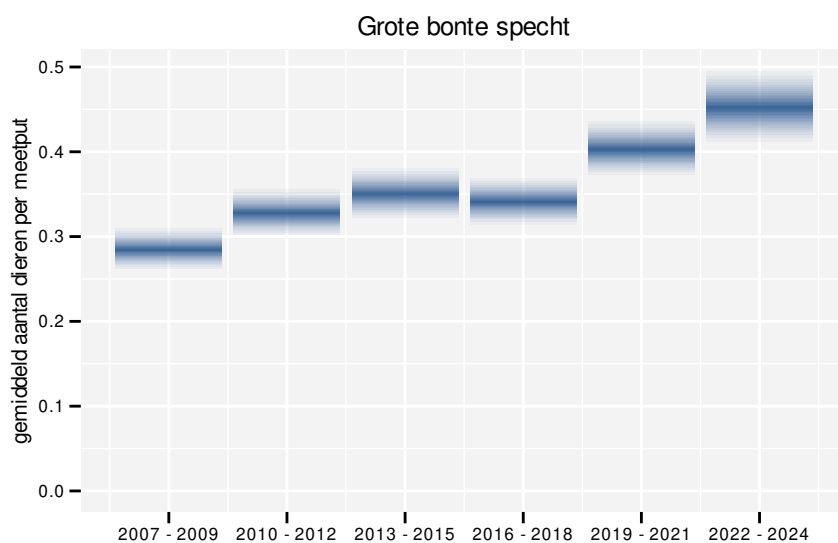
Figuur 45.2: Wijzigingen tussen jaren voor Grote bonte specht. Zie §3.1 voor een verklaring van de intervallen en §3.2 voor uitleg over de symbolen en referentielijnen.



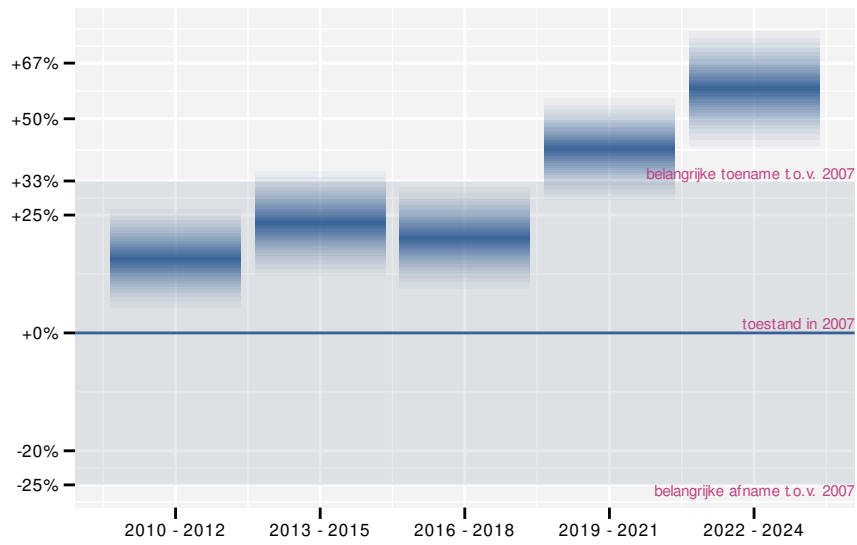
Figuur 45.3: Paarsgewijze vergelijking tussen jaren voor Grote bonte specht. Uitleg van de symbolen in tabel 3.1.

45.2 ANALYSE PER DRIEJAARLIJKSE CYCLUS

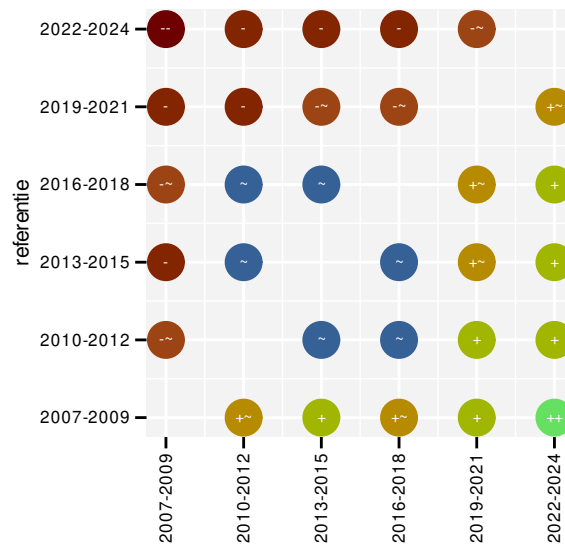
Op basis van driejaarlijkse gegevens zien we gemiddeld een sterke toename met +2.7% (+2.0%; +3.4%) per jaar of +53% (+38%; +70%) over de volledige looptijd van het meetnet. Deze trend is niet-lineair.



Figuur 45.4: Evolutie van het gemodelleerde gemiddeld aantal waargenomen dieren op een meetpunt voor Grote bonte specht tijdens de referentieperiode. Zie §3.1 voor een verklaring van de intervallen.



Figuur 45.5: Wijzigingen per driejarige cyclus voor Grote bonte specht. Zie §3.1 voor een verklaring van de intervallen en §3.2 voor uitleg over de symbolen en referentielijnen.



Figuur 45.6: Paarsgewijze vergelijking tussen driejarige cycli voor Grote bonte specht. Uitleg van de symbolen in tabel 3.1.

45.3 KENMERKEN VAN DE GEGEVENS

Tabel 45.1: Stratumgewicht, raming van het aantal hokken waarin de soort aanwezig is, aantal relevante hokken voor de analyse, aantal onderzochte hokken in het stratum, totaal aantal hokken van het stratum in Vlaanderen, aantal bezoeken aan een meetpunt en het gemiddeld aandeel relevante punten per hok voor Grote bonte specht (zie §2.5).

stratum	gewicht	aanwezig	relevant	onderzocht	totaal	bezoeken	punten
Landbouw	81.2%	3118.9	213	431	6311	10649	64.3%
Bos	6.3%	243.8	146	191	319	9580	92.7%
Urbaan	4.7%	181.7	38	87	416	1793	57.5%
Heide en duin	3.7%	144.0	68	94	199	4184	78.7%
Moeras en water	2.1%	80.5	47	80	137	2647	72.7%
Suburbaan	1.9%	73.9	25	68	201	1331	71.3%

Tabel 45.2: Data-hashes van de analyses in het kader van traceerbaarheid (zie §4.3).

frequentie	model	analyse	status
jaarlijks	niet-lineair	be36cd4a5a0e442c3c33 40847af50b928eef68b9	3b16e69b91bcd2c3ab62 35ae10a1cb2ad0957bfb
jaarlijks	lineair	d6114df91f4560a386ae d240f1a12a3c2afdbeff	3d04020fcd41f9f363aa 2f08629f95f079e6b3ae
driejaarlijks	niet-lineair	34a10292a7aeede12aaf 0ada14f6e0dfb6c87b61	c7bc7a01a30f0c41dd34 88ccf331856528002fdb
driejaarlijks	lineair	9188e5c25e8616a28af0 8c97dd8d5633755a6321	2d45ea3a4464a803f76e cbd2ce77d4fcc78b6fd3

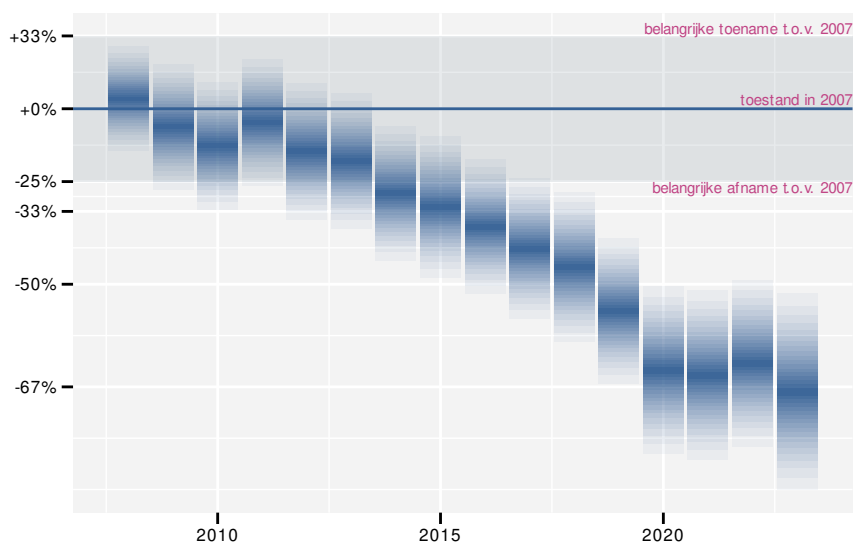
46 GROTE LIJSTER

46.1 ANALYSE PER JAAR

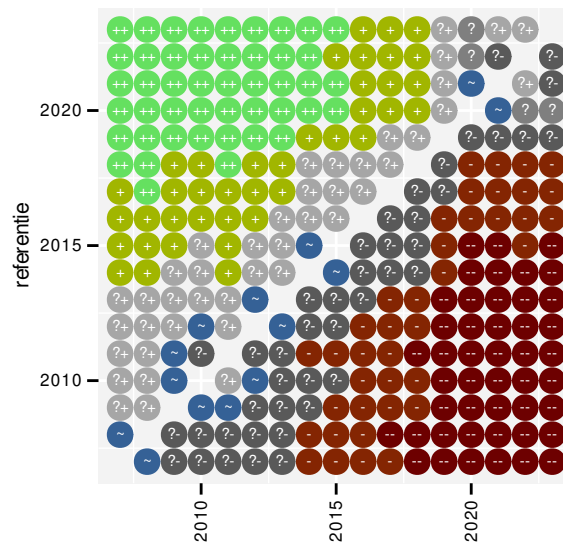
Op basis van jaarlijkse gegevens zien we gemiddeld een sterke afname met -8.2% (-9.8%; -6.6%) per jaar of -75% (-81%; -67%) over de volledige looptijd van het meetnet. Deze trend is niet-lineair.



Figuur 46.1: Evolutie van het gemodelleerde gemiddeld aantal waargenomen dieren op een meetpunt voor Grote lijster tijdens de referentieperiode. Zie §3.1 voor een verklaring van de intervallen.



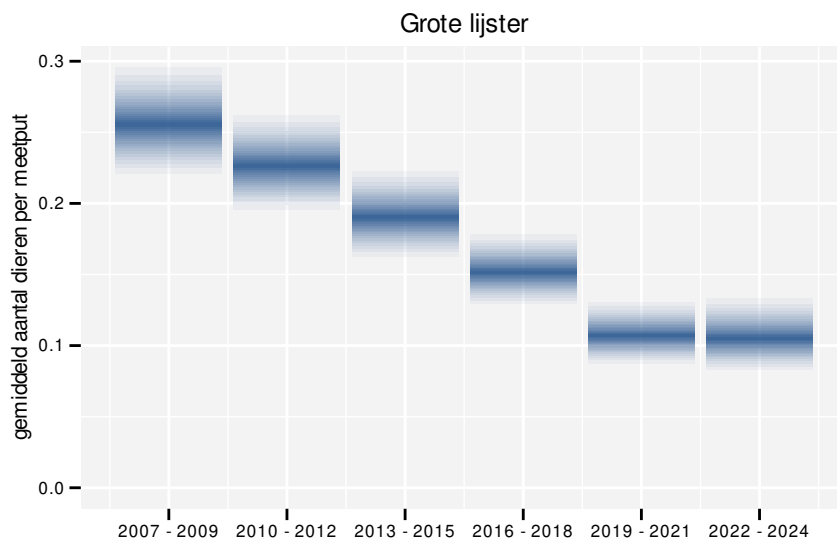
Figuur 46.2: Wijzigingen tussen jaren voor Grote lijster. Zie §3.1 voor een verklaring van de intervallen en §3.2 voor uitleg over de symbolen en referentielijnen.



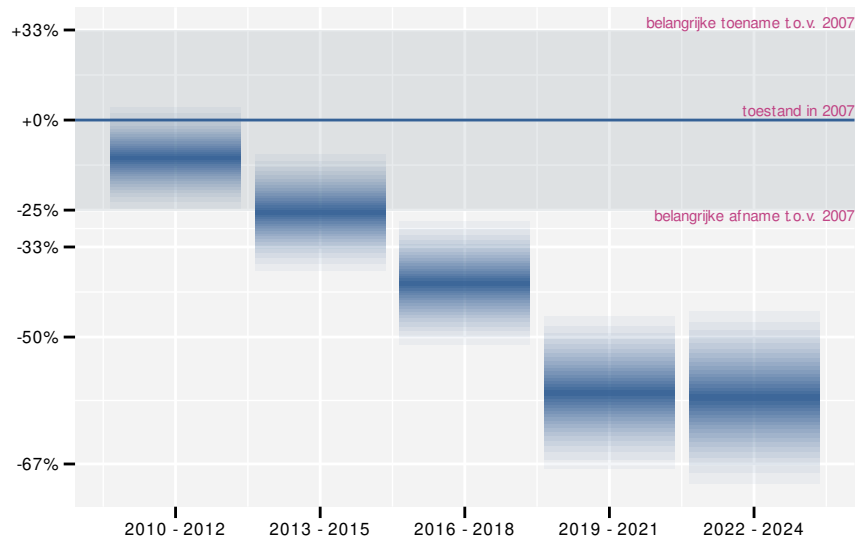
Figuur 46.3: Paarsgewijze vergelijking tussen jaren voor Grote lijster. Uitleg van de symbolen in tabel 3.1.

46.2 ANALYSE PER DRIEJAARLIJKSE CYCLUS

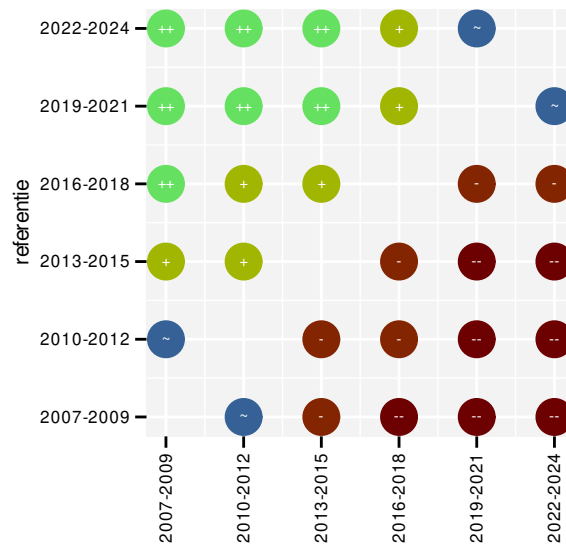
Op basis van driejaarlijkse gegevens zien we gemiddeld een sterke afname met -8.1% (-9.7%; -6.5%) per jaar of -74% (-81%; -66%) over de volledige looptijd van het meetnet. Deze trend is lineair.



Figuur 46.4: Evolutie van het gemodelleerde gemiddeld aantal waargenomen dieren op een meetpunt voor Grote lijster tijdens de referentieperiode. Zie §3.1 voor een verklaring van de intervallen.



Figuur 46.5: Wijzigingen per driejarige cyclus voor Grote lijst. Zie §3.1 voor een verklaring van de intervallen en §3.2 voor uitleg over de symbolen en referentielijnen.



Figuur 46.6: Paarsgewijze vergelijking tussen driejarige cycli voor Grote lijst. Uitleg van de symbolen in tabel 3.1.

46.3 KENMERKEN VAN DE GEGEVENS

Tabel 46.1: Stratumgewicht, raming van het aantal hokken waarin de soort aanwezig is, aantal relevante hokken voor de analyse, aantal onderzochte hokken in het stratum, totaal aantal hokken van het stratum in Vlaanderen, aantal bezoeken aan een meetpunt en het gemiddeld aandeel relevante punten per hok voor Grote lijster (zie §2.5).

stratum	gewicht	aanwezig	relevant	onderzocht	totaal	bezoeken	punten
Landbouw	86.2%	1171.4	80	431	6311	3316	49.6%
Bos	6.8%	91.9	55	191	319	2796	58.2%
Heide en duin	5.5%	74.1	35	94	199	1685	56.2%
Moeras en water	0.9%	12.0	7	80	137	303	50.0%
Suburbaan	0.7%	11.8	4	68	201	55	29.2%

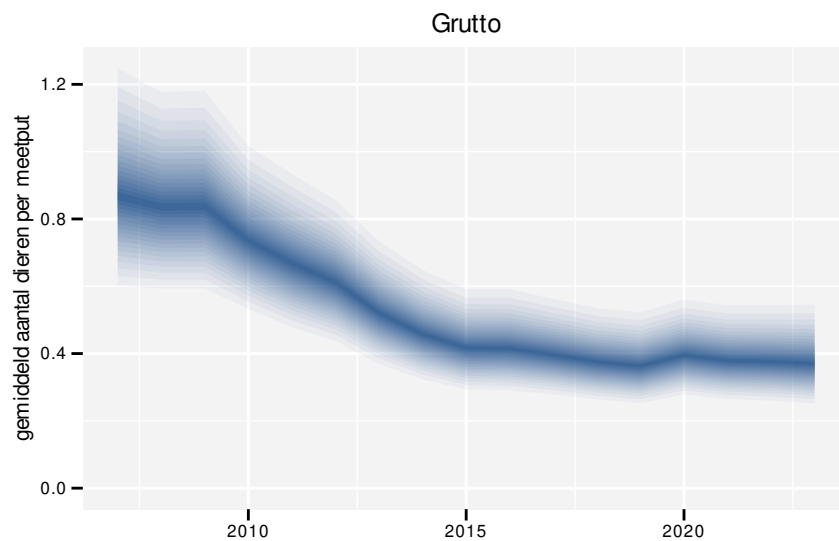
Tabel 46.2: Data-hashes van de analyses in het kader van traceerbaarheid (zie §4.3).

frequentie	model	analyse	status
jaarlijks	niet-lineair	6b8afec69da36905e42d	193d2a1f6de2a3544ea1
		7cdaa982b12790dc01cd	9c7c790da2188575be03
jaarlijks	lineair	b928431c950a59bbcb99	3dca5eb836539b5a1c7e
		a651174576f524bf650d	f2ab9a824e9d6e3bdd47
driejaarlijks	niet-lineair	d32b48c84c281f55910d	18ab0172266339f50060
		246375dd2455a054c970	b0f560086cbaef445e08
driejaarlijks	lineair	656bd38a12cd3be747e0	8d63cd33ed7159cc7071
		5454892f63ef7d363838	7599623c634604de049a

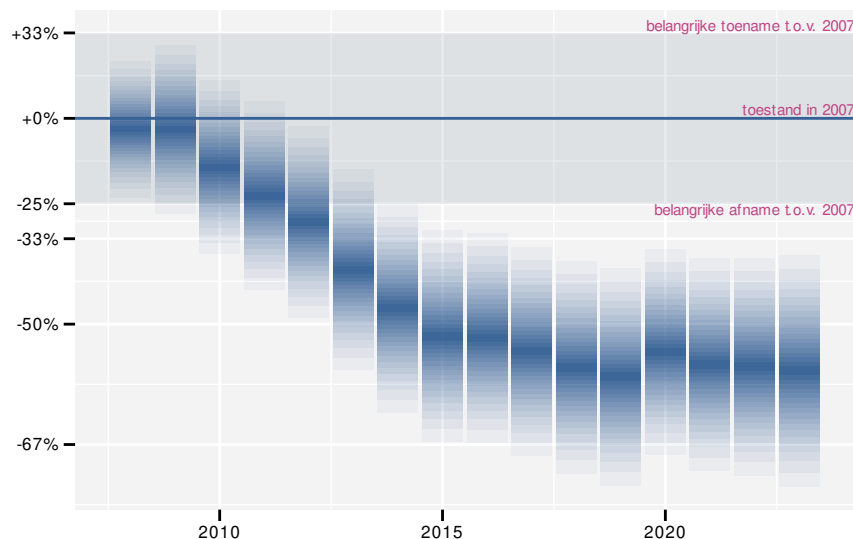
47 GRUTTO

47.1 ANALYSE PER JAAR

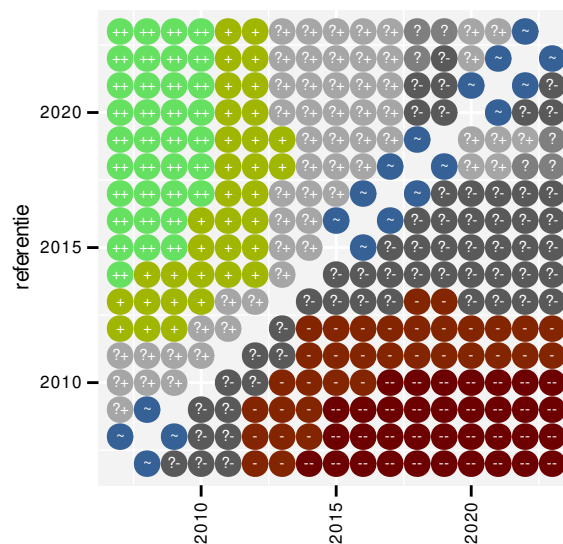
Op basis van jaarlijkse gegevens zien we gemiddeld een sterke afname met -6.8% (-8.6%; -4.9%) per jaar of -67% (-76%; -55%) over de volledige looptijd van het meetnet. Deze trend is niet-lineair.



Figuur 47.1: Evolutie van het gemodelleerde gemiddeld aantal waargenomen dieren op een meetpunt voor Grutto tijdens de referentieperiode. Zie §3.1 voor een verklaring van de intervallen.



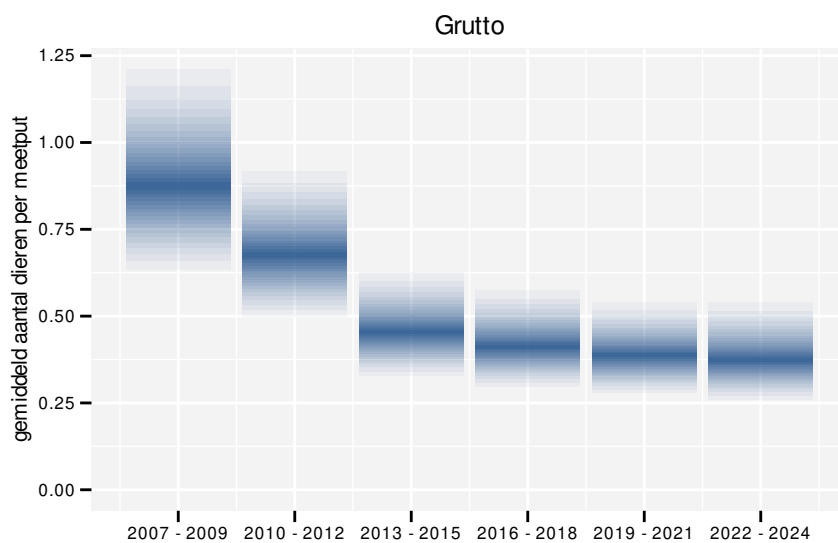
Figuur 47.2: Wijzigingen tussen jaren voor Grutto. Zie §3.1 voor een verklaring van de intervallen en §3.2 voor uitleg over de symbolen en referentielijnen.



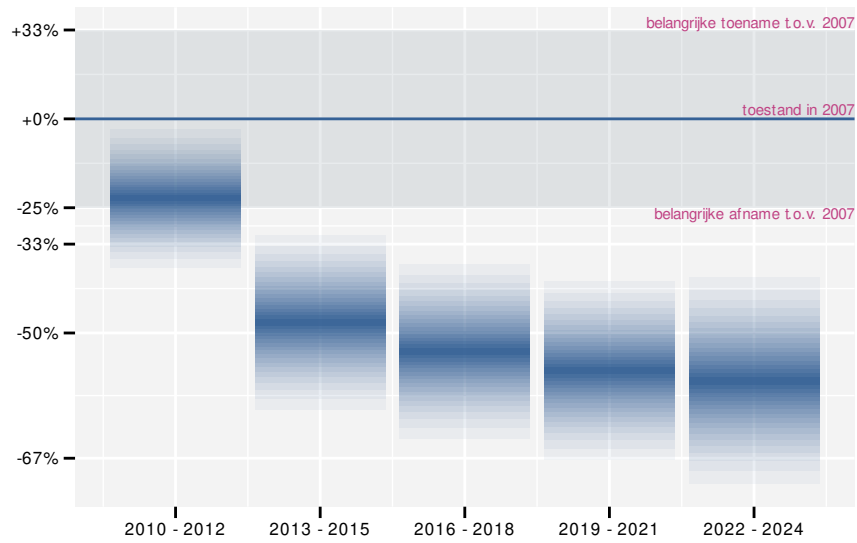
Figuur 47.3: Paarsgewijze vergelijking tussen jaren voor Grutto. Uitleg van de symbolen in tabel 3.1.

47.2 ANALYSE PER DRIEJAARLIJKSE CYCLUS

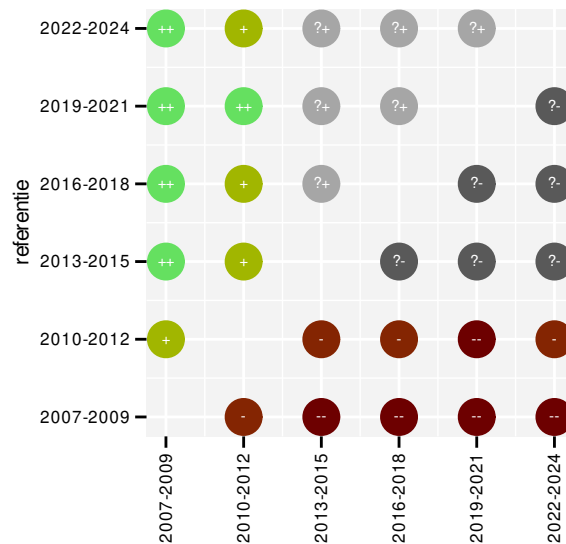
Op basis van driejaarlijkse gegevens zien we gemiddeld een sterke afname met -6.8% (-8.7%; -5.0%) per jaar of -68% (-77%; -56%) over de volledige looptijd van het meetnet. Deze trend is niet-lineair.



Figuur 47.4: Evolutie van het gemodelleerde gemiddeld aantal waargenomen dieren op een meetpunt voor Grutto tijdens de referentieperiode. Zie §3.1 voor een verklaring van de intervallen.



Figuur 47.5: Wijzigingen per driejarige cyclus voor Grutto. Zie §3.1 voor een verklaring van de intervallen en §3.2 voor uitleg over de symbolen en referentielijnen.



Figuur 47.6: Paarsgewijze vergelijking tussen driejarige cycli voor Grutto. Uitleg van de symbolen in tabel 3.1.

47.3 KENMERKEN VAN DE GEGEVENS

Tabel 47.1: Stratumgewicht, raming van het aantal hokken waarin de soort aanwezig is, aantal relevante hokken voor de analyse, aantal onderzochte hokken in het stratum, totaal aantal hokken van het stratum in Vlaanderen, aantal bezoeken aan een meetpunt en het gemiddeld aandeel relevante punten per hok voor Grutto (zie §2.5).

stratum	gewicht	aanwezig	relevant	onderzocht	totaal	bezoeken	punten
Landbouw	98.8%	424.6	29	431	6311	1502	60.3%
Moeras en water	1.2%	6.8	4	80	137	82	29.2%

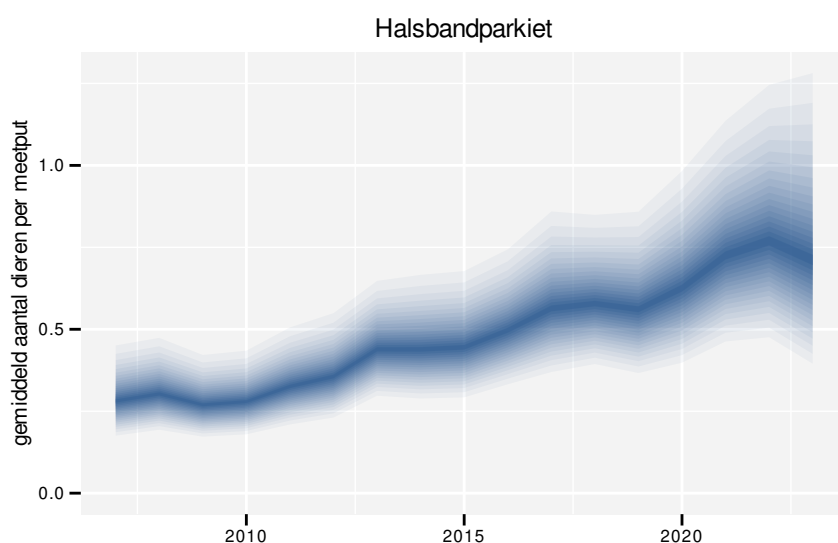
Tabel 47.2: Data-hashes van de analyses in het kader van traceerbaarheid (zie §4.3).

frequentie	model	analyse	status
jaarlijks	niet-lineair	288d395431cf2eb78193 3d91a1217136466377b7	546b5fc41b4bef92b7e8 76cb3ac00d805d5157cf
jaarlijks	lineair	0d7b96c65bf8434dad8f f4ae7b2dac11ba59468f	d94f409c497f0f3540c6 6b026e49e802a30c127d
driejaarlijks	niet-lineair	d9f521188e10884be7fe b4e36e64c54ba92a2eb0	cde6a902ff7a65a90439 6b4a03543719ca63f620
driejaarlijks	lineair	b4bf2fa96ffeddbd6257 86b9e3364bd1b4a6a283	cd8a386f031bf2bf9933 d930ab2dadb155d2ad80

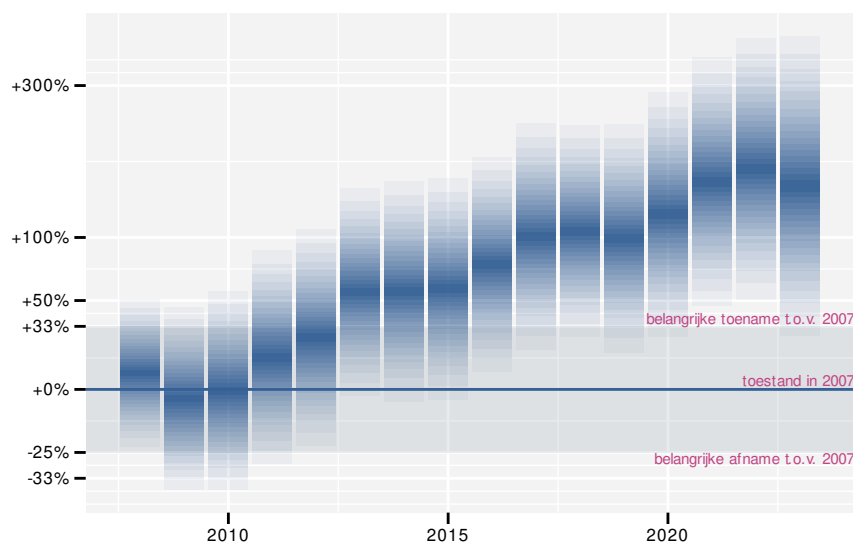
48 HALSBANDPARKIET

48.1 ANALYSE PER JAAR

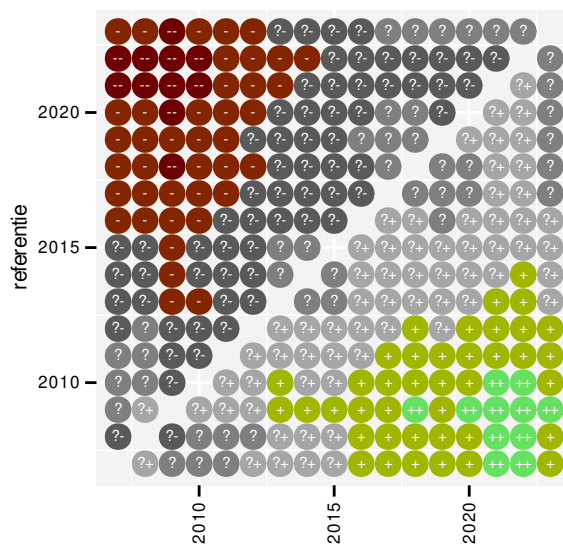
Op basis van jaarlijkse gegevens zien we gemiddeld een sterke toename met +6.91% (+3.10%; +10.86%) per jaar of +190% (+60%; +420%) over de volledige looptijd van het meetnet. Deze trend is niet-lineair.



Figuur 48.1: Evolutie van het gemodelleerde gemiddeld aantal waargenomen dieren op een meetpunt voor Halsbandparkiet tijdens de referentieperiode. Zie §3.1 voor een verklaring van de intervallen.



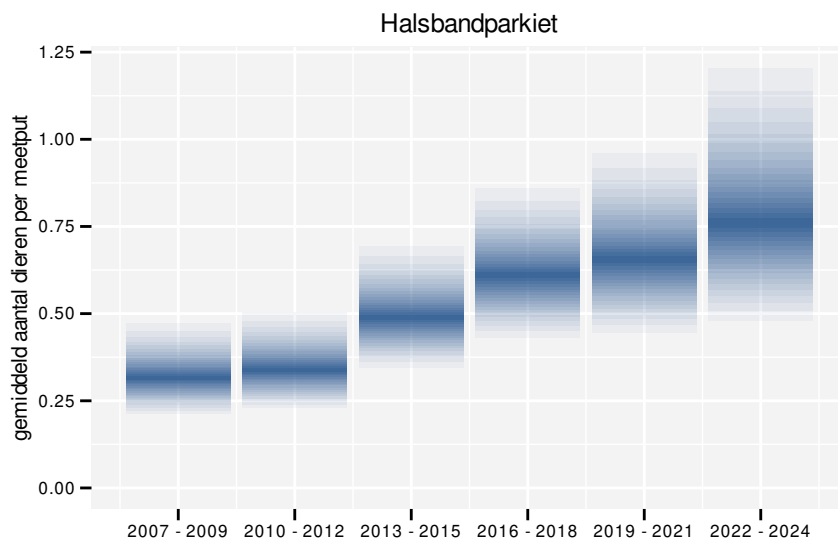
Figuur 48.2: Wijzigingen tussen jaren voor Halsbandparkiet. Zie §3.1 voor een verklaring van de intervallen en §3.2 voor uitleg over de symbolen en referentielijnen.



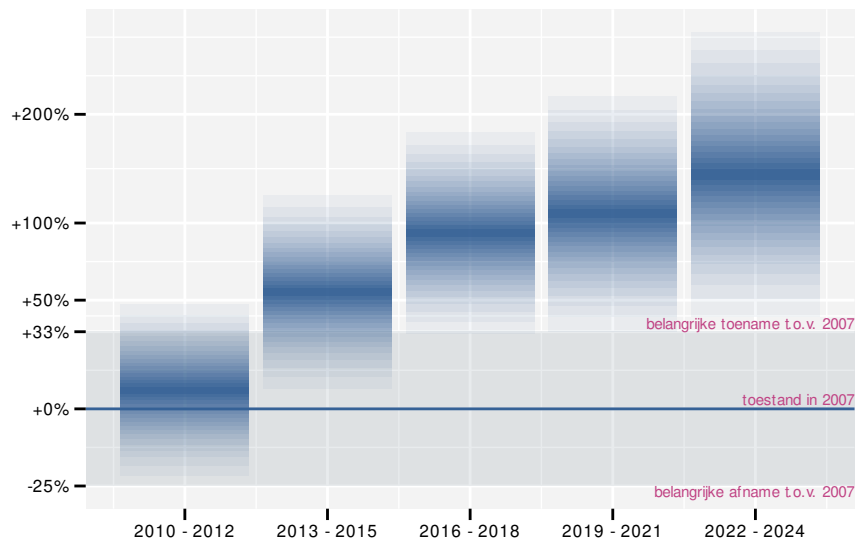
Figuur 48.3: Paarsgewijze vergelijking tussen jaren voor Halsbandparkiet. Uitleg van de symbolen in tabel 3.1.

48.2 ANALYSE PER DRIEJAARLIJKSE CYCLUS

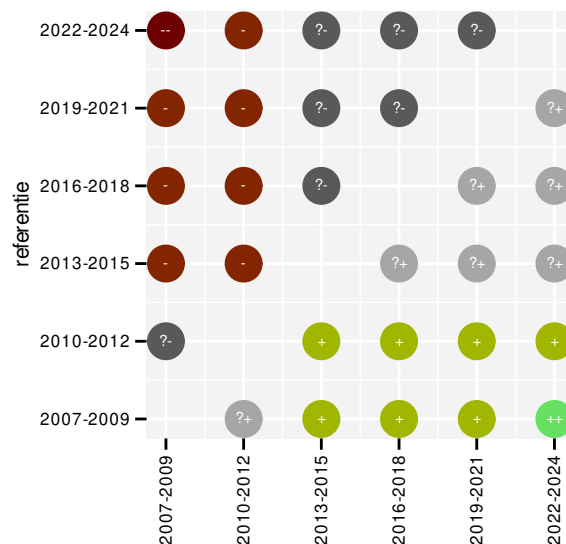
Op basis van driejaarlijkse gegevens zien we gemiddeld een sterke toename met +7.17% (+3.22%; +11.26%) per jaar of +200% (+70%; +450%) over de volledige looptijd van het meetnet. Deze trend is niet-lineair.



Figuur 48.4: Evolutie van het gemodelleerde gemiddeld aantal waargenomen dieren op een meetpunt voor Halsbandparkiet tijdens de referentieperiode. Zie §3.1 voor een verklaring van de intervallen.



Figuur 48.5: Wijzigingen per driejarige cyclus voor Halsbandparkiet. Zie §3.1 voor een verklaring van de intervallen en §3.2 voor uitleg over de symbolen en referentielijnen.



Figuur 48.6: Paarsgewijze vergelijking tussen driejarige cycli voor Halsbandparkiet. Uitleg van de symbolen in tabel 3.1.

48.3 KENMERKEN VAN DE GEGEVENS

Tabel 48.1: Stratumgewicht, raming van het aantal hokken waarin de soort aanwezig is, aantal relevante hokken voor de analyse, aantal onderzochte hokken in het stratum, totaal aantal hokken van het stratum in Vlaanderen, aantal bezoeken aan een meetpunt en het gemiddeld aandeel relevante punten per hok voor Halsbandparkiet (zie §2.5).

stratum	gewicht	aanwezig	relevant	onderzocht	totaal	bezoeken	punten
Landbouw	55.5%	117.1	8	431	6311	278	50.0%
Urbaan	20.7%	38.3	8	87	416	395	60.4%
Suburbaan	12.8%	26.6	9	68	201	571	74.1%
Moeras en water	5.6%	12.0	7	80	137	214	47.6%
Bos	5.4%	11.7	7	191	319	220	57.1%

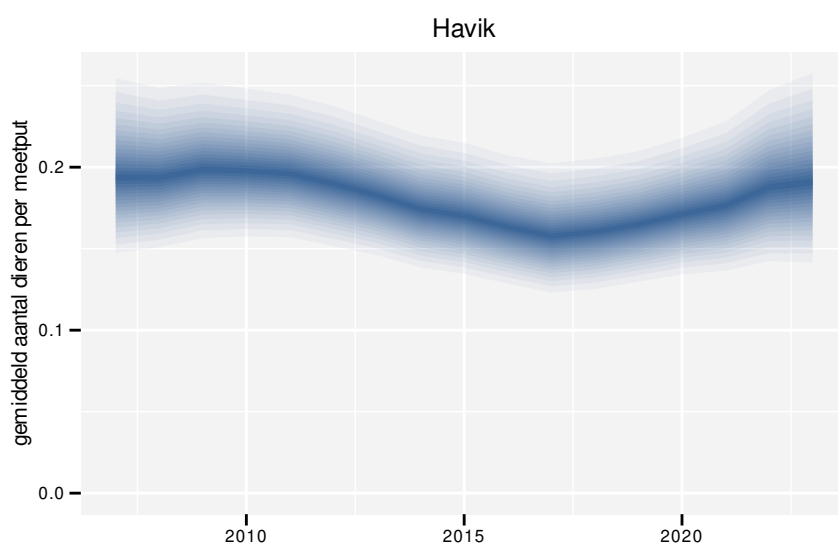
Tabel 48.2: Data-hashes van de analyses in het kader van traceerbaarheid (zie §4.3).

frequentie	model	analyse	status
jaarlijks	niet-lineair	ba15596fb39719d2ec47 7408feb60c11bf421af	a123f2d45722208c2e6a c80738934d41d3e71405
jaarlijks	lineair	ee9f478364c4494e3678 d0f0eda24c86b1ce54e2	db5ce721a99b4ea1e4c4 18d00cba6c72e3e72a1e
driejaarlijks	niet-lineair	17536c6529def8d62ed5 ddbdcf7e9ab13231165d	8dcbe47b199b3cb734c1 d5c08638c4a01bfaf311
driejaarlijks	lineair	ebb34d4478ddb4b1ac9c c1326b4905f400d34b99	320424a374631d1ba6cc 761280dec8ea09ef1422

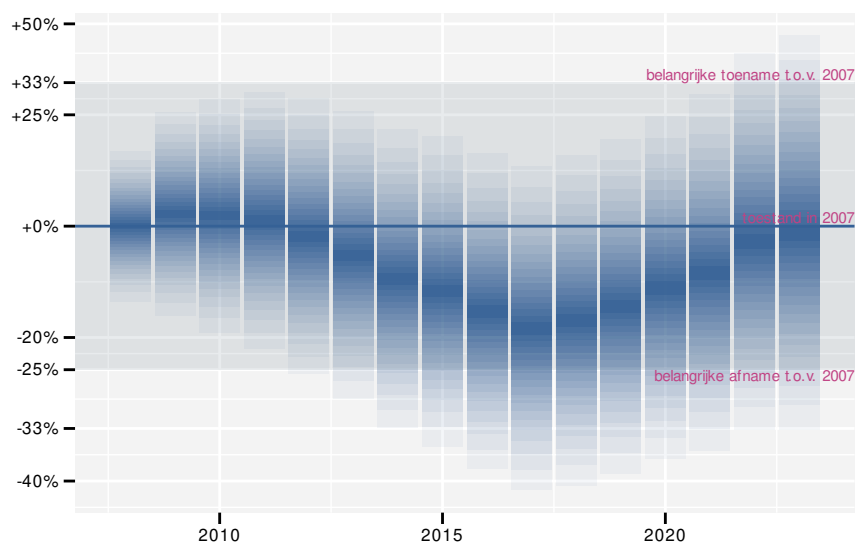
49 HAVIK

49.1 ANALYSE PER JAAR

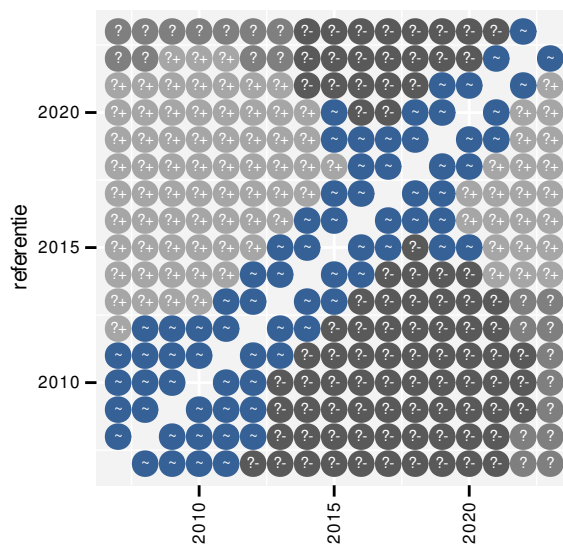
Op basis van jaarlijkse gegevens zien we gemiddeld een onduidelijk met +1.3% (-2.6%; +5.4%) per jaar of +23% (-35%; +132%) over de volledige looptijd van het meetnet. Deze trend is niet-lineair.



Figuur 49.1: Evolutie van het gemodelleerde gemiddeld aantal waargenomen dieren op een meetpunt voor Havik tijdens de referentieperiode. Zie §3.1 voor een verklaring van de intervallen.



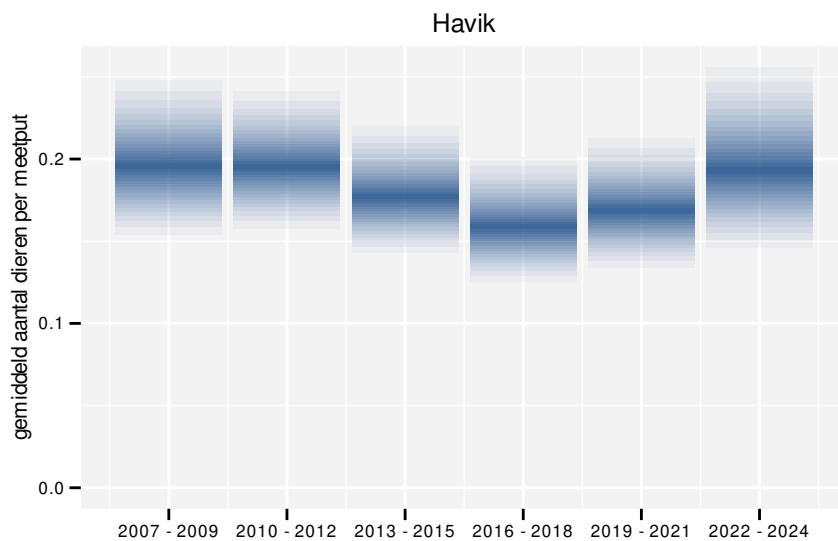
Figuur 49.2: Wijzigingen tussen jaren voor Havik. Zie §3.1 voor een verklaring van de intervallen en §3.2 voor uitleg over de symbolen en referentielijnen.



Figuur 49.3: Paarsgewijze vergelijking tussen jaren voor Havik. Uitleg van de symbolen in tabel 3.1.

49.2 ANALYSE PER DRIEJAARLIJKSE CYCLUS

Op basis van driejaarlijkse gegevens zien we gemiddeld een onduidelijk met +1.4% (-2.5%; +5.4%) per jaar of +24% (-33%; +131%) over de volledige looptijd van het meetnet. Deze trend is niet-lineair.



Figuur 49.4: Evolutie van het gemodelleerde gemiddeld aantal waargenomen dieren op een meetpunt voor Havik tijdens de referentieperiode. Zie §3.1 voor een verklaring van de intervallen.

49.3 KENMERKEN VAN DE GEGEVENS

Tabel 49.1: Stratumgewicht, raming van het aantal hokken waarin de soort aanwezig is, aantal relevante hokken voor de analyse, aantal onderzochte hokken in het stratum, totaal aantal hokken van het stratum in Vlaanderen, aantal bezoeken aan een meetpunt en het gemiddeld aandeel relevante punten per hok voor Havik (zie §2.5).

stratum	gewicht	aanwezig	relevant	onderzocht	totaal	bezoeken	punten
Bos	43.5%	55.1	33	191	319	1195	43.4%
Landbouw	34.7%	58.6	4	431	6311	124	33.3%
Heide en duin	21.7%	27.5	13	94	199	646	53.8%

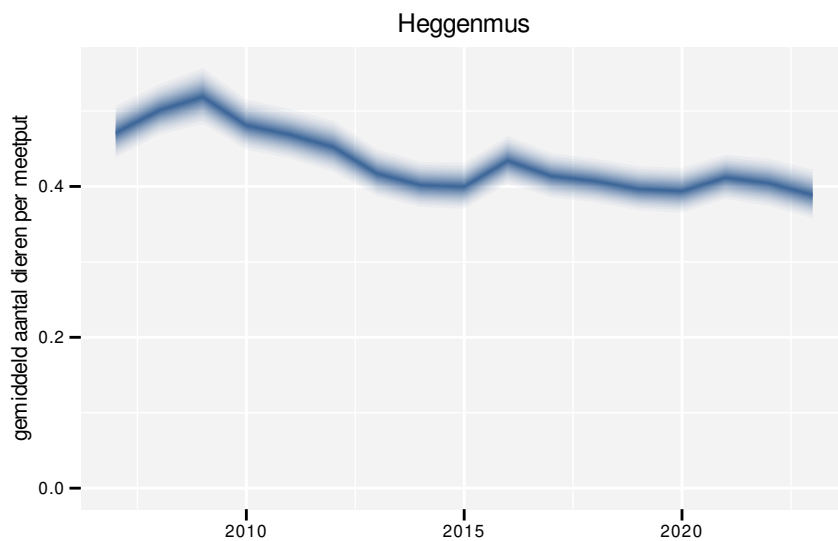
Tabel 49.2: Data-hashes van de analyses in het kader van traceerbaarheid (zie §4.3).

frequentie	model	analyse	status
jaarlijks	niet-lineair	b650fcca85c65f5b1b1d 4aa427f099f827c3bfbb	e37d647d84156578c6e7 9c6c8d2eec8a5a96c74c
jaarlijks	lineair	09522a037bb7d4eb4eb3 0d98b17266dc6982e402	a8952ae7162e9b7d9a3b 6b0c3bf88cb5a3900182
driejaarlijks	niet-lineair	f694960374001db073fa 7f9eaabc38582a67e425	0bc8ea0f9cbf85f4a3c9 6ba8c67e2909e6e30678
driejaarlijks	lineair	978cca4766cbc726d06b 668633f33602db61eb06	f03c1792dcb5c42d4255 708959d1be0f7bd9e8d3

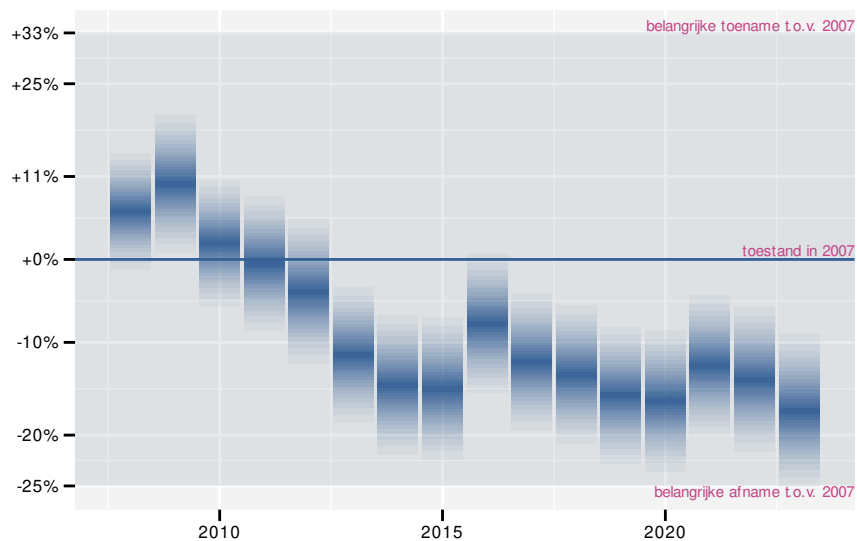
50 HEGGENMUS

50.1 ANALYSE PER JAAR

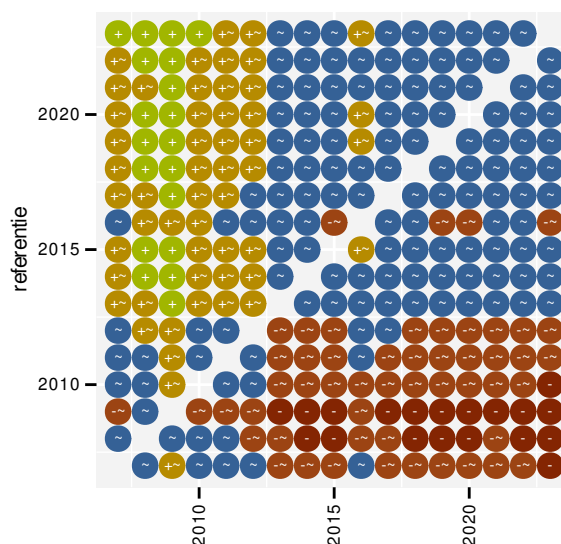
Op basis van jaarlijkse gegevens zien we gemiddeld een afname met -1.67% (-2.06% ; -1.28%) per jaar of -23.6% (-28.3% ; -18.6%) over de volledige looptijd van het meetnet. Deze trend is niet-lineair.



Figuur 50.1: Evolutie van het gemodelleerde gemiddeld aantal waargenomen dieren op een meetpunt voor Heggenmus tijdens de referentieperiode. Zie §3.1 voor een verklaring van de intervallen.



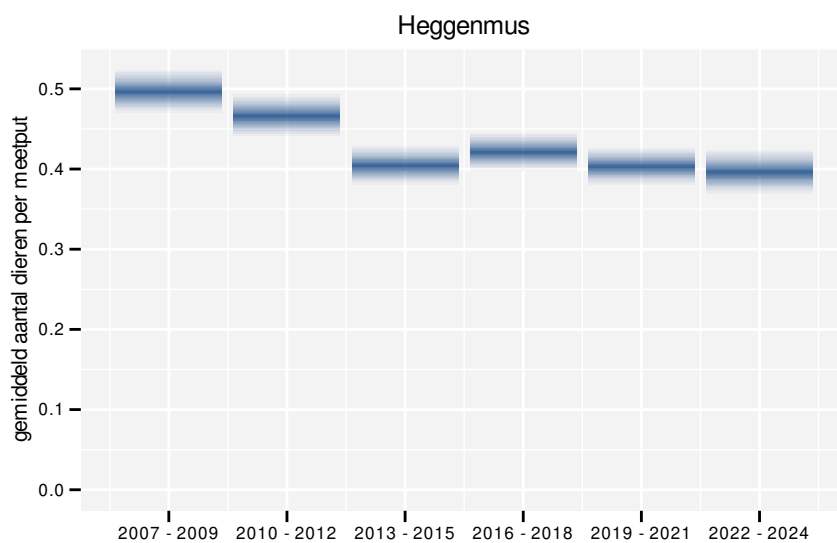
Figuur 50.2: Wijzigingen tussen jaren voor Heggenmus. Zie §3.1 voor een verklaring van de intervallen en §3.2 voor uitleg over de symbolen en referentielijnen.



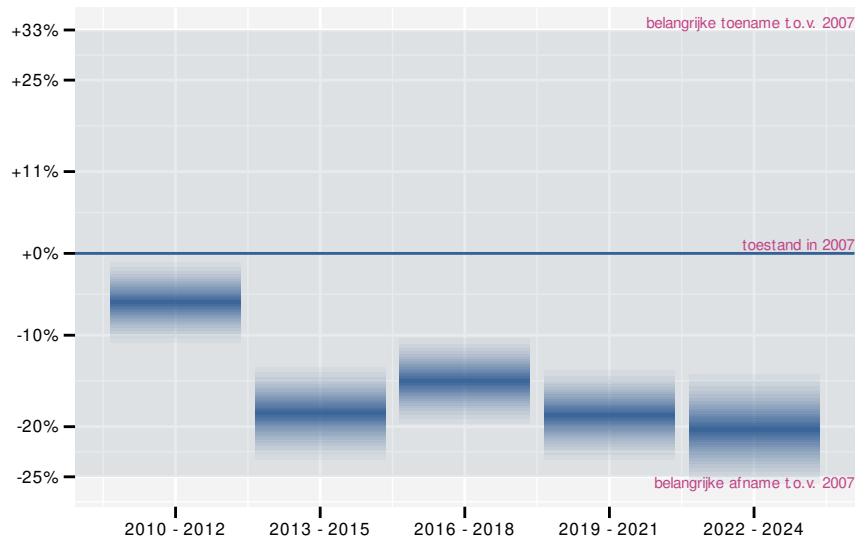
Figuur 50.3: Paarsgewijze vergelijking tussen jaren voor Heggenmus. Uitleg van de symbolen in tabel 3.1.

50.2 ANALYSE PER DRIEJAARLIJKSE CYCLUS

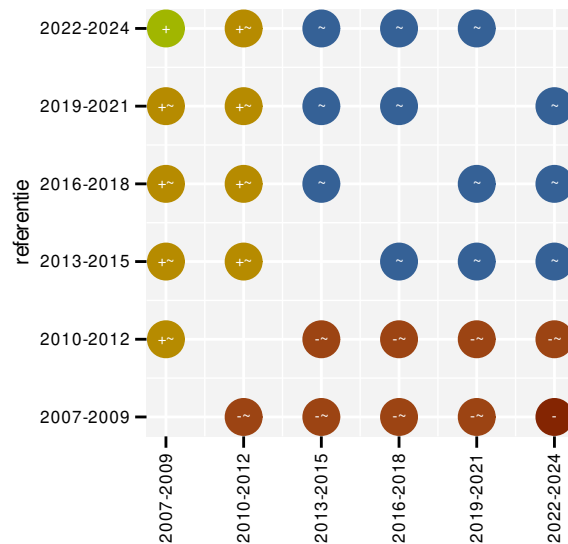
Op basis van driejaarlijkse gegevens zien we gemiddeld een afname met -1.71% (-2.10%; -1.31%) per jaar of -24.1% (-28.8%; -19.1%) over de volledige looptijd van het meetnet. Deze trend is lineair.



Figuur 50.4: Evolutie van het gemodelleerde gemiddeld aantal waargenomen dieren op een meetpunt voor Heggenmus tijdens de referentieperiode. Zie §3.1 voor een verklaring van de intervallen.



Figuur 50.5: Wijzigingen per driejarige cyclus voor Heggenmus. Zie §3.1 voor een verklaring van de intervallen en §3.2 voor uitleg over de symbolen en referentielijnen.



Figuur 50.6: Paarsgewijze vergelijking tussen driejarige cycli voor Heggenmus. Uitleg van de symbolen in tabel 3.1.

50.3 KENMERKEN VAN DE GEGEVENS

Tabel 50.1: Stratumgewicht, raming van het aantal hokken waarin de soort aanwezig is, aantal relevante hokken voor de analyse, aantal onderzochte hokken in het stratum, totaal aantal hokken van het stratum in Vlaanderen, aantal bezoeken aan een meetpunt en het gemiddeld aandeel relevante punten per hok voor Heggenmus (zie §2.5).

stratum	gewicht	aanwezig	relevant	onderzocht	totaal	bezoeken	punten
Landbouw	85.7%	4539.2	310	431	6311	18128	79.6%
Urbain	6.3%	334.7	70	87	416	4508	90.0%
Suburbaan	2.8%	150.8	51	68	201	3271	89.2%
Bos	1.9%	100.2	60	191	319	2819	56.4%
Heide en duin	1.7%	88.9	42	94	199	2101	68.3%
Moeras en water	1.6%	83.9	49	80	137	2534	68.7%

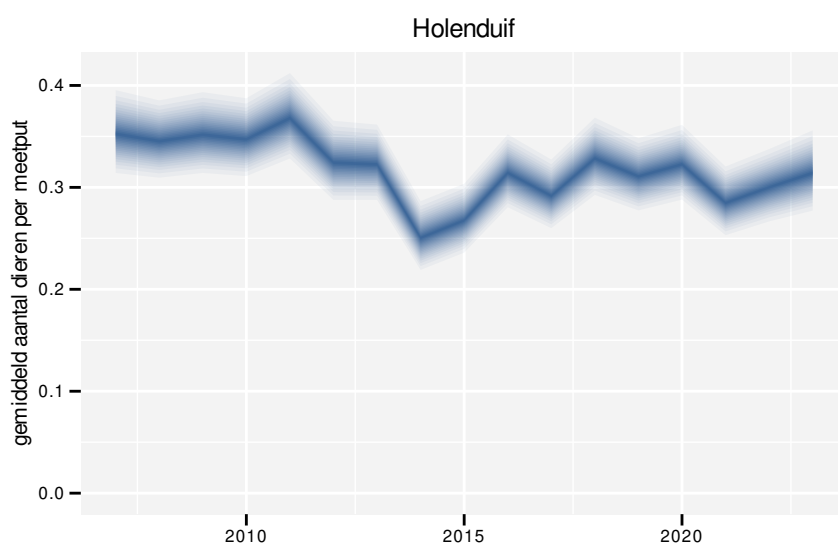
Tabel 50.2: Data-hashes van de analyses in het kader van traceerbaarheid (zie §4.3).

frequentie	model	analyse	status
jaarlijks	niet-lineair	3d5cecbfb07bcba17939 6e4cde4c105f267d4c34	f1d9a30fb7eedc4157d2 51af0b7f998d7a661cca
jaarlijks	lineair	cefafcf222b91bc05c23 25b9c540c1ec8462686b	c5e03d4f7126e6c90d63 5848f24aac145d69c6c9
driejaarlijks	niet-lineair	d878f7c6794d0a6d9a8d 04be68ebb93eafdf01cc	3dee05bcf4782a1d4eac dbdfaabdd7cd0700f025
driejaarlijks	lineair	4d8dd369d5876d899d04 42cd2676b4aa77c108ed	c662dba7a84e43f7436a f50d9e26b42ea3195169

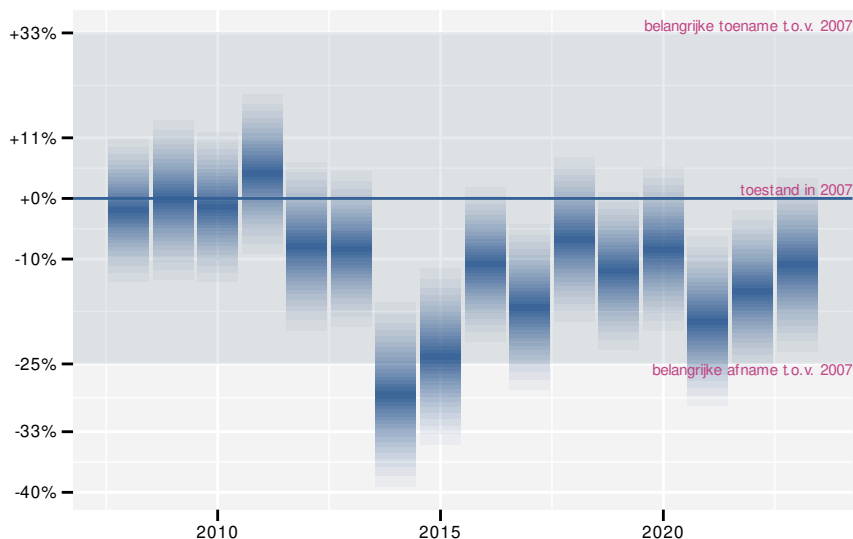
51 HOLENDUIF

51.1 ANALYSE PER JAAR

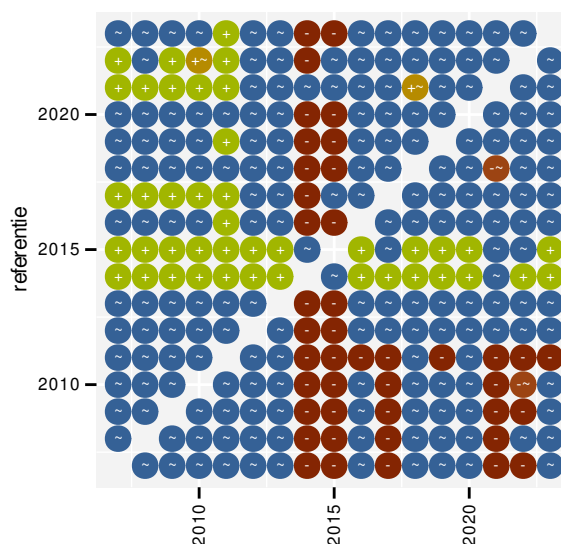
Op basis van jaarlijkse gegevens zien we gemiddeld een matige afname met -1.07% (-1.67%; -0.47%) per jaar of -16% (-24%; -7%) over de volledige looptijd van het meetnet. Deze trend is niet-lineair.



Figuur 51.1: Evolutie van het gemodelleerde gemiddeld aantal waargenomen dieren op een meetpunt voor Holenduif tijdens de referentieperiode. Zie §3.1 voor een verklaring van de intervallen.



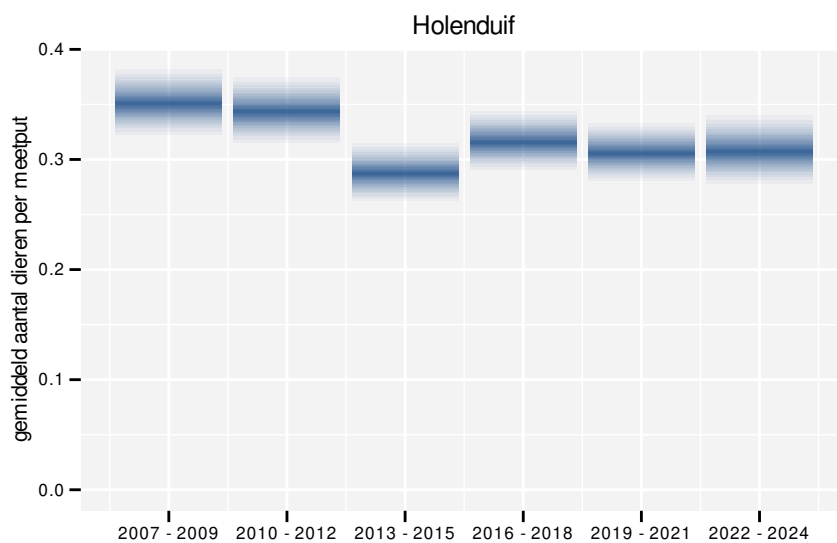
Figuur 51.2: Wijzigingen tussen jaren voor Holenduif. Zie §3.1 voor een verklaring van de intervallen en §3.2 voor uitleg over de symbolen en referentielijnen.



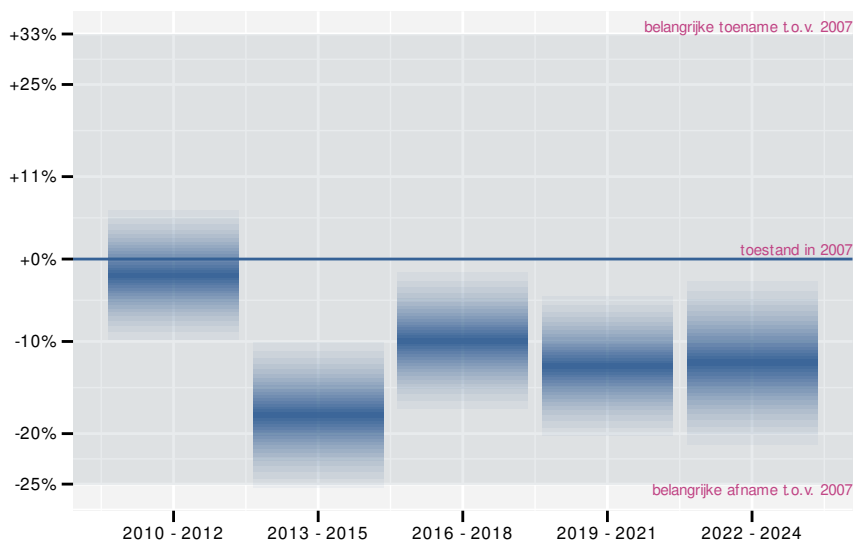
Figuur 51.3: Paarsgewijze vergelijking tussen jaren voor Holenduif. Uitleg van de symbolen in tabel 3.1.

51.2 ANALYSE PER DRIEJAARLIJKSE CYCLUS

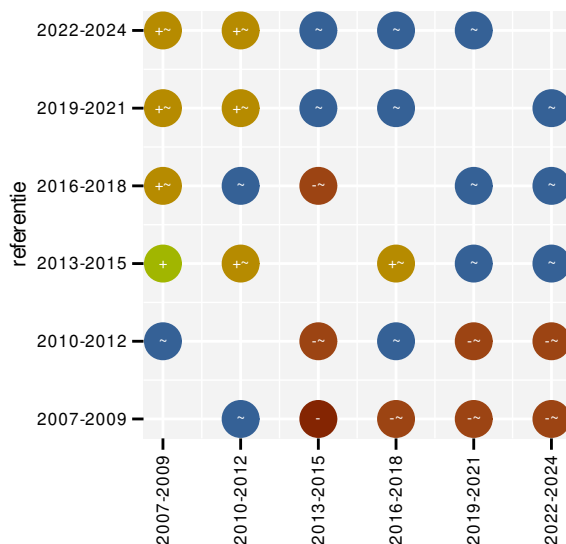
Op basis van driejaarlijkse gegevens zien we gemiddeld een matige afname met -1.02% (-1.61%; -0.42%) per jaar of -15% (-23%; -6%) over de volledige looptijd van het meetnet. Deze trend is niet-lineair.



Figuur 51.4: Evolutie van het gemodelleerde gemiddeld aantal waargenomen dieren op een meetpunt voor Holenduif tijdens de referentieperiode. Zie §3.1 voor een verklaring van de intervallen.



Figuur 51.5: Wijzigingen per driejarige cyclus voor Holenduif. Zie §3.1 voor een verklaring van de intervallen en §3.2 voor uitleg over de symbolen en referentielijnen.



Figuur 51.6: Paarsgewijze vergelijking tussen driejarige cycli voor Holenduif. Uitleg van de symbolen in tabel 3.1.

51.3 KENMERKEN VAN DE GEGEVENS

Tabel 51.1: Stratumgewicht, raming van het aantal hokken waarin de soort aanwezig is, aantal relevante hokken voor de analyse, aantal onderzochte hokken in het stratum, totaal aantal hokken van het stratum in Vlaanderen, aantal bezoeken aan een meetpunt en het gemiddeld aandeel relevante punten per hok voor Holenduif (zie §2.5).

stratum	gewicht	aanwezig	relevant	onderzocht	totaal	bezoeken	punten
Landbouw	89.3%	3792.5	259	431	6311	15754	77.2%
Bos	3.2%	135.3	81	191	319	4819	69.1%
Urbaan	2.5%	105.2	22	87	416	752	45.5%
Suburbaan	2.1%	88.7	30	68	201	1128	52.2%
Moeras en water	1.5%	65.1	38	80	137	1725	58.8%
Heide en duin	1.4%	61.4	29	94	199	1664	61.5%

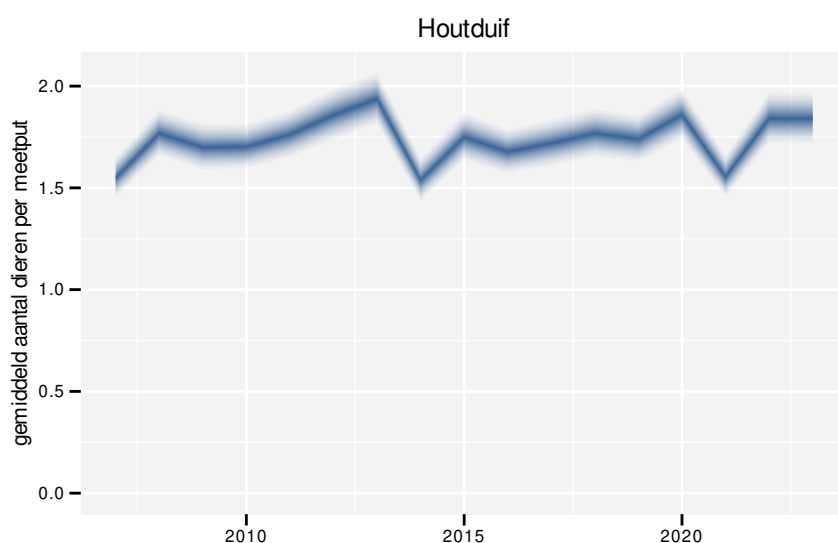
Tabel 51.2: Data-hashes van de analyses in het kader van traceerbaarheid (zie §4.3).

frequentie	model	analyse	status
jaarlijks	niet-lineair	1660ac09ed9c437fc6a1 450716fb24d95c44e5ce	d4a14abeb1b48ffe99e2 9ab7113bad68bccb1fa6
jaarlijks	lineair	2a2c28f48887aa266a91 5d1128edb1364f5fa1c8	634ae690616e603a8e55 e65a259e3415812ad35a
driejaarlijks	niet-lineair	f041ef7e5426039e222d 3d583c87473c23145c28	4a61a36f890ba4c3efb5 3abc2d61c2a9e1feca21
driejaarlijks	lineair	9210d9c448226ab6432d 66d5452df74a65c0c44b	951da31474f5a9a5239e 9928ea748d334eab324b

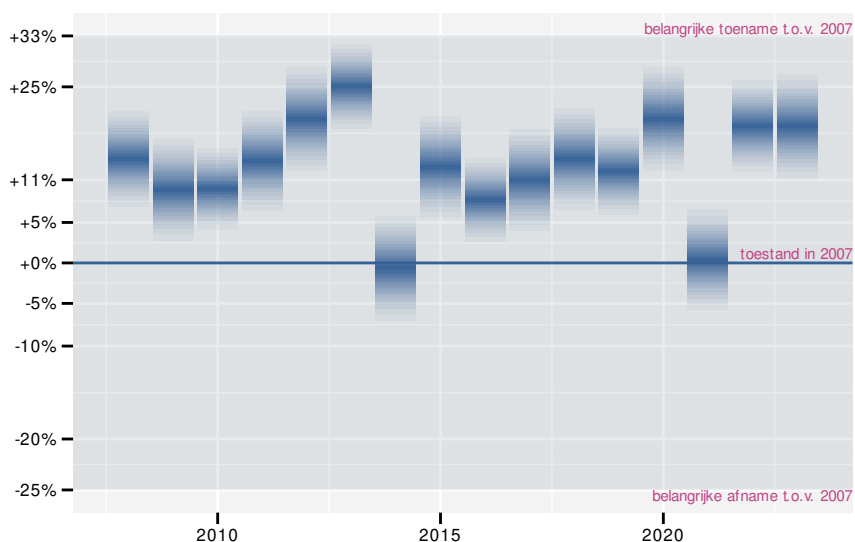
52 HOUTDUIF

52.1 ANALYSE PER JAAR

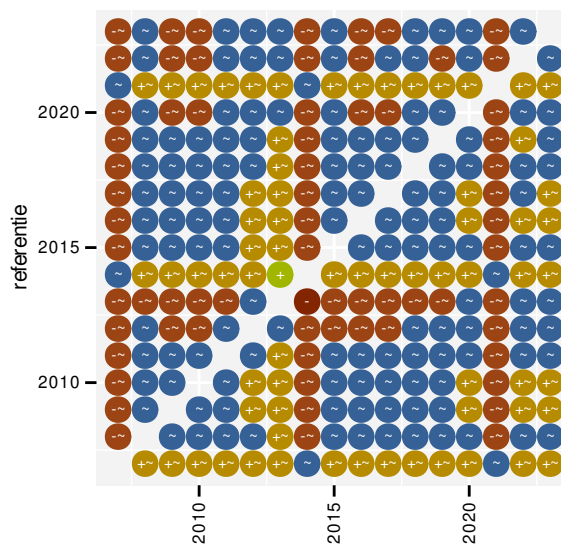
Op basis van jaarlijkse gegevens zien we gemiddeld een matige toename met +0.33% (+0.12%; +0.54%) per jaar of +5.4% (+1.9%; +9.0%) over de volledige looptijd van het meetnet. Deze trend is niet-lineair.



Figuur 52.1: Evolutie van het gemodelleerde gemiddeld aantal waargenomen dieren op een meetpunt voor Houtduif tijdens de referentieperiode. Zie §3.1 voor een verklaring van de intervallen.



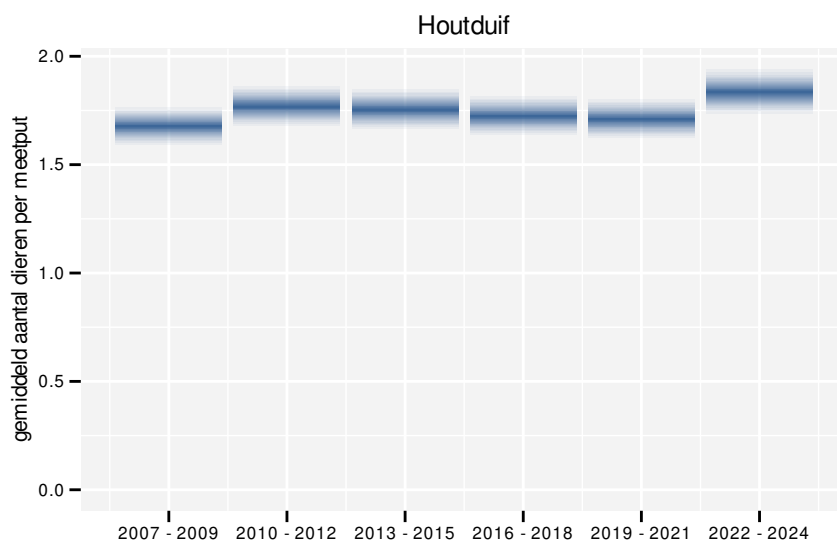
Figuur 52.2: Wijzigingen tussen jaren voor Houtduif. Zie §3.1 voor een verklaring van de intervallen en §3.2 voor uitleg over de symbolen en referentielijnen.



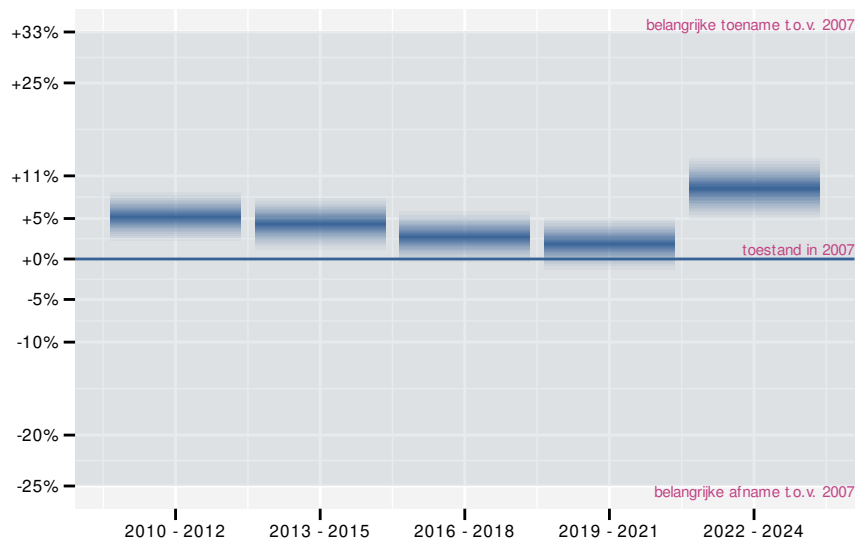
Figuur 52.3: Paarsgewijze vergelijking tussen jaren voor Houtduif. Uitleg van de symbolen in tabel 3.1.

52.2 ANALYSE PER DRIEJAARLIJKSE CYCLUS

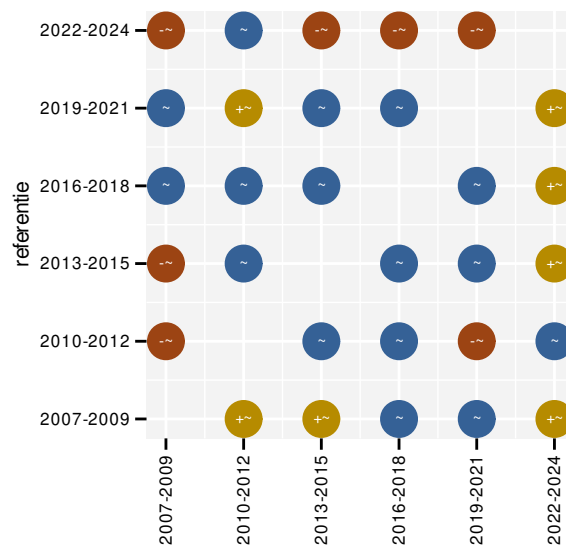
Op basis van driejaarlijkse gegevens zien we gemiddeld een matige toename met +0.33% (+0.12%; +0.55%) per jaar of +5.5% (+1.9%; +9.2%) over de volledige looptijd van het meetnet. Deze trend is niet-lineair.



Figuur 52.4: Evolutie van het gemodelleerde gemiddeld aantal waargenomen dieren op een meetpunt voor Houtduif tijdens de referentieperiode. Zie §3.1 voor een verklaring van de intervallen.



Figuur 52.5: Wijzigingen per driejarige cyclus voor Houtduif. Zie §3.1 voor een verklaring van de intervallen en §3.2 voor uitleg over de symbolen en referentielijnen.



Figuur 52.6: Paarsgewijze vergelijking tussen driejarige cycli voor Houtduif. Uitleg van de symbolen in tabel 3.1.

52.3 KENMERKEN VAN DE GEGEVENS

Tabel 52.1: Stratumgewicht, raming van het aantal hokken waarin de soort aanwezig is, aantal relevante hokken voor de analyse, aantal onderzochte hokken in het stratum, totaal aantal hokken van het stratum in Vlaanderen, aantal bezoeken aan een meetpunt en het gemiddeld aandeel relevante punten per hok voor Houtduif (zie §2.5).

stratum	gewicht	aanwezig	relevant	onderzocht	totaal	bezoeken	punten
Landbouw	83.2%	5168.9	353	431	6311	24484	98.3%
Urbaan	5.5%	344.3	72	87	416	5028	99.1%
Bos	4.0%	248.9	149	191	319	9887	95.3%
Heide en duin	2.8%	173.6	82	94	199	5239	91.3%
Suburbaan	2.7%	168.5	57	68	201	3648	96.2%
Moeras en water	1.7%	106.2	62	80	137	4192	95.4%

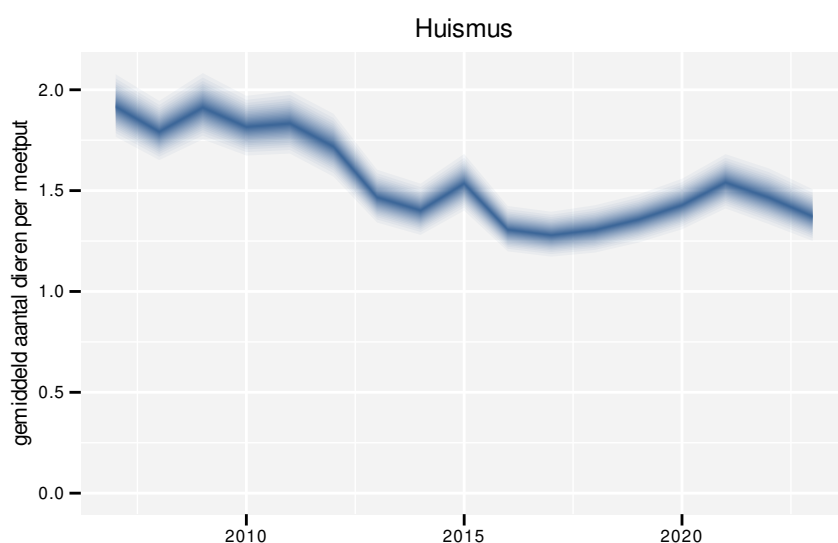
Tabel 52.2: Data-hashes van de analyses in het kader van traceerbaarheid (zie §4.3).

frequentie	model	analyse	status
jaarlijks	niet-lineair	377dc91bc1bea41c6d50 8e25de24383c0316770d	fbff33725b919bf84872 363ff8543dbba0520147
jaarlijks	lineair	1cff723dd6ac1d7020c7 4fd21a675ae48520627c	fa5706667a060097addc 31389139b8f4cd5ba023
driejaarlijks	niet-lineair	d486919734c6126af9e5 384e8b97195a1be735bd	63515c03d06f6af2f0d5 936b97b758bee90747f0
driejaarlijks	lineair	ad48594408b255e610e1 2ed95d678c0feb4094e4	8adf3752709af5ed2e2e f469acc78991b5daa9ca

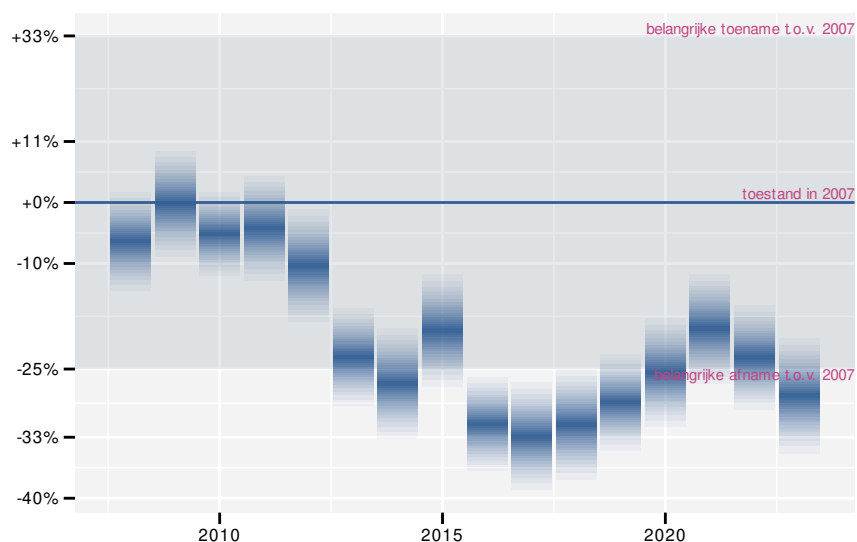
53 HUISMUS

53.1 ANALYSE PER JAAR

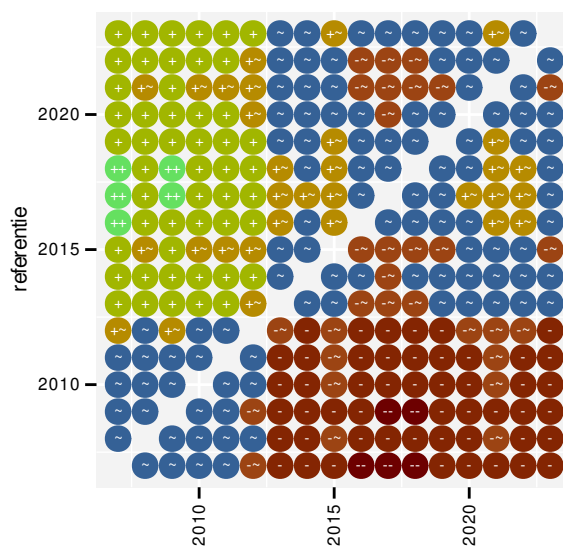
Op basis van jaarlijkse gegevens zien we gemiddeld een sterke afname met -2.30% (-2.64%; -1.96%) per jaar of -31.1% (-34.9%; -27.2%) over de volledige looptijd van het meetnet. Deze trend is niet-lineair.



Figuur 53.1: Evolutie van het gemodelleerde gemiddeld aantal waargenomen dieren op een meetpunt voor Huismus tijdens de referentieperiode. Zie §3.1 voor een verklaring van de intervallen.



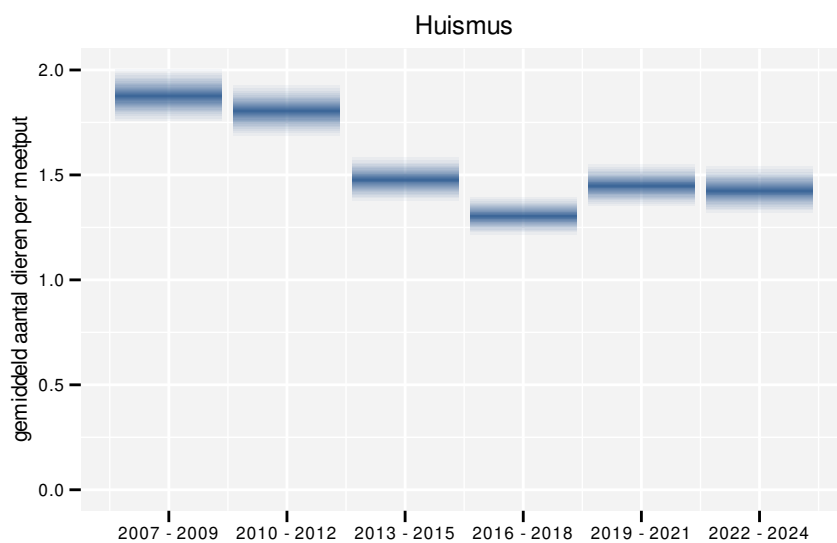
Figuur 53.2: Wijzigingen tussen jaren voor Huismus. Zie §3.1 voor een verklaring van de intervallen en §3.2 voor uitleg over de symbolen en referentielijnen.



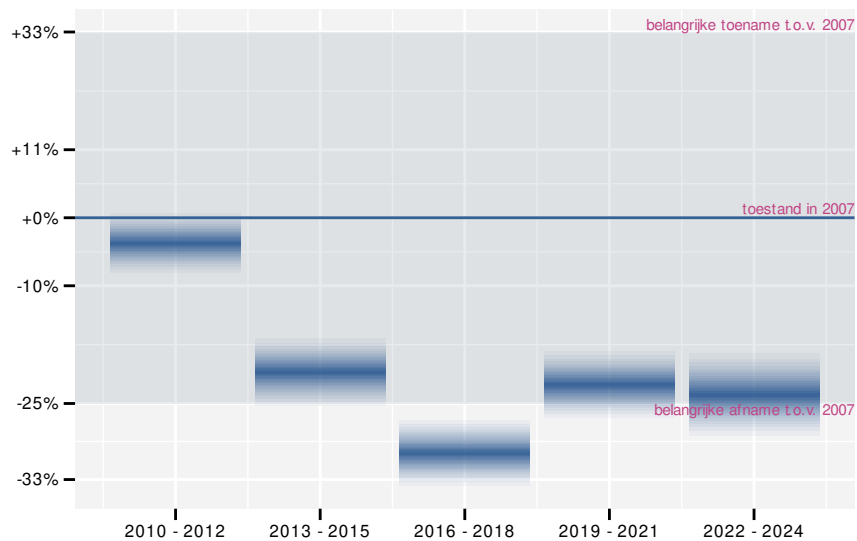
Figuur 53.3: Paarsgewijze vergelijking tussen jaren voor Huismus. Uitleg van de symbolen in tabel 3.1.

53.2 ANALYSE PER DRIEJAARLIJKSE CYCLUS

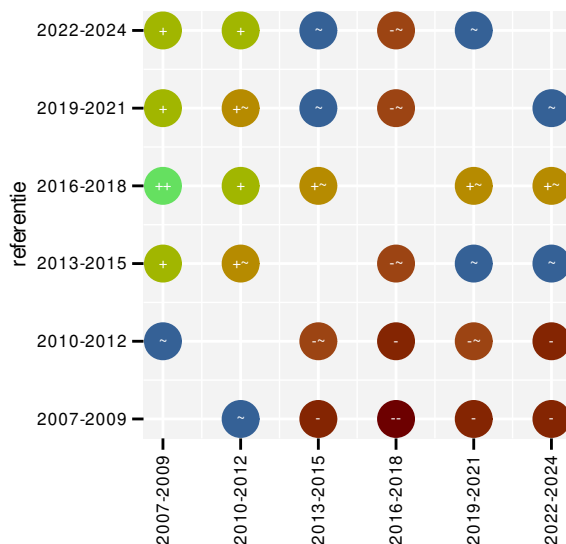
Op basis van driejaarlijkse gegevens zien we gemiddeld een sterke afname met -2.33% (-2.67%; -1.99%) per jaar of -31.4% (-35.2%; -27.5%) over de volledige looptijd van het meetnet. Deze trend is niet-lineair.



Figuur 53.4: Evolutie van het gemodelleerde gemiddeld aantal waargenomen dieren op een meetpunt voor Huismus tijdens de referentieperiode. Zie §3.1 voor een verklaring van de intervallen.



Figuur 53.5: Wijzigingen per driejarige cyclus voor Huismus. Zie §3.1 voor een verklaring van de intervallen en §3.2 voor uitleg over de symbolen en referentielijnen.



Figuur 53.6: Paarsgewijze vergelijking tussen driejarige cycli voor Huismus. Uitleg van de symbolen in tabel 3.1.

53.3 KENMERKEN VAN DE GEGEVENS

Tabel 53.1: Stratumgewicht, raming van het aantal hokken waarin de soort aanwezig is, aantal relevante hokken voor de analyse, aantal onderzochte hokken in het stratum, totaal aantal hokken van het stratum in Vlaanderen, aantal bezoeken aan een meetpunt en het gemiddeld aandeel relevante punten per hok voor Huismus (zie §2.5).

stratum	gewicht	aanwezig	relevant	onderzocht	totaal	bezoeken	punten
Landbouw	88.9%	4466.0	305	431	6311	15936	72.9%
Urbain	6.8%	339.5	71	87	416	4418	88.0%
Suburbaan	2.2%	112.3	38	68	201	2134	77.2%
Moeras en water	0.9%	42.8	25	80	137	951	55.3%
Heide en duin	0.8%	40.2	19	94	199	772	60.5%
Bos	0.4%	20.0	12	191	319	317	37.5%

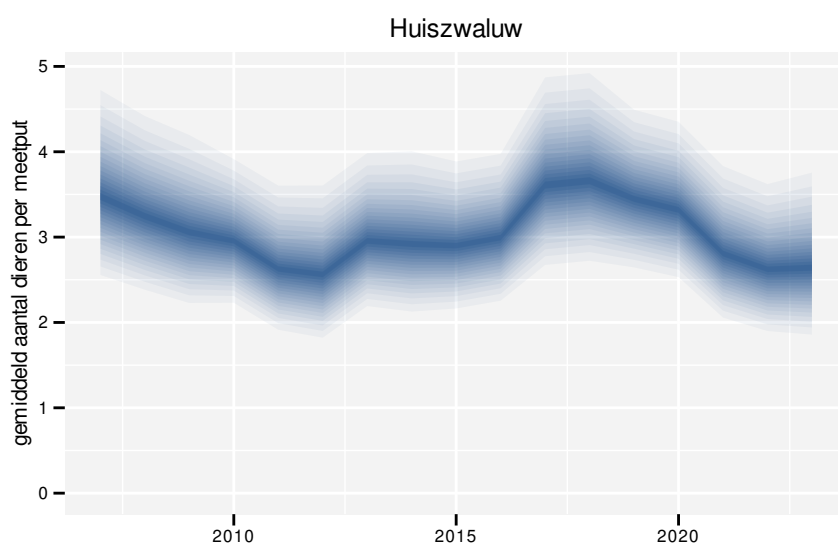
Tabel 53.2: Data-hashes van de analyses in het kader van traceerbaarheid (zie §4.3).

frequentie	model	analyse	status
jaarlijks	niet-lineair	2ed39a26e20fe6a264a8 681eea608d92ab254f24	f6b60fd72ac0aafd0412 7a3736688bea6a512757
jaarlijks	lineair	f1a5501befe93a37ec3f 8040fab9f356d9d902c5	dd1833ad4e5fd17b096c ab6e3d74badd564d1e09
driejaarlijks	niet-lineair	0a56eb8b37e7679cba22 21f874905bb997678b38	fc0c9be4fccfc590996f 339329ea21c294917d8a
driejaarlijks	lineair	cbe6ec589b3f32701962 efcd767f2721a50b3be1	4f9b0ee671cfb1c9bb2b e2732c45e82fe3696be3

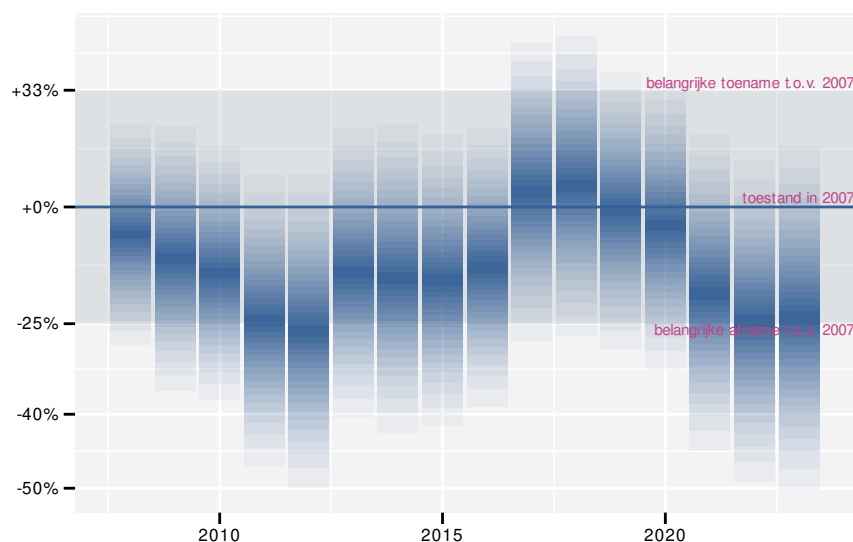
54 HUISZWALUW

54.1 ANALYSE PER JAAR

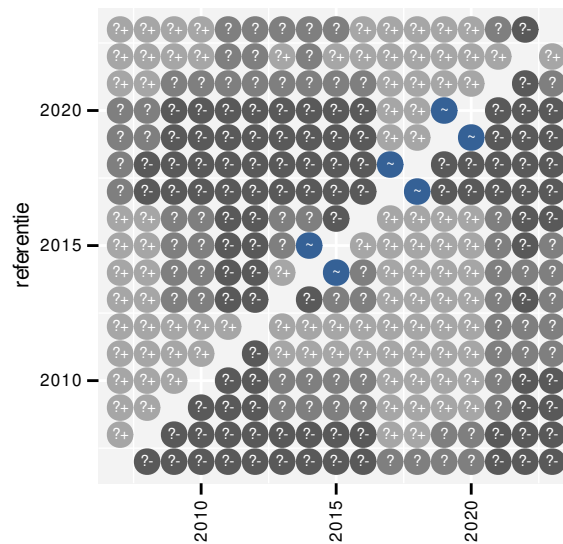
Op basis van jaarlijkse gegevens zien we gemiddeld een onduidelijk met -0.4% (-2.6% ; $+1.9\%$) per jaar of -6% (-34% ; $+34\%$) over de volledige looptijd van het meetnet. Deze trend is niet-lineair.



Figuur 54.1: Evolutie van het gemodelleerde gemiddeld aantal waargenomen dieren op een meetpunt voor Huiszwaluw tijdens de referentieperiode. Zie §3.1 voor een verklaring van de intervallen.



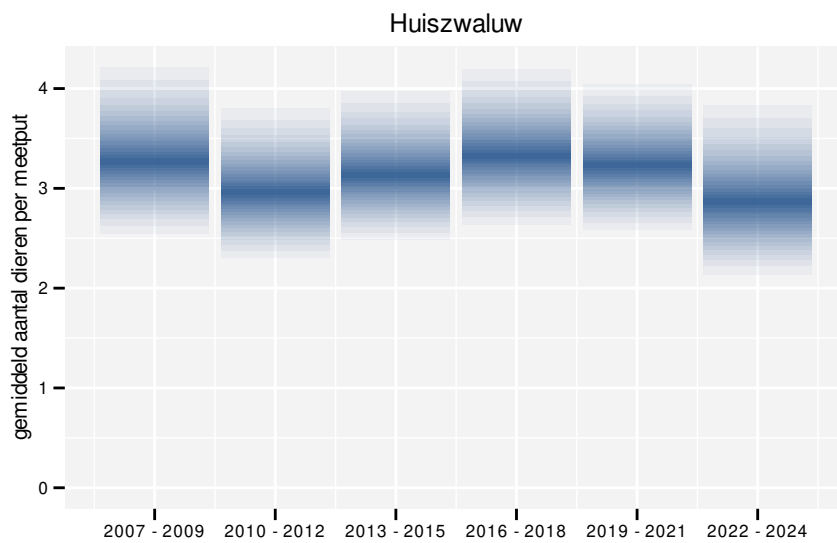
Figuur 54.2: Wijzigingen tussen jaren voor Huiszwaluw. Zie §3.1 voor een verklaring van de intervallen en §3.2 voor uitleg over de symbolen en referentielijnen.



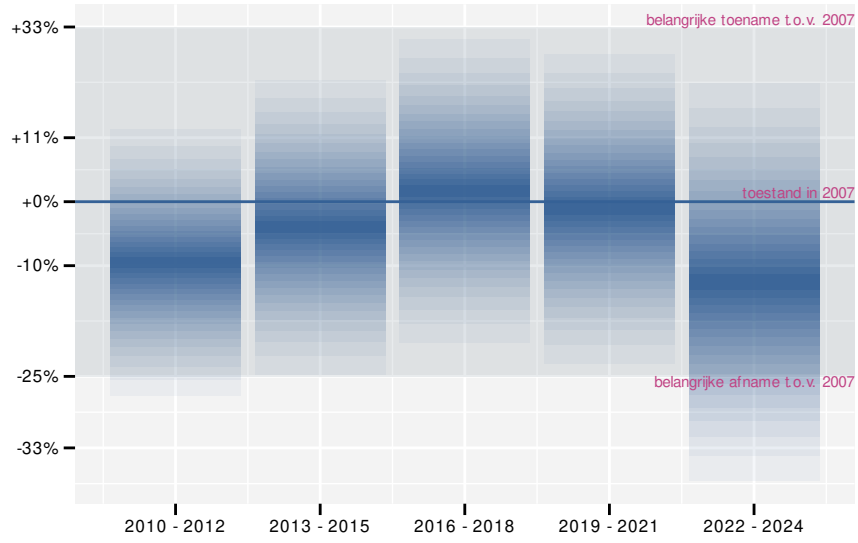
Figuur 54.3: Paarsgewijze vergelijking tussen jaren voor Huiszwaluw. Uitleg van de symbolen in tabel 3.1.

54.2 ANALYSE PER DRIEJAARLIJKSE CYCLUS

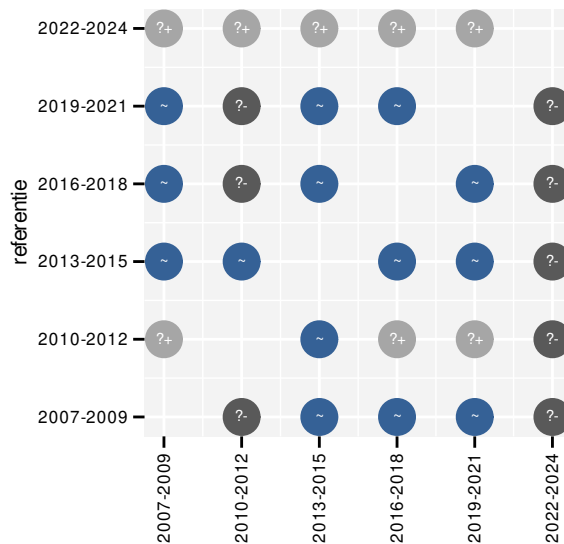
Op basis van driejaarlijkse gegevens zien we gemiddeld een onduidelijk met -0.2% (-2.4% ; $+2.1\%$) per jaar of -3% (-32% ; $+40\%$) over de volledige looptijd van het meetnet. Deze trend is lineair.



Figuur 54.4: Evolutie van het gemodelleerde gemiddeld aantal waargenomen dieren op een meetpunt voor Huiszwaluw tijdens de referentieperiode. Zie §3.1 voor een verklaring van de intervallen.



Figuur 54.5: Wijzigingen per driejarige cyclus voor Huiszwaluw. Zie §3.1 voor een verklaring van de intervallen en §3.2 voor uitleg over de symbolen en referentielijnen.



Figuur 54.6: Paarsgewijze vergelijking tussen driejarige cycli voor Huiszwaluw. Uitleg van de symbolen in tabel 3.1.

54.3 KENMERKEN VAN DE GEGEVENS

Tabel 54.1: Stratumgewicht, raming van het aantal hokken waarin de soort aanwezig is, aantal relevante hokken voor de analyse, aantal onderzochte hokken in het stratum, totaal aantal hokken van het stratum in Vlaanderen, aantal bezoeken aan een meetpunt en het gemiddeld aandeel relevante punten per hok voor Huiszwaluw (zie §2.5).

stratum	gewicht	aanwezig	relevant	onderzocht	totaal	bezoeken	punten
Landbouw	93.3%	761.4	52	431	6311	1314	47.4%
Urbaan	2.9%	28.7	6	87	416	167	55.6%
Moeras en water	1.3%	12.0	7	80	137	180	54.8%
Suburbaan	1.1%	11.8	4	68	201	72	37.5%
Heide en duin	0.8%	8.5	4	94	199	102	41.7%
Bos	0.6%	6.7	4	191	319	69	37.5%

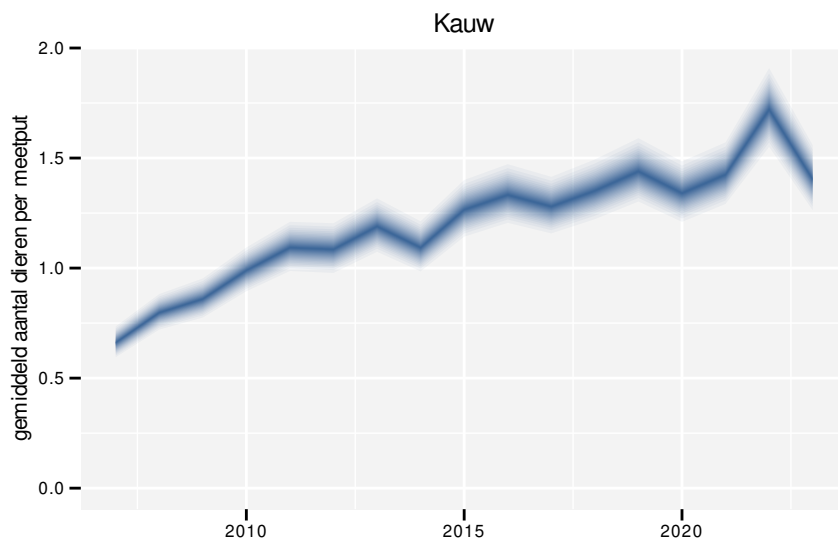
Tabel 54.2: Data-hashes van de analyses in het kader van traceerbaarheid (zie §4.3).

frequentie	model	analyse	status
jaarlijks	niet-lineair	9f4009d7c6dab72a3092 216b71d036b2f4c799a5	12703258a40d60ec1d6a f8389d2b5776041f9414
jaarlijks	lineair	18b1df16080e691b6371 8cd87db6000a38ccce10	4fe094f2bc0eb1561160 70348dbb29511cd9b018
driejaarlijks	niet-lineair	81eb19077f2d257eaaa0 54a2b781a83449bc9044	0eb03d4774d5dde608ad 80f66e9c5f8f55bfd91b
driejaarlijks	lineair	06f8fbd96827ebcc2af6 cd68eb9d01db513af0cc	54e136b150ae049afc4e 083f47bf88b27faf60c6

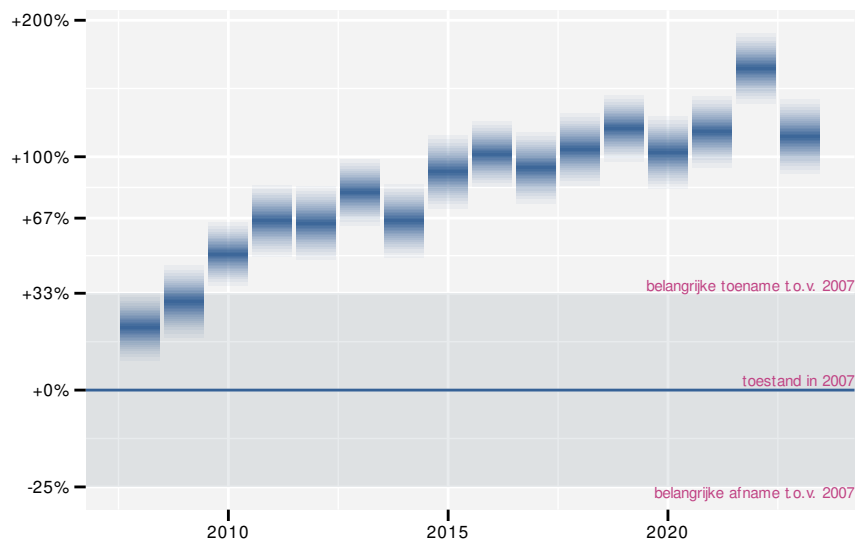
55 KAUW

55.1 ANALYSE PER JAAR

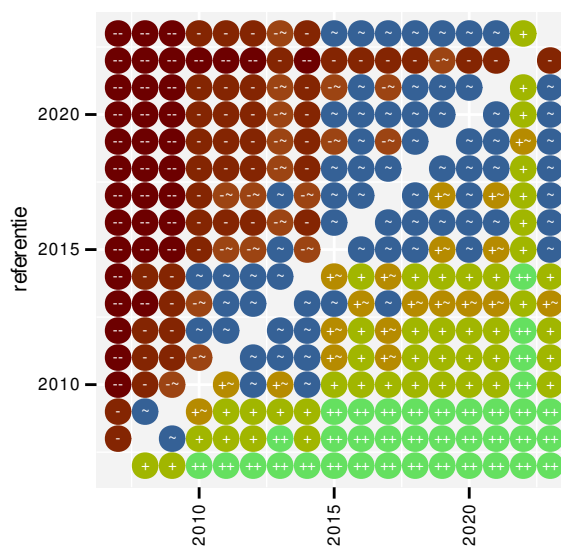
Op basis van jaarlijkse gegevens zien we gemiddeld een sterke toename met +4.60% (+4.19%; +5.01%) per jaar of +105.4% (+92.7%; +118.7%) over de volledige looptijd van het meetnet. Deze trend is niet-lineair.



Figuur 55.1: Evolutie van het gemodelleerde gemiddeld aantal waargenomen dieren op een meetpunt voor Kauw tijdens de referentieperiode. Zie §3.1 voor een verklaring van de intervallen.



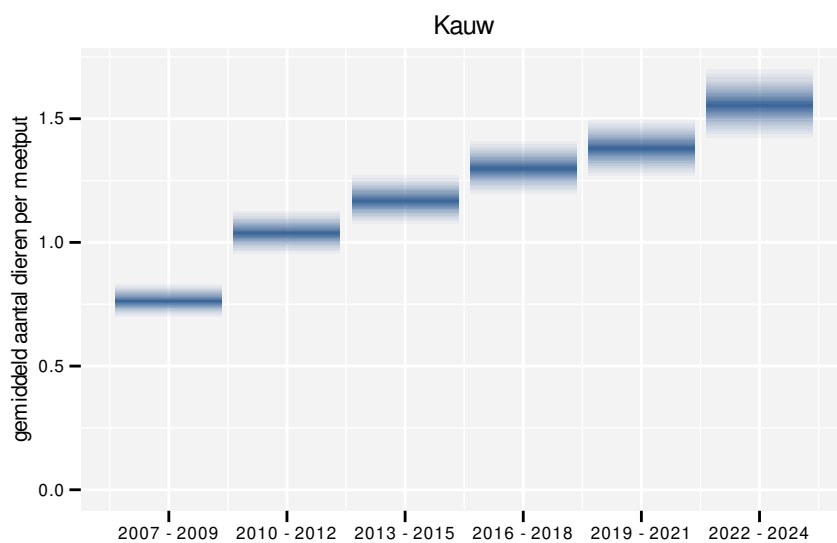
Figuur 55.2: Wijzigingen tussen jaren voor Kauw. Zie §3.1 voor een verklaring van de intervallen en §3.2 voor uitleg over de symbolen en referentielijnen.



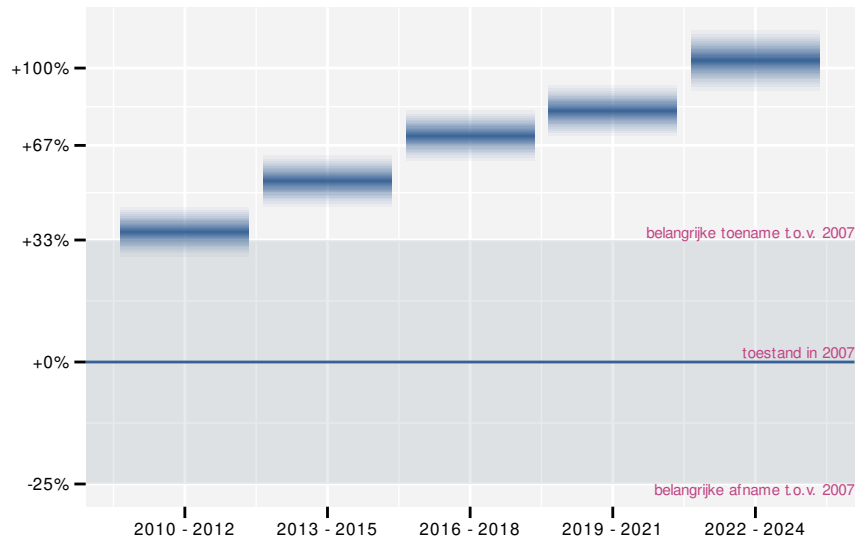
Figuur 55.3: Paarsgewijze vergelijking tussen jaren voor Kauw. Uitleg van de symbolen in tabel 3.1.

55.2 ANALYSE PER DRIEJAARLIJKSE CYCLUS

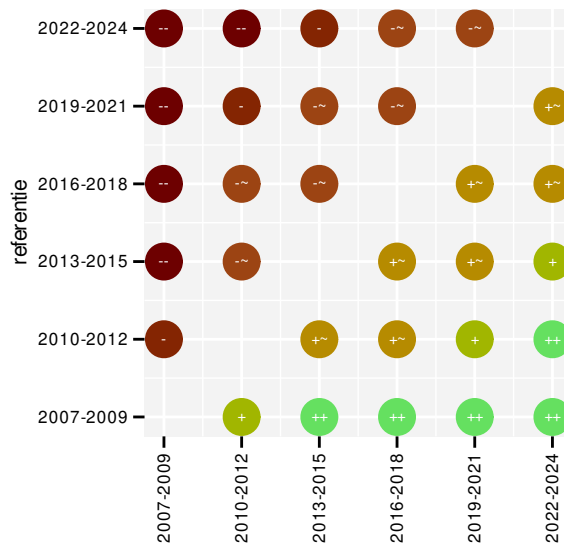
Op basis van driejaarlijkse gegevens zien we gemiddeld een sterke toename met +4.60% (+4.19%; +5.02%) per jaar of +105.3% (+92.7%; +118.9%) over de volledige looptijd van het meetnet. Deze trend is niet-lineair.



Figuur 55.4: Evolutie van het gemodelleerde gemiddeld aantal waargenomen dieren op een meetpunt voor Kauw tijdens de referentieperiode. Zie §3.1 voor een verklaring van de intervallen.



Figuur 55.5: Wijzigingen per driejarige cyclus voor Kauw. Zie §3.1 voor een verklaring van de intervallen en §3.2 voor uitleg over de symbolen en referentielijnen.



Figuur 55.6: Paarsgewijze vergelijking tussen driejarige cycli voor Kauw. Uitleg van de symbolen in tabel 3.1.

55.3 KENMERKEN VAN DE GEGEVENS

Tabel 55.1: Stratumgewicht, raming van het aantal hokken waarin de soort aanwezig is, aantal relevante hokken voor de analyse, aantal onderzochte hokken in het stratum, totaal aantal hokken van het stratum in Vlaanderen, aantal bezoeken aan een meetpunt en het gemiddeld aandeel relevante punten per hok voor Kauw (zie §2.5).

stratum	gewicht	aanwezig	relevant	onderzocht	totaal	bezoeken	punten
Landbouw	86.4%	4671.0	319	431	6311	20786	88.7%
Urbain	6.1%	329.9	69	87	416	4758	96.6%
Suburbaan	2.5%	136.0	46	68	201	2912	88.4%
Bos	1.8%	98.5	59	191	319	3050	62.4%
Heide en duin	1.8%	95.3	45	94	199	2449	70.7%
Moeras en water	1.4%	77.1	45	80	137	2308	68.9%

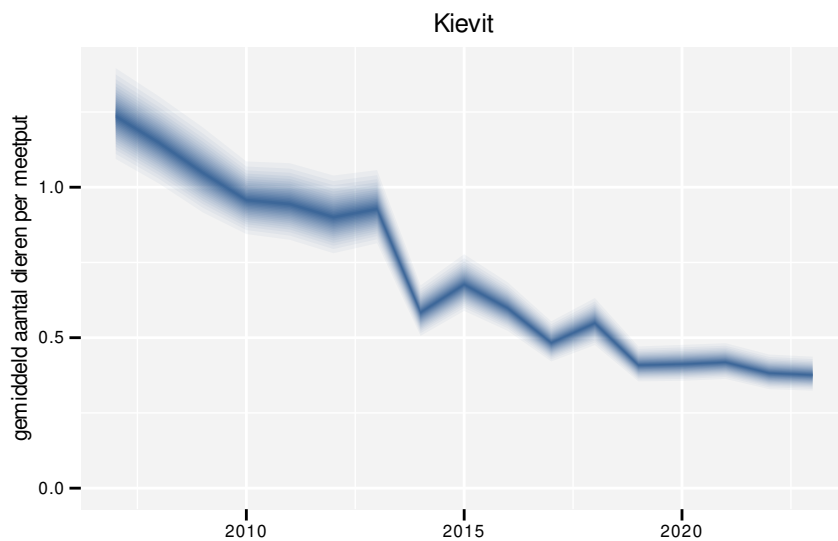
Tabel 55.2: Data-hashes van de analyses in het kader van traceerbaarheid (zie §4.3).

frequentie	model	analyse	status
jaarlijks	niet-lineair	0b5acdabcbd51350a3bf 41d5ce9a3b851ea2256e	15d327aae1cc84f15c98 535acbdf9b74645217e
jaarlijks	lineair	158124d17fb643b71044 55e0e65a799b56035f94	a5bf1b48ae92cead6367 65987b792d3715b74b25
driejaarlijks	niet-lineair	d6bb53c9858fddf17389 8cdcfa1cbf42f5d52c5c	26be8c03f00cff0952b0 f8da9bb422344ea542d8
driejaarlijks	lineair	0e512f5267893868c482 de2eaad7e086720f9da8	d03303db3c6219c54451 905681e93ee0ecee501a

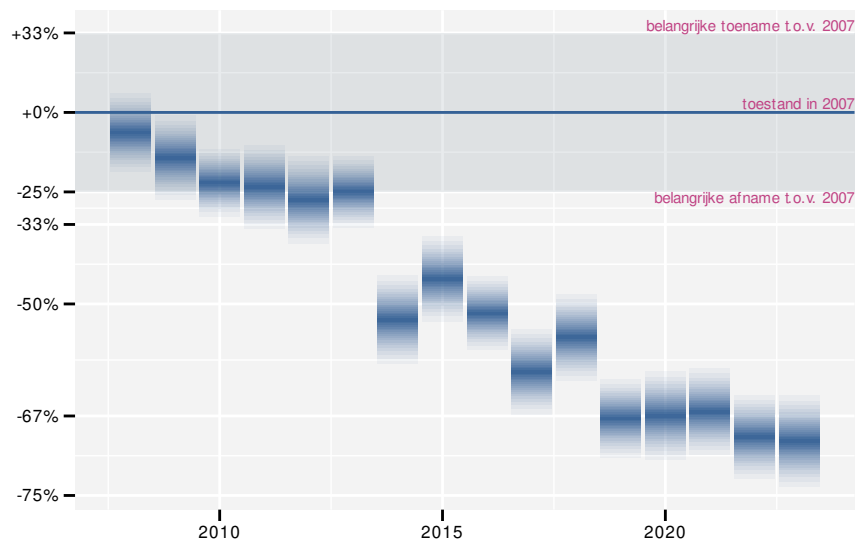
56 KIEVIT

56.1 ANALYSE PER JAAR

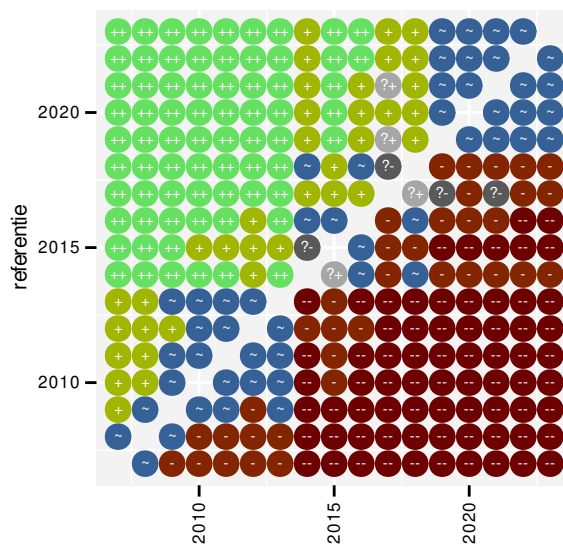
Op basis van jaarlijkse gegevens zien we gemiddeld een sterke afname met -7.8% (-8.3%; -7.3%) per jaar of -72.8% (-75.2%; -70.2%) over de volledige looptijd van het meetnet. Deze trend is niet-lineair.



Figuur 56.1: Evolutie van het gemodelleerde gemiddeld aantal waargenomen dieren op een meetpunt voor Kievit tijdens de referentieperiode. Zie §3.1 voor een verklaring van de intervallen.



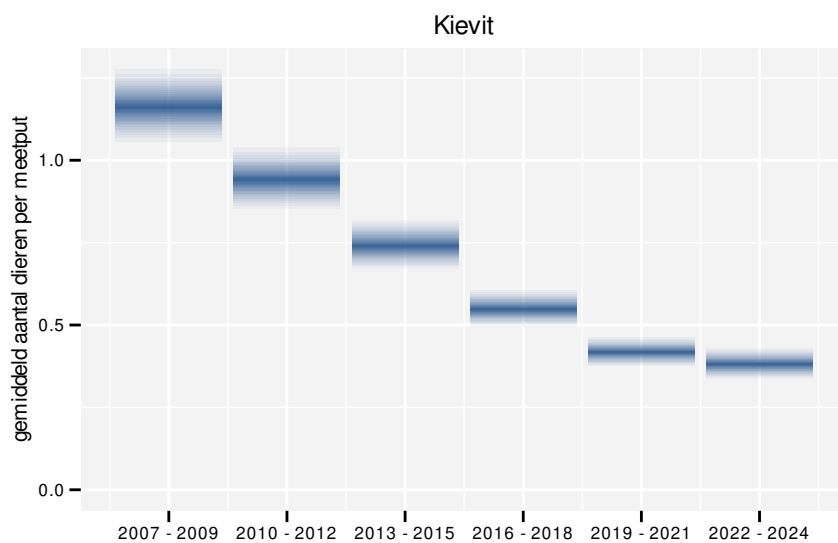
Figuur 56.2: Wijzigingen tussen jaren voor Kievit. Zie §3.1 voor een verklaring van de intervallen en §3.2 voor uitleg over de symbolen en referentielijnen.



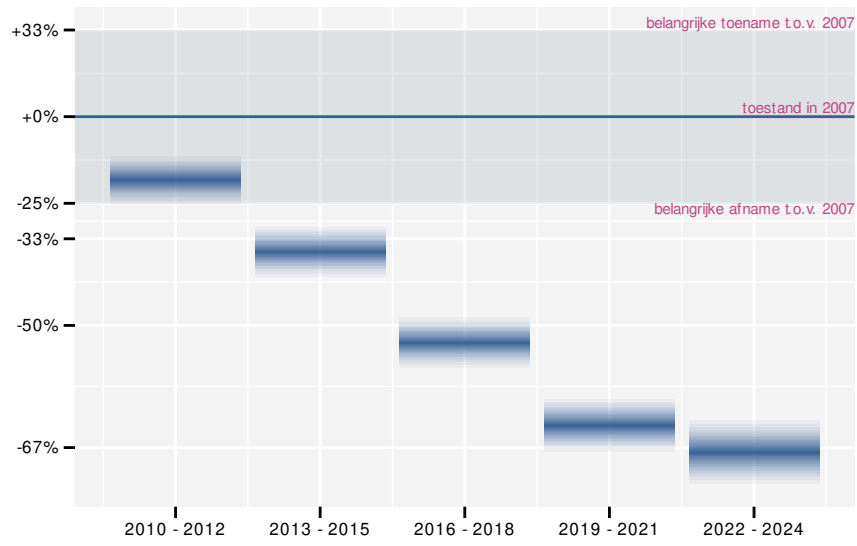
Figuur 56.3: Paarsgewijze vergelijking tussen jaren voor Kievit. Uitleg van de symbolen in tabel 3.1.

56.2 ANALYSE PER DRIEJAARLIJKSE CYCLUS

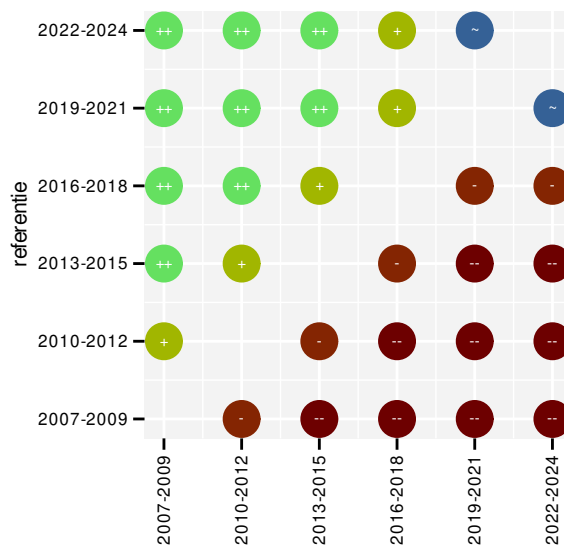
Op basis van driejaarlijkse gegevens zien we gemiddeld een sterke afname met -7.9% (-8.4%; -7.3%) per jaar of -73.0% (-75.4%; -70.4%) over de volledige looptijd van het meetnet. Deze trend is lineair.



Figuur 56.4: Evolutie van het gemodelleerde gemiddeld aantal waargenomen dieren op een meetpunt voor Kievit tijdens de referentieperiode. Zie §3.1 voor een verklaring van de intervallen.



Figuur 56.5: Wijzigingen per driejarige cyclus voor Kievit. Zie §3.1 voor een verklaring van de intervallen en §3.2 voor uitleg over de symbolen en referentielijnen.



Figuur 56.6: Paarsgewijze vergelijking tussen driejarige cycli voor Kievit. Uitleg van de symbolen in tabel 3.1.

56.3 KENMERKEN VAN DE GEGEVENS

Tabel 56.1: Stratumgewicht, raming van het aantal hokken waarin de soort aanwezig is, aantal relevante hokken voor de analyse, aantal onderzochte hokken in het stratum, totaal aantal hokken van het stratum in Vlaanderen, aantal bezoeken aan een meetpunt en het gemiddeld aandeel relevante punten per hok voor Kievit (zie §2.5).

stratum	gewicht	aanwezig	relevant	onderzocht	totaal	bezoeken	punten
Landbouw	96.6%	4509.9	308	431	6311	17427	77.3%
Moeras en water	1.0%	44.5	26	80	137	1303	65.4%
Heide en duin	0.7%	33.9	16	94	199	820	52.1%
Bos	0.6%	30.1	18	191	319	482	38.9%
Urbaan	0.6%	33.5	7	87	416	129	26.2%
Suburbaan	0.4%	23.6	8	68	201	279	58.3%

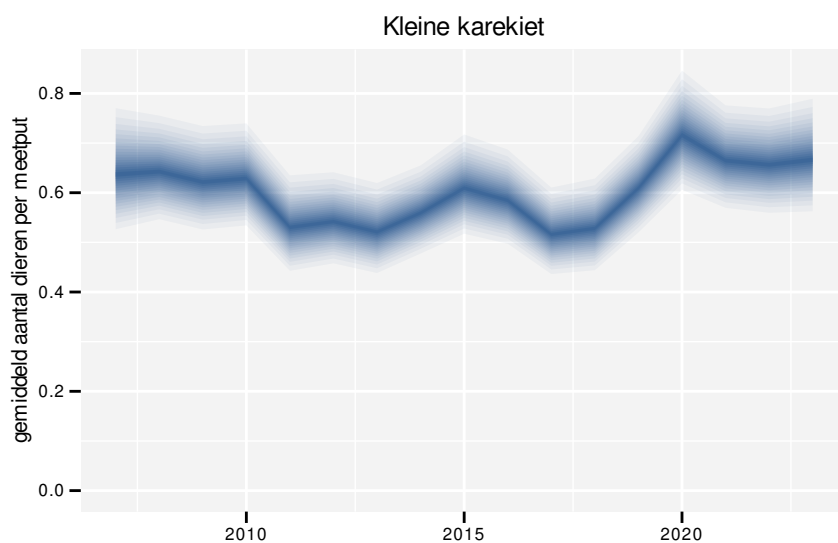
Tabel 56.2: Data-hashes van de analyses in het kader van traceerbaarheid (zie §4.3).

frequentie	model	analyse	status
jaarlijks	niet-lineair	7d2c893dd838a7fa3f6d 4b8afe098fb0ce38caf8	8b71d26926c9b7bff28c 3090e3c340d7fb3704b9
jaarlijks	lineair	349cf0269b4a6f2ef93d e480ebd03076c6cd074d	0fe58f2f14b805d7ad4e cb913d2a9dfacc9310a9
driejaarlijks	niet-lineair	35c8b84854c95e19ca73 d3e5d0a8420aa1bb80db	0aa96dc6bf07436ea8ae 2fad8f73ed77362af01d
driejaarlijks	lineair	d0a58ef27f487fbbccd3 0d7869a4a28f82cac2f5	314afd6b9615e8186ebf 5fb68b575f202ca47ccd

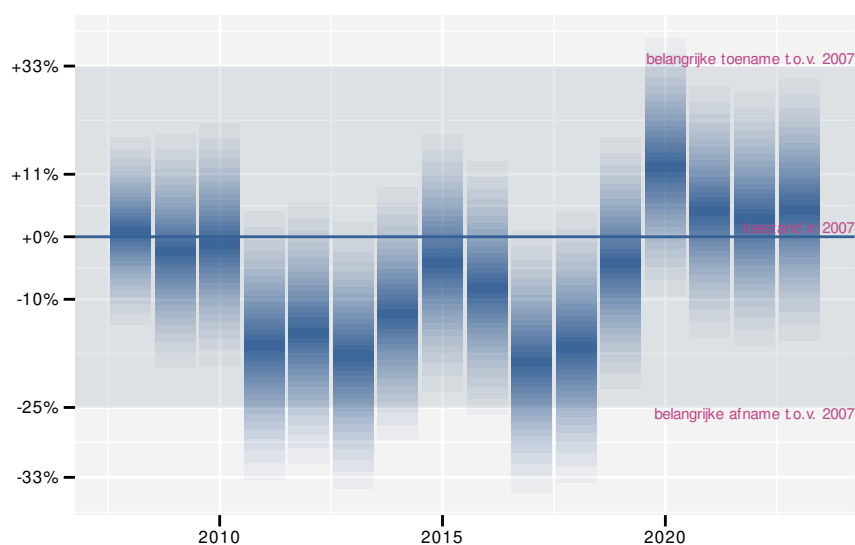
57 KLEINE KAREKIET

57.1 ANALYSE PER JAAR

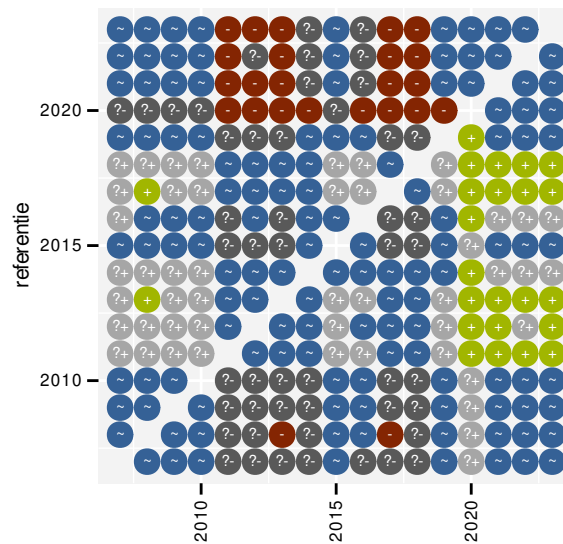
Op basis van jaarlijkse gegevens zien we gemiddeld een stabiele toestand. De trend blijft beperkt tot +0.68% (-0.36%; +1.75%) per jaar of +11% (-6%; +32%) over de volledige looptijd van het meetnet. Deze trend is niet-lineair.



Figuur 57.1: Evolutie van het gemodelleerde gemiddeld aantal waargenomen dieren op een meetpunt voor Kleine karekiet tijdens de referentieperiode. Zie §3.1 voor een verklaring van de intervallen.



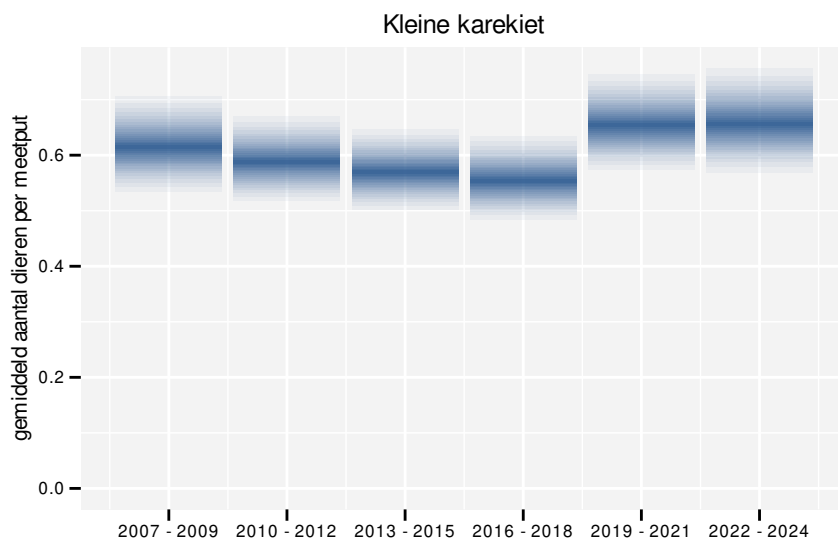
Figuur 57.2: Wijzigingen tussen jaren voor Kleine karekiet. Zie §3.1 voor een verklaring van de intervallen en §3.2 voor uitleg over de symbolen en referentielijnen.



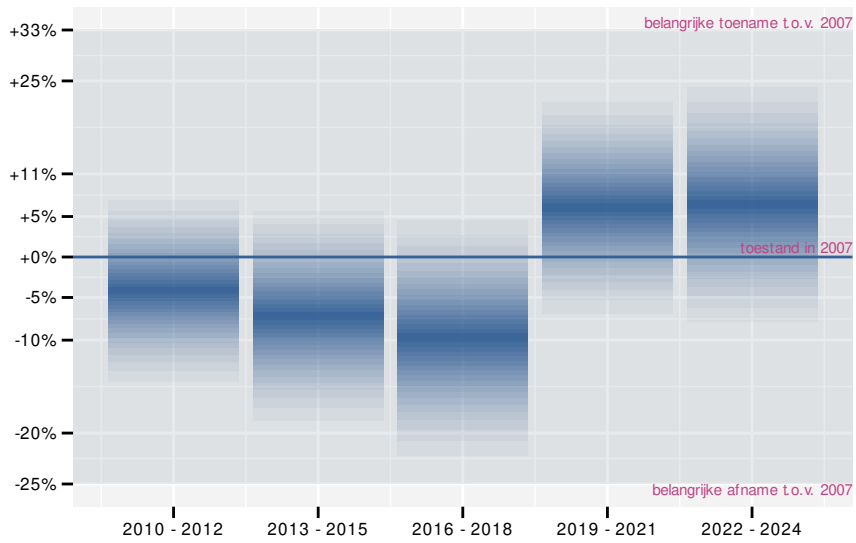
Figuur 57.3: Paarsgewijze vergelijking tussen jaren voor Kleine karekiet. Uitleg van de symbolen in tabel 3.1.

57.2 ANALYSE PER DRIEJAARLIJKSE CYCLUS

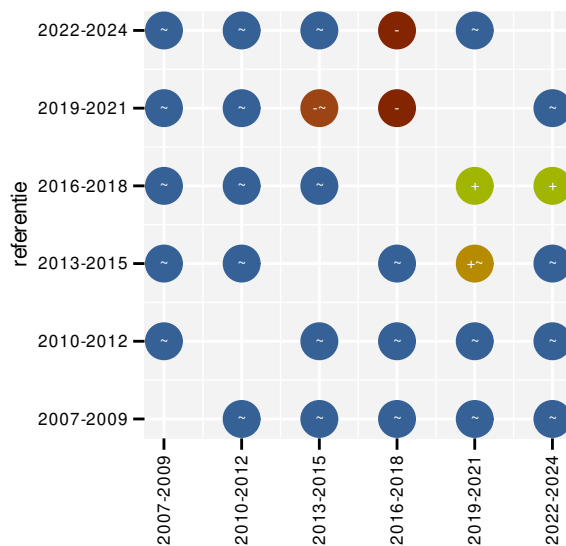
Op basis van driejaarlijkse gegevens zien we gemiddeld een stabiele toestand. De trend blijft beperkt tot +0.74% (-0.31%; +1.81%) per jaar of +13% (-5%; +33%) over de volledige looptijd van het meetnet. Deze trend is niet-lineair.



Figuur 57.4: Evolutie van het gemodelleerde gemiddeld aantal waargenomen dieren op een meetpunt voor Kleine karekiet tijdens de referentieperiode. Zie §3.1 voor een verklaring van de intervallen.



Figuur 57.5: Wijzigingen per driejarige cyclus voor Kleine karekiet. Zie §3.1 voor een verklaring van de intervallen en §3.2 voor uitleg over de symbolen en referentielijnen.



Figuur 57.6: Paarsgewijze vergelijking tussen driejarige cycli voor Kleine karekiet. Uitleg van de symbolen in tabel 3.1.

57.3 KENMERKEN VAN DE GEGEVENS

Tabel 57.1: Stratumgewicht, raming van het aantal hokken waarin de soort aanwezig is, aantal relevante hokken voor de analyse, aantal onderzochte hokken in het stratum, totaal aantal hokken van het stratum in Vlaanderen, aantal bezoeken aan een meetpunt en het gemiddeld aandeel relevante punten per hok voor Kleine karekiet (zie §2.5).

stratum	gewicht	aanwezig	relevant	onderzocht	totaal	bezoeken	punten
Landbouw	88.8%	863.9	59	431	6311	1972	59.0%
Moeras en water	7.0%	68.5	40	80	137	1400	65.0%
Suburbaan	2.1%	23.6	8	68	201	144	50.0%
Heide en duin	1.5%	16.9	8	94	199	137	37.5%
Bos	0.5%	6.7	4	191	319	119	37.5%

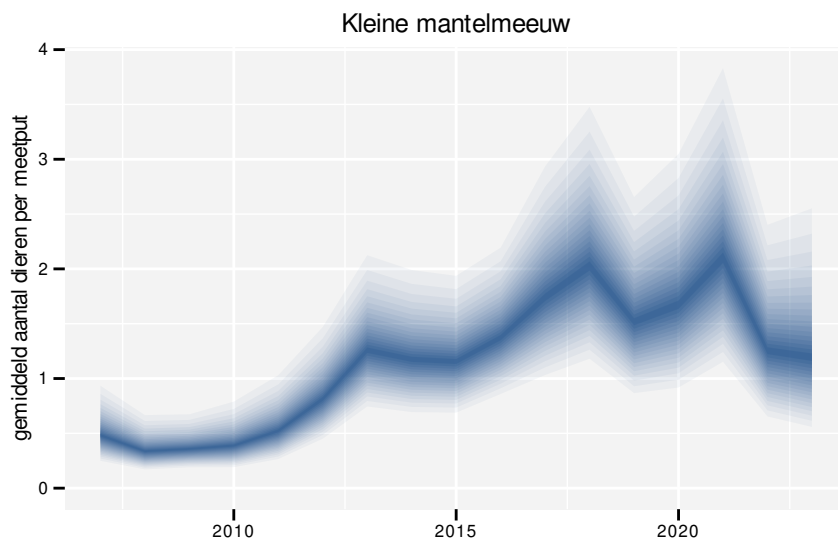
Tabel 57.2: Data-hashes van de analyses in het kader van traceerbaarheid (zie §4.3).

frequentie	model	analyse	status
jaarlijks	niet-lineair	85173b06048db8f63cb8 dfe0b3c19112bae29816	e707f558fb86fa34e518 30093d107fcd47364db9
jaarlijks	lineair	0967f5345f27b53d7a38 0b08472c2478d7822c15	2cc82dd042650545eabc ffff2321ee4b14af464e
driejaarlijks	niet-lineair	1549427c59a4a13c2648 5a770e8230d66a8d8220	5d9aaf23cda71ac314ae 4b6762b3805c33fbddc8
driejaarlijks	lineair	8f59452aa3db35358ce6 ceca6e899cadb572dad3	dcd93b5428328bfc4ac9 7a71b2d31b46d55f0307

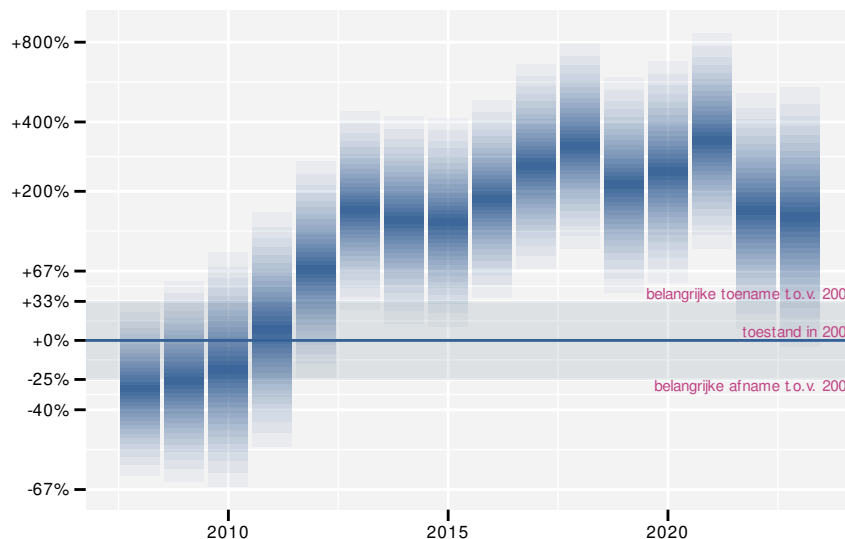
58 KLEINE MANTELMEEUW

58.1 ANALYSE PER JAAR

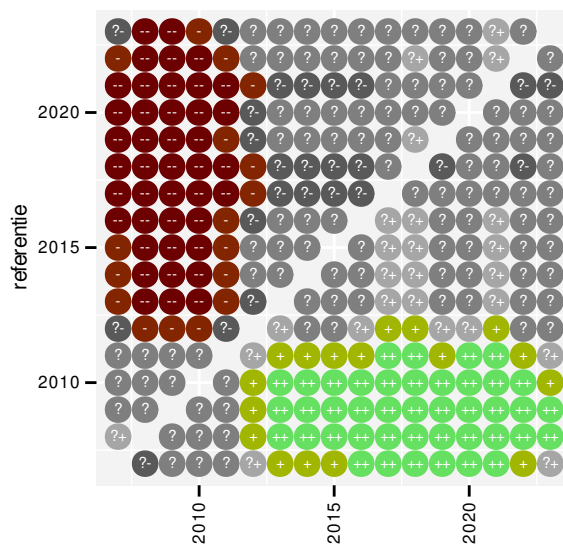
Op basis van jaarlijkse gegevens zien we gemiddeld een sterke toename met +12.2% (+7.0%; +17.7%) per jaar of +530% (+200%; +1260%) over de volledige looptijd van het meetnet. Deze trend is niet-lineair.



Figuur 58.1: Evolutie van het gemodelleerde gemiddeld aantal waargenomen dieren op een meetpunt voor Kleine mantelmeeuw tijdens de referentieperiode. Zie §3.1 voor een verklaring van de intervallen.



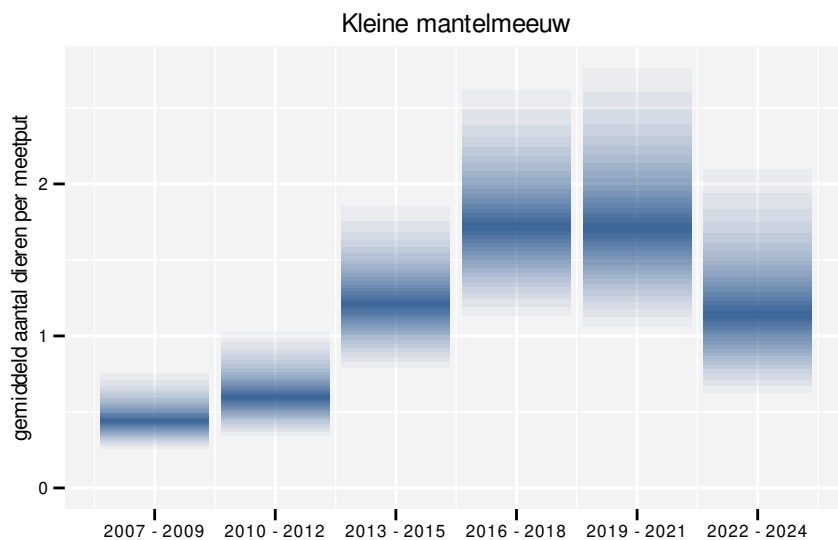
Figuur 58.2: Wijzigingen tussen jaren voor Kleine mantelmeeuw. Zie §3.1 voor een verklaring van de intervallen en §3.2 voor uitleg over de symbolen en referentielijnen.



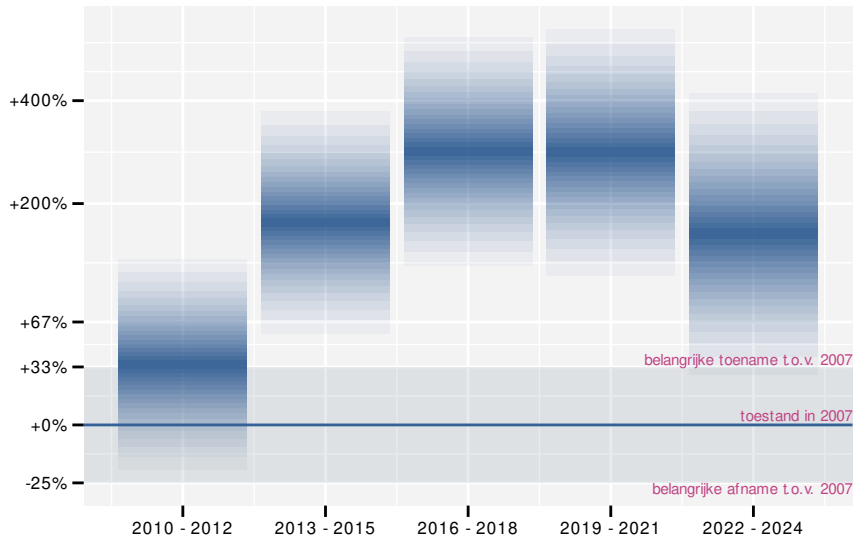
Figuur 58.3: Paarsgewijze vergelijking tussen jaren voor Kleine mantelmeeuw. Uitleg van de symbolen in tabel 3.1.

58.2 ANALYSE PER DRIEJAARLIJKSE CYCLUS

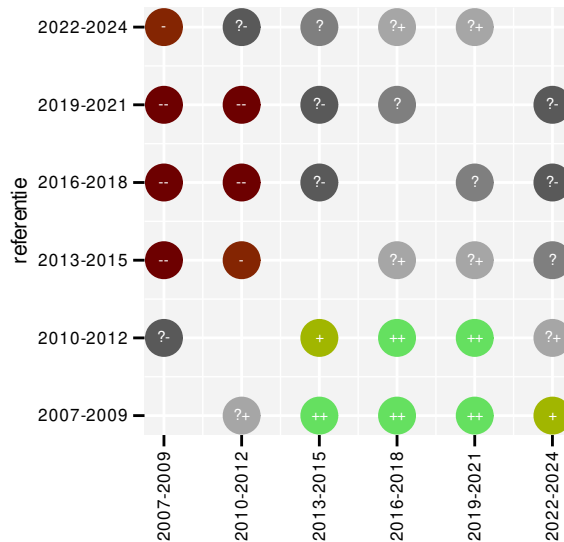
Op basis van driejaarlijkse gegevens zien we gemiddeld een sterke toename met +11.6% (+6.4%; +17.1%) per jaar of +480% (+169%; +1151%) over de volledige looptijd van het meetnet. Deze trend is niet-lineair.



Figuur 58.4: Evolutie van het gemodelleerde gemiddeld aantal waargenomen dieren op een meetpunt voor Kleine mantelmeeuw tijdens de referentieperiode. Zie §3.1 voor een verklaring van de intervallen.



Figuur 58.5: Wijzigingen per driejarige cyclus voor Kleine mantelmeeuw. Zie §3.1 voor een verklaring van de intervallen en §3.2 voor uitleg over de symbolen en referentielijnen.



Figuur 58.6: Paarsgewijze vergelijking tussen driejarige cycli voor Kleine mantelmeeuw. Uitleg van de symbolen in tabel 3.1.

58.3 KENMERKEN VAN DE GEGEVENS

Tabel 58.1: Stratumgewicht, raming van het aantal hokken waarin de soort aanwezig is, aantal relevante hokken voor de analyse, aantal onderzochte hokken in het stratum, totaal aantal hokken van het stratum in Vlaanderen, aantal bezoeken aan een meetpunt en het gemiddeld aandeel relevante punten per hok voor Kleine mantelmeeuw (zie §2.5).

stratum	gewicht	aanwezig	relevant	onderzocht	totaal	bezoeken	punten
Landbouw	87.0%	205.0	14	431	6311	681	59.5%
Moeras en water	8.0%	18.8	11	80	137	518	59.1%
Suburbaan	5.0%	14.8	5	68	201	174	40.0%

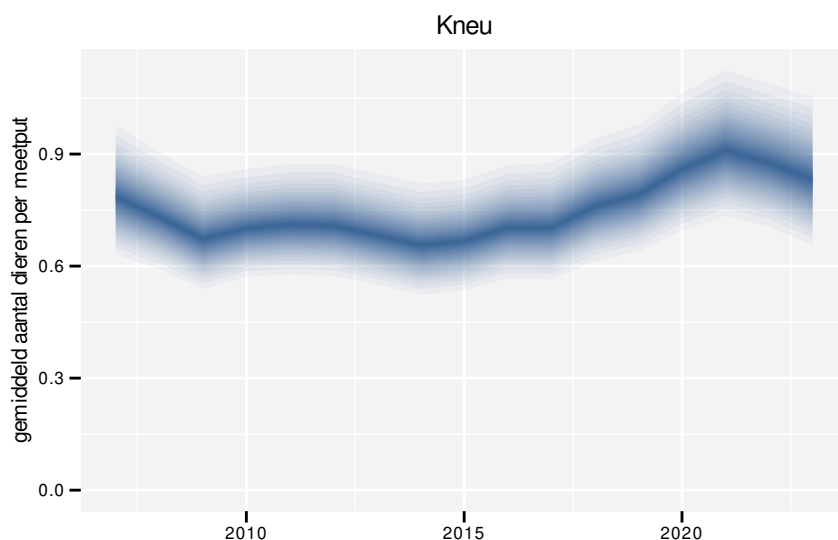
Tabel 58.2: Data-hashes van de analyses in het kader van traceerbaarheid (zie §4.3).

frequentie	model	analyse	status
jaarlijks	niet-lineair	f49efa5cfe4556b8fb94 c8d453bfe7f1bed9e20f	a76f4070b11456db50fb be50e7e756fdbfa2eaf3
jaarlijks	lineair	b936cdc59cbb73d004d7 ac34534f4faac4d353ad	94e33c0a825938027e76 7c28c129f6b102beba75
driejaarlijks	niet-lineair	ab4f595ca442b2689391 afe3d2025eedacc1aa2c	3aa5b6f0f3c90274ab7f 9415fd7360d7127bc951
driejaarlijks	lineair	834b1cea6ebb419aa330 dcbe46f4e63f1f23745c	fc7dfcd7a43301c437f8 6bcd2f9b6fe8ba9569ed

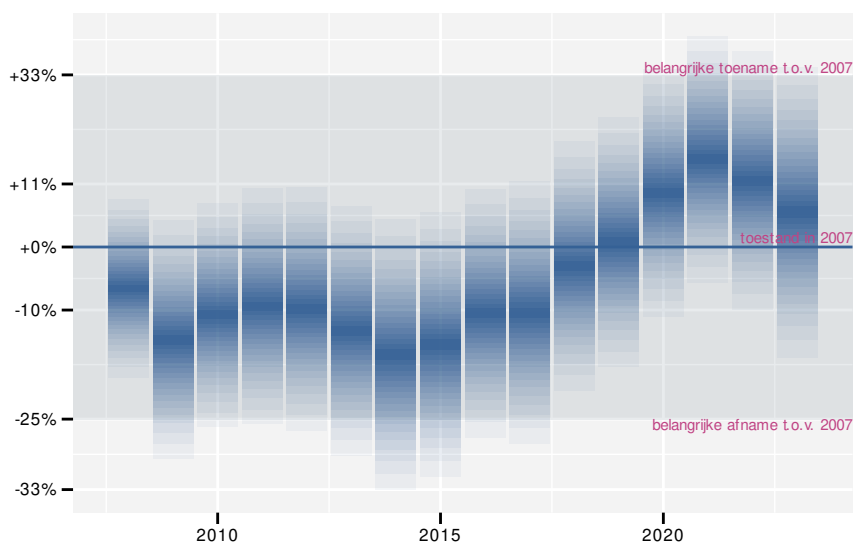
59 KNEU

59.1 ANALYSE PER JAAR

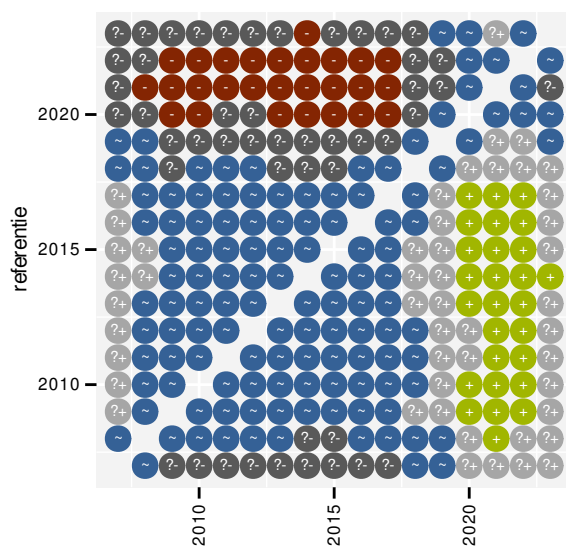
Op basis van jaarlijkse gegevens zien we gemiddeld een mogelijke toename met +1.1% (-0.1%; +2.3%) per jaar of +18% (-2%; +43%) over de volledige looptijd van het meetnet. Deze trend is lineair.



Figuur 59.1: Evolutie van het gemodelleerde gemiddeld aantal waargenomen dieren op een meetpunt voor Kneu tijdens de referentieperiode. Zie §3.1 voor een verklaring van de intervallen.



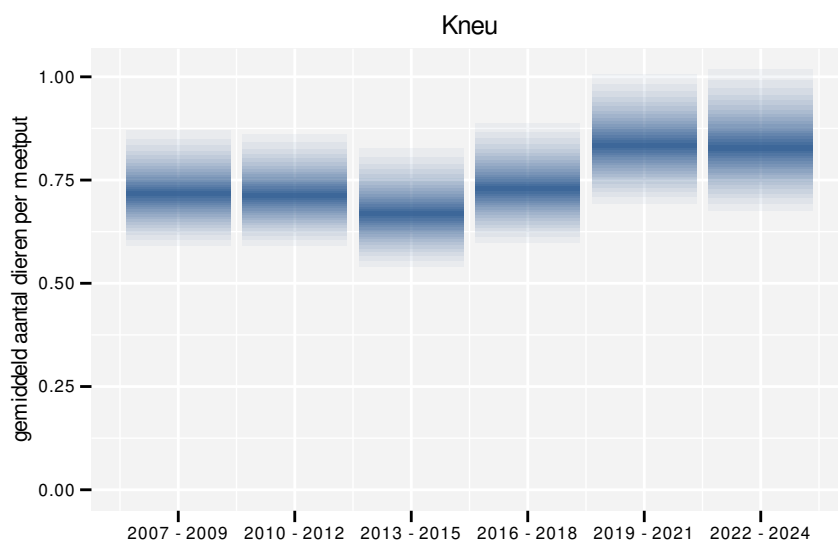
Figuur 59.2: Wijzigingen tussen jaren voor Kneu. Zie §3.1 voor een verklaring van de intervallen en §3.2 voor uitleg over de symbolen en referentielijnen.



Figuur 59.3: Paarsgewijze vergelijking tussen jaren voor Kneu. Uitleg van de symbolen in tabel 3.1.

59.2 ANALYSE PER DRIEJAARLIJKSE CYCLUS

Op basis van driejaarlijkse gegevens zien we gemiddeld een mogelijke toename met +1.2% (-0.1%; +2.4%) per jaar of +20% (-1%; +46%) over de volledige looptijd van het meetnet. Deze trend is lineair.



Figuur 59.4: Evolutie van het gemodelleerde gemiddeld aantal waargenomen dieren op een meetpunt voor Kneu tijdens de referentieperiode. Zie §3.1 voor een verklaring van de intervallen.

frequentie	model	analyse	status
driejaarlijks	lineair	a778f23a229c2faa756e a3347694bf1382fc084f	fc5d4df58ad85b8d7541 3dfc7c190fe3fe00efa2

Tabel 59.1: Stratumgewicht, raming van het aantal hokken waarin de soort aanwezig is, aantal relevante hokken voor de analyse, aantal onderzochte hokken in het stratum, totaal aantal hokken van het stratum in Vlaanderen, aantal bezoeken aan een meetpunt en het gemiddeld aandeel relevante punten per hok voor Kneu (zie §2.5).

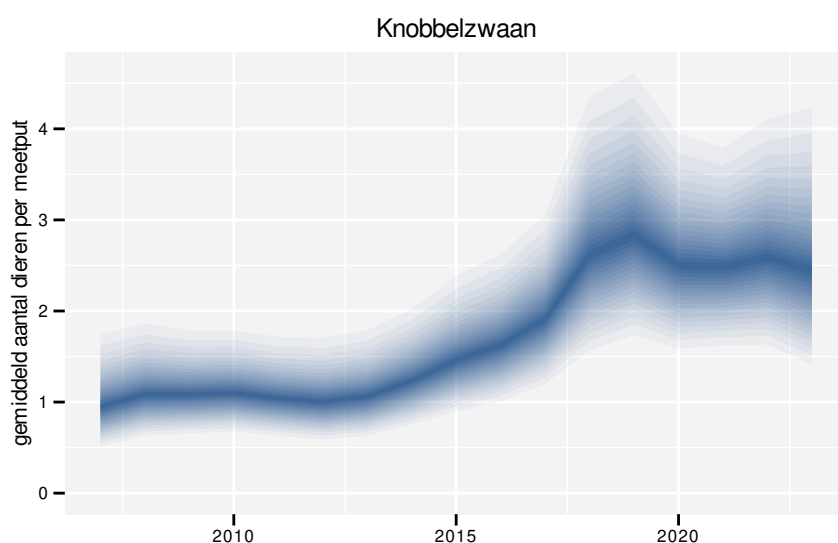
stratum	gewicht	aanwezig	relevant	onderzocht	totaal	bezoeken	punten
Landbouw	92.7%	1991.4	136	431	6311	6498	59.4%
Heide en duin	4.0%	86.8	41	94	199	1719	63.0%
Suburbaan	1.5%	35.5	12	68	201	365	48.6%
Moeras en water	1.0%	22.3	13	80	137	494	50.0%
Bos	0.7%	15.0	9	191	319	421	40.7%



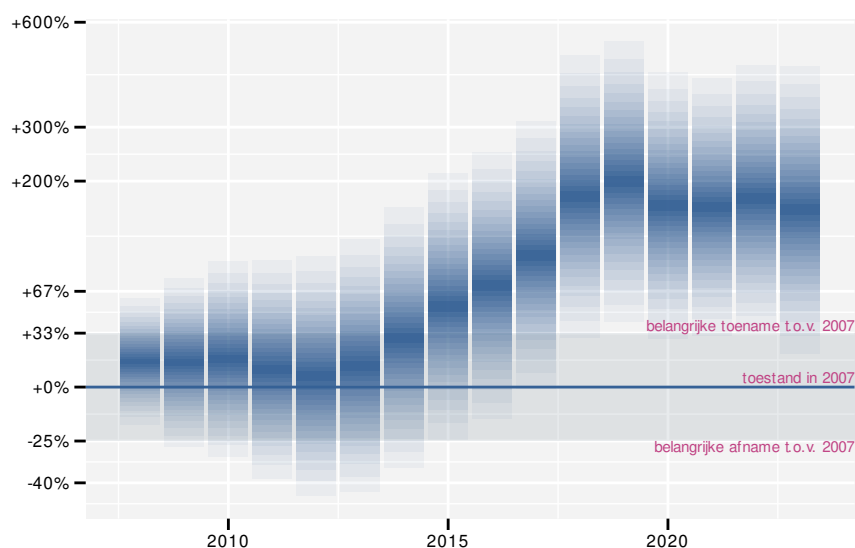
60 KNOBBELZWAAN

60.1 ANALYSE PER JAAR

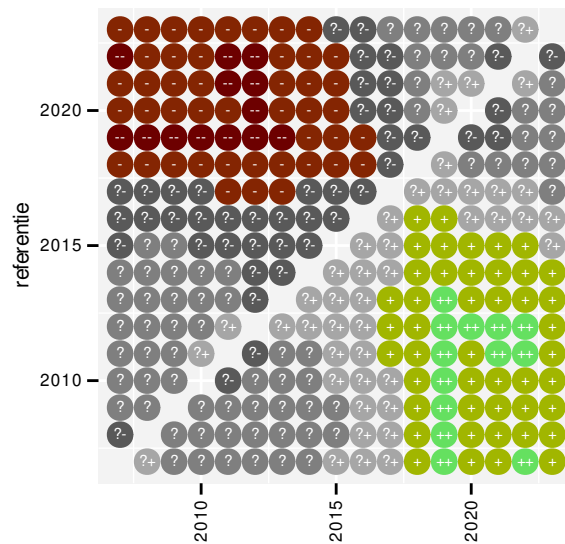
Op basis van jaarlijkse gegevens zien we gemiddeld een onduidelijk met +4.1% (-2.8%; +11.6%) per jaar of +90% (-40%; +480%) over de volledige looptijd van het meetnet. Deze trend is niet-lineair.



Figuur 60.1: Evolutie van het gemodelleerde gemiddeld aantal waargenomen dieren op een meetpunt voor Knobbelzwaan tijdens de referentieperiode. Zie §3.1 voor een verklaring van de intervallen.



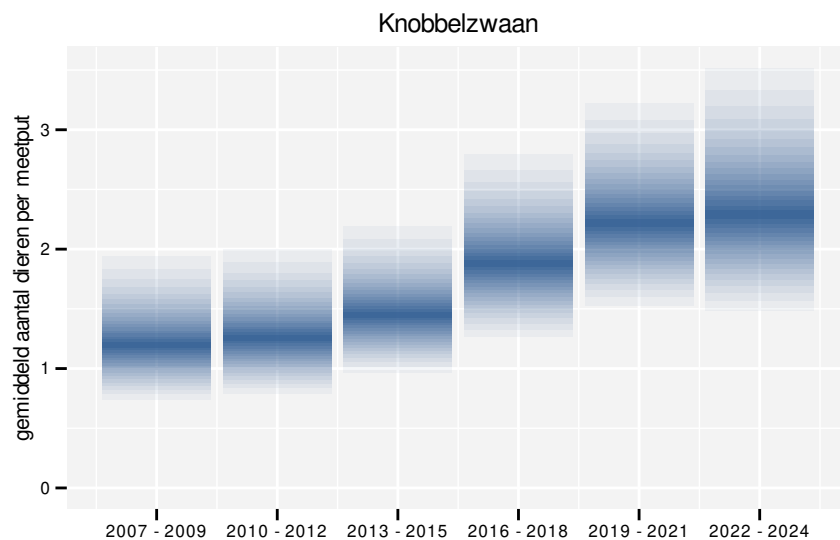
Figuur 60.2: Wijzigingen tussen jaren voor Knobbelzwaan. Zie §3.1 voor een verklaring van de intervallen en §3.2 voor uitleg over de symbolen en referentielijnen.



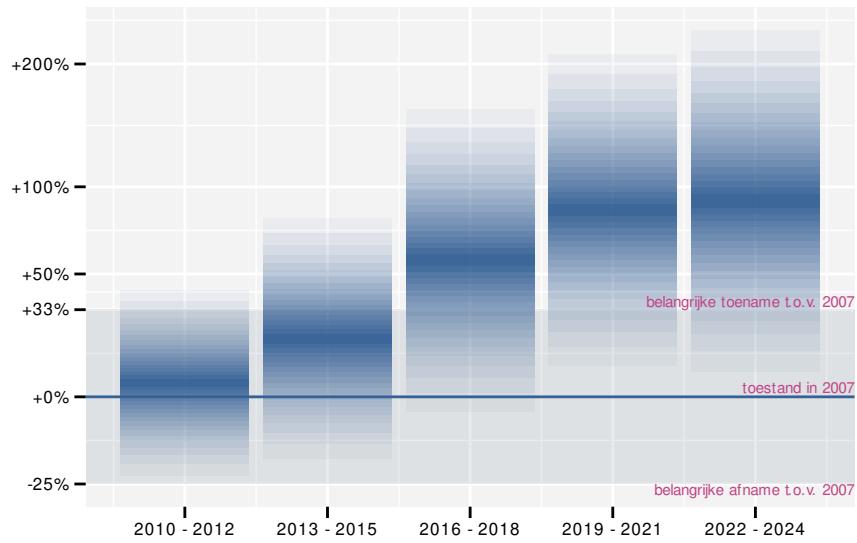
Figuur 60.3: Paarsgewijze vergelijking tussen jaren voor Knobelzwaan. Uitleg van de symbolen in tabel 3.1.

60.2 ANALYSE PER DRIEJAARLIJKSE CYCLUS

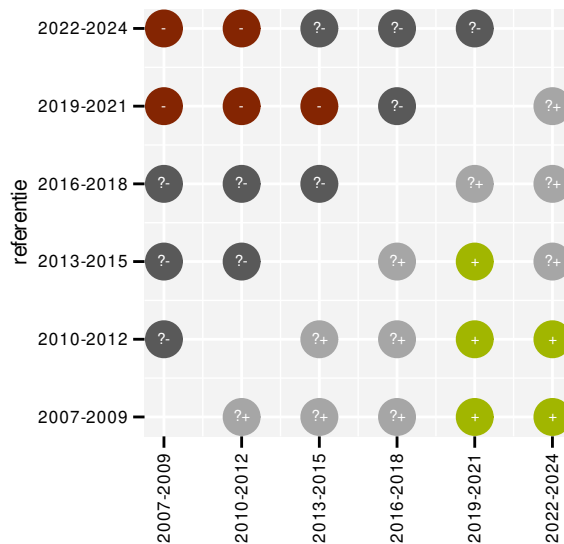
Op basis van driejaarlijkse gegevens zien we gemiddeld een onduidelijk met +4.0% (-2.3%; +10.6%) per jaar of +90% (-30%; +400%) over de volledige looptijd van het meetnet. Deze trend is mogelijk niet-lineair.



Figuur 60.4: Evolutie van het gemodelleerde gemiddeld aantal waargenomen dieren op een meetpunt voor Knobelzwaan tijdens de referentieperiode. Zie §3.1 voor een verklaring van de intervallen.



Figuur 60.5: Wijzigingen per driejarige cyclus voor Knobbelzwaan. Zie §3.1 voor een verklaring van de intervallen en §3.2 voor uitleg over de symbolen en referentielijnen.



Figuur 60.6: Paarsgewijze vergelijking tussen driejarige cycli voor Knobbelzwaan. Uitleg van de symbolen in tabel 3.1.

60.3 KENMERKEN VAN DE GEGEVENS

Tabel 60.1: Stratumgewicht, raming van het aantal hokken waarin de soort aanwezig is, aantal relevante hokken voor de analyse, aantal onderzochte hokken in het stratum, totaal aantal hokken van het stratum in Vlaanderen, aantal bezoeken aan een meetpunt en het gemiddeld aandeel relevante punten per hok voor Knobbelzwaan (zie §2.5).

stratum	gewicht	aanwezig	relevant	onderzocht	totaal	bezoeken	punten
Landbouw	46.6%	58.6	4	431	6311	84	33.3%
Moeras en water	40.0%	37.7	22	80	137	905	48.5%
Heide en duin	13.5%	14.8	7	94	199	219	38.1%

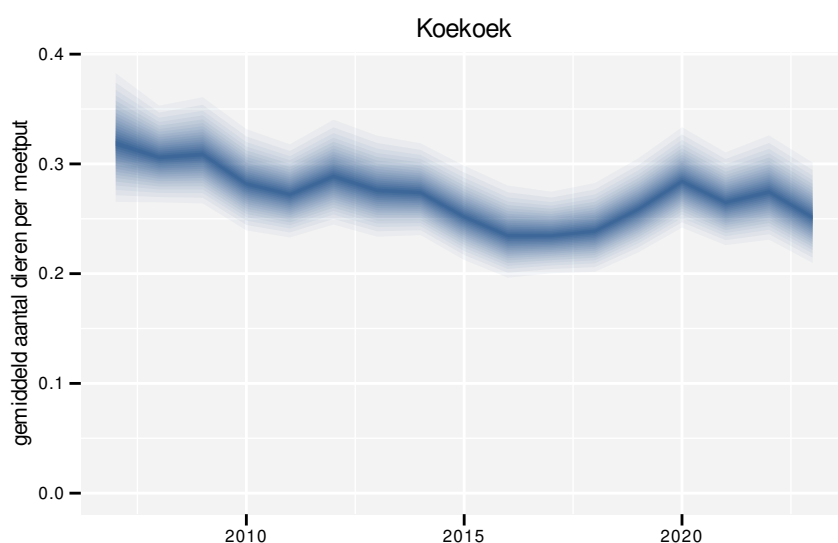
Tabel 60.2: Data-hashes van de analyses in het kader van traceerbaarheid (zie §4.3).

frequentie	model	analyse	status
jaarlijks	niet-lineair	1d3040369be132a7b07c 2419f228df0f39d1c412	713ca5f35ae63590b5c9 50b8d7d6d197a663b791
jaarlijks	lineair	b9ef6f703d400d3c12a8 3741282cb586fb487068	258a3ac3844d4dfbd8e1 989bf6ce8b7971514e3c
driejaarlijks	niet-lineair	043a0a066959ae3511b4 bbc3486da55865ad7886	956afb81de1ff61a1f31 1f9defe72c86762639a0
driejaarlijks	lineair	8a95181984c97cefdb31 109d1eafdb171a213176	ae4e5769158bf85b4638 a274bbccf493595ff7c0

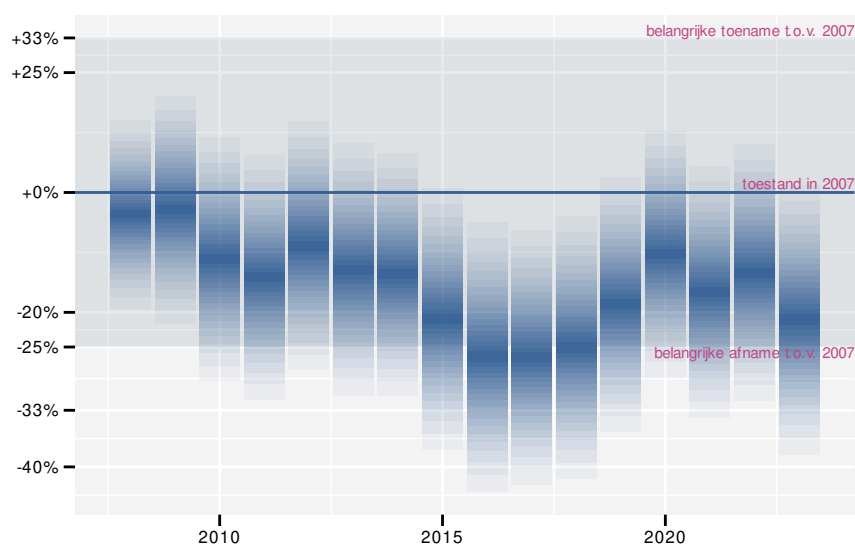
61 KOEKOEK

61.1 ANALYSE PER JAAR

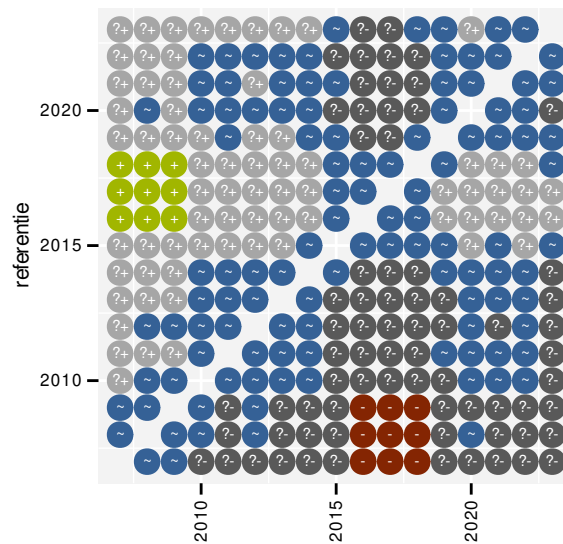
Op basis van jaarlijkse gegevens zien we gemiddeld een afname met -1.4% (-2.5%; -0.2%) per jaar of -20% (-34%; -3%) over de volledige looptijd van het meetnet. Deze trend is niet-lineair.



Figuur 61.1: Evolutie van het gemodelleerde gemiddeld aantal waargenomen dieren op een meetpunt voor Koekeek tijdens de referentieperiode. Zie §3.1 voor een verklaring van de intervallen.



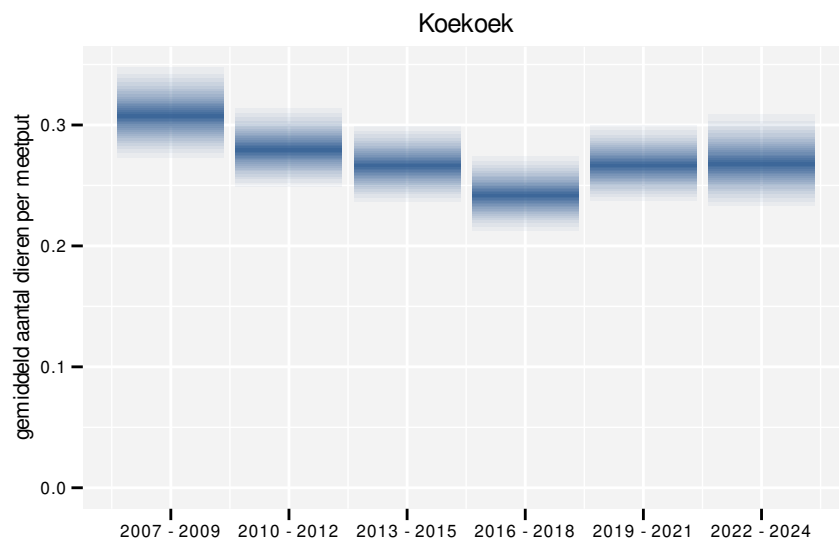
Figuur 61.2: Wijzigingen tussen jaren voor Koekeek. Zie §3.1 voor een verklaring van de intervallen en §3.2 voor uitleg over de symbolen en referentielijnen.



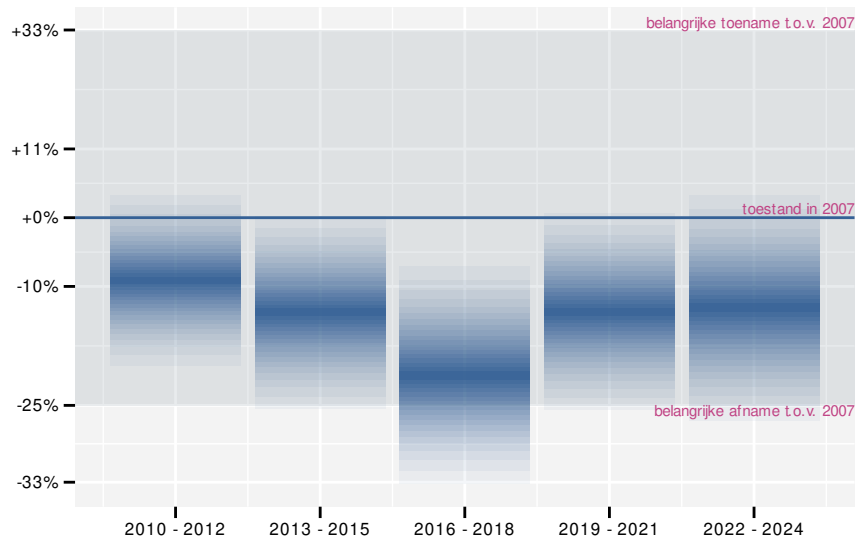
Figuur 61.3: Paarsgewijze vergelijking tussen jaren voor Koekoek. Uitleg van de symbolen in tabel 3.1.

61.2 ANALYSE PER DRIEJAARLIJKSE CYCLUS

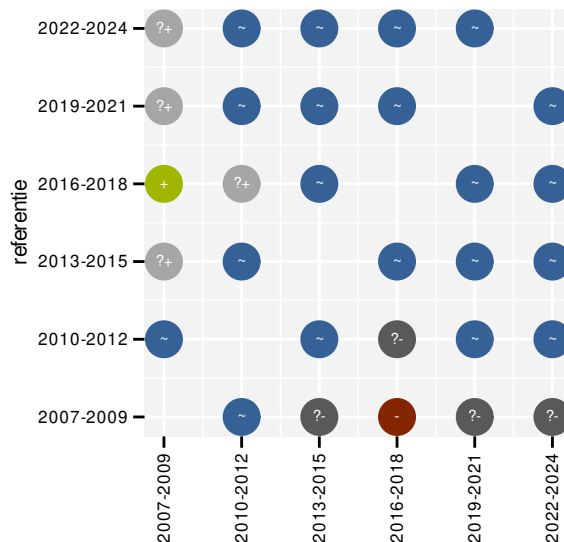
Op basis van driejaarlijkse gegevens zien we gemiddeld een afname met -1.4% (-2.6% ; -0.2%) per jaar of -20% (-34% ; -4%) over de volledige looptijd van het meetnet. Deze trend is niet-lineair.



Figuur 61.4: Evolutie van het gemodelleerde gemiddeld aantal waargenomen dieren op een meetpunt voor Koekoek tijdens de referentieperiode. Zie §3.1 voor een verklaring van de intervallen.



Figuur 61.5: Wijzigingen per driejarige cyclus voor Koekoek. Zie §3.1 voor een verklaring van de intervallen en §3.2 voor uitleg over de symbolen en referentielijnen.



Figuur 61.6: Paarsgewijze vergelijking tussen driejarige cycli voor Koekoek. Uitleg van de symbolen in tabel 3.1.

61.3 KENMERKEN VAN DE GEGEVENS

Tabel 61.1: Stratumgewicht, raming van het aantal hokken waarin de soort aanwezig is, aantal relevante hokken voor de analyse, aantal onderzochte hokken in het stratum, totaal aantal hokken van het stratum in Vlaanderen, aantal bezoeken aan een meetpunt en het gemiddeld aandeel relevante punten per hok voor Koekoek (zie §2.5).

stratum	gewicht	aanwezig	relevant	onderzocht	totaal	bezoeken	punten
Landbouw	87.6%	1581.4	108	431	6311	3672	61.1%
Heide en duin	5.2%	93.1	44	94	199	1347	58.0%
Moeras en water	3.5%	63.4	37	80	137	1321	67.6%
Bos	3.0%	53.4	32	191	319	1259	69.3%
Suburbaan	0.8%	17.7	6	68	201	119	41.7%

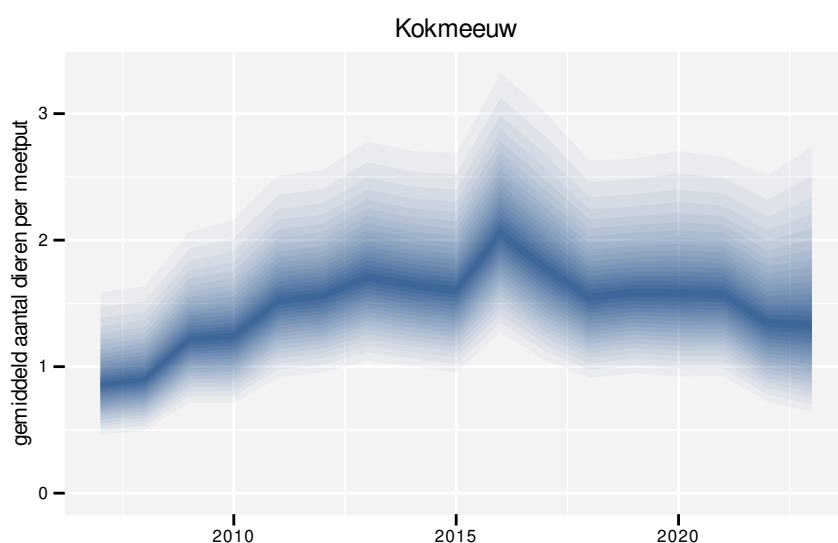
Tabel 61.2: Data-hashes van de analyses in het kader van traceerbaarheid (zie §4.3).

frequentie	model	analyse	status
jaarlijks	niet-lineair	d7dda403d507084ed05c c1b9bf6c65829da6a22c	afc0baea449e33ba08a3 3610c68093b43e07f4d7
jaarlijks	lineair	b0678c8ed27558036a4a 3cae163928976d19a479	c5524b6a5f71b4edc482 23c56d34aa56d30f7289
driejaarlijks	niet-lineair	b5a8ca74a9ef56a34ad2 3829ba7cbaeb8006223a	06d84a0fa740748affad 82b60000a78b5f75a6fd
driejaarlijks	lineair	fd41c8aaac996261aae6 dfd0cf486f8cdb008a6b	d9467c8ca1b2d943b4b9 97cadedc960f937cdf83

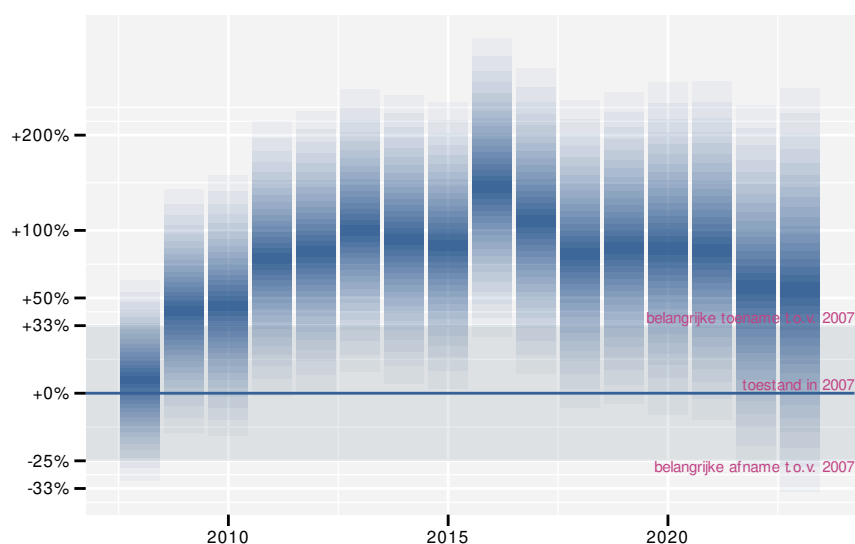
62 KOKMEEUW

62.1 ANALYSE PER JAAR

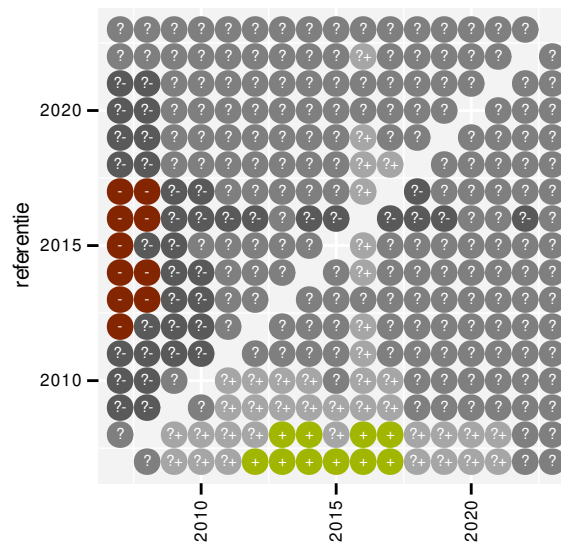
Op basis van jaarlijkse gegevens zien we gemiddeld een mogelijke toename met +3.9% (-0.8%; +8.8%) per jaar of +80% (-10%; +290%) over de volledige looptijd van het meetnet. Deze trend is niet-lineair.



Figuur 62.1: Evolutie van het gemodelleerde gemiddeld aantal waargenomen dieren op een meetpunt voor Kokmeeuw tijdens de referentieperiode. Zie §3.1 voor een verklaring van de intervallen.



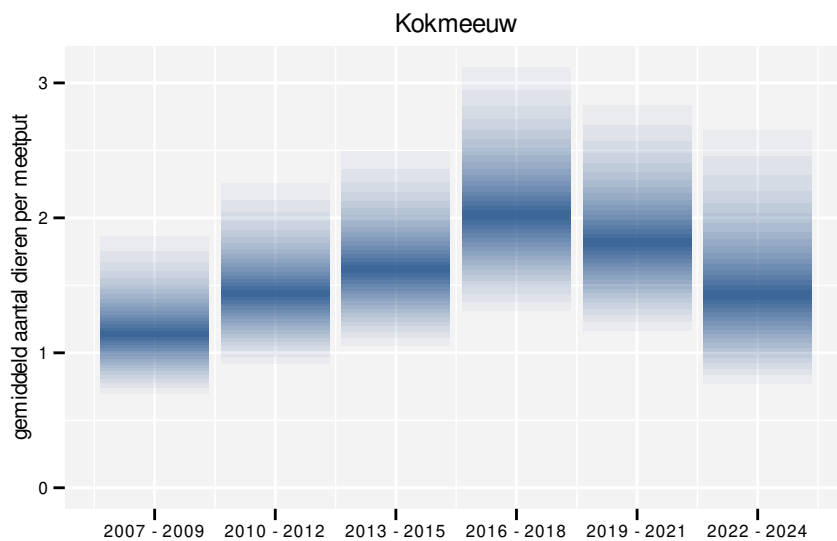
Figuur 62.2: Wijzigingen tussen jaren voor Kokmeeuw. Zie §3.1 voor een verklaring van de intervallen en §3.2 voor uitleg over de symbolen en referentielijnen.



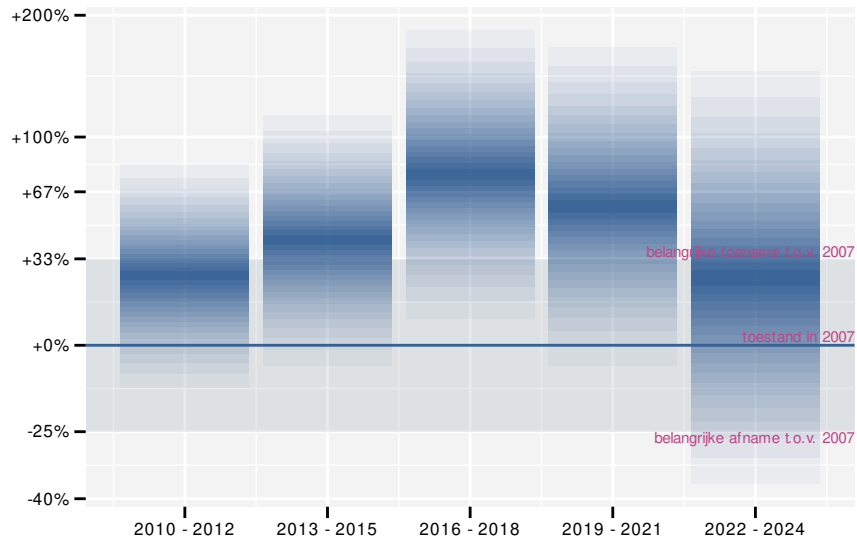
Figuur 62.3: Paarsgewijze vergelijking tussen jaren voor Kokmeeuw. Uitleg van de symbolen in tabel 3.1.

62.2 ANALYSE PER DRIEJAARLIJKSE CYCLUS

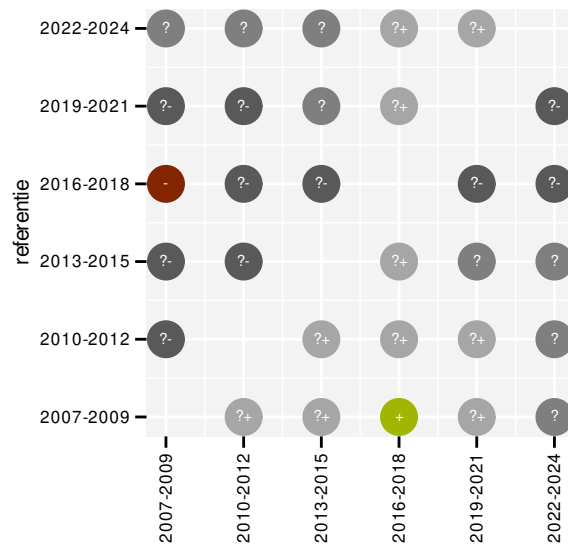
Op basis van driejaarlijkse gegevens zien we gemiddeld een mogelijke toename met +4.1% (-0.6%; +8.9%) per jaar of +90% (-10%; +290%) over de volledige looptijd van het meetnet. Deze trend is niet-lineair.



Figuur 62.4: Evolutie van het gemodelleerde gemiddeld aantal waargenomen dieren op een meetpunt voor Kokmeeuw tijdens de referentieperiode. Zie §3.1 voor een verklaring van de intervallen.



Figuur 62.5: Wijzigingen per driejarige cyclus voor Kokmeeuw. Zie §3.1 voor een verklaring van de intervallen en §3.2 voor uitleg over de symbolen en referentielijnen.



Figuur 62.6: Paarsgewijze vergelijking tussen driejarige cycli voor Kokmeeuw. Uitleg van de symbolen in tabel 3.1.

62.3 KENMERKEN VAN DE GEGEVENS

Tabel 62.1: Stratumgewicht, raming van het aantal hokken waarin de soort aanwezig is, aantal relevante hokken voor de analyse, aantal onderzochte hokken in het stratum, totaal aantal hokken van het stratum in Vlaanderen, aantal bezoeken aan een meetpunt en het gemiddeld aandeel relevante punten per hok voor Kokmeeuw (zie §2.5).

stratum	gewicht	aanwezig	relevant	onderzocht	totaal	bezoeken	punten
Landbouw	82.3%	424.6	29	431	6311	1153	57.5%
Moeras en water	5.6%	30.8	18	80	137	865	63.9%
Suburbaan	4.6%	26.6	9	68	201	454	55.6%
Heide en duin	3.7%	19.1	9	94	199	493	64.8%
Urbaan	2.8%	19.1	4	87	416	142	50.0%
Bos	1.0%	6.7	4	191	319	232	41.7%

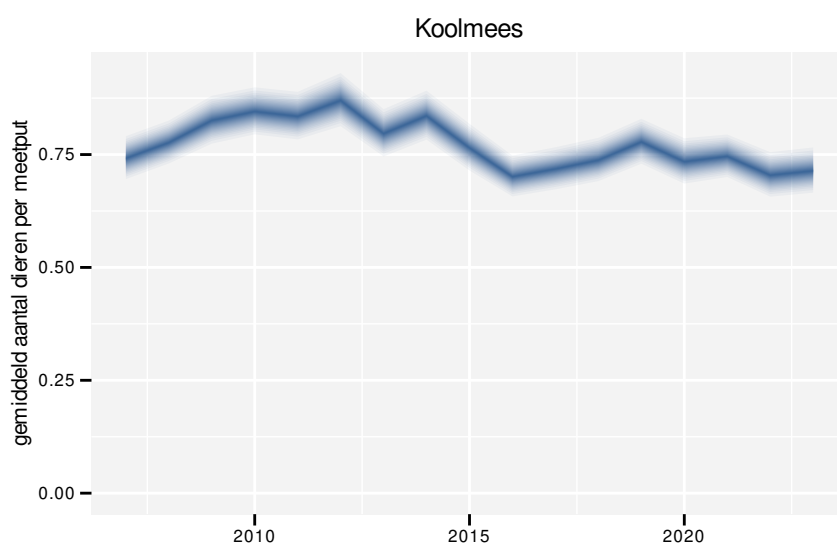
Tabel 62.2: Data-hashes van de analyses in het kader van traceerbaarheid (zie §4.3).

frequentie	model	analyse	status
jaarlijks	niet-lineair	f53e0266baf7fa1f2bdf 2880b66d3c13444a18c9	f81d4c18c98e8b754305 0776890d7402a20060af
jaarlijks	lineair	920acc0358b92059f65e 963e2d556d3885be3516	5967e7cbcf7a6d2106d8 77bcb095c1ced3df38f0
driejaarlijks	niet-lineair	d38b91259357b9490976 ea4efcab63f8d8658d0d	c3c3d4676cdfdd8f7015 f6c137a53ae8e8e31fc5
driejaarlijks	lineair	b9fd98f21ac059b40ffc 4f6ac869083994aa3b92	89912c459883f6d4c224 7079d07a783bf1df90cf

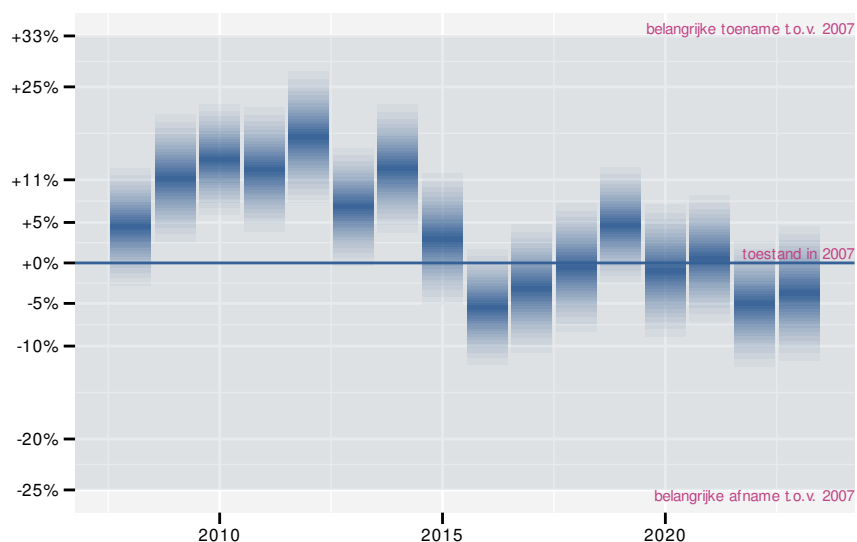
63 KOOLMEES

63.1 ANALYSE PER JAAR

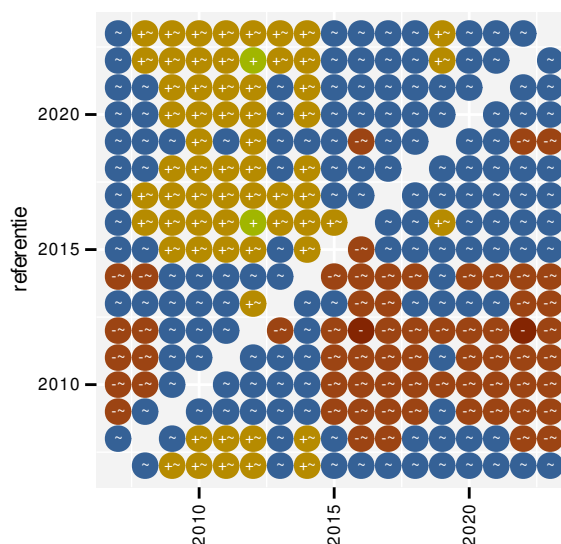
Op basis van jaarlijkse gegevens zien we gemiddeld een matige afname met -0.797% (-1.094% ; -0.509%) per jaar of -12.01% (-16.14% ; -7.84%) over de volledige looptijd van het meetnet. Deze trend is niet-lineair.



Figuur 63.1: Evolutie van het gemodelleerde gemiddeld aantal waargenomen dieren op een meetpunt voor Koolmees tijdens de referentieperiode. Zie §3.1 voor een verklaring van de intervallen.



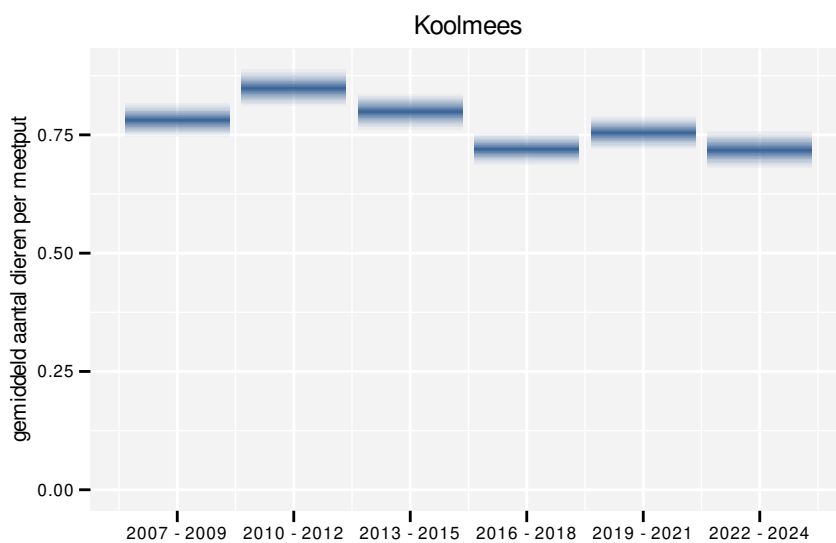
Figuur 63.2: Wijzigingen tussen jaren voor Koolmees. Zie §3.1 voor een verklaring van de intervallen en §3.2 voor uitleg over de symbolen en referentielijnen.



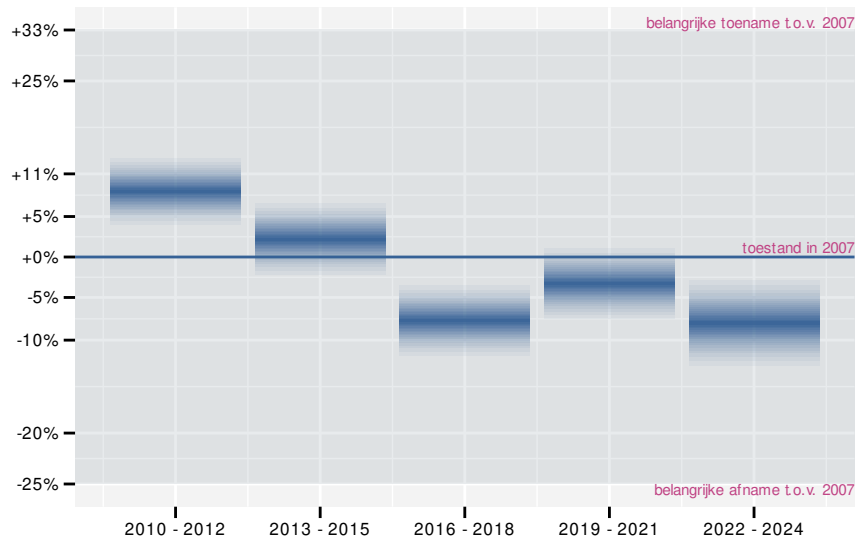
Figuur 63.3: Paarsgewijze vergelijking tussen jaren voor Koolmees. Uitleg van de symbolen in tabel 3.1.

63.2 ANALYSE PER DRIEJAARLIJKSE CYCLUS

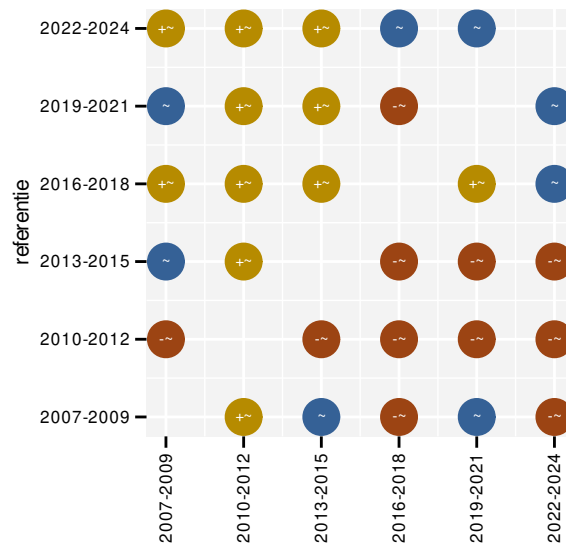
Op basis van driejaarlijkse gegevens zien we gemiddeld een matige afname met -0.833% (-1.130%; -0.535%) per jaar of -12.53% (-16.63%; -8.23%) over de volledige looptijd van het meetnet. Deze trend is niet-lineair.



Figuur 63.4: Evolutie van het gemodelleerde gemiddeld aantal waargenomen dieren op een meetpunt voor Koolmees tijdens de referentieperiode. Zie §3.1 voor een verklaring van de intervallen.



Figuur 63.5: Wijzigingen per driejarige cyclus voor Koolmees. Zie §3.1 voor een verklaring van de intervallen en §3.2 voor uitleg over de symbolen en referentielijnen.



Figuur 63.6: Paarsgewijze vergelijking tussen driejarige cycli voor Koolmees. Uitleg van de symbolen in tabel 3.1.

63.3 KENMERKEN VAN DE GEGEVENS

Tabel 63.1: Stratumgewicht, raming van het aantal hokken waarin de soort aanwezig is, aantal relevante hokken voor de analyse, aantal onderzochte hokken in het stratum, totaal aantal hokken van het stratum in Vlaanderen, aantal bezoeken aan een meetpunt en het gemiddeld aandeel relevante punten per hok voor Koolmees (zie §2.5).

stratum	gewicht	aanwezig	relevant	onderzocht	totaal	bezoeken	punten
Landbouw	82.3%	4832.1	330	431	6311	20692	86.0%
Urbaan	5.9%	349.1	73	87	416	4981	97.3%
Bos	4.3%	252.2	151	191	319	10055	97.0%
Heide en duin	3.0%	173.6	82	94	199	5096	88.4%
Suburbaan	2.8%	162.6	55	68	201	3439	91.8%
Moeras en water	1.7%	101.0	59	80	137	3787	90.7%

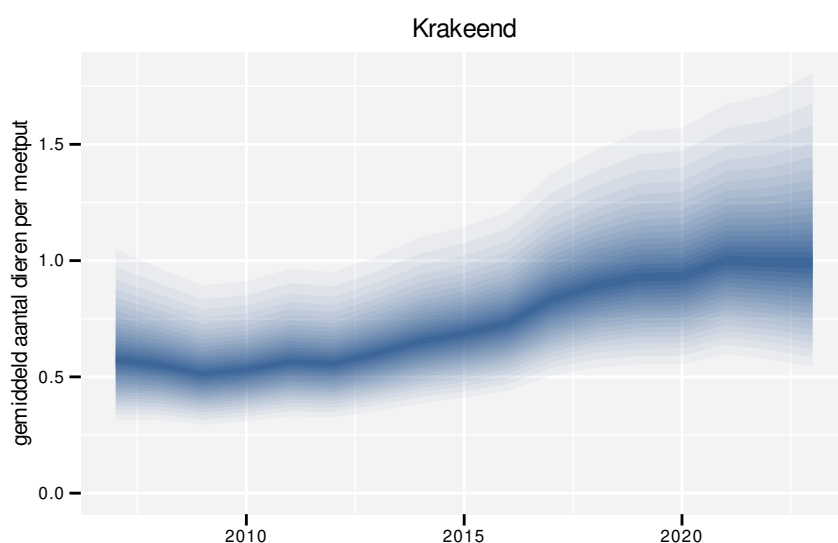
Tabel 63.2: Data-hashes van de analyses in het kader van traceerbaarheid (zie §4.3).

frequentie	model	analyse	status
jaarlijks	niet-lineair	25f24296b448cbe86114 a1e880fb532cdce17e20	eead2e5f5d84b3e949c6 7be0cd2aa6bf34419bed
jaarlijks	lineair	84710c8b233b12501fe8 02b02a84bcba77d988a4	046ef7d6d082fc3df8ae 33f7050ce83eb1c0c013
driejaarlijks	niet-lineair	31c42076cad601a24eee b60ba52e3947334cd0f2	66552cf682483e0dd8e2 dd5c282cec91905e35f7
driejaarlijks	lineair	7c0eb388a0fbef738c5 767a89ed28c9254dd147	39d77d5e4f0999e8f8cf a5f9d44e7f822a44c549

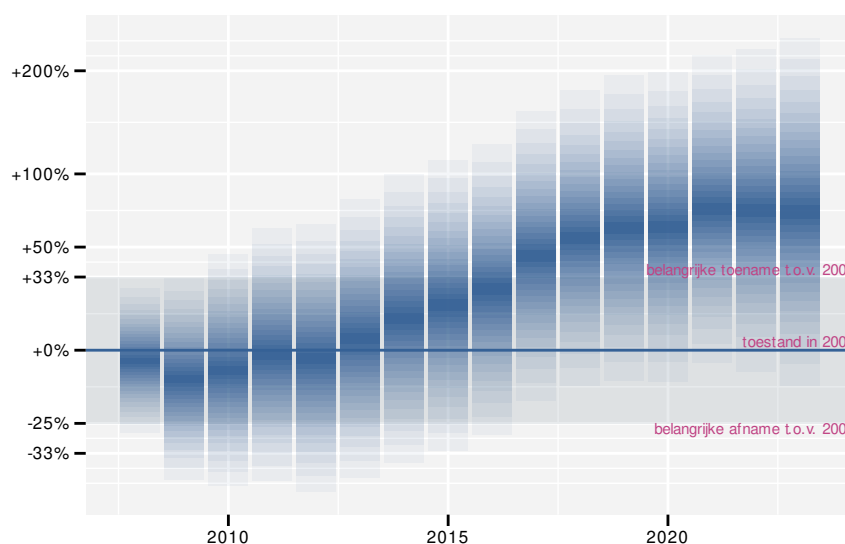
64 KRAKEEND

64.1 ANALYSE PER JAAR

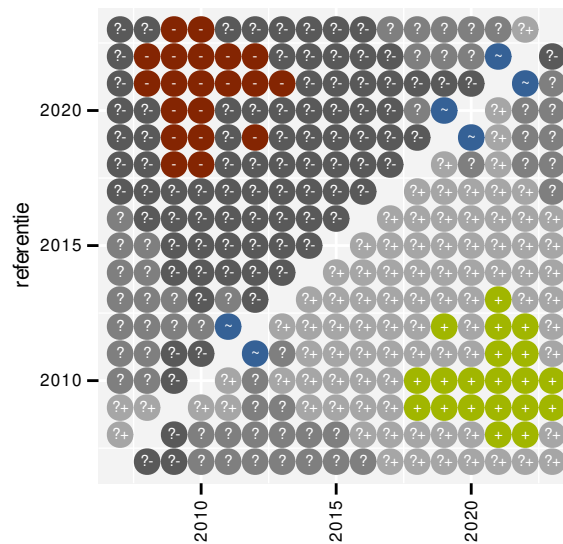
Op basis van jaarlijkse gegevens zien we gemiddeld een toename met +6.60% (+1.79%; +11.64%) per jaar of +180% (+30%; +480%) over de volledige looptijd van het meetnet. Deze trend is lineair.



Figuur 64.1: Evolutie van het gemodelleerde gemiddeld aantal waargenomen dieren op een meetpunt voor Krakeend tijdens de referentieperiode. Zie §3.1 voor een verklaring van de intervallen.



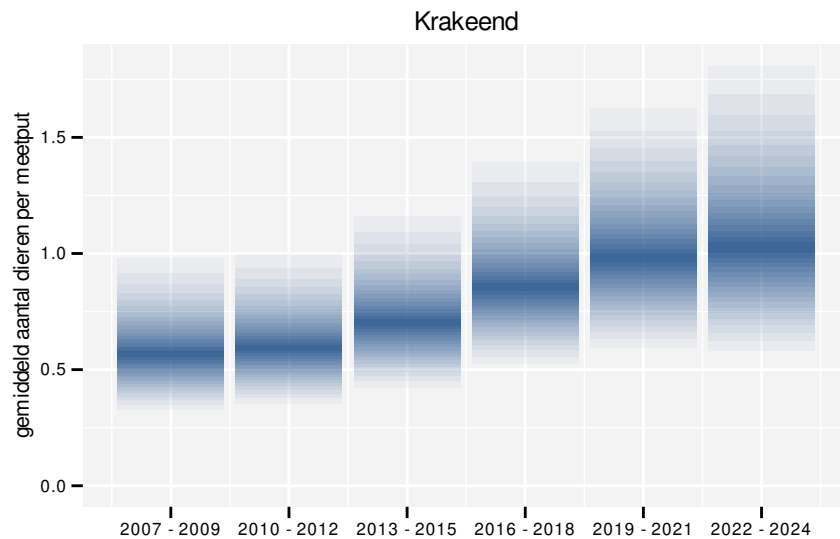
Figuur 64.2: Wijzigingen tussen jaren voor Krakeend. Zie §3.1 voor een verklaring van de intervallen en §3.2 voor uitleg over de symbolen en referentielijnen.



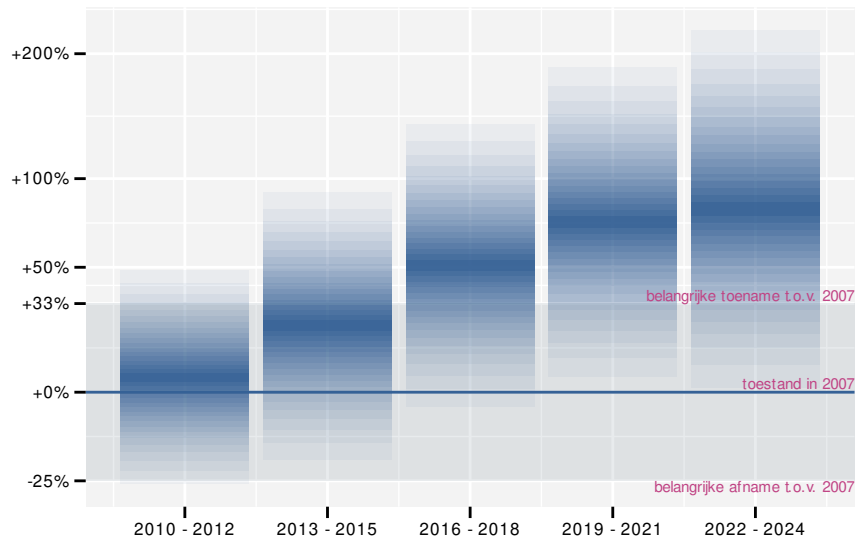
Figuur 64.3: Paarsgewijze vergelijking tussen jaren voor Krakeend. Uitleg van de symbolen in tabel 3.1.

64.2 ANALYSE PER DRIEJAARLIJKSE CYCLUS

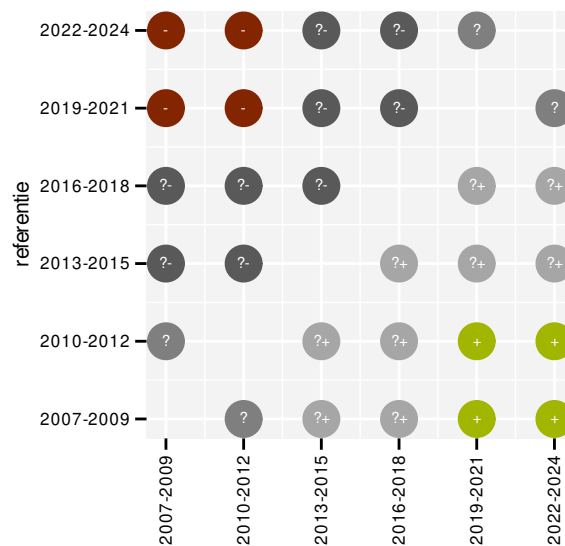
Op basis van driejaarlijkse gegevens zien we gemiddeld een toename met +6.30% (+1.44%; +11.39%) per jaar of +170% (+30%; +460%) over de volledige looptijd van het meetnet. Deze trend is lineair.



Figuur 64.4: Evolutie van het gemodelleerde gemiddeld aantal waargenomen dieren op een meetpunt voor Krakeend tijdens de referentieperiode. Zie §3.1 voor een verklaring van de intervallen.



Figuur 64.5: Wijzigingen per driejarige cyclus voor Krakeend. Zie §3.1 voor een verklaring van de intervallen en §3.2 voor uitleg over de symbolen en referentielijnen.



Figuur 64.6: Paarsgewijze vergelijking tussen driejarige cycli voor Krakeend. Uitleg van de symbolen in tabel 3.1.

64.3 KENMERKEN VAN DE GEGEVENS

Tabel 64.1: Stratumgewicht, raming van het aantal hokken waarin de soort aanwezig is, aantal relevante hokken voor de analyse, aantal onderzochte hokken in het stratum, totaal aantal hokken van het stratum in Vlaanderen, aantal bezoeken aan een meetpunt en het gemiddeld aandeel relevante punten per hok voor Krakeend (zie §2.5).

stratum	gewicht	aanwezig	relevant	onderzocht	totaal	bezoeken	punten
Landbouw	66.3%	175.7	12	431	6311	322	36.1%
Moeras en water	25.4%	61.6	36	80	137	1388	49.5%
Suburbaan	4.9%	14.8	5	68	201	152	40.0%
Heide en duin	3.5%	10.6	5	94	199	177	46.7%

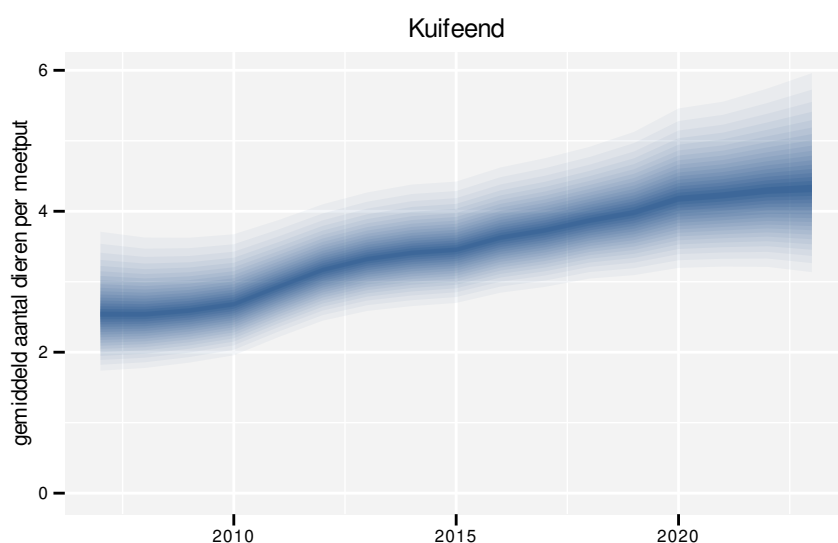
Tabel 64.2: Data-hashes van de analyses in het kader van traceerbaarheid (zie §4.3).

frequentie	model	analyse	status
jaarlijks	niet-lineair	fc478aadb364af7f3b7e 34a253e9178659194499	9f28c9268a79f3f795c0 ae7cb9b65f152d918d8a
jaarlijks	lineair	c690d23390fbfd0d505 6fc4d317162227cfb15d	8767b7da52a8d5d000ac b406220cc0f27215ec08
driejaarlijks	niet-lineair	ac11a5617e8fb0ad8a01 5e8ecc70469fe57bebd6	bd1c1b387065396fba2a 177d9af5b68c27915aec
driejaarlijks	lineair	60ce4ea4ddf7da66a00e 3836cb1ae91befd97658	6ef5edd2a40a72b20ceb d95d66a11be1ec03256b

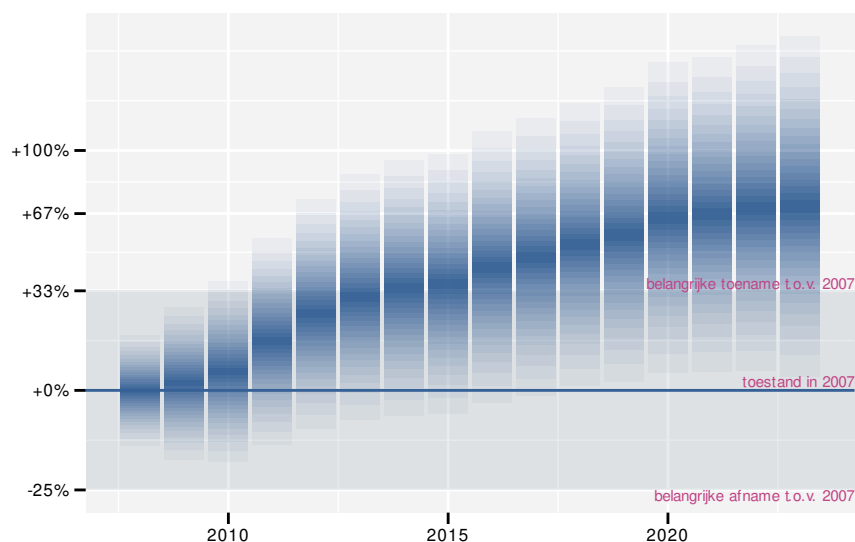
65 KUIFEEND

65.1 ANALYSE PER JAAR

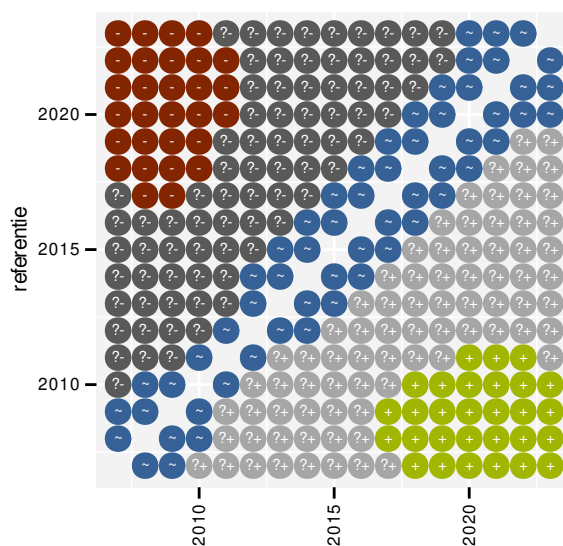
Op basis van jaarlijkse gegevens zien we gemiddeld een sterke toename met +8.32% (+4.76%; +12.01%) per jaar of +260% (+110%; +510%) over de volledige looptijd van het meetnet. Deze trend is niet-lineair.



Figuur 65.1: Evolutie van het gemodelleerde gemiddeld aantal waargenomen dieren op een meetpunt voor Kuifeend tijdens de referentieperiode. Zie §3.1 voor een verklaring van de intervallen.



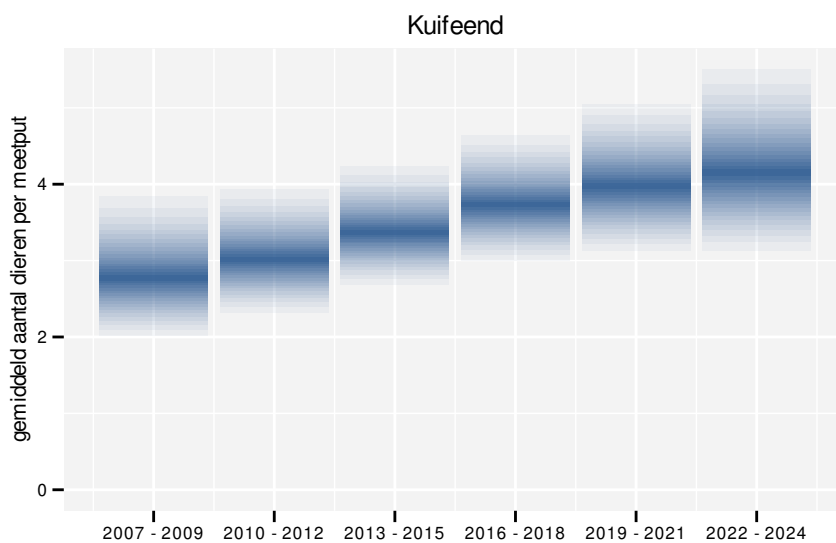
Figuur 65.2: Wijzigingen tussen jaren voor Kuifeend. Zie §3.1 voor een verklaring van de intervallen en §3.2 voor uitleg over de symbolen en referentielijnen.



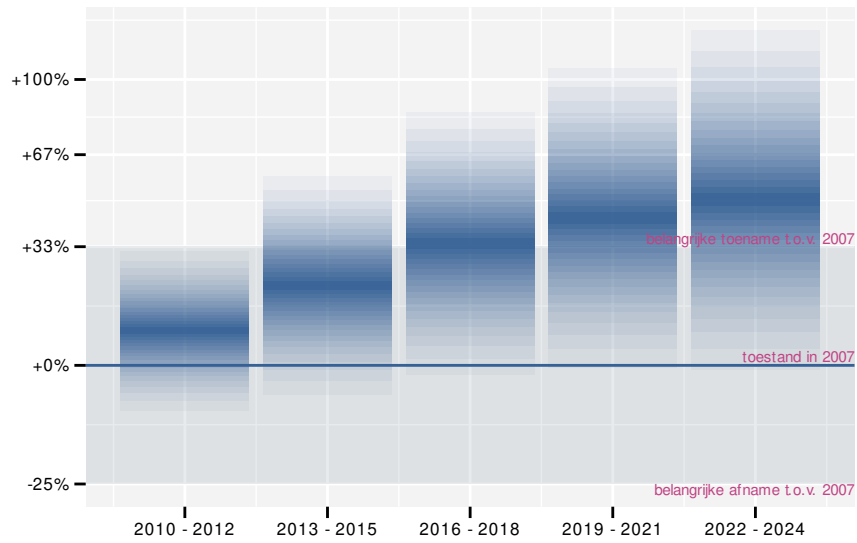
Figuur 65.3: Paarsgewijze vergelijking tussen jaren voor Kuifeend. Uitleg van de symbolen in tabel 3.1.

65.2 ANALYSE PER DRIEJAARLIJKSE CYCLUS

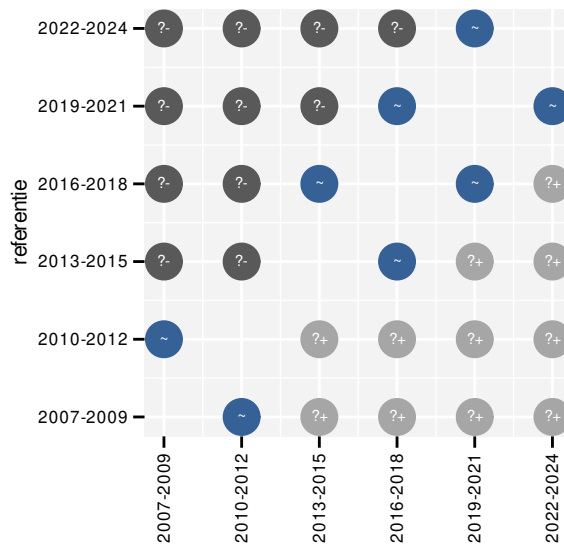
Op basis van driejaarlijkse gegevens zien we gemiddeld een sterke toename met +8.19% (+4.60%; +11.90%) per jaar of +250% (+110%; +500%) over de volledige looptijd van het meetnet. Deze trend is lineair.



Figuur 65.4: Evolutie van het gemodelleerde gemiddeld aantal waargenomen dieren op een meetpunt voor Kuifeend tijdens de referentieperiode. Zie §3.1 voor een verklaring van de intervallen.



Figuur 65.5: Wijzigingen per driejarige cyclus voor Kuifeend. Zie §3.1 voor een verklaring van de intervallen en §3.2 voor uitleg over de symbolen en referentielijnen.

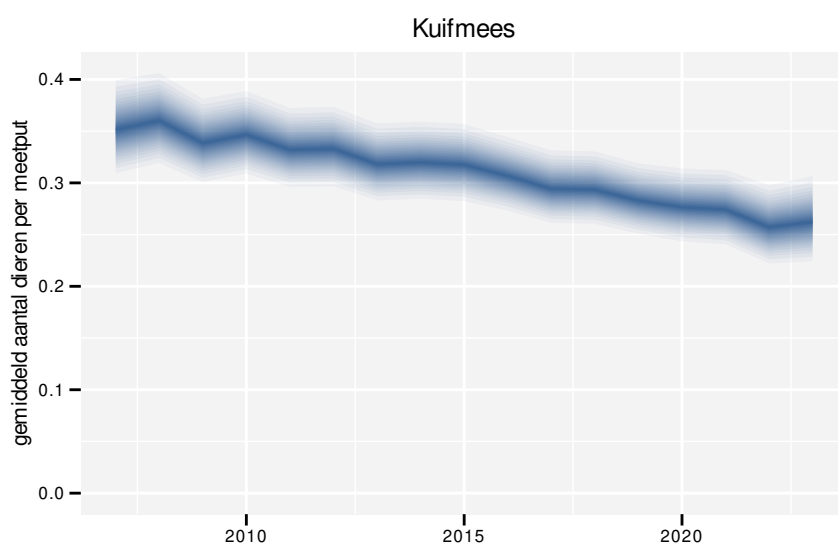


Figuur 65.6: Paarsgewijze vergelijking tussen driejarige cycli voor Kuifeend. Uitleg van de symbolen in tabel 3.1.

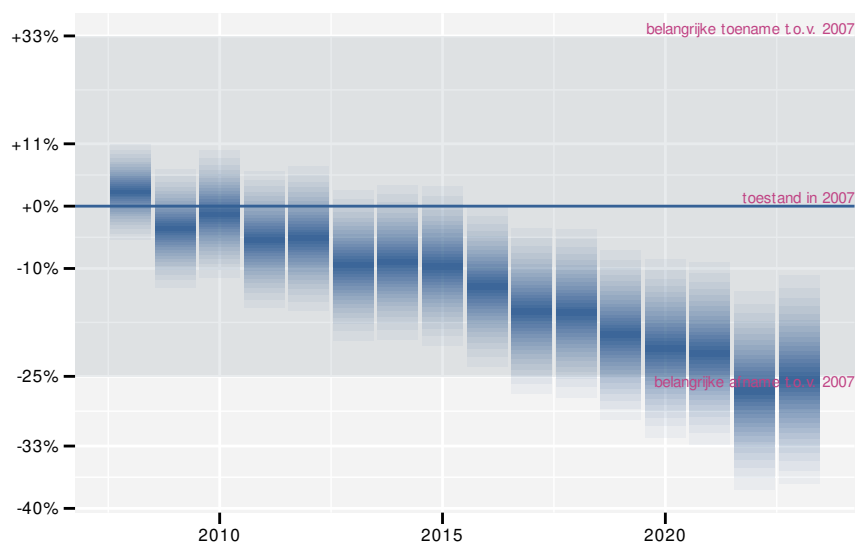
66 KUIFMEES

66.1 ANALYSE PER JAAR

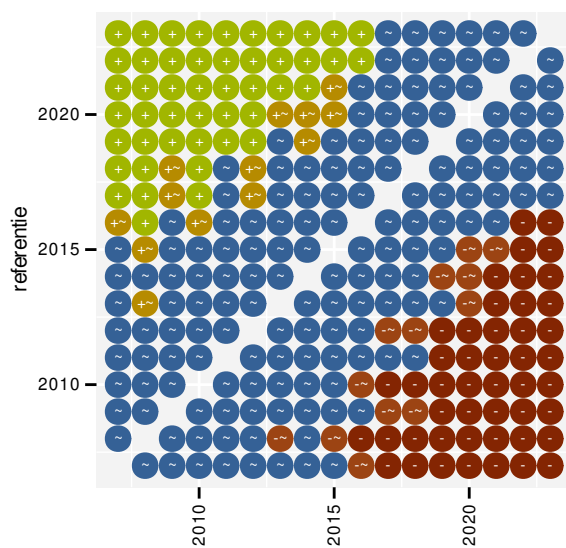
Op basis van jaarlijkse gegevens zien we gemiddeld een afname met -2.6% (-4.0%; -1.2%) per jaar of -35% (-48%; -18%) over de volledige looptijd van het meetnet. Deze trend is niet-lineair.



Figuur 66.1: Evolutie van het gemodelleerde gemiddeld aantal waargenomen dieren op een meetpunt voor Kuifmees tijdens de referentieperiode. Zie §3.1 voor een verklaring van de intervallen.



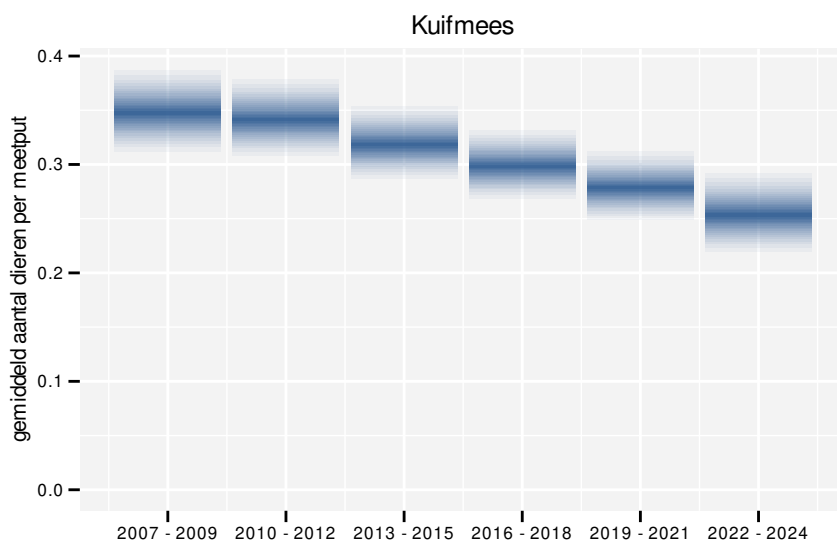
Figuur 66.2: Wijzigingen tussen jaren voor Kuifmees. Zie §3.1 voor een verklaring van de intervallen en §3.2 voor uitleg over de symbolen en referentielijnen.



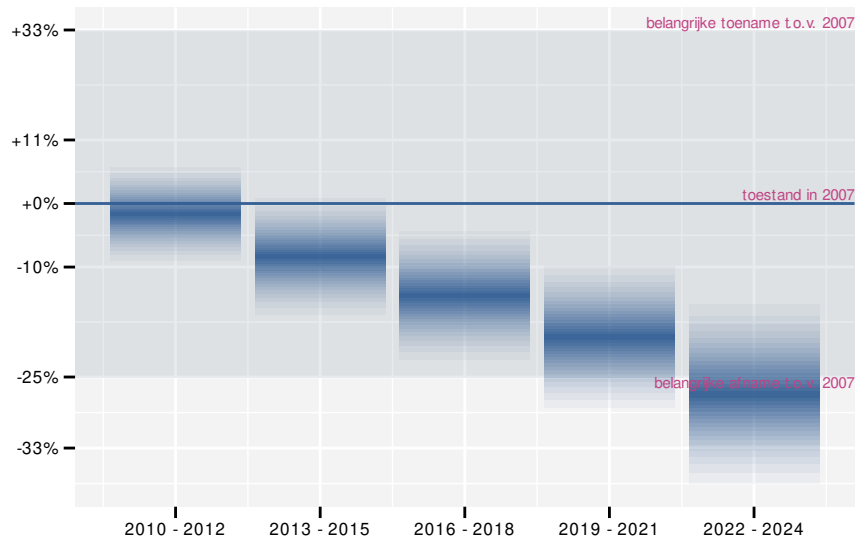
Figuur 66.3: Paarsgewijze vergelijking tussen jaren voor Kuifmees. Uitleg van de symbolen in tabel 3.1.

66.2 ANALYSE PER DRIEJAARLIJKSE CYCLUS

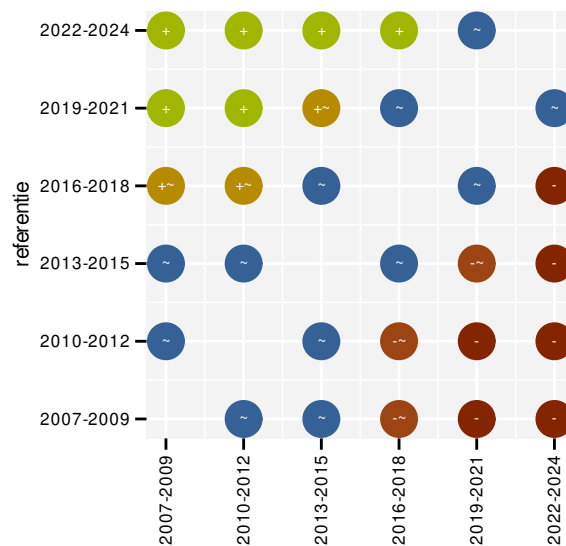
Op basis van driejaarlijkse gegevens zien we gemiddeld een afname met -2.9% (-4.2%; -1.5%) per jaar of -37% (-50%; -21%) over de volledige looptijd van het meetnet. Deze trend is lineair.



Figuur 66.4: Evolucie van het gemodelleerde gemiddeld aantal waargenomen dieren op een meetpunt voor Kuifmees tijdens de referentieperiode. Zie §3.1 voor een verklaring van de intervallen.



Figuur 66.5: Wijzigingen per driejarige cyclus voor Kuifmees. Zie §3.1 voor een verklaring van de intervallen en §3.2 voor uitleg over de symbolen en referentielijnen.



Figuur 66.6: Paarsgewijze vergelijking tussen driejarige cycli voor Kuifmees. Uitleg van de symbolen in tabel 3.1.

66.3 KENMERKEN VAN DE GEGEVENS

Tabel 66.1: Stratumgewicht, raming van het aantal hokken waarin de soort aanwezig is, aantal relevante hokken voor de analyse, aantal onderzochte hokken in het stratum, totaal aantal hokken van het stratum in Vlaanderen, aantal bezoeken aan een meetpunt en het gemiddeld aandeel relevante punten per hok voor Kuifmees (zie §2.5).

stratum	gewicht	aanwezig	relevant	onderzocht	totaal	bezoeken	punten
Bos	39.4%	147.0	88	191	319	5145	73.1%
Heide en duin	23.8%	88.9	42	94	199	2255	61.9%
Landbouw	19.6%	87.9	6	431	6311	298	41.7%
Suburbaan	7.1%	29.6	10	68	201	318	43.3%
Urbaan	6.4%	28.7	6	87	416	210	38.9%
Moeras en water	3.7%	13.7	8	80	137	305	50.0%

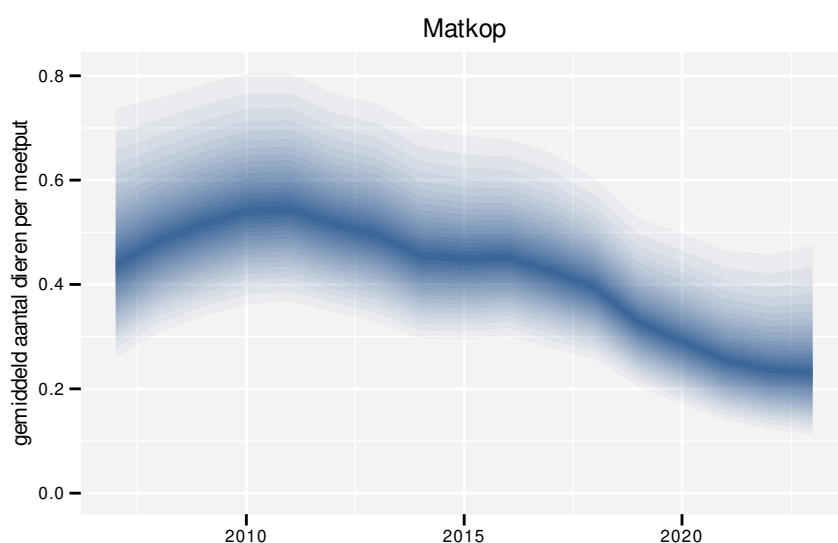
Tabel 66.2: Data-hashes van de analyses in het kader van traceerbaarheid (zie §4.3).

frequentie	model	analyse	status
jaarlijks	niet-lineair	e0b6e36d3ff25cf77fbc 653610885243e3d3434f	abe6683bb7fc5334c554 7c2a7a98a9a700c73e1b
jaarlijks	lineair	e58194327ff02119c20e f726e2fe24563a009eb3	6dfc44cb1646cc4332c5 280e685120d2a8ddbe99
driejaarlijks	niet-lineair	fa605cbbc698ba0f9acc 3c71010dcb352ebdd981	90251b99b9f49f8a9618 6c112c483386144356cb
driejaarlijks	lineair	9982829dfdbd9a0dd00e a036ecb90759dcb07301	d7aa3f1f578571271174 caa4f820d8ee6c05168f

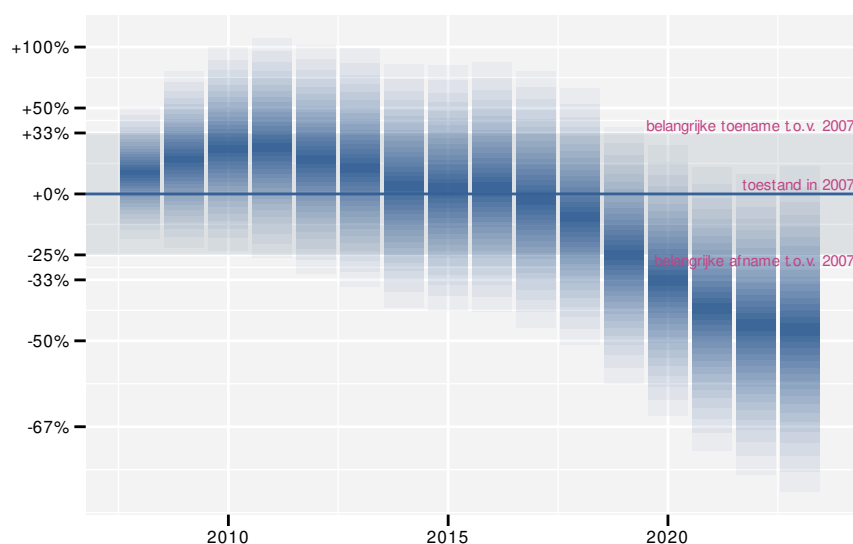
67 MATKOP

67.1 ANALYSE PER JAAR

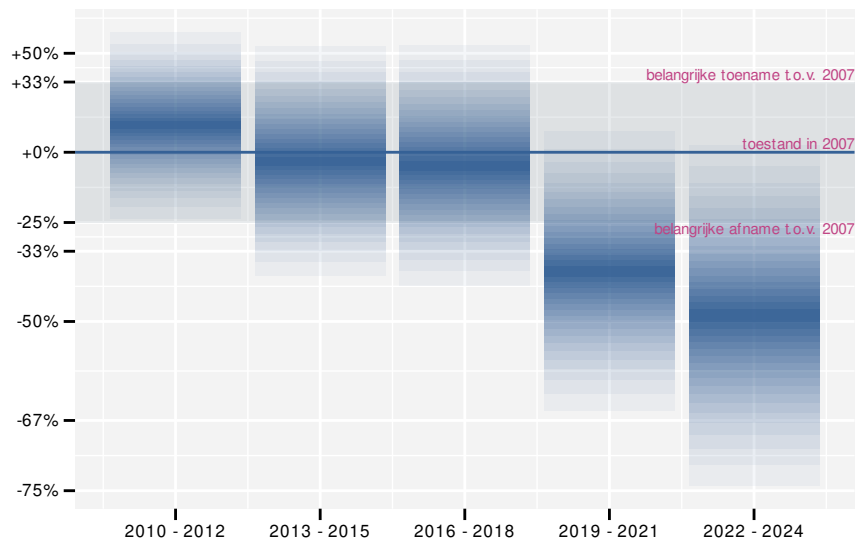
Op basis van jaarlijkse gegevens zien we gemiddeld een afname met -6.30% (-10.87%; -1.51%) per jaar of -65% (-84%; -22%) over de volledige looptijd van het meetnet. Deze trend is niet-lineair.



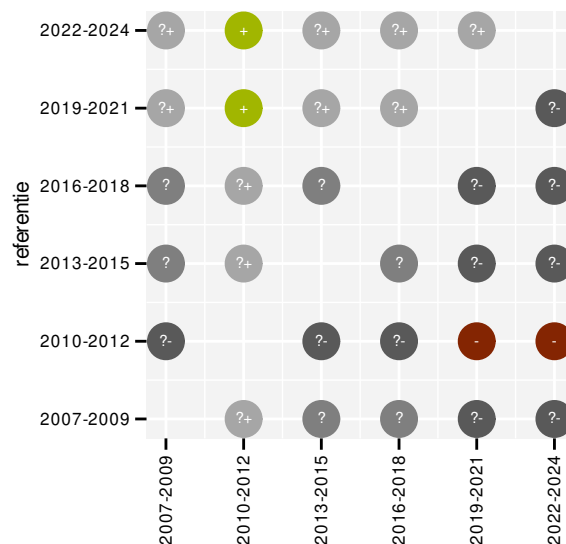
Figuur 67.1: Evolutie van het gemodelleerde gemiddeld aantal waargenomen dieren op een meetpunt voor Matkop tijdens de referentieperiode. Zie §3.1 voor een verklaring van de intervallen.



Figuur 67.2: Wijzigingen tussen jaren voor Matkop. Zie §3.1 voor een verklaring van de intervallen en §3.2 voor uitleg over de symbolen en referentielijnen.



Figuur 67.5: Wijzigingen per driejarige cyclus voor Matkop. Zie §3.1 voor een verklaring van de intervallen en §3.2 voor uitleg over de symbolen en referentielijnen.



Figuur 67.6: Paarsgewijze vergelijking tussen driejarige cycli voor Matkop. Uitleg van de symbolen in tabel 3.1.

67.3 KENMERKEN VAN DE GEGEVENS

Tabel 67.1: Stratumgewicht, raming van het aantal hokken waarin de soort aanwezig is, aantal relevante hokken voor de analyse, aantal onderzochte hokken in het stratum, totaal aantal hokken van het stratum in Vlaanderen, aantal bezoeken aan een meetpunt en het gemiddeld aandeel relevante punten per hok voor Matkop (zie §2.5).

stratum	gewicht	aanwezig	relevant	onderzocht	totaal	bezoeken	punten
Landbouw	66.1%	117.1	8	431	6311	201	33.3%
Bos	18.3%	28.4	17	191	319	902	49.0%
Moeras en water	8.8%	13.7	8	80	137	335	50.0%
Heide en duin	6.8%	12.7	6	94	199	172	33.3%

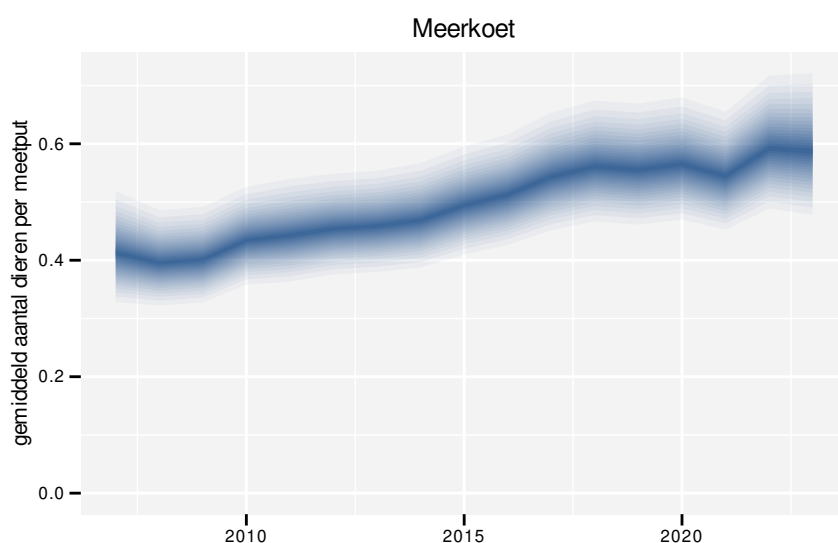
Tabel 67.2: Data-hashes van de analyses in het kader van traceerbaarheid (zie §4.3).

frequentie	model	analyse	status
jaarlijks	niet-lineair	e04cd576ce0e25075d86 ad8d701a970966d70126	52e263ac53a8eea69c95 496c56010c6f63ed0dd3
jaarlijks	lineair	661ecef37ddb1bfdf490 ef65585e50ce6a11f502	0a79450dc9d3087e0077 97b1d5c46c1c3bce5ff4
driejaarlijks	niet-lineair	5be7d38257523a516109 ee17da70be6b849bb4d2	02c38c0280bf7b429b22 6fc0e488fe606a2f26b4
driejaarlijks	lineair	7b6ea3ca13c428ab14ac e9e8e92987f4c652550b	1cef97ee856f2addf277 9443364657b9335a2d8f

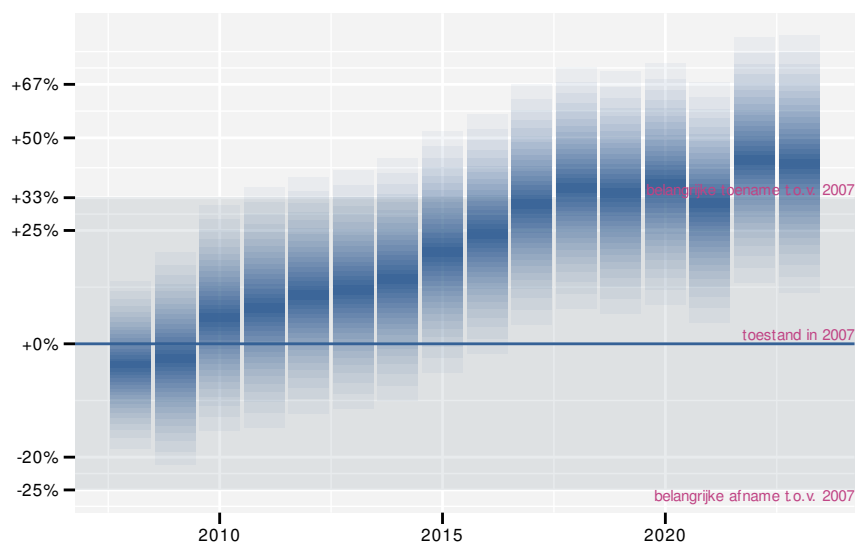
68 MEERKOET

68.1 ANALYSE PER JAAR

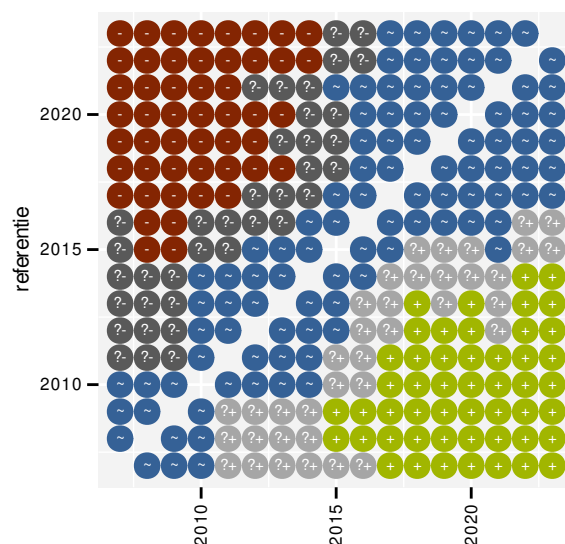
Op basis van jaarlijkse gegevens zien we gemiddeld een sterke toename met +3.2% (+1.9%; +4.5%) per jaar of +65.0% (+35.3%; +101.2%) over de volledige looptijd van het meetnet. Deze trend is lineair.



Figuur 68.1: Evolutie van het gemodelleerde gemiddeld aantal waargenomen dieren op een meetpunt voor Meerkoet tijdens de referentieperiode. Zie §3.1 voor een verklaring van de intervallen.



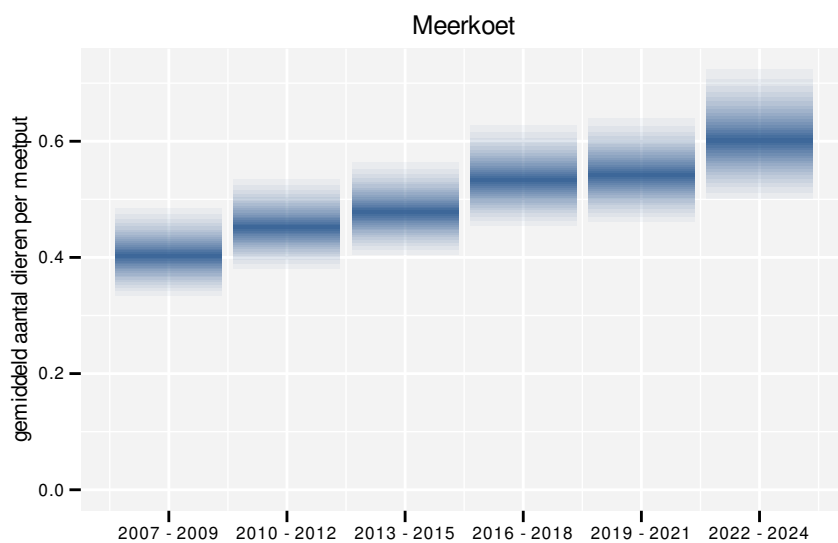
Figuur 68.2: Wijzigingen tussen jaren voor Meerkoet. Zie §3.1 voor een verklaring van de intervallen en §3.2 voor uitleg over de symbolen en referentielijnen.



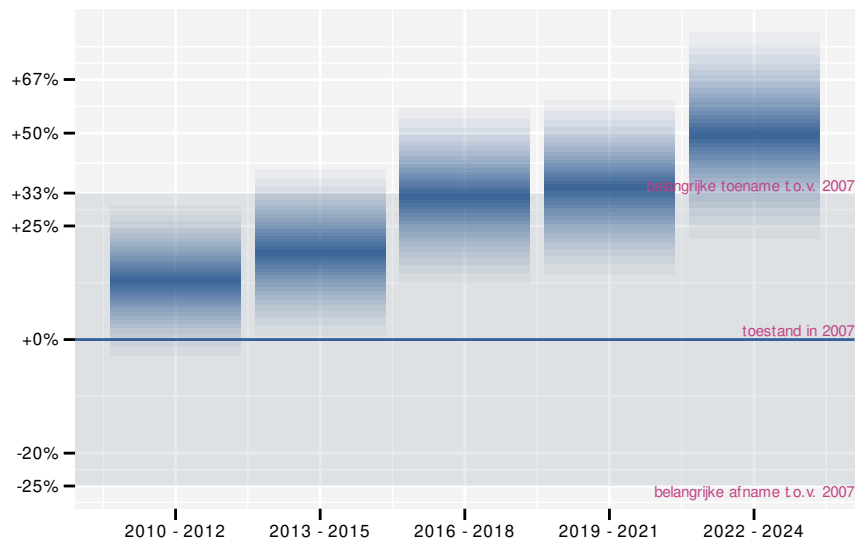
Figuur 68.3: Paarsgewijze vergelijking tussen jaren voor Meerkoet. Uitleg van de symbolen in tabel 3.1.

68.2 ANALYSE PER DRIEJAARLIJKSE CYCLUS

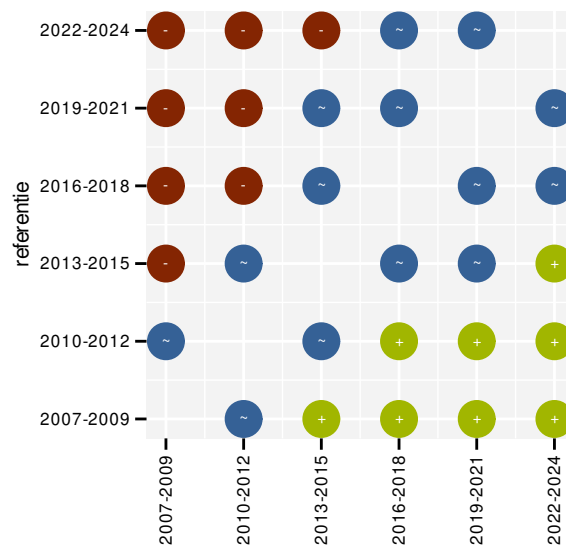
Op basis van driejaarlijkse gegevens zien we gemiddeld een sterke toename met +3.2% (+2.0%; +4.5%) per jaar of +66.6% (+36.5%; +103.3%) over de volledige looptijd van het meetnet. Deze trend is lineair.



Figuur 68.4: Evolutie van het gemodelleerde gemiddeld aantal waargenomen dieren op een meetpunt voor Meerkoet tijdens de referentieperiode. Zie §3.1 voor een verklaring van de intervallen.



Figuur 68.5: Wijzigingen per driejarige cyclus voor Meerkoet. Zie §3.1 voor een verklaring van de intervallen en §3.2 voor uitleg over de symbolen en referentielijnen.



Figuur 68.6: Paarsgewijze vergelijking tussen driejarige cycli voor Meerkoet. Uitleg van de symbolen in tabel 3.1.

68.3 KENMERKEN VAN DE GEGEVENS

Tabel 68.1: Stratumgewicht, raming van het aantal hokken waarin de soort aanwezig is, aantal relevante hokken voor de analyse, aantal onderzochte hokken in het stratum, totaal aantal hokken van het stratum in Vlaanderen, aantal bezoeken aan een meetpunt en het gemiddeld aandeel relevante punten per hok voor Meerkoet (zie §2.5).

stratum	gewicht	aanwezig	relevant	onderzocht	totaal	bezoeken	punten
Landbouw	81.5%	1010.3	69	431	6311	2817	50.0%
Moeras en water	7.2%	89.0	52	80	137	2576	66.0%
Heide en duin	3.6%	44.5	21	94	199	659	42.1%
Urbaan	3.1%	43.0	9	87	416	152	24.1%
Suburbaan	2.4%	32.5	11	68	201	316	47.0%
Bos	2.3%	28.4	17	191	319	616	40.2%

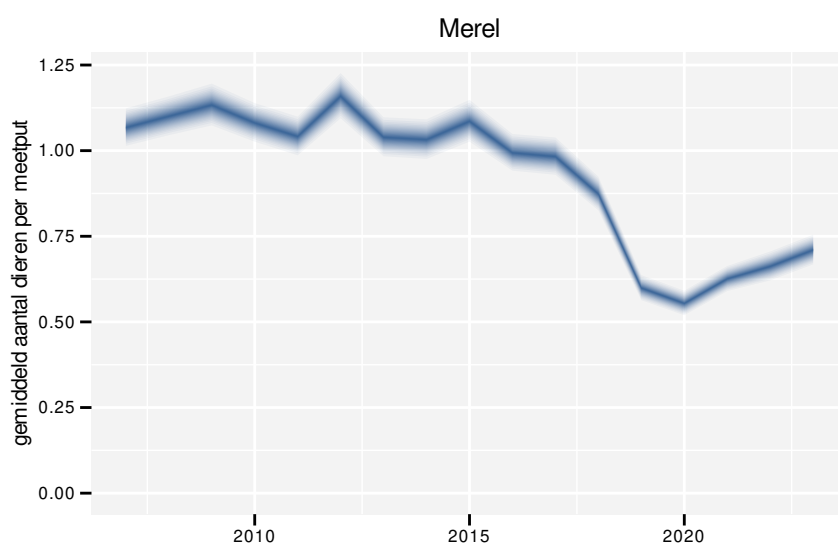
Tabel 68.2: Data-hashes van de analyses in het kader van traceerbaarheid (zie §4.3).

frequentie	model	analyse	status
jaarlijks	niet-lineair	1dbadd0711258dfe348c c22826288fd9c4370ec8	d9ed5a748eff1698009b e7f461dbb5e5cd6df203
jaarlijks	lineair	45972608d05083d7331c 6ebedb352456b662b3e2	7f5b0ccfbaf7d48badb f62acd684110c5ea20a7
driejaarlijks	niet-lineair	3f48452e8a434e8931cd 5b5e074f0f2cf55e729b	becfac3d367264b6f9c2 d5cc42931bc8ed849f29
driejaarlijks	lineair	69efb804ab1932a94860 0494efb7073504826206	23dfd6e2883ca16f8d98 27b9ea3f6818dcc0432f

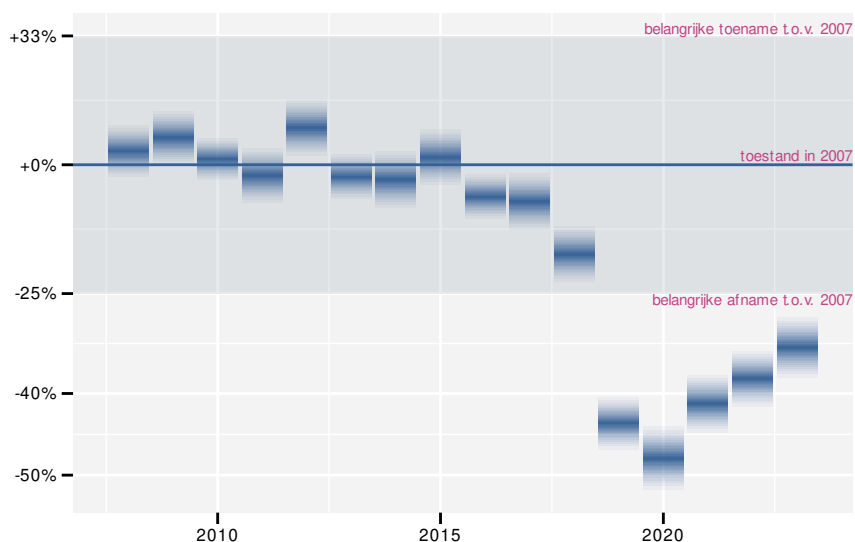
69 MEREL

69.1 ANALYSE PER JAAR

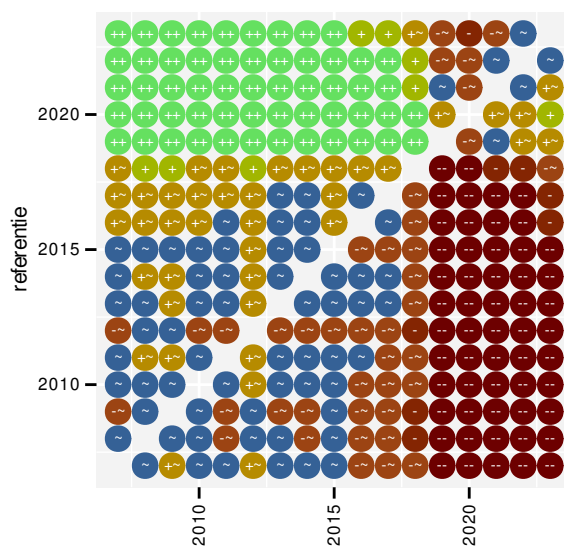
Op basis van jaarlijkse gegevens zien we gemiddeld een sterke afname met -3.64% (-3.84%; -3.44%) per jaar of -44.8% (-46.6%; -42.9%) over de volledige looptijd van het meetnet. Deze trend is niet-lineair.



Figuur 69.1: Evolutie van het gemodelleerde gemiddeld aantal waargenomen dieren op een meetpunt voor Merel tijdens de referentieperiode. Zie §3.1 voor een verklaring van de intervallen.



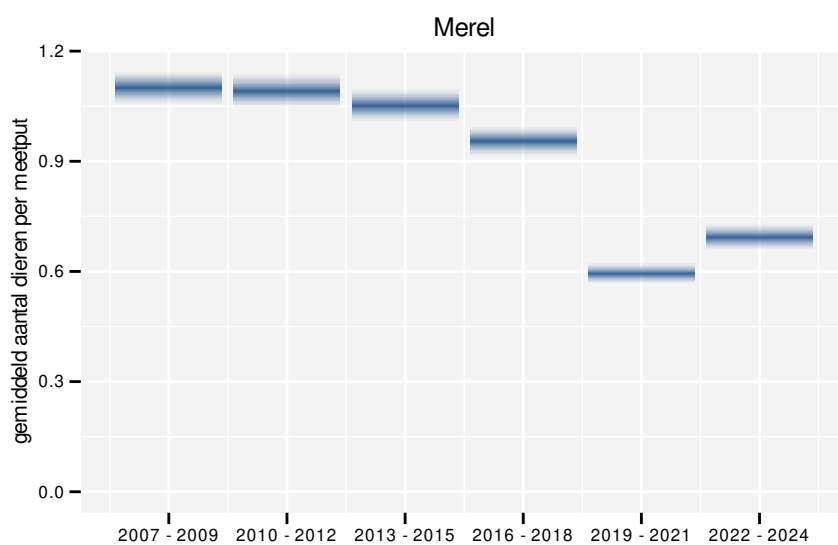
Figuur 69.2: Wijzigingen tussen jaren voor Merel. Zie §3.1 voor een verklaring van de intervallen en §3.2 voor uitleg over de symbolen en referentielijnen.



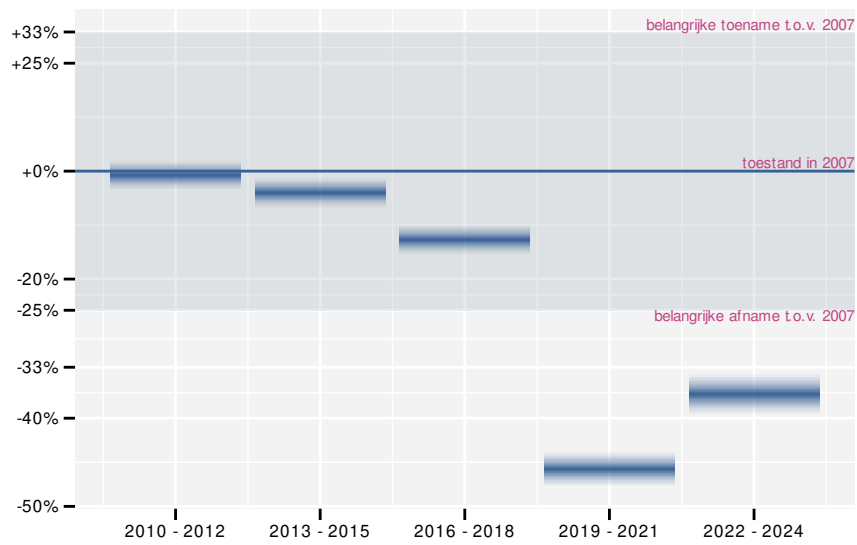
Figuur 69.3: Paarsgewijze vergelijking tussen jaren voor Merel. Uitleg van de symbolen in tabel 3.1.

69.2 ANALYSE PER DRIEJAARLIJKSE CYCLUS

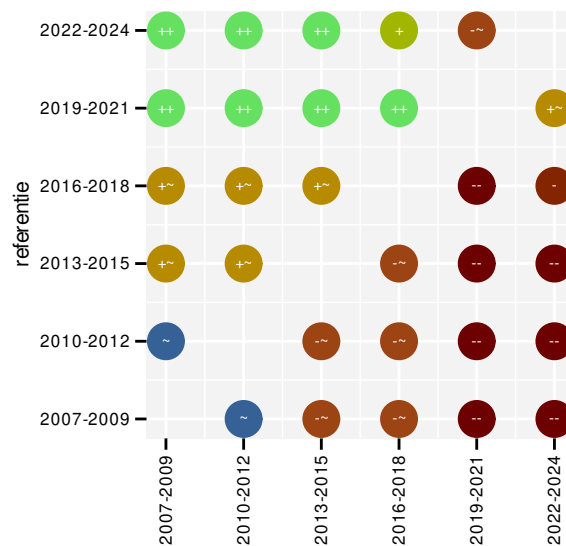
Op basis van driejaarlijkse gegevens zien we gemiddeld een sterke afname met -3.69% (-3.89%; -3.48%) per jaar of -45.2% (-47.0%; -43.3%) over de volledige looptijd van het meetnet. Deze trend is niet-lineair.



Figuur 69.4: Evolutie van het gemodelleerde gemiddeld aantal waargenomen dieren op een meetpunt voor Merel tijdens de referentieperiode. Zie §3.1 voor een verklaring van de intervallen.



Figuur 69.5: Wijzigingen per driejarige cyclus voor Merel. Zie §3.1 voor een verklaring van de intervallen en §3.2 voor uitleg over de symbolen en referentielijnen.

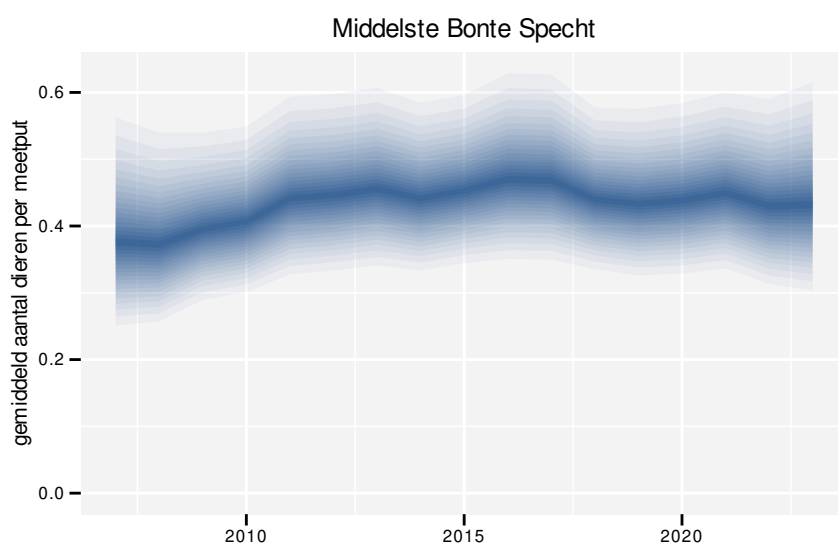


Figuur 69.6: Paarsgewijze vergelijking tussen driejarige cycli voor Merel. Uitleg van de symbolen in tabel 3.1.

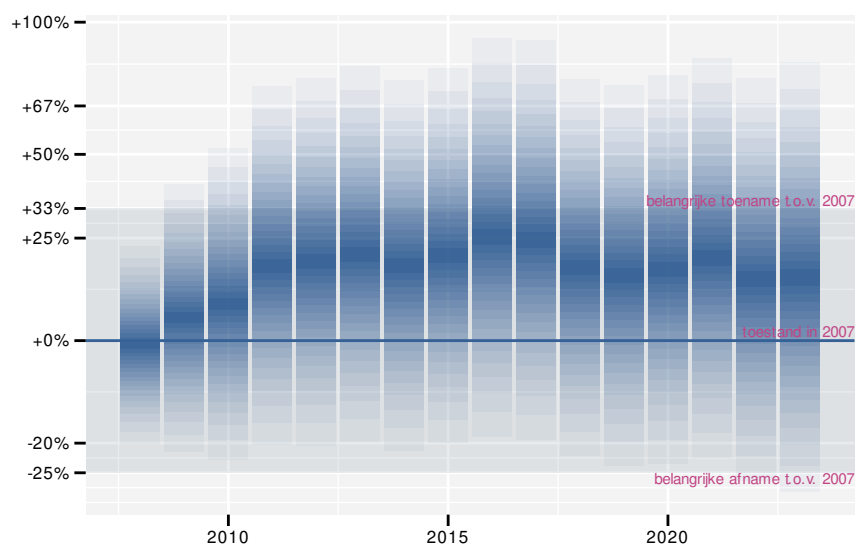
70 MIDDELSTE BONTE SPECHT

70.1 ANALYSE PER JAAR

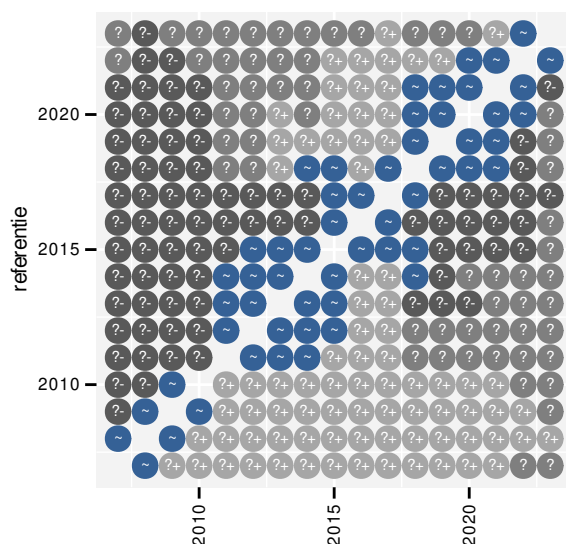
Op basis van jaarlijkse gegevens zien we gemiddeld een mogelijke toename met +1.1% (-1.8%; +4.1%) per jaar of +20% (-20%; +90%) over de volledige looptijd van het meetnet. Deze trend is mogelijk niet-lineair.



Figuur 70.1: Evolutie van het gemodelleerde gemiddeld aantal waargenomen dieren op een meetpunt voor Middelste Bonte Specht tijdens de referentieperiode. Zie §3.1 voor een verklaring van de intervallen.



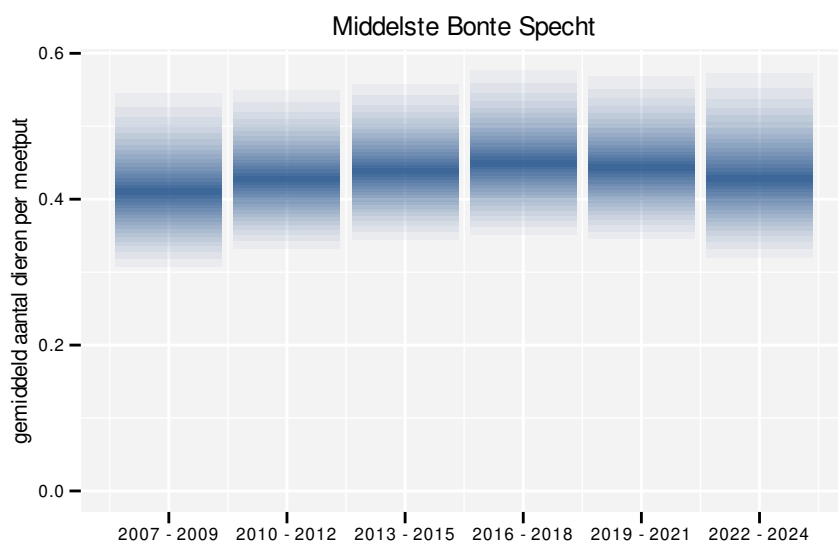
Figuur 70.2: Wijzigingen tussen jaren voor Middelste Bonte Specht. Zie §3.1 voor een verklaring van de intervallen en §3.2 voor uitleg over de symbolen en referentielijnen.



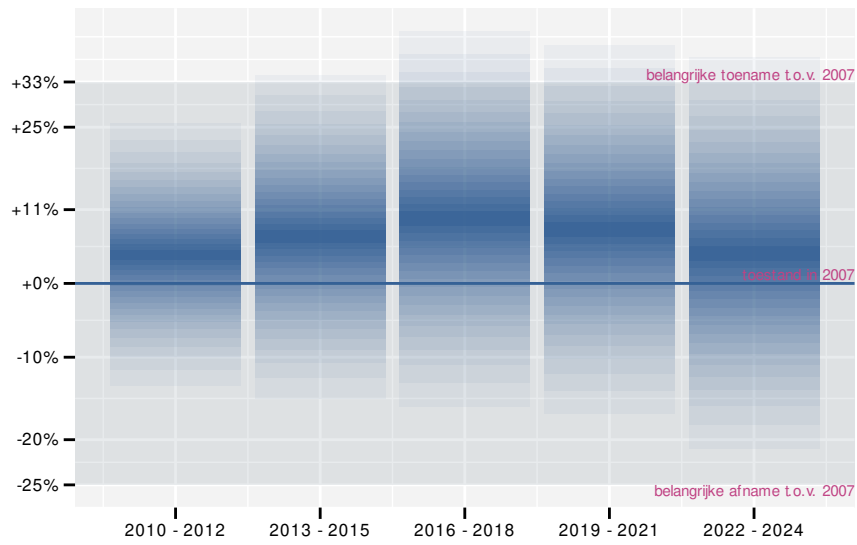
Figuur 70.3: Paarsgewijze vergelijking tussen jaren voor Middelste Bonte Specht. Uitleg van de symbolen in tabel 3.1.

70.2 ANALYSE PER DRIEJAARLIJKE CYCLUS

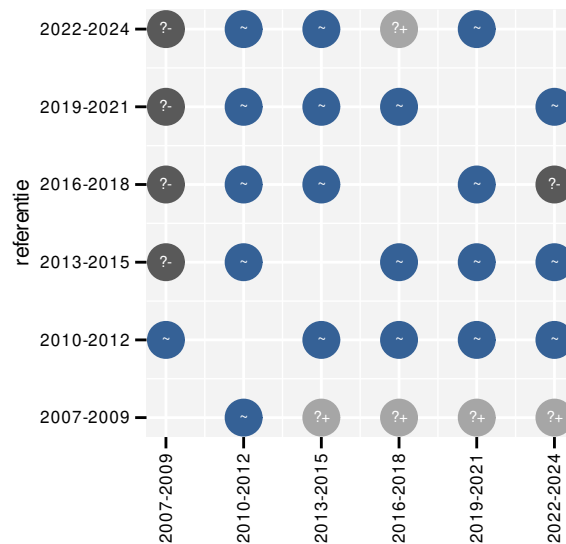
Op basis van driejaarlijkse gegevens zien we gemiddeld een onduidelijk met +0.9% (-1.9%; +3.9%) per jaar of +20% (-30%; +80%) over de volledige looptijd van het meetnet. Deze trend is mogelijk niet-lineair.



Figuur 70.4: Evolutie van het gemodelleerde gemiddeld aantal waargenomen dieren op een meetpunt voor Middelste Bonte Specht tijdens de referentieperiode. Zie §3.1 voor een verklaring van de intervallen.



Figuur 70.5: Wijzigingen per driejarige cyclus voor Middelste Bonte Specht. Zie §3.1 voor een verklaring van de intervallen en §3.2 voor uitleg over de symbolen en referentielijnen.

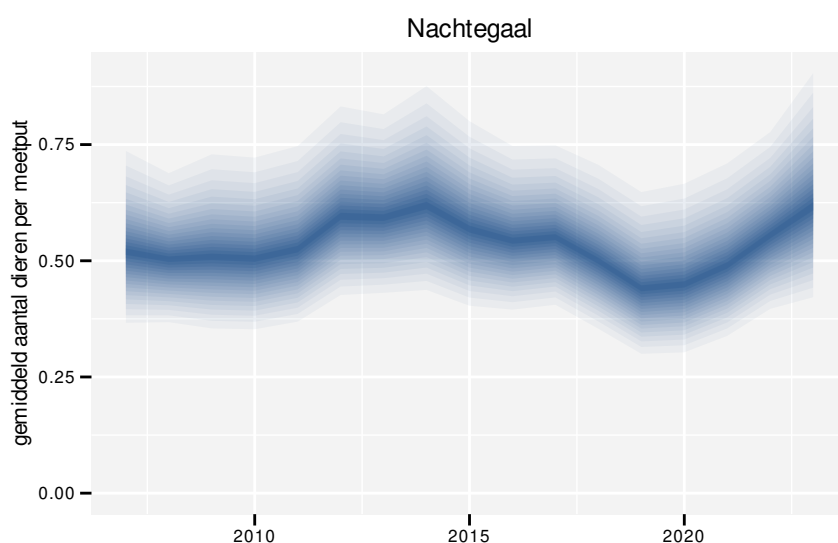


Figuur 70.6: Paarsgewijze vergelijking tussen driejarige cycli voor Middelste Bonte Specht. Uitleg van de symbolen in tabel 3.1.

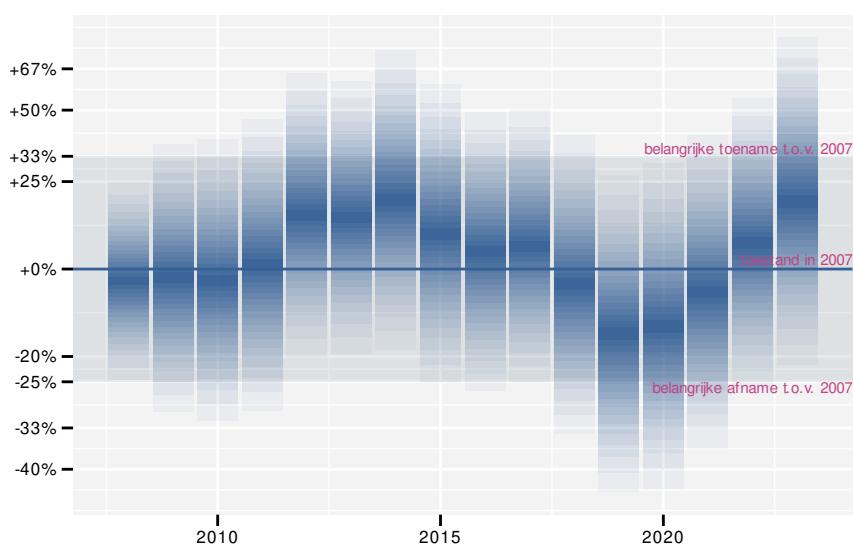
71 NACHTEGAAL

71.1 ANALYSE PER JAAR

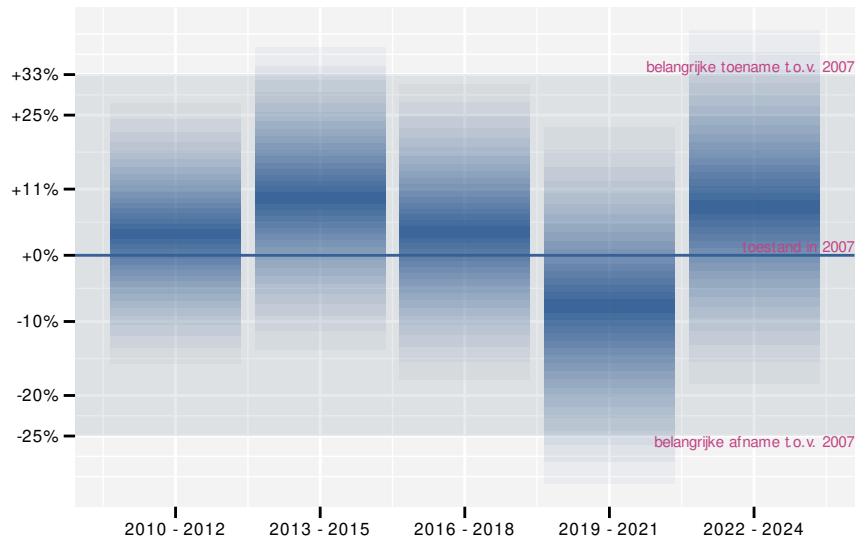
Op basis van jaarlijkse gegevens zien we gemiddeld een onduidelijk met +0.0% (-2.1%; +2.3%) per jaar of +1% (-29%; +43%) over de volledige looptijd van het meetnet. Deze trend is niet-lineair.



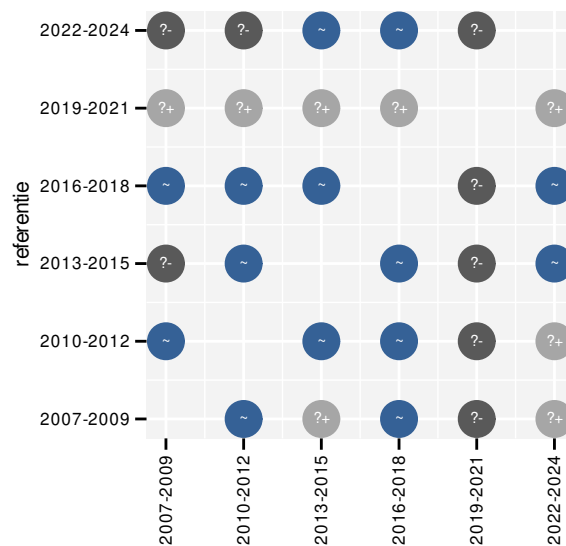
Figuur 71.1: Evolutie van het gemodelleerde gemiddeld aantal waargenomen dieren op een meetpunt voor Nachtegaal tijdens de referentieperiode. Zie §3.1 voor een verklaring van de intervallen.



Figuur 71.2: Wijzigingen tussen jaren voor Nachtegaal. Zie §3.1 voor een verklaring van de intervallen en §3.2 voor uitleg over de symbolen en referentielijnen.



Figuur 71.5: Wijzigingen per driejarige cyclus voor Nachtegaal. Zie §3.1 voor een verklaring van de intervallen en §3.2 voor uitleg over de symbolen en referentielijnen.

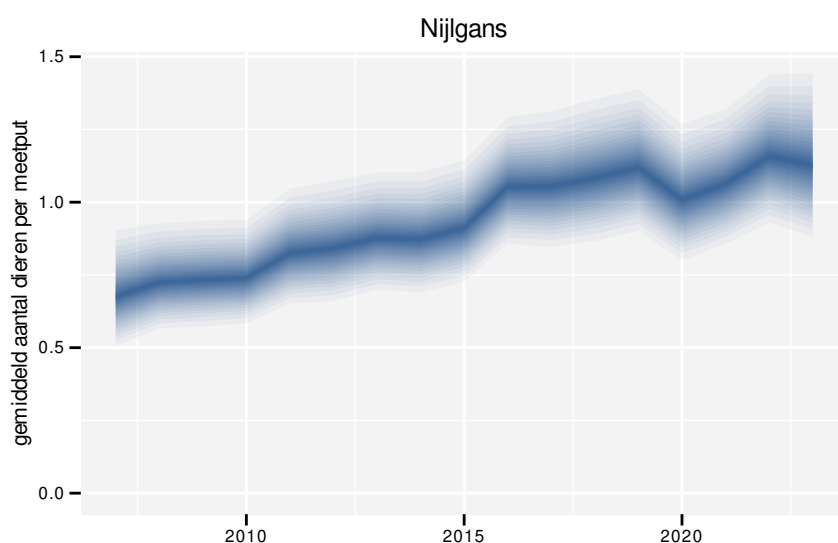


Figuur 71.6: Paarsgewijze vergelijking tussen driejarige cycli voor Nachtegaal. Uitleg van de symbolen in tabel 3.1.

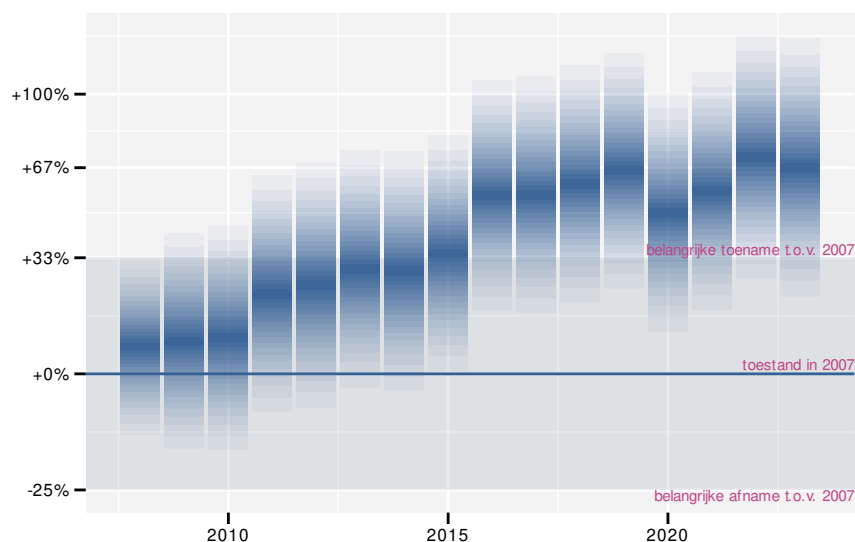
72 NIJLGANS

72.1 ANALYSE PER JAAR

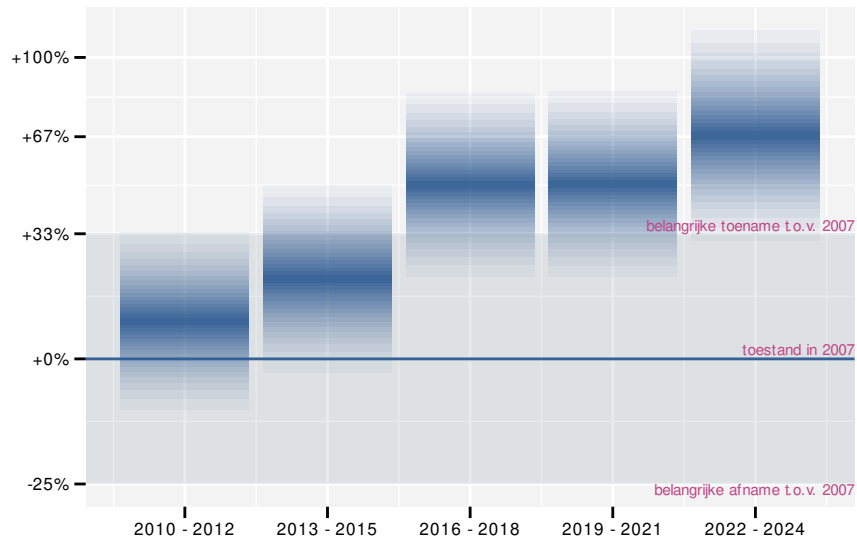
Op basis van jaarlijkse gegevens zien we gemiddeld een sterke toename met +4.0% (+2.5%; +5.4%) per jaar of +86.0% (+48.2%; +133.1%) over de volledige looptijd van het meetnet. Deze trend is lineair.



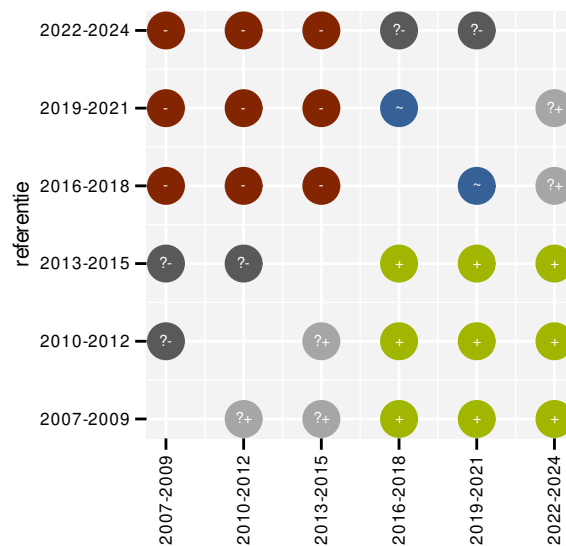
Figuur 72.1: Evolutie van het gemodelleerde gemiddeld aantal waargenomen dieren op een meetpunt voor Nijlgans tijdens de referentieperiode. Zie §3.1 voor een verklaring van de intervallen.



Figuur 72.2: Wijzigingen tussen jaren voor Nijlgans. Zie §3.1 voor een verklaring van de intervallen en §3.2 voor uitleg over de symbolen en referentielijnen.



Figuur 72.5: Wijzigingen per driejarige cyclus voor Nijlgans. Zie §3.1 voor een verklaring van de intervallen en §3.2 voor uitleg over de symbolen en referentielijnen.



Figuur 72.6: Paarsgewijze vergelijking tussen driejarige cycli voor Nijlgans. Uitleg van de symbolen in tabel 3.1.

72.3 KENMERKEN VAN DE GEGEVENS

Tabel 72.1: Stratumgewicht, raming van het aantal hokken waarin de soort aanwezig is, aantal relevante hokken voor de analyse, aantal onderzochte hokken in het stratum, totaal aantal hokken van het stratum in Vlaanderen, aantal bezoeken aan een meetpunt en het gemiddeld aandeel relevante punten per hok voor Nijlgans (zie §2.5).

stratum	gewicht	aanwezig	relevant	onderzocht	totaal	bezoeken	punten
Landbouw	91.7%	1654.6	113	431	6311	5176	54.6%
Moeras en water	3.2%	58.2	34	80	137	1715	62.7%
Heide en duin	2.0%	36.0	17	94	199	633	49.0%
Bos	1.5%	26.7	16	191	319	703	49.0%
Suburbaan	0.8%	17.7	6	68	201	205	41.7%
Urbaan	0.8%	19.1	4	87	416	64	25.0%

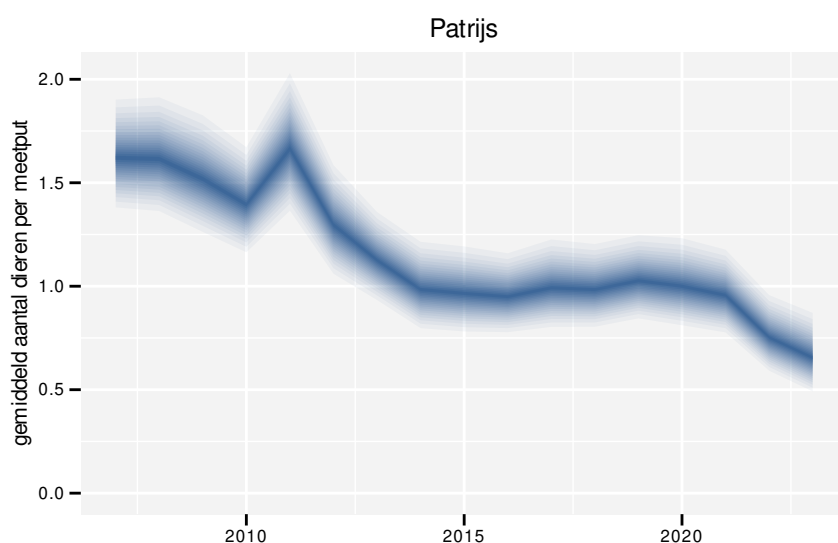
Tabel 72.2: Data-hashes van de analyses in het kader van traceerbaarheid (zie §4.3).

frequentie	model	analyse	status
jaarlijks	niet-lineair	3e7d0466cbe932d04e4f 80761133c31fffcef92b	882519e095b3244eaae7 5158c59414703b1bce12
jaarlijks	lineair	7eab71189ddcabfc28ce 2ce022dd7831518cb8a5	da5c2594e588ab04cedf 6d8fd7ae5880acaf378b
driejaarlijks	niet-lineair	0e1b37392255c8e10290 48961c20b6f6ac9111ab	afc6fee3f93f2ff762f1 297a7da7d750481e8e38
driejaarlijks	lineair	109f8d0f5bbe62523061 149347330b571c675604	a7276147140056217123 a5873763e01758457e1f

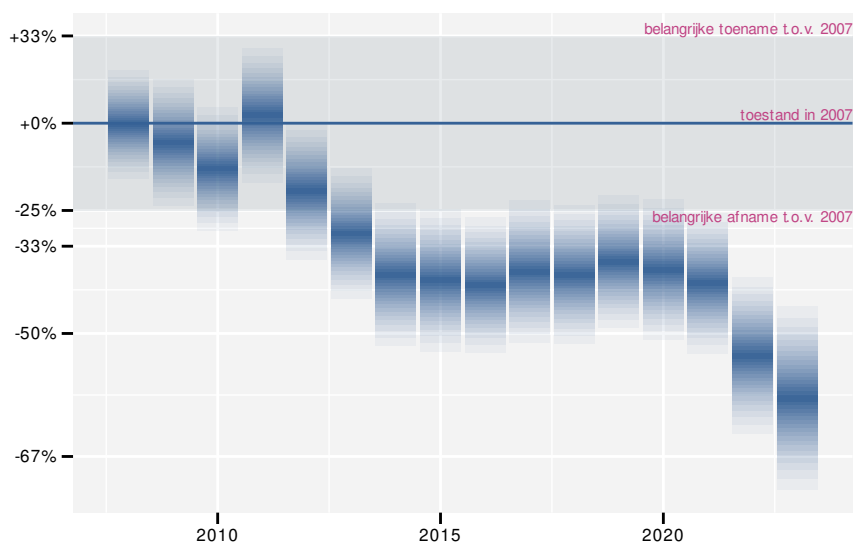
73 PATRIJS

73.1 ANALYSE PER JAAR

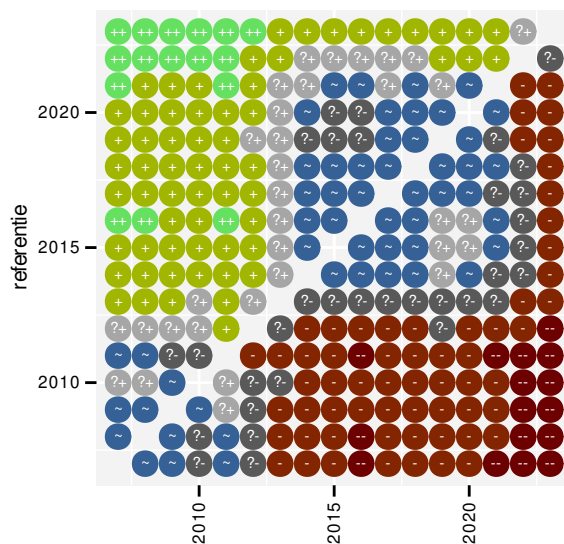
Op basis van jaarlijkse gegevens zien we gemiddeld een sterke afname met -4.8% (-6.0%; -3.7%) per jaar of -55% (-63%; -45%) over de volledige looptijd van het meetnet. Deze trend is niet-lineair.



Figuur 73.1: Evolutie van het gemodelleerde gemiddeld aantal waargenomen dieren op een meetpunt voor Patrijs tijdens de referentieperiode. Zie §3.1 voor een verklaring van de intervallen.



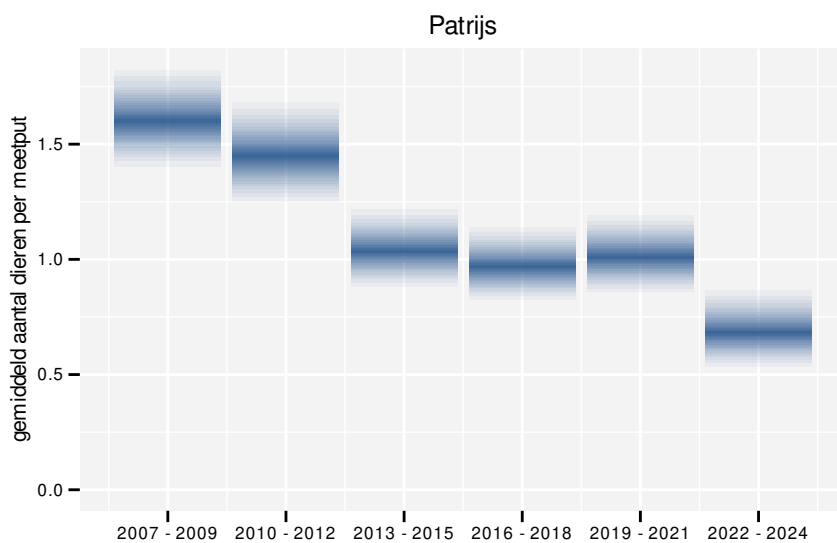
Figuur 73.2: Wijzigingen tussen jaren voor Patrijs. Zie §3.1 voor een verklaring van de intervallen en §3.2 voor uitleg over de symbolen en referentielijnen.



Figuur 73.3: Paarsgewijze vergelijking tussen jaren voor Patrijs. Uitleg van de symbolen in tabel 3.1.

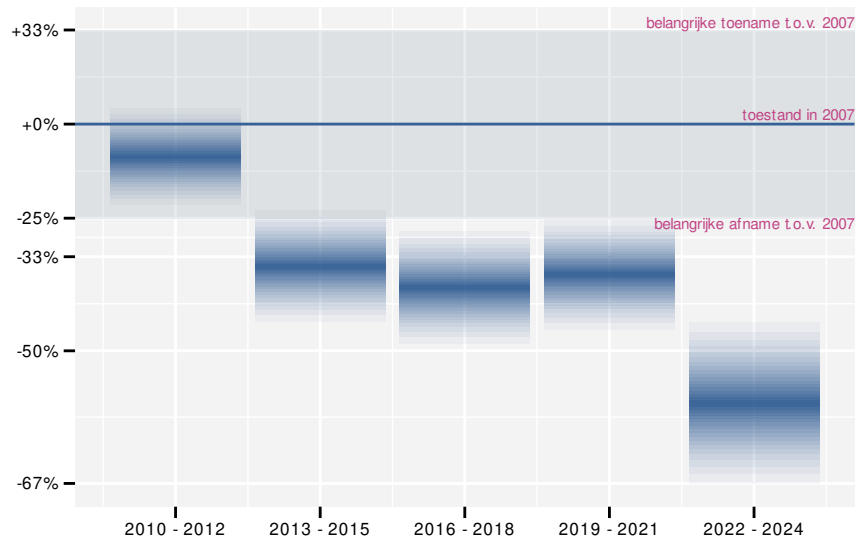
73.2 ANALYSE PER DRIEJAARLIJKSE CYCLUS

Op basis van driejaarlijkse gegevens zien we gemiddeld een sterke afname met -5.0% (-6.1%; -3.8%) per jaar of -56% (-64%; -47%) over de volledige looptijd van het meetnet. Deze trend is niet-lineair.

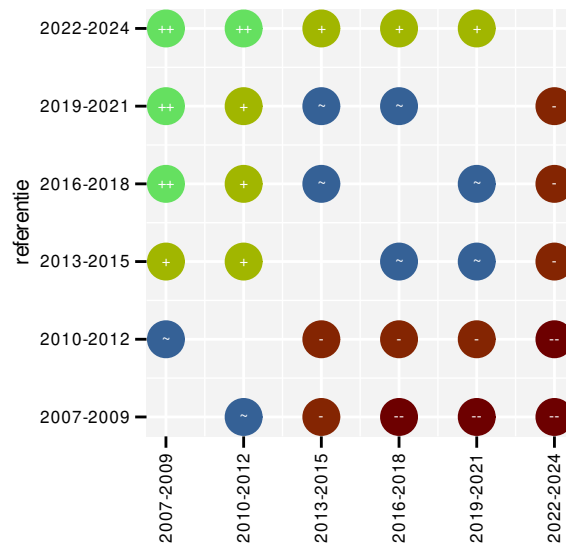


Figuur 73.4: Evolutie van het gemodelleerde gemiddeld aantal waargenomen dieren op een meetpunt voor Patrijs tijdens de referentieperiode. Zie §3.1 voor een verklaring van de intervallen.





Figuur 73.5: Wijzigingen per driejarige cyclus voor Patrijs. Zie §3.1 voor een verklaring van de intervallen en §3.2 voor uitleg over de symbolen en referentielijnen.



Figuur 73.6: Paarsgewijze vergelijking tussen driejarige cycli voor Patrijs. Uitleg van de symbolen in tabel 3.1.

73.3 KENMERKEN VAN DE GEGEVENS

Tabel 73.1: Stratumgewicht, raming van het aantal hokken waarin de soort aanwezig is, aantal relevante hokken voor de analyse, aantal onderzochte hokken in het stratum, totaal aantal hokken van het stratum in Vlaanderen, aantal bezoeken aan een meetpunt en het gemiddeld aandeel relevante punten per hok voor Patrijs (zie §2.5).

stratum	gewicht	aanwezig	relevant	onderzocht	totaal	bezoeken	punten
Landbouw	100.0%	2211	151	431	6311	6499	53.1%

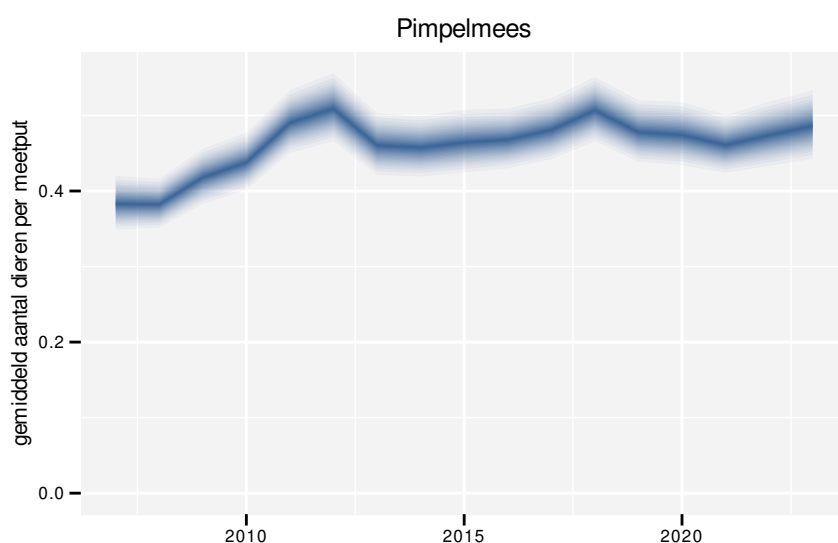
Tabel 73.2: Data-hashes van de analyses in het kader van traceerbaarheid (zie §4.3).

frequentie	model	analyse	status
jaarlijks	niet-lineair	9f218a969f62a03ef252	ee683acefc567686fb5d
		334b4dba7a421118c2d1	dc4257ce226517da92e2
jaarlijks	lineair	02650104e02b12a9a70a	0d0069de7424d621834a
		250a6b9d125f09fb1e16	03c91c5d1078997cdc7a
driejaarlijks	niet-lineair	9fbbc7c4a4b58c5f46b5	caeaca52899d1c25d1fe
		22e676aa6d25c1351f26	ed523d1491165180b5ee
driejaarlijks	lineair	633ced11405a6b40d20a	fa91c20929461bc675fe
		b6daa7f4931c49878700	e706de9f83a59313a501

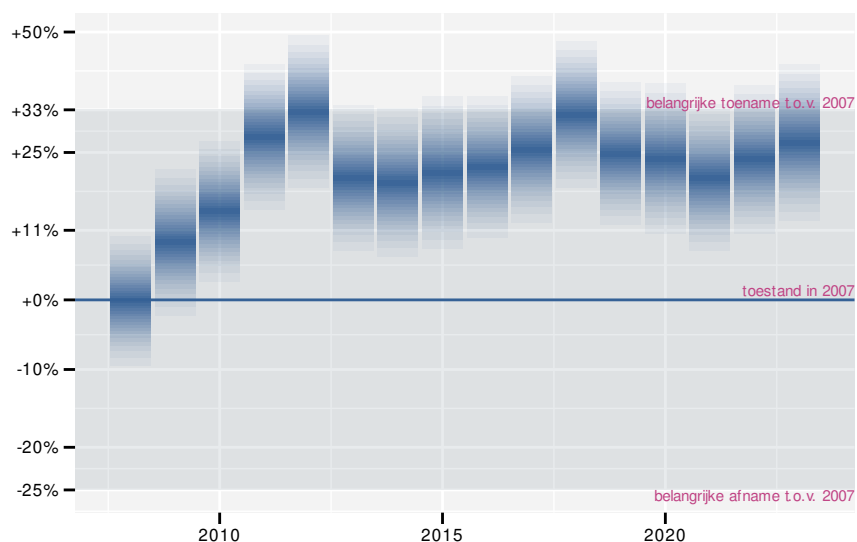
74 PIMPELMEES

74.1 ANALYSE PER JAAR

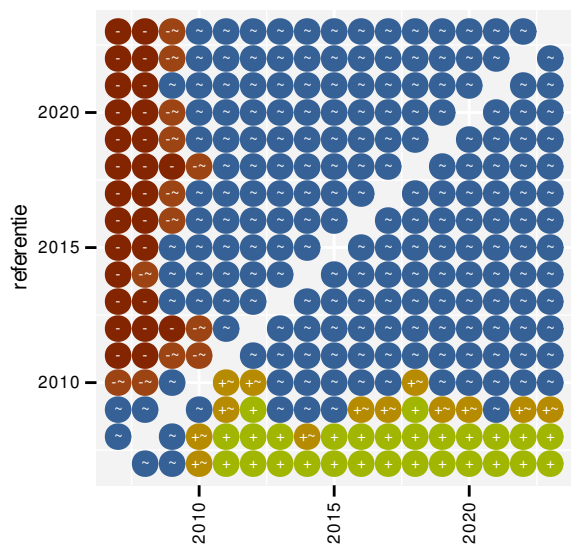
Op basis van jaarlijkse gegevens zien we gemiddeld een matige toename met +1.157% (+0.682%; +1.623%) per jaar of +20% (+11%; +29%) over de volledige looptijd van het meetnet. Deze trend is niet-lineair.



Figuur 74.1: Evolutie van het gemodelleerde gemiddeld aantal waargenomen dieren op een meetpunt voor Pimpelmees tijdens de referentieperiode. Zie §3.1 voor een verklaring van de intervallen.



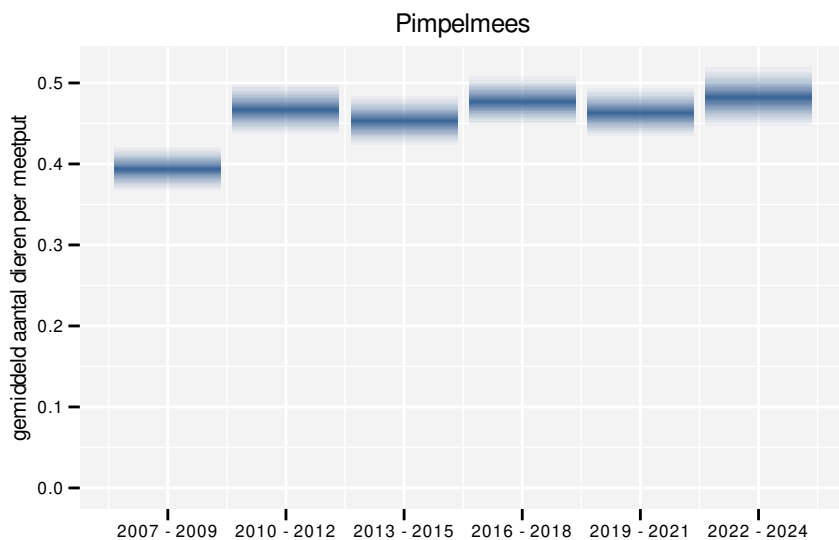
Figuur 74.2: Wijzigingen tussen jaren voor Pimpelmees. Zie §3.1 voor een verklaring van de intervallen en §3.2 voor uitleg over de symbolen en referentielijnen.



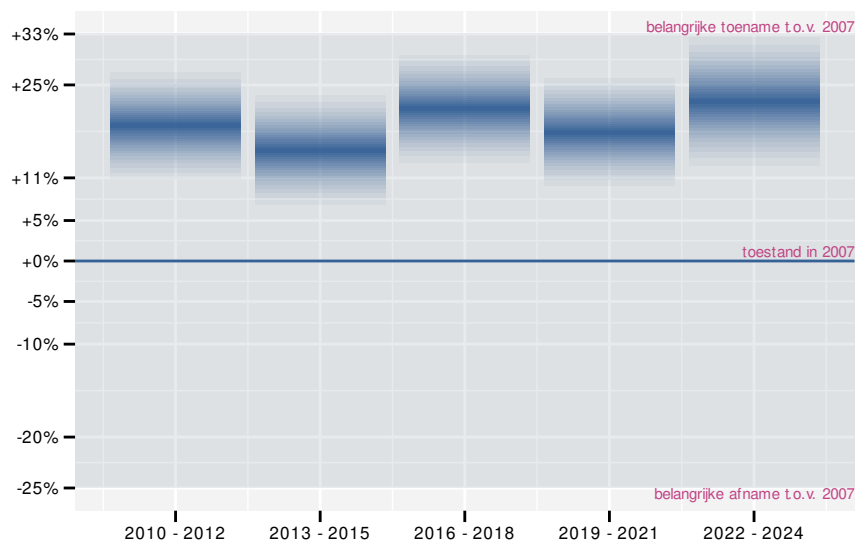
Figuur 74.3: Paarsgewijze vergelijking tussen jaren voor Pimpelmees. Uitleg van de symbolen in tabel 3.1.

74.2 ANALYSE PER DRIEJAARLIJKSE CYCLUS

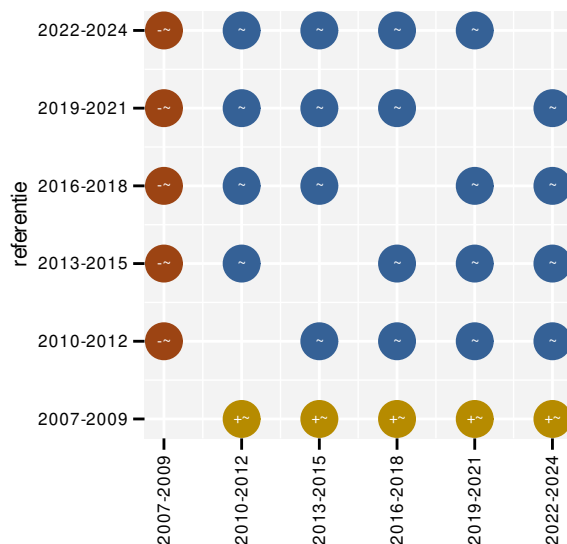
Op basis van driejaarlijkse gegevens zien we gemiddeld een matige toename met +1.089% (+0.619%; +1.562%) per jaar of +19% (+10%; +28%) over de volledige looptijd van het meetnet. Deze trend is niet-lineair.



Figuur 74.4: Evolutie van het gemodelleerde gemiddeld aantal waargenomen dieren op een meetpunt voor Pimpelmees tijdens de referentieperiode. Zie §3.1 voor een verklaring van de intervallen.



Figuur 74.5: Wijzigingen per driejarige cyclus voor Pimpelmees. Zie §3.1 voor een verklaring van de intervallen en §3.2 voor uitleg over de symbolen en referentielijnen.



Figuur 74.6: Paarsgewijze vergelijking tussen driejarige cycli voor Pimpelmees. Uitleg van de symbolen in tabel 3.1.

74.3 KENMERKEN VAN DE GEGEVENS

Tabel 74.1: Stratumgewicht, raming van het aantal hokken waarin de soort aanwezig is, aantal relevante hokken voor de analyse, aantal onderzochte hokken in het stratum, totaal aantal hokken van het stratum in Vlaanderen, aantal bezoeken aan een meetpunt en het gemiddeld aandeel relevante punten per hok voor Pimpelmees (zie §2.5).

stratum	gewicht	aanwezig	relevant	onderzocht	totaal	bezoeken	punten
Landbouw	81.3%	4158.5	284	431	6311	15909	73.4%
Urbain	6.5%	334.7	70	87	416	4318	86.0%
Bos	4.4%	227.1	136	191	319	8920	90.1%
Suburbaan	2.9%	150.8	51	68	201	2810	79.1%
Heide en duin	2.9%	148.2	70	94	199	4062	77.1%
Moeras en water	1.9%	97.6	57	80	137	3337	78.9%

Tabel 74.2: Data-hashes van de analyses in het kader van traceerbaarheid (zie §4.3).

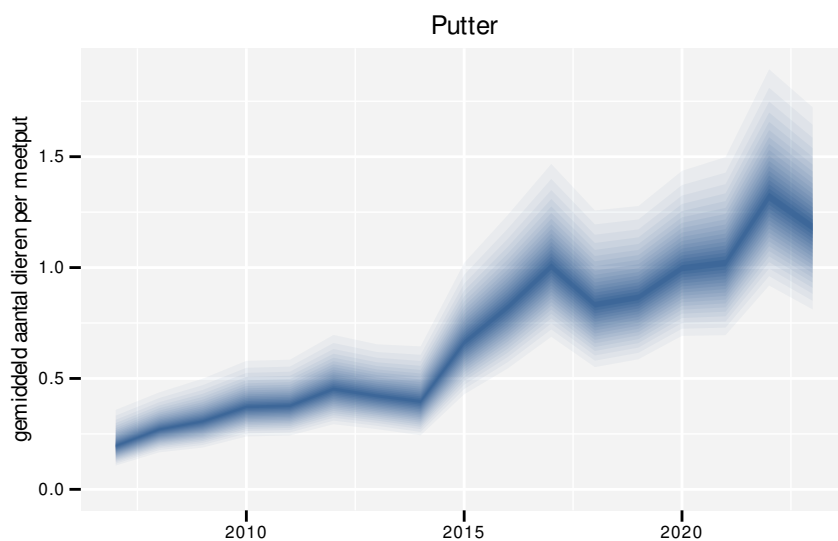
frequentie	model	analyse	status
jaarlijks	niet-lineair	62df99497d514aaa0a02 0e319fb9f4a73af6053f	620f2415e3002114ab7b 3cd7ada1d467314f3cbf
jaarlijks	lineair	58c02fbe1b4622c5cbfc a110cb5f6f967188e0d9	d057ee065dcb431cbd94 bcf71003e28e450a1ccf
driejaarlijks	niet-lineair	f28af1197504d2ee7f1e 057da67aad80fe1df0b0	faf489eee1f3cc3ebaef c6cef4b2509387a7d955
driejaarlijks	lineair	b5e4c0c917c548e86d91 5f7869b194e66224dad5	8cc7102ee1db508fad19 7a1ec32958d72ec5e18d



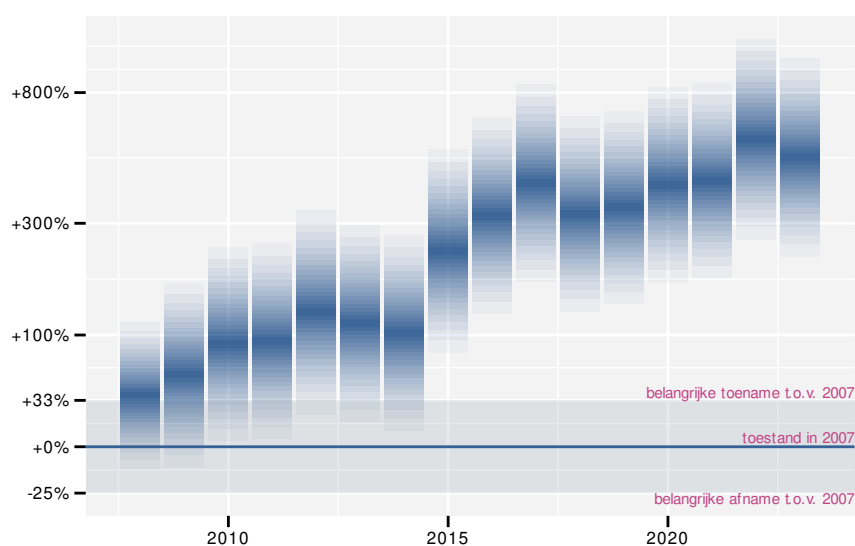
75 PUTTER

75.1 ANALYSE PER JAAR

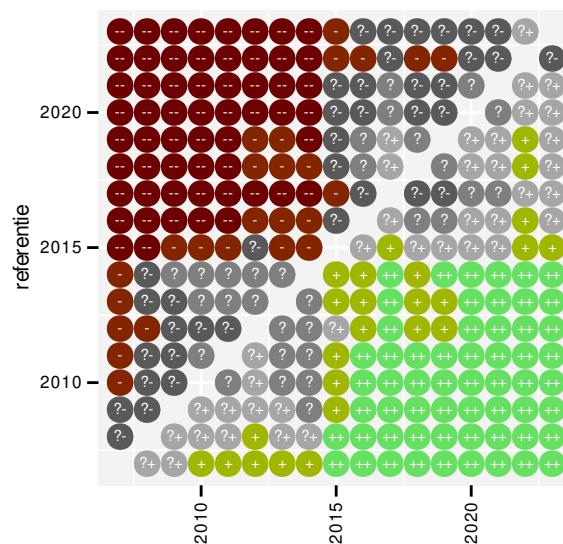
Op basis van jaarlijkse gegevens zien we gemiddeld een sterke toename met +12.79% (+9.94%; +15.72%) per jaar of +590% (+360%; +930%) over de volledige looptijd van het meetnet. Deze trend is mogelijk niet-lineair.



Figuur 75.1: Evolutie van het gemodelleerde gemiddeld aantal waargenomen dieren op een meetpunt voor Putter tijdens de referentieperiode. Zie §3.1 voor een verklaring van de intervallen.



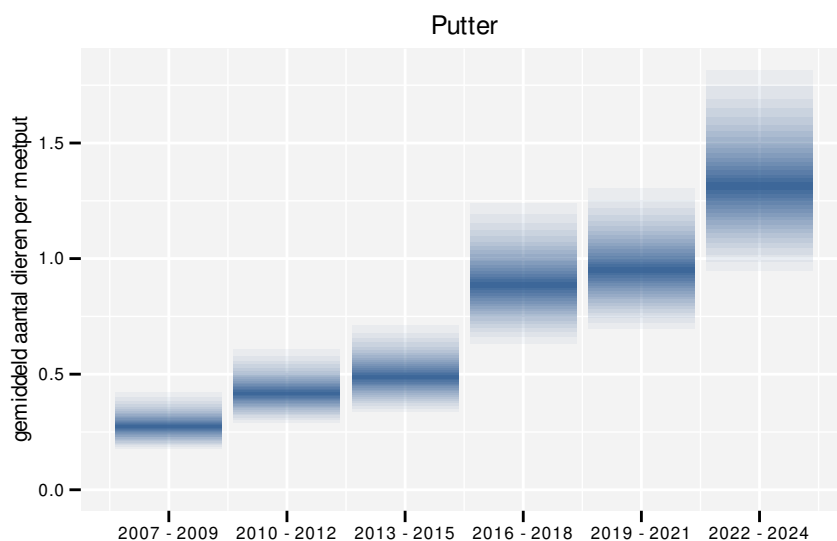
Figuur 75.2: Wijzigingen tussen jaren voor Putter. Zie §3.1 voor een verklaring van de intervallen en §3.2 voor uitleg over de symbolen en referentielijnen.



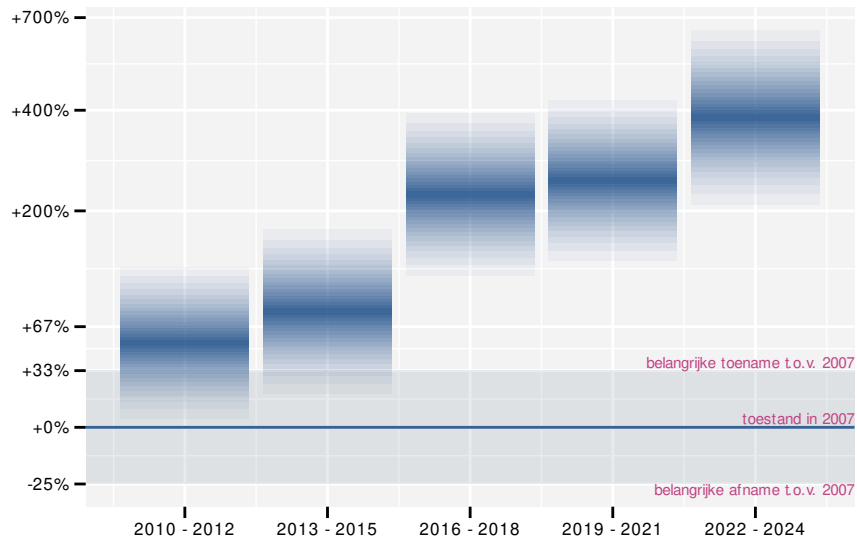
Figuur 75.3: Paarsgewijze vergelijking tussen jaren voor Putter. Uitleg van de symbolen in tabel 3.1.

75.2 ANALYSE PER DRIEJAARLIJKSE CYCLUS

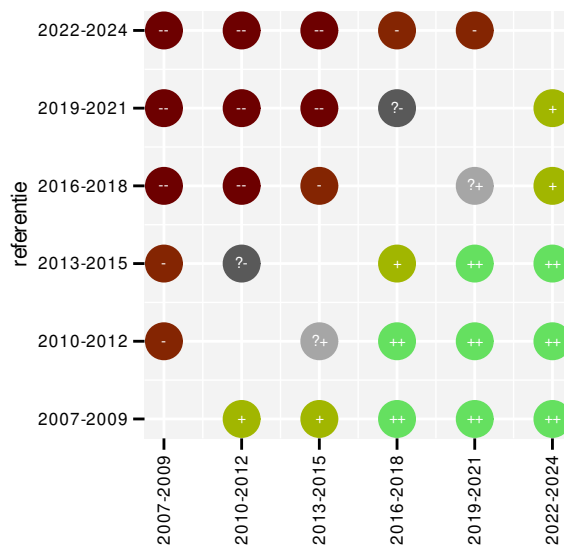
Op basis van driejaarlijkse gegevens zien we gemiddeld een sterke toename met +12.52% (+9.70%; +15.42%) per jaar of +560% (+340%; +890%) over de volledige looptijd van het meetnet. Deze trend is lineair.



Figuur 75.4: Evolutie van het gemodelleerde gemiddeld aantal waargenomen dieren op een meetpunt voor Putter tijdens de referentieperiode. Zie §3.1 voor een verklaring van de intervallen.



Figuur 75.5: Wijzigingen per driejarige cyclus voor Putter. Zie §3.1 voor een verklaring van de intervallen en §3.2 voor uitleg over de symbolen en referentielijnen.



Figuur 75.6: Paarsgewijze vergelijking tussen driejarige cycli voor Putter. Uitleg van de symbolen in tabel 3.1.

75.3 KENMERKEN VAN DE GEGEVENS

Tabel 75.1: Stratumgewicht, raming van het aantal hokken waarin de soort aanwezig is, aantal relevante hokken voor de analyse, aantal onderzochte hokken in het stratum, totaal aantal hokken van het stratum in Vlaanderen, aantal bezoeken aan een meetpunt en het gemiddeld aandeel relevante punten per hok voor Putter (zie §2.5).

stratum	gewicht	aanwezig	relevant	onderzocht	totaal	bezoeken	punten
Landbouw	89.7%	907.8	62	431	6311	2303	41.9%
Urbaan	3.8%	43.0	9	87	416	405	46.3%
Suburbaan	2.6%	26.6	9	68	201	428	63.0%
Moeras en water	1.9%	18.8	11	80	137	464	51.5%
Heide en duin	1.0%	12.7	6	94	199	145	33.3%
Bos	1.0%	11.7	7	191	319	239	45.2%

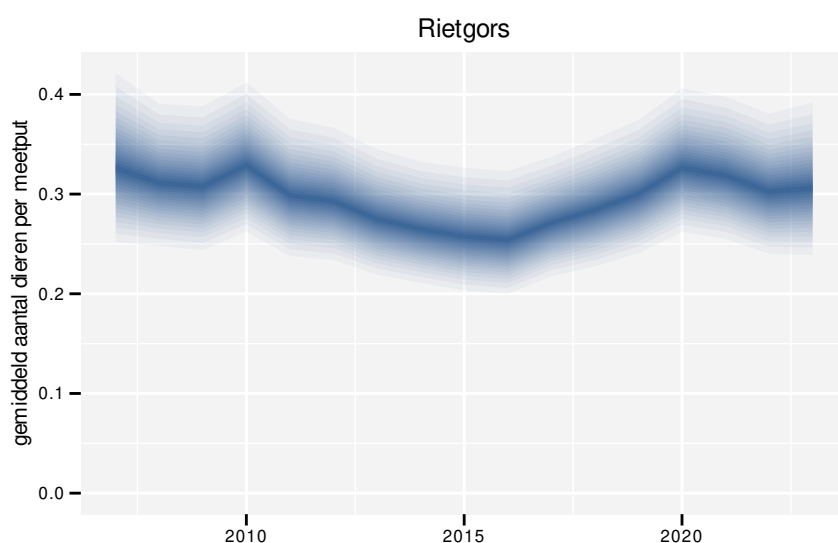
Tabel 75.2: Data-hashes van de analyses in het kader van traceerbaarheid (zie §4.3).

frequentie	model	analyse	status
jaarlijks	niet-lineair	cd85d5886f99b30f26d7 da893bf6ab772a9308d0	500e68e3274bc1b032ec 4e55e70f5811f6332c82
jaarlijks	lineair	9d24ff6b61d31727366d 9a5a0fe97c9a4172260f	5a141d18ee79ab00c253 31c3a18686ba7fa85d64
driejaarlijks	niet-lineair	69c91b4e9f635e2ba60d aded63d5e893ec16c839	e75c5360141042e87032 ecff8f2ec3ae801fbd61
driejaarlijks	lineair	3824f43fde18edcb7fa8 b85aa3fe6c5cf0822856	d16e377108d43293bb7b f660c65a503528c744e2

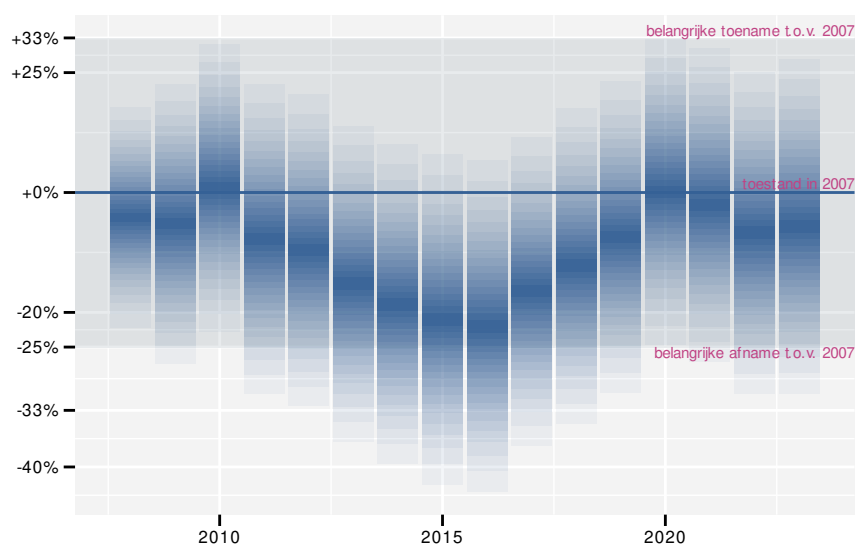
76 RIETGORS

76.1 ANALYSE PER JAAR

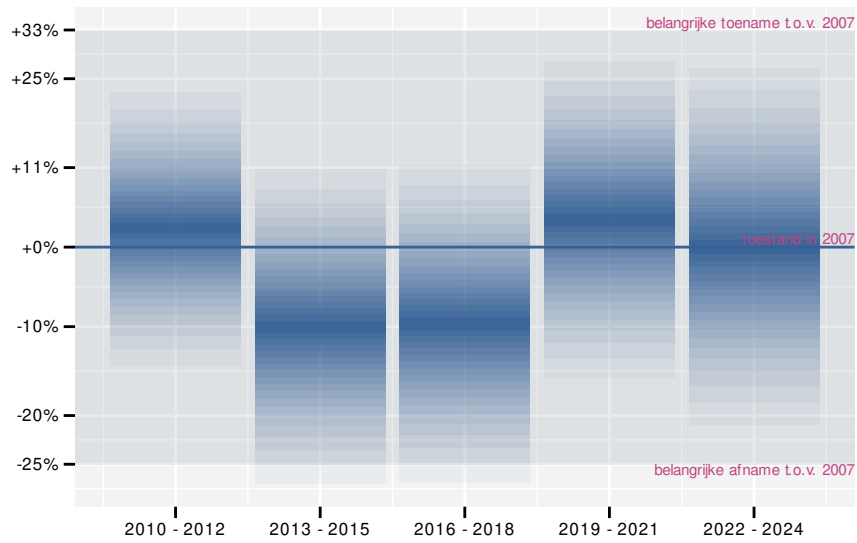
Op basis van jaarlijkse gegevens zien we gemiddeld een mogelijke afname met -0.22% (-1.83% ; $+1.42\%$) per jaar of -3% (-26% ; $+25\%$) over de volledige looptijd van het meetnet. Deze trend is niet-lineair.



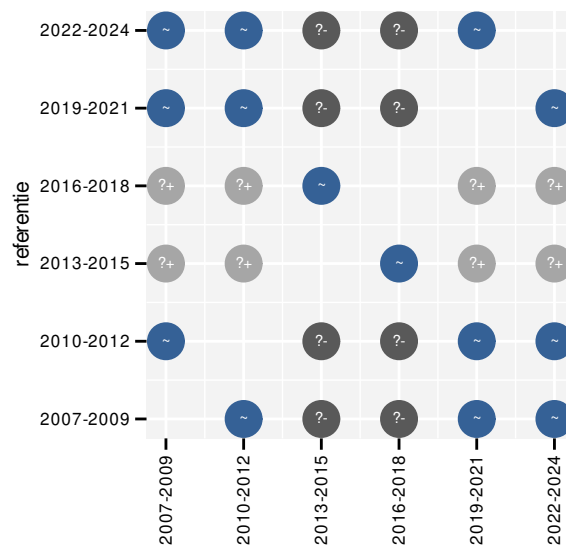
Figuur 76.1: Evolutie van het gemodelleerde gemiddeld aantal waargenomen dieren op een meetpunt voor Rietgors tijdens de referentieperiode. Zie §3.1 voor een verklaring van de intervallen.



Figuur 76.2: Wijzigingen tussen jaren voor Rietgors. Zie §3.1 voor een verklaring van de intervallen en §3.2 voor uitleg over de symbolen en referentielijnen.



Figuur 76.5: Wijzigingen per driejarige cyclus voor Rietgors. Zie §3.1 voor een verklaring van de intervallen en §3.2 voor uitleg over de symbolen en referentielijnen.



Figuur 76.6: Paarsgewijze vergelijking tussen driejarige cycli voor Rietgors. Uitleg van de symbolen in tabel 3.1.

76.3 KENMERKEN VAN DE GEGEVENS

Tabel 76.1: Stratumgewicht, raming van het aantal hokken waarin de soort aanwezig is, aantal relevante hokken voor de analyse, aantal onderzochte hokken in het stratum, totaal aantal hokken van het stratum in Vlaanderen, aantal bezoeken aan een meetpunt en het gemiddeld aandeel relevante punten per hok voor Rietgors (zie §2.5).

stratum	gewicht	aanwezig	relevant	onderzocht	totaal	bezoeken	punten
Landbouw	82.3%	453.9	31	431	6311	1553	56.5%
Heide en duin	7.3%	40.2	19	94	199	810	55.3%
Moeras en water	6.8%	37.7	22	80	137	1089	60.6%
Suburbaan	2.7%	17.7	6	68	201	207	69.4%
Bos	0.9%	6.7	4	191	319	140	33.3%

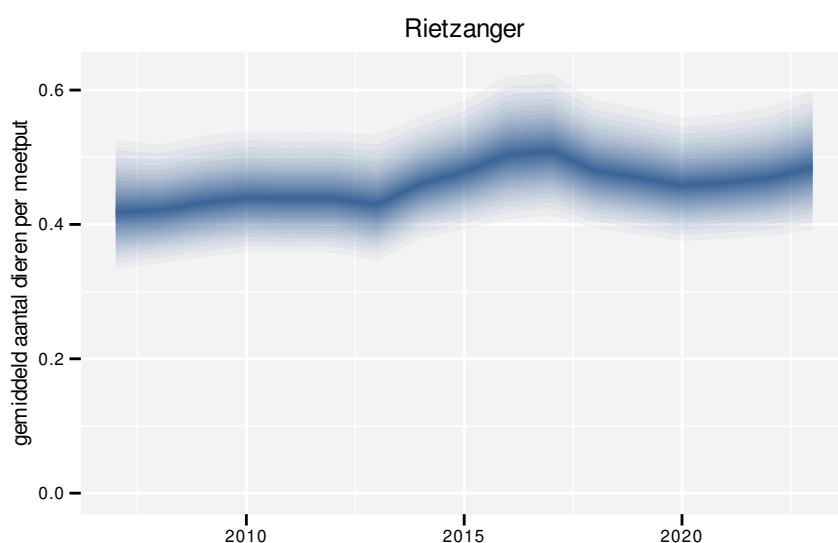
Tabel 76.2: Data-hashes van de analyses in het kader van traceerbaarheid (zie §4.3).

frequentie	model	analyse	status
jaarlijks	niet-lineair	89f6f03a5bc047141ba6 cc766377e9af61a0537a	6ff6ec334df39c6c8ba3 07c81e8074dc3be45dac
jaarlijks	lineair	0c0f1fe43eb239c2b7c2 ed45e9806c1d45ec3d9c	003088a458aef49fe396 41fc54b6bbad3d1a99a0
driejaarlijks	niet-lineair	1550feabadc972df28ad 5441f04c8331589f6d96	c485a0a3fcf759bd0d6d 53602de41d997a7abcf3
driejaarlijks	lineair	faecf834f729fd73a67c f910a087f2bdb3e09654	6e9b28250736f639667c ddf5ad32ba22191fde32

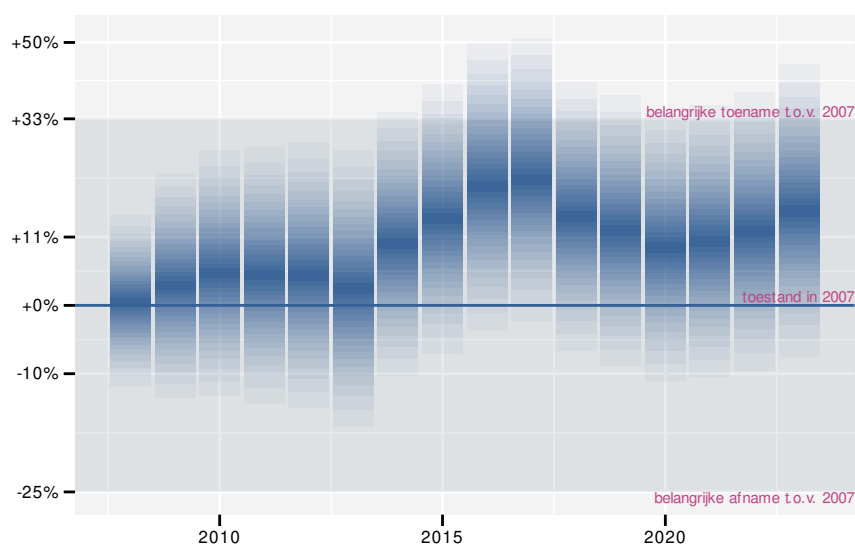
77 RIETZANGER

77.1 ANALYSE PER JAAR

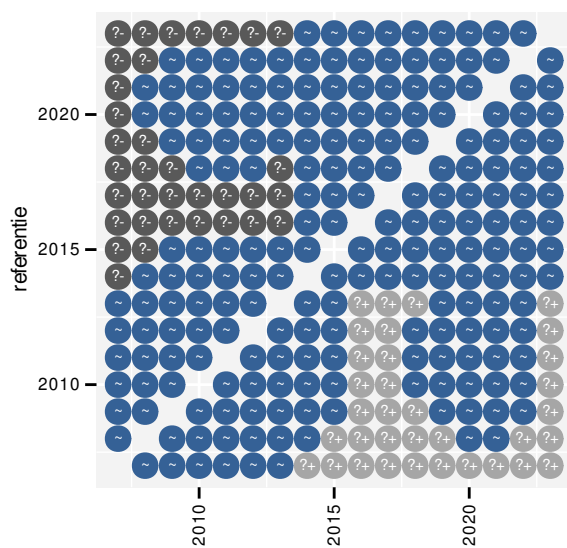
Op basis van jaarlijkse gegevens zien we gemiddeld een mogelijke toename met +1.1% (-0.2%; +2.3%) per jaar of +19% (-3%; +45%) over de volledige looptijd van het meetnet. Deze trend is mogelijk niet-lineair.



Figuur 77.1: Evolutie van het gemodelleerde gemiddeld aantal waargenomen dieren op een meetpunt voor Rietzanger tijdens de referentieperiode. Zie §3.1 voor een verklaring van de intervallen.



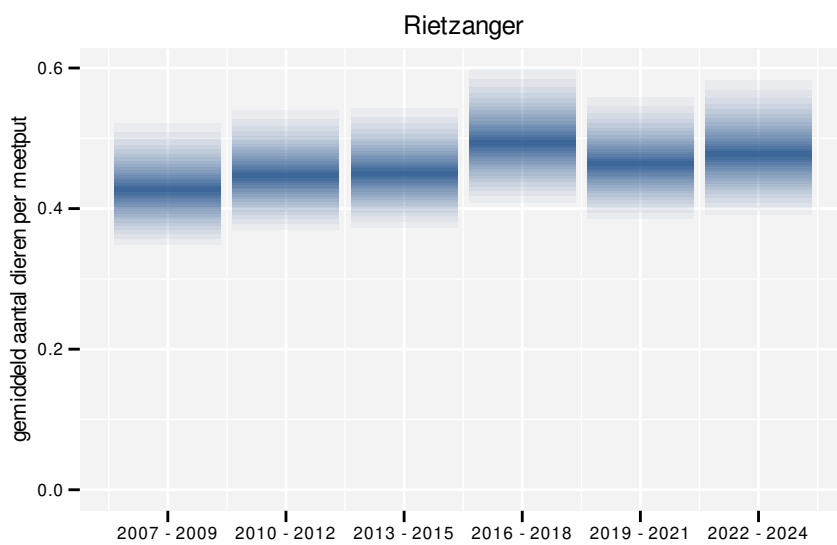
Figuur 77.2: Wijzigingen tussen jaren voor Rietzanger. Zie §3.1 voor een verklaring van de intervallen en §3.2 voor uitleg over de symbolen en referentielijnen.



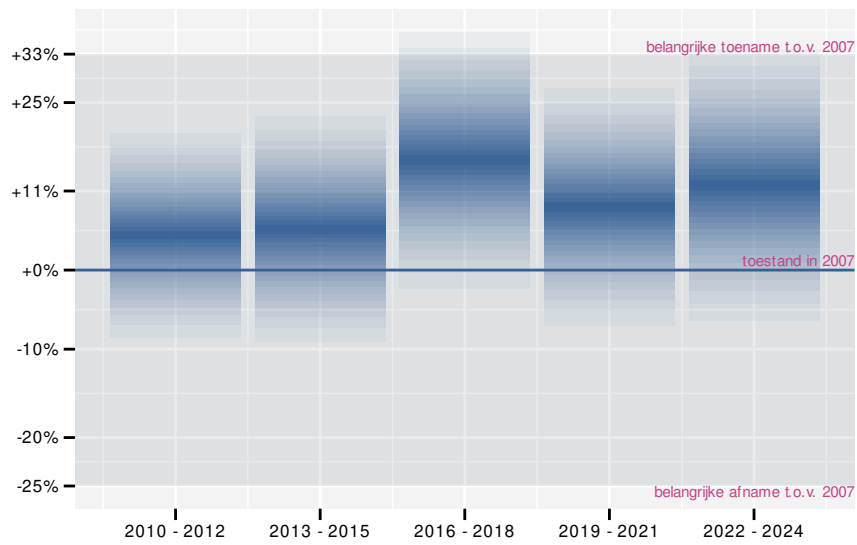
Figuur 77.3: Paarsgewijze vergelijking tussen jaren voor Rietzanger. Uitleg van de symbolen in tabel 3.1.

77.2 ANALYSE PER DRIEJAARLIJKSE CYCLUS

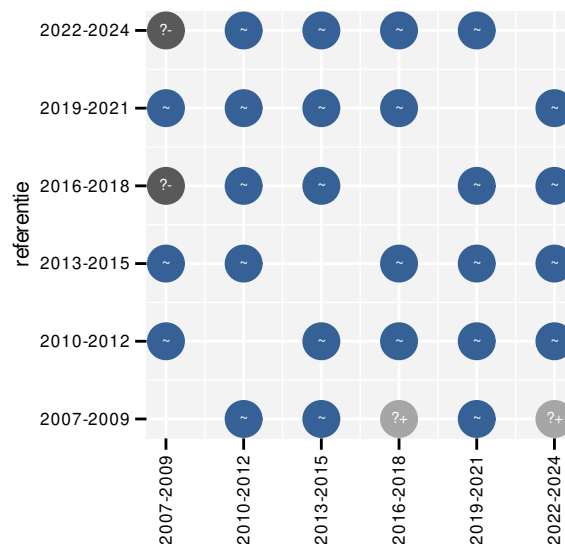
Op basis van driejaarlijkse gegevens zien we gemiddeld een mogelijke toename met +1.0% (-0.2%; +2.3%) per jaar of +18% (-3%; +44%) over de volledige looptijd van het meetnet. Deze trend is lineair.



Figuur 77.4: Evolutie van het gemodelleerde gemiddeld aantal waargenomen dieren op een meetpunt voor Rietzanger tijdens de referentieperiode. Zie §3.1 voor een verklaring van de intervallen.



Figuur 77.5: Wijzigingen per driejarige cyclus voor Rietzanger. Zie §3.1 voor een verklaring van de intervallen en §3.2 voor uitleg over de symbolen en referentielijnen.

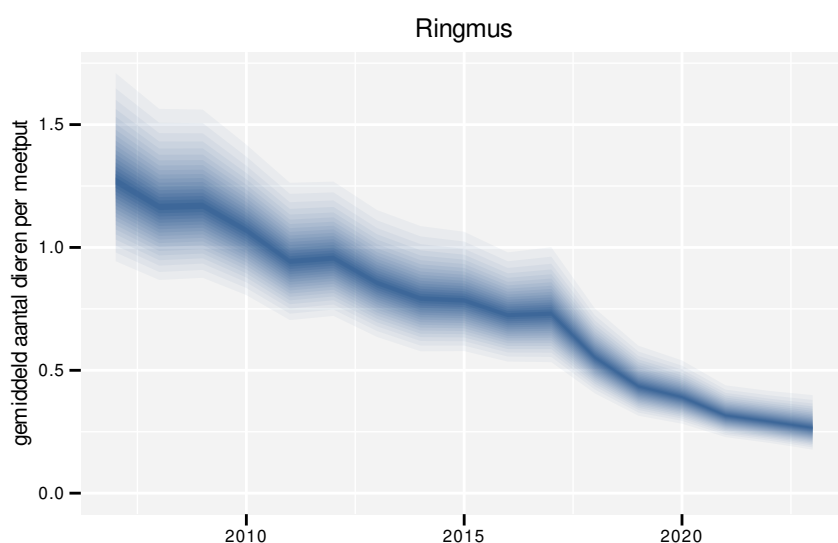


Figuur 77.6: Paarsgewijze vergelijking tussen driejarige cycli voor Rietzanger. Uitleg van de symbolen in tabel 3.1.

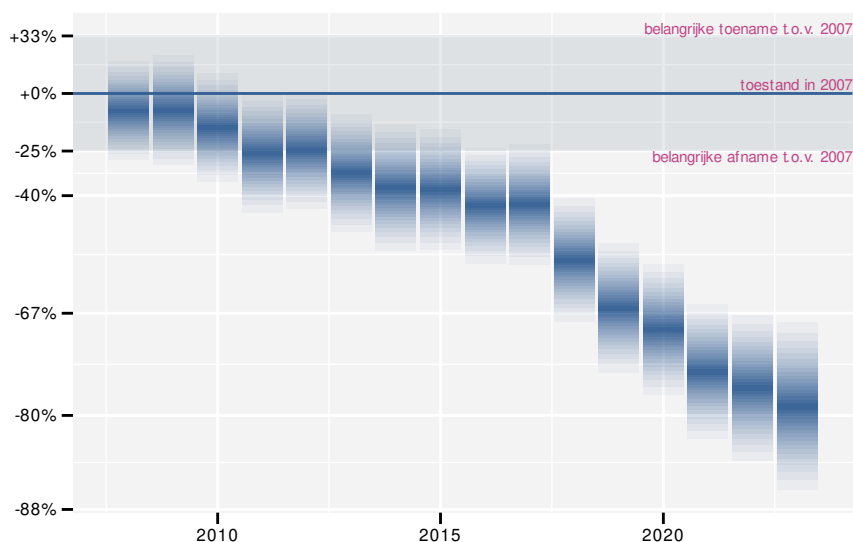
78 RINGMUS

78.1 ANALYSE PER JAAR

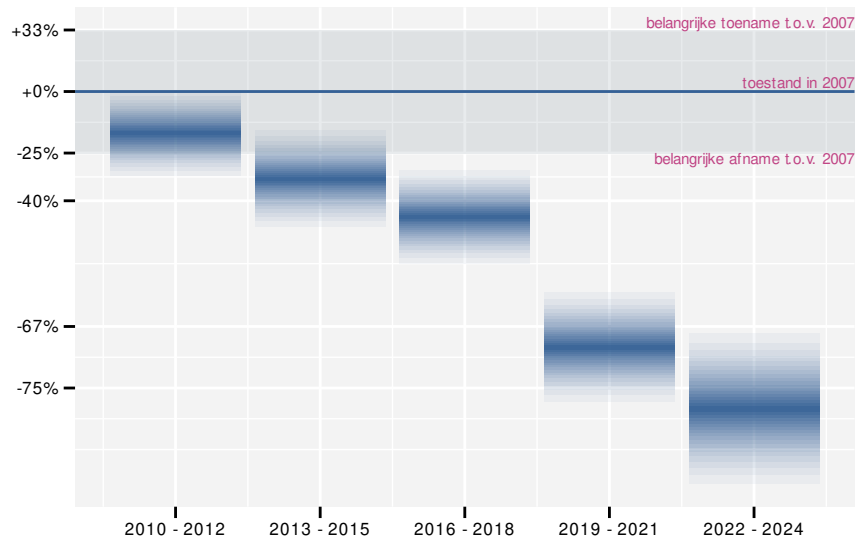
Op basis van jaarlijkse gegevens zien we gemiddeld een sterke afname met -9.24% (-10.85%; -7.61%) per jaar of -79% (-84%; -72%) over de volledige looptijd van het meetnet. Deze trend is niet-lineair.



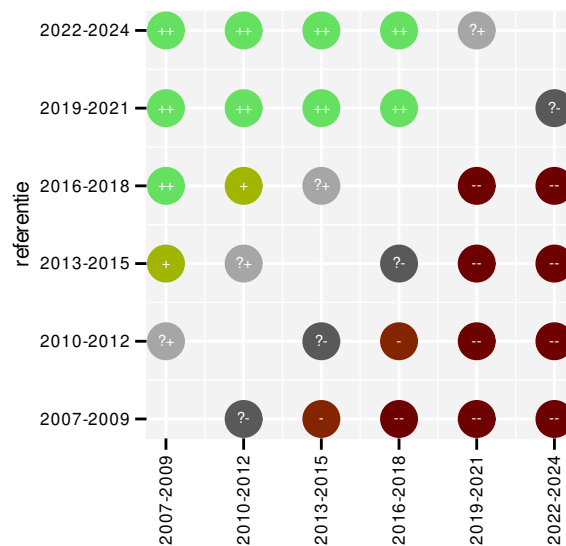
Figuur 78.1: Evolutie van het gemodelleerde gemiddeld aantal waargenomen dieren op een meetpunt voor Ringmus tijdens de referentieperiode. Zie §3.1 voor een verklaring van de intervallen.



Figuur 78.2: Wijzigingen tussen jaren voor Ringmus. Zie §3.1 voor een verklaring van de intervallen en §3.2 voor uitleg over de symbolen en referentielijnen.



Figuur 78.5: Wijzigingen per driejarige cyclus voor Ringmus. Zie §3.1 voor een verklaring van de intervallen en §3.2 voor uitleg over de symbolen en referentielijnen.



Figuur 78.6: Paarsgewijze vergelijking tussen driejarige cycli voor Ringmus. Uitleg van de symbolen in tabel 3.1.

78.3 KENMERKEN VAN DE GEGEVENS

Tabel 78.1: Stratumgewicht, raming van het aantal hokken waarin de soort aanwezig is, aantal relevante hokken voor de analyse, aantal onderzochte hokken in het stratum, totaal aantal hokken van het stratum in Vlaanderen, aantal bezoeken aan een meetpunt en het gemiddeld aandeel relevante punten per hok voor Ringmus (zie §2.5).

stratum	gewicht	aanwezig	relevant	onderzocht	totaal	bezoeken	punten
Landbouw	99.6%	1347.1	92	431	6311	3867	53.1%
Moeras en water	0.4%	6.8	4	80	137	143	37.5%

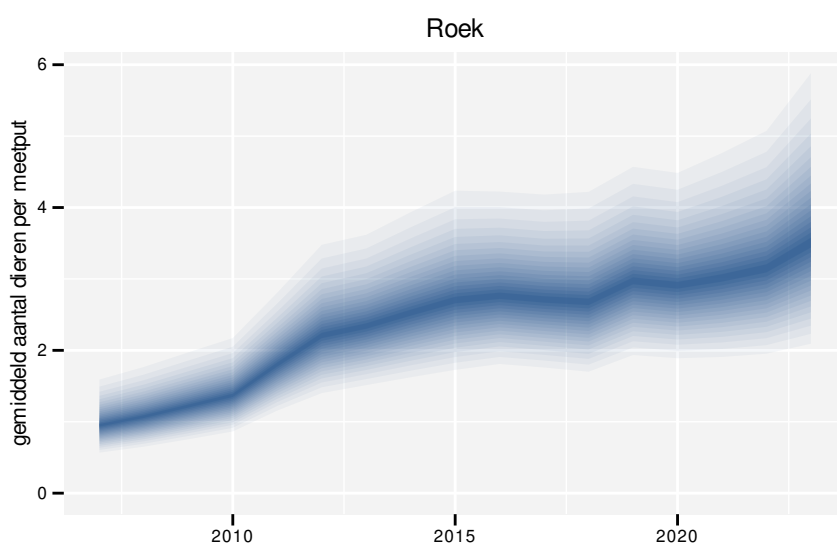
Tabel 78.2: Data-hashes van de analyses in het kader van traceerbaarheid (zie §4.3).

frequentie	model	analyse	status
jaarlijks	niet-lineair	4462512c3bc36872ae67 5261a1c0aaaddf3bf1e1	77db66f99a1d5a69fae8 c42f43b5ef1cd2a7528c
jaarlijks	lineair	6e37ab0aab00d51d6ddc 10c195fec2972a20e4ef	4cb66ac5144c867a4d4b 900ee60341673a06660b
driejaarlijks	niet-lineair	b1d8dde6f5b24daaa161 2db2678889d5b763e3d9	aa27acd44048481f2fac feb94c982f96ceaa2edd
driejaarlijks	lineair	5b6d6e295e2e83098930 002d7d9b1597e8104f84	f7db28ec5e6d0837ddb8 c51e4854507a7028ee9c

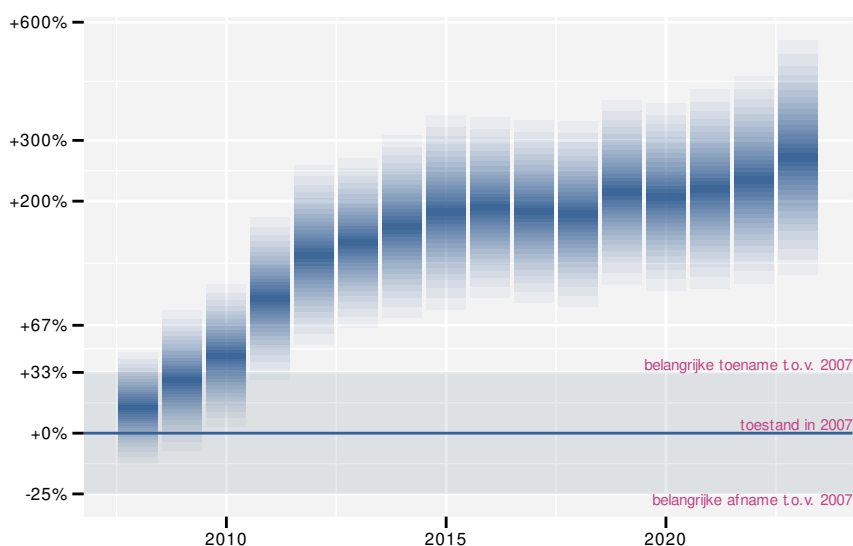
79 ROEK

79.1 ANALYSE PER JAAR

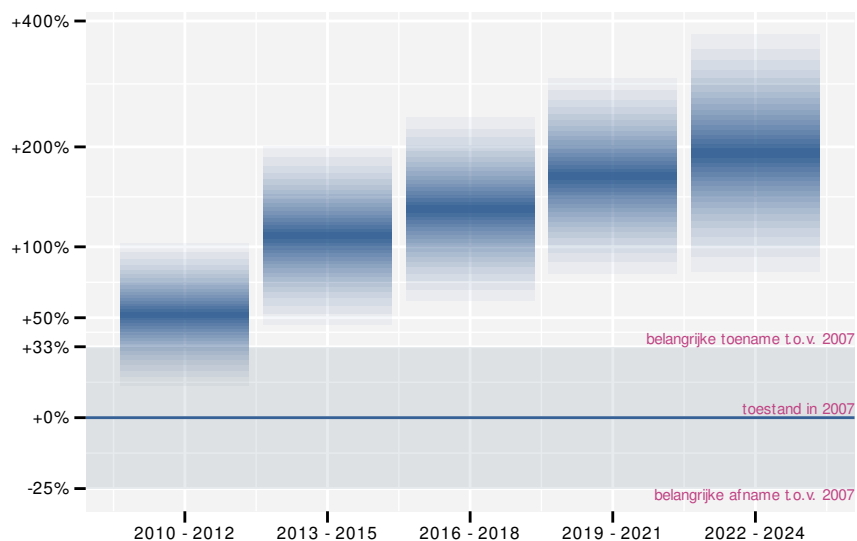
Op basis van jaarlijkse gegevens zien we gemiddeld een sterke toename met +10.00% (+6.91%; +13.19%) per jaar of +360% (+190%; +630%) over de volledige looptijd van het meetnet. Deze trend is lineair.



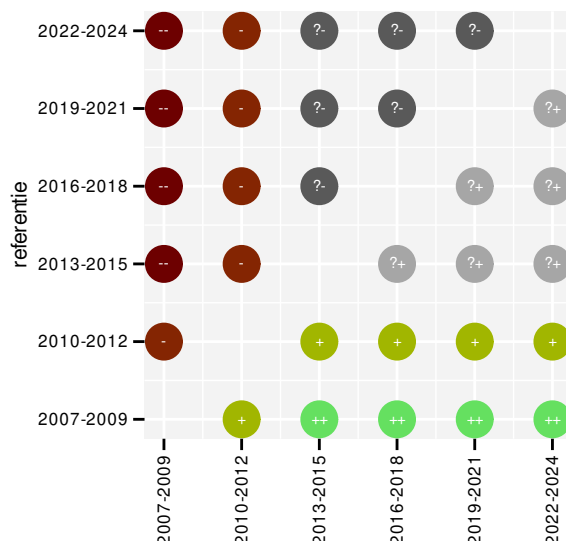
Figuur 79.1: Evolutie van het gemodelleerde gemiddeld aantal waargenomen dieren op een meetpunt voor Roek tijdens de referentieperiode. Zie §3.1 voor een verklaring van de intervallen.



Figuur 79.2: Wijzigingen tussen jaren voor Roek. Zie §3.1 voor een verklaring van de intervallen en §3.2 voor uitleg over de symbolen en referentielijnen.



Figuur 79.5: Wijzigingen per driejarige cyclus voor Roek. Zie §3.1 voor een verklaring van de intervallen en §3.2 voor uitleg over de symbolen en referentielijnen.



Figuur 79.6: Paarsgewijze vergelijking tussen driejarige cycli voor Roek. Uitleg van de symbolen in tabel 3.1.

79.3 KENMERKEN VAN DE GEGEVENS

Tabel 79.1: Stratumgewicht, raming van het aantal hokken waarin de soort aanwezig is, aantal relevante hokken voor de analyse, aantal onderzochte hokken in het stratum, totaal aantal hokken van het stratum in Vlaanderen, aantal bezoeken aan een meetpunt en het gemiddeld aandeel relevante punten per hok voor Roek (zie §2.5).

stratum	gewicht	aanwezig	relevant	onderzocht	totaal	bezoeken	punten
Landbouw	94.4%	483.2	33	431	6311	1709	69.2%
Urbaan	5.6%	33.5	7	87	416	281	59.5%

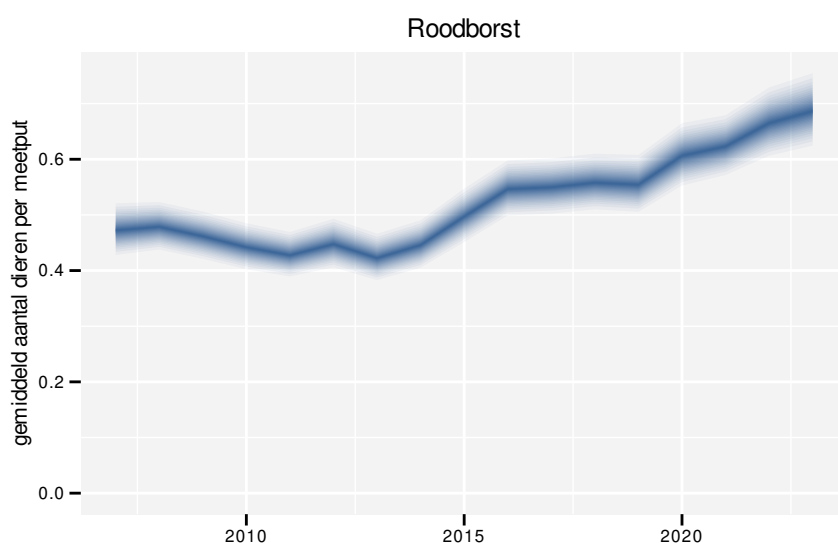
Tabel 79.2: Data-hashes van de analyses in het kader van traceerbaarheid (zie §4.3).

frequentie	model	analyse	status
jaarlijks	niet-lineair	651def3f753160212c22 53006e10c694238f4f7e	48c5939573335e52eb95 fe9857e2f4e3c4815151
jaarlijks	lineair	9db47d3d2e33b2ffa020 4ba5d2169c32bf4c48b6	2784ad2c6cd3fc0826ee 4f194e2ca28d557230be
driejaarlijks	niet-lineair	e048cdd8d6d271dfc717 6db78a1360ce53cdd2bb	a0cab3e51c4a9251ca37 b963b1f655fe0765bd23
driejaarlijks	lineair	c765dd28c2d15064d76a 0a76e4a776297d23a82a	7812919120afb812bad1 5820445118476c21e52f

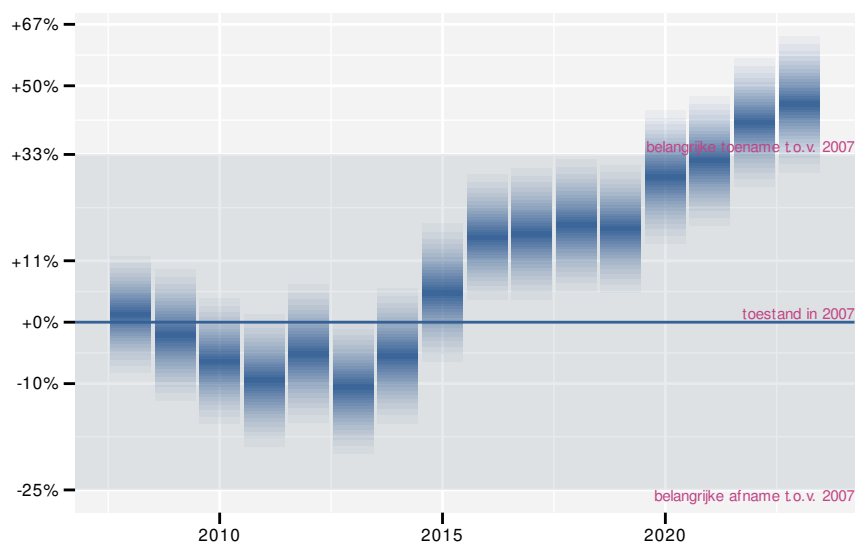
80 ROODBORST

80.1 ANALYSE PER JAAR

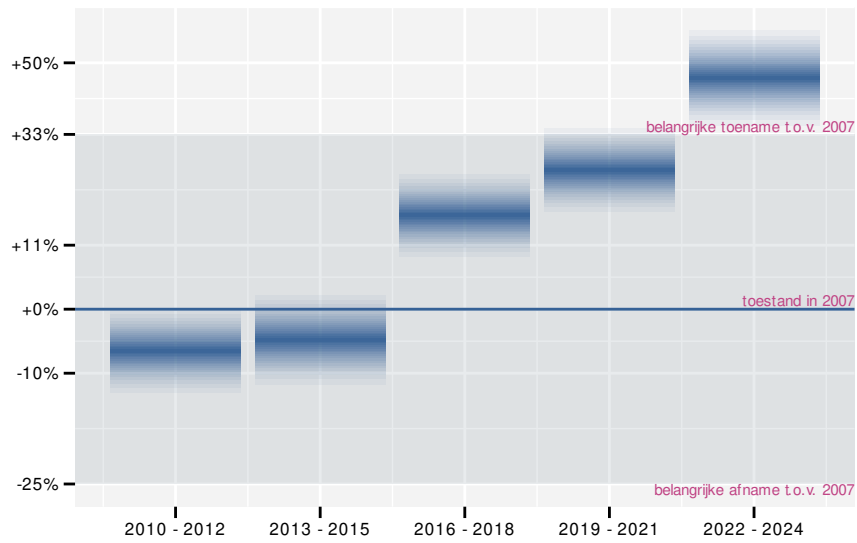
Op basis van jaarlijkse gegevens zien we gemiddeld een sterke toename met +2.66% (+2.19%; +3.15%) per jaar of +52% (+42%; +64%) over de volledige looptijd van het meetnet. Deze trend is niet-lineair.



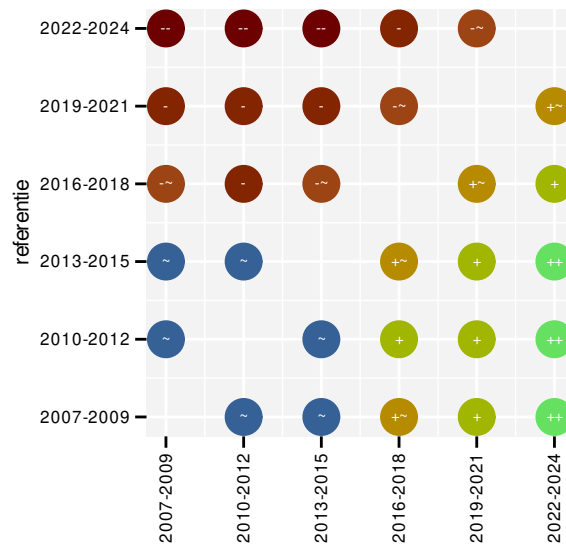
Figuur 80.1: Evolutie van het gemodelleerde gemiddeld aantal waargenomen dieren op een meetpunt voor Roodborst tijdens de referentieperiode. Zie §3.1 voor een verklaring van de intervallen.



Figuur 80.2: Wijzigingen tussen jaren voor Roodborst. Zie §3.1 voor een verklaring van de intervallen en §3.2 voor uitleg over de symbolen en referentielijnen.



Figuur 80.5: Wijzigingen per driejarige cyclus voor Roodborst. Zie §3.1 voor een verklaring van de intervallen en §3.2 voor uitleg over de symbolen en referentielijnen.



Figuur 80.6: Paarsgewijze vergelijking tussen driejarige cycli voor Roodborst. Uitleg van de symbolen in tabel 3.1.

80.3 KENMERKEN VAN DE GEGEVENS

Tabel 80.1: Stratumgewicht, raming van het aantal hokken waarin de soort aanwezig is, aantal relevante hokken voor de analyse, aantal onderzochte hokken in het stratum, totaal aantal hokken van het stratum in Vlaanderen, aantal bezoeken aan een meetpunt en het gemiddeld aandeel relevante punten per hok voor Roodborst (zie §2.5).

stratum	gewicht	aanwezig	relevant	onderzocht	totaal	bezoeken	punten
Landbouw	77.9%	3338.5	228	431	6311	12304	69.8%
Urbain	7.2%	310.8	65	87	416	3338	69.2%
Bos	5.9%	252.2	151	191	319	10145	98.2%
Heide en duin	3.7%	158.8	75	94	199	4480	80.9%
Suburban	3.2%	136.0	46	68	201	2377	75.7%
Moeras en water	2.1%	90.8	53	80	137	3229	84.9%

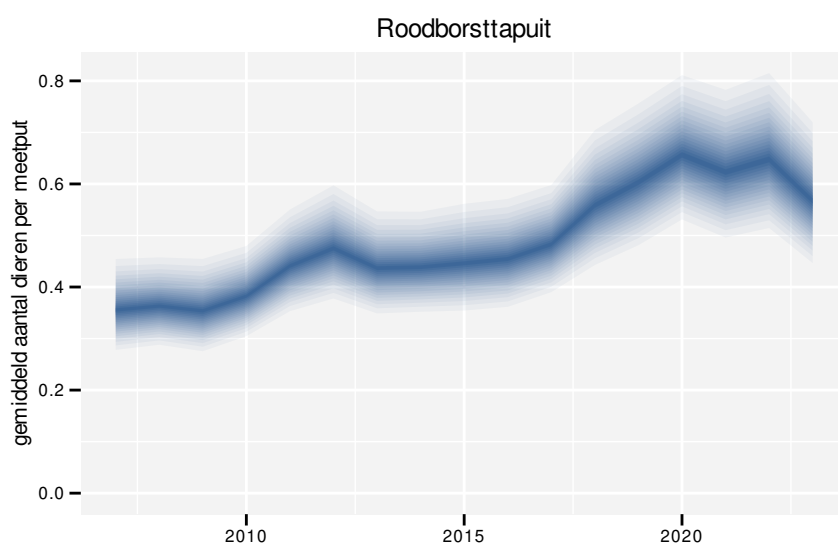
Tabel 80.2: Data-hashes van de analyses in het kader van traceerbaarheid (zie §4.3).

frequentie	model	analyse	status
jaarlijks	niet-lineair	2668af3e681b88104e21 4dd4a7d4aafdebafed127	131c7f37fd3d447d1518 d3501bb14836943f7d68
jaarlijks	lineair	926f28df75a0d353d70d 4fd43bb2bae79c548cc9	faac47de85f78f9e912f 5ea1cfac8551b994f4e5
driejaarlijks	niet-lineair	43ec6cf9f9e284417842 d43e46ad3c96f71a51f4	eacb87b0b465d61f0a28 a078f8034f0deed7708a
driejaarlijks	lineair	92fa4376954618fbf5ca 8d4bb3000d4effbdbe96	e47d04681382ff755006 878a726695cdccd4d5ff

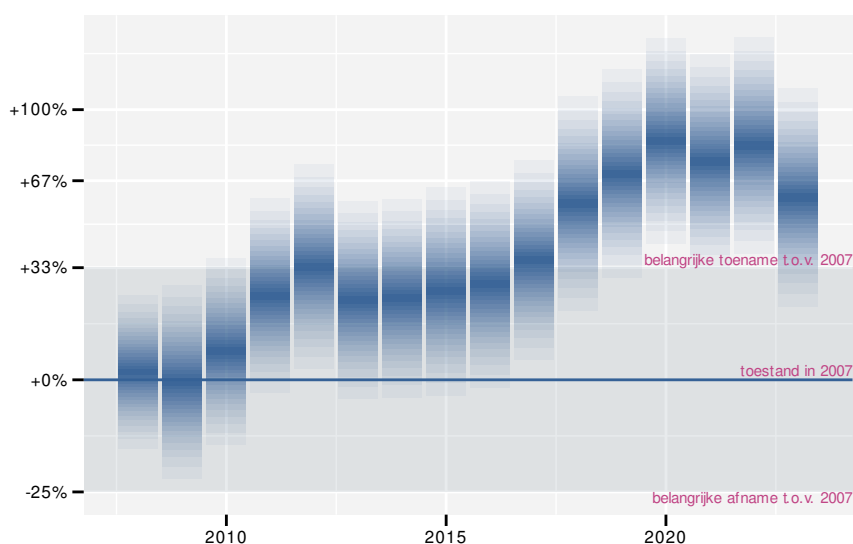
81 ROODBORSTTAPUIT

81.1 ANALYSE PER JAAR

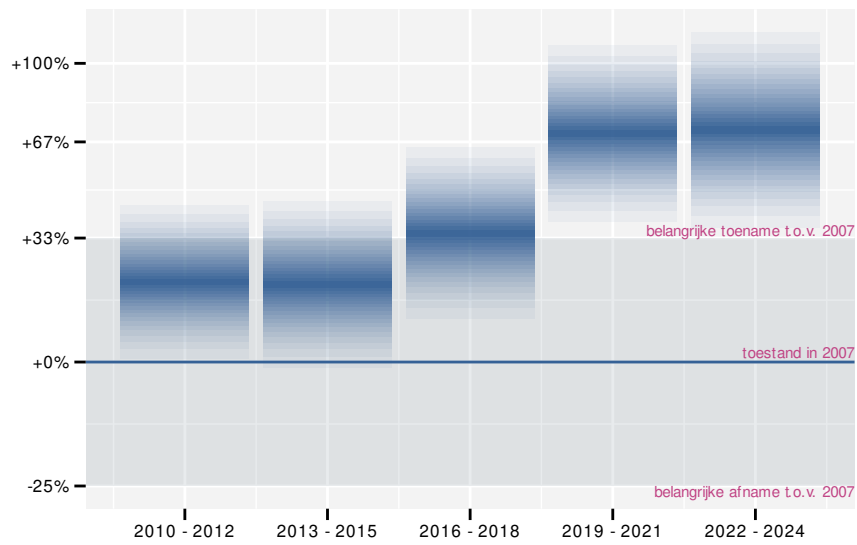
Op basis van jaarlijkse gegevens zien we gemiddeld een sterke toename met +3.8% (+2.4%; +5.3%) per jaar of +82.5% (+45.4%; +129.1%) over de volledige looptijd van het meetnet. Deze trend is niet-lineair.



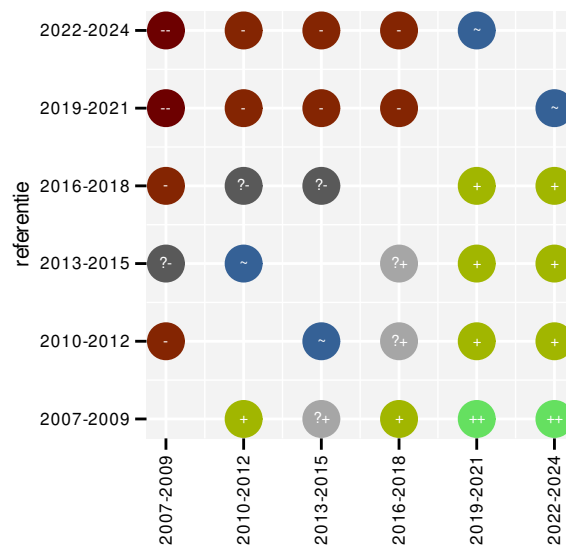
Figuur 81.1: Evolutie van het gemodelleerde gemiddeld aantal waargenomen dieren op een meetpunt voor Roodborsttapuit tijdens de referentieperiode. Zie §3.1 voor een verklaring van de intervallen.



Figuur 81.2: Wijzigingen tussen jaren voor Roodborsttapuit. Zie §3.1 voor een verklaring van de intervallen en §3.2 voor uitleg over de symbolen en referentielijnen.



Figuur 81.5: Wijzigingen per driejarige cyclus voor Roodborsttapuit. Zie §3.1 voor een verklaring van de intervallen en §3.2 voor uitleg over de symbolen en referentielijnen.

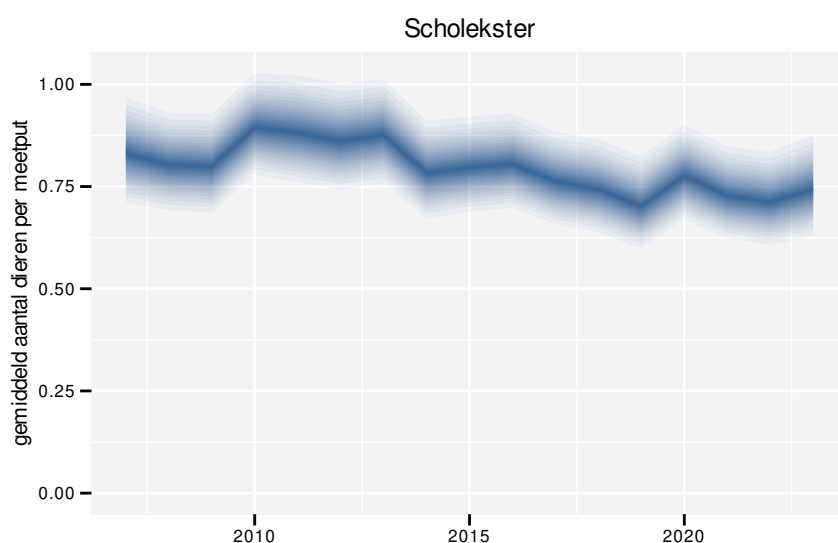


Figuur 81.6: Paarsgewijze vergelijking tussen driejarige cycli voor Roodborsttapuit. Uitleg van de symbolen in tabel 3.1.

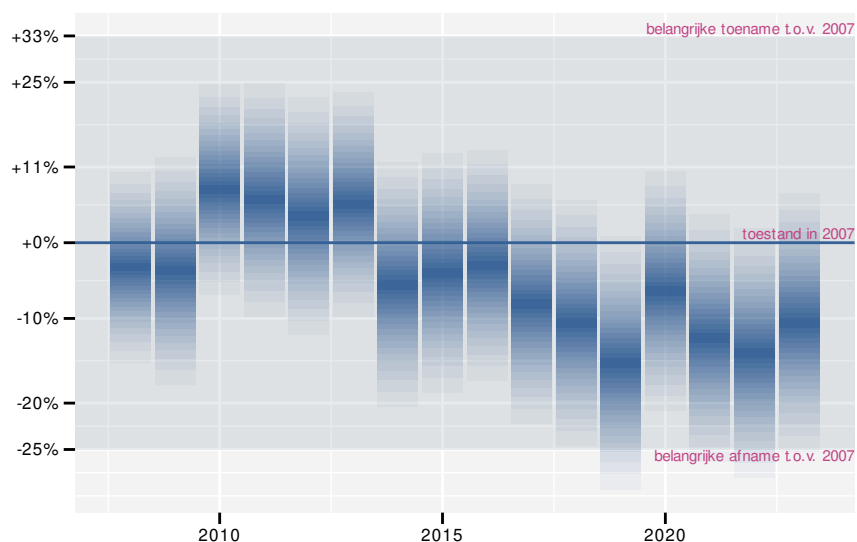
82 SCHOLEKSTER

82.1 ANALYSE PER JAAR

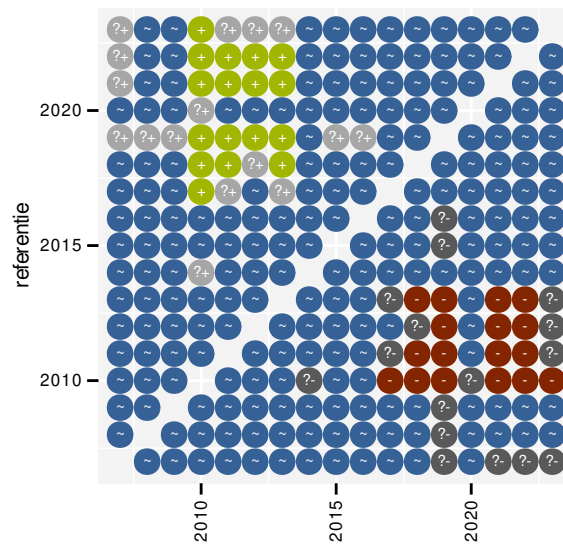
Op basis van jaarlijkse gegevens zien we gemiddeld een afname met -1.13% (-1.95% ; -0.31%) per jaar of -17% (-27% ; -5%) over de volledige looptijd van het meetnet. Deze trend is mogelijk niet-lineair.



Figuur 82.1: Evolutie van het gemodelleerde gemiddeld aantal waargenomen dieren op een meetpunt voor Scholekster tijdens de referentieperiode. Zie §3.1 voor een verklaring van de intervallen.



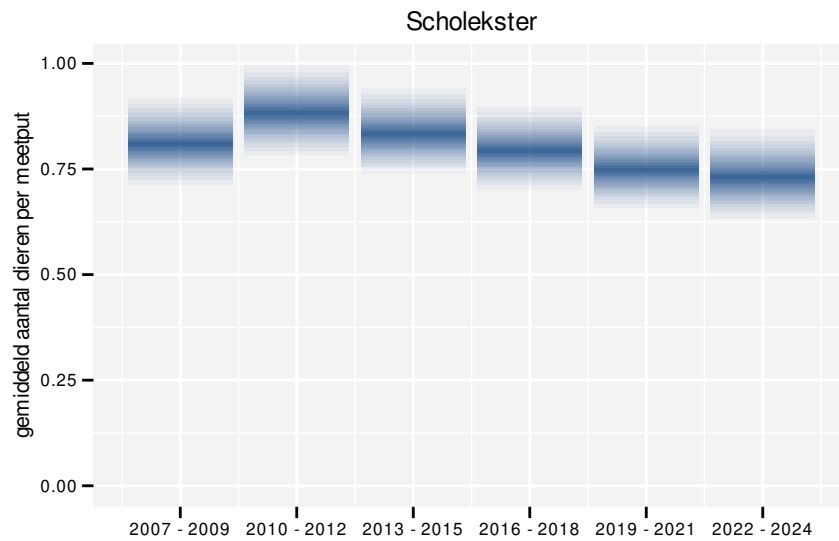
Figuur 82.2: Wijzigingen tussen jaren voor Scholekster. Zie §3.1 voor een verklaring van de intervallen en §3.2 voor uitleg over de symbolen en referentielijnen.



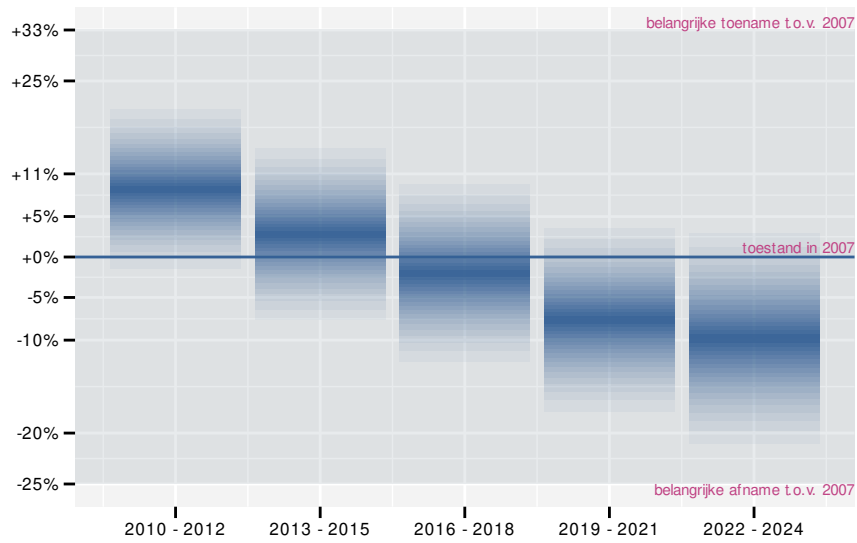
Figuur 82.3: Paarsgewijze vergelijking tussen jaren voor Scholekster. Uitleg van de symbolen in tabel 3.1.

82.2 ANALYSE PER DRIEJAARLIJKSE CYCLUS

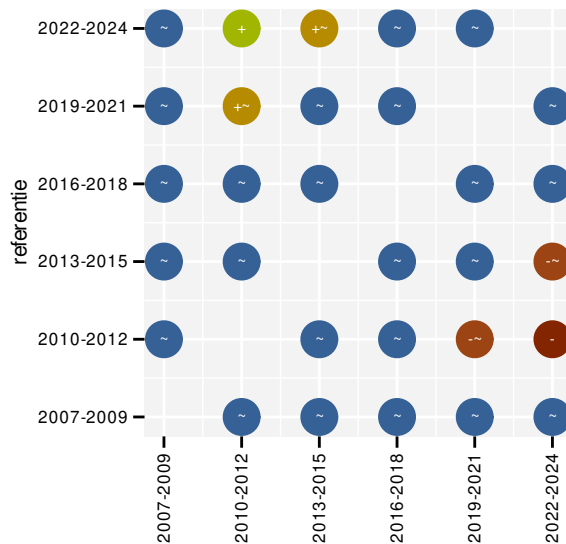
Op basis van driejaarlijkse gegevens zien we gemiddeld een afname met -1.05% (-1.87%; -0.22%) per jaar of -16% (-26%; -4%) over de volledige looptijd van het meetnet. Deze trend is lineair.



Figuur 82.4: Evolutie van het gemodelleerde gemiddeld aantal waargenomen dieren op een meetpunt voor Scholekster tijdens de referentieperiode. Zie §3.1 voor een verklaring van de intervallen.



Figuur 82.5: Wijzigingen per driejarige cyclus voor Scholekster. Zie §3.1 voor een verklaring van de intervallen en §3.2 voor uitleg over de symbolen en referentielijnen.



Figuur 82.6: Paarsgewijze vergelijking tussen driejarige cycli voor Scholekster. Uitleg van de symbolen in tabel 3.1.

82.3 KENMERKEN VAN DE GEGEVENS

Tabel 82.1: Stratumgewicht, raming van het aantal hokken waarin de soort aanwezig is, aantal relevante hokken voor de analyse, aantal onderzochte hokken in het stratum, totaal aantal hokken van het stratum in Vlaanderen, aantal bezoeken aan een meetpunt en het gemiddeld aandeel relevante punten per hok voor Scholekster (zie §2.5).

stratum	gewicht	aanwezig	relevant	onderzocht	totaal	bezoeken	punten
Landbouw	94.3%	2181.8	149	431	6311	7982	67.4%
Suburbaan	1.8%	44.3	15	68	201	556	53.3%
Moeras en water	1.8%	41.1	24	80	137	1196	64.6%
Heide en duin	0.9%	23.3	11	94	199	546	50.0%
Urbain	0.8%	23.9	5	87	416	179	40.0%
Bos	0.4%	10.0	6	191	319	260	44.4%

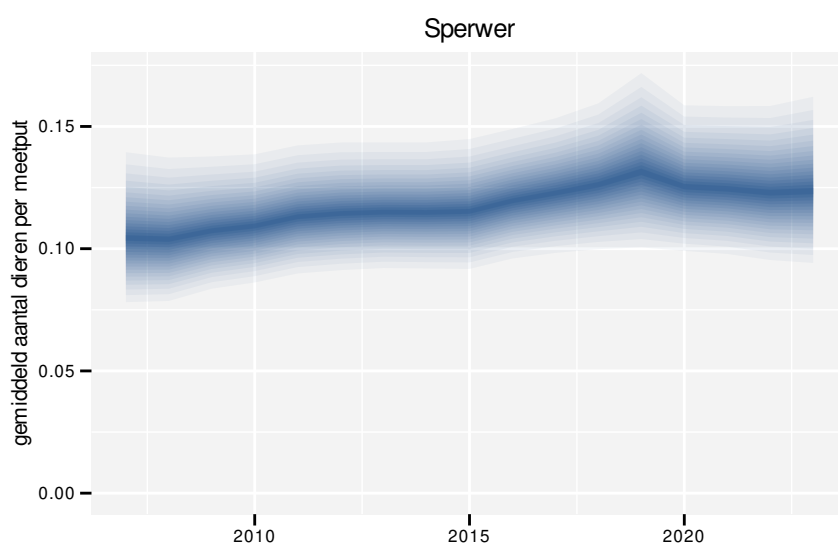
Tabel 82.2: Data-hashes van de analyses in het kader van traceerbaarheid (zie §4.3).

frequentie	model	analyse	status
jaarlijks	niet-lineair	6a1f6523748e32bcdac7	4726685eb0556e087b16
		9eae7b5b26e12d344d02	064d24dbc25d74bc7308
jaarlijks	lineair	9e464c8fe08c39ce5fa4	578fca0a07838b4938e0
		952d6aca568bde73751c	17db07dcb09c2d2ddaf9
driejaarlijks	niet-lineair	f5b405df003a35ecfe87	6055795e2af65cfd6d2
		9bb5eb7dae6b4eec2dad	ba326df808a1ed533d37
driejaarlijks	lineair	704434095b342886b42d	c60a844891d20eaaed72
		fea859c9c9f36a71bc38	96ee643bb3de39f96f82

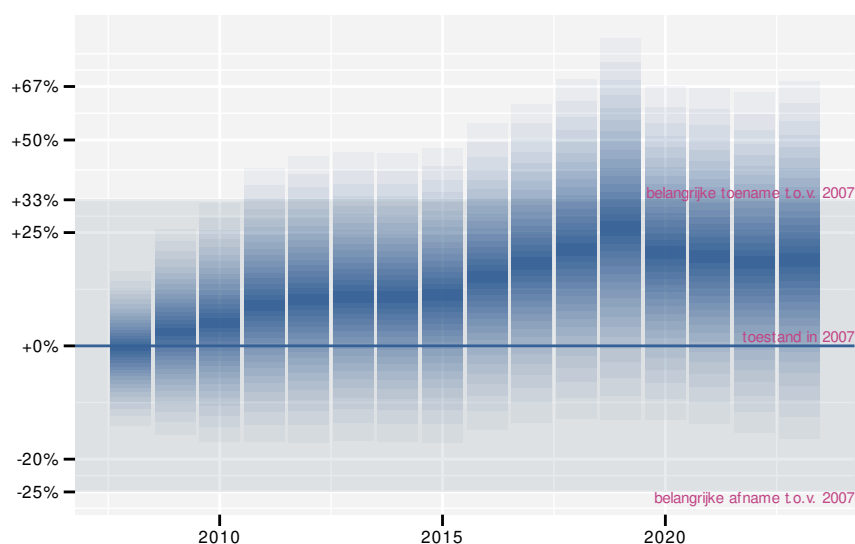
83 SPERWER

83.1 ANALYSE PER JAAR

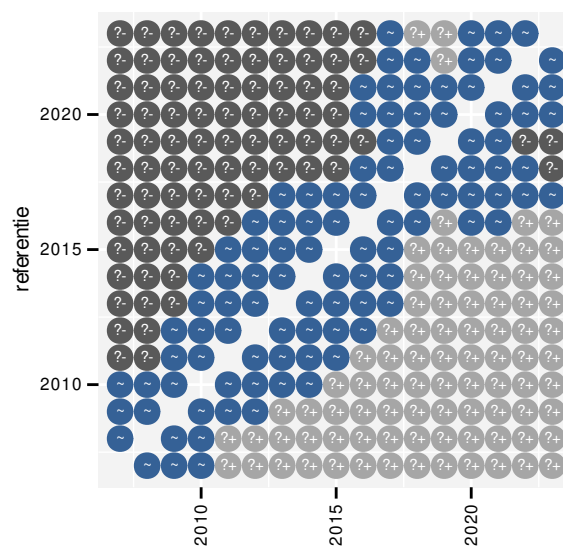
Op basis van jaarlijkse gegevens zien we gemiddeld een mogelijke toename met +2.2% (-0.6%; +5.0%) per jaar of +41% (-9%; +118%) over de volledige looptijd van het meetnet. Deze trend is niet-lineair.



Figuur 83.1: Evolutie van het gemodelleerde gemiddeld aantal waargenomen dieren op een meetpunt voor Sperwer tijdens de referentieperiode. Zie §3.1 voor een verklaring van de intervallen.



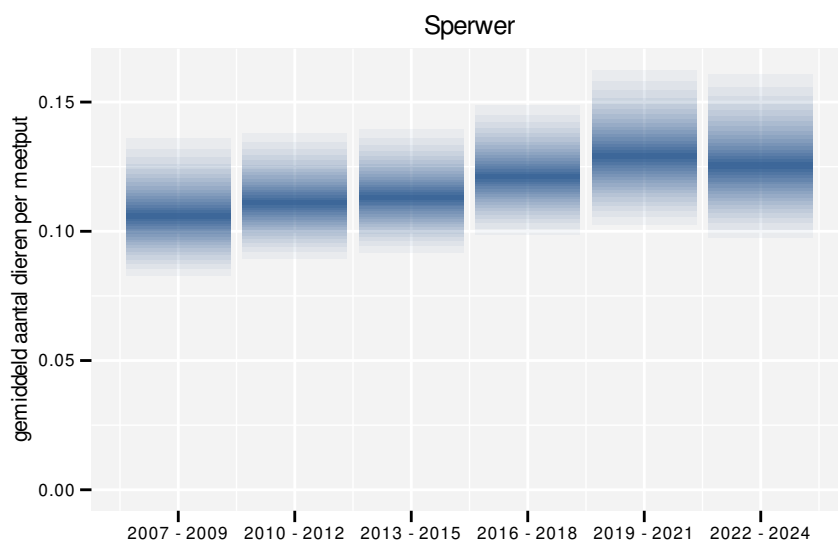
Figuur 83.2: Wijzigingen tussen jaren voor Sperwer. Zie §3.1 voor een verklaring van de intervallen en §3.2 voor uitleg over de symbolen en referentielijnen.



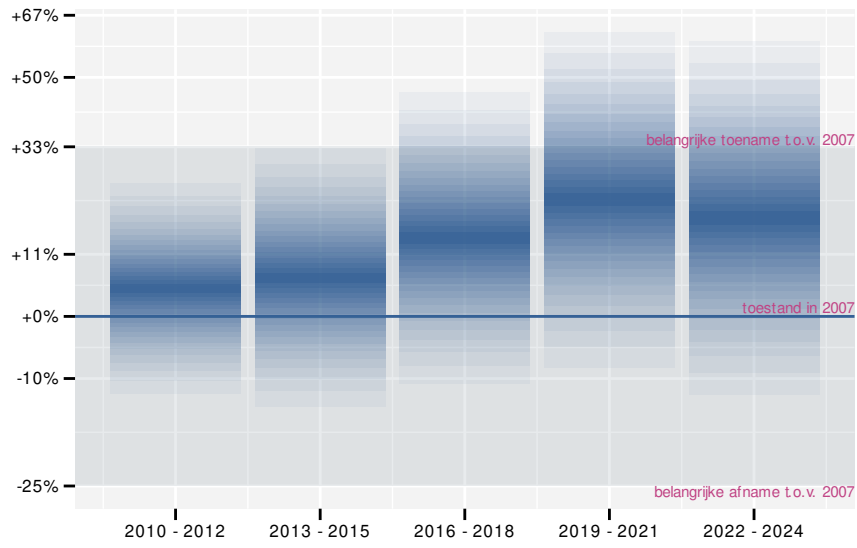
Figuur 83.3: Paarsgewijze vergelijking tussen jaren voor Sperwer. Uitleg van de symbolen in tabel 3.1.

83.2 ANALYSE PER DRIEJAARLIJKSE CYCLUS

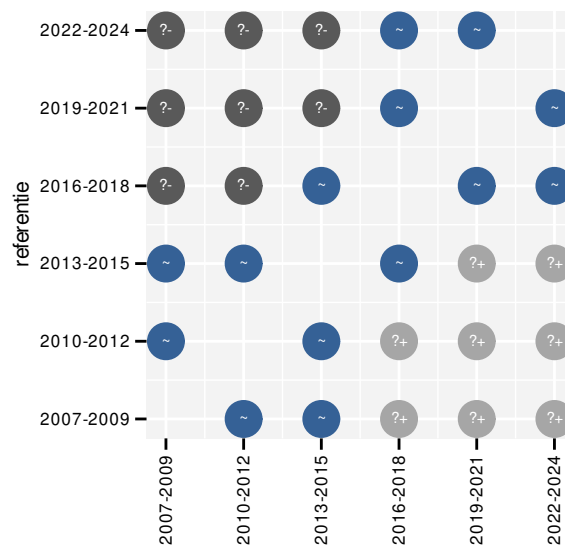
Op basis van driejaarlijkse gegevens zien we gemiddeld een mogelijke toename met +2.5% (-0.3%; +5.3%) per jaar of +48% (-4%; +130%) over de volledige looptijd van het meetnet. Deze trend is niet-lineair.



Figuur 83.4: Evolutie van het gemodelleerde gemiddeld aantal waargenomen dieren op een meetpunt voor Sperwer tijdens de referentieperiode. Zie §3.1 voor een verklaring van de intervallen.



Figuur 83.5: Wijzigingen per driejarige cyclus voor Sperwer. Zie §3.1 voor een verklaring van de intervallen en §3.2 voor uitleg over de symbolen en referentielijnen.



Figuur 83.6: Paarsgewijze vergelijking tussen driejarige cycli voor Sperwer. Uitleg van de symbolen in tabel 3.1.

83.3 KENMERKEN VAN DE GEGEVENS

Tabel 83.1: Stratumgewicht, raming van het aantal hokken waarin de soort aanwezig is, aantal relevante hokken voor de analyse, aantal onderzochte hokken in het stratum, totaal aantal hokken van het stratum in Vlaanderen, aantal bezoeken aan een meetpunt en het gemiddeld aandeel relevante punten per hok voor Sperwer (zie §2.5).

stratum	gewicht	aanwezig	relevant	onderzocht	totaal	bezoeken	punten
Landbouw	87.8%	688.2	47	431	6311	1614	38.3%
Urbaan	4.3%	33.5	7	87	416	174	31.0%
Bos	3.2%	25.1	15	191	319	629	44.4%
Heide en duin	1.9%	16.9	8	94	199	209	35.4%
Moeras en water	1.7%	15.4	9	80	137	323	46.3%
Suburbaan	1.1%	11.8	4	68	201	98	33.3%

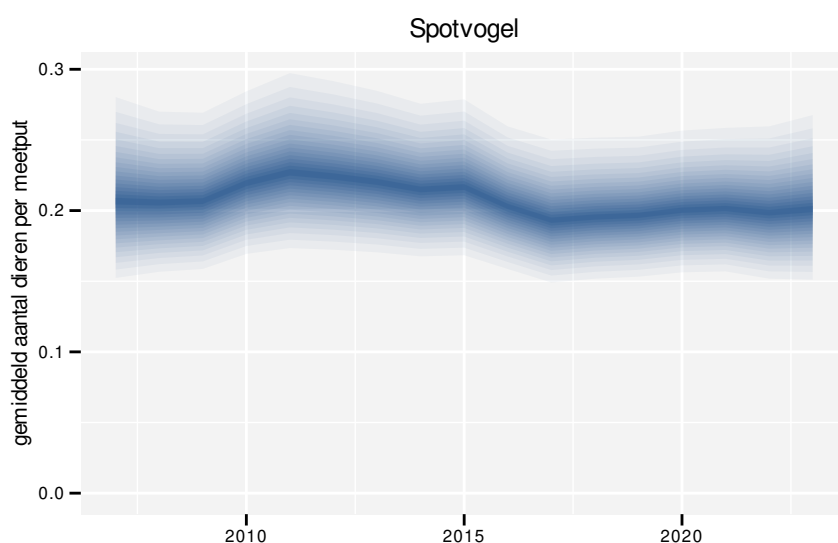
Tabel 83.2: Data-hashes van de analyses in het kader van traceerbaarheid (zie §4.3).

frequentie	model	analyse	status
jaarlijks	niet-lineair	c10d1db00e7b5129507e7db910069367072bcab9	72717581a8500561efa897d9aab0107c4f23697c
jaarlijks	lineair	33bf9cebf5327ac9303e7fed3d7973237afe8ab3	62825b5a4fae7409f75fcc7ba1e6e7e8e45109af
driejaarlijks	niet-lineair	18e1729f3b166edb687dc93cb09a978e641f70b2	94b7c729d7f2396c4dd9061056722f79f1337089
driejaarlijks	lineair	75c8f1e53570db45131d425d2dd16c4469969077	49d4808593297a1093c46be318d38f5410810371

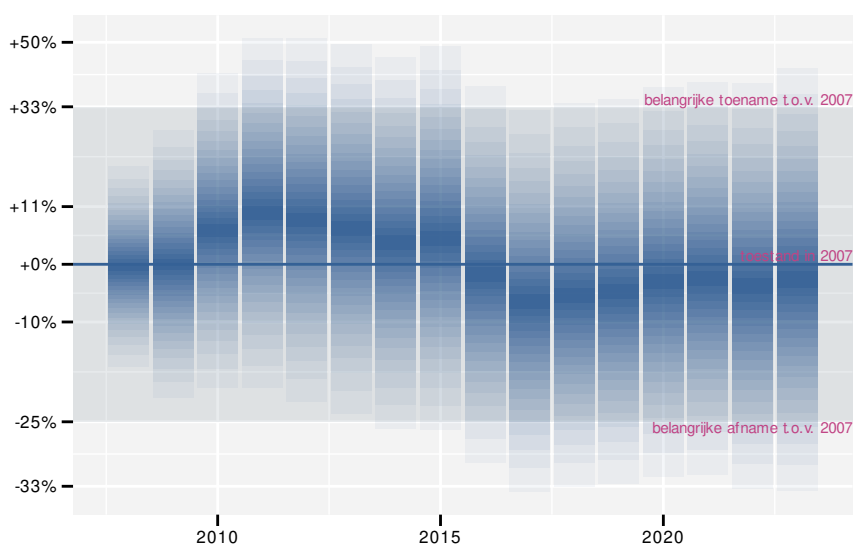
84 SPOTVOGEL

84.1 ANALYSE PER JAAR

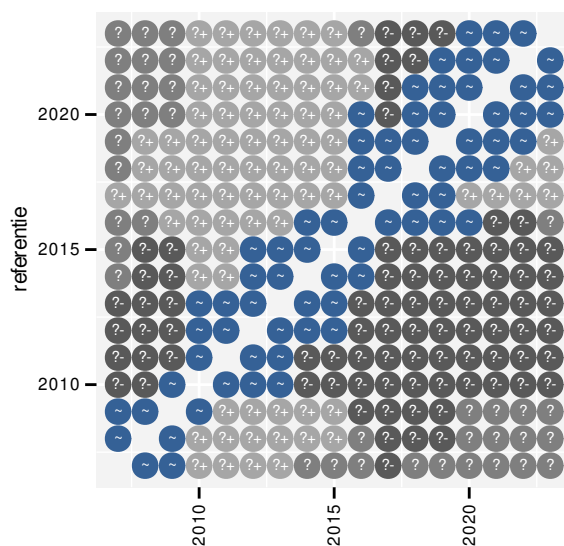
Op basis van jaarlijkse gegevens zien we gemiddeld een onduidelijk met -0.8% (-3.5% ; $+1.9\%$) per jaar of -13% (-44% ; $+36\%$) over de volledige looptijd van het meetnet. Deze trend is niet-lineair.



Figuur 84.1: Evolutie van het gemodelleerde gemiddeld aantal waargenomen dieren op een meetpunt voor Spotvogel tijdens de referentieperiode. Zie §3.1 voor een verklaring van de intervallen.



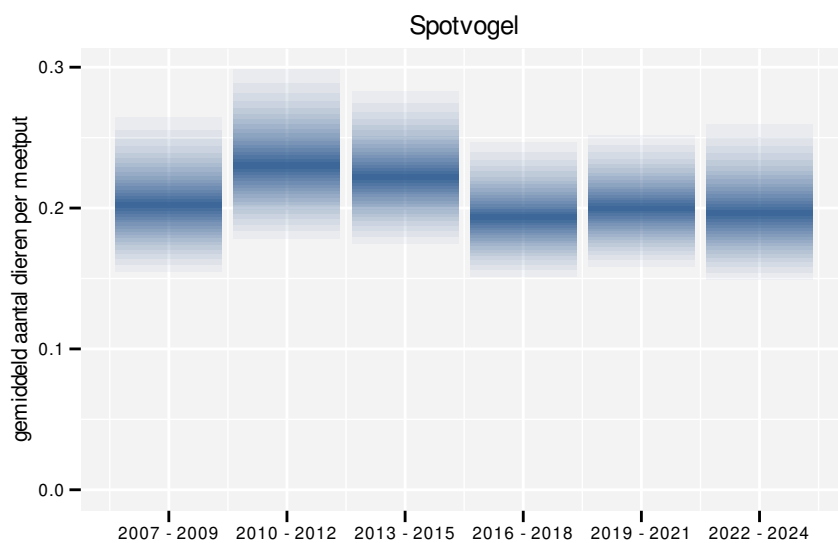
Figuur 84.2: Wijzigingen tussen jaren voor Spotvogel. Zie §3.1 voor een verklaring van de intervallen en §3.2 voor uitleg over de symbolen en referentielijnen.



Figuur 84.3: Paarsgewijze vergelijking tussen jaren voor Spotvogel. Uitleg van de symbolen in tabel 3.1.

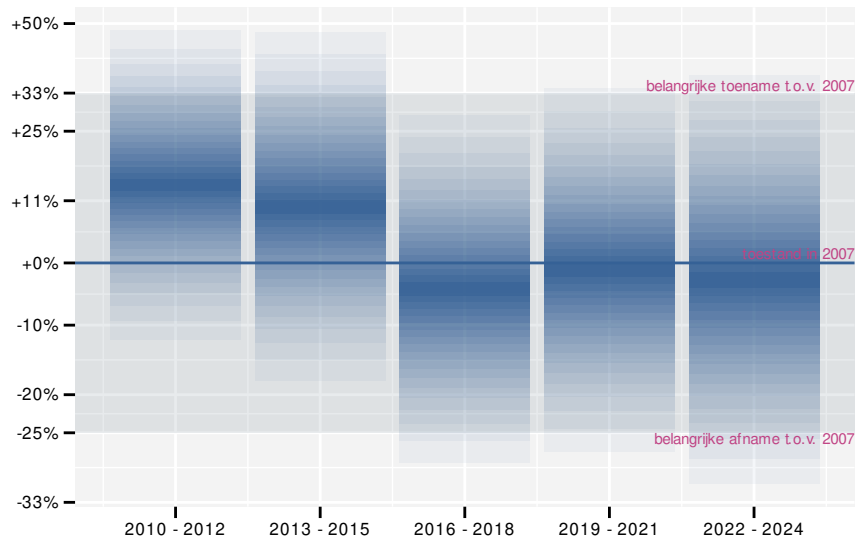
84.2 ANALYSE PER DRIEJAARLIJKSE CYCLUS

Op basis van driejaarlijkse gegevens zien we gemiddeld een mogelijke afname met -1.0% (-3.7%; +1.7%) per jaar of -16% (-46%; +31%) over de volledige looptijd van het meetnet. Deze trend is niet-lineair.

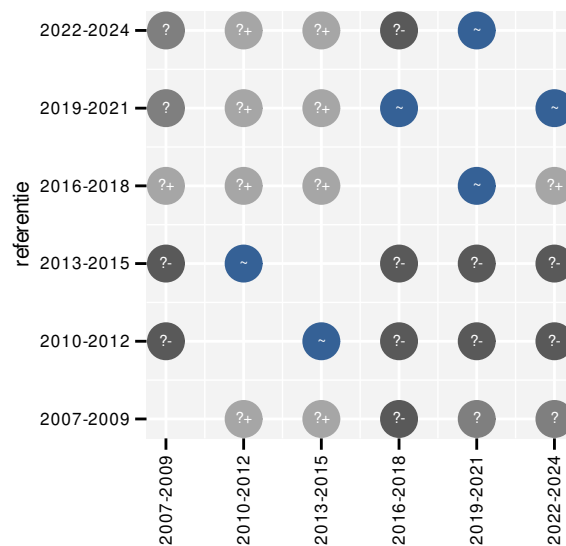


Figuur 84.4: Evolutie van het gemodelleerde gemiddeld aantal waargenomen dieren op een meetpunt voor Spotvogel tijdens de referentieperiode. Zie §3.1 voor een verklaring van de intervallen.





Figuur 84.5: Wijzigingen per driejarige cyclus voor Spotvogel. Zie §3.1 voor een verklaring van de intervallen en §3.2 voor uitleg over de symbolen en referentielijnen.



Figuur 84.6: Paarsgewijze vergelijking tussen driejarige cycli voor Spotvogel. Uitleg van de symbolen in tabel 3.1.

84.3 KENMERKEN VAN DE GEGEVENS

Tabel 84.1: Stratumgewicht, raming van het aantal hokken waarin de soort aanwezig is, aantal relevante hokken voor de analyse, aantal onderzochte hokken in het stratum, totaal aantal hokken van het stratum in Vlaanderen, aantal bezoeken aan een meetpunt en het gemiddeld aandeel relevante punten per hok voor Spotvogel (zie §2.5).

stratum	gewicht	aanwezig	relevant	onderzocht	totaal	bezoeken	punten
Landbouw	95.6%	556.4	38	431	6311	739	36.0%
Heide en duin	3.3%	19.1	9	94	199	159	33.3%
Moeras en water	1.2%	8.6	5	80	137	74	26.7%

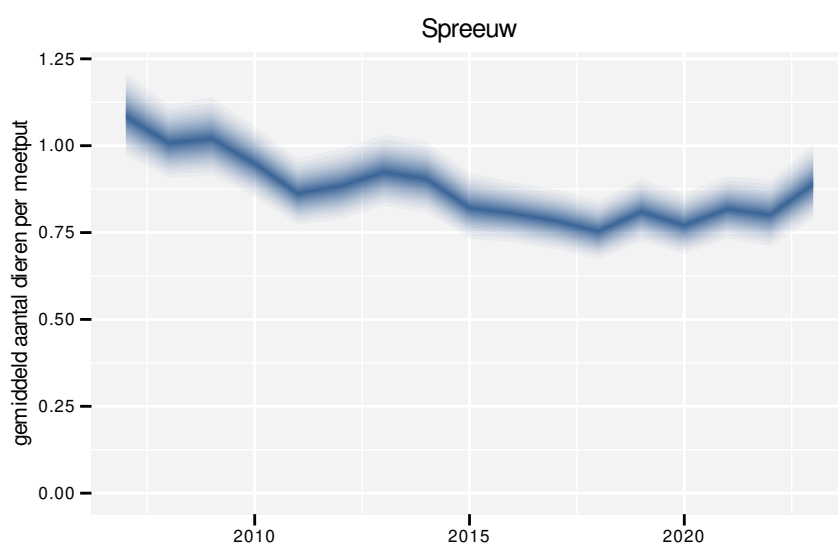
Tabel 84.2: Data-hashes van de analyses in het kader van traceerbaarheid (zie §4.3).

frequentie	model	analyse	status
jaarlijks	niet-lineair	5603e1cd3c513d3cb058 af4d5e3759590163da2d	8150d4f5e9059eb93d24 e70ed880d81b111ab17e
jaarlijks	lineair	b7da8652aa4646ca8a18 3975092b76d92966c337	7da63c8acaa37e1183e9 1a1523c80e2d10a4d637
driejaarlijks	niet-lineair	9ac768a05a1a5183538f bc360a6621819feb75c3	7d3136320e9ac9a10c01 5ee4af0cecd0a1370be0
driejaarlijks	lineair	4fcbfab58e277bb9df4f 7b20795b1a394a086639	b6d5dfd20c8460a6d4f8 7fbaff9eb82c846f93cf

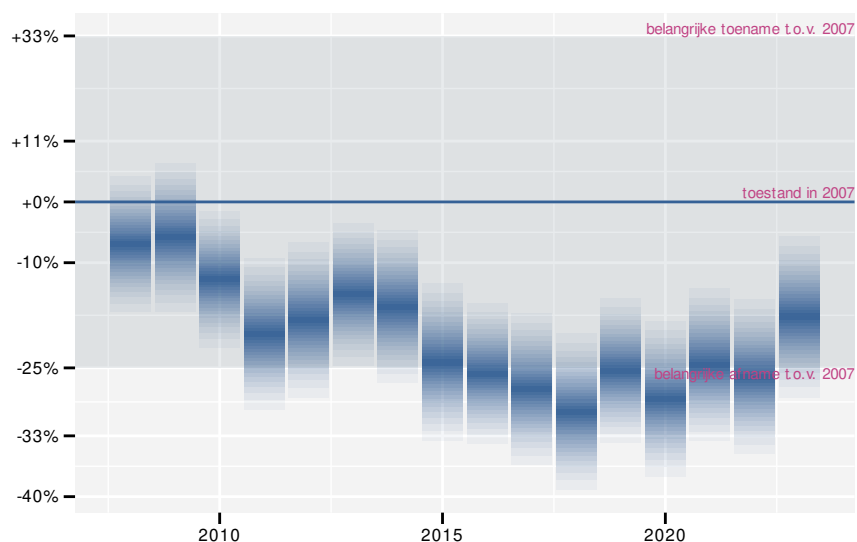
85 SPREEUW

85.1 ANALYSE PER JAAR

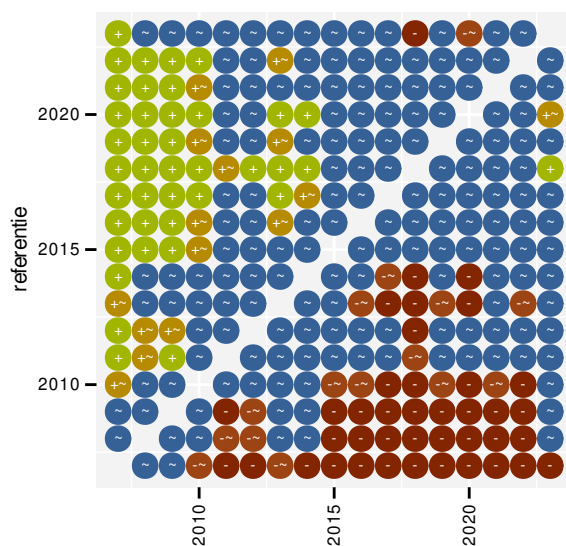
Op basis van jaarlijkse gegevens zien we gemiddeld een afname met -1.8% (-2.3%; -1.2%) per jaar of -25% (-31%; -18%) over de volledige looptijd van het meetnet. Deze trend is niet-lineair.



Figuur 85.1: Evolutie van het gemodelleerde gemiddeld aantal waargenomen dieren op een meetpunt voor Spreeuw tijdens de referentieperiode. Zie §3.1 voor een verklaring van de intervallen.



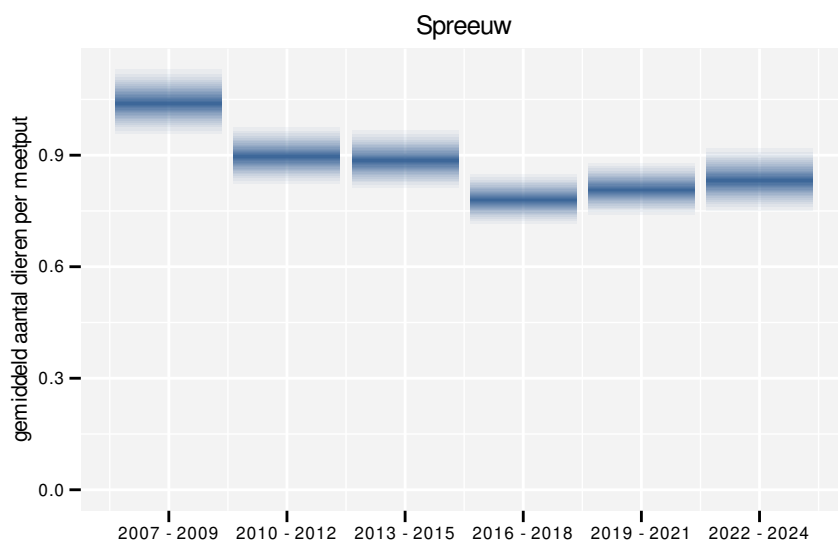
Figuur 85.2: Wijzigingen tussen jaren voor Spreeuw. Zie §3.1 voor een verklaring van de intervallen en §3.2 voor uitleg over de symbolen en referentielijnen.



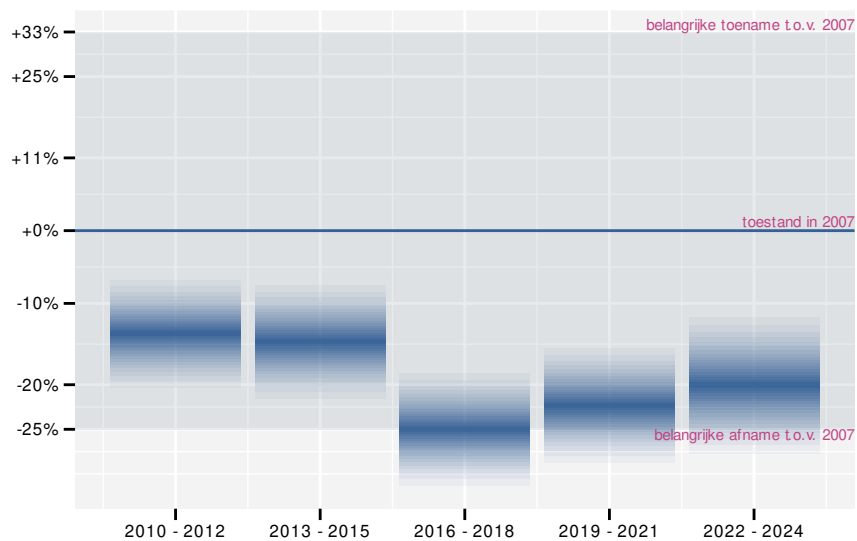
Figuur 85.3: Paarsgewijze vergelijking tussen jaren voor Spreeuw. Uitleg van de symbolen in tabel 3.1.

85.2 ANALYSE PER DRIEJAARLIJKSE CYCLUS

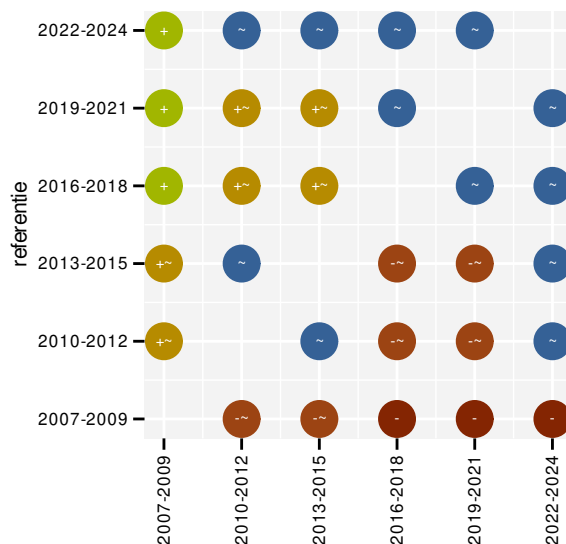
Op basis van driejaarlijkse gegevens zien we gemiddeld een afname met -1.7% (-2.3%; -1.2%) per jaar of -25% (-31%; -18%) over de volledige looptijd van het meetnet. Deze trend is lineair.



Figuur 85.4: Evolutie van het gemodelleerde gemiddeld aantal waargenomen dieren op een meetpunt voor Spreeuw tijdens de referentieperiode. Zie §3.1 voor een verklaring van de intervallen.



Figuur 85.5: Wijzigingen per driejarige cyclus voor Spreeuw. Zie §3.1 voor een verklaring van de intervallen en §3.2 voor uitleg over de symbolen en referentielijnen.



Figuur 85.6: Paarsgewijze vergelijking tussen driejarige cycli voor Spreeuw. Uitleg van de symbolen in tabel 3.1.

85.3 KENMERKEN VAN DE GEGEVENS

Tabel 85.1: Stratumgewicht, raming van het aantal hokken waarin de soort aanwezig is, aantal relevante hokken voor de analyse, aantal onderzochte hokken in het stratum, totaal aantal hokken van het stratum in Vlaanderen, aantal bezoeken aan een meetpunt en het gemiddeld aandeel relevante punten per hok voor Spreeuw (zie §2.5).

stratum	gewicht	aanwezig	relevant	onderzocht	totaal	bezoeken	punten
Landbouw	88.3%	4846.7	331	431	6311	20502	84.5%
Urbain	5.5%	301.2	63	87	416	3948	87.8%
Suburbaan	2.3%	124.1	42	68	201	2373	79.0%
Heide en duin	1.5%	82.6	39	94	199	1979	63.2%
Moeras en water	1.4%	75.3	44	80	137	2365	70.1%
Bos	1.1%	61.8	37	191	319	1621	55.9%

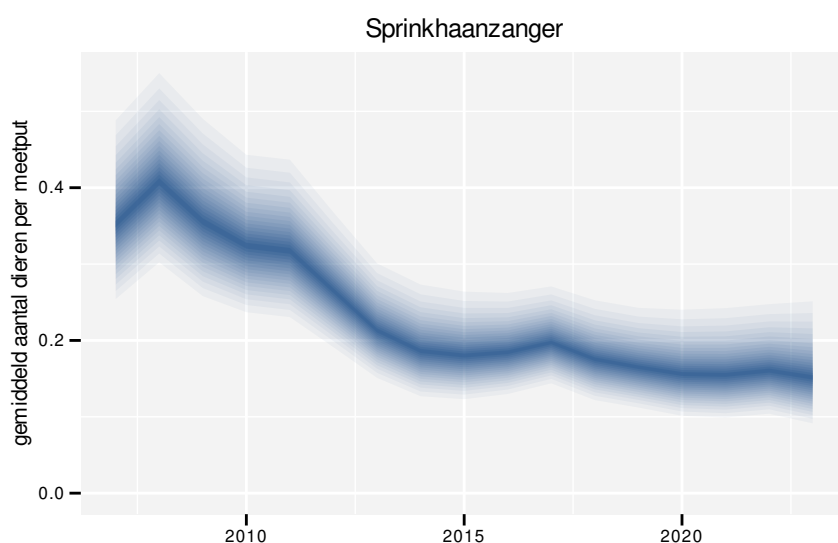
Tabel 85.2: Data-hashes van de analyses in het kader van traceerbaarheid (zie §4.3).

frequentie	model	analyse	status
jaarlijks	niet-lineair	b4d2995f2f1b984c516b e0a3e87389dfd4150ec1	d328123476cb2302908a 2cad87f5879402460896
jaarlijks	lineair	3f960da3ec9176a5d454 b984afa5a46056a51d2a	4b2c89d51b50c8afe550 daacc73ce954df0464d6
driejaarlijks	niet-lineair	52f2b937962ff1f0d9a7 277ef70f0e85bce96995	773370abdf23484dce6d f0405f0657e839178be5
driejaarlijks	lineair	14913922c0fbab173e65 7b2a819e2c1dec9f01f0	529b2b51674c7726ece7 79c27f68297d477c55be

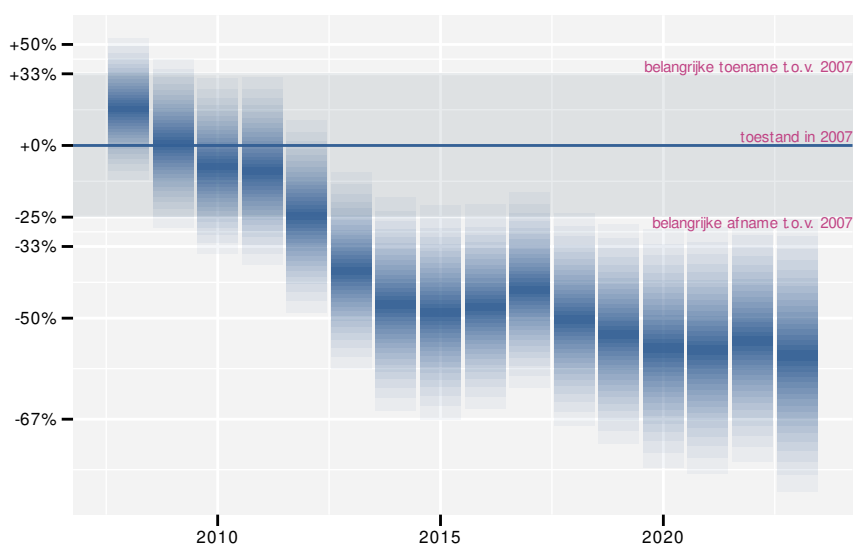
86 SPRINKHAANZANGER

86.1 ANALYSE PER JAAR

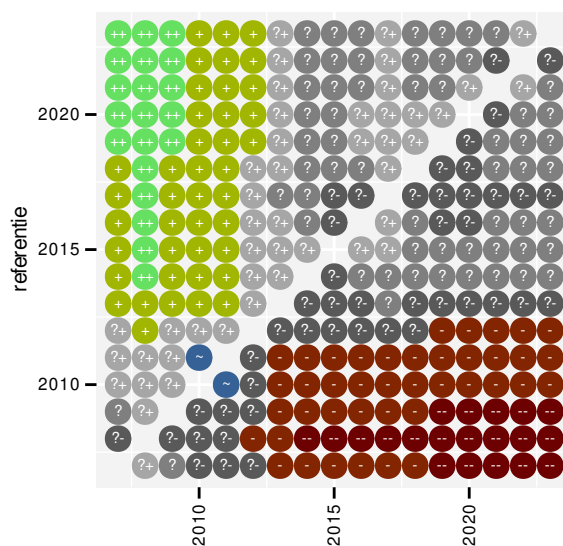
Op basis van jaarlijkse gegevens zien we gemiddeld een sterke afname met -9.05% (-11.86%; -6.15%) per jaar of -78% (-87%; -64%) over de volledige looptijd van het meetnet. Deze trend is lineair.



Figuur 86.1: Evolutie van het gemodelleerde gemiddeld aantal waargenomen dieren op een meetpunt voor Sprinkhaanzanger tijdens de referentieperiode. Zie §3.1 voor een verklaring van de intervallen.



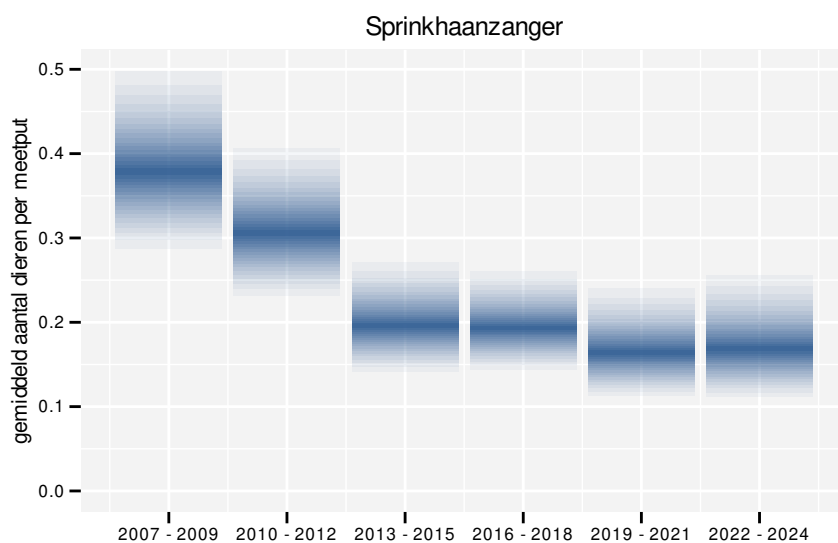
Figuur 86.2: Wijzigingen tussen jaren voor Sprinkhaanzanger. Zie §3.1 voor een verklaring van de intervallen en §3.2 voor uitleg over de symbolen en referentielijnen.



Figuur 86.3: Paarsgewijze vergelijking tussen jaren voor Sprinkhaanzanger. Uitleg van de symbolen in tabel 3.1.

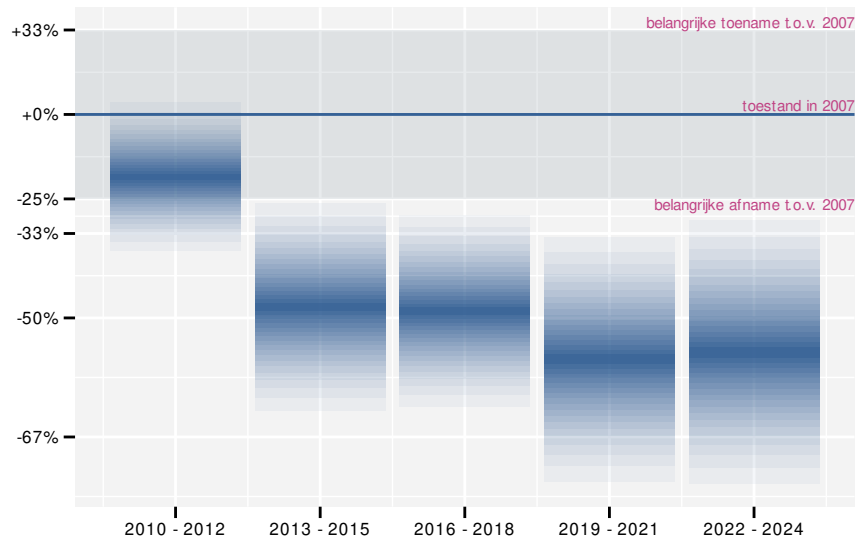
86.2 ANALYSE PER DRIEJAARLIJKSE CYCLUS

Op basis van driejaarlijkse gegevens zien we gemiddeld een sterke afname met -9.58% (-12.46%; -6.61%) per jaar of -80% (-88%; -66%) over de volledige looptijd van het meetnet. Deze trend is lineair.

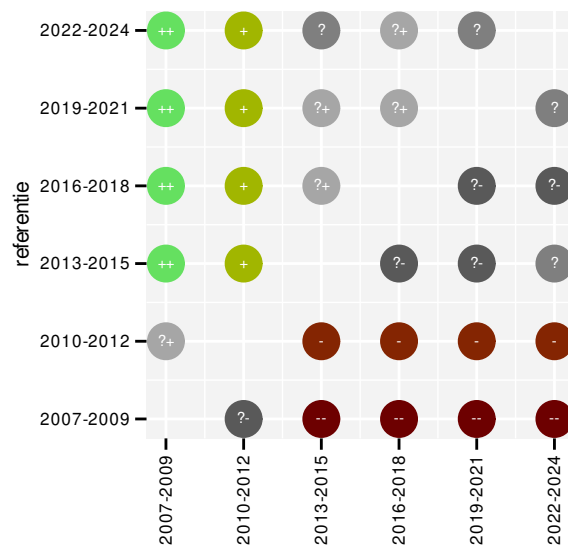


Figuur 86.4: Evolutie van het gemodelleerde gemiddeld aantal waargenomen dieren op een meetpunt voor Sprinkhaanzanger tijdens de referentieperiode. Zie §3.1 voor een verklaring van de intervallen.





Figuur 86.5: Wijzigingen per driejarige cyclus voor Sprinkhaanzanger. Zie §3.1 voor een verklaring van de intervallen en §3.2 voor uitleg over de symbolen en referentielijnen.



Figuur 86.6: Paarsgewijze vergelijking tussen driejarige cycli voor Sprinkhaanzanger. Uitleg van de symbolen in tabel 3.1.

86.3 KENMERKEN VAN DE GEGEVENS

Tabel 86.1: Stratumgewicht, raming van het aantal hokken waarin de soort aanwezig is, aantal relevante hokken voor de analyse, aantal onderzochte hokken in het stratum, totaal aantal hokken van het stratum in Vlaanderen, aantal bezoeken aan een meetpunt en het gemiddeld aandeel relevante punten per hok voor Sprinkhaanzanger (zie §2.5).

stratum	gewicht	aanwezig	relevant	onderzocht	totaal	bezoeken	punten
Heide en duin	62.4%	31.8	15	94	199	467	48.9%
Moeras en water	20.2%	12.0	7	80	137	215	38.1%
Suburbaan	17.4%	11.8	4	68	201	114	41.7%

Tabel 86.2: Data-hashes van de analyses in het kader van traceerbaarheid (zie §4.3).

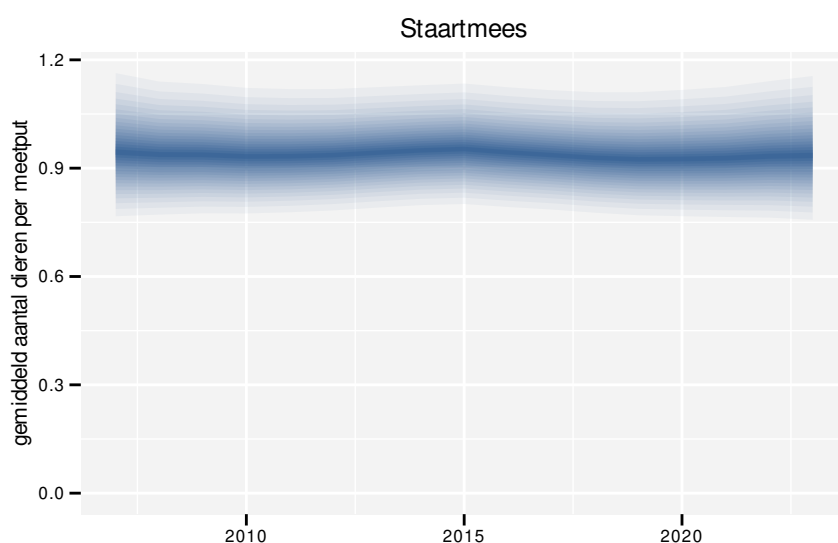
frequentie	model	analyse	status
jaarlijks	niet-lineair	ee44bd083e06c19498a8 fea3d26855ca62bae4ba	dd58bb655409c10ad5d8 2d9f196c3cb38a6f12af
jaarlijks	lineair	8f3e2c3c211c102f47e4 a2f61d88a45e273bb4b9	8e2064e08f35a21456c8 60d865248f6876608e46
driejaarlijks	niet-lineair	a0ddc04c0125fc887cb9 cb1fbfb35f1049ff207e	36c01d3c86b8979b9145 ab4829c316fa64ae3e7a
driejaarlijks	lineair	41da3955199dd0ca8f32 77a04c8d5275a74de03d	550a1cea1689e4820ef2 783ad54fb87c4514681d



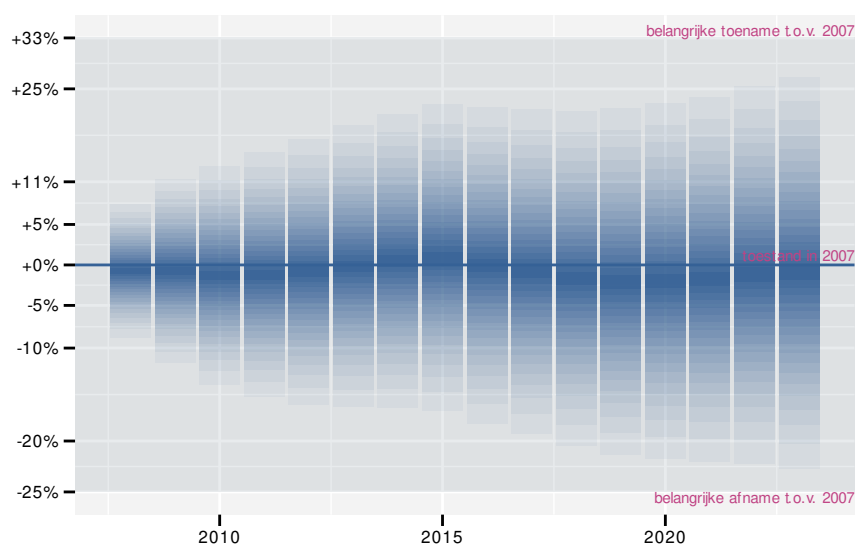
87 STAARTMEES

87.1 ANALYSE PER JAAR

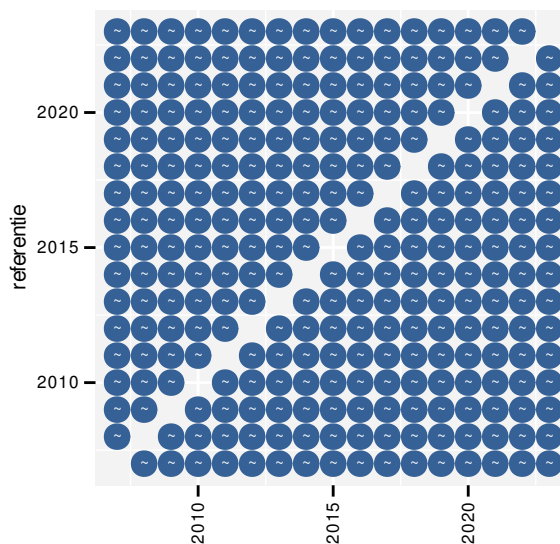
Op basis van jaarlijkse gegevens zien we gemiddeld een onduidelijk met -0.5% (-2.9% ; $+1.9\%$) per jaar of -8% (-38% ; $+36\%$) over de volledige looptijd van het meetnet. Deze trend is niet-lineair.



Figuur 87.1: Evolutie van het gemodelleerde gemiddeld aantal waargenomen dieren op een meetpunt voor Staartmees tijdens de referentieperiode. Zie §3.1 voor een verklaring van de intervallen.



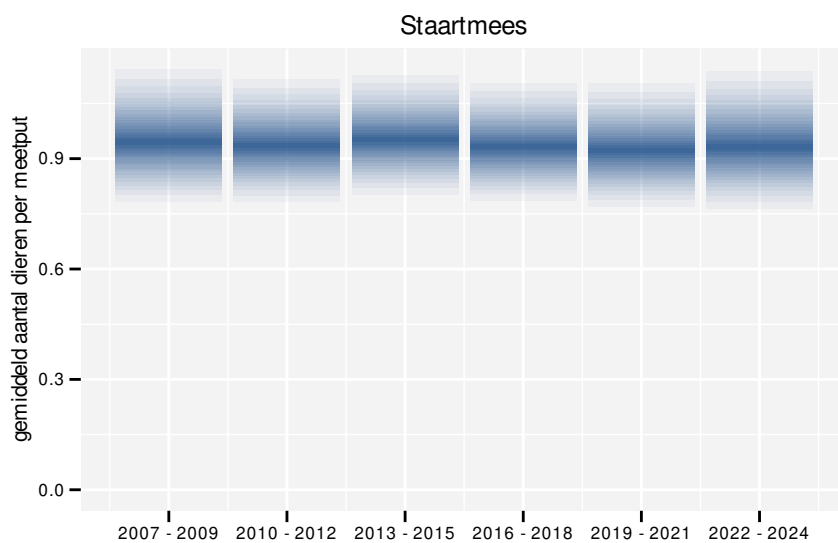
Figuur 87.2: Wijzigingen tussen jaren voor Staartmees. Zie §3.1 voor een verklaring van de intervallen en §3.2 voor uitleg over de symbolen en referentielijnen.



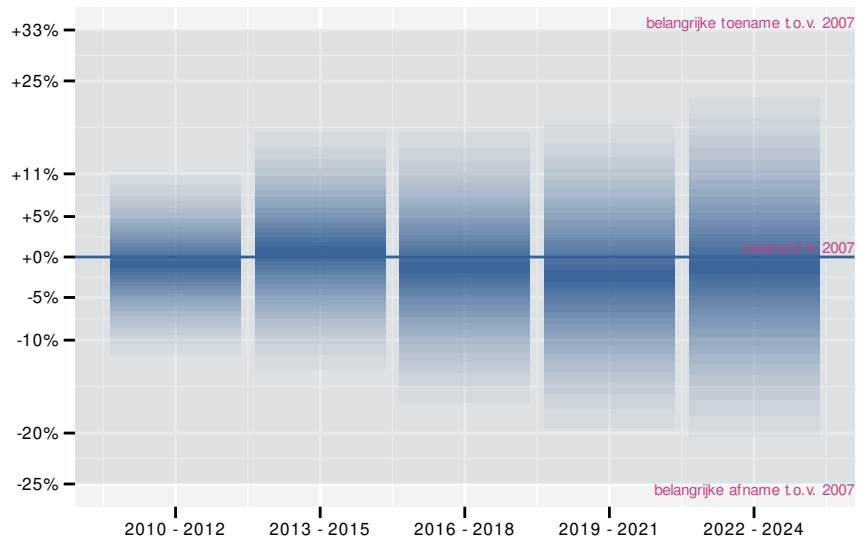
Figuur 87.3: Paarsgewijze vergelijking tussen jaren voor Staartmees. Uitleg van de symbolen in tabel 3.1.

87.2 ANALYSE PER DRIEJAARLIJKSE CYCLUS

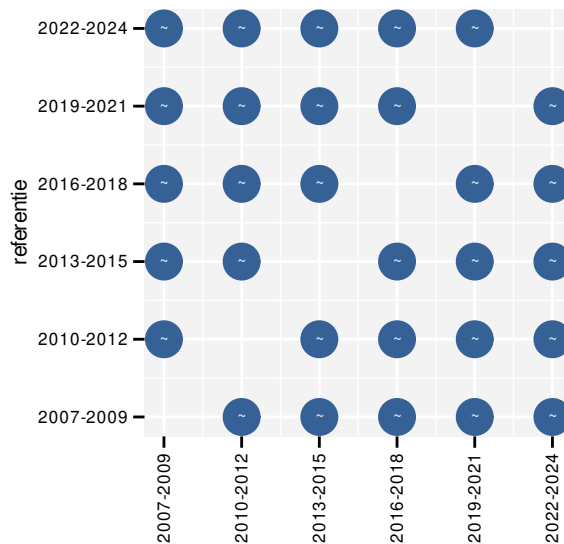
Op basis van driejaarlijkse gegevens zien we gemiddeld een onduidelijk met -0.6% (-3.0% ; $+1.9\%$) per jaar of -9% (-38% ; $+35\%$) over de volledige looptijd van het meetnet. Deze trend is niet-lineair.



Figuur 87.4: Evolutie van het gemodelleerde gemiddeld aantal waargenomen dieren op een meetpunt voor Staartmees tijdens de referentieperiode. Zie §3.1 voor een verklaring van de intervallen.



Figuur 87.5: Wijzigingen per driejarige cyclus voor Staartmees. Zie §3.1 voor een verklaring van de intervallen en §3.2 voor uitleg over de symbolen en referentielijnen.



Figuur 87.6: Paarsgewijze vergelijking tussen driejarige cycli voor Staartmees. Uitleg van de symbolen in tabel 3.1.

87.3 KENMERKEN VAN DE GEGEVENS

Tabel 87.1: Stratumgewicht, raming van het aantal hokken waarin de soort aanwezig is, aantal relevante hokken voor de analyse, aantal onderzochte hokken in het stratum, totaal aantal hokken van het stratum in Vlaanderen, aantal bezoeken aan een meetpunt en het gemiddeld aandeel relevante punten per hok voor Staartmees (zie §2.5).

stratum	gewicht	aanwezig	relevant	onderzocht	totaal	bezoeken	punten
Landbouw	72.0%	834.6	57	431	6311	1823	35.7%
Bos	7.9%	91.9	55	191	319	2178	45.5%
Urbaan	5.8%	66.9	14	87	416	509	38.1%
Suburbaan	5.1%	59.1	20	68	201	868	50.8%
Moeras en water	4.6%	53.1	31	80	137	1375	54.3%
Heide en duin	4.6%	52.9	25	94	199	989	42.7%

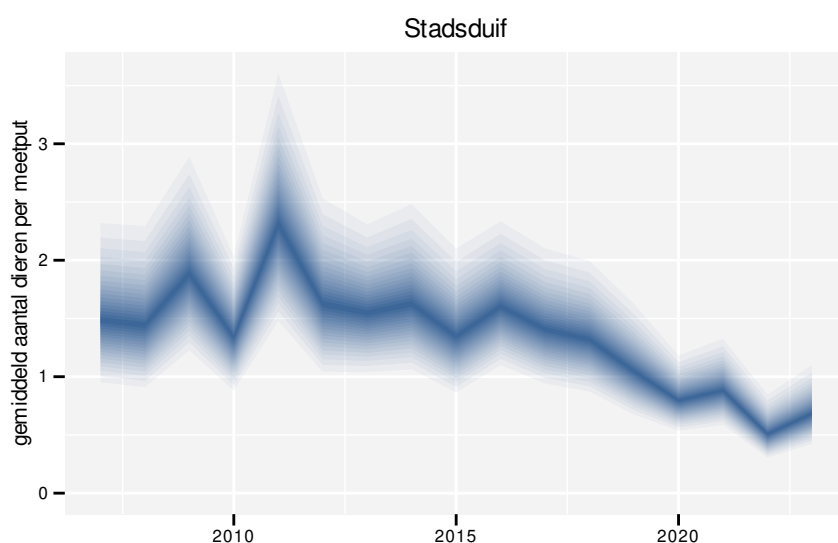
Tabel 87.2: Data-hashes van de analyses in het kader van traceerbaarheid (zie §4.3).

frequentie	model	analyse	status
jaarlijks	niet-lineair	9a5c780f3d4f5634cbd4 d7ae30d124a897eef006	f102163686b5242057ce 8a59514df16a4fae43cf
jaarlijks	lineair	0db939ade562d517d56b 747cb60af3e32d859b09	b859bb9fe8800b8787bd 1d7ee6af1bb2eaf2aeb9
driejaarlijks	niet-lineair	630a0debf01296e25444 7b1781d530268935bef4	adf6f5179f16bd2bdda4 44870dd6738f6b84a3c6
driejaarlijks	lineair	1bd9dc3c69c6706234cd 1004c04c73938474f9f8	810fa7cc6a922561b070 aad131149e8a6ca93b47

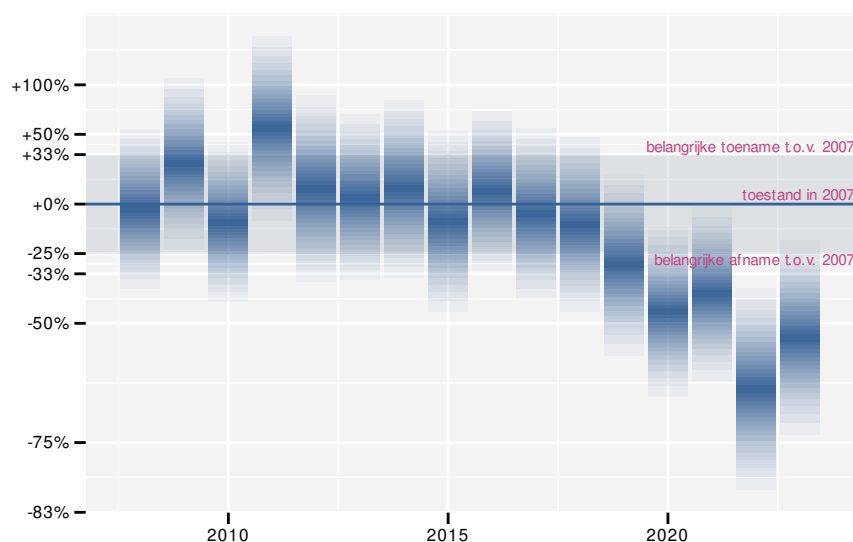
88 STADSDUIF

88.1 ANALYSE PER JAAR

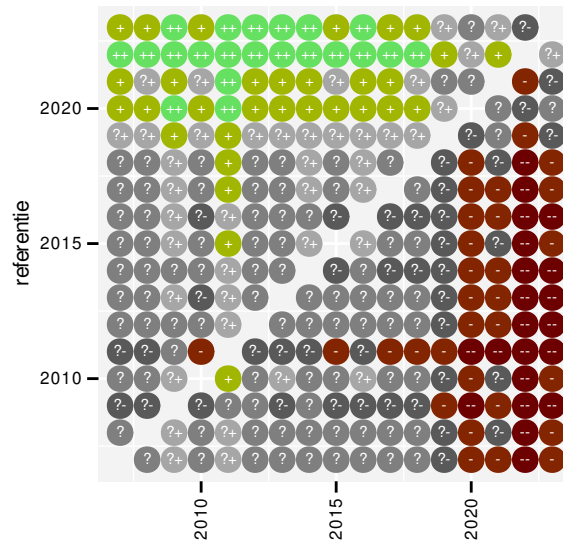
Op basis van jaarlijkse gegevens zien we gemiddeld een sterke afname met -5.9% (-8.1%; -3.5%) per jaar of -62% (-74%; -43%) over de volledige looptijd van het meetnet. Deze trend is niet-lineair.



Figuur 88.1: Evolutie van het gemodelleerde gemiddeld aantal waargenomen dieren op een meetpunt voor Stadsduif tijdens de referentieperiode. Zie §3.1 voor een verklaring van de intervallen.



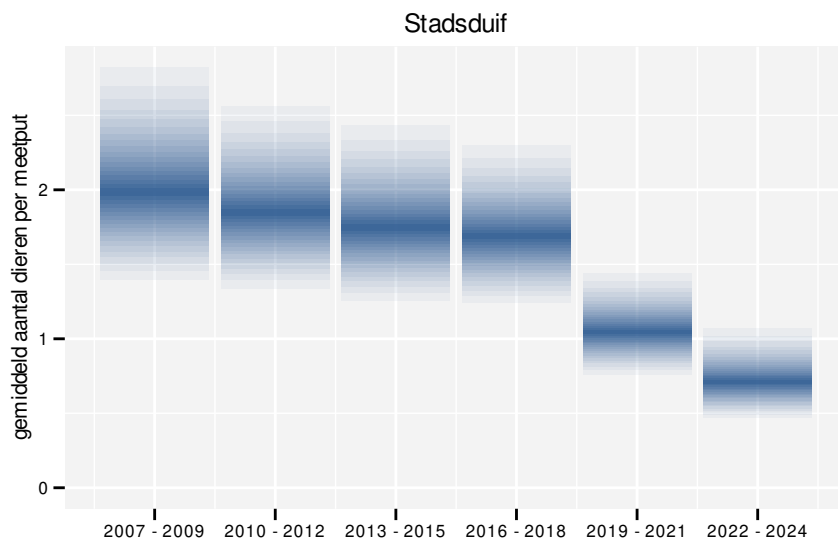
Figuur 88.2: Wijzigingen tussen jaren voor Stadsduif. Zie §3.1 voor een verklaring van de intervallen en §3.2 voor uitleg over de symbolen en referentielijnen.



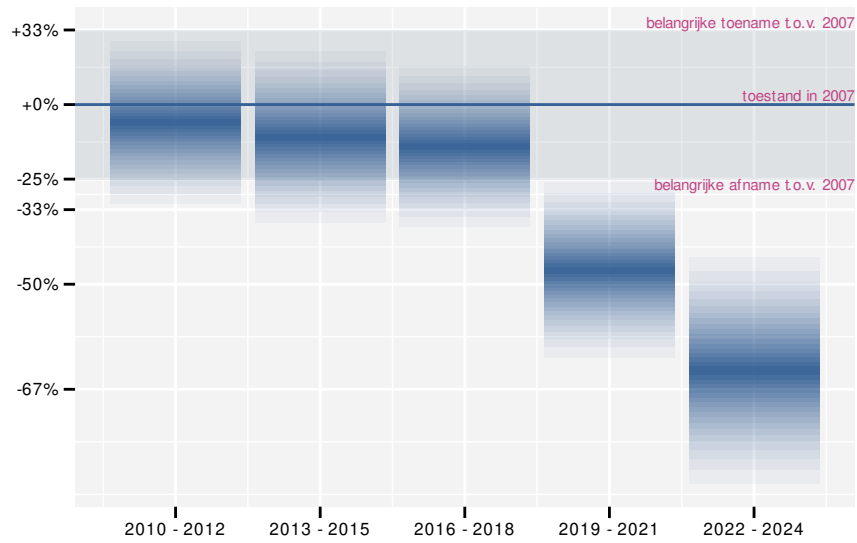
Figuur 88.3: Paarsgewijze vergelijking tussen jaren voor Stadsduif. Uitleg van de symbolen in tabel 3.1.

88.2 ANALYSE PER DRIEJAARLIJKSE CYCLUS

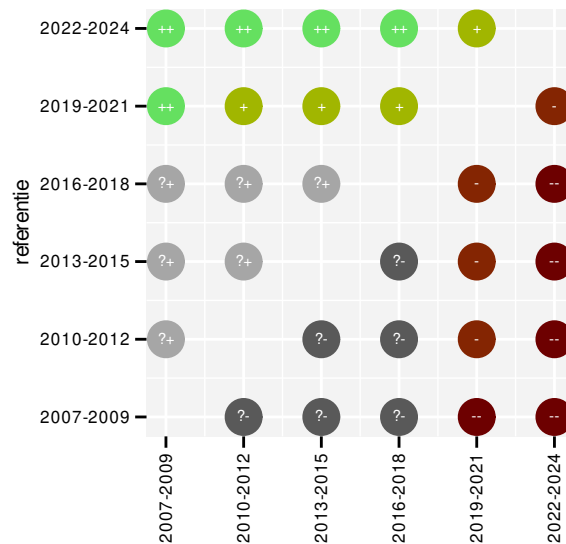
Op basis van driejaarlijkse gegevens zien we gemiddeld een sterke afname met -6.0% (-8.3%; -3.6%) per jaar of -63% (-75%; -45%) over de volledige looptijd van het meetnet. Deze trend is niet-lineair.



Figuur 88.4: Evolutie van het gemodelleerde gemiddeld aantal waargenomen dieren op een meetpunt voor Stadsduif tijdens de referentieperiode. Zie §3.1 voor een verklaring van de intervallen.



Figuur 88.5: Wijzigingen per driejarige cyclus voor Stadsduif. Zie §3.1 voor een verklaring van de intervallen en §3.2 voor uitleg over de symbolen en referentielijnen.

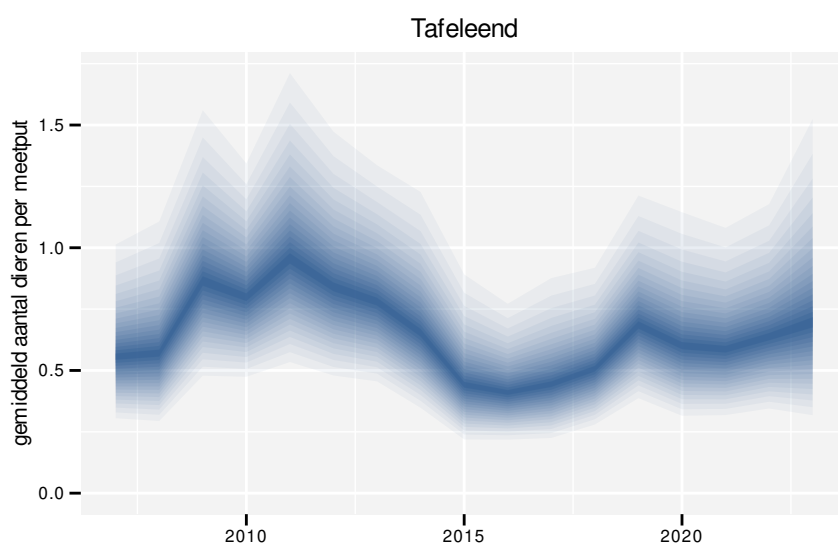


Figuur 88.6: Paarsgewijze vergelijking tussen driejarige cycli voor Stadsduif. Uitleg van de symbolen in tabel 3.1.

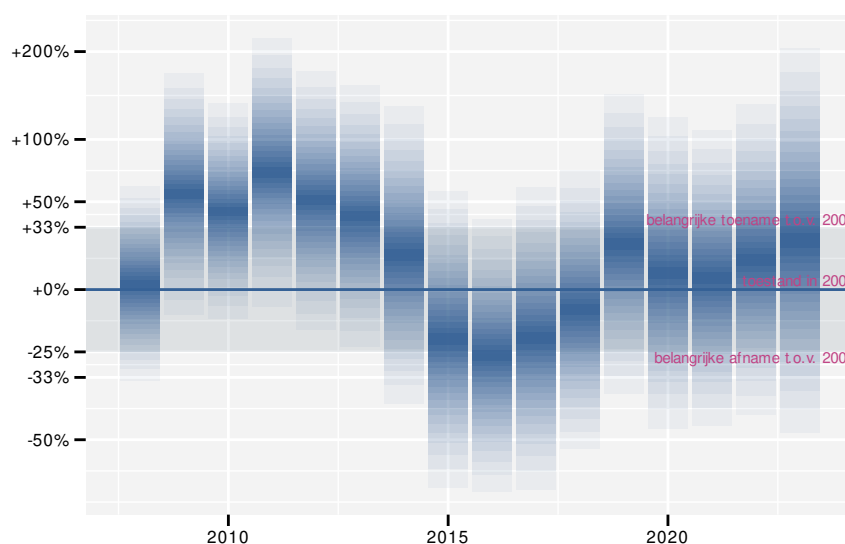
89 TAFELEEND

89.1 ANALYSE PER JAAR

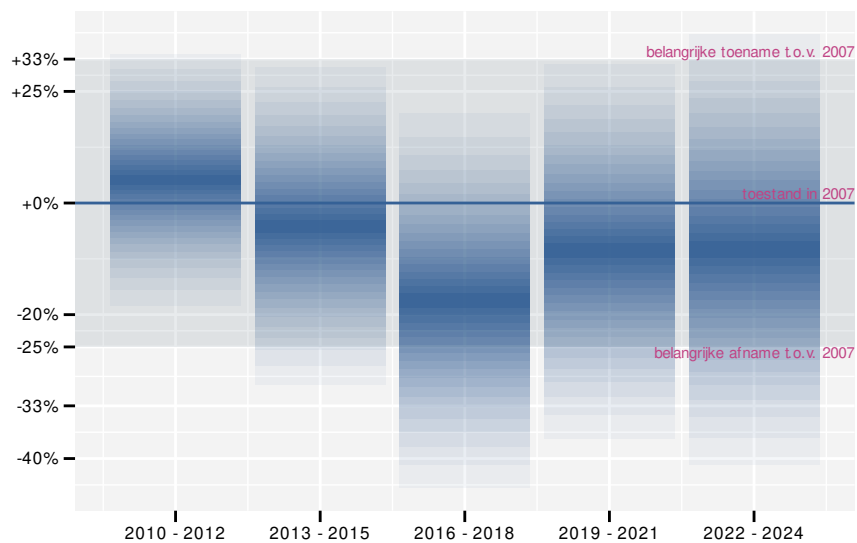
Op basis van jaarlijkse gegevens zien we gemiddeld een onduidelijk met +1% (-5%; +6%) per jaar of +12% (-53%; +167%) over de volledige looptijd van het meetnet. Deze trend is niet-lineair.



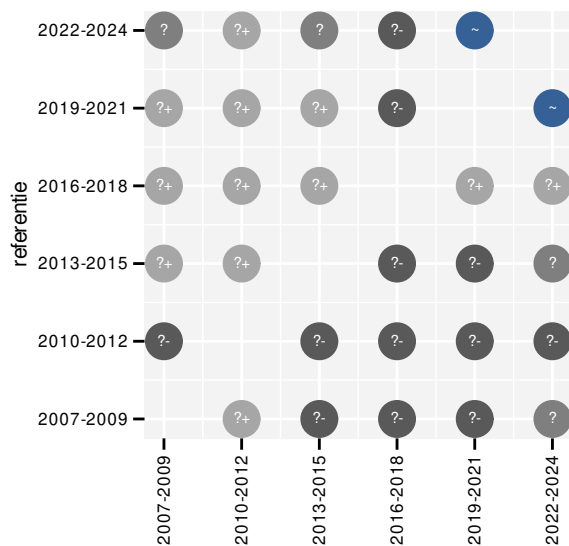
Figuur 89.1: Evolutie van het gemodelleerde gemiddeld aantal waargenomen dieren op een meetpunt voor Tafeleend tijdens de referentieperiode. Zie §3.1 voor een verklaring van de intervallen.



Figuur 89.2: Wijzigingen tussen jaren voor Tafeleend. Zie §3.1 voor een verklaring van de intervallen en §3.2 voor uitleg over de symbolen en referentielijnen.



Figuur 89.5: Wijzigingen per driejarige cyclus voor Tafeleend. Zie §3.1 voor een verklaring van de intervallen en §3.2 voor uitleg over de symbolen en referentielijnen.



Figuur 89.6: Paarsgewijze vergelijking tussen driejarige cycli voor Tafeleend. Uitleg van de symbolen in tabel 3.1.

89.3 KENMERKEN VAN DE GEGEVENS

Tabel 89.1: Stratumgewicht, raming van het aantal hokken waarin de soort aanwezig is, aantal relevante hokken voor de analyse, aantal onderzochte hokken in het stratum, totaal aantal hokken van het stratum in Vlaanderen, aantal bezoeken aan een meetpunt en het gemiddeld aandeel relevante punten per hok voor Tafeleend (zie §2.5).

stratum	gewicht	aanwezig	relevant	onderzocht	totaal	bezoeken	punten
Moeras en water	80.4%	20.6	12	80	137	467	45.8%
Bos	19.6%	6.7	4	191	319	31	16.7%

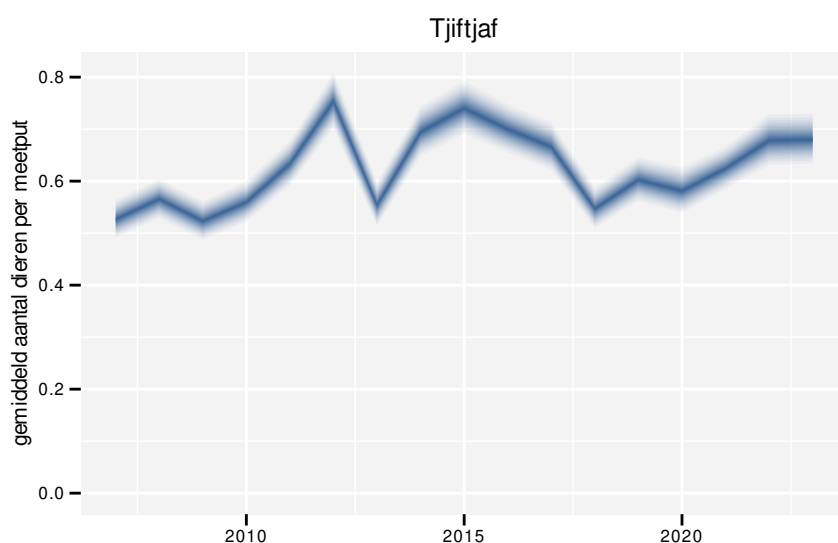
Tabel 89.2: Data-hashes van de analyses in het kader van traceerbaarheid (zie §4.3).

frequentie	model	analyse	status
jaarlijks	niet-lineair	de35ec95ec5aa87f0eb6ef4f39fb69eb33059681	e2afa6ecb0460868eba2ae2d62e506e8db67203a
jaarlijks	lineair	2ab0b73bf86827570c9c392e4e6220e999f70260	93b0aff8aa3650f03d7214c16477747b6bc20acc
driejaarlijks	niet-lineair	1dc94699e1f2b54efdedf0f76e3b9a21a41d643e	7fee0acdede613f0b21ac9eb4f12c677ac4e127c
driejaarlijks	lineair	fa15593f6869a3e4e9b851fcd3fef9d016e6260ec	0681e041312335f717daec073326358163113a60

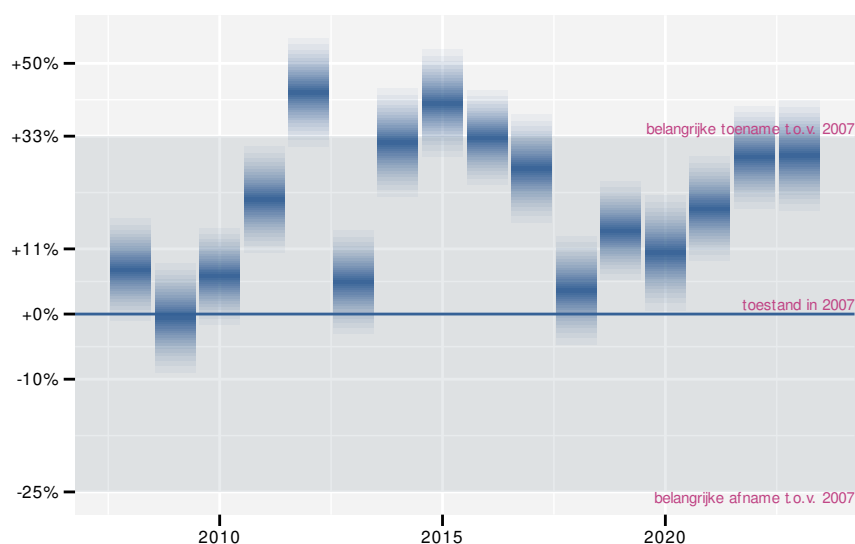
90 TJIFTJAF

90.1 ANALYSE PER JAAR

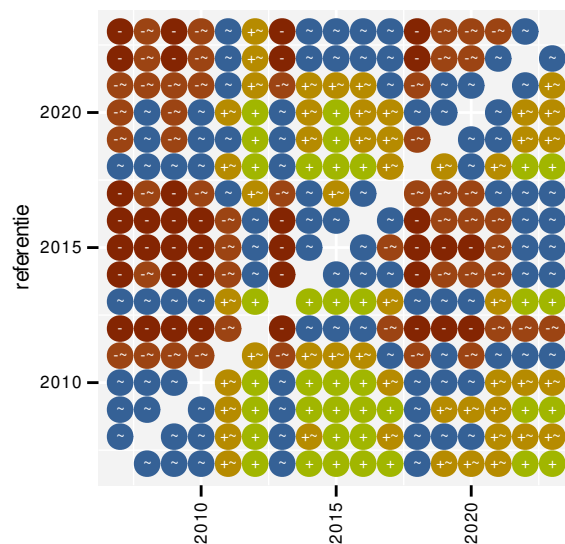
Op basis van jaarlijkse gegevens zien we gemiddeld een matige toename met +0.955% (+0.652%; +1.258%) per jaar of +16% (+11%; +22%) over de volledige looptijd van het meetnet. Deze trend is niet-lineair.



Figuur 90.1: Evolutie van het gemodelleerde gemiddeld aantal waargenomen dieren op een meetpunt voor Tjiftjaf tijdens de referentieperiode. Zie §3.1 voor een verklaring van de intervallen.



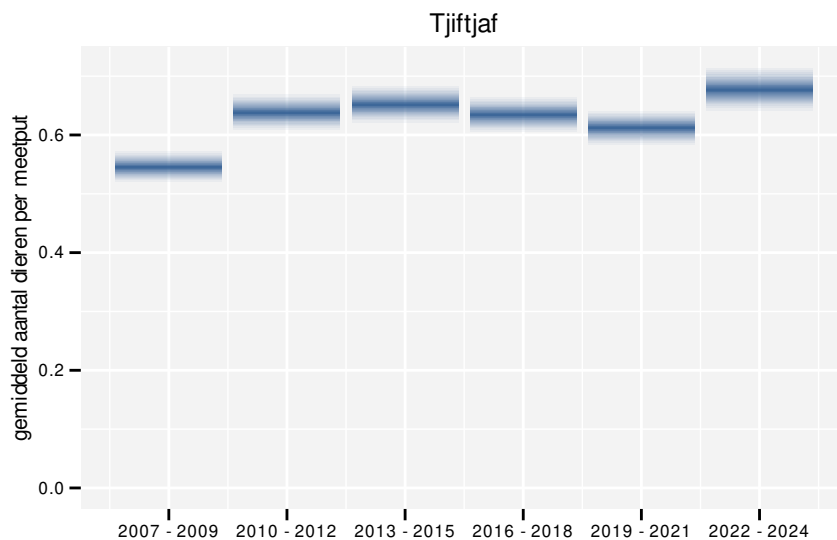
Figuur 90.2: Wijzigingen tussen jaren voor Tjiftjaf. Zie §3.1 voor een verklaring van de intervallen en §3.2 voor uitleg over de symbolen en referentielijnen.



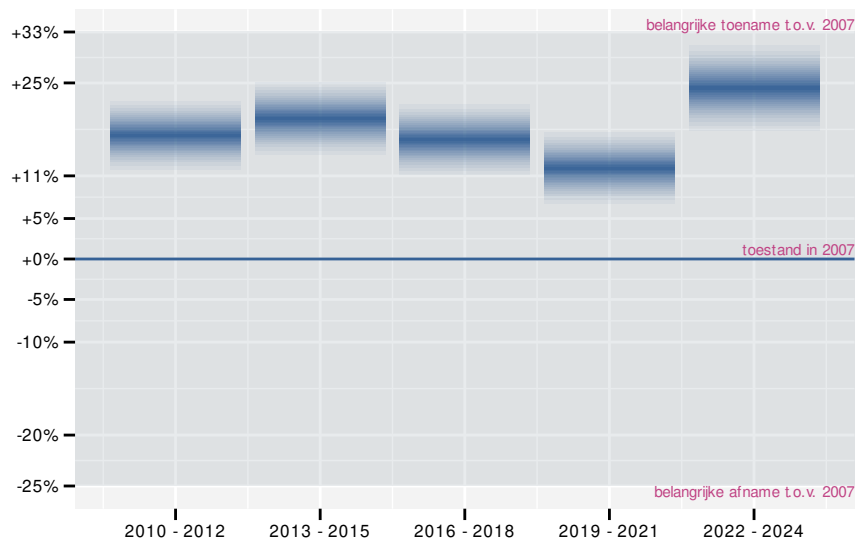
Figuur 90.3: Paarsgewijze vergelijking tussen jaren voor Tjiftjaf. Uitleg van de symbolen in tabel 3.1.

90.2 ANALYSE PER DRIEJAARLIJKSE CYCLUS

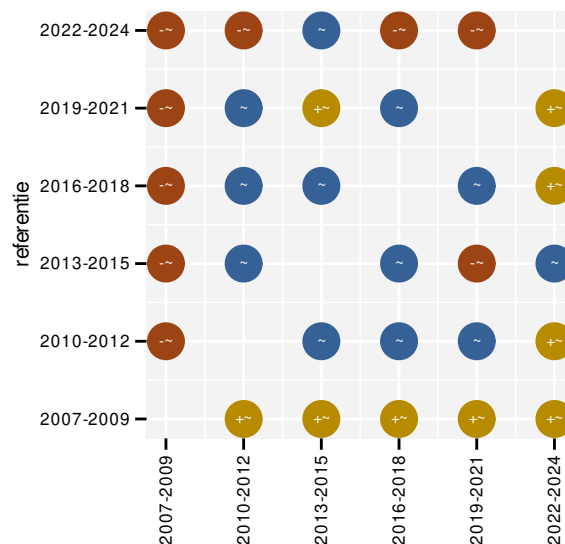
Op basis van driejaarlijkse gegevens zien we gemiddeld een matige toename met +0.911% (+0.609%; +1.217%) per jaar of +16% (+10%; +21%) over de volledige looptijd van het meetnet. Deze trend is niet-lineair.



Figuur 90.4: Evolutie van het gemodelleerde gemiddeld aantal waargenomen dieren op een meetpunt voor Tjiftjaf tijdens de referentieperiode. Zie §3.1 voor een verklaring van de intervallen.



Figuur 90.5: Wijzigingen per driejarige cyclus voor Tjiftjaf. Zie §3.1 voor een verklaring van de intervallen en §3.2 voor uitleg over de symbolen en referentielijnen.



Figuur 90.6: Paarsgewijze vergelijking tussen driejarige cycli voor Tjiftjaf. Uitleg van de symbolen in tabel 3.1.

90.3 KENMERKEN VAN DE GEGEVENS

Tabel 90.1: Stratumgewicht, raming van het aantal hokken waarin de soort aanwezig is, aantal relevante hokken voor de analyse, aantal onderzochte hokken in het stratum, totaal aantal hokken van het stratum in Vlaanderen, aantal bezoeken aan een meetpunt en het gemiddeld aandeel relevante punten per hok voor Tjiftjaf (zie §2.5).

stratum	gewicht	aanwezig	relevant	onderzocht	totaal	bezoeken	punten
Landbouw	82.1%	4583.2	313	431	6311	19153	83.2%
Urbaan	5.7%	320.4	67	87	416	3677	75.4%
Bos	4.4%	247.2	148	191	319	9723	92.9%
Heide en duin	3.0%	169.4	80	94	199	5097	89.2%
Suburbaan	2.8%	156.7	53	68	201	3263	89.3%
Moeras en water	1.9%	104.5	61	80	137	4004	92.3%

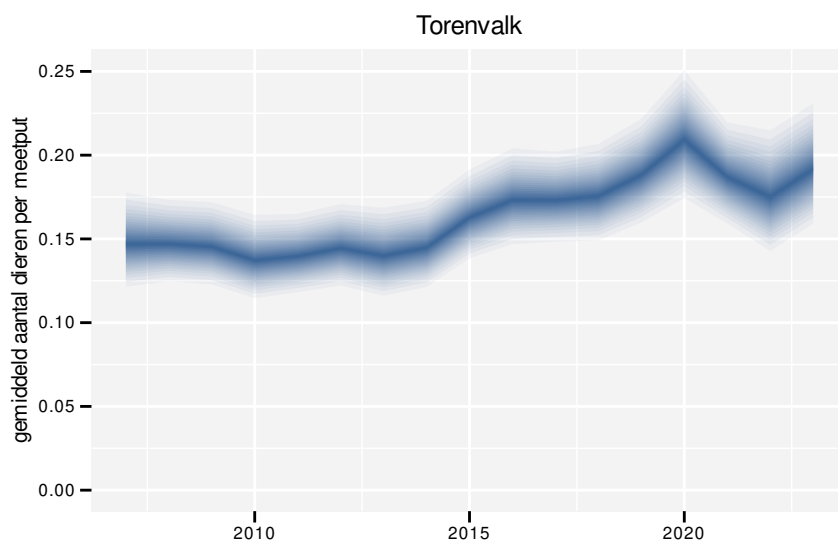
Tabel 90.2: Data-hashes van de analyses in het kader van traceerbaarheid (zie §4.3).

frequentie	model	analyse	status
jaarlijks	niet-lineair	e8e8ab63aa33aac01391 2a7bba79e70bf0104670	55a3d6d36683780f84cb 7b55dacc397f7af8c336
jaarlijks	lineair	c2aafeee359f61a8007d 42dc71d8e125b362a8c6	0826247200a541c85132 b63883d8ab17aaa9aad4
driejaarlijks	niet-lineair	d71dd9ef32818411e03a abcc7f952cbb8e073364	0ffbab2612ea0330ee5c 4a021752e87740ac8cdb
driejaarlijks	lineair	6869e075cac2ea8a726b 825f52feb9cb19282c9d	cdbef69d4c340f80692f 185052db48029f2dc26f

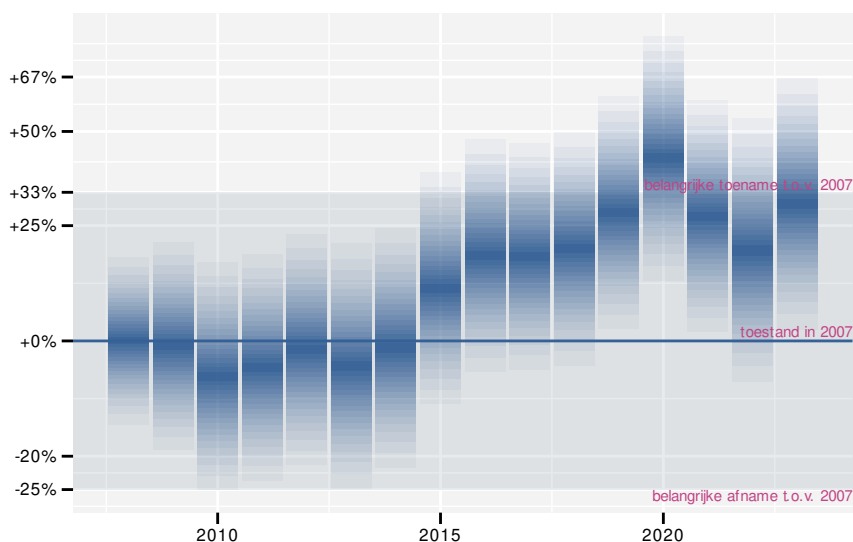
91 TORENVALK

91.1 ANALYSE PER JAAR

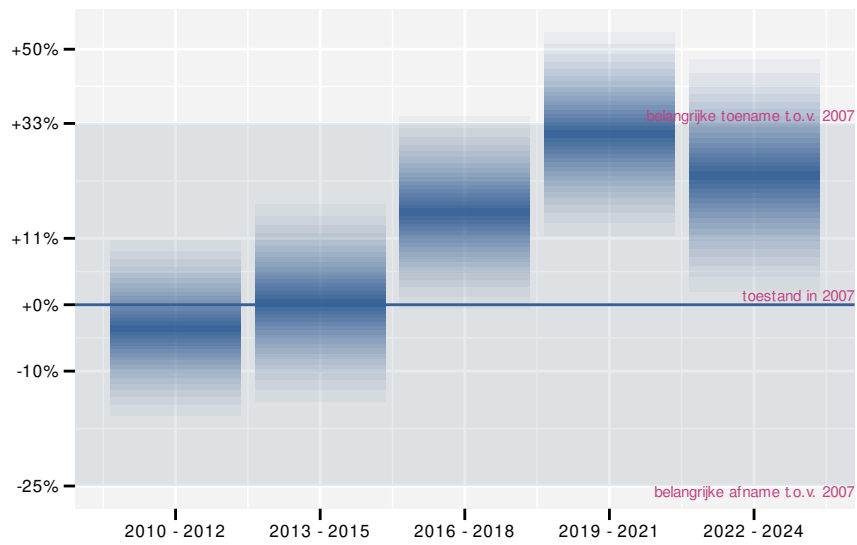
Op basis van jaarlijkse gegevens zien we gemiddeld een toename met +2.5% (+1.3%; +3.7%) per jaar of +49% (+23%; +80%) over de volledige looptijd van het meetnet. Deze trend is niet-lineair.



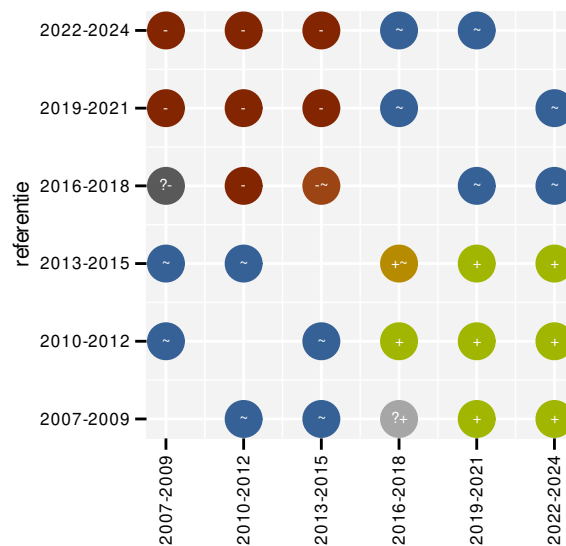
Figuur 91.1: Evolutie van het gemodelleerde gemiddeld aantal waargenomen dieren op een meetpunt voor Torenvalk tijdens de referentieperiode. Zie §3.1 voor een verklaring van de intervallen.



Figuur 91.2: Wijzigingen tussen jaren voor Torenvalk. Zie §3.1 voor een verklaring van de intervallen en §3.2 voor uitleg over de symbolen en referentielijnen.



Figuur 91.5: Wijzigingen per driejarige cyclus voor Torenvalk. Zie §3.1 voor een verklaring van de intervallen en §3.2 voor uitleg over de symbolen en referentielijnen.



Figuur 91.6: Paarsgewijze vergelijking tussen driejarige cycli voor Torenvalk. Uitleg van de symbolen in tabel 3.1.

91.3 KENMERKEN VAN DE GEGEVENS

Tabel 91.1: Stratumgewicht, raming van het aantal hokken waarin de soort aanwezig is, aantal relevante hokken voor de analyse, aantal onderzochte hokken in het stratum, totaal aantal hokken van het stratum in Vlaanderen, aantal bezoeken aan een meetpunt en het gemiddeld aandeel relevante punten per hok voor Torenavalk (zie §2.5).

stratum	gewicht	aanwezig	relevant	onderzocht	totaal	bezoeken	punten
Landbouw	96.4%	2255.0	154	431	6311	6729	53.9%
Heide en duin	1.5%	36.0	17	94	199	629	44.1%
Suburbaan	1.0%	26.6	9	68	201	289	40.7%
Moeras en water	0.6%	15.4	9	80	137	341	46.3%
Bos	0.4%	11.7	7	191	319	271	47.6%

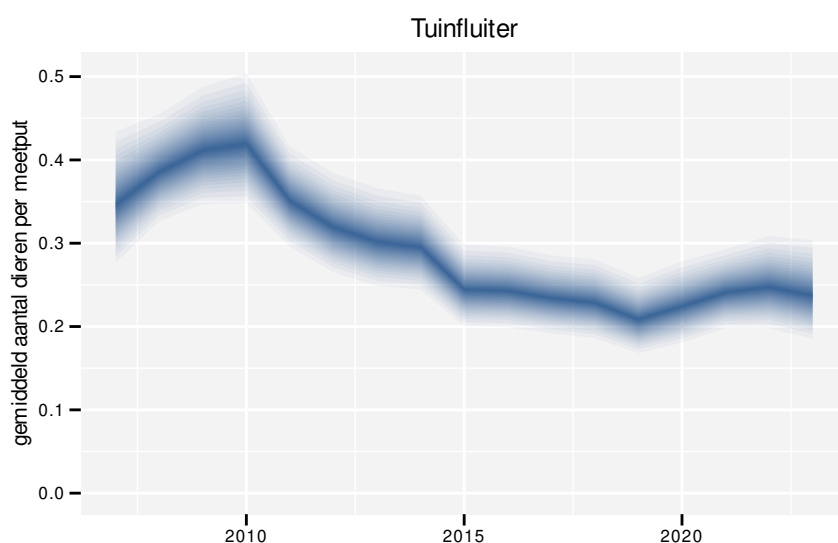
Tabel 91.2: Data-hashes van de analyses in het kader van traceerbaarheid (zie §4.3).

frequentie	model	analyse	status
jaarlijks	niet-lineair	b9278fe2beee35f78fd8 8bccd5b6fdb8cf9a49fd	22802987794e647047c7 2a678d66ea18eef58c7a
jaarlijks	lineair	dad4ffea3b799193558c 2083b14fb4d0d4607b37	4d2383c8a99a7d3319b9 a80ccba446d90e6821d9
driejaarlijks	niet-lineair	09e6375bd0ace29b879b 739c21ff7640cc2d9048	87aad7cb691c2080682a d7e4f3110a5bb64983cb
driejaarlijks	lineair	ccbd9202891dbe48ab8c afa97baf56cd5bb5e979	5b08a3d2495fd61251fb 10f656eac5a9bdb1bf03

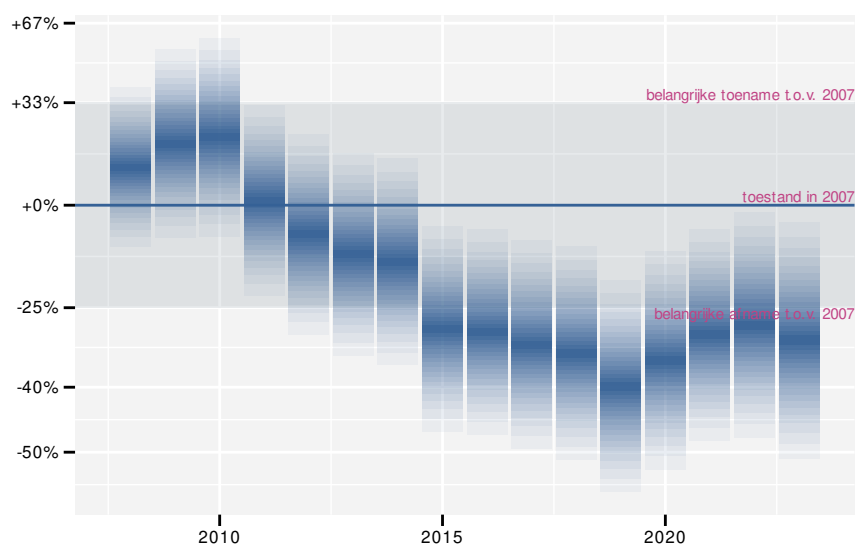
92 TUINFLUITER

92.1 ANALYSE PER JAAR

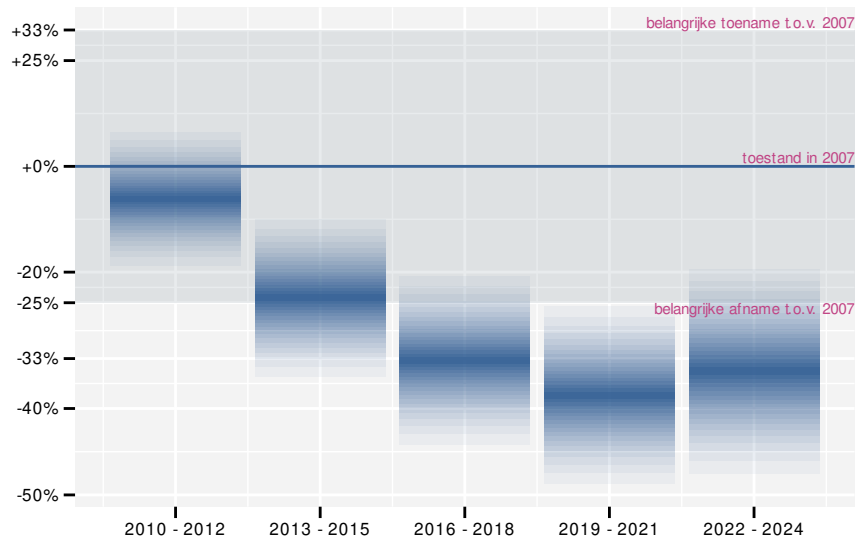
Op basis van jaarlijkse gegevens zien we gemiddeld een sterke afname met -4.9% (-6.2%; -3.5%) per jaar of -55% (-64%; -43%) over de volledige looptijd van het meetnet. Deze trend is niet-lineair.



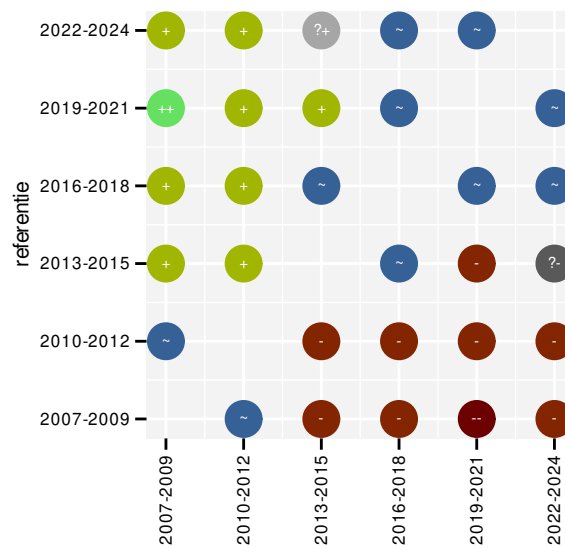
Figuur 92.1: Evolutie van het gemodelleerde gemiddeld aantal waargenomen dieren op een meetpunt voor Tuinfluiter tijdens de referentieperiode. Zie §3.1 voor een verklaring van de intervallen.



Figuur 92.2: Wijzigingen tussen jaren voor Tuinfluiter. Zie §3.1 voor een verklaring van de intervallen en §3.2 voor uitleg over de symbolen en referentielijnen.



Figuur 92.5: Wijzigingen per driejarige cyclus voor Tuinfluiter. Zie §3.1 voor een verklaring van de intervallen en §3.2 voor uitleg over de symbolen en referentielijnen.



Figuur 92.6: Paarsgewijze vergelijking tussen driejarige cycli voor Tuinfluiter. Uitleg van de symbolen in tabel 3.1.

92.3 KENMERKEN VAN DE GEGEVENS

Tabel 92.1: Stratumgewicht, raming van het aantal hokken waarin de soort aanwezig is, aantal relevante hokken voor de analyse, aantal onderzochte hokken in het stratum, totaal aantal hokken van het stratum in Vlaanderen, aantal bezoeken aan een meetpunt en het gemiddeld aandeel relevante punten per hok voor Tuinfluiter (zie §2.5).

stratum	gewicht	aanwezig	relevant	onderzocht	totaal	bezoeken	punten
Landbouw	84.2%	1244.6	85	431	6311	1972	44.5%
Heide en duin	5.2%	76.2	36	94	199	874	49.1%
Bos	4.7%	70.1	42	191	319	1195	56.0%
Moeras en water	3.9%	58.2	34	80	137	1101	59.3%
Suburbaan	2.0%	29.6	10	68	201	165	35.0%

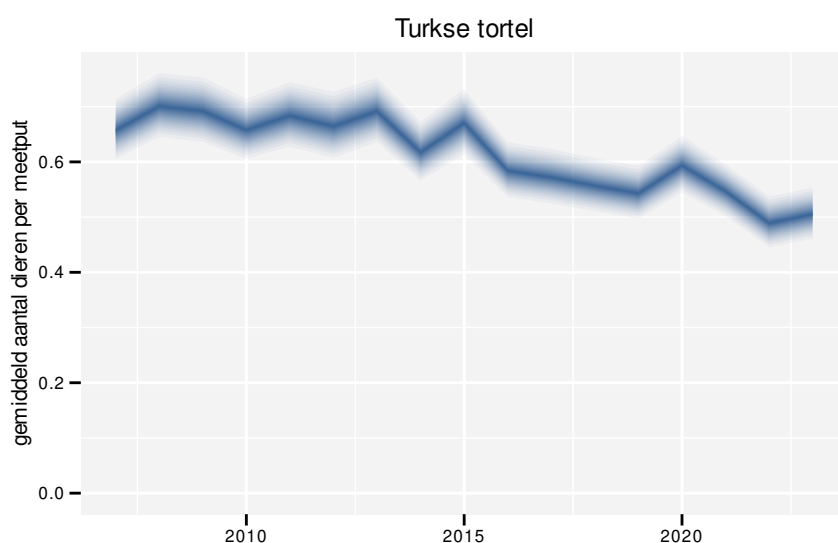
Tabel 92.2: Data-hashes van de analyses in het kader van traceerbaarheid (zie §4.3).

frequentie	model	analyse	status
jaarlijks	niet-lineair	b7cb883975cd7ed029df 1c79627116598fa634d4	ce3f8f0cb21e1f098dfe e366bf3335ac550b6089
jaarlijks	lineair	268fa5ef37532a55a068 9b5caeac7f13ec0d8b21	333db6803024d7e4fdbf 7d9317d6ec44160a9ecb
driejaarlijks	niet-lineair	3115a55165cf2efd12ab 12e78e9514be8115a322	f7ceb78e820b60eb9acd 5c8bb217b71472d5ab48
driejaarlijks	lineair	0531c19f799288421c70 93bc1a7e8739d91a6780	0b4234b9fdd7b7fcdef8 de4a1d96ddd8af92ec43

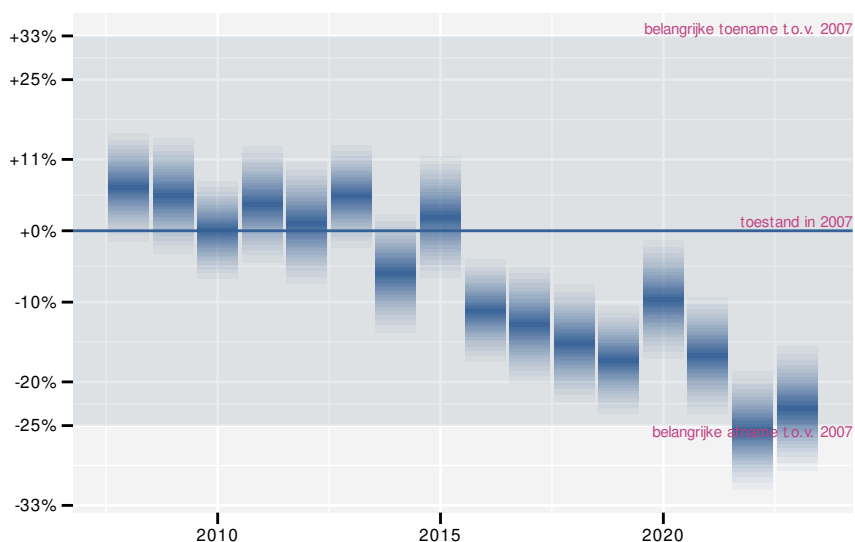
93 TURKSE TORTEL

93.1 ANALYSE PER JAAR

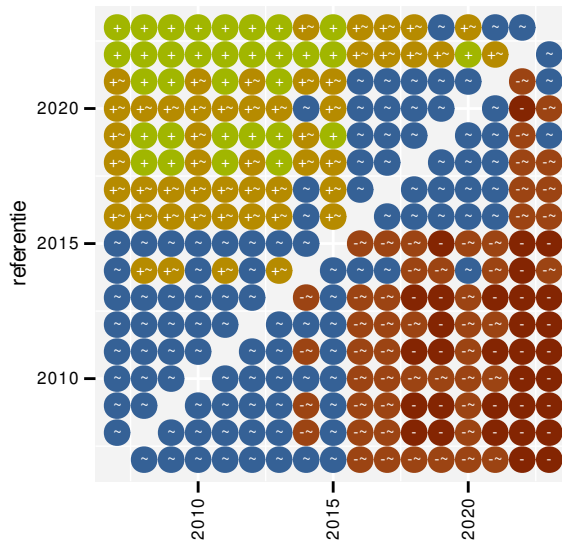
Op basis van jaarlijkse gegevens zien we gemiddeld een afname met -1.98% (-2.29%; -1.67%) per jaar of -27.4% (-31.0%; -23.6%) over de volledige looptijd van het meetnet. Deze trend is niet-lineair.



Figuur 93.1: Evolutie van het gemodelleerde gemiddeld aantal waargenomen dieren op een meetpunt voor Turkse tortel tijdens de referentieperiode. Zie §3.1 voor een verklaring van de intervallen.



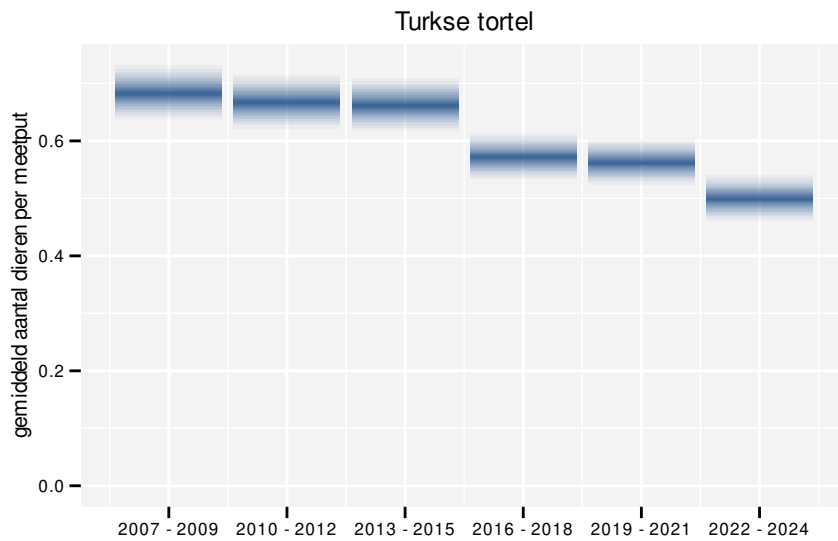
Figuur 93.2: Wijzigingen tussen jaren voor Turkse tortel. Zie §3.1 voor een verklaring van de intervallen en §3.2 voor uitleg over de symbolen en referentielijnen.



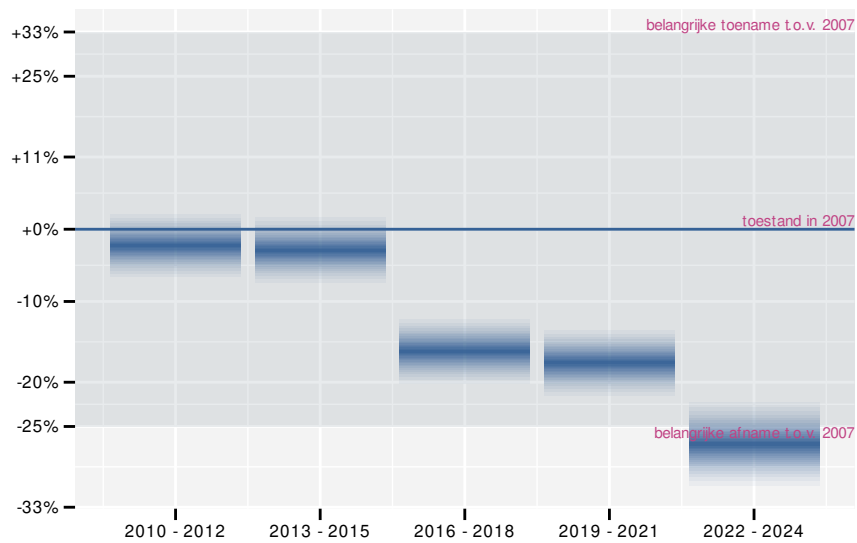
Figuur 93.3: Paarsgewijze vergelijking tussen jaren voor Turkse tortel. Uitleg van de symbolen in tabel 3.1.

93.2 ANALYSE PER DRIEJAARLIJKSE CYCLUS

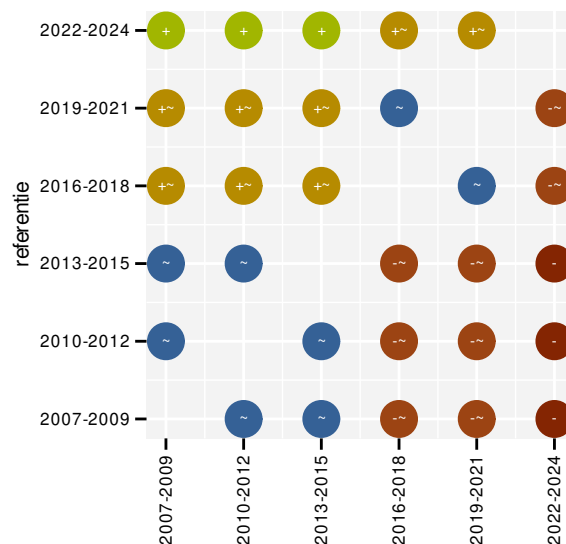
Op basis van driejaarlijkse gegevens zien we gemiddeld een afname met -2.03% (-2.34%; -1.71%) per jaar of -27.9% (-31.5%; -24.1%) over de volledige looptijd van het meetnet. Deze trend is mogelijk niet-lineair.



Figuur 93.4: Evolutie van het gemodelleerde gemiddeld aantal waargenomen dieren op een meetpunt voor Turkse tortel tijdens de referentieperiode. Zie §3.1 voor een verklaring van de intervallen.



Figuur 93.5: Wijzigingen per driejarige cyclus voor Turkse tortel. Zie §3.1 voor een verklaring van de intervallen en §3.2 voor uitleg over de symbolen en referentielijnen.



Figuur 93.6: Paarsgewijze vergelijking tussen driejarige cycli voor Turkse tortel. Uitleg van de symbolen in tabel 3.1.

93.3 KENMERKEN VAN DE GEGEVENS

Tabel 93.1: Stratumgewicht, raming van het aantal hokken waarin de soort aanwezig is, aantal relevante hokken voor de analyse, aantal onderzochte hokken in het stratum, totaal aantal hokken van het stratum in Vlaanderen, aantal bezoeken aan een meetpunt en het gemiddeld aandeel relevante punten per hok voor Turkse tortel (zie §2.5).

stratum	gewicht	aanwezig	relevant	onderzocht	totaal	bezoeken	punten
Landbouw	87.2%	4597.8	314	431	6311	17929	78.3%
Urbain	6.6%	349.1	73	87	416	4984	96.8%
Suburbaan	2.7%	141.9	48	68	201	2958	85.4%
Heide en duin	1.4%	72.0	34	94	199	1439	60.3%
Moeras en water	1.2%	61.6	36	80	137	1548	58.3%
Bos	0.9%	48.4	29	191	319	1205	54.0%

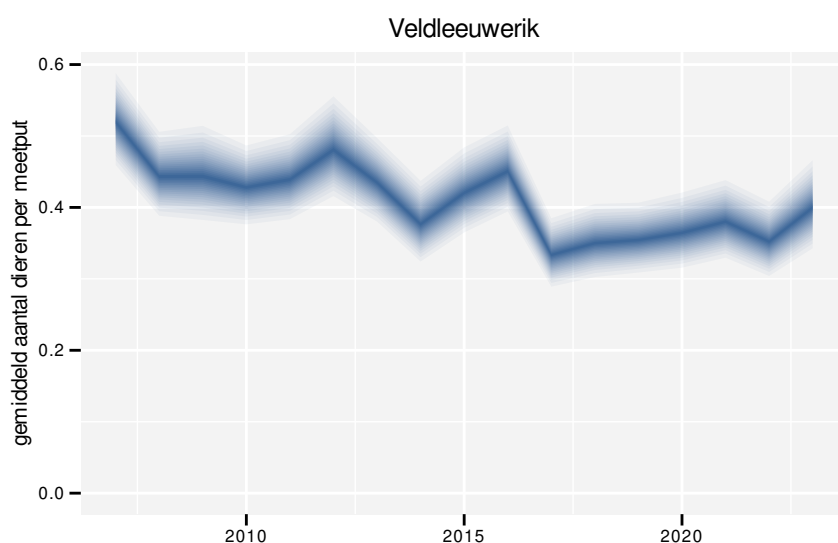
Tabel 93.2: Data-hashes van de analyses in het kader van traceerbaarheid (zie §4.3).

frequentie	model	analyse	status
jaarlijks	niet-lineair	079b1ab9c77f0cd073fe 6f85aaf32219c6b91920	97905b734f8d433d3bc8 e818d0ef453121fa96c6
jaarlijks	lineair	21bf947183e389b5548a bc06f1e738c0cbed3d24	e65f02bc0ee5b88993e0 ecfeff0cb49a7a9b34c1
driejaarlijks	niet-lineair	ce4f79d894b07094ccfe 03af7f1a12af67f0118c	4a188975a065b4fc56ce 5e8ca0a324708a8b1db8
driejaarlijks	lineair	610e0202389348f6d8ed 29b1ff13364c67ccb41e	9f4f490a037ac351a817 5426ff67afb6a0948574

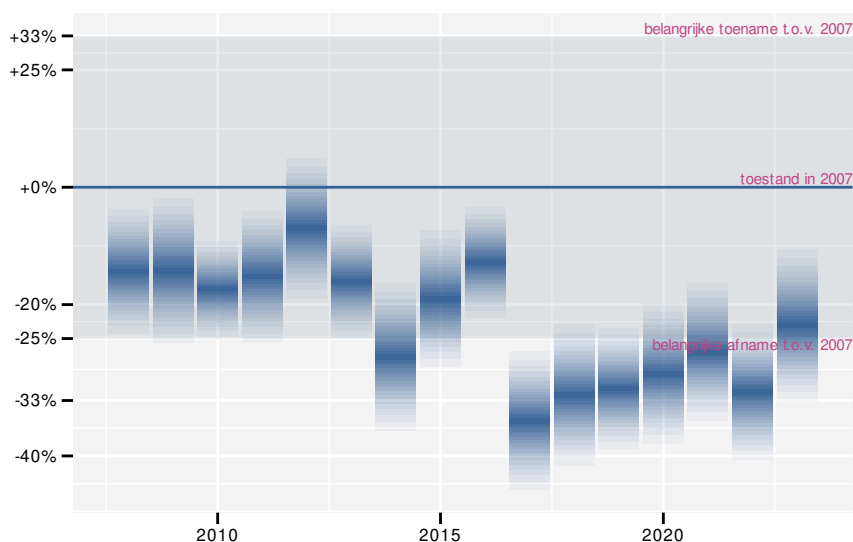
94 VELDLEEUWERIK

94.1 ANALYSE PER JAAR

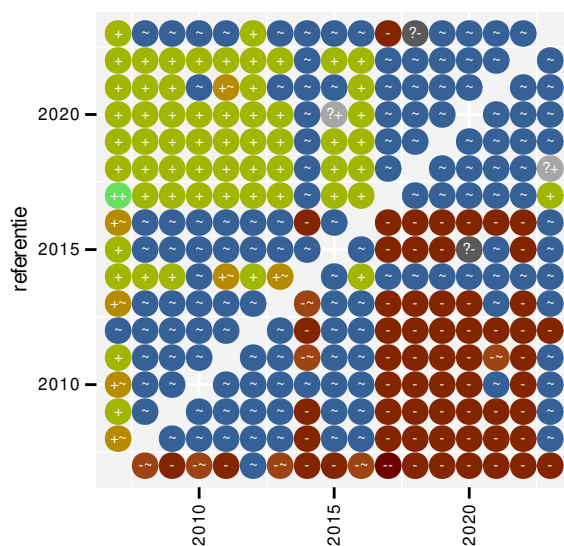
Op basis van jaarlijkse gegevens zien we gemiddeld een afname met -2.1% (-2.7%; -1.6%) per jaar of -29% (-35%; -23%) over de volledige looptijd van het meetnet. Deze trend is niet-lineair.



Figuur 94.1: Evolutie van het gemodelleerde gemiddeld aantal waargenomen dieren op een meetpunt voor Veldleeuwerik tijdens de referentieperiode. Zie §3.1 voor een verklaring van de intervallen.



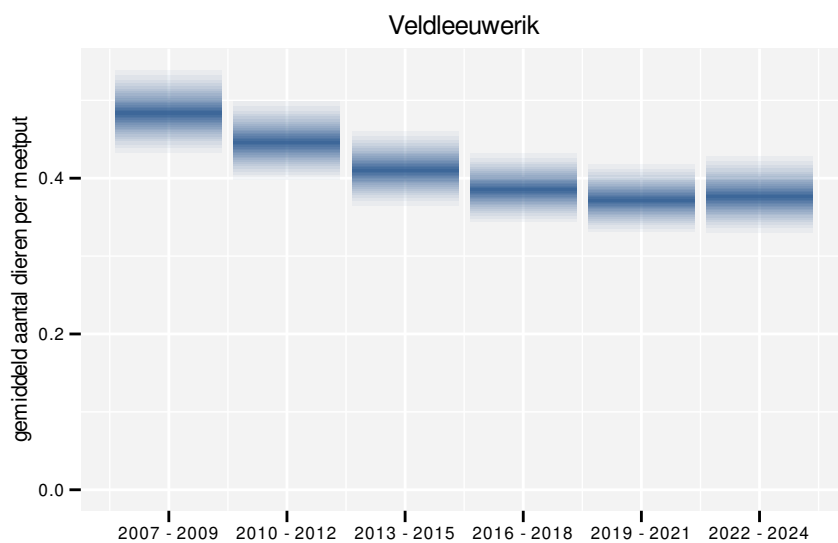
Figuur 94.2: Wijzigingen tussen jaren voor Veldleeuwerik. Zie §3.1 voor een verklaring van de intervallen en §3.2 voor uitleg over de symbolen en referentielijnen.



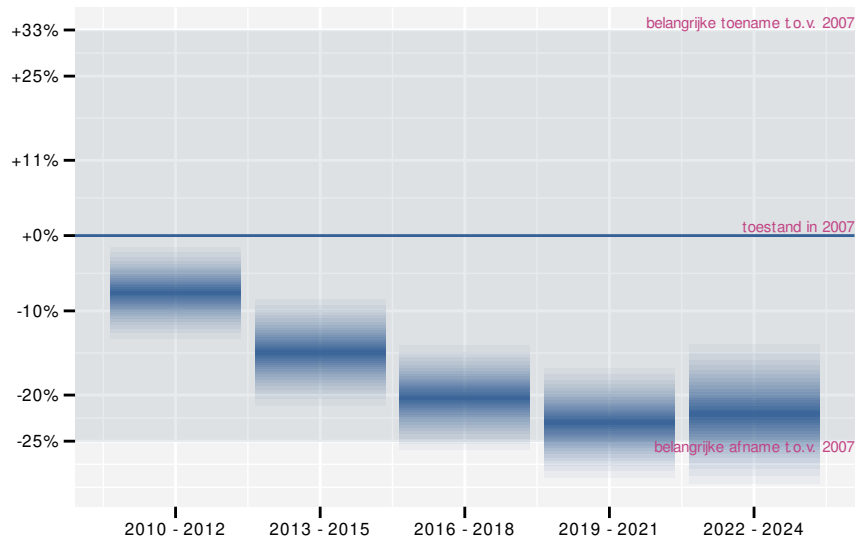
Figuur 94.3: Paarsgewijze vergelijking tussen jaren voor Veldleeuwerik. Uitleg van de symbolen in tabel 3.1.

94.2 ANALYSE PER DRIEJAARLIJKSE CYCLUS

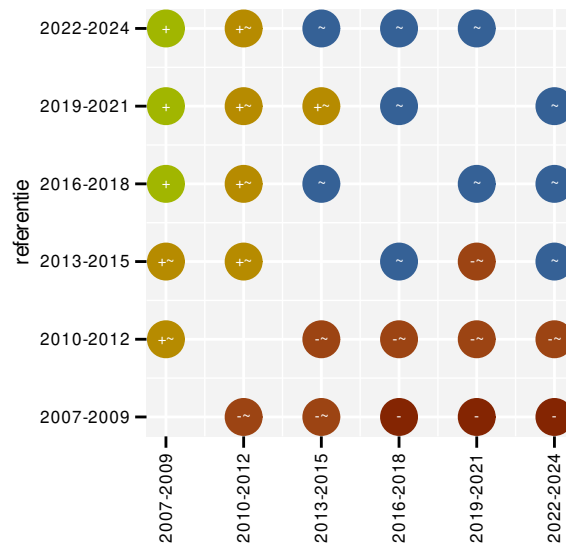
Op basis van driejaarlijkse gegevens zien we gemiddeld een afname met -2.1% (-2.7%; -1.6%) per jaar of -29% (-35%; -23%) over de volledige looptijd van het meetnet. Deze trend is lineair.



Figuur 94.4: Evolutie van het gemodelleerde gemiddeld aantal waargenomen dieren op een meetpunt voor Veldleeuwerik tijdens de referentieperiode. Zie §3.1 voor een verklaring van de intervallen.



Figuur 94.5: Wijzigingen per driejarige cyclus voor Veldleeuwerik. Zie §3.1 voor een verklaring van de intervallen en §3.2 voor uitleg over de symbolen en referentielijnen.



Figuur 94.6: Paarsgewijze vergelijking tussen driejarige cycli voor Veldleeuwerik. Uitleg van de symbolen in tabel 3.1.

94.3 KENMERKEN VAN DE GEGEVENS

Tabel 94.1: Stratumgewicht, raming van het aantal hokken waarin de soort aanwezig is, aantal relevante hokken voor de analyse, aantal onderzochte hokken in het stratum, totaal aantal hokken van het stratum in Vlaanderen, aantal bezoeken aan een meetpunt en het gemiddeld aandeel relevante punten per hok voor Veldleeuwerik (zie §2.5).

stratum	gewicht	aanwezig	relevant	onderzocht	totaal	bezoeken	punten
Landbouw	95.8%	2460.0	168	431	6311	9044	71.4%
Heide en duin	2.5%	63.5	30	94	199	1298	64.4%
Moeras en water	0.8%	22.3	13	80	137	443	46.2%
Suburbaan	0.5%	14.8	5	68	201	106	63.3%
Bos	0.5%	13.4	8	191	319	278	41.7%

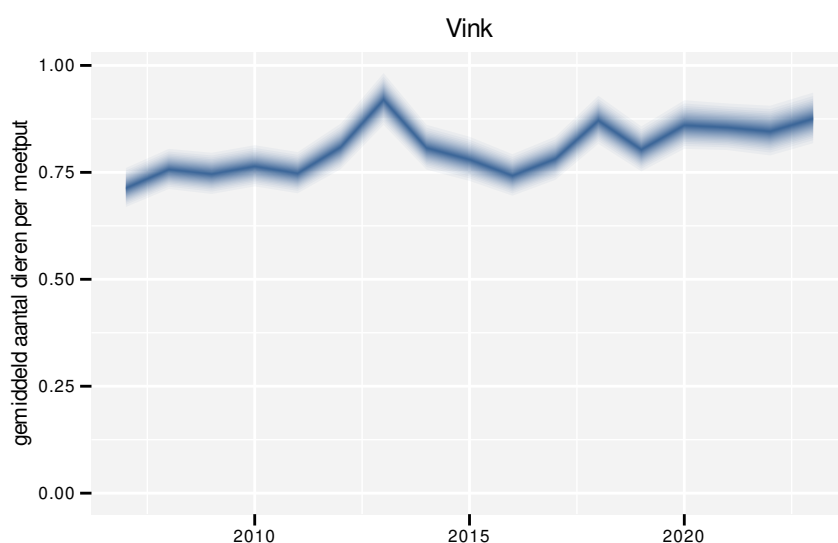
Tabel 94.2: Data-hashes van de analyses in het kader van traceerbaarheid (zie §4.3).

frequentie	model	analyse	status
jaarlijks	niet-lineair	cb456245e9b933ca4250 745946ebfcc2d653bc22	6f728c23b2ca3207c0f4 a0f5aabc331b3243dd1c
jaarlijks	lineair	38c1d4a389933e0a95cf 59a3ff97e399254e51c8	9c9091d511b41be403d3 84a2ab42249ff94347ff
driejaarlijks	niet-lineair	891703d3d06b0dd71562 5a0ca4b1750b19f7044f	55d9ee98c6f24ec215f3 313649be915d501ef4e7
driejaarlijks	lineair	fb012ac2a2a7ade37930 fd553da9421cba16f552	691df76ae0043992aa6e 418b8f4c31cd3a11ae6c

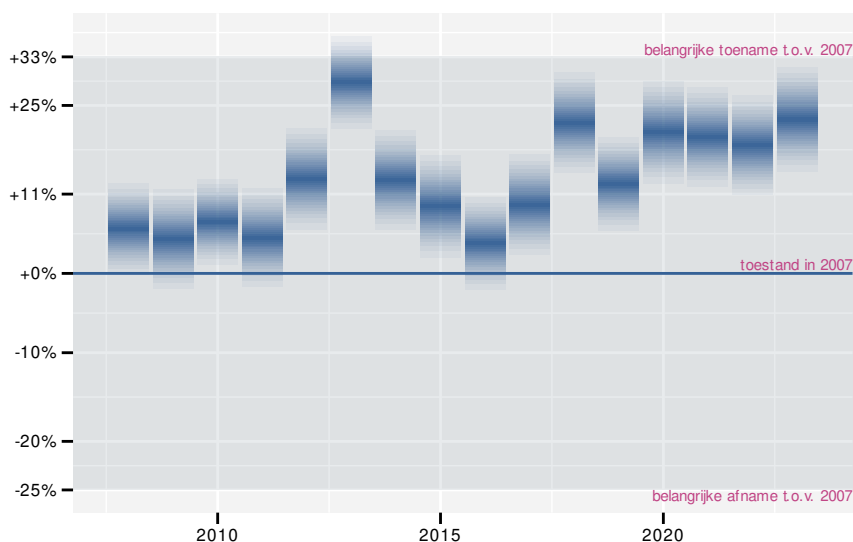
95 VINK

95.1 ANALYSE PER JAAR

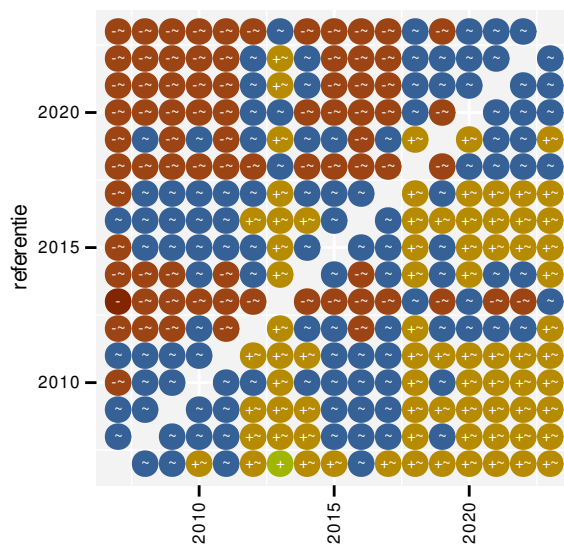
Op basis van jaarlijkse gegevens zien we gemiddeld een matige toename met +0.975% (+0.723%; +1.238%) per jaar of +16.8% (+12.2%; +21.8%) over de volledige looptijd van het meetnet. Deze trend is niet-lineair.



Figuur 95.1: Evolutie van het gemodelleerde gemiddeld aantal waargenomen dieren op een meetpunt voor Vink tijdens de referentieperiode. Zie §3.1 voor een verklaring van de intervallen.



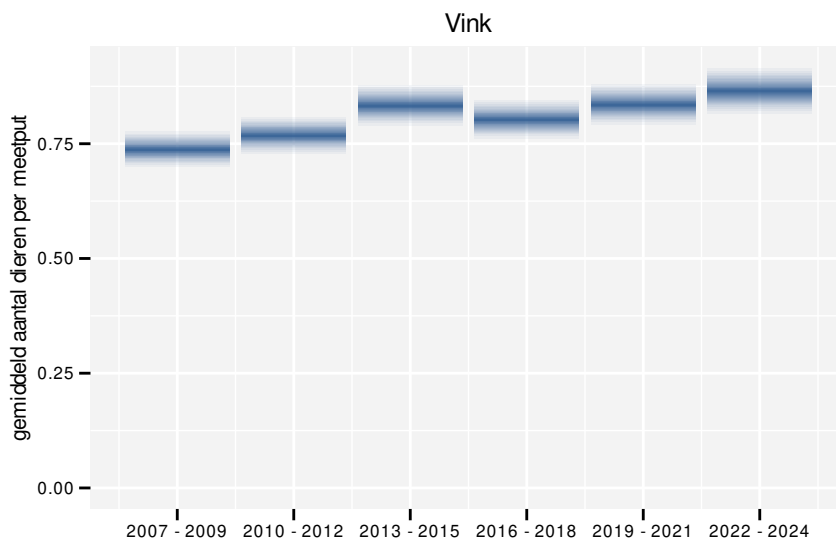
Figuur 95.2: Wijzigingen tussen jaren voor Vink. Zie §3.1 voor een verklaring van de intervallen en §3.2 voor uitleg over de symbolen en referentielijnen.



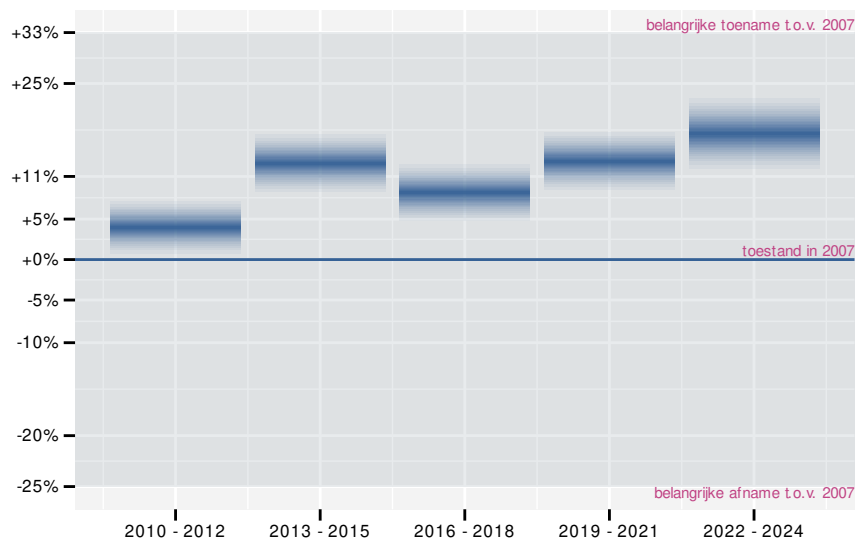
Figuur 95.3: Paarsgewijze vergelijking tussen jaren voor Vink. Uitleg van de symbolen in tabel 3.1.

95.2 ANALYSE PER DRIEJAARLIJKSE CYCLUS

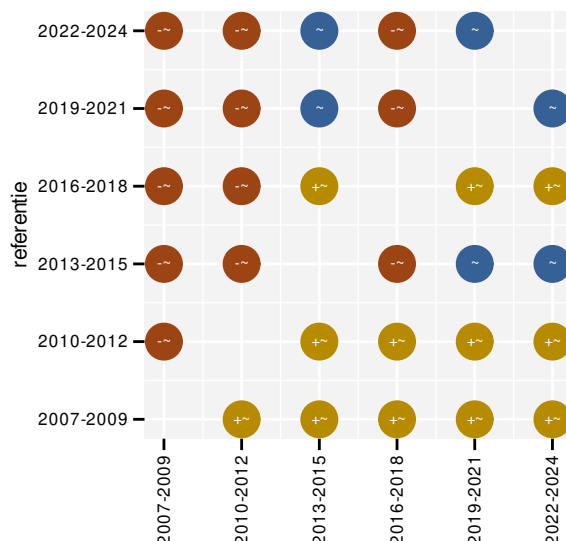
Op basis van driejaarlijkse gegevens zien we gemiddeld een matige toename met +0.961% (+0.709%; +1.217%) per jaar of +16.5% (+12.0%; +21.4%) over de volledige looptijd van het meetnet. Deze trend is niet-lineair.



Figuur 95.4: Evolutie van het gemodelleerde gemiddeld aantal waargenomen dieren op een meetpunt voor Vink tijdens de referentieperiode. Zie §3.1 voor een verklaring van de intervallen.



Figuur 95.5: Wijzigingen per driejarige cyclus voor Vink. Zie §3.1 voor een verklaring van de intervallen en §3.2 voor uitleg over de symbolen en referentielijnen.



Figuur 95.6: Paarsgewijze vergelijking tussen driejarige cycli voor Vink. Uitleg van de symbolen in tabel 3.1.

95.3 KENMERKEN VAN DE GEGEVENS

Tabel 95.2: Data-hashes van de analyses in het kader van traceerbaarheid (zie §4.3).

frequentie	model	analyse	status
jaarlijks	niet-lineair	53b074a0fb4bc855c354 26f82a047aaea3451fbb	076a8b045774309fb6c4 3935bd59f41e44e99fdd
jaarlijks	lineair	fe465c9d34b06277eabb fb6fdf492252fc12620d	8234f4af23a58948af43 4e5d533b606dd46cc27f
driejaarlijks	niet-lineair	770e20de1e7c78ad852e 0c0b4bb9860505be1d9a	a1ac62eb9b68f494992f 03b7c8a8809118bee9d7

frequentie	model	analyse	status
driejaarlijks	lineair	5baa9b7c1cd1a2259cc4 73814a4389647bb6f312	9c107016dcb3d4a7fbc4 94c3a594c4ecb00e4d92

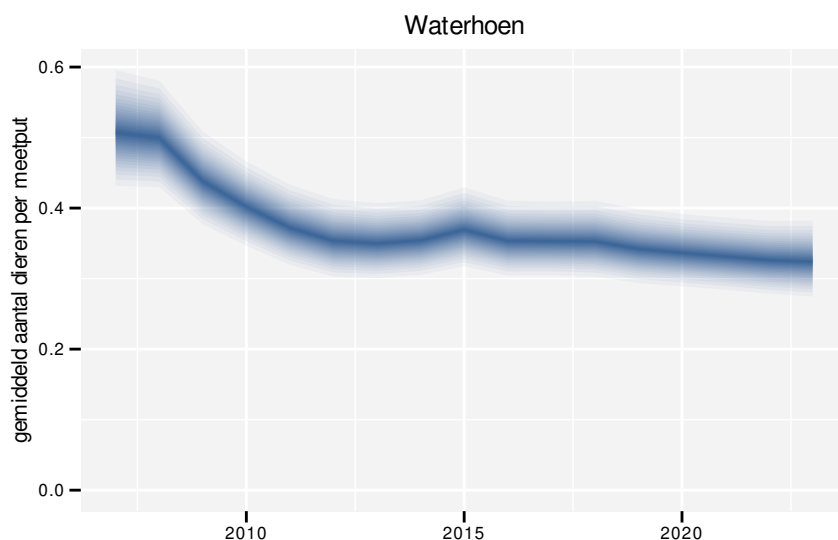
Tabel 95.1: Stratumgewicht, raming van het aantal hokken waarin de soort aanwezig is, aantal relevante hokken voor de analyse, aantal onderzochte hokken in het stratum, totaal aantal hokken van het stratum in Vlaanderen, aantal bezoeken aan een meetpunt en het gemiddeld aandeel relevante punten per hok voor Vink (zie §2.5).

stratum	gewicht	aanwezig	relevant	onderzocht	totaal	bezoeken	punten
Landbouw	83.1%	4729.6	323	431	6311	21435	91.4%
Urbaan	5.6%	320.4	67	87	416	3966	82.8%
Bos	4.4%	250.5	150	191	319	10166	99.4%
Heide en duin	2.7%	154.5	73	94	199	4906	93.6%
Suburbaan	2.5%	141.9	48	68	201	2768	86.8%
Moeras en water	1.7%	95.9	56	80	137	3538	87.5%

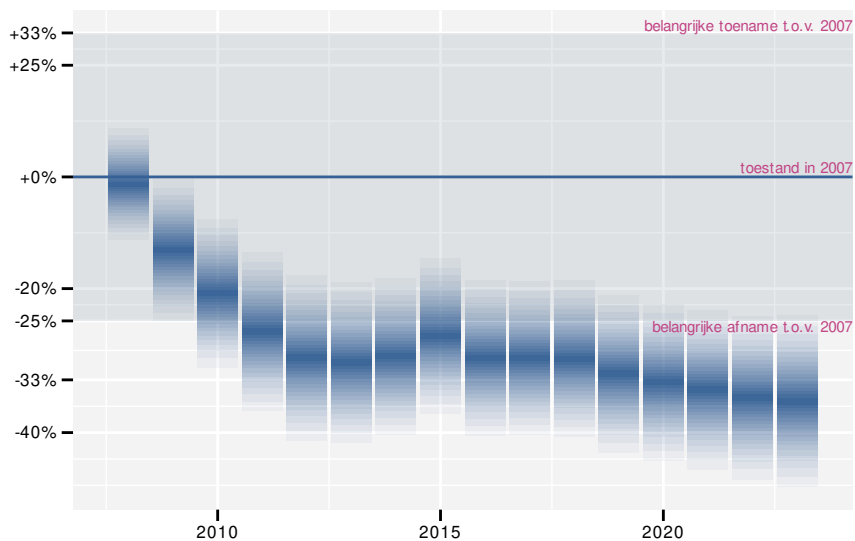
96 WATERHOEN

96.1 ANALYSE PER JAAR

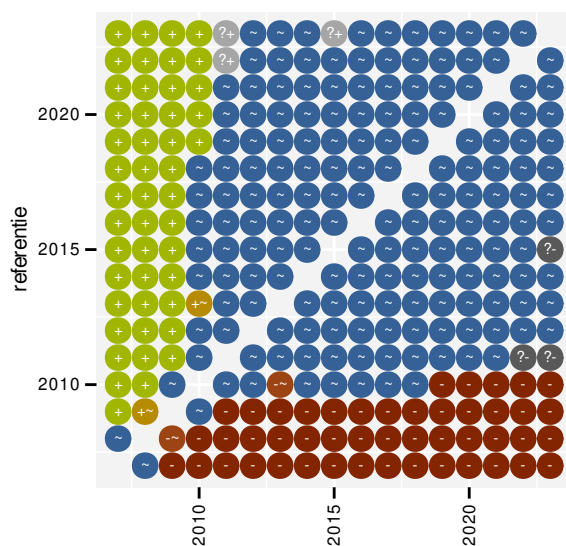
Op basis van jaarlijkse gegevens zien we gemiddeld een sterke afname met -2.8% (-3.6%; -2.0%) per jaar of -37% (-44%; -28%) over de volledige looptijd van het meetnet. Deze trend is niet-lineair.



Figuur 96.1: Evolutie van het gemodelleerde gemiddeld aantal waargenomen dieren op een meetpunt voor Waterhoen tijdens de referentieperiode. Zie §3.1 voor een verklaring van de intervallen.



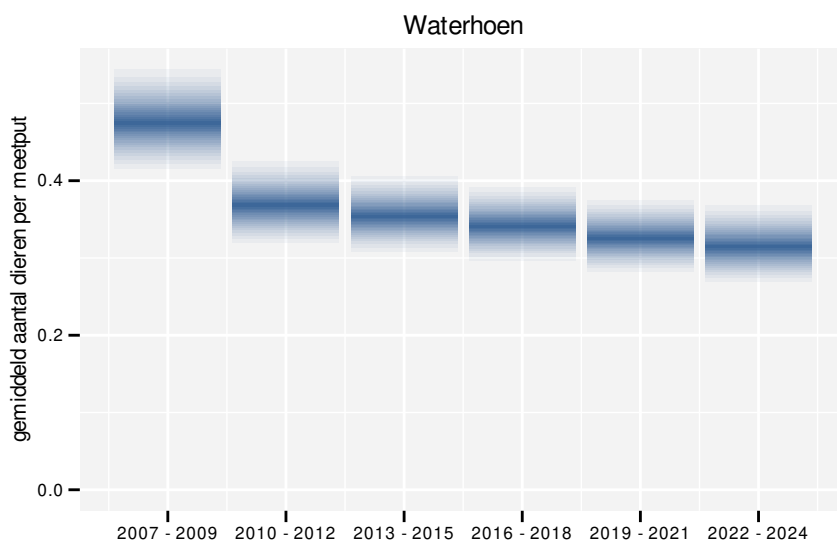
Figuur 96.2: Wijzigingen tussen jaren voor Waterhoen. Zie §3.1 voor een verklaring van de intervallen en §3.2 voor uitleg over de symbolen en referentielijnen.



Figuur 96.3: Paarsgewijze vergelijking tussen jaren voor Waterhoen. Uitleg van de symbolen in tabel 3.1.

96.2 ANALYSE PER DRIEJAARLIJKSE CYCLUS

Op basis van driejaarlijkse gegevens zien we gemiddeld een sterke afname met -2.8% (-3.6%; -2.0%) per jaar of -37% (-45%; -28%) over de volledige looptijd van het meetnet. Deze trend is niet-lineair.



Figuur 96.4: Evolutie van het gemodelleerde gemiddeld aantal waargenomen dieren op een meetpunt voor Waterhoen tijdens de referentieperiode. Zie §3.1 voor een verklaring van de intervallen.

96.3 KENMERKEN VAN DE GEGEVENS

Tabel 96.1: Stratumgewicht, raming van het aantal hokken waarin de soort aanwezig is, aantal relevante hokken voor de analyse, aantal onderzochte hokken in het stratum, totaal aantal hokken van het stratum in Vlaanderen, aantal bezoeken aan een meetpunt en het gemiddeld aandeel relevante punten per hok voor Waterhoen (zie §2.5).

stratum	gewicht	aanwezig	relevant	onderzocht	totaal	bezoeken	punten
Landbouw	90.1%	2123.2	145	431	6311	5969	51.4%
Urbain	3.7%	86.1	18	87	416	406	27.8%
Moeras en water	2.3%	53.1	31	80	137	1434	56.5%
Suburbaan	1.8%	41.4	14	68	201	483	45.2%
Heide en duin	1.2%	29.6	14	94	199	465	42.9%
Bos	1.1%	25.1	15	191	319	554	38.9%

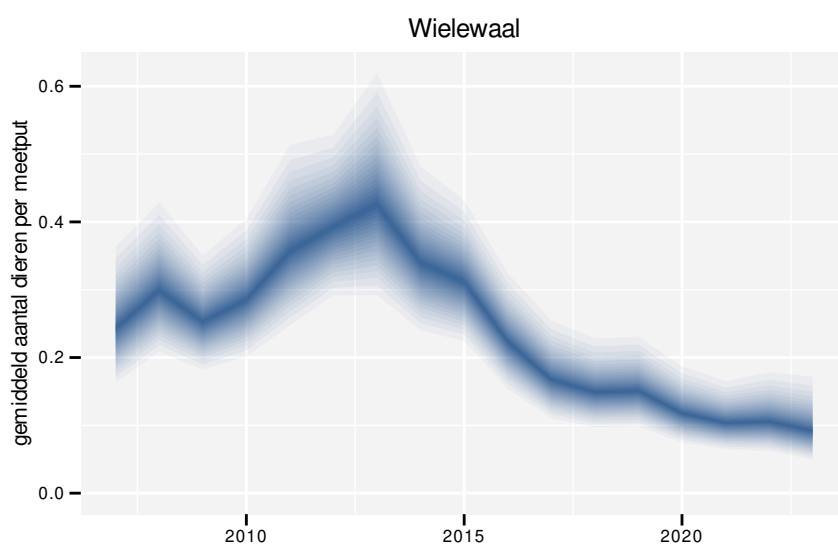
Tabel 96.2: Data-hashes van de analyses in het kader van traceerbaarheid (zie §4.3).

frequentie	model	analyse	status
jaarlijks	niet-lineair	5db905501553fa62b3ae aebb318884b8c7fa4440	8909863fd9a0afcacb99 11217684b61ccfd0f268
jaarlijks	lineair	b94348e90dd164735a37 1b6ba5d7f8bfb80d6038	88098c753d901058714c 4023ea1d407ce1fbdacd
driejaarlijks	niet-lineair	26cc6a41b8cd906d1d4e 5432584029b512ed58e4	3c7d1bf72bcf66b65cbf e71125fbb703c181749c
driejaarlijks	lineair	ee11d8f8f5d4701867df b1ede321c37ed45792f6	6aaac27e1084e027b18f ae8ef7f9106676259b95

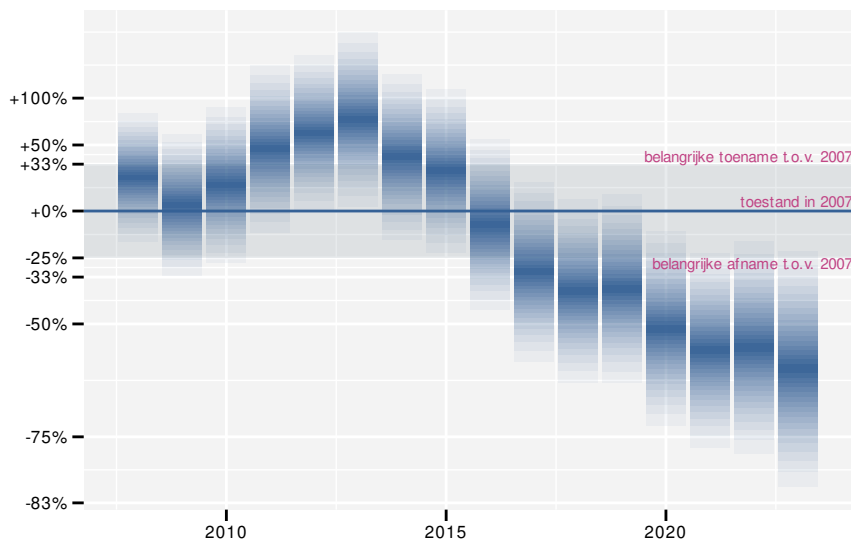
97 WIELEWAAL

97.1 ANALYSE PER JAAR

Op basis van jaarlijkse gegevens zien we gemiddeld een sterke afname met -6.6% (-9.5%; -3.6%) per jaar of -66% (-80%; -44%) over de volledige looptijd van het meetnet. Deze trend is niet-lineair.

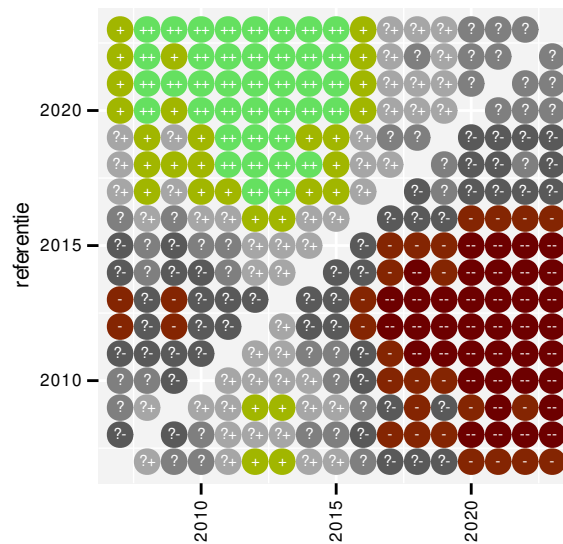


Figuur 97.1: Evolutie van het gemodelleerde gemiddeld aantal waargenomen dieren op een meetpunt voor Wielewaal tijdens de referentieperiode. Zie §3.1 voor een verklaring van de intervallen.



Figuur 97.2: Wijzigingen tussen jaren voor Wielewaal. Zie §3.1 voor een verklaring van de intervallen en §3.2 voor uitleg over de symbolen en referentielijnen.

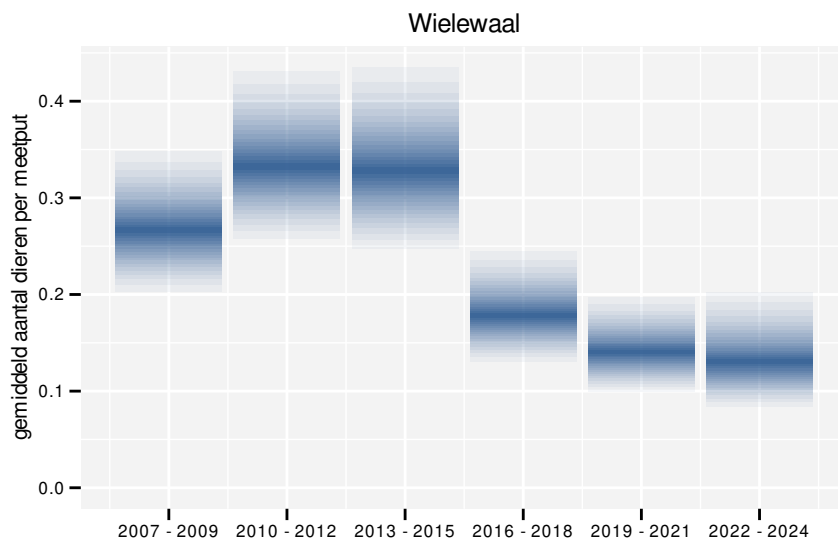




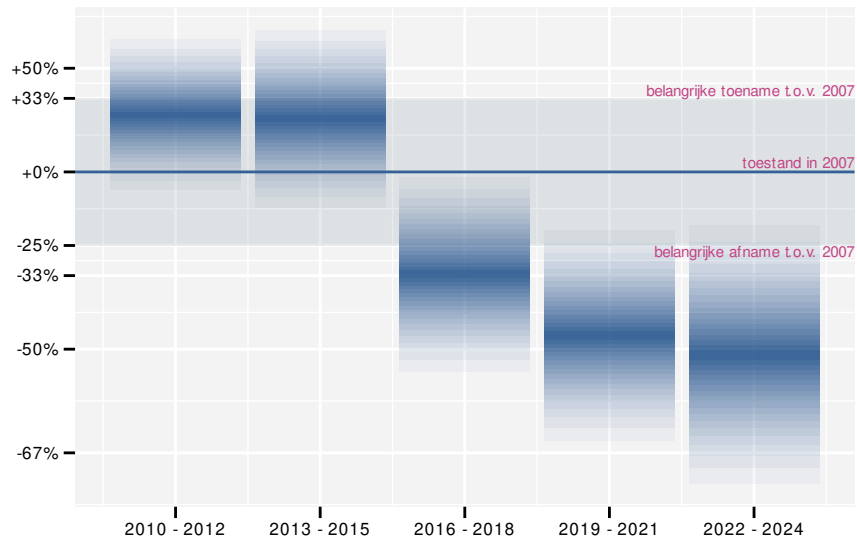
Figuur 97.3: Paarsgewijze vergelijking tussen jaren voor Wielewaal. Uitleg van de symbolen in tabel 3.1.

97.2 ANALYSE PER DRIEJAARLIJKSE CYCLUS

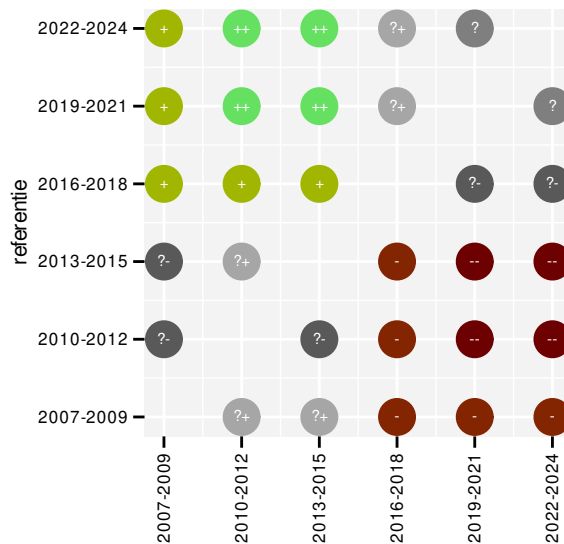
Op basis van driejaarlijkse gegevens zien we gemiddeld een sterke afname met -6.5% (-9.5%; -3.5%) per jaar of -66% (-80%; -43%) over de volledige looptijd van het meetnet. Deze trend is niet-lineair.



Figuur 97.4: Evolutie van het gemodelleerde gemiddeld aantal waargenomen dieren op een meetpunt voor Wielewaal tijdens de referentieperiode. Zie §3.1 voor een verklaring van de intervallen.



Figuur 97.5: Wijzigingen per driejarige cyclus voor Wielewaal. Zie §3.1 voor een verklaring van de intervallen en §3.2 voor uitleg over de symbolen en referentielijnen.



Figuur 97.6: Paarsgewijze vergelijking tussen driejarige cycli voor Wielewaal. Uitleg van de symbolen in tabel 3.1.

97.3 KENMERKEN VAN DE GEGEVENS

Tabel 97.1: Stratumgewicht, raming van het aantal hokken waarin de soort aanwezig is, aantal relevante hokken voor de analyse, aantal onderzochte hokken in het stratum, totaal aantal hokken van het stratum in Vlaanderen, aantal bezoeken aan een meetpunt en het gemiddeld aandeel relevante punten per hok voor Wielewaal (zie §2.5).

stratum	gewicht	aanwezig	relevant	onderzocht	totaal	bezoeken	punten
Landbouw	83.3%	190.4	13	431	6311	428	64.1%
Moeras en water	6.7%	15.4	9	80	137	276	51.9%
Heide en duin	5.6%	14.8	7	94	199	152	42.9%
Bos	4.4%	11.7	7	191	319	213	57.1%

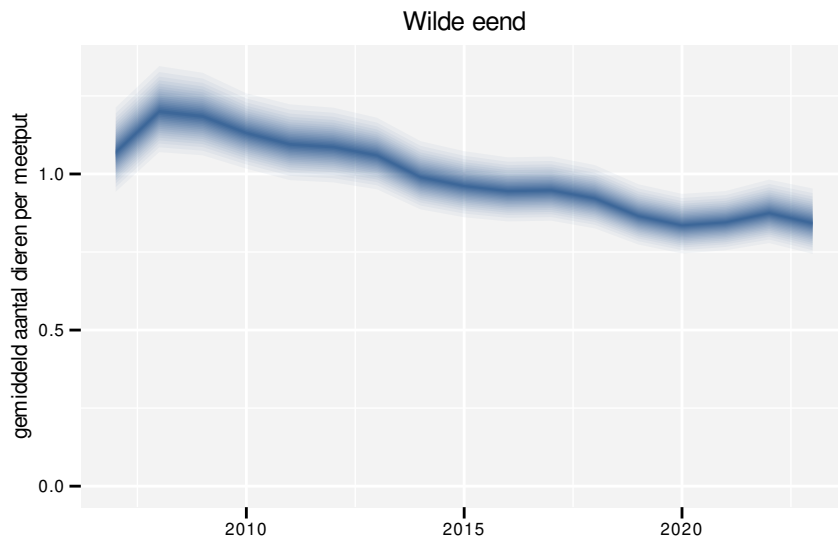
Tabel 97.2: Data-hashes van de analyses in het kader van traceerbaarheid (zie §4.3).

frequentie	model	analyse	status
jaarlijks	niet-lineair	c7cc0b43d4185bd3ffde 5a89e431b5946b4ca85a	8772a23704729fe8d41a 2ad70d7337e1e7129d04
jaarlijks	lineair	dc7082da321e75ef33ea fd6e45cfc31f49092646	2287368f5a2f29ffe32e fa099dfbffaaaaa1c3e8
driejaarlijks	niet-lineair	a21216a4c136b5f71523 47da94d54d8b3bdcf918	0fc56f8b9779e8bb02f2 777145ba835c3f2d6467
driejaarlijks	lineair	8a005e4d231a4353d929 481925baf648189614b7	2460c1e9c3be656cc9fc 7221fc0ebcd4a675765b

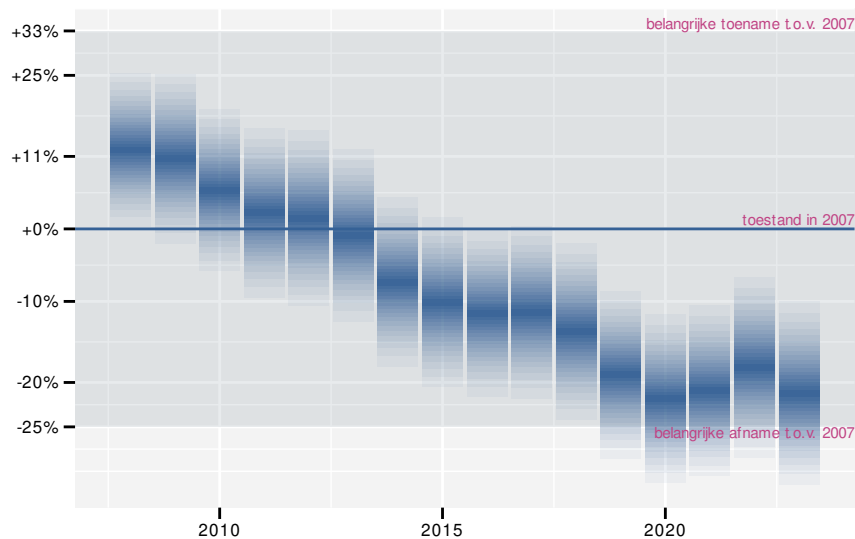
98 WILDE EEND

98.1 ANALYSE PER JAAR

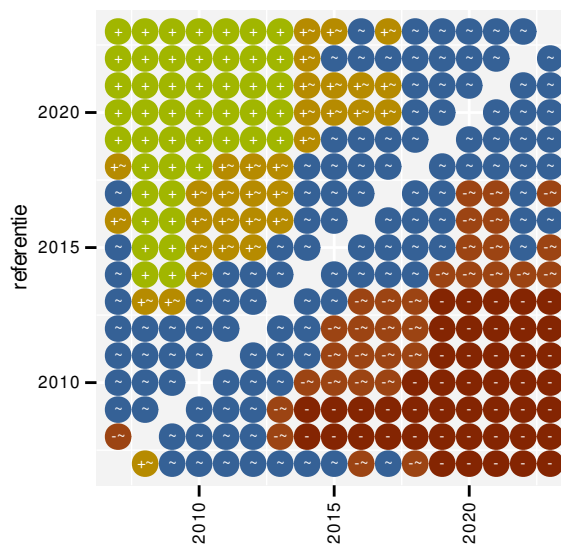
Op basis van jaarlijkse gegevens zien we gemiddeld een sterke afname met -2.5% (-3.0%; -1.9%) per jaar of -33% (-39%; -26%) over de volledige looptijd van het meetnet. Deze trend is lineair.



Figuur 98.1: Evolutie van het gemodelleerde gemiddeld aantal waargenomen dieren op een meetpunt voor Wilde eend tijdens de referentieperiode. Zie §3.1 voor een verklaring van de intervallen.



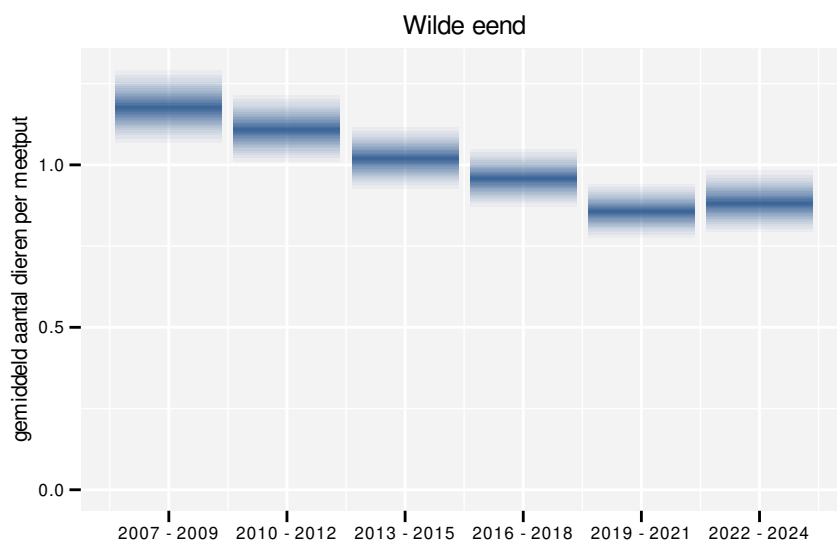
Figuur 98.2: Wijzigingen tussen jaren voor Wilde eend. Zie §3.1 voor een verklaring van de intervallen en §3.2 voor uitleg over de symbolen en referentielijnen.



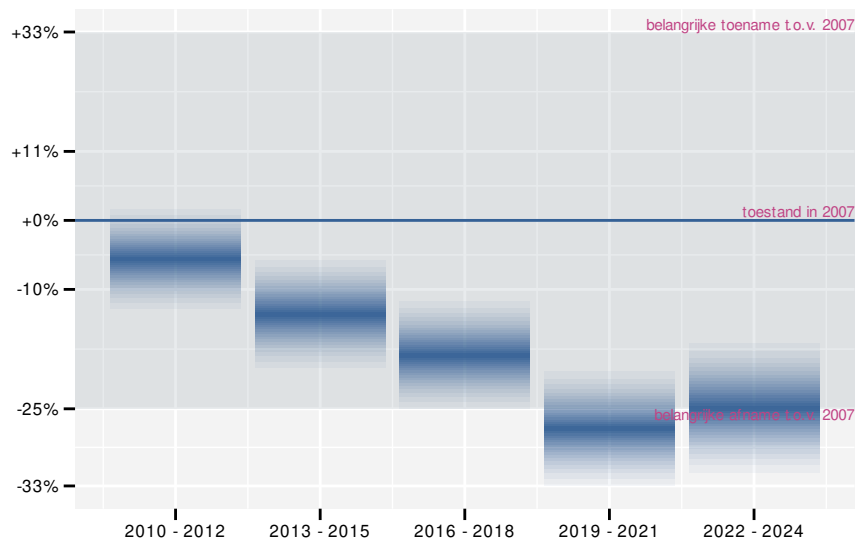
Figuur 98.3: Paarsgewijze vergelijking tussen jaren voor Wilde eend. Uitleg van de symbolen in tabel 3.1.

98.2 ANALYSE PER DRIEJAARLIJKSE CYCLUS

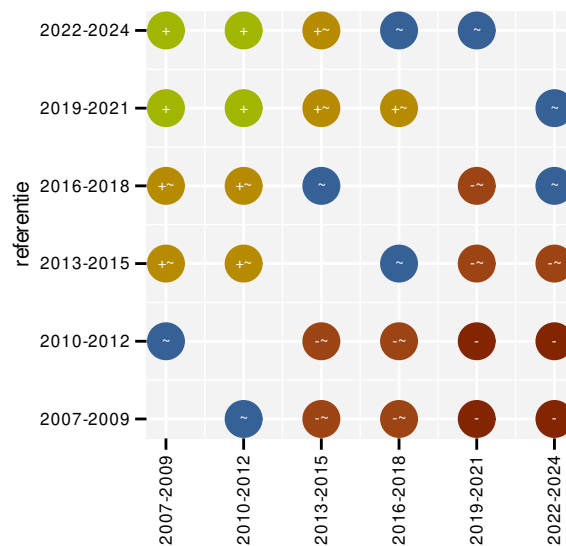
Op basis van driejaarlijkse gegevens zien we gemiddeld een sterke afname met -2.5% (-3.1%; -1.9%) per jaar of -33% (-39%; -27%) over de volledige looptijd van het meetnet. Deze trend is lineair.



Figuur 98.4: Evolutie van het gemodelleerde gemiddeld aantal waargenomen dieren op een meetpunt voor Wilde eend tijdens de referentieperiode. Zie §3.1 voor een verklaring van de intervallen.



Figuur 98.5: Wijzigingen per driejarige cyclus voor Wilde eend. Zie §3.1 voor een verklaring van de intervallen en §3.2 voor uitleg over de symbolen en referentielijnen.



Figuur 98.6: Paarsgewijze vergelijking tussende driejarige cycli voor Wilde eend. Uitleg van de symbolen in tabel 3.1.

98.3 KENMERKEN VAN DE GEGEVENS

Tabel 98.1: Stratumgewicht, raming van het aantal hokken waarin de soort aanwezig is, aantal relevante hokken voor de analyse, aantal onderzochte hokken in het stratum, totaal aantal hokken van het stratum in Vlaanderen, aantal bezoeken aan een meetpunt en het gemiddeld aandeel relevante punten per hok voor Wilde eend (zie §2.5).

stratum	gewicht	aanwezig	relevant	onderzocht	totaal	bezoeken	punten
Landbouw	89.6%	4056.0	277	431	6311	15542	72.3%
Urbaan	2.7%	124.3	26	87	416	928	44.2%
Heide en duin	2.2%	101.6	48	94	199	2243	58.7%
Moeras en water	2.2%	97.6	57	80	137	3264	78.9%
Suburbaan	1.8%	79.8	27	68	201	1152	58.6%
Bos	1.5%	68.5	41	191	319	1898	52.4%

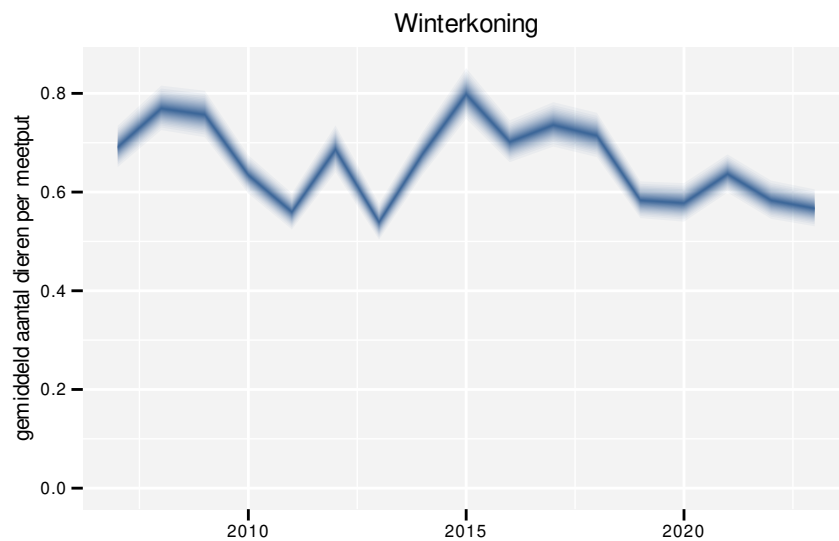
Tabel 98.2: Data-hashes van de analyses in het kader van traceerbaarheid (zie §4.3).

frequentie	model	analyse	status
jaarlijks	niet-lineair	30583a84e72b0ab05508 7ce243b07faf2b89c089	727b4e5664b566e22ca4 c94b02a36689f77e4337
jaarlijks	lineair	be233a085a3b84c87456 17f7052e62ba7357596f	5a667313fa7328d70580 a99084264340e611cd70
driejaarlijks	niet-lineair	f8596ee0738fd16a5157 d960bb58795b73bbc92e	bf0bfe30b8f5655f7f2b ae16b2caa8a3e871159f
driejaarlijks	lineair	45ad6a215f64db417d49 b8bdb368e4950899b53	ec4f083e53c49ad337cd 4d813af31a9b84826f1c

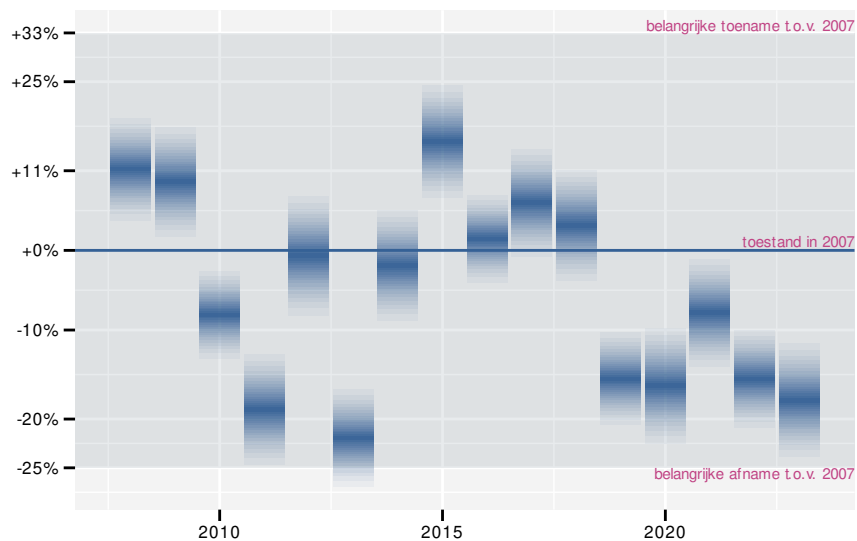
99 WINTERKONING

99.1 ANALYSE PER JAAR

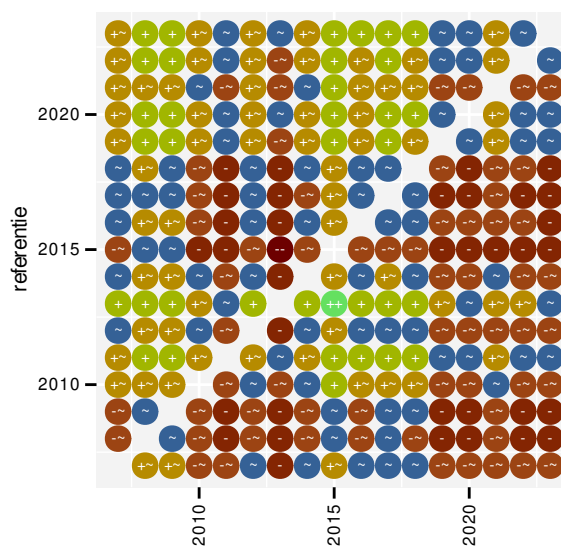
Op basis van jaarlijkse gegevens zien we gemiddeld een matige afname met -1.094% (-1.321%; -0.856%) per jaar of -16.14% (-19.17%; -12.86%) over de volledige looptijd van het meetnet. Deze trend is niet-lineair.



Figuur 99.1: Evolutive van het gemodelleerde gemiddeld aantal waargenomen dieren op een meetpunt voor Winterkoning tijdens de referentieperiode. Zie §3.1 voor een verklaring van de intervallen.



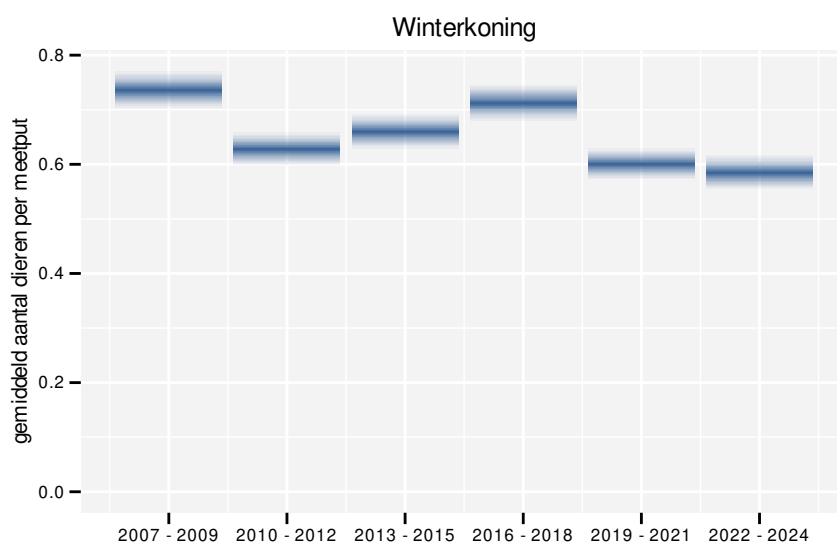
Figuur 99.2: Wijzigingen tussen jaren voor Winterkoning. Zie §3.1 voor een verklaring van de intervallen en §3.2 voor uitleg over de symbolen en referentielijnen.



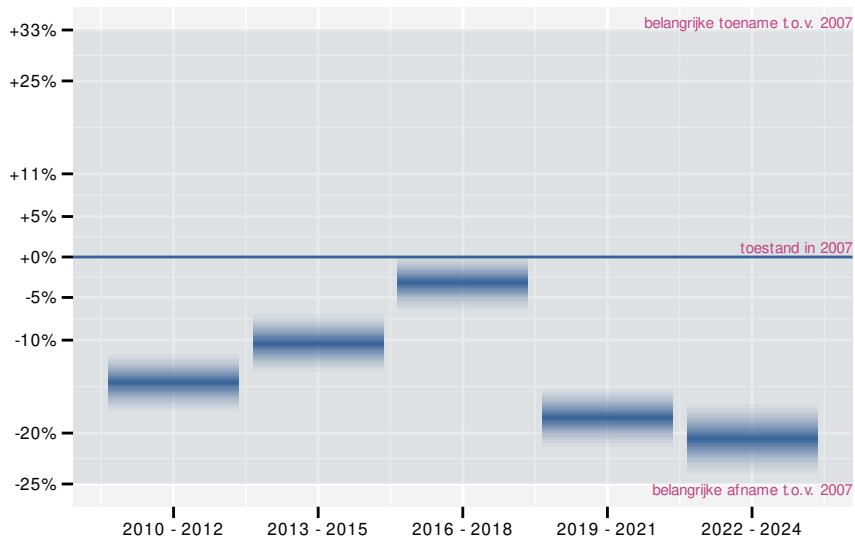
Figuur 99.3: Paarsgewijze vergelijking tussen jaren voor Winterkoning. Uitleg van de symbolen in tabel 3.1.

99.2 ANALYSE PER DRIEJAARLIJKSE CYCLUS

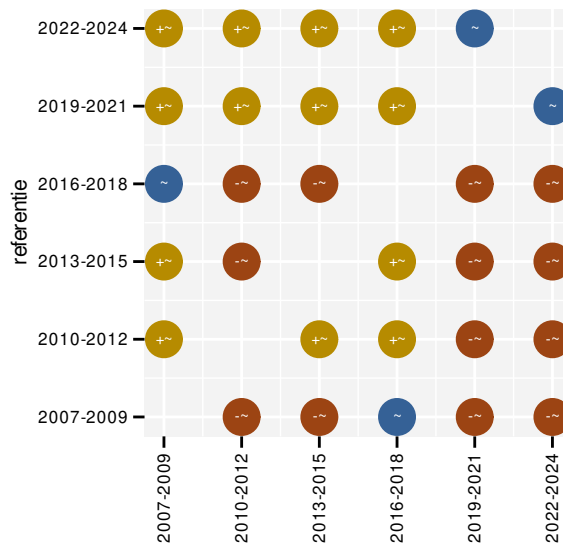
Op basis van driejaarlijkse gegevens zien we gemiddeld een matige afname met -1.173% (-1.403% ; -0.939%) per jaar of -17.2% (-20.2% ; -14.0%) over de volledige looptijd van het meetnet. Deze trend is niet-lineair.



Figuur 99.4: Evolutie van het gemodelleerde gemiddeld aantal waargenomen dieren op een meetpunt voor Winterkoning tijdens de referentieperiode. Zie §3.1 voor een verklaring van de intervallen.



Figuur 99.5: Wijzigingen per driejarige cyclus voor Winterkoning. Zie §3.1 voor een verklaring van de intervallen en §3.2 voor uitleg over de symbolen en referentielijnen.



Figuur 99.6: Paarsgewijze vergelijking tussen driejarige cycli voor Winterkoning. Uitleg van de symbolen in tabel 3.1.

99.3 KENMERKEN VAN DE GEGEVENS

Tabel 99.1: Stratumgewicht, raming van het aantal hokken waarin de soort aanwezig is, aantal relevante hokken voor de analyse, aantal onderzochte hokken in het stratum, totaal aantal hokken van het stratum in Vlaanderen, aantal bezoeken aan een meetpunt en het gemiddeld aandeel relevante punten per hok voor Winterkoning (zie §2.5).

stratum	gewicht	aanwezig	relevant	onderzocht	totaal	bezoeken	punten
Landbouw	83.0%	4846.7	331	431	6311	21907	91.4%
Urbaan	5.7%	329.9	69	87	416	4310	88.2%
Bos	4.3%	248.9	149	191	319	9980	96.9%
Suburbaan	2.7%	159.6	54	68	201	3285	88.9%
Heide en duin	2.6%	150.3	71	94	199	4552	86.9%
Moeras en water	1.7%	101.0	59	80	137	3787	88.7%

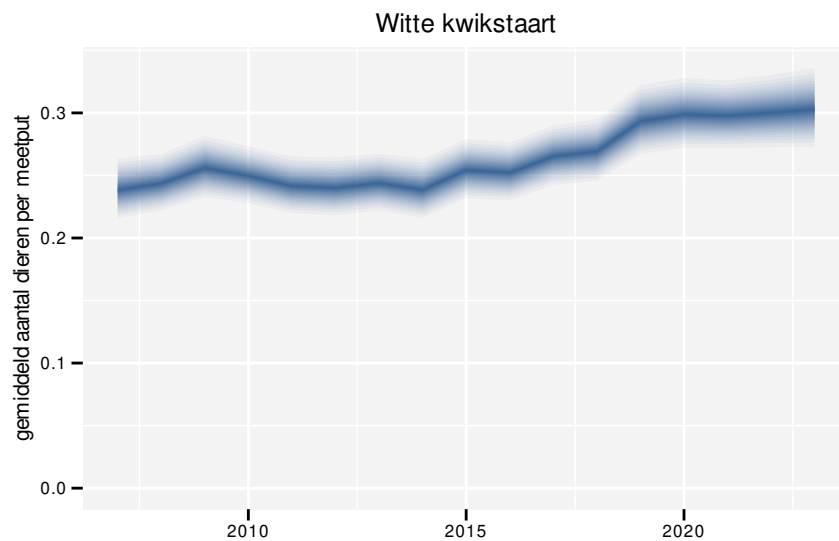
Tabel 99.2: Data-hashes van de analyses in het kader van traceerbaarheid (zie §4.3).

frequentie	model	analyse	status
jaarlijks	niet-lineair	a33b1cf5ea0866025ff9 6436aa001117f5426416	0081c6fe629f542bdf15 51cb7f7dde2782544db1
jaarlijks	lineair	1affa858be371732e5a6 c8dadf5bb1384529b3a0	622445f8016e1c2ea810 a1bd7bfb1aef5312999a
driejaarlijks	niet-lineair	9bffc6c309b836298fa0 db1bc7eb4504c5302290	65935fdf2ab14f7daae2 e248a295d8da703bb4ce
driejaarlijks	lineair	9ba0ca84ebe3f443d0a5 25ead480c8edf26f4b85	17f753388b239e09fc1a 6ab2cee500b436a61db8

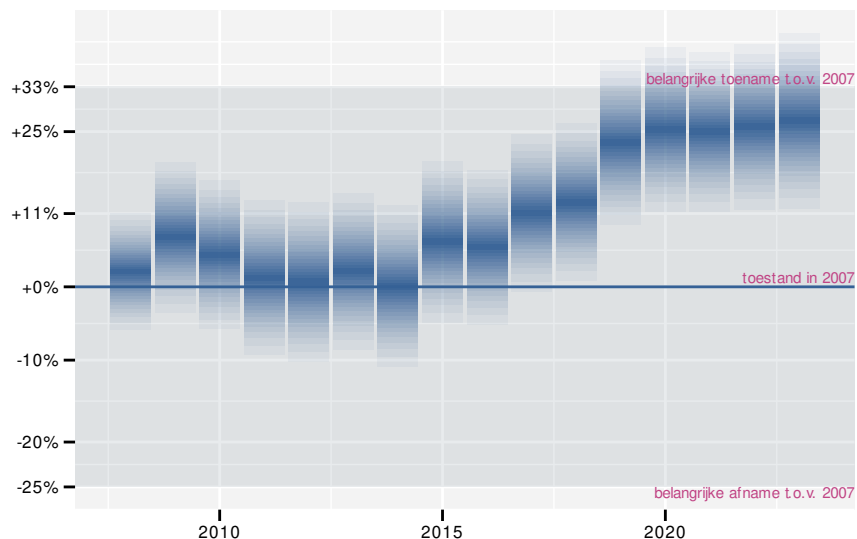
100 WITTE KWIKSTAART

100.1 ANALYSE PER JAAR

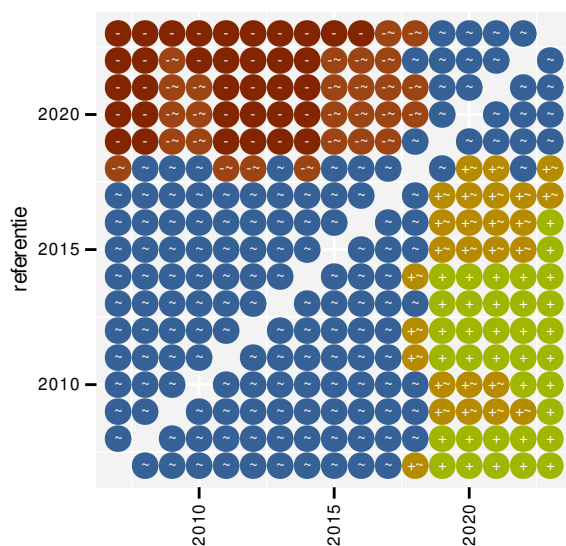
Op basis van jaarlijkse gegevens zien we gemiddeld een toename met +1.7% (+1.1%; +2.3%) per jaar of +31% (+19%; +45%) over de volledige looptijd van het meetnet. Deze trend is niet-lineair.



Figuur 100.1: Evolutie van het gemodelleerde gemiddeld aantal waargenomen dieren op een meetpunt voor Witte kwikstaart tijdens de referentieperiode. Zie §3.1 voor een verklaring van de intervallen.



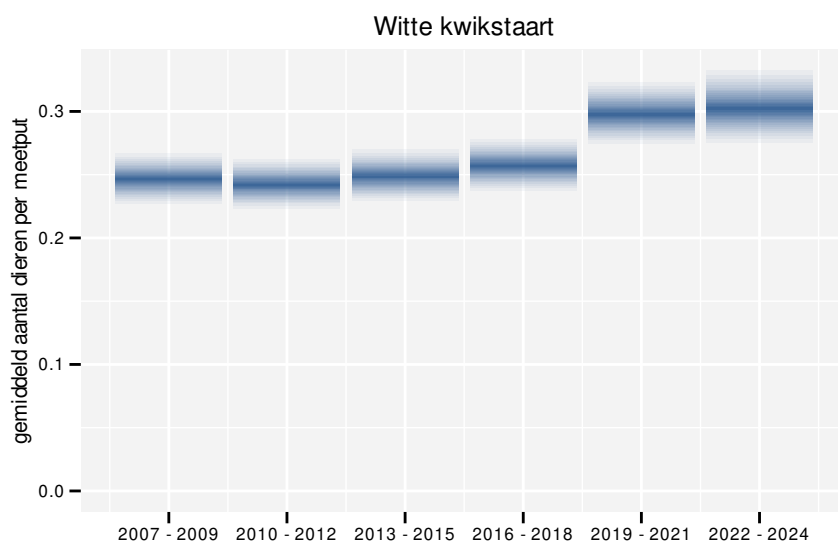
Figuur 100.2: Wijzigingen tussen jaren voor Witte kwikstaart. Zie §3.1 voor een verklaring van de intervallen en §3.2 voor uitleg over de symbolen en referentielijnen.



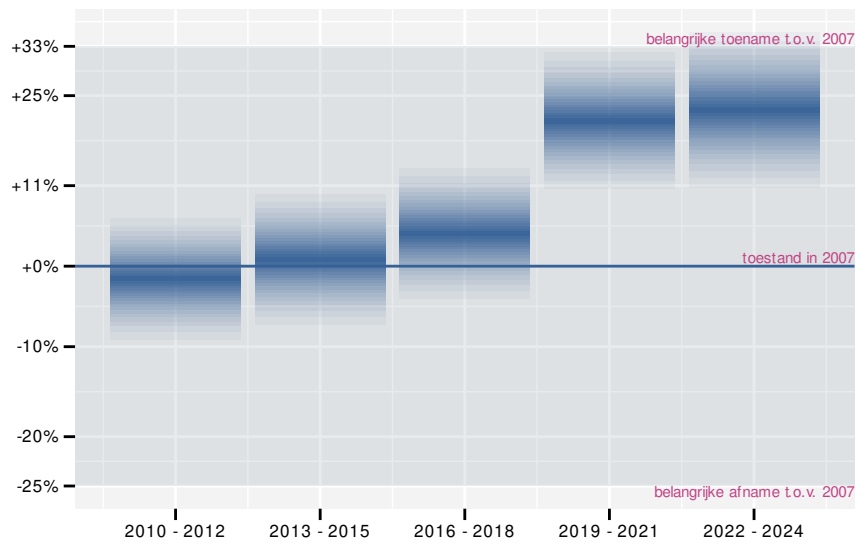
Figuur 100.3: Paarsgewijze vergelijking tussen jaren voor Witte kwikstaart. Uitleg van de symbolen in tabel 3.1.

100.2 ANALYSE PER DRIEJAARLIJKE CYCLUS

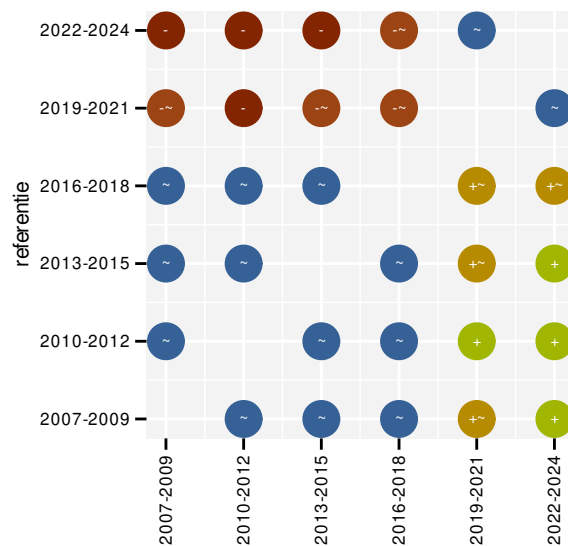
Op basis van driejaarlijkse gegevens zien we gemiddeld een toename met +1.7% (+1.1%; +2.4%) per jaar of +31% (+19%; +45%) over de volledige looptijd van het meetnet. Deze trend is niet-lineair.



Figuur 100.4: Evolutie van het gemodelleerde gemiddeld aantal waargenomen dieren op een meetpunt voor Witte kwikstaart tijdens de referentieperiode. Zie §3.1 voor een verklaring van de intervallen.



Figuur 100.5: Wijzigingen per driejarige cyclus voor Witte kwikstaart. Zie §3.1 voor een verklaring van de intervallen en §3.2 voor uitleg over de symbolen en referentielijnen.



Figuur 100.6: Paarsgewijze vergelijking tussen driejarige cycli voor Witte kwikstaart. Uitleg van de symbolen in tabel 3.1.

100.3 KENMERKEN VAN DE GEGEVENS

Tabel 100.1: Stratumgewicht, raming van het aantal hokken waarin de soort aanwezig is, aantal relevante hokken voor de analyse, aantal onderzochte hokken in het stratum, totaal aantal hokken van het stratum in Vlaanderen, aantal bezoeken aan een meetpunt en het gemiddeld aandeel relevante punten per hok voor Witte kwikstaart (zie §2.5).

stratum	gewicht	aanwezig	relevant	onderzocht	totaal	bezoeken	punten
Landbouw	92.7%	4187.8	286	431	6311	15273	69.4%
Suburbaan	2.0%	88.7	30	68	201	1227	58.9%
Urbaan	1.5%	66.9	14	87	416	679	53.6%
Moeras en water	1.4%	61.6	36	80	137	1631	58.8%
Heide en duin	1.4%	61.4	29	94	199	1407	58.6%
Bos	1.1%	50.1	30	191	319	956	37.8%

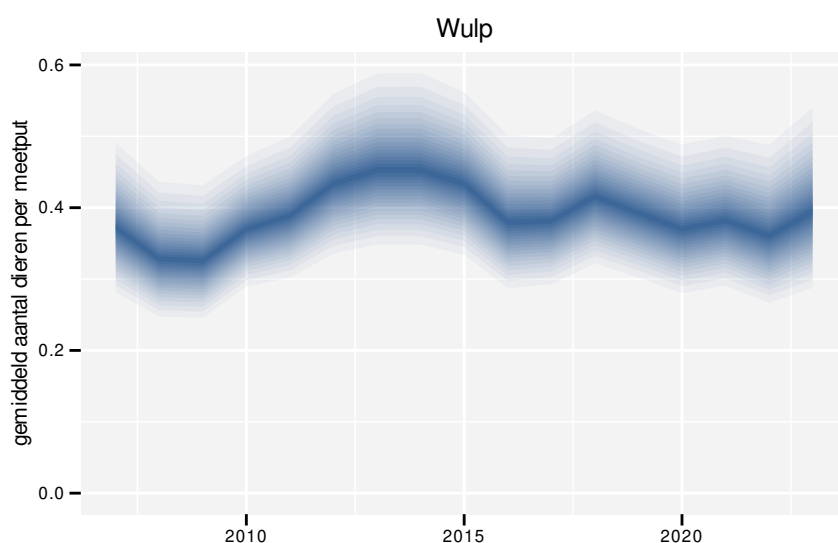
Tabel 100.2: Data-hashes van de analyses in het kader van traceerbaarheid (zie §4.3).

frequentie	model	analyse	status
jaarlijks	niet-lineair	41a5b060fafd8265ebaa 8b9590f7306c924ff8e3	43cb27bb42b83617d5cf 9101f4e6b19a017c85c5
jaarlijks	lineair	214123bc075e6e379ec7 078360d9b73f071a3045	6d9b78ce06d780d6b214 6d67d32bfdee62c766c8
driejaarlijks	niet-lineair	943c7def5fab3b9fc9af e34c1cf20e0a67cf3bc4	1d3cc34676dc1b466283 e4e730d5da2bc50be51a
driejaarlijks	lineair	bd873ae7f2367d19e33e 16101939fe7f628f5877	4de395fab21bae1a1bc8 ac72fb0eaad0a9d657b8

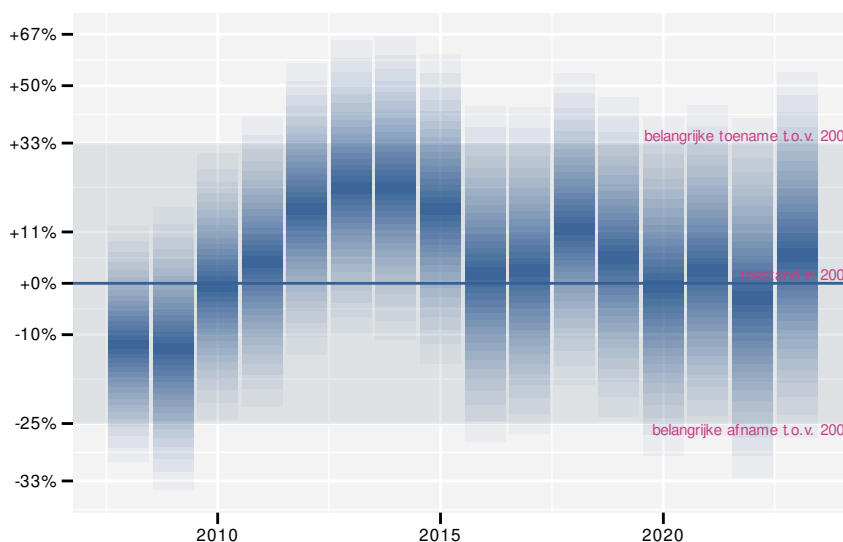
101 WULP

101.1 ANALYSE PER JAAR

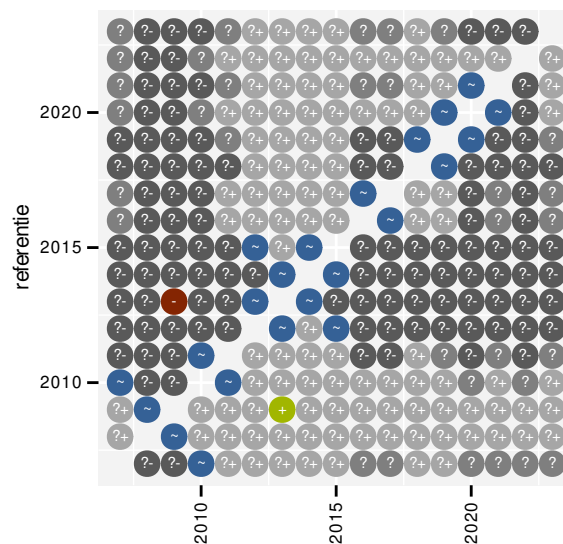
Op basis van jaarlijkse gegevens zien we gemiddeld een mogelijke toename met +0.9% (-1.2%; +3.0%) per jaar of +15% (-18%; +60%) over de volledige looptijd van het meetnet. Deze trend is niet-lineair.



Figuur 101.1: Evolutie van het gemodelleerde gemiddeld aantal waargenomen dieren op een meetpunt voor Wulp tijdens de referentieperiode. Zie §3.1 voor een verklaring van de intervallen.



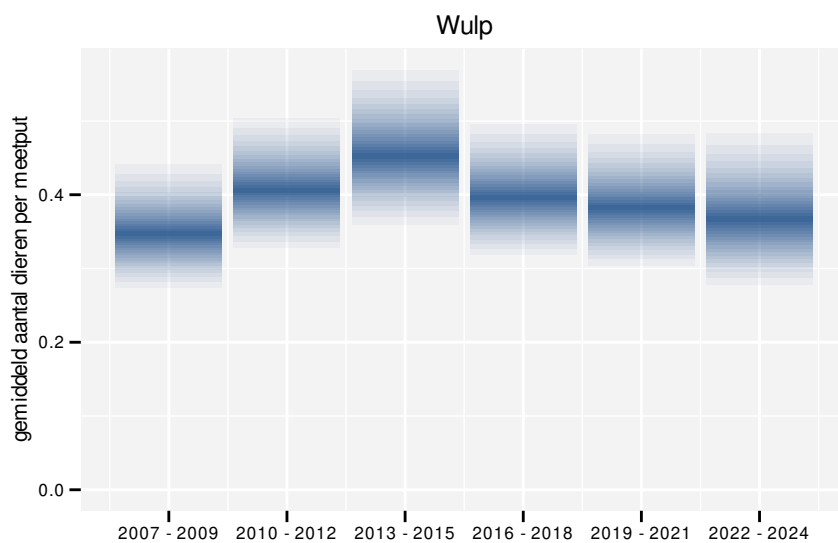
Figuur 101.2: Wijzigingen tussen jaren voor Wulp. Zie §3.1 voor een verklaring van de intervallen en §3.2 voor uitleg over de symbolen en referentielijnen.



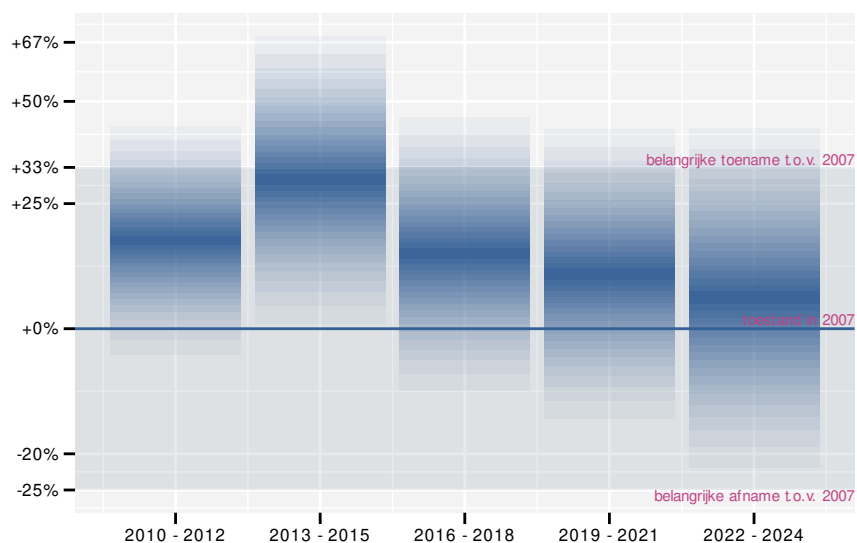
Figuur 101.3: Paarsgewijze vergelijking tussen jaren voor Wulp. Uitleg van de symbolen in tabel 3.1.

101.2 ANALYSE PER DRIEJAARLIJKSE CYCLUS

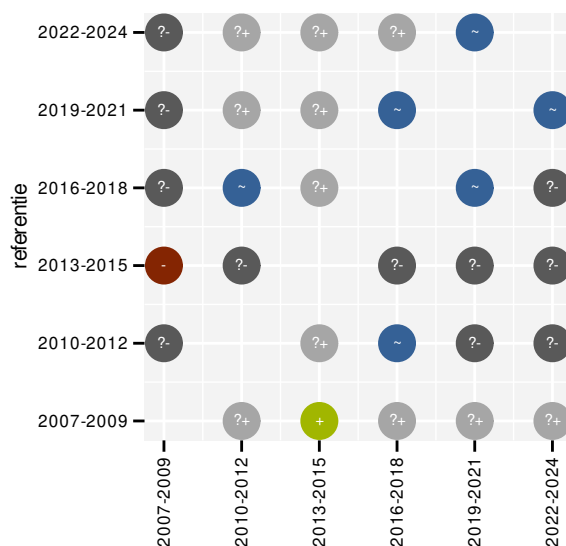
Op basis van driejaarlijkse gegevens zien we gemiddeld een mogelijke toename met +0.7% (-1.4%; +2.8%) per jaar of +11% (-21%; +55%) over de volledige looptijd van het meetnet. Deze trend is niet-lineair.



Figuur 101.4: Evolutie van het gemodelleerde gemiddeld aantal waargenomen dieren op een meetpunt voor Wulp tijdens de referentieperiode. Zie §3.1 voor een verklaring van de intervallen.



Figuur 101.5: Wijzigingen per driejarige cyclus voor Wulp. Zie §3.1 voor een verklaring van de intervallen en §3.2 voor uitleg over de symbolen en referentielijnen.



Figuur 101.6: Paarsgewijze vergelijking tussen driejarige cycli voor Wulp. Uitleg van de symbolen in tabel 3.1.

101.3 KENMERKEN VAN DE GEGEVENS

Tabel 101.1: Stratumgewicht, raming van het aantal hokken waarin de soort aanwezig is, aantal relevante hokken voor de analyse, aantal onderzochte hokken in het stratum, totaal aantal hokken van het stratum in Vlaanderen, aantal bezoeken aan een meetpunt en het gemiddeld aandeel relevante punten per hok voor Wulp (zie §2.5).

stratum	gewicht	aanwezig	relevant	onderzocht	totaal	bezoeken	punten
Landbouw	87.9%	541.8	37	431	6311	1841	62.6%
Heide en duin	8.6%	52.9	25	94	199	1215	62.0%
Bos	2.2%	15.0	9	191	319	246	50.0%
Moeras en water	1.4%	10.3	6	80	137	213	50.0%

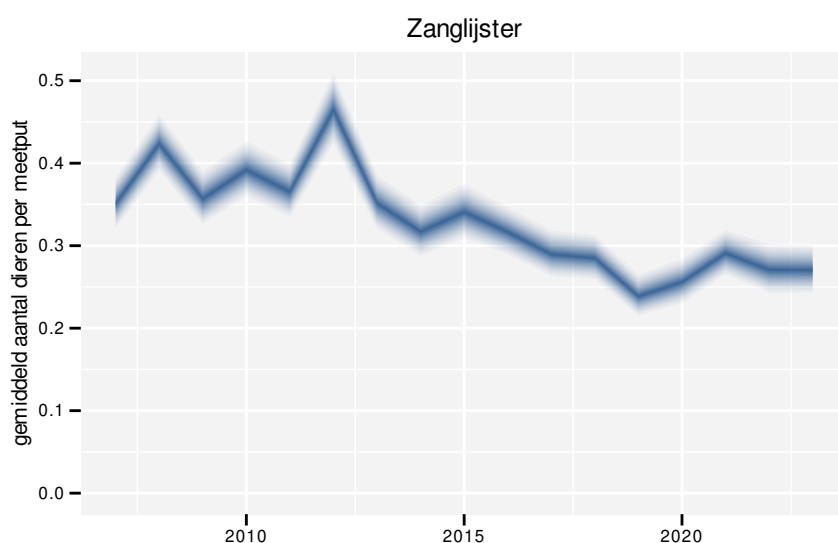
Tabel 101.2: Data-hashes van de analyses in het kader van traceerbaarheid (zie §4.3).

frequentie	model	analyse	status
jaarlijks	niet-lineair	4bf033e3d19c834f9fc0	4652b4064d96710c6824
		8193cdea01e1aec3b8a2	07609ad3a616225229c1
jaarlijks	lineair	12957259e6f931c9e3df	01fcbc243dd480112fe1
		a056e212ad43964188f1	37fbfa35f5b284660f67
driejaarlijks	niet-lineair	4a4ddb5d925e3c0c3f91	26266cec6d9a7e978b8c
		6977e0f867bb520ae90a	39ee633a8a1dd7bc042b
driejaarlijks	lineair	9a51a1031e068fbbcaeb	64d39622be61c40fe3fa
		d3e9e4079c8b103aa1cd	534ea36240f99f0fae0a

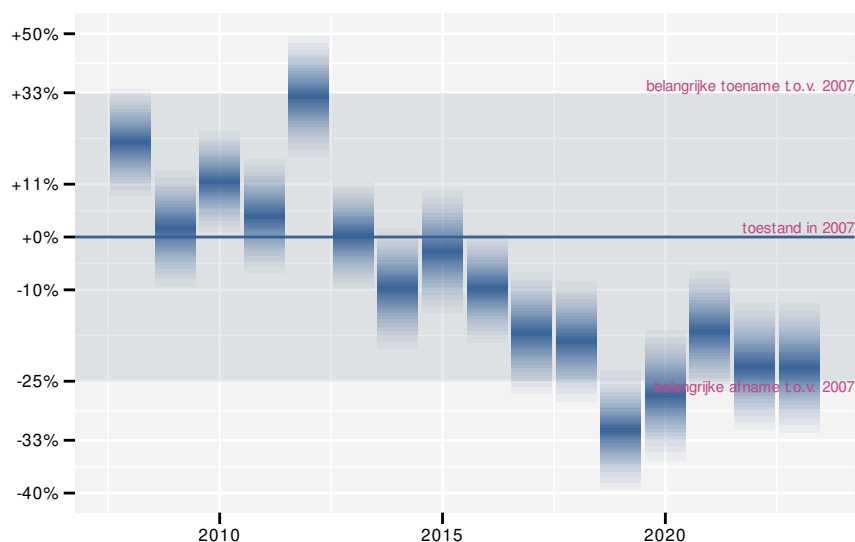
102 ZANGLIJSTER

102.1 ANALYSE PER JAAR

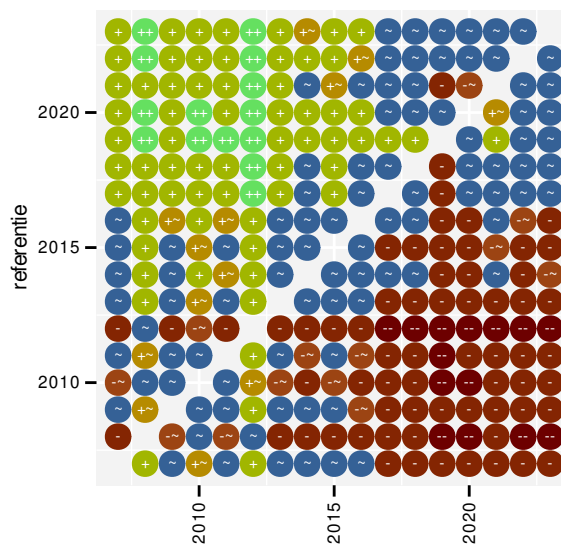
Op basis van jaarlijkse gegevens zien we gemiddeld een sterke afname met -2.92% (-3.35%; -2.47%) per jaar of -37.7% (-42.1%; -33.0%) over de volledige looptijd van het meetnet. Deze trend is niet-lineair.



Figuur 102.1: Evolutie van het gemodelleerde gemiddeld aantal waargenomen dieren op een meetpunt voor Zanglijster tijdens de referentieperiode. Zie §3.1 voor een verklaring van de intervallen.



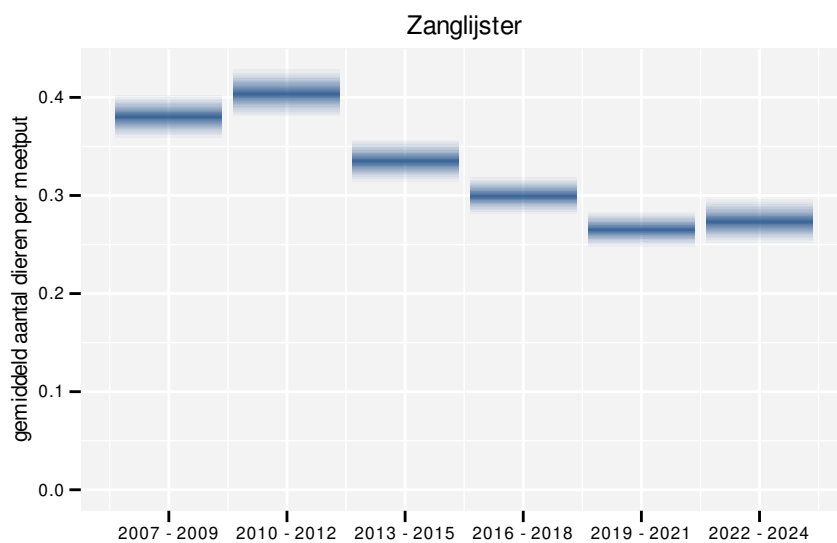
Figuur 102.2: Wijzigingen tussen jaren voor Zanglijster. Zie §3.1 voor een verklaring van de intervallen en §3.2 voor uitleg over de symbolen en referentielijnen.



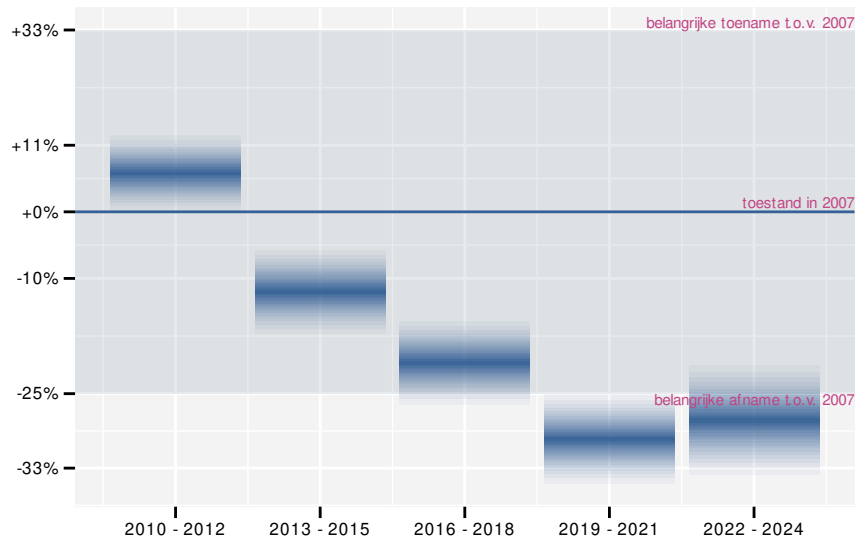
Figuur 102.3: Paarsgewijze vergelijking tussen jaren voor Zanglijster. Uitleg van de symbolen in tabel 3.1.

102.2 ANALYSE PER DRIEJAARLIJKSE CYCLUS

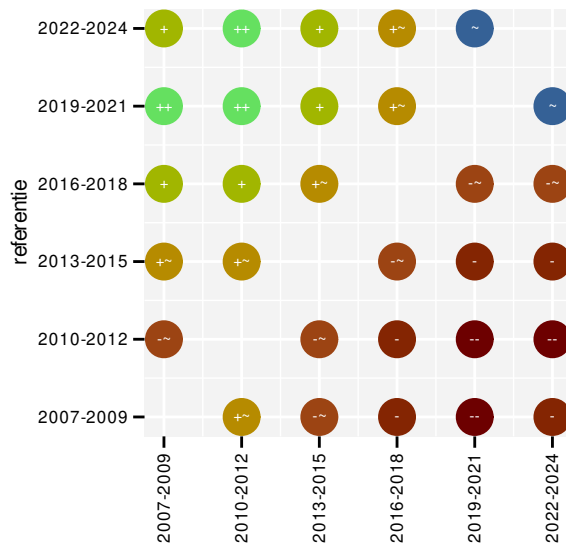
Op basis van driejaarlijkse gegevens zien we gemiddeld een sterke afname met -3.01% (-3.45%; -2.56%) per jaar of -38.6% (-43.0%; -34.0%) over de volledige looptijd van het meetnet. Deze trend is niet-lineair.



Figuur 102.4: Evolutie van het gemodelleerde gemiddeld aantal waargenomen dieren op een meetpunt voor Zanglijster tijdens de referentieperiode. Zie §3.1 voor een verklaring van de intervallen.



Figuur 102.5: Wijzigingen per driejarige cyclus voor Zanglijster. Zie §3.1 voor een verklaring van de intervallen en §3.2 voor uitleg over de symbolen en referentielijnen.



Figuur 102.6: Paarsgewijze vergelijking tussen driejarige cycli voor Zanglijster. Uitleg van de symbolen in tabel 3.1.

102.3 KENMERKEN VAN DE GEGEVENS

Tabel 102.1: Stratumgewicht, raming van het aantal hokken waarin de soort aanwezig is, aantal relevante hokken voor de analyse, aantal onderzochte hokken in het stratum, totaal aantal hokken van het stratum in Vlaanderen, aantal bezoeken aan een meetpunt en het gemiddeld aandeel relevante punten per hok voor Zanglijster (zie §2.5).

stratum	gewicht	aanwezig	relevant	onderzocht	totaal	bezoeken	punten
Landbouw	83.1%	4173.2	285	431	6311	16523	77.0%
Urbaan	5.2%	263.0	55	87	416	3040	73.9%
Bos	4.7%	235.5	141	191	319	8912	86.8%
Heide en duin	2.7%	133.4	63	94	199	3907	79.4%
Suburbaan	2.5%	124.1	42	68	201	2425	77.4%
Moeras en water	1.8%	90.8	53	80	137	3153	78.3%

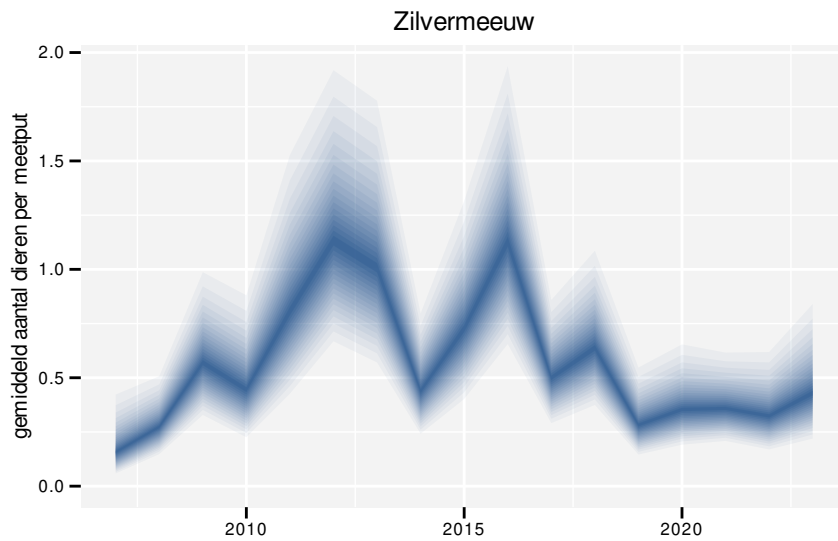
Tabel 102.2: Data-hashes van de analyses in het kader van traceerbaarheid (zie §4.3).

frequentie	model	analyse	status
jaarlijks	niet-lineair	fb97d1da0003d9c3f3ec 298634a0797784bc49f6	77e7df698be9ce5cea4e 9800dd63b29592e7f1ff
jaarlijks	lineair	aa42ad4c5b0e2558eb0d be8d1a45ea8dc187f9bb	9af7c3ac221f978244fd 78e1d141d27a81c9b884
driejaarlijks	niet-lineair	3a5c47e9d4ea1daceab2 14c179435ac2edf3e6b7	746945ed4f403585a5f1 d971c08c9f123849bd7a
driejaarlijks	lineair	d30c6d7c0f0d1582bb12 60f70d0b5f9e9df249b2	5a2c2dd5d0cf69060549 4991e06fd13408c86434

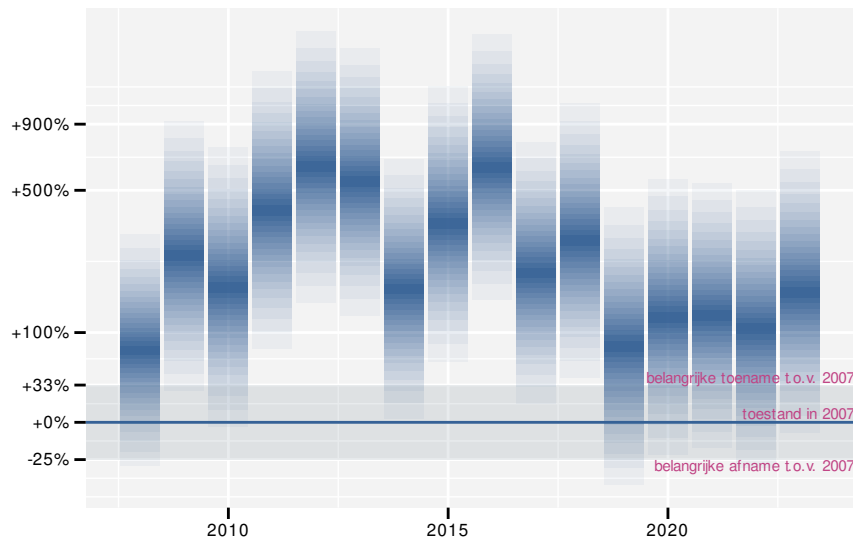
103 ZILVERMEEUW

103.1 ANALYSE PER JAAR

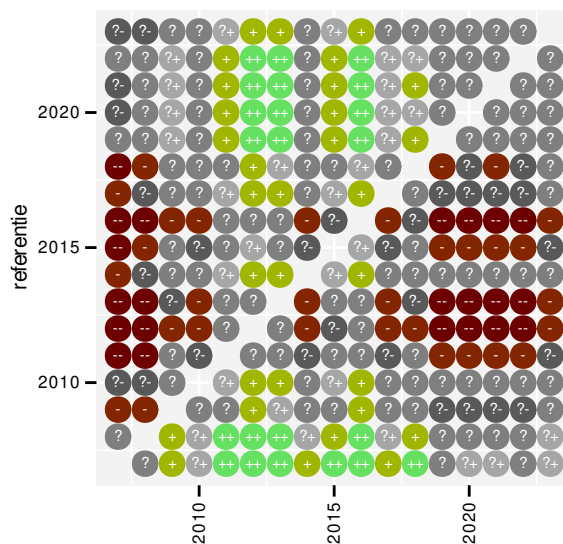
Op basis van jaarlijkse gegevens zien we gemiddeld een afname met -3.5% (-6.6%; -0.3%) per jaar of -44% (-67%; -5%) over de volledige looptijd van het meetnet. Deze trend is niet-lineair.



Figuur 103.1: Evolutie van het gemodelleerde gemiddeld aantal waargenomen dieren op een meetpunt voor Zilvermeeuw tijdens de referentieperiode. Zie §3.1 voor een verklaring van de intervallen.



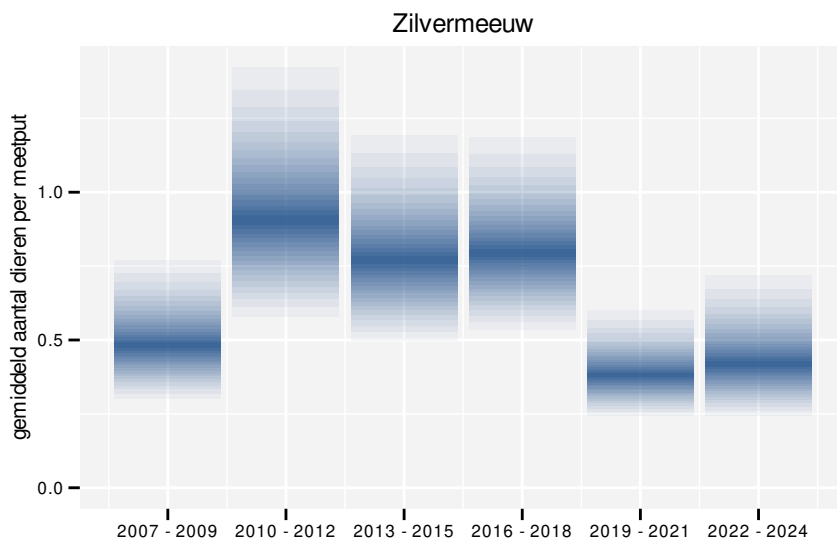
Figuur 103.2: Wijzigingen tussen jaren voor Zilvermeeuw. Zie §3.1 voor een verklaring van de intervallen en §3.2 voor uitleg over de symbolen en referentielijnen.



Figuur 103.3: Paarsgewijze vergelijking tussen jaren voor Zilvermeeuw. Uitleg van de symbolen in tabel 3.1.

103.2 ANALYSE PER DRIEJAARLIJKE CYCLUS

Op basis van driejaarlijkse gegevens zien we gemiddeld een afname met -3.8% (-7.0%; -0.6%) per jaar of -47% (-68%; -9%) over de volledige looptijd van het meetnet. Deze trend is niet-lineair.



Figuur 103.4: Evolutie van het gemodelleerde gemiddeld aantal waargenomen dieren op een meetpunt voor Zilvermeeuw tijdens de referentieperiode. Zie §3.1 voor een verklaring van de intervallen.

103.3 KENMERKEN VAN DE GEGEVENS

Tabel 103.1: Stratumgewicht, raming van het aantal hokken waarin de soort aanwezig is, aantal relevante hokken voor de analyse, aantal onderzochte hokken in het stratum, totaal aantal hokken van het stratum in Vlaanderen, aantal bezoeken aan een meetpunt en het gemiddeld aandeel relevante punten per hok voor Zilvermeeuw (zie §2.5).

stratum	gewicht	aanwezig	relevant	onderzocht	totaal	bezoeken	punten
Landbouw	82.5%	248.9	17	431	6311	983	76.5%
Urbaan	6.3%	23.9	5	87	416	219	60.0%
Moeras en water	5.1%	15.4	9	80	137	484	74.1%
Suburbaan	3.9%	14.8	5	68	201	291	63.3%
Heide en duin	2.1%	8.5	4	94	199	221	62.5%

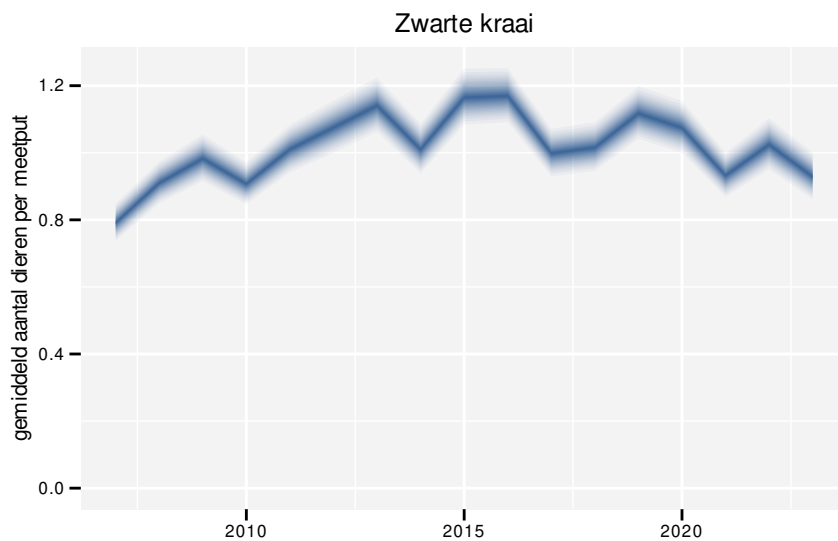
Tabel 103.2: Data-hashes van de analyses in het kader van traceerbaarheid (zie §4.3).

frequentie	model	analyse	status
jaarlijks	niet-lineair	8341e58b499893e26e24 d561a84216ed622957f1	c617d58696a68b23cbf0 78ddd373655e1c758962
jaarlijks	lineair	d614cc2bb9b7518ee2f2 6041d51899acc2124a19	659b97f331e28a6dbb73 b4a42f2104b1f26f2720
driejaarlijks	niet-lineair	8041f25730755f65c6e8 44f69c3c6200eed498e	05389203470db0b7ba70 951713012fd4f692a146
driejaarlijks	lineair	eb187b43293c69461950 abfa703ad2be52587eb9	d71f2a2b7abaa31ad9cd 7fdc2695f402cee7ebaf

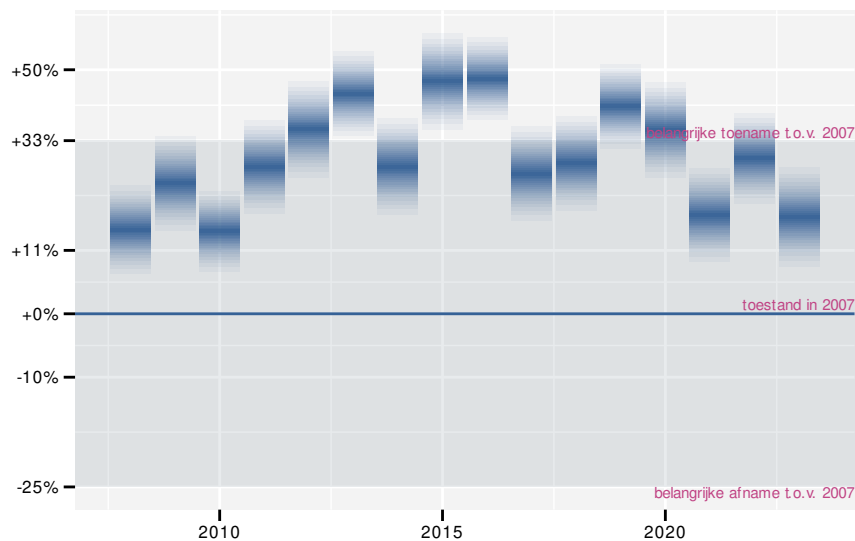
104 ZWARTE KRAAI

104.1 ANALYSE PER JAAR

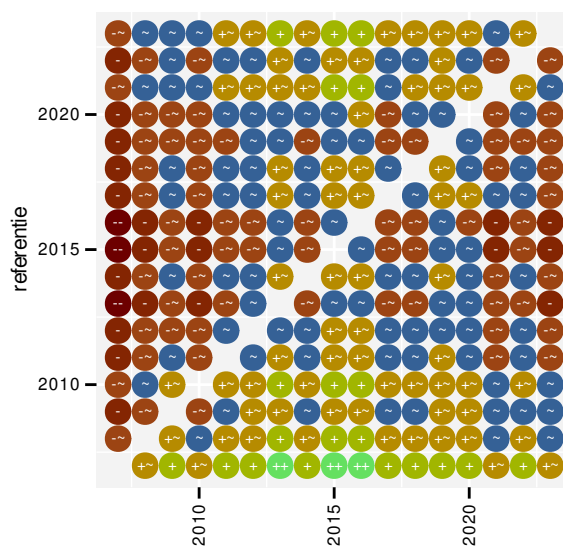
Op basis van jaarlijkse gegevens zien we gemiddeld een matige toename met +0.864% (+0.582%; +1.157%) per jaar of +15% (+10%; +20%) over de volledige looptijd van het meetnet. Deze trend is niet-lineair.



Figuur 104.1: Evolutie van het gemodelleerde gemiddeld aantal waargenomen dieren op een meetpunt voor Zwarte kraai tijdens de referentieperiode. Zie §3.1 voor een verklaring van de intervallen.



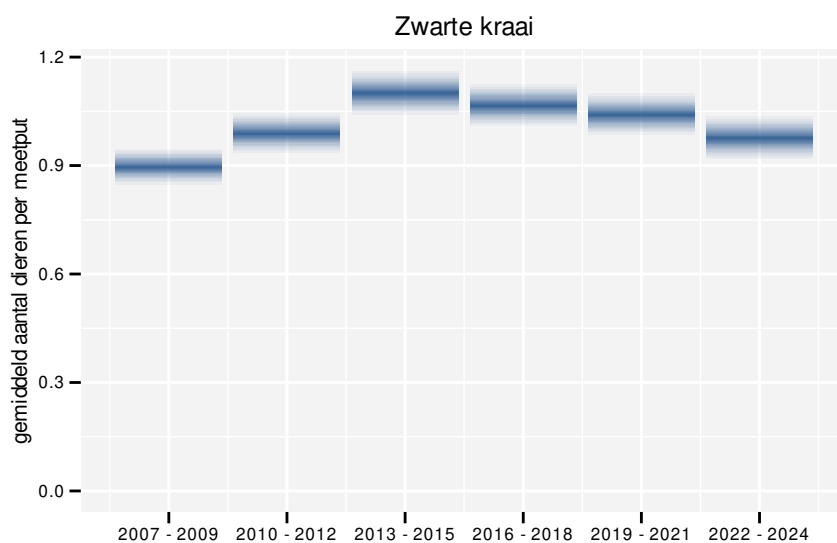
Figuur 104.2: Wijzigingen tussen jaren voor Zwarte kraai. Zie §3.1 voor een verklaring van de intervallen en §3.2 voor uitleg over de symbolen en referentielijnen.



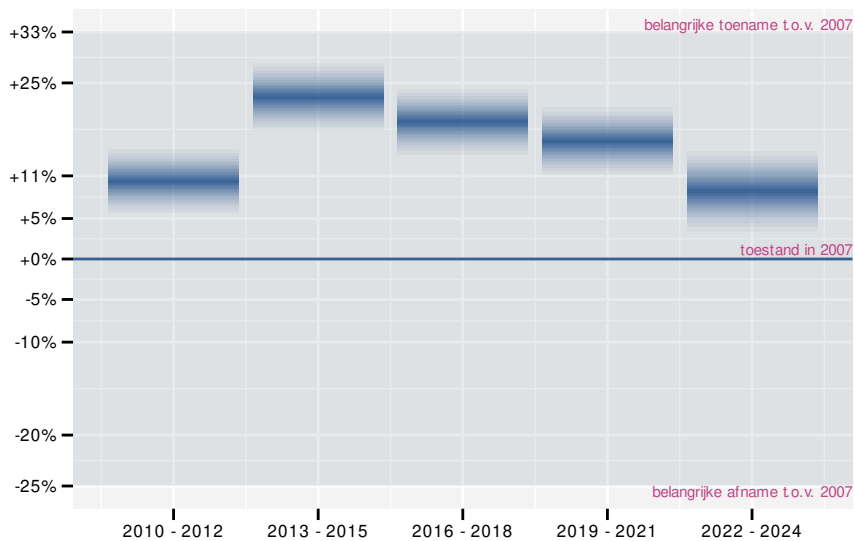
Figuur 104.3: Paarsgewijze vergelijking tussen jaren voor Zwarte kraai. Uitleg van de symbolen in tabel 3.1.

104.2 ANALYSE PER DRIEJAARLIJKSE CYCLUS

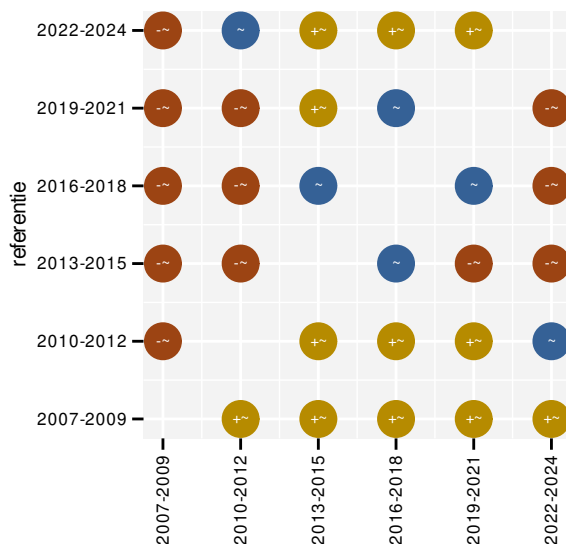
Op basis van driejaarlijkse gegevens zien we gemiddeld een matige toename met +0.874% (+0.585%; +1.163%) per jaar of +15% (+10%; +20%) over de volledige looptijd van het meetnet. Deze trend is niet-lineair.



Figuur 104.4: Evolutie van het gemodelleerde gemiddeld aantal waargenomen dieren op een meetpunt voor Zwarte kraai tijdens de referentieperiode. Zie §3.1 voor een verklaring van de intervallen.



Figuur 104.5: Wijzigingen per driejarige cyclus voor Zwarte kraai. Zie §3.1 voor een verklaring van de intervallen en §3.2 voor uitleg over de symbolen en referentielijnen.



Figuur 104.6: Paarsgewijze vergelijking tussen driejarige cycli voor Zwarte kraai. Uitleg van de symbolen in tabel 3.1.

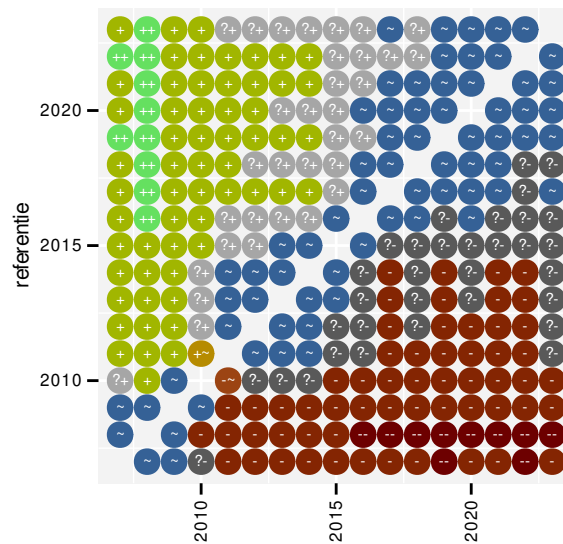
104.3 KENMERKEN VAN DE GEGEVENS

Tabel 104.1: Stratumgewicht, raming van het aantal hokken waarin de soort aanwezig is, aantal relevante hokken voor de analyse, aantal onderzochte hokken in het stratum, totaal aantal hokken van het stratum in Vlaanderen, aantal bezoeken aan een meetpunt en het gemiddeld aandeel relevante punten per hok voor Zwarte kraai (zie §2.5).

stratum	gewicht	aanwezig	relevant	onderzocht	totaal	bezoeken	punten
Landbouw	83.3%	4949.2	338	431	6311	23418	96.4%
Urbaan	5.3%	315.6	66	87	416	4425	91.2%
Bos	4.0%	235.5	141	191	319	9237	91.1%
Heide en duin	2.9%	169.4	80	94	199	5119	89.4%
Suburbaan	2.7%	162.6	55	68	201	3476	92.4%
Moeras en water	1.8%	106.2	62	80	137	4166	95.2%

Tabel 104.2: Data-hashes van de analyses in het kader van traceerbaarheid (zie §4.3).

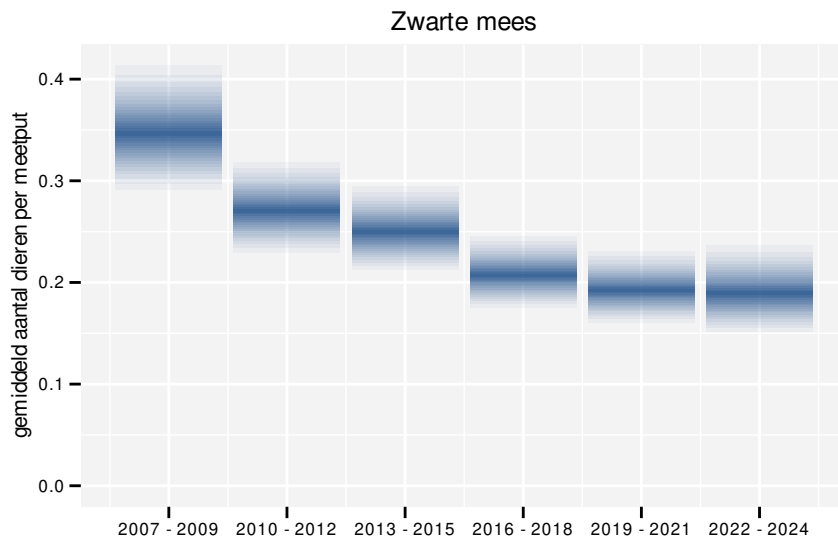
frequentie	model	analyse	status
jaarlijks	niet-lineair	8e5e92329d682285d15f0851777d8a1c0180a803	10c3f804272fc9392dc8f49251e2ec704ceb86a0
jaarlijks	lineair	072d449dc164e98c19805f67ee6a5519b780fd2d	10818f391a2cf0d3b851948d1017548a4dcdcedb
driejaarlijks	niet-lineair	08674a0e0f85623d4da72d469faa72d36287032f	c0321cebfb67b63a1fda1e0c3f0664a666fef3d0
driejaarlijks	lineair	057e825aff074e168523706c03897e0777df9b94	5a4dd5ca0b87789189baf6b3323a71c23fa08044



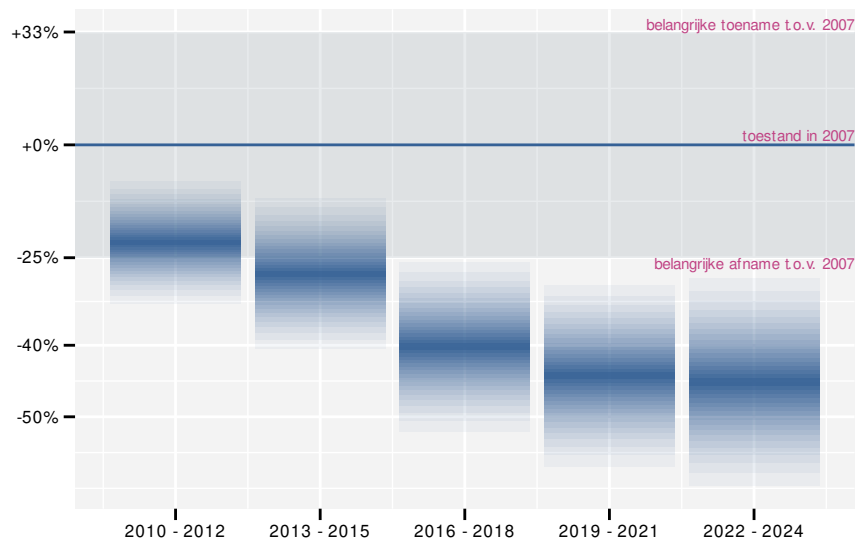
Figuur 105.3: Paarsgewijze vergelijking tussen jaren voor Zwarte mees. Uitleg van de symbolen in tabel 3.1.

105.2 ANALYSE PER DRIEJAARLIJKSE CYCLUS

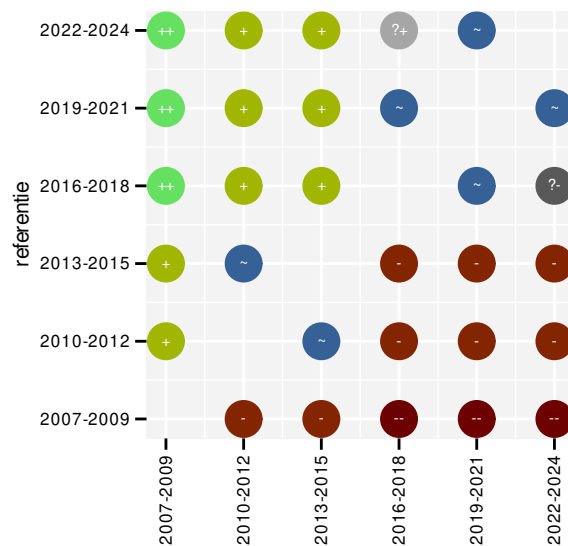
Op basis van driejaarlijkse gegevens zien we gemiddeld een sterke afname met -5.0% (-7.2%; -2.7%) per jaar of -56% (-70%; -35%) over de volledige looptijd van het meetnet. Deze trend is lineair.



Figuur 105.4: Evolutie van het gemodelleerde gemiddeld aantal waargenomen dieren op een meetpunt voor Zwarte mees tijdens de referentieperiode. Zie §3.1 voor een verklaring van de intervallen.



Figuur 105.5: Wijzigingen per driejarige cyclus voor Zwarte mees. Zie §3.1 voor een verklaring van de intervallen en §3.2 voor uitleg over de symbolen en referentielijnen.



Figuur 105.6: Paarsgewijze vergelijking tussen driejarige cycli voor Zwarte mees. Uitleg van de symbolen in tabel 3.1.

105.3 KENMERKEN VAN DE GEGEVENS

Tabel 105.1: Stratumgewicht, raming van het aantal hokken waarin de soort aanwezig is, aantal relevante hokken voor de analyse, aantal onderzochte hokken in het stratum, totaal aantal hokken van het stratum in Vlaanderen, aantal bezoeken aan een meetpunt en het gemiddeld aandeel relevante punten per hok voor Zwarte mees (zie §2.5).

stratum	gewicht	aanwezig	relevant	onderzocht	totaal	bezoeken	punten
Bos	44.0%	120.3	72	191	319	4125	70.1%
Landbouw	32.2%	87.9	6	431	6311	279	41.7%
Heide en duin	16.3%	44.5	21	94	199	1020	50.8%
Suburbaan	7.6%	23.6	8	68	201	219	35.4%

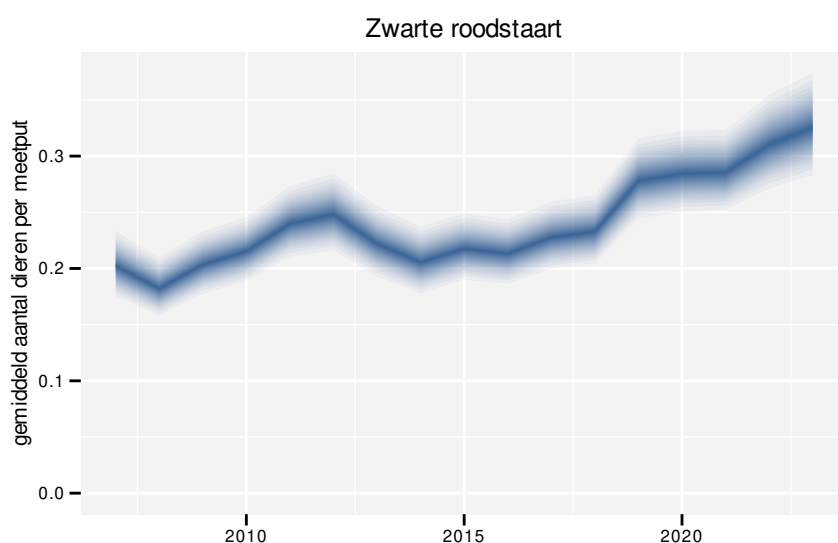
Tabel 105.2: Data-hashes van de analyses in het kader van traceerbaarheid (zie §4.3).

frequentie	model	analyse	status
jaarlijks	niet-lineair	761ad3e12d27ea123639 80d677b398a917ff4a38	033e6ea8346a58e500c4 c7d37ef075068c6f98ae
jaarlijks	lineair	3849d5a1fbb0386873b3 3b08109ffa41b62061c7	136d1c92b3c08ea87c51 fa1cf5130b50fddb2571
driejaarlijks	niet-lineair	eff1b12635c7a318872a 0f6b90f607945e244862	22ee9aa2467d132002db 875e8eabcf634459a6a0
driejaarlijks	lineair	8ea6ebfd7a7d1c9c756c 49d2e6523b01de9b83e6	f7194dbd76ffc5c1b238 3f31bff31d10577fd981

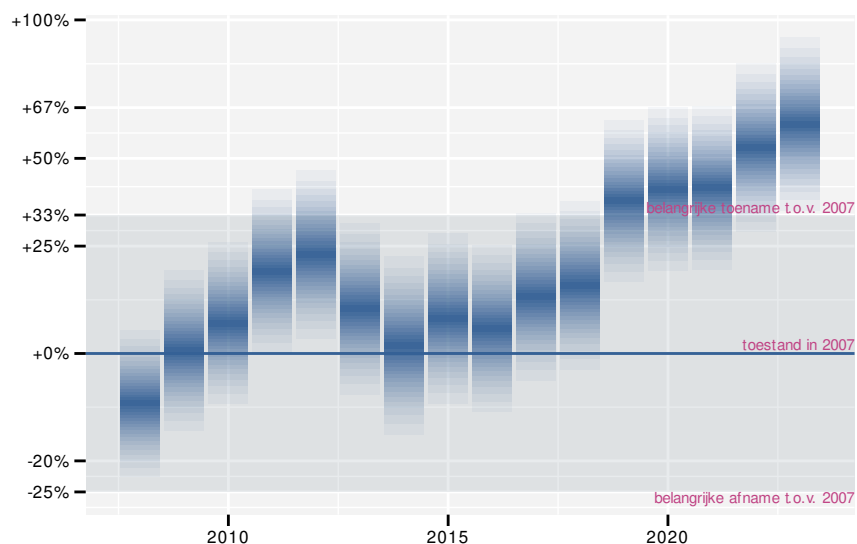
106 ZWARTE ROODSTAART

106.1 ANALYSE PER JAAR

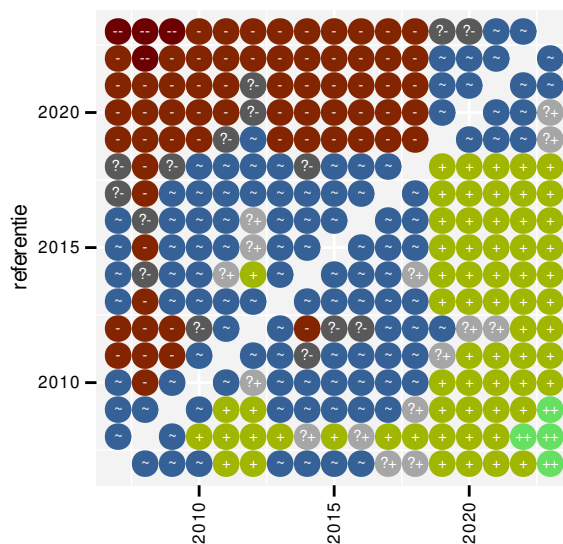
Op basis van jaarlijkse gegevens zien we gemiddeld een sterke toename met +2.8% (+2.0%; +3.7%) per jaar of +57% (+37%; +78%) over de volledige looptijd van het meetnet. Deze trend is niet-lineair.



Figuur 106.1: Evolutie van het gemodelleerde gemiddeld aantal waargenomen dieren op een meetpunt voor Zwarte roodstaart tijdens de referentieperiode. Zie §3.1 voor een verklaring van de intervallen.



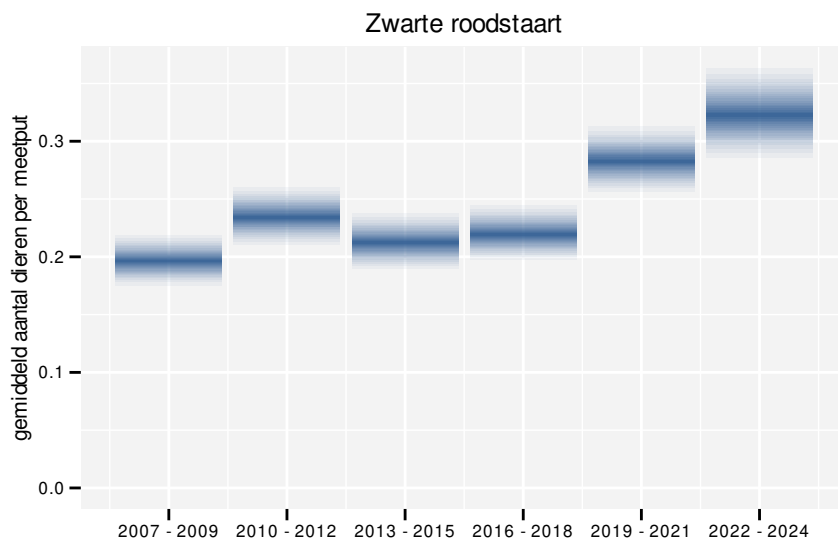
Figuur 106.2: Wijzigingen tussen jaren voor Zwarte roodstaart. Zie §3.1 voor een verklaring van de intervallen en §3.2 voor uitleg over de symbolen en referentielijnen.



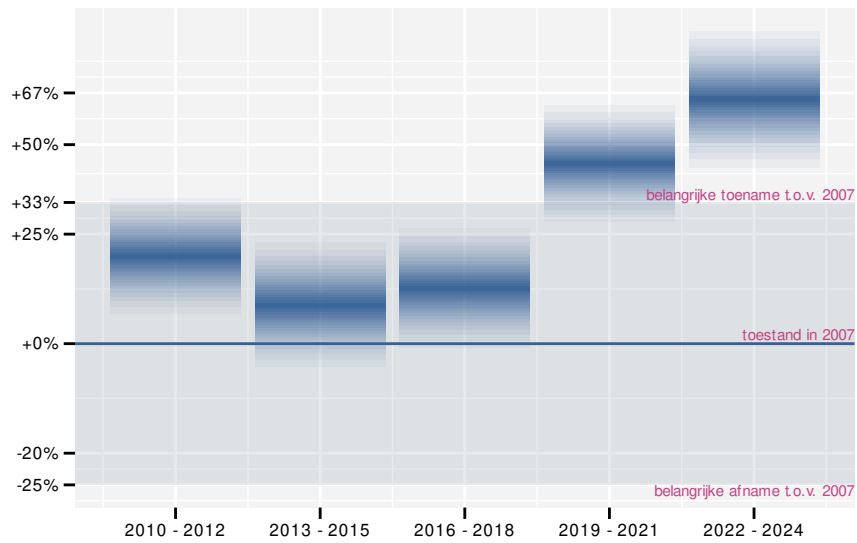
Figuur 106.3: Paarsgewijze vergelijking tussen jaren voor Zwarte roodstaart. Uitleg van de symbolen in tabel 3.1.

106.2 ANALYSE PER DRIEJAARLIJKSE CYCLUS

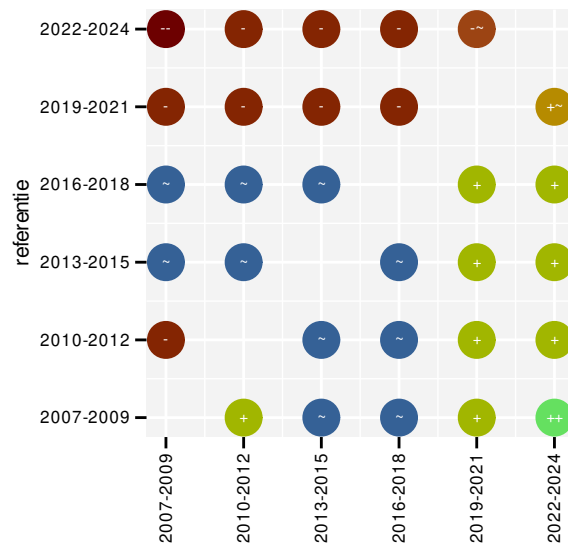
Op basis van driejaarlijkse gegevens zien we gemiddeld een sterke toename met +2.9% (+2.0%; +3.7%) per jaar of +57% (+38%; +79%) over de volledige looptijd van het meetnet. Deze trend is niet-lineair.



Figuur 106.4: Evolutie van het gemodelleerde gemiddeld aantal waargenomen dieren op een meetpunt voor Zwarte roodstaart tijdens de referentieperiode. Zie §3.1 voor een verklaring van de intervallen.



Figuur 106.5: Wijzigingen per driejarige cyclus voor Zwarte roodstaart. Zie §3.1 voor een verklaring van de intervallen en §3.2 voor uitleg over de symbolen en referentielijnen.



Figuur 106.6: Paarsgewijze vergelijking tussen driejarige cycli voor Zwarte roodstaart. Uitleg van de symbolen in tabel 3.1.

106.3 KENMERKEN VAN DE GEGEVENS

Tabel 106.1: Stratumgewicht, raming van het aantal hokken waarin de soort aanwezig is, aantal relevante hokken voor de analyse, aantal onderzochte hokken in het stratum, totaal aantal hokken van het stratum in Vlaanderen, aantal bezoeken aan een meetpunt en het gemiddeld aandeel relevante punten per hok voor Zwarte roodstaart (zie §2.5).

stratum	gewicht	aanwezig	relevant	onderzocht	totaal	bezoeken	punten
Landbouw	90.1%	2503.9	171	431	6311	7415	54.1%
Urbaan	4.8%	133.9	28	87	416	1182	52.4%
Suburbaan	3.1%	85.7	29	68	201	1603	70.7%
Moeras en water	1.0%	27.4	16	80	137	667	54.2%
Heide en duin	0.6%	19.1	9	94	199	365	48.1%
Bos	0.4%	13.4	8	191	319	252	39.6%

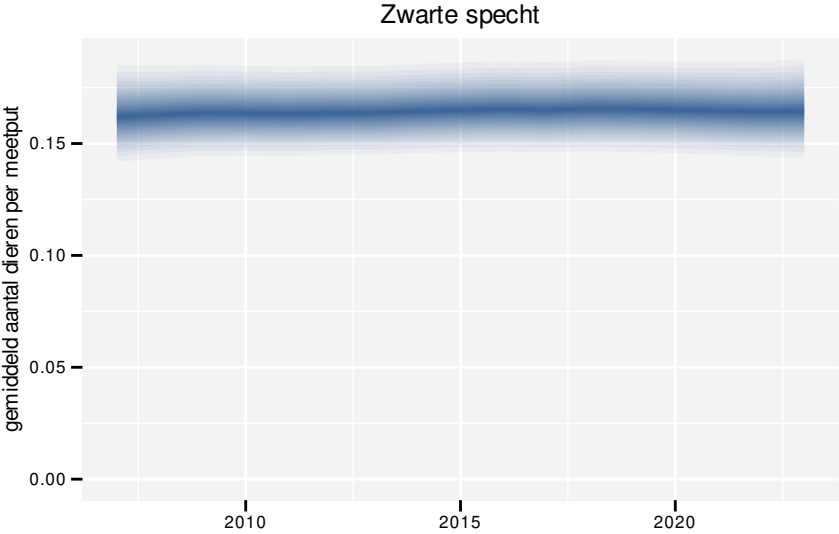
Tabel 106.2: Data-hashes van de analyses in het kader van traceerbaarheid (zie §4.3).

frequentie	model	analyse	status
jaarlijks	niet-lineair	0f7427572b0f9331bd80 f1fc480dd43dc96f2a71	329f94d458cb5ed8e36a 5b1c2c6bd2c4d0159915
jaarlijks	lineair	c7c3f228039f1bf91c8f 8a74441fe2246ac61b63	a4a68fd2506a318b0c2a 416cb5085637507b8639
driejaarlijks	niet-lineair	c9627b175ee0056d3439 dbe670c377da7e93b290	19594b4873f396030280 4802f235da4775d9eab9
driejaarlijks	lineair	f136a8b9acd0baf5efa5 ed79a72f4688fe4c41da	a74d9244ff20f94d09a0 66cf9885078a776d6989

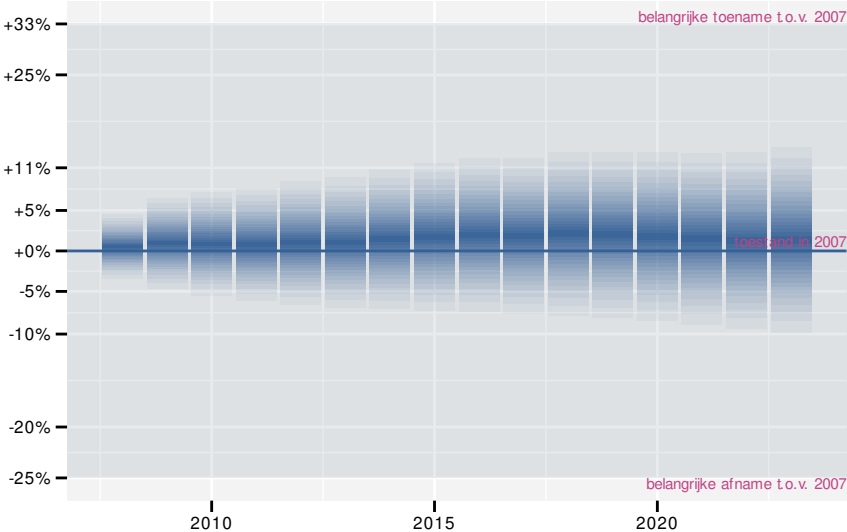
107 ZWARTE SPECHT

107.1 ANALYSE PER JAAR

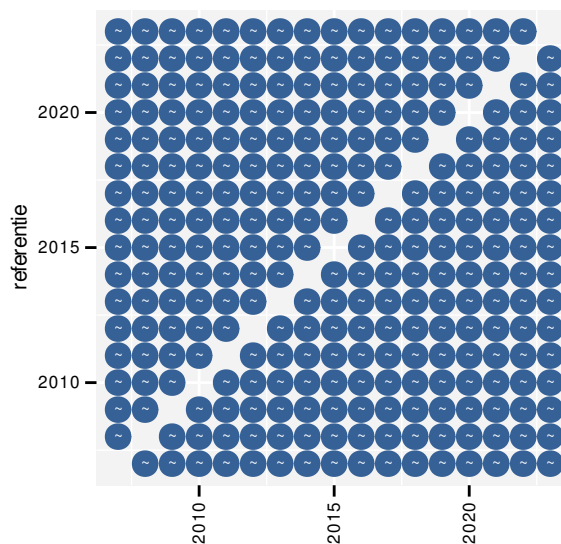
Op basis van jaarlijkse gegevens zien we gemiddeld een mogelijke toename met +0.7% (-1.4%; +2.9%) per jaar of +12% (-21%; +57%) over de volledige looptijd van het meetnet. Deze trend is niet-lineair.



Figuur 107.1: Evolutie van het gemodelleerde gemiddeld aantal waargenomen dieren op een meetpunt voor Zwarte specht tijdens de referentieperiode. Zie §3.1 voor een verklaring van de intervallen.



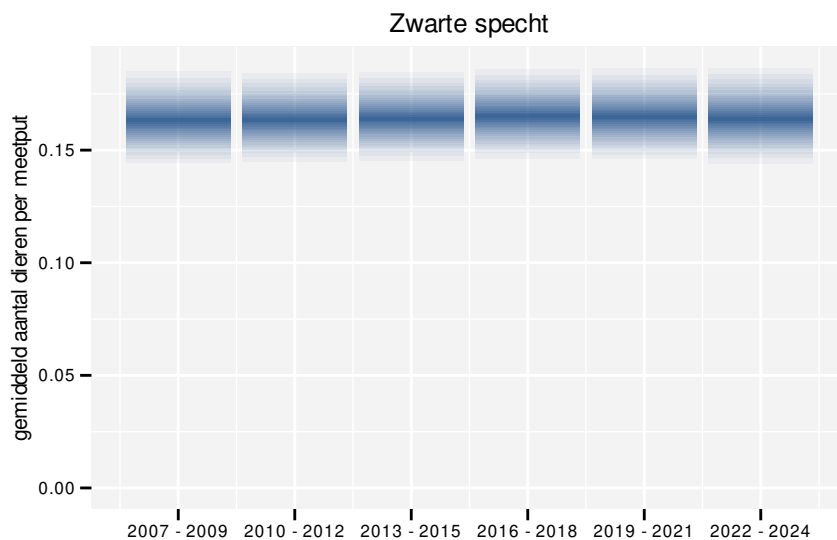
Figuur 107.2: Wijzigingen tussen jaren voor Zwarte specht. Zie §3.1 voor een verklaring van de intervallen en §3.2 voor uitleg over de symbolen en referentielijnen.



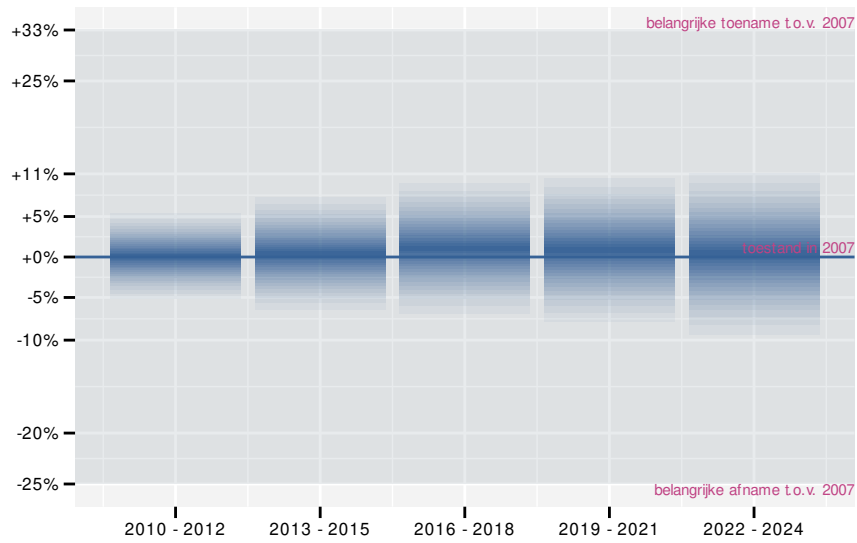
Figuur 107.3: Paarsgewijze vergelijking tussen jaren voor Zwarte specht. Uitleg van de symbolen in tabel 3.1.

107.2 ANALYSE PER DRIEJAARLIJKSE CYCLUS

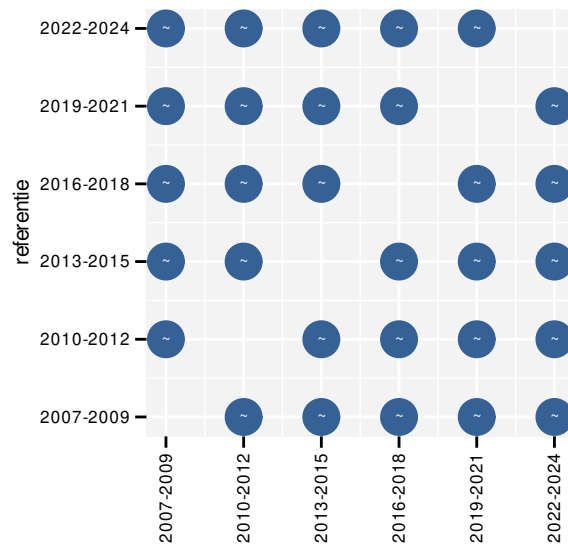
Op basis van driejaarlijkse gegevens zien we gemiddeld een mogelijke toename met +0.5% (-1.6%; +2.7%) per jaar of +9% (-22%; +53%) over de volledige looptijd van het meetnet. Deze trend is niet-lineair.



Figuur 107.4: Evolutie van het gemodelleerde gemiddeld aantal waargenomen dieren op een meetpunt voor Zwarte specht tijdens de referentieperiode. Zie §3.1 voor een verklaring van de intervallen.



Figuur 107.5: Wijzigingen per driejarige cyclus voor Zwarte specht. Zie §3.1 voor een verklaring van de intervallen en §3.2 voor uitleg over de symbolen en referentielijnen.



Figuur 107.6: Paarsgewijze vergelijking tussen driejarige cycli voor Zwarte specht. Uitleg van de symbolen in tabel 3.1.

107.3 KENMERKEN VAN DE GEGEVENS

Tabel 107.1: Stratumgewicht, raming van het aantal hokken waarin de soort aanwezig is, aantal relevante hokken voor de analyse, aantal onderzochte hokken in het stratum, totaal aantal hokken van het stratum in Vlaanderen, aantal bezoeken aan een meetpunt en het gemiddeld aandeel relevante punten per hok voor Zwarte specht (zie §2.5).

stratum	gewicht	aanwezig	relevant	onderzocht	totaal	bezoeken	punten
Bos	45.9%	113.6	68	191	319	3635	60.0%
Heide en duin	25.6%	63.5	30	94	199	1516	54.4%
Landbouw	23.7%	73.2	5	431	6311	158	30.0%
Moeras en water	4.8%	12.0	7	80	137	441	69.0%

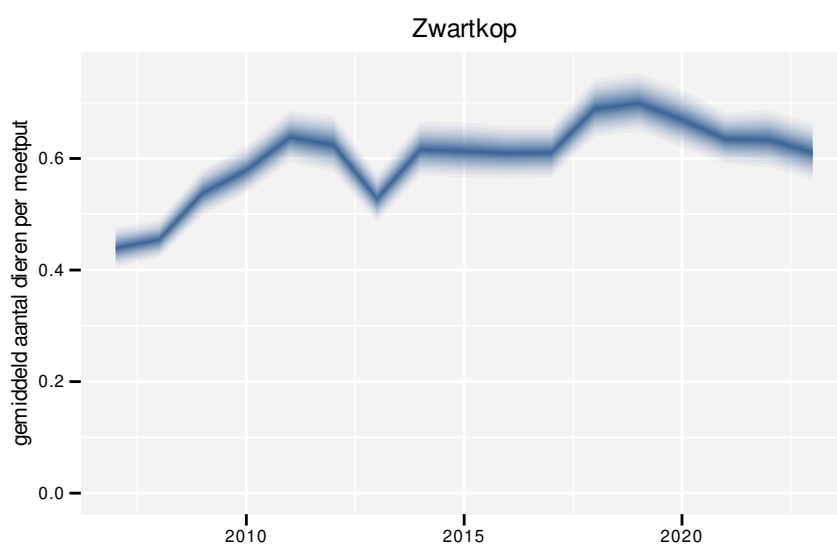
Tabel 107.2: Data-hashes van de analyses in het kader van traceerbaarheid (zie §4.3).

frequentie	model	analyse	status
jaarlijks	niet-lineair	cb8dbd055d69b6eb6a1e 9784fd05dd8e14a37b9d	9c5a548c3a204b766201 887d72c35ece52833d34
jaarlijks	lineair	7d6f78b66e8515936a87 583c487cf738c99e03a2	c5137429264481f986bb 7d60fbfa6b4809a19c33
driejaarlijks	niet-lineair	612e355d6e0b948e7552 858e256a3483fd343e6f	4024e2747ae829640390 fe2586beafc1cd29d715
driejaarlijks	lineair	6c788fc78680e305f5bb 2a1610c62142f950ccf3	9e223cd1a0f23b0ab63b 1d39e7bed58fcc1f21f

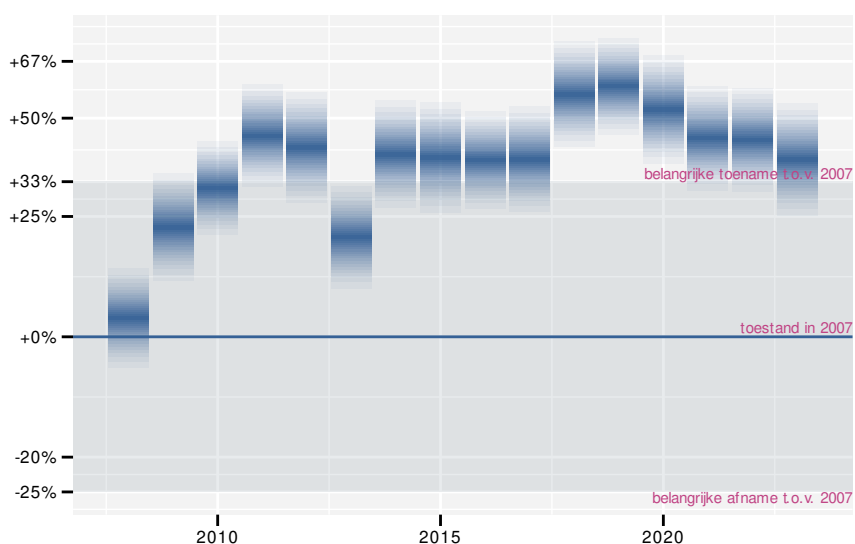
108 ZWARTKOP

108.1 ANALYSE PER JAAR

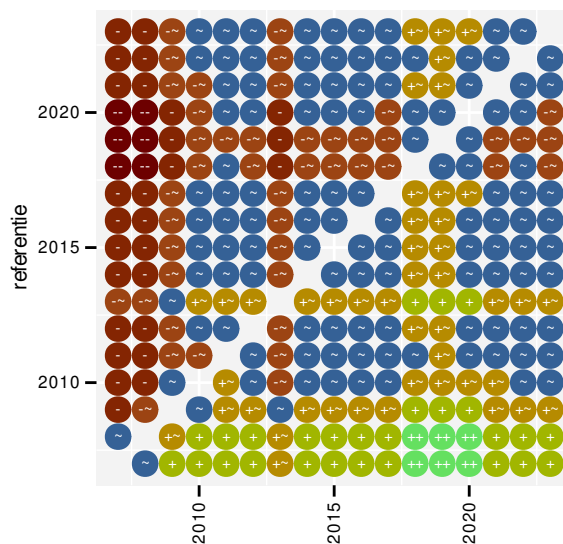
Op basis van jaarlijkse gegevens zien we gemiddeld een toename met +1.95% (+1.58%; +2.31%) per jaar of +36% (+29%; +44%) over de volledige looptijd van het meetnet. Deze trend is niet-lineair.



Figuur 108.1: Evolutie van het gemodelleerde gemiddeld aantal waargenomen dieren op een meetpunt voor Zwartkop tijdens de referentieperiode. Zie §3.1 voor een verklaring van de intervallen.



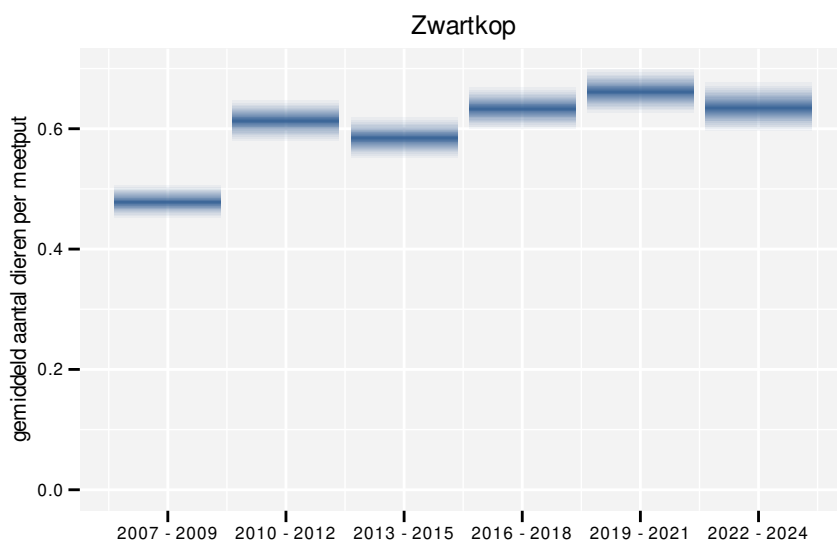
Figuur 108.2: Wijzigingen tussen jaren voor Zwartkop. Zie §3.1 voor een verklaring van de intervallen en §3.2 voor uitleg over de symbolen en referentielijnen.



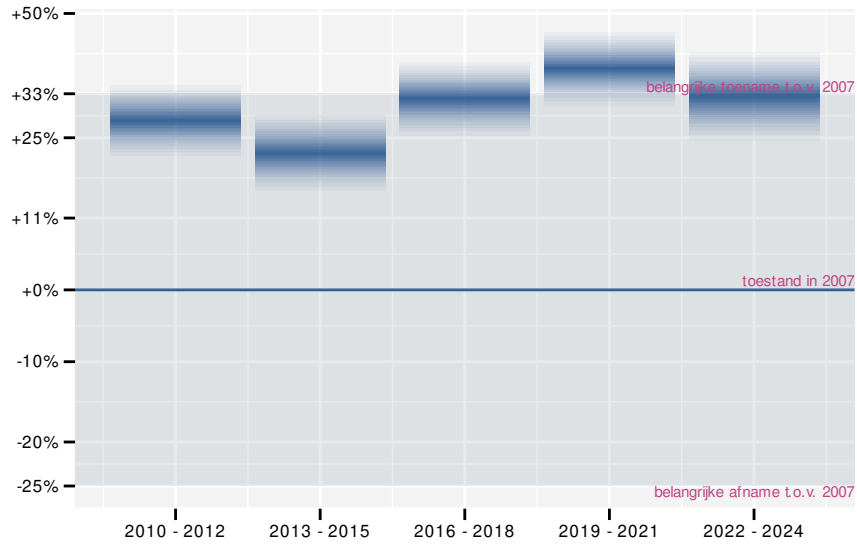
Figuur 108.3: Paarsgewijze vergelijking tussen jaren voor Zwartkop. Uitleg van de symbolen in tabel 3.1.

108.2 ANALYSE PER DRIEJAARLIJKSE CYCLUS

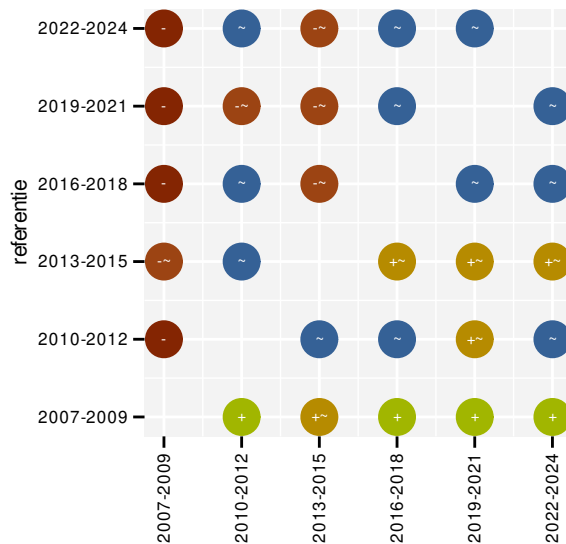
Op basis van driejaarlijkse gegevens zien we gemiddeld een toename met +1.89% (+1.53%; +2.25%) per jaar of +35% (+27%; +43%) over de volledige looptijd van het meetnet. Deze trend is niet-lineair.



Figuur 108.4: Evolutie van het gemodelleerde gemiddeld aantal waargenomen dieren op een meetpunt voor Zwartkop tijdens de referentieperiode. Zie §3.1 voor een verklaring van de intervallen.



Figuur 108.5: Wijzigingen per driejarige cyclus voor Zwartkop. Zie §3.1 voor een verklaring van de intervallen en §3.2 voor uitleg over de symbolen en referentielijnen.



Figuur 108.6: Paarsgewijze vergelijking tussen driejarige cycli voor Zwartkop. Uitleg van de symbolen in tabel 3.1.

108.3 KENMERKEN VAN DE GEGEVENS

Tabel 108.1: Stratumgewicht, raming van het aantal hokken waarin de soort aanwezig is, aantal relevante hokken voor de analyse, aantal onderzochte hokken in het stratum, totaal aantal hokken van het stratum in Vlaanderen, aantal bezoeken aan een meetpunt en het gemiddeld aandeel relevante punten per hok voor Zwartkop (zie §2.5).

stratum	gewicht	aanwezig	relevant	onderzocht	totaal	bezoeken	punten
Landbouw	82.3%	4334.2	296	431	6311	17135	78.9%
Urbaan	5.4%	286.9	60	87	416	3362	77.2%
Bos	4.7%	247.2	148	191	319	9776	95.9%
Heide en duin	2.9%	154.5	73	94	199	4542	85.6%
Suburbaan	2.8%	144.8	49	68	201	2839	83.3%
Moeras en water	1.9%	99.3	58	80	137	3765	88.8%

Tabel 108.2: Data-hashes van de analyses in het kader van traceerbaarheid (zie §4.3).

frequentie	model	analyse	status
jaarlijks	niet-lineair	278626eac43f672c7f61 cb8f5b0f7240bf907776	1e3390e245a9874f3c23 449e0eae7b49ec7e67b0
jaarlijks	lineair	69ecccc5397aebf212dc 597716d6c17ede97646f	8a7e31803847b68f4a4b 6a623aab17081bd0e683
driejaarlijks	niet-lineair	106b29bd87dd66dfc497 b1ace292164de1cf3bf8	eb7e5d2b483492c71e82 998e99e860f4a354f9d1
driejaarlijks	lineair	1143e70ace47ac9c9bad e2025ba25a37cf0fa798	1bb7be909daa040e546a 53aadf0872795bbb267f

Referenties

- Britton E., Fisher P. & Whitley J. (1998). The Inflation Report Projections: Understanding the Fan Chart. Bank of England Quarterly Bulletin 30–37.
- Gelman A., Hwang J. & Vehtari A. (2014). Understanding Predictive Information Criteria for Bayesian Models. *Statistics and Computing* 24 (6): 997–1016. <https://doi.org/10.1007/s11222-013-9416-2>.
- Onkelinx T. (2022). git2rdata: Store and Retrieve Data.frames in a Git Repository. Version 0.4.0. <https://ropensci.github.io/git2rdata/>.
- Onkelinx T. (2024a). abvanalysis: Analysis of the Common Breeding Bird Survey. Version 0.2.4. <https://github.com/inbo/abvanalysis/>.
- Onkelinx T. (2024b). n2kanalysis: Generic Functions to Analyse Data from the 'Natura 2000' Monitoring. Version 0.3.2. <https://doi.org/10.5281/zenodo.3576047>.
- R Core Team (2024). R: A Language and Environment for Statistical Computing. R Foundation for Statistical Computing, Vienna, Austria. <https://www.R-project.org/>.
- Rue H., Martino S., Lindgren F., Simpson D. & Riebler A. (2009). INLA: Functions Which Allow to Perform Full Bayesian Analysis of Latent Gaussian Models Using Integrated Nested Laplace Approximation.
- Simpson D.P., HRue, Martins T.G., Riebler A. & Sørbye S.H. (2017). Penalising Model Component Complexity: A Principled, Practical Approach to Constructing Priors. *Statistical Science* 32 (1): 1–28. <https://doi.org/10.1214/16-ST576>.
- Vermeersch G., Anselin A., Herremans M. & Brosens D. (2018a). ABV - Common Breeding Birds in Flanders, Belgium. Version 1.7. Research Institute for Nature and Forest (INBO).
- Vermeersch G., Ledegen H. & Feys S. (2018b). Methodehandleiding Bij Het Project 'Algemene Broedvogel-monitoring Vlaanderen (ABV)'. Nr. 2018 93. Instituut voor Natuur- en Bosonderzoek, Brussels, Belgium. <https://doi.org/10.21436/inbor.15674942>.
- Vriens L., Bosch H., De Knijf G., De Saeger S., Guelinckx R., Oosterlyncx P., Van Hove M. & Paelinckx D. (2011). De biologische waarderingskaart: biotopen en hun verspreiding in vlaanderen en het Brussels Hoofdstedelijk Gewest. Mededelingen van het Instituut voor Natuur- en Bosonderzoek, Nr. INBO.M.2011.1. Instituut voor Natuur- en Bosonderzoek, België.